

# 目 录

中译本出版者的话

出版者的话

译者的话

前 言

## 第 1 章 信号与线性系统

|                          |      |
|--------------------------|------|
| 1.1 概述 .....             | (1)  |
| 1.2 傅里叶级数 .....          | (1)  |
| 1.2.1 周期信号和 LTI 系统 ..... | (12) |
| 1.3 傅里叶变换 .....          | (16) |
| 1.3.1 采样定理 .....         | (21) |
| 1.3.2 LTI 系统的频域分析 .....  | (26) |
| 1.4 功率和能量 .....          | (30) |
| 1.5 带通信号的低通等效 .....      | (33) |
| 习题 .....                 | (40) |

## 第 2 章 随机过程

|                         |      |
|-------------------------|------|
| 2.1 概述 .....            | (43) |
| 2.2 随机变量的产生 .....       | (43) |
| 2.3 高斯和高斯-马尔科夫过程 .....  | (47) |
| 2.4 随机过程的功率谱和白色过程 ..... | (53) |
| 2.5 随机过程的线性滤波 .....     | (59) |
| 2.6 低通和带通过程 .....       | (64) |
| 习题 .....                | (70) |

## 第 3 章 模拟调制

|                    |      |
|--------------------|------|
| 3.1 概述 .....       | (74) |
| 3.2 幅度调制(AM) ..... | (74) |

|                       |       |
|-----------------------|-------|
| 3.2.1 DSB-AM .....    | (75)  |
| 3.2.2 常规 AM .....     | (83)  |
| 3.2.3 SSB-AM .....    | (90)  |
| 3.3 AM 信号的解调 .....    | (96)  |
| 3.3.1 DSB-AM 解调 ..... | (96)  |
| 3.3.2 SSB-AM 解调 ..... | (103) |
| 3.3.3 常规 AM 解调 .....  | (108) |
| 3.4 角调制 .....         | (115) |
| 习题 .....              | (126) |

## 第 4 章 模拟/数字转换

|                     |       |
|---------------------|-------|
| 4.1 概述 .....        | (129) |
| 4.2 信息的度量 .....     | (129) |
| 4.2.1 无噪声编码 .....   | (130) |
| 4.3 量化 .....        | (135) |
| 4.3.1 标量量化 .....    | (135) |
| 4.4 脉冲编码调制 .....    | (144) |
| 4.4.1 均匀 PCM .....  | (144) |
| 4.4.2 非均匀 PCM ..... | (150) |
| 习题 .....            | (156) |

## 第 5 章 基带数字传输

|                                     |       |
|-------------------------------------|-------|
| 5.1 概述 .....                        | (159) |
| 5.2 二进制信号传输 .....                   | (159) |
| 5.2.1 AWGN 信道的最佳接收机 .....           | (159) |
| 5.2.2 二进制通信系统的 Monte Carlo 仿真 ..... | (166) |
| 5.2.3 其他二进制信号传输方法 .....             | (169) |
| 5.2.4 二进制信号的信号星座图 .....             | (178) |
| 5.3 多幅度信号传输 .....                   | (180) |
| 5.3.1 四幅度电平的信号波形 .....              | (180) |
| 5.3.2 AWGN 信道的最佳接收机 .....           | (181) |
| 5.3.3 多幅度电平的信号波形 .....              | (187) |
| 5.4 多维信号 .....                      | (191) |
| 5.4.1 多维正交信号 .....                  | (191) |
| 5.4.2 双正交信号 .....                   | (199) |

|                                 |       |
|---------------------------------|-------|
| 习题.....                         | (206) |
| <b>第 6 章 带限信道的数字传输</b>          |       |
| 6.1 概述 .....                    | (209) |
| 6.2 数字 PAM 信号的功率谱 .....         | (209) |
| 6.3 带限信道特性和信道失真 .....           | (213) |
| 6.4 码间干扰的特性 .....               | (224) |
| 6.5 带限信道的通信系统设计 .....           | (228) |
| 6.5.1 对于零 ISI 的信号设计 .....       | (229) |
| 6.5.2 可控制 ISI 的信号设计 .....       | (232) |
| 6.5.3 部分响应信号检测的预编码 .....        | (237) |
| 6.6 线性均衡器 .....                 | (242) |
| 6.6.1 自适应线性均衡器 .....            | (250) |
| 6.7 非线性均衡器 .....                | (255) |
| 习题.....                         | (259) |
| <b>第 7 章 载波调制的数字传输</b>          |       |
| 7.1 概述 .....                    | (263) |
| 7.2 载波幅度调制 .....                | (263) |
| 7.2.1 PAM 信号的解调.....            | (265) |
| 7.3 载波相位调制 .....                | (268) |
| 7.3.1 相位解调与检测 .....             | (272) |
| 7.3.2 差分相位调制与解调 .....           | (278) |
| 7.4 正交幅度调制 .....                | (285) |
| 7.4.1 QAM 的解调和检测 .....          | (286) |
| 7.4.2 在 AWGN 信道中 QAM 的差错概率..... | (287) |
| 7.5 载波频率调制 .....                | (292) |
| 7.5.1 频率键控 .....                | (292) |
| 7.5.2 FSK 信号的解调和检测 .....        | (293) |
| 7.5.3 FSK 非相干检测的差错概率 .....      | (298) |
| 7.6 通信系统中的同步 .....              | (303) |
| 7.6.1 载波同步 .....                | (303) |
| 7.6.2 时钟同步 .....                | (309) |
| 习题.....                         | (312) |

## 第 8 章 信道容量和编码

|                     |       |
|---------------------|-------|
| 8.1 概述 .....        | (317) |
| 8.2 信道模型和信道容量 ..... | (317) |
| 8.2.1 信道模型 .....    | (317) |
| 8.2.2 信道容量 .....    | (318) |
| 8.3 信道编码 .....      | (328) |
| 8.3.1 线性分组码 .....   | (330) |
| 8.3.2 卷积码 .....     | (344) |
| 习题 .....            | (359) |

## 第 9 章 扩频通信系统

|                              |       |
|------------------------------|-------|
| 9.1 概述 .....                 | (362) |
| 9.2 直接序列扩频系统 .....           | (363) |
| 9.2.1 信号解调 .....             | (364) |
| 9.2.2 差错概率 .....             | (366) |
| 9.2.3 DS 扩频信号的两个应用方面 .....   | (367) |
| 9.3 PN 序列的产生 .....           | (373) |
| 9.4 跳频扩频 .....               | (379) |
| 9.4.1 FH 信号的差错概率 .....       | (380) |
| 9.4.2 利用信号分集解决部分频带干扰问题 ..... | (385) |
| 习题 .....                     | (390) |

## 参考文献

# 第 1 章 信号与线性系统

## 1.1 概述

本章要复习有关在通信系统分析中所用到的一些线性系统分析的基本方法和技术。在通信系统研究中有两个基本问题是一定要清楚的,这就是线性系统及其在时域和频域的特性和随机信号的概率与分析。大多数通信信道,以及发射和接收装置中的很多部分都可以用线性时不变(LTI)系统来建模,所以来自于线性系统分析中的一些著名方法和技术都能在分析中使用。重点放在频域分析方法上,因为在通信系统分析中这是最常用的技术。本章讨论由傅里叶级数和傅里叶变换开始,然后再包括功率和能量的概念、采样定理,以及带通信号的低通表示等。

## 1.2 傅里叶级数

一个线性时不变系统的输入/输出关系由如下卷积积分定义

$$y(t) = x(t) * h(t) = \int_{-\infty}^{\infty} h(\tau)x(t-\tau)d\tau \quad (1.2.1)$$

式中: $h(t)$ 记为系统的冲激响应, $x(t)$ 为输入信号, $y(t)$ 则为输出信号。如果 $x(t)$ 是一个由下式给出的复指数信号

$$x(t) = Ae^{j2\pi f_0 t} \quad (1.2.2)$$

那么输出就为

$$\begin{aligned} y(t) &= \int_{-\infty}^{\infty} Ae^{j2\pi f_0(t-\tau)} h(\tau)d\tau \\ &= A \left[ \int_{-\infty}^{\infty} h(\tau)e^{-j2\pi f_0 \tau} d\tau \right] e^{j2\pi f_0 t} \end{aligned} \quad (1.2.3)$$

换句话说,该输出是一个与输入信号具有相同频率的复指数,然而,输出的(复)振幅是输入(复)振幅乘以

$$\int_{-\infty}^{\infty} h(\tau)e^{-j2\pi f_0 \tau} d\tau$$

应该注意到,上式这个量是该 LTI 系统冲激响应  $h(t)$  和输入信号频率  $f_0$  的函数。因此,计算 LTI 系统对指数输入的响应是特别容易的。这样,在线性系统分析中就想找一些将信号展开成复指数之和的各种方法。**傅里叶级数和傅里叶变换就是利用复指数来展开信号的技术。**

当采用信号集合  $\{e^{j2\pi nt/T_0}\}_{n=-\infty}^{\infty}$  作为展开式的基时,傅里叶级数就是周期为  $T_0$  的周期信号的正交展开。利用这个基,任何周期为  $T_0$  的周期信号<sup>①</sup>都可表示为

$$x(t) = \sum_{n=-\infty}^{\infty} x_n e^{j2\pi nt/T_0} \quad (1.2.4)$$

式中  $x_n$  称为该信号  $x(t)$  的**傅里叶级数系数**,并由下式给出

$$x_n = \frac{1}{T_0} \int_a^{a+T_0} x(t) e^{-j2\pi nt/T_0} dt \quad (1.2.5)$$

这里  $a$  是任意常数,可按使该积分式计算简单来选取。频率  $f_0 = 1/T_0$  称为该周期信号的**基波频率**,而  $f_n = nf_0$  称为第  $n$  次谐波。在大多数情况下,  $a=0$  或者  $a = -T_0/2$  都是·一种好的选取。

这种形式的傅里叶级数称为**指数形式的傅里叶级数**,它既能用于实值,也能用于复值信号  $x(t)$ ,只要它们都是周期的。一般而言,傅里叶级数  $|x_n|$  是复数,即便当  $x(t)$  是一个实值信号也是这样。

当  $x(t)$  是一个**实值周期信号**时,有

$$\begin{aligned} x_{-n} &= \frac{1}{T_0} \int_a^{a+T_0} x(t) e^{j2\pi nt/T_0} dt \\ &= \frac{1}{T_0} \left[ \int_a^{a+T_0} x(t) e^{-j2\pi nt/T_0} dt \right]^* \\ &= x_n^* \end{aligned} \quad (1.2.6)$$

由此显然可得

$$\begin{cases} |x_n| = |x_{-n}| \\ \angle x_n = -\angle x_{-n} \end{cases} \quad (1.2.7)$$

因此,实值信号的傅里叶级数系数具有 **Hermitian 对称性**,即它们的实部是偶函数,它们的虚部是奇函数(或者等效地说,它们的幅值是偶函数,相位是奇函数)。

傅里叶级数的另一种形式称之为**三角函数形式的傅里叶级数**,它仅能适用于实值周期信号。定义

$$x_n = \frac{a_n - jb_n}{2} \quad (1.2.8)$$

<sup>①</sup> 傅里叶级数存在的充分条件是  $x(t)$  满足狄里赫利(Dirichlet)条件,详细请参考文献[1]。

$$x_{-n} = \frac{a_n + jb_n}{2} \quad (1.2.9)$$

再用欧拉(Euler)公式

$$e^{-j2\pi nt/T_0} = \cos\left(2\pi t \frac{n}{T_0}\right) - j\sin\left(2\pi t \frac{n}{T_0}\right) \quad (1.2.10)$$

可得

$$\begin{aligned} a_n &= \frac{2}{T_0} \int_a^{a+T_0} x(t) \cos\left(2\pi t \frac{n}{T_0}\right) dt \\ b_n &= \frac{2}{T_0} \int_a^{a+T_0} x(t) \sin\left(2\pi t \frac{n}{T_0}\right) dt \end{aligned} \quad (1.2.11)$$

因此,

$$x(t) = \frac{a_0}{2} + \sum_{n=1}^{\infty} a_n \cos\left(2\pi t \frac{n}{T_0}\right) + b_n \sin\left(2\pi t \frac{n}{T_0}\right) \quad (1.2.12)$$

注意,对于  $n=0$ ,总有  $b_0=0$ ,所以  $a_0=2x_0$ ,再定义

$$\begin{cases} c_n = \sqrt{a_n^2 + b_n^2} \\ \theta_n = -\arctan \frac{b_n}{a_n} \end{cases} \quad (1.2.13)$$

并利用下列关系

$$a \cos \phi + b \sin \phi = \sqrt{a^2 + b^2} \cos\left(\phi - \arctan \frac{b}{a}\right) \quad (1.2.14)$$

就可以将(1.2.12)式写成

$$x(t) = \frac{a_0}{2} + \sum_{n=1}^{\infty} c_n \cos\left(2\pi t \frac{n}{T_0} + \theta_n\right) \quad (1.2.15)$$

这就是对于实值周期信号傅里叶级数展开的第三种形式。一般对实值周期信号的傅里叶级数  $\{x_n\}$  与  $a_n, b_n, c_n$  和  $\theta_n$  的关系是通过下列关系联系起来的:

$$\begin{cases} a_n = 2\operatorname{Re}[x_n] \\ b_n = -2\operatorname{Im}[x_n] \\ c_n = |x_n| \\ \theta_n = \angle x_n \end{cases} \quad (1.2.16)$$

将  $|x_n|$  和  $\angle x_n$  对  $n$  或者  $nf_0$  作图,该图称为  $x(t)$  的离散频谱。 $|x_n|$  的图通常称幅度谱,而  $\angle x_n$  的图则是相位谱。

如果  $x(t)$  是实值,且为偶函数,即  $x(-t) = x(t)$ ,那么取  $a = -T_0/2$  后就有

$$b_n = \frac{2}{T_0} \int_{-T_0/2}^{T_0/2} x(t) \sin\left(2\pi t \frac{n}{T_0}\right) dt \quad (1.2.17)$$

因为被积函数是  $t$  的奇函数, 该积分的值为零。因此, 对实值偶信号  $x(t)$  来说, 全部  $x_n$  都是实数, 这时三角函数型的傅里叶级数全部由余弦函数构成。同理, 若  $x(t)$  是实值且为奇函数, 即  $x(t) = -x(-t)$ , 则有

$$a_n = \frac{2}{T_0} \int_a^{a+T_0} x(t) \cos\left(2\pi t \frac{n}{T_0}\right) dt \quad (1.2.18)$$

的积分值为零, 所有  $x_n$  均为虚数, 这时三角函数型傅里叶级数全由正弦函数构成。

### 解答题

#### 解答题 1.1 [矩形信号串的傅里叶级数]

设周期为  $T_0$  的周期信号  $x(t)$  定义为

$$x(t) = A\Pi\left(\frac{t}{2t_0}\right) = \begin{cases} A, & |t| < t_0 \\ \frac{A}{2}, & t = \pm t_0 \\ 0, & \text{其余 } t \end{cases} \quad (1.2.19)$$

这里  $|t| \leq T_0/2, t_0 < T_0/2$ 。矩形信号  $\Pi(t)$  按惯例定义为

$$\Pi(t) = \begin{cases} 1, & |t| < \frac{1}{2} \\ \frac{1}{2}, & t = \pm \frac{1}{2} \\ 0, & \text{其余 } t \end{cases} \quad (1.2.20)$$

图 1.1 示出  $x(t)$  的图。

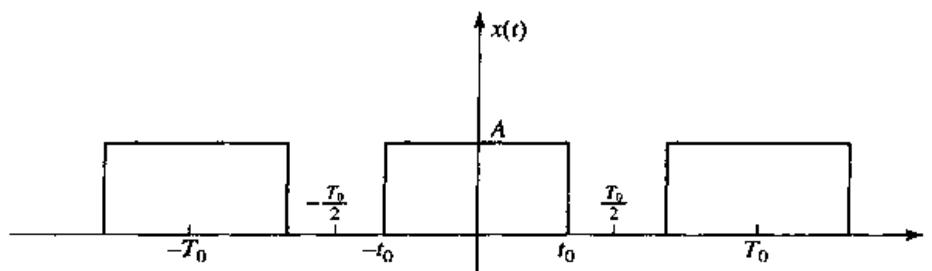


图 1.1 解答题 1.1 中的信号  $x(t)$

假定  $A=1$ ,  $T_0=4$  和  $t_0=1$ :

1. 求分别用指数和三角函数展开的  $x(t)$  的傅里叶级数系数。
2. 画出  $x(t)$  的离散谱。



## 题解

1. 导出  $x(t)$  展开式的傅里叶级数系数有

$$\begin{aligned} x_n &= \frac{1}{4} \int_{-1}^1 e^{-j2\pi nt/4} dt \\ &= \frac{1}{-2j\pi n} [e^{-j2\pi n/4} - e^{j2\pi n/4}] \end{aligned} \quad (1.2.21)$$

$$= \frac{1}{2} \operatorname{sinc}\left(\frac{n}{2}\right) \quad (1.2.22)$$

式中  $\operatorname{sinc}(x)$  定义为

$$\operatorname{sinc}(x) = \frac{\sin(\pi x)}{\pi x} \quad (1.2.23)$$

图 1.2 就是  $\operatorname{sinc}$  函数的图形。显然, 全部  $x_n$  都是实数(因为  $x(t)$  为实函数且为偶函数), 所以

$$\begin{cases} a_n = \operatorname{sinc}\left(\frac{n}{2}\right) \\ b_n = 0 \\ c_n = \left| \operatorname{sinc}\left(\frac{n}{2}\right) \right| \\ \theta_n = 0, \pi \end{cases} \quad (1.2.24)$$

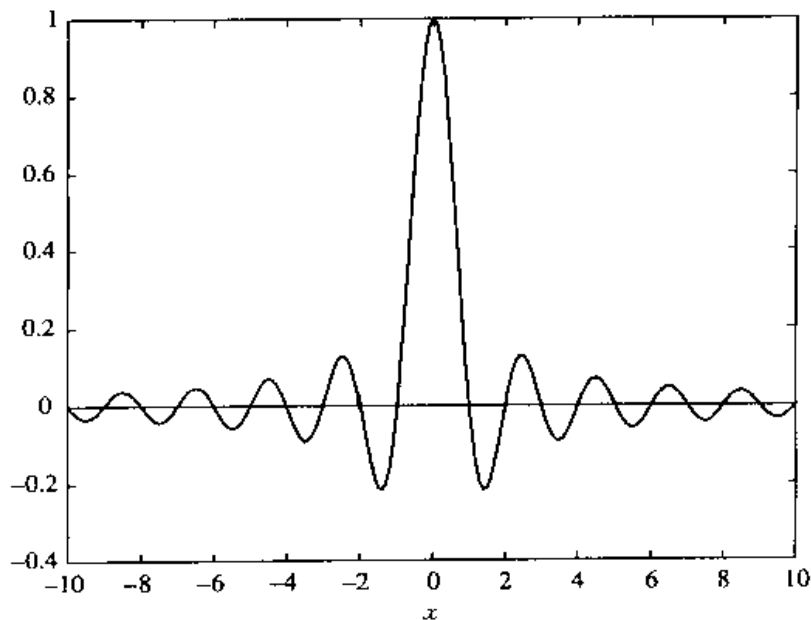


图 1.2  $\operatorname{sinc}$  信号

注意,  $n$  为偶数时,  $x_n = 0$  ( $n = 0$  例外, 这时  $a_0 = c_0 = 1$  和  $x_0 = \frac{1}{2}$ )。利用这些系数, 有

$$\begin{aligned} x(t) &= \sum_{n=-\infty}^{\infty} \frac{1}{2} \operatorname{sinc}\left(\frac{n}{2}\right) e^{j2\pi nt/4} \\ &= \frac{1}{2} + \sum_{n=1}^{\infty} \operatorname{sinc}\left(\frac{n}{2}\right) \cos\left(2\pi t \frac{n}{4}\right) \end{aligned} \quad (1.2.25)$$

图 1.3 示出了在  $n = 0, 1, 3, 5, 7$  和  $9$  时, 该傅里叶级数在一个周期内对该信号的近似情况。可以注意到, 随着  $n$  的增加, 近似的波形会变得愈加接近原信号  $x(t)$ 。

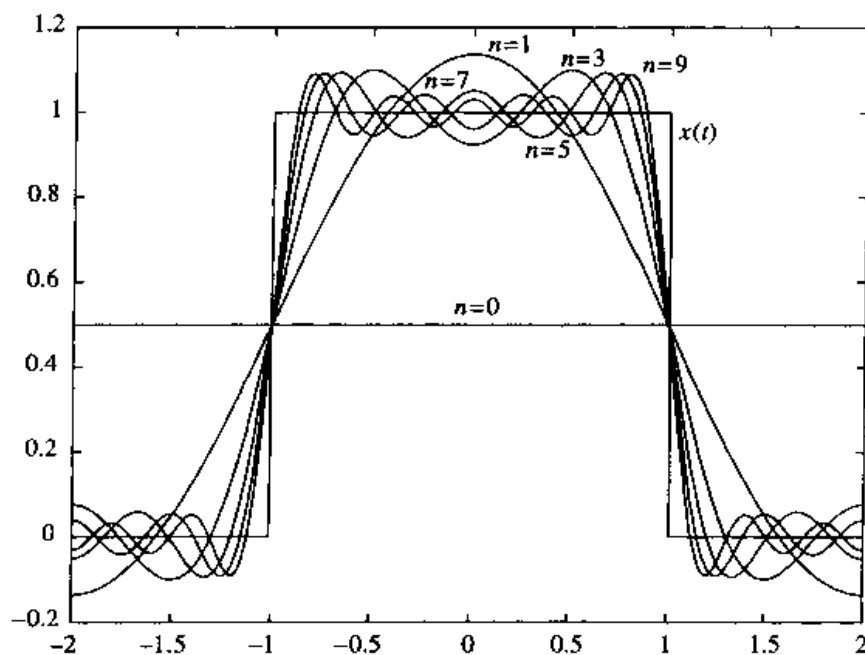


图 1.3 在解说题 1.1 中, 对矩形脉冲各种傅里叶级数的近似

2. 注意到  $x_n$  总是实数, 因此, 依据于它的符号, 相位不是 0 就是  $\pi$ 。  $x_n$  的幅度是  $\frac{1}{2} \left| \sin\left(\frac{n}{2}\right) \right|$ , 离散谱如图 1.4 所示。

下面给出画出信号离散谱的 MATLAB 脚本。

### M 文件

```
% MATLAB script for Illustrative Problem 1.1.
n=[-20:1:20];
x=abs(sinc(n/2));
stem(n,x);
```

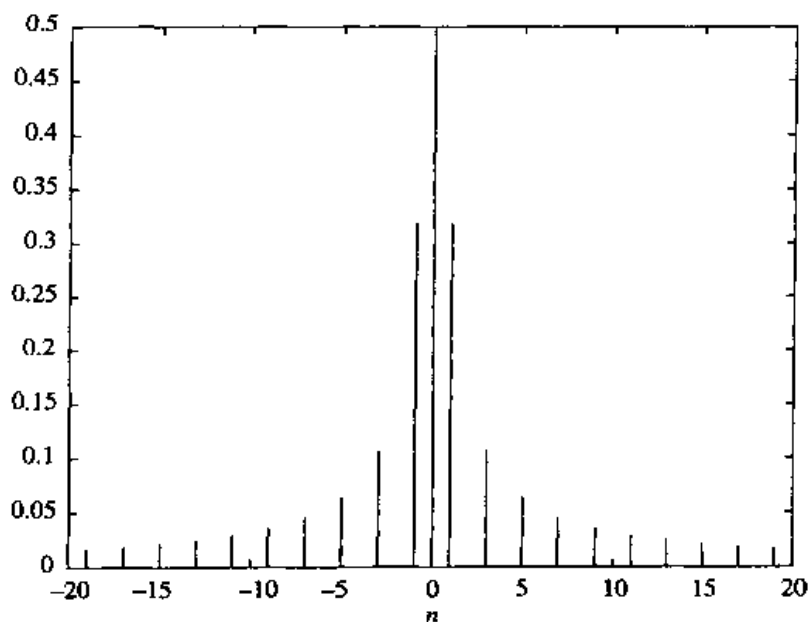


图 1.4 解说题 1.1 中信号的离散谱

当信号  $x(t)$  在一个周期内是按图 1.5 的方式由  $a, b$  之间给出时, 在这个区间  $(a, b)$  内的信号由一个 M 文件给出, 其傅里叶级数系数可用下面给出的 M 文件 fseries.m 求得。

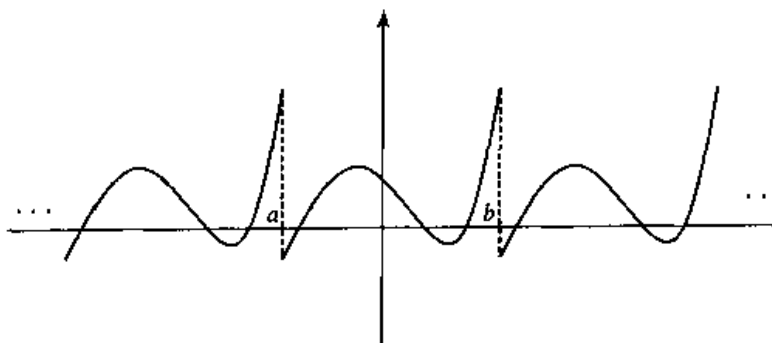


图 1.5 一种周期信号

## M 文件

```
function xx=fseries(funcn,a,b,n,tol,p1,p2,p3)
%Fseries      Returns the Fourier series coefficients.
%            XX=Fseries(FUNFCN,A,B,N,TOL,P1,P2,P3)
%            funcn=The given function, in an m-file.
%            It can depend on up to three parameters
%            p1, p2, and p3. The function is given
```

---

```

%          over one period extending from 'a' to 'b'
%          xx=vector of length n+1 of Fourier series
%          coefficients, xx0,xx1,...,xxn.
%          p1,p2,p3=parameters of funfcn.
%          tol=the error level.

j=sqrt(-1);
args0=[];
for nn=1:nargin-5
    args0=[args0,' ',p',int2str(nn)];
end
args=[args0,' ')';
t=b-a;
xx(1)=eval(['1/(',num2str(t),')'.*quad(funfcn,a,b,tol,[],'.args)'];

for j=1:n
    new_fun = 'exp_funct' ;
    args=[' ',',', num2str(i), ', ',',', num2str(t), ', args0, ',')' ] ;
    xx(i+1)=eval(['1/(',num2str(t),')'.*quad(new_fun,a,b,tol,[],funfcn',args)];
end

```

---

## 解说题

### 解说题 1.2 [幅度谱和相位谱]

求并画出周期为 8,  $x(t) = \Lambda(t)$ ,  $|t| \leq 4$  的周期信号  $x(t)$  的离散幅度和相位谱。

## 题 解

因为信号已由 M 文件 lambda.m 给出, 可以通过选定区间  $[a, b] = [-4, 4]$  求出各系数。应该注意, 由 M 文件 fseries.m 求得的傅里叶系数是对应于  $n$  的非负值的, 但由于现在  $x(t)$  是实值的, 从而有  $x_{-n} = x_n^*$ 。图 1.6 示出  $n = 24$  时该信号的幅度和相位谱。

求出并画出幅度和相位谱的 MATLAB 脚本给出如下。

## M 文件

---

```

% MATLAB script for Illustrative Problem 1.2.
echo on
fncf='lambda';
a=-4;
b=4;
n=24;
tol=0.1;
xx=fseries(fncf,a,b,n,tol);
xx1=xx(n+1:-1:2);
xx1=[conj(xx1),xx];

```

---

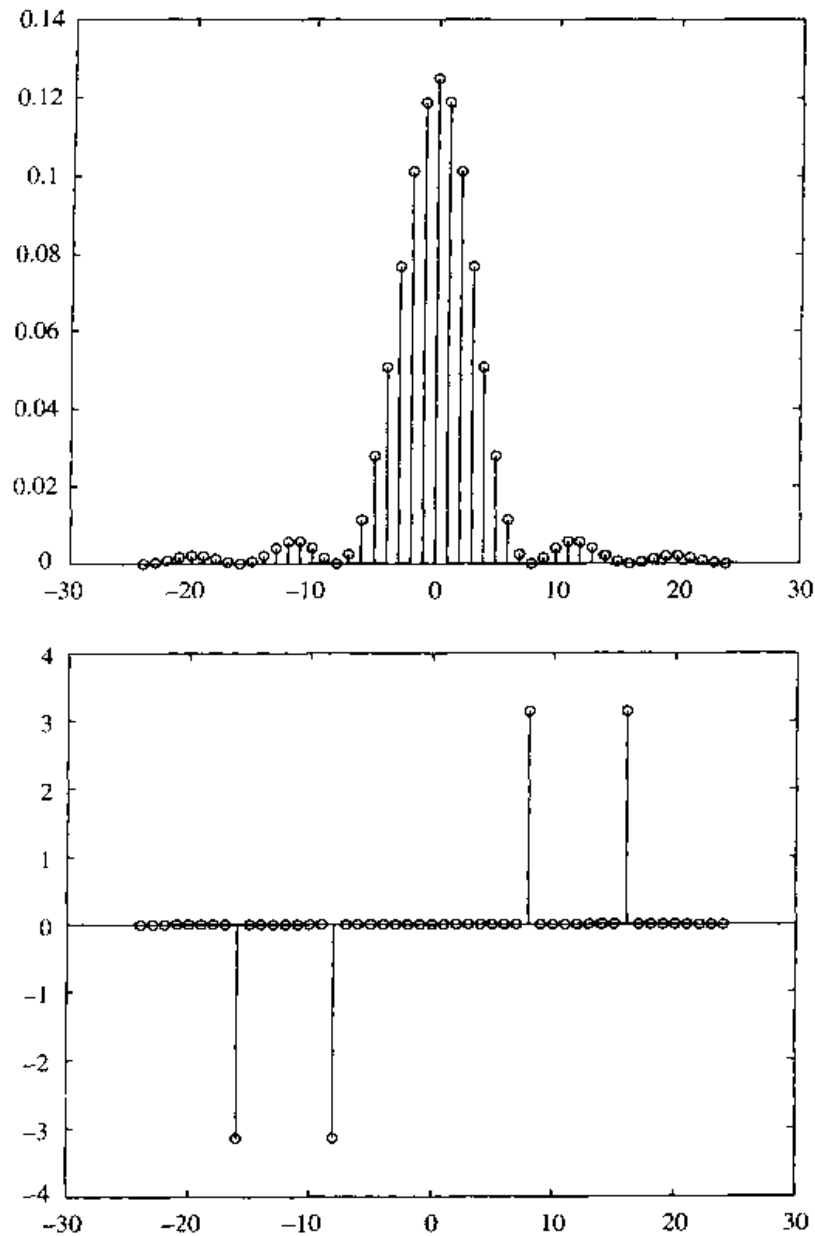


图 1.6 解说题 1.2 中信号的幅度和相位谱

```

absxx1=abs(xx1);
pause % Press any key to see a plot of the magnitude spectrum
n1=[-n:n];
stem(n1,absxx1)
title('The Discrete Magnitude Spectrum')
phasesxx1=angle(xx1);
pause % Press any key to see a plot of the phase spectrum
stem(n1,phasesxx1)
title('The Discrete Phase Spectrum')

```

## 解说题

### 解说题 1.3 [幅度和相位谱]

求出并画出周期为 12s, 在区间  $[-6, 6]$  内,  $x(t)$  为

$$x(t) = \frac{1}{\sqrt{2\pi}} e^{-t^2/2}$$

的周期信号的幅度和相位谱。 $x(t)$  如图 1.7 所示。

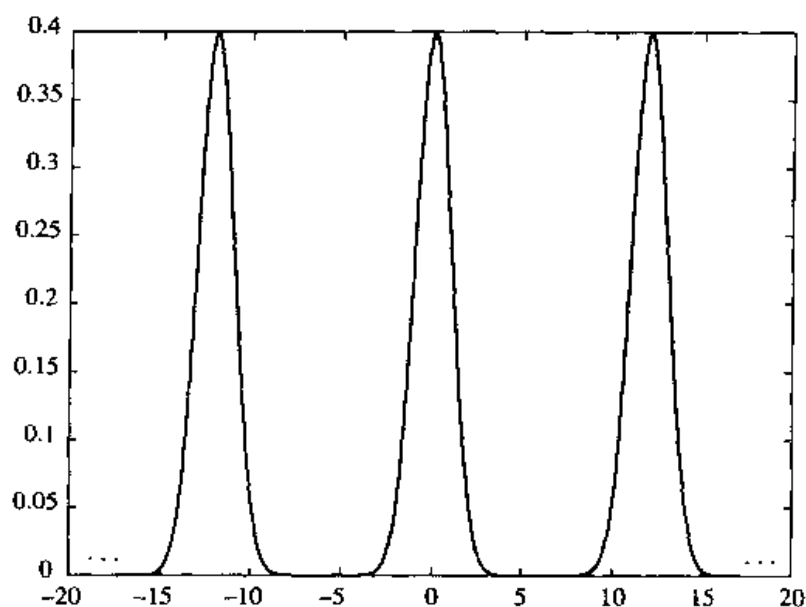


图 1.7 解说题 1.3 中的周期信号

## 题解

该信号就是一个零均值、单位方差高斯(正态)随机变量的密度函数, 这个函数由 M 文件 normal.m 给出。该文件要求有两个参数  $m$  和  $s$ , 即该随机变量的均值和标准偏差; 在本题中分别为 0 和 1。因此就可用下列 MATLAB 脚本求得幅度和相位谱图, 如图 1.8 所示。

## M 文件

```
% MATLAB script for Illustrative Problem 1.3.
echo on
fncf='normal';
a=-6;
b=6;
n=24;
```

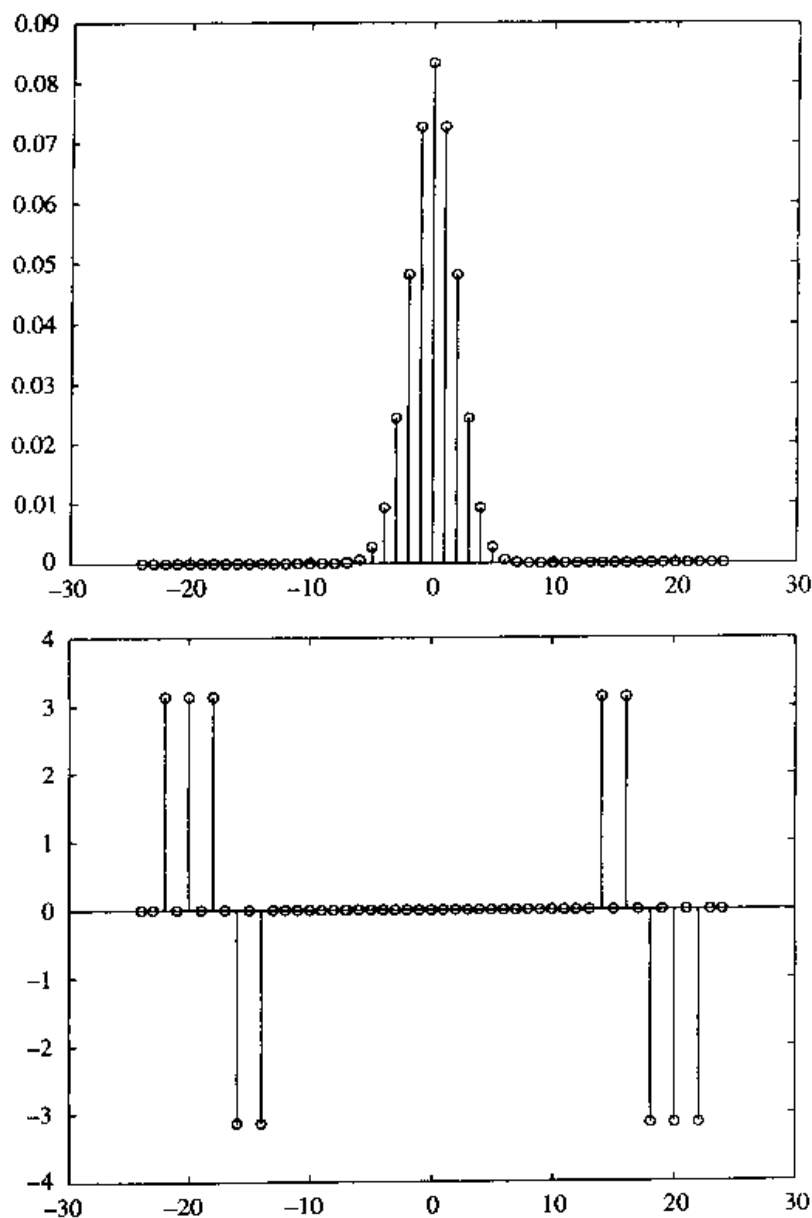


图 1.8 解答题 1.3 中信号的幅度和相位谱

```

tol=0.1;
xx=fseries(funct,a,b,n,tol,0,1);
xx1=xx(n+1:-1:2);
xx1=[conj(xx1),xx];
absxx1=abs(xx1);
pause % Press any key to see a plot of the magnitude
n1=[-n:n];
stem(n1,absxx1)
title('The Discrete Magnitude Spectrum')
phasesxx1=angle(xx1);

```

---

```

pause % Press any key to see a plot of the phase
stem(n1,phasexx1)
title('The Discrete Phase Spectrum')

```

---

### 1.2.1 周期信号和 LTI 系统

当一个周期信号  $x(t)$  通过某一 LTI 系统时,如图 1.9 所示,输出  $y(t)$  也是周期的,并且通常与输入信号具有相同的周期<sup>①</sup> (为什么?),因此也有一个傅里叶级数展开式。

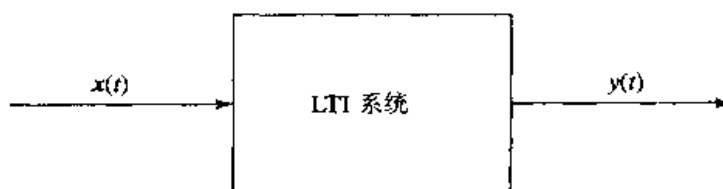


图 1.9 周期信号通过 LTI 系统

如果  $x(t)$  和  $y(t)$  展开为

$$x(t) = \sum_{n=-\infty}^{\infty} x_n e^{j2\pi nt/T_0} \quad (1.2.26)$$

$$y(t) = \sum_{n=-\infty}^{\infty} y_n e^{j2\pi nt/T_0} \quad (1.2.27)$$

那么,  $x(t)$  和  $y(t)$  的傅里叶级数系数之间的关系就能用卷积积分求得为

$$\begin{aligned}
 y(t) &= \int_{-\infty}^{\infty} x(t-\tau)h(\tau)d\tau \\
 &= \int_{-\infty}^{\infty} \sum_{n=-\infty}^{\infty} x_n e^{j2\pi n(t-\tau)/T_0} h(\tau)d\tau \\
 &= \sum_{n=-\infty}^{\infty} x_n \left( \int_{-\infty}^{\infty} h(\tau) e^{-j2\pi n\tau/T_0} d\tau \right) e^{j2\pi nt/T_0} \\
 &= \sum_{n=-\infty}^{\infty} y_n e^{j2\pi nt/T_0}
 \end{aligned} \quad (1.2.28)$$

由上述关系,有

$$y_n = x_n H\left(\frac{n}{T_0}\right) \quad (1.2.29)$$

式中  $H(f)$  记作该 LTI 系统的传递函数<sup>②</sup> 它是系统冲激响应  $h(t)$  的傅里叶变

---

① 我们说“通常”具有与输入信号相同的周期,你能举出一个输出的周期不同于输入的周期的例子吗?

② 也称为系统的频率响应。



换:

$$H(f) = \int_{-\infty}^{\infty} h(t) e^{-j2\pi ft} dt \quad (1.2.30)$$

### 解答题

#### 解答题 1.4 [周期信号的过滤]

有一三角脉冲中  $x(t)$ , 周期  $T_0=2$ , 在一个周期内  $x(t)$  定义为

$$\Lambda(t) = \begin{cases} t+1, & -1 \leq t \leq 0 \\ -t+1, & 0 \leq t \leq 1 \\ 0, & \text{其余 } t \end{cases} \quad (1.2.31)$$

1. 求  $x(t)$  的傅里叶级数系数。
2. 画出  $x(t)$  的离散谱。
3. 设想这个信号通过某 LTI 系统, 该系统的冲激响应是

$$h(t) = \begin{cases} t, & 0 \leq t < 1 \\ 0, & \text{其余 } t \end{cases} \quad (1.2.32)$$

画出输出  $y(t)$  的离散谱。  $x(t)$  和  $h(t)$  的图如图 1.10 所示。

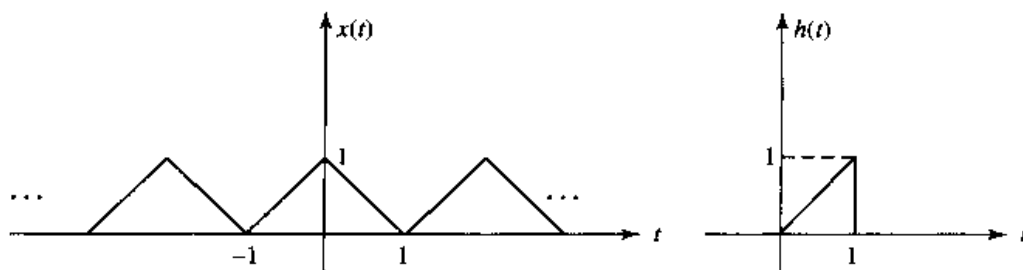


图 1.10 输入信号和系统冲激响应

### 题解

1. 根据已给  $x(t)$  有

$$x_n = \frac{1}{T_0} \int_{T_0/2}^{T_0/2} x(t) e^{j2\pi nt/T_0} dt \quad (1.2.33)$$

$$= \frac{1}{2} \int_{-1}^1 \Lambda(t) e^{j\pi nt} dt \quad (1.2.34)$$

$$= \frac{1}{2} \int_{-\infty}^{\infty} \Lambda(t) e^{-j\pi nt} dt \quad (1.2.35)$$

$$= \frac{1}{2} \mathcal{F}[\Lambda(t)]_f = n/2 \quad (1.2.36)$$

$$= \frac{1}{2} \text{sinc}^2\left(\frac{n}{2}\right) \quad (1.2.37)$$

式中已经用到  $\Lambda(t)$  在区间  $[-1, 1]$  外为零和  $\Lambda(t)$  的傅里叶变换是  $\text{sinc}^2(f)$ 。利用  $\Lambda(t)$  的表示式做分部积分也能得出这一结果。显然, 除  $n=0$  外全部为偶数的  $n$ , 其  $x_n=0$ 。

2.  $x(t)$  的离散谱图如图 1.11 所示。

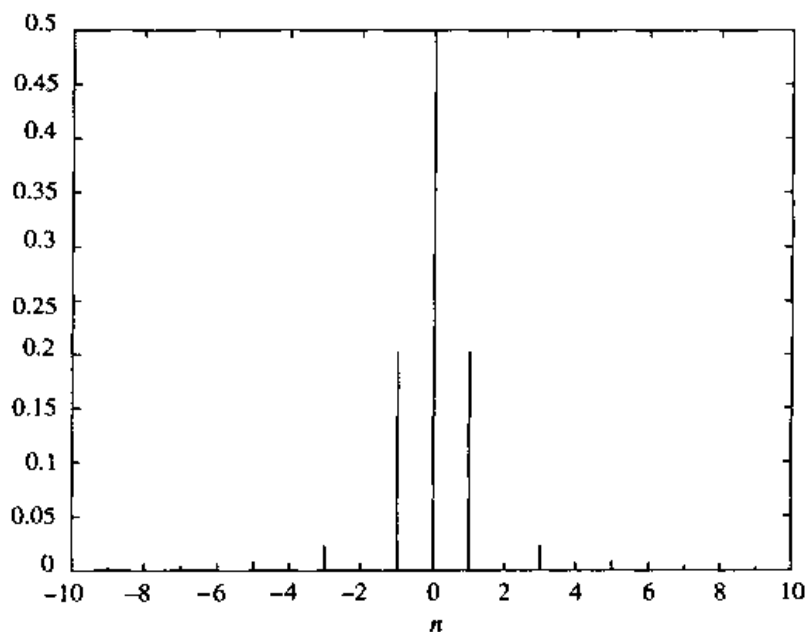


图 1.11 信号的离散谱

3. 首先必须导出系统的传递函数  $H(f)$ 。虽然这可以用解析的方法来完成, 但我们还是愿意采用数值的方法。所得到的传递函数幅度以及  $H(n/T_0) = H(n/2)$  的幅度如图 1.12 所示。为求得输出的离散谱, 使用如下关系

$$y_n = x_n H\left(\frac{n}{T_0}\right) \quad (1.2.38)$$

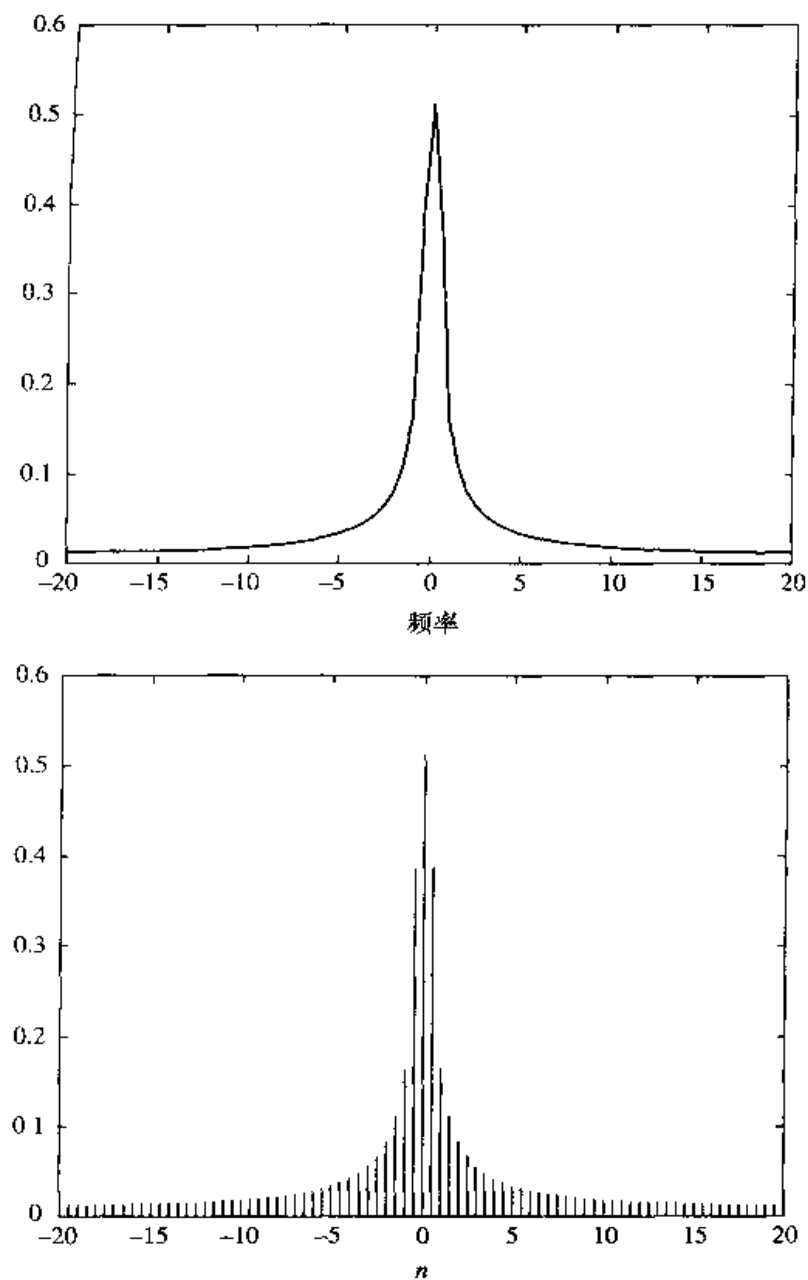
$$= \frac{1}{2} \text{sinc}^2\left(\frac{n}{2}\right) H\left(\frac{n}{2}\right) \quad (1.2.39)$$

图 1.13 即为输出的离散谱。

这个题的 MATLAB 脚本给出如下。

### M 文件

```
% MATLAB script for Illustrative Problem 1.4.
echo on
n=[-20:1:20];
% Fourier series coefficients of x(t) vector
```

图 1.12 该 LTI 系统的传递函数和  $H(n/2)$  的幅度

```

x=.5*(sinc(n/2)).^2;
% sampling interval
ts=1/40;
% Time vector
t=[-.5:ts:1.5];
% impulse response
fs=1/ts;
h=[zeros(1,20),t(21:61),zeros(1,20)];

```

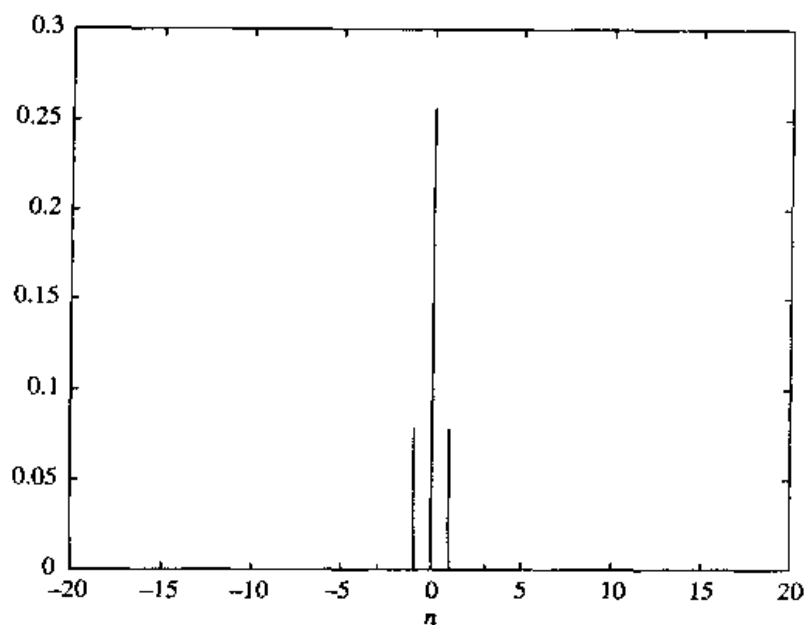


图 1.13 输出的离散谱

```
% transfer function
H=fft(h)/fs;
% frequency resolution
df=fs/80;
f=[0:df:fs]-fs/2;
% rearrange H
H1=fftshift(H);
y=x.*H1(21:61);
% Plotting commands follow
```

### 1.3 傅里叶变换

傅里叶变换是傅里叶级数对非周期信号的推广。一个满足狄里赫利条件[1]的信号  $x(t)$ , 其傅里叶变换(记为  $X(f)$ , 或  $\mathcal{F}$ )定义为

$$\mathcal{F}[x(t)] = X(f) = \int_{-\infty}^{\infty} x(t) e^{-j2\pi ft} dt \quad (1.3.1)$$

$X(f)$  的反傅里叶变换是  $x(t)$ , 为

$$\mathcal{F}^{-1}[X(f)] = x(t) = \int_{-\infty}^{\infty} X(f) e^{j2\pi ft} df \quad (1.3.2)$$

其中  $x(t)$  为实信号, 那么  $X(f)$  就满足 Hermitian 对称, 即

$$X(-f) = X^*(f) \quad (1.3.3)$$

傅里叶变换满足几个性质,其中最重要的性质综合如下:

1. **线性**:两个或更多个信号线性组合的傅里叶变换就是相应单个傅里叶变换的线性组合,即

$$\mathcal{F}[ax_1(t) + \beta x_2(t)] = a\mathcal{F}[x_1(t)] + \beta\mathcal{F}[x_2(t)] \quad (1.3.4)$$

2. **对偶性**:若  $X(f) = \mathcal{F}[x(t)]$ , 则

$$\mathcal{F}[X(t)] = x(-f) \quad (1.3.5)$$

3. **时移**:在时域内的移位就导致频域内的相移。若  $X(f) = \mathcal{F}[x(t)]$ , 则

$$\mathcal{F}[x(t - t_0)] = e^{-j2\pi f t_0} X(f) \quad (1.3.6)$$

4. **尺度变换**:在时域内的扩展就导致频域内的压缩,反之亦然。若  $X(f) = \mathcal{F}[x(t)]$ , 则

$$\mathcal{F}[x(at)] = \frac{1}{|a|} X\left(\frac{f}{a}\right), \quad a \neq 0 \quad (1.3.7)$$

5. **调制**:在时域内乘以指数相应于在频域内的频移。若  $X(f) = \mathcal{F}[x(t)]$ , 则

$$\begin{cases} \mathcal{F}[e^{j2\pi f_0 t} x(t)] = X(f - f_0) \\ \mathcal{F}[x(t) \cos(2\pi f_0 t)] = \frac{1}{2} [2X(f - f_0) + X(f + f_0)] \end{cases} \quad (1.3.8)$$

6. **微分**:在时域内的微分相应于在频域乘以  $j2\pi f$ 。若  $X(f) = \mathcal{F}[x(t)]$ , 则

$$\mathcal{F}[x'(t)] = j2\pi f X(f) \quad (1.3.9)$$

$$\mathcal{F}\left[\frac{d^n}{dt^n}\right] = (j2\pi f)^n X(f) \quad (1.3.10)$$

7. **卷积**:时域卷积等效于频域相乘,反之亦然。若有  $X(f) = \mathcal{F}[x(t)]$  和  $Y(f) = \mathcal{F}[y(t)]$ , 则

$$\mathcal{F}[x(t) * y(t)] = X(f) Y(f) \quad (1.3.11)$$

$$\mathcal{F}[x(t)y(t)] = X(f) * Y(f) \quad (1.3.12)$$

8. **帕斯瓦尔(Parseval)定理**:若  $X(f) = \mathcal{F}[x(t)]$  和  $Y(f) = \mathcal{F}[y(t)]$ , 则

$$\int_{-\infty}^{\infty} x(t)y^*(t)dt = \int_{-\infty}^{\infty} X(f)Y^*(f)df \quad (1.3.13)$$

$$\int_{-\infty}^{\infty} |x(t)|^2 dt = \int_{-\infty}^{\infty} |X(f)|^2 df \quad (1.3.14)$$

第2个关系也称瑞利(Rayleigh)定理。

表1.1给出了若干最有用的傅里叶变换对。表中  $u_{-1}(t)$  代表单位阶跃函数,  $\delta(t)$  代表冲激信号,  $\text{sgn}(t)$  是符号函数, 定义为

$$\text{sgn}(t) = \begin{cases} 1, & t > 0 \\ 0, & t = 0 \\ -1, & t < 0 \end{cases} \quad (1.3.15)$$

而  $\delta^{(n)}(t)$  代表冲激信号的  $n$  阶导数。

表 1.1 傅里叶变换对表

|  |  |
|--|--|
| $x(t)$                                       | $X(f)$   |
| $\delta(t)$                                  | 1  |
| 1  | $\delta(f)$  |
| $\delta(t - t_0)$                            | $e^{-j2\pi f t_0}$   |
| $e^{j2\pi f_0 t}$ ①                          | $\delta(f - f_0)$  |
| $\cos(2\pi f_0 t)$                           | $\frac{1}{2} \delta(f - f_0) + \frac{1}{2} \delta(f + f_0)$                    |
| $\sin(2\pi f_0 t)$                           | $\frac{1}{2} \delta(f - f_0) - \frac{1}{2} \delta(f + f_0)$                    |
| $\Pi(t)$                                     | $\text{sinc}(f)$   |
| $\text{sinc}(t)$                             | $\Pi(f)$   |
| $\Lambda(t)$                                 | $\text{sinc}^2(f)$   |
| $\text{sinc}^2(t)$                           | $\Lambda(f)$   |
| $e^{-\alpha t} u_{-1}(t), \alpha > 0$        | $\frac{1}{\alpha + j2\pi f}$   |
| $t e^{-\alpha t} u_{-1}(t), \alpha > 0$      | $-\frac{1}{(\alpha + j2\pi f)^2}$  |
| $e^{-\alpha t^2}, \alpha > 0$                | $\frac{\sqrt{\alpha}}{\alpha^2 + (2\pi f)^2}$                                  |
| $e^{-\pi t^2}$                               | $e^{-\pi f^2}$   |
| $\text{sgn}(t)$                              | $\frac{1}{j\pi f}$   |
| $u_{-1}(t)$                                  | $\frac{1}{2} \delta(f) + \frac{1}{j2\pi f}$                                    |
| $\delta'(t)$                                 | $j2\pi f$  |
| $\delta^{(n)}(t)$                            | $(j2\pi f)^n$  |
| $\sum_{n=-\infty}^{\infty} \delta(t - nT_0)$ | $\frac{1}{T_0} \sum_{n=-\infty}^{\infty} \delta\left(f - \frac{n}{T_0}\right)$ |

对于一个周期信号  $x(t)$ , 周期为  $T_0$ , 其傅里叶级数系数由  $x_n$  给出, 也即

$$x(t) = \sum_{n=-\infty}^{\infty} x_n e^{j2\pi n t / T_0}$$

$x(t)$  的傅里叶变换为

$$X(f) = \mathcal{F}[x(t)]$$

① 译者注: 原著此处为“ $e^{j2\pi f t_0}$ ”

$$\begin{aligned}
 &= \mathcal{F}\left[\sum_{n=-\infty}^{\infty} x_n e^{j2\pi n t / T_0}\right] \\
 &= \sum_{n=-\infty}^{\infty} x_n \mathcal{F}\left[e^{j2\pi n t / T_0}\right] \\
 &= \sum_{n=-\infty}^{\infty} x_n \delta\left(f - \frac{n}{T_0}\right)
 \end{aligned} \quad (1.3.16)$$

换句话说,一个周期信号的傅里叶变换由发生在原信号基波频率整倍数(谐波)频率处的冲激所组成。

利用截断信号  $x_{T_0}(t)$  的傅里叶变换  $X_{T_0}(f)$  也能表示傅里叶级数,系数  $x_n$  为

$$x_n = \frac{1}{T_0} X_{T_0}\left(\frac{n}{T_0}\right) \quad (1.3.17)$$

这里  $x_{T_0}(t)$  定义为

$$x_{T_0}(t) = \begin{cases} x(t), & -\frac{T_0}{2} < t \leq \frac{T_0}{2} \\ 0, & \text{其余 } t \end{cases} \quad (1.3.18)$$

信号的傅里叶变换称为信号的频谱。信号的频谱一般是一个复函数  $X(f)$ , 因此为了画出频谱,通常要用两张图:幅度谱  $|X(f)|$  和相位谱  $\angle X(f)$ 。

### 解答题

#### 解答题 1.5 [傅里叶变换]

画出图 1.14 中信号  $x_1(t)$  和  $x_2(t)$  的幅度和相位谱。

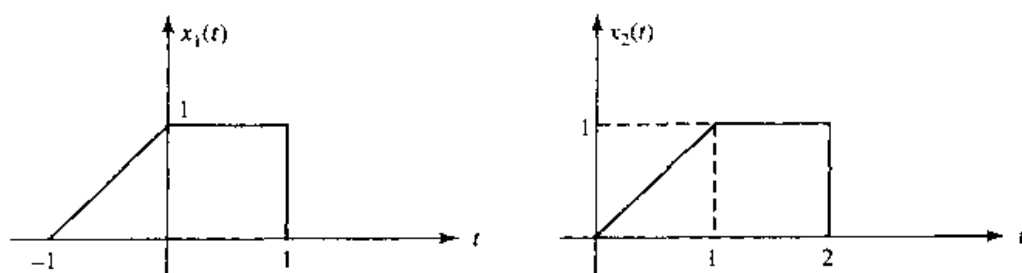
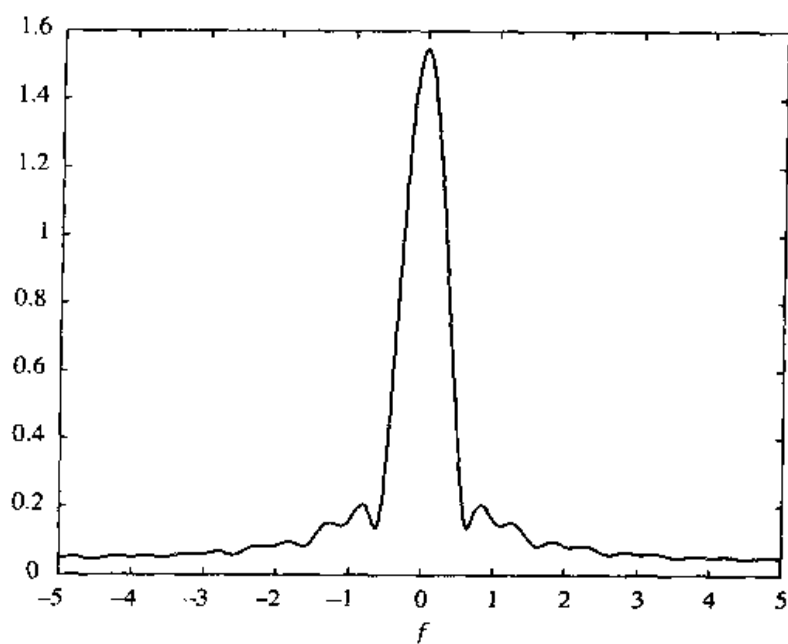
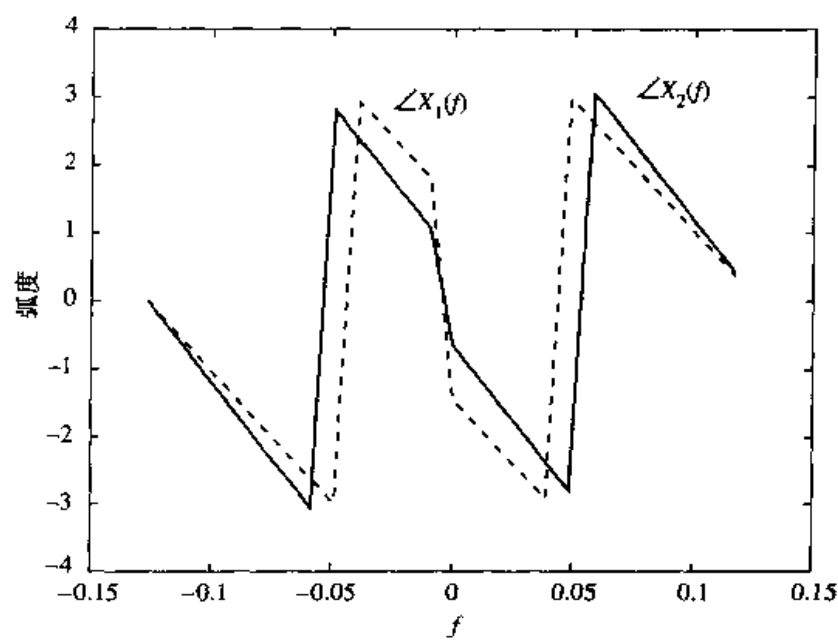


图 1.14 信号  $x_1(t)$  和  $x_2(t)$

### 题解

因为这两个信号除了一个时移外是相同的,所以会有相同的幅度谱。相同的幅度谱和两个相位谱分别画在同一坐标轴上,如图 1.15 和图 1.16 所示。

这个题的 MATLAB 脚本给出如下。在 1.3.1 节将说明如何用 MATLAB

图 1.15 信号  $x_1(t)$  和  $x_2(t)$  的幅度谱图 1.16 信号  $x_1(t)$  和  $x_2(t)$  的相位谱

求得一个信号的傅里叶变换。



## M 文件

```
% MATLAB script for Illustrative Problem 1.5
df=0.01;
fs=10;
ts=1/fs;
t=-5:ts:5;
x1=zeros(size(t));
x1(41:51)=(41:51)+1;
x1(52:61)=ones(size(x1(52:61)));
x2=zeros(size(t));
x2(51:71)=x1(41:61);
[X1,x11,df1]=fftseq(x1,ts,df);
[X2,x21,df2]=fftseq(x2,ts,df);
X11=X1/fs;
X21=X2/fs;
f=[0:df1:df1*(length(x11)-1)]-fs/2;
plot(f,fftshift(abs(X11)))
figure
plot(f(500:525),fftshift(angle(X11(500:525))),f(500:525),fftshift(angle(X21(500:525))),'- -')
```

## 1.3.1 采样定理

在信号与系统分析中,采样定理是最重要的结果之一,它构成了连续时间信号和离散时间信号之间关系的基础。采样定理是说,一个带限信号,即信号的傅里叶变换对某个  $W$  有  $|f| > W$  为零,可以完全用在间隔为  $T_s$  的时刻所取得的样本值来表示,只要  $T_s \leq 1/(2W)$ 。如果采样在间隔为  $T_s = 1/(2W)$  (称为奈奎斯特间隔或奈奎斯特率)下完成,那么  $x(t)$  就能按

$$x(t) = \sum_{n=-\infty}^{\infty} x(nT_s) \text{sinc}(2W(t - nT_s)) \quad (1.3.19)$$

由样本值  $|x(n) = x(nT_s)|_{n=-\infty}^{\infty}$  给予重建。这一结果是基于已采样波形  $x_\delta(t)$  定义为

$$x_\delta(t) = \sum_{n=-\infty}^{\infty} x(nT_s) \delta(t - nT_s) \quad (1.3.20)$$

它的傅里叶变换为

$$X_\delta(f) = \begin{cases} \frac{1}{T_s} \sum_{n=-\infty}^{\infty} X\left(f - \frac{n}{T_s}\right), & \text{对全部 } f \\ \frac{1}{T_s} X(f), & |f| < W \end{cases} \quad (1.3.21)$$

所以将它通过一个带宽为  $W$ ,通带内增益为  $T_s$  的低通滤波器就将原信号恢复。

图 1.17 表示的是(1.3.19)式在  $T_s=1$  和  $|x(n)|_{n=-3}^3 = \{1, 1, -1, 2, -2,$

1,2}时的结果,也即

$$x(t) = \text{sinc}(t+3) + \text{sinc}(t+2) - \text{sinc}(t+1) + 2\text{sinc}(t) \\ - 2\text{sinc}(t-1) + \text{sinc}(t-2) + 2\text{sinc}(t-3)$$

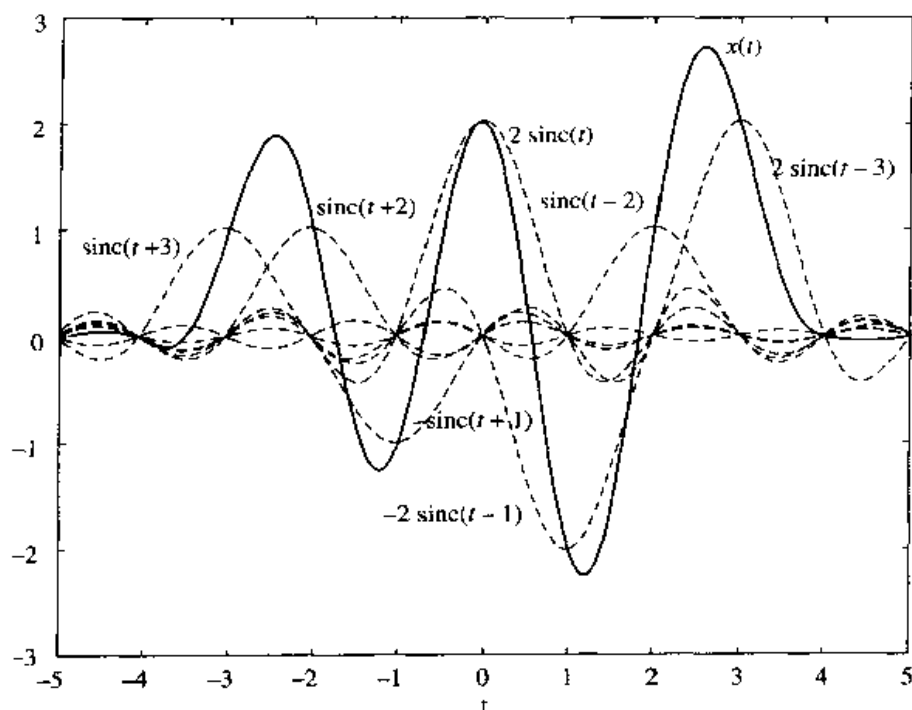


图 1.17 采样定理的表示

离散时间序列  $x[n]$  的离散傅里叶变换(DFT)表示为

$$X_d(f) = \sum_{n=-\infty}^{\infty} x[n] e^{j2\pi f n T_s} \quad (1.3.22)$$

将它与(1.3.21)式作比较后可得

$$X(f) = T_s X_d(f), \quad |f| < W \quad (1.3.23)$$

它给出了模拟信号的傅里叶变换和它的对应已采样信号的离散傅里叶变换之间的关系。

经由著名的快速傅里叶变换(FFT)算法可以对离散傅里叶变换完成数值计算。在这个算法中,在  $T_s$  间隔点上所取得的  $x(t)$  的  $N$  个样本序列用作该信号的表示,其结果就是在频率间隔  $[0, f_s]$  上的  $X_d(f)$  的  $N$  个样本序列,这里  $f_s = 1/T_s = 2W$  是奈奎斯特频率。当这些样本是以  $\Delta f = f_s/N$  分隔开时,  $\Delta f$  值就给出了所得傅里叶变换的频率分辨率。如果输入序列的长度  $N$  是 2 的幂,FFT 算法在计算上是高效的。在很多情况下,如果序列长度不是 2 的幂,可以通过补零等技术使其成为 2 的幂。值得注意的是,因为 FFT 算法实质上只给出了已采

样信号的 DFT, 为了得到模拟信号的傅里叶变换, 还必须使用(1.3.23)式。这意味着在计算出 FFT 之后还必须将其乘以  $T_s$ , 或者等效为除以  $f_s$  以得出原模拟信号的傅里叶变换。

下面给出的 MATLAB 函数 `fftseq.m` 将时间序列  $m$ , 采样间隔  $t_s$  和要求的频率分辨率  $df$  作为输入, 就得长度为 2 的幂的序列, 这个序列的 FFT( $M$ ) 和所要的频率分辨率。

## M 文件

```
function [M,m,df]=fftseq(m,ts,df)
%           [M,m,df]=fftseq(m,ts,df)
%           [M,m,df]=fftseq(m,ts)
%FFTSEQ    Generates M, the FFT of the sequence m.
%           The sequence is zero-padded to meet the required frequency resolution df.
%           ts is the sampling interval. The output df is the final frequency resolution.
%           Output m is the zero-padded version of input m. M is the FFT.
fs=1/ts;
if nargin == 2
    n1=0;
else
    n1=fs/df;
end
n2=length(m);
n=2^(max(nextpow2(n1),nextpow2(n2)));
M=fft(m,n);
m=[m,zeros(1,n-n2)];
df=fs/n;
```

## 解说题

### 解说题 1.6 [傅里叶变换的解析求解和数值求解]

信号  $x(t)$  为

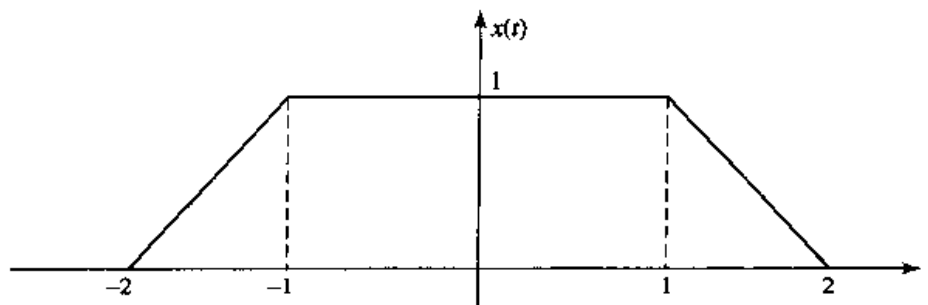
$$x(t) = \begin{cases} t+2, & -2 \leq t \leq -1 \\ 1, & -1 < t \leq 1 \\ -t+2, & 1 < t \leq 2 \\ 0, & \text{其余 } t \end{cases} \quad (1.3.24)$$

如图 1.18 所示。

1. 用解析法求  $x(t)$  的傅里叶变换, 并画出  $x(t)$  的频谱。
2. 用 MATLAB 求出该傅里叶变换的数值解, 并画出结果。

## 题解

1. 信号  $x(t)$  可以写成

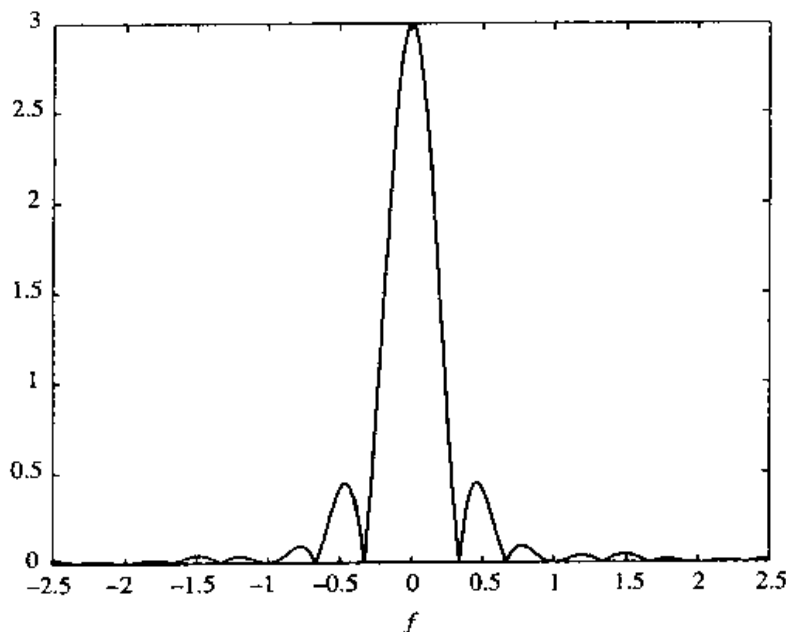
图 1.18 信号  $x(t)$ 

$$x(t) = 2\Lambda\left(\frac{t}{2}\right) - \Lambda(t) \quad (1.3.25)$$

因此有

$$X(f) = 4\sin^2(2f) - \sin^2(f) \quad (1.3.26)$$

其中已经用了线性、尺度变换和  $\Lambda(t)$  的傅里叶变换是  $\text{sinc}^2(f)$  这些条件。显然,该傅里叶变换是实函数。幅度谱如图 1.19 所示。

图 1.19 用解析法求出  $x(t)$  的幅度谱

2. 为了用 MATLAB 求傅里叶变换,首先要给出该信号带宽的大致估计。因为这个信号相对比较平滑,它的带宽正比于信号持续时间的倒数,该信号的持续时间是 4。为了安全可靠起见,带宽取为信号持续时间的倒数的 10 倍,即

$$BW = 10 \times \frac{1}{4} = 2.5 \quad (1.3.27)$$

奈奎斯特频率是带宽的2倍,即为5,采样间隔  $T_s = 1/f_s = 0.2\text{s}$ 。现考虑在区间  $[-4, 4]$  内,以  $T_s$  对信号采样。有了这些选取之后,就可用使用 `fftseq.m` 函数的简单 MATLAB 脚本得出数值解 FFT。已经选定的所要求的频率分辨率是  $0.01\text{ Hz}$ ,而用 `fftseq.m` 得到的频率分辨率是  $0.0098\text{ Hz}$ ,它满足本题的要求。长度为41的信号向量  $x$  通过补零补到256长度以满足频率分辨率的要求,同时对高效计算使长度成为2的幂。傅里叶变换的幅度谱如图1.20所示。

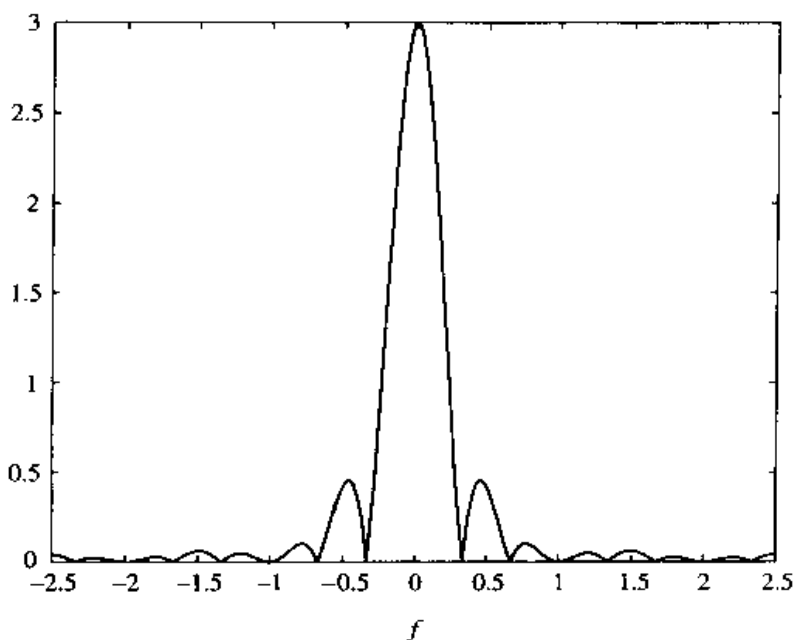


图 1.20 用数值法求得的  $x(t)$  幅度谱

这个题的 MATLAB 脚本给出如下。

### M 文件

```
% MATLAB script for Illustrative Problem 1.6
echo on
ts=0.2;                                % set parameters
fs=1/ts;
df=0.01;
x=[zeros(1,10),[0:0.2:1],ones(1,9),[1:-0.2:0],zeros(1,10)];
[X,x,df1]=fftseq(x,ts,df);             % derive the FFT
X1=X/fs;                                % scaling
f=[0:df1:df1*(length(x)-1)]-fs/2;      % frequency vector for FFT
f1=[-2.5:0.001:2.5];                   % frequency vector for analytic approach
y=4*(sinc(2*f1)).^2-(sinc(f1)).^2;      % Exact Fourier Transform
```

---

```

pause % Press a key to see the plot of the Fourier transform derived analytically
clf
subplot(2,1,1)
plot(f1,abs(y));
xlabel('Frequency')
title('Magnitude Spectrum of x(t) derived analytically')
pause % Press a key to see the plot of the Fourier transform derived numerically
subplot(2,1,2)
plot(f,fftshift(abs(X1)));
xlabel('Frequency')
title('Magnitude Spectrum of x(t) derived numerically')

```

---

### 1.3.2 LTI 系统的频域分析

当输入信号为  $x(t)$  时,冲激响应为  $h(t)$  的 LTI 系统的输出由卷积积分给出

$$y(t) = x(t) * h(t) \quad (1.3.28)$$

应用卷积定理可得

$$Y(f) = X(f)H(f) \quad (1.3.29)$$

式中

$$H(f) = \mathcal{F}[h(t)] = \int_{-\infty}^{\infty} h(t)e^{-j2\pi ft} dt \quad (1.3.30)$$

是该系统的传递函数。(1.3.29)式可写成如下形式

$$\begin{cases} |Y(f)| = |X(f)| |H(f)| \\ \angle Y(f) = \angle X(f) + \angle H(f) \end{cases} \quad (1.3.31)$$

该式给出了输入和输出幅度和相位谱之间的关系。

---

## 解答题

---

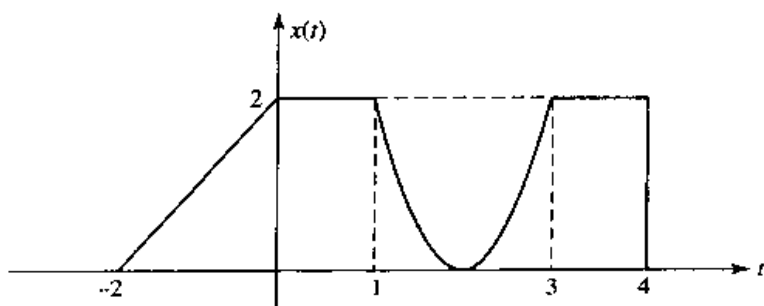
### 解答题 1.7 [LTI 系统在频域内的分析]

信号  $x(t)$  如图 1.21 所示,它由若干直线段和一个正弦的一部分组成。

1. 求该信号的 FFT,并画出它。
2. 若该信号通过带宽为 1.5 Hz 的理想低通滤波器,求该滤波器的输出,并画出它。
3. 若该信号通过一个冲激响应为

$$h(t) = \begin{cases} t, & 0 \leq t < 1 \\ 1, & 1 \leq t \leq 2 \\ 0, & \text{其余 } t \end{cases}$$

的滤波器,画出该滤波器的输出。

图 1.21 信号  $x(t)$ 

## 题 解

首先要导出信号正弦部分的表达式。这个正弦的一半周期是 2, 所以频率为  $f_0 = \frac{1}{4} = 0.25 \text{ Hz}$ 。信号的幅度为 2, 而且被向上提升了 2, 所以对它的一般表达式就为  $2\cos(2\pi \times 0.25t + \theta) + 2 = 2\cos(0.5\pi t + \theta) + 2$ 。相位  $\theta$  值可用如下边界条件来确定

$$2 + \cos(0.5\pi t + \theta) \big|_{t=2} = 0 \quad (1.3.33)$$

即  $\theta = 0$ 。因此, 这个信号可写成

$$x(t) = \begin{cases} t + 2, & -2 \leq t \leq 0 \\ 1, & 0 < t \leq 1 \\ 2 + 2\cos(0.5\pi t), & 1 < t \leq 3 \\ 1, & 3 < t \leq 4 \\ 0, & \text{其余 } t \end{cases} \quad (1.3.34)$$

有了这个信号的完全表达式, 就能继续做下去。

1. 信号带宽已经选为 5 Hz, 要求的频率分辨率是 0.01 Hz。信号幅度谱的图如图 1.22 所示。

2. 现在  $f_c = 5 \text{ Hz}$ 。因为低通滤波器的带宽是 1.5 Hz, 它的传递函数为

$$H(f) = \begin{cases} 1, & 0 \leq f \leq 1.5 \\ 0, & 1.5 < f \leq 3.5 \\ 1, & 3.5 < f \leq 5 \end{cases} \quad (1.3.35)$$

将它乘以  $X(f)$  就得出  $Y(f)$ 。用这个传递函数所得输出的傅里叶变换给出的输出如图 1.23 所示。

3. 现在用简单卷积所得输出如图 1.24 所示。

本题的 MATLAB 脚本给出如下。

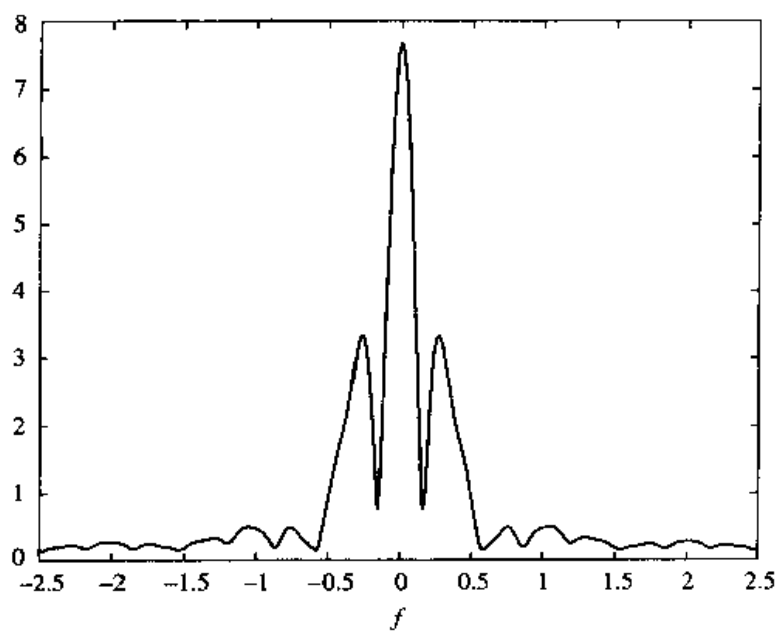


图 1.22 信号的幅度谱

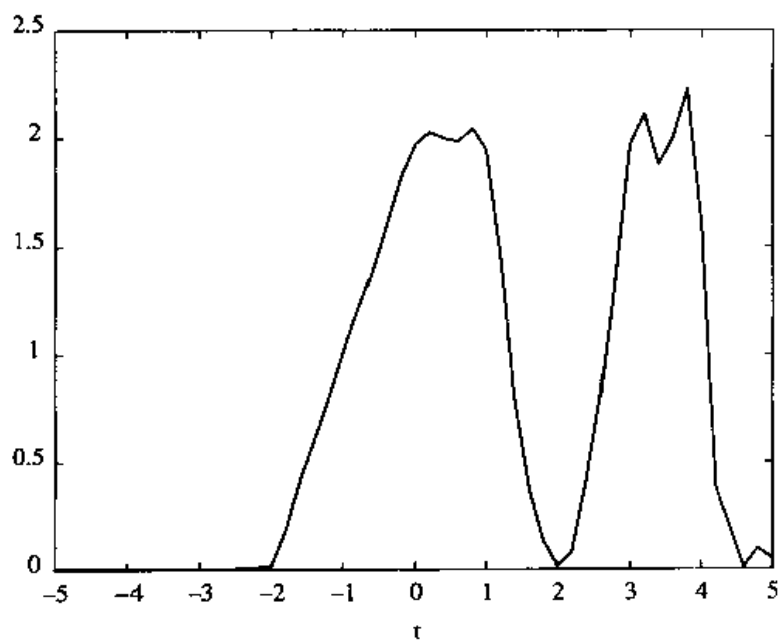


图 1.23 低通滤波器的输出



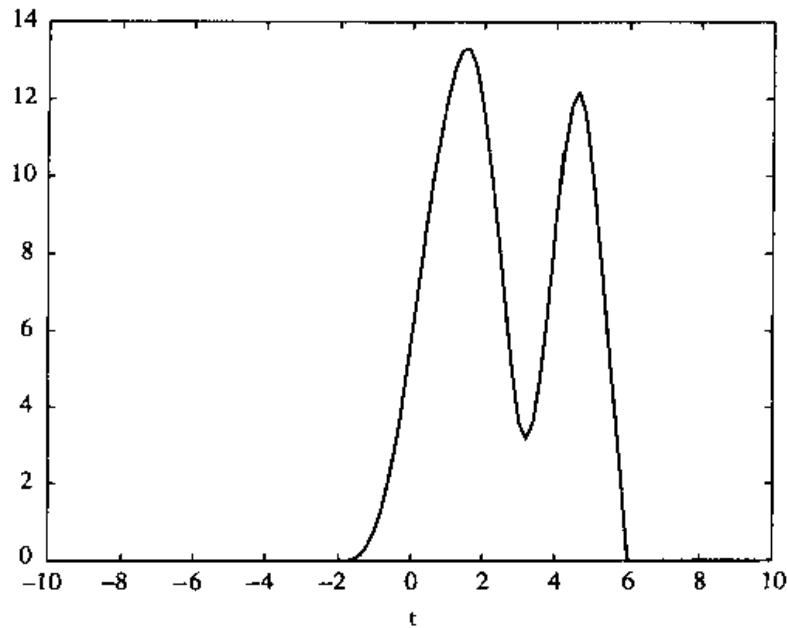


图 1.24 解说题 1.7 中第三部分的输出信号

## M 文件

```
% MATLAB script for Illustrative Problem 1.7.
echo on
df=0.01;                                % Freq. resolution
fs=5;                                    % Sampling frequency
ts=1/fs;                                % Sampling interval
t=[-5:ts:5];                             % Time vector
x=zeros(1,length(t));                   % Input signal initiation
x(16:26)=t(16:26)+2;
x(27:31)=2*ones(1,5);
x(32:41)=2+2*cos(0.5*pi*t(32:41));
x(42:46)=2*ones(1,5);
% Part 1
[X,x1,df1]=fftseq(x,ts,df);             % Spectrum of the input
f=[0:df1:df1*(length(x1)-1)]-fs/2;     % Frequency vector
X1=X/fs;                                % Scaling
% Part 2
% Filter transfer function
H=[ones(1,ceil(1.5/df1)),zeros(1,length(X)-2*ceil(1.5/df1)),ones(1,ceil(1.5/df1))];
Y=X.*H;                                % Output spectrum
y1=ifft(Y);                             % Output of the filter
% Part 3
% LTI system impulse response
h=[zeros(1,ceil(5/ts)),t(ceil(5/ts)+1:ceil(6/ts)),ones(1,ceil(7/ts)-ceil(6/ts)),zeros(1,51-ceil(7/ts))];
y2=conv(h,x);                           % Output of the LTI system
pause % Press a key to see spectrum of the input
plot(f,fftshift(abs(X1)))
```

```

pause % Press a key to see the output of the lowpass filter
plot(t,abs(y)(1:length(t)));
pause % Press a key to see the output of the LTI system
plot([-10:ts:10],y2);

```

## 1.4 功率和能量

一个实信号  $x(t)$  的能量和功率分别记作  $E_X$  和  $P_X$  定义为

$$\begin{cases} E_X = \int_{-\infty}^{\infty} x^2(t) dt \\ P_X = \lim_{T \rightarrow \infty} \frac{1}{T} \int_{-T/2}^{T/2} x^2(t) dt \end{cases} \quad (1.4.1)$$

具有有限能量的信号称为**能量信号**,而具有正的和有限功率的信号称作**功率信号**<sup>①</sup>。例如,  $x(t) = \Pi(t)$  是能量信号的一个例子,而  $x(t) = \cos(t)$  则是功率信号的例子。全部周期信号<sup>②</sup> 都是功率信号。一个能量信号的能谱密度给出了该信号在各个频率上的能量分布,它由

$$g_X(f) = |X(f)|^2 \quad (1.4.2)$$

给出。因此,

$$E_X = \int_{-\infty}^{\infty} g_X(f) df \quad (1.4.3)$$

利用卷积定理,有

$$g_X(f) = \mathcal{F}[R_X(\tau)] \quad (1.4.4)$$

式  $R_X(\tau)$  是  $x(t)$  的**自相关函数**,对实值信号定义为

$$\begin{aligned} R_X(\tau) &= \int_{-\infty}^{\infty} x(t)x(t+\tau) dt \\ &= x(\tau) * x(-\tau) \end{aligned} \quad (1.4.5)$$

对于功率信号定义**时间平均自相关函数**为

$$R_X(\tau) = \lim_{T \rightarrow \infty} \frac{1}{T} \int_{-T/2}^{T/2} x(t)x(t+\tau) dt \quad (1.4.6)$$

和**功率谱密度**为

$$g_X(f) = \mathcal{F}[R_X(\tau)] \quad (1.4.7)$$

总功率是功率谱密度的积分为

$$P_X = \int_{-\infty}^{\infty} g_X(f) df \quad (1.4.8)$$

① 有些信号既非能量信号又非功率信号,如  $x(t) = e^{j\omega_0 t} u_{-1}(t)$ 。

② 唯一的例外是信号处处为零。

对于周期为  $T_0$  的周期信号的特例,其傅里叶级数系数为  $x_n$ ,功率谱密度就为

$$\mathcal{U}_X(f) = \sum_{n=-\infty}^{\infty} |x_n|^2 \delta(f - \frac{n}{T_0}) \quad (1.4.9)$$

这意味着全部功率都集中在基波频率的各次谐波上,在第  $n$  次谐波( $n/T_0$ )的功率是  $|x_n|^2$ ,即相应傅里叶级数系数的模平方。

当信号  $x(t)$  通过传递函数为  $H(f)$  的滤波器时,输出的能量谱密度,或功率谱密度由下式求得

$$\begin{cases} g_Y(f) = |H(f)|^2 g_X(f) \\ \mathcal{U}_Y(f) = |H(f)|^2 \mathcal{U}_X(f) \end{cases} \quad (1.4.10)$$

若用离散时间(已采样)信号,与(1.4.1)式相当的能量和功率关系变成

$$\begin{cases} E_X = T_s \sum_{n=-\infty}^{\infty} x^2[n] \\ P_X = \lim_{N \rightarrow \infty} \frac{1}{2N+1} \sum_{n=-N}^N x^2[n] \end{cases} \quad (1.4.11)$$

如果使用 FFT 的话,也即序列的长度是有限长并重复,即

$$\begin{cases} E_X = T_s \sum_{n=0}^{N-1} x^2[n] \\ P_X = \frac{1}{N} \sum_{n=0}^{N-1} x^2[n] \end{cases} \quad (1.4.12)$$

以下的 MATLAB 函数 power.m 给出信号向量的功率含量

## M 文件

```
function p=power(x)
%           p=power(x)
%POWER     Returns the power in signal x
p=(norm(x)^2)/length(x);
```

如果  $X_d(f)$  是序列  $x[n]$  的 DFT,那么  $x(t)$  的能量谱密度(等效的模拟信号)可用(1.3.23)式求得,并给出

$$g_X(f) = T_s^2 |X_d(f)|^2 \quad (1.4.13)$$

式中  $T_s$  是采样间隔。序列  $x[n]$  的功率谱密度最容易用 MATLAB 函数 spectrum.m 求得。

## 解说题

### 解说题 1.8 [功率及功率谱]

有一持续期为 10,且为两个单位振幅的正弦信号之和的信号  $x(t)$ ,其中一

个频率为 47 Hz, 另一个为 219 Hz:

$$x(t) = \begin{cases} \cos(2\pi \times 47t) + \cos(2\pi \times 219t), & 0 \leq t \leq 10 \\ 0, & \text{其余 } t \end{cases}$$

该信号以采样率 1 000 样本/s 采样。用 MATLAB 求该信号的功率和功率谱密度。

### 题 解

用 MATLAB 函数 `spower.m`, 该信号的功率求得为 1.000 3 W。用 `spectrum.m` 和 `specplot.m` 能画出该信号的功率谱密度如图 1.25 所示。在图中功率谱的双峰对应于信号中存在的两个频率。

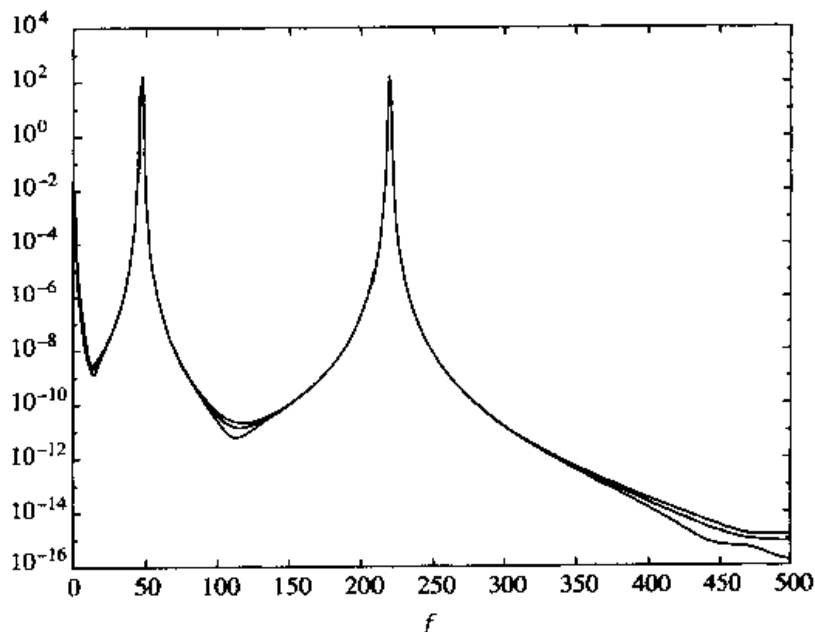


图 1.25 由频率为  $f_1 = 47$  Hz 和  $f_2 = 219$  Hz 的两个正弦信号组成的信号的功率谱密度

本题的 MATLAB 脚本如下。

### M 文件

```
% MATLAB script for Illustrative Problem 1.8.
ts=0.001;
fs=1/ts;
t=[0:ts:10];
x=cos(2*pi*47*t)+cos(2*pi*219*t);
p=spower(x);
psd=spectrum(x,1024);
```

```

pause    % Press a key to see the power in the signal
P
pause    % Press a key to see the power spectrum
specplot(psd,fs)

```

## 1.5 带通信号的低通等效

一个带通信号就是其全部频率分量都位于某一中心频率  $f_0$  (自然也在  $-f_0$ ) 附近的信号。换句话说,带通信号有  $x(f)=0$ , 对  $|f \pm f_0| > W$ , 这里  $W \ll f_0$ 。一个低通信号是其频率分量均位于零频率附近的信号,即对于  $|f| > W$ , 有  $X(f)=0$ 。

对应于一带通信号  $x(t)$ , 可以定义解析信号  $z(t)$ , 它的傅里叶变换由下式给出

$$Z(f) = 2u_{-1}(f)X(f) \quad (1.5.1)$$

式中  $u_{-1}(f)$  是单位阶跃函数。在时域这一关系可写为

$$z(t) = x(t) + j\hat{x}(t) \quad (1.5.2)$$

式中  $\hat{x}(t)$  记作  $x(t)$  的希尔伯特变换, 即  $\hat{x}(t) = x(t) * (1/\pi t)$ , 在频域为

$$\hat{X}(f) = -j \operatorname{sgn}(f)X(f) \quad (1.5.3)$$

在 MATLAB 中, 希尔伯特变换函数记为 `hilbert.m`, 它产生复序列  $z(t)$ 。  $z(t)$  的实部是原序列, 而它的虚部则是原序列的希尔伯特变换。

信号  $x(t)$  的低通等效记作  $x_l(t)$ , 用  $z(t)$  表示为

$$x_l(t) = z(t)e^{-j2\pi f_0 t} \quad (1.5.4)$$

根据这个关系, 有

$$\begin{cases} x(t) = \operatorname{Re}[x_l(t)e^{j2\pi f_0 t}] \\ \hat{x}(t) = \operatorname{Im}[x_l(t)e^{j2\pi f_0 t}] \end{cases} \quad (1.5.5)$$

在频域就为

$$X_l(f) = Z(f + f_0) = 2u_{-1}(f + f_0)X(f + f_0) \quad (1.5.6)$$

和

$$X_l(f) = X(f - f_0) + X^*(-f - f_0) \quad (1.5.7)$$

一般而言, 一个实带通信号的低通等效是一个复信号; 它的实部  $x_c(t)$  称为  $x(t)$  的同相分量, 而它的虚部  $x_s(t)$  称为  $x(t)$  的正交分量, 即

$$x_l(t) = x_c(t) + jx_s(t) \quad (1.5.8)$$

利用同相和正交分量, 有

$$\begin{cases} x(t) = x_c(t)\cos(2\pi f_0 t) - x_s(t)\sin(2\pi f_0 t) \\ \hat{x}(t) = x_s(t)\cos(2\pi f_0 t) + x_c(t)\sin(2\pi f_0 t) \end{cases} \quad (1.5.9)$$

如果将  $x_1(t)$  用极坐标表示, 则有

$$x_1(t) = V(t)e^{j\Theta(t)} \quad (1.5.10)$$

式中  $V(t)$  和  $\Theta(t)$  称为信号  $x(t)$  的包络和相位。利用这两个量, 有

$$x(t) = V(t)\cos(2\pi f_0 t + \Theta(t)) \quad (1.5.11)$$

包络和相位可表示为

$$\begin{cases} V(t) = \sqrt{x_c^2(t) + x_s^2(t)} \\ \Theta(t) = \arctan \frac{x_s(t)}{x_c(t)} \end{cases} \quad (1.5.12)$$

或者等效为

$$\begin{cases} V(t) = \sqrt{x^2(t) + \hat{x}^2(t)} \\ \Theta(t) = \arctan \frac{\hat{x}(t)}{x(t)} - 2\pi f_0 t \end{cases} \quad (1.5.13)$$

由上面关系很显然, 包络是与  $f_0$  的选取无关的, 而相位则与这个选取有关。

已经写成了一些简单的 MATLAB 文件供产生解析信号、一个信号的低通表示、同相和正交分量以及包络和相位。这些 MATLAB 函数分别是 `analytic.m`, `loweq.m`, `quadcomp.m` `env` `phas.m`。这些函数列出如下:

---

### M 文件

---

```
function z=analytic(x)
%          z=analytic(x)
%ANALYTIC    Returns the analytic signal corresponding to signal x.
%
z=hilbert(x);
```

---



---

### M 文件

---

```
function xl=loweq(x,ts,f0)
%          xl=loweq(x,ts,f0)
%LOWEQ      Returns the lowpass equivalent of the signal x.
%          f0 is the center frequency.
%          ts is the sampling interval.
%
t=[0:ts:ts*(length(x)-1)];
z=hilbert(x);
xl=z.*exp(-j*2*pi*f0*t);
```

---

## M 文件

```
function [xc,xs]=quadcomp(x,ts,f0)
%           [xc,xs]=quadcomp(x,ts,f0)
%QUADCOMP Returns the in-phase and quadrature components of
%           the signal x. f0 is the center frequency. ts is the
%           sampling interval.
%
z=loweq(x,ts,f0);
xc=real(z);
xs=imag(z);
```

## M 文件

```
function [v,phi]=env_phas(x,ts,f0)
%           [v,phi]=env_phas(x,ts,f0)
%           v=env_phas(x,ts,f0)
%ENV_PHAS Returns the envelope and the phase of the bandpass signal x.
%           f0 is the center frequency.
%           ts is the sampling interval.
%
if nargin == 2
    z=loweq(x,ts,f0);
    phi=angle(z);
end
v=abs(hilbert(x));
```

## 解说题

## 解说题 1.9 [带通到低通变换]

信号  $x(t)$  为

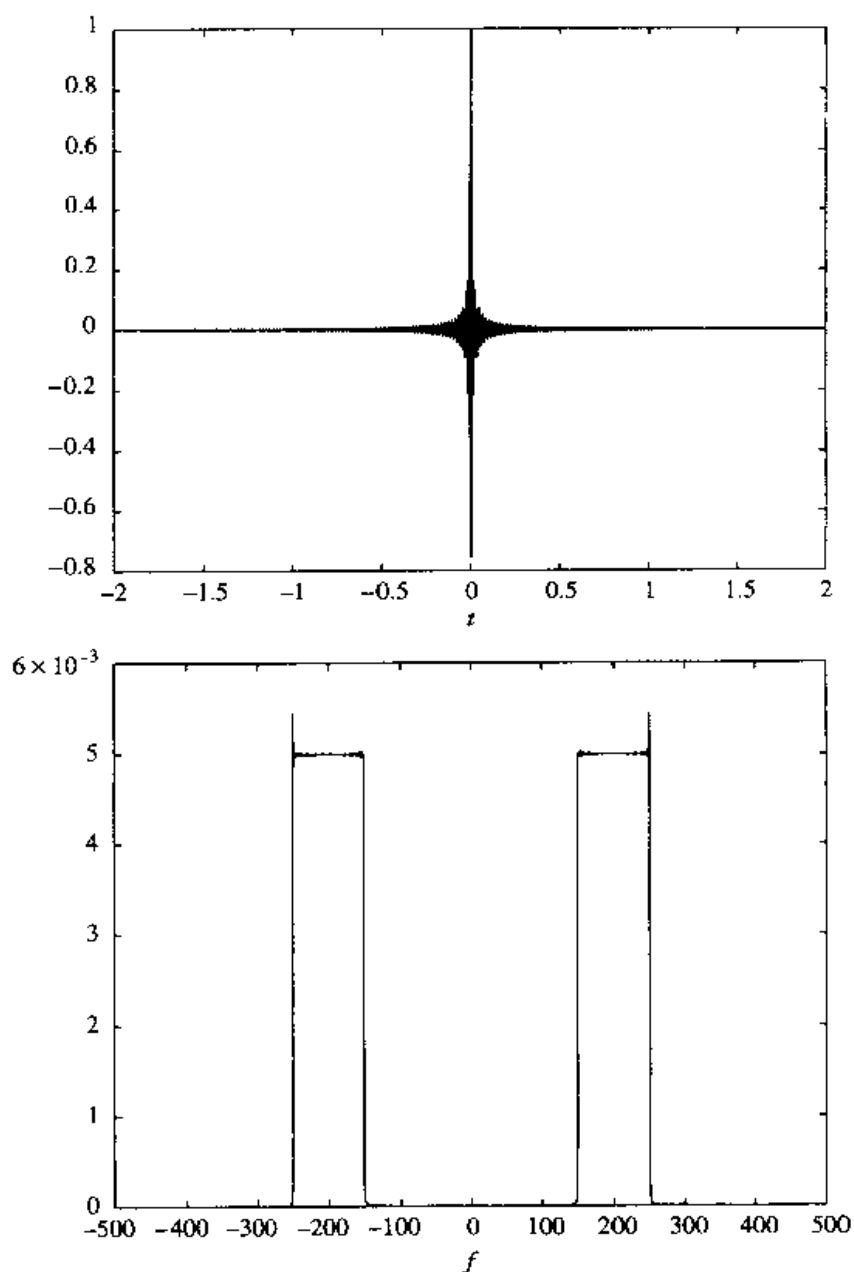
$$x(t) = \text{sinc}(100t) \cos(2\pi \times 200t) \quad (1.5.14)$$

1. 画出该信号和它的幅度谱。
2. 用  $f_0 = 200$  Hz, 求低通等效, 并画出它的幅度谱。
3. 假定  $f_0 = 100$  Hz, 重做第 2 部分。

## 题 解

选取采样间隔  $t_s = 0.001$  s, 采样频率就是  $f_s = 1/t_s = 1\,000$  Hz。选所期望的频率分辨率  $df = 0.5$  Hz, 可有如下结果。

1. 信号图形和它的幅度谱如图 1.26 所示。这两幅图都是用 MATLAB 产生的。

图 1.26 信号  $x(t)$  和它的幅度谱

2. 选  $f_0 = 200$  Hz, 利用 `loweq.m` 函数可求得  $x(t)$  的低通等效。然后用 `fftseq.m` 得到它的谱, 图 1.27 画出了它的幅度谱。

由该图可见, 幅度谱在这种情况下是偶函数, 因为有

$$x(t) = \text{Re}[\text{sinc}(100t)e^{j2\pi \times 200t}] \quad (1.5.15)$$

将它与下式比较

$$x(t) = \text{Re}[x_l(t)e^{j2\pi f_0 t}] \quad (1.5.16)$$



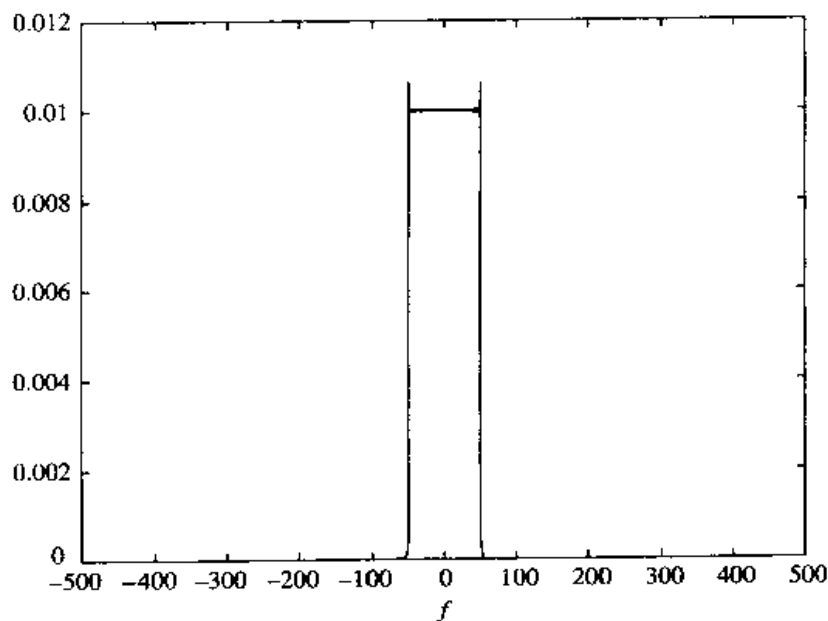


图 1.27 当  $f_0 = 200$  Hz 时, 解答题 1.9 中  $x(t)$  低通等效的幅度谱

可得

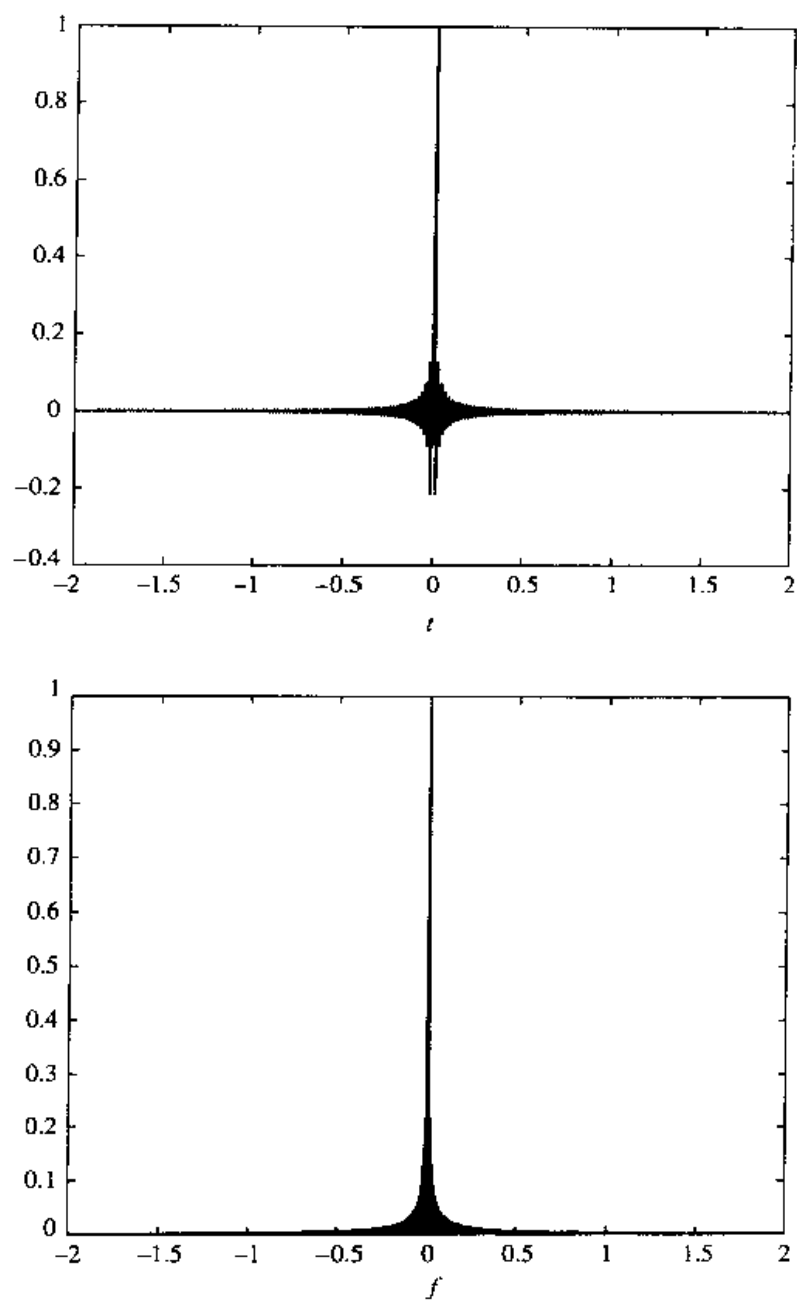
$$x_l(t) = \text{sinc}(100t) \quad (1.5.17)$$

这意味着在这种情况下, 低通等效信号是一个实信号; 这样就是  $x_c(t) = x_l(t)$  和  $x_s(t) = 0$ 。同时, 也可得到

$$\begin{cases} V(t) = |x_c(t)| \\ \Theta(t) = \begin{cases} 0, & x_c(t) \geq 0 \\ \pi, & x_c(t) < 0 \end{cases} \end{cases} \quad (1.5.18)$$

图 1.28 示出  $x_c(t)$  和  $V(t)$  的图。值得注意的是, 选定的频率  $f_0$  就是要在这些图中相对于  $f_0$  而言,  $X(f)$  是对称的结果。

3. 如果  $f_0 = 100$  Hz, 那么一般来说上述的结果是不正确的, 并且  $x_l(t)$  会是一个复信号。这时低通等效信号的幅度谱如图 1.29 所示。从这里可见, 幅度谱并没有在实信号傅里叶变换中所存在的对称性。图 1.30 是  $x(t)$  的同相分量和它的包络图。

图 1.28  $x(t)$  的同相分量和包络

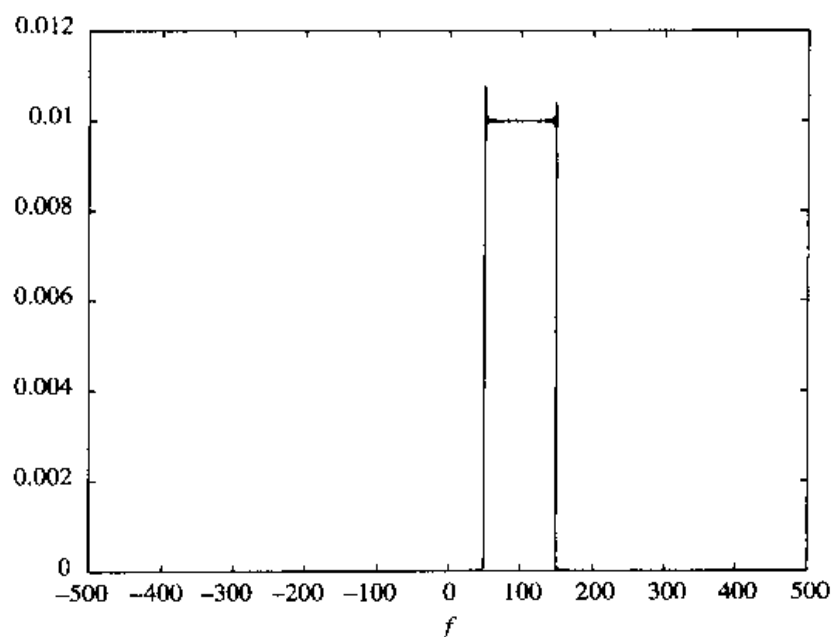


图 1.29 当  $f_0 = 100$  Hz 时, 解答题 1.9 中  $x(t)$  的低通等效的幅度谱

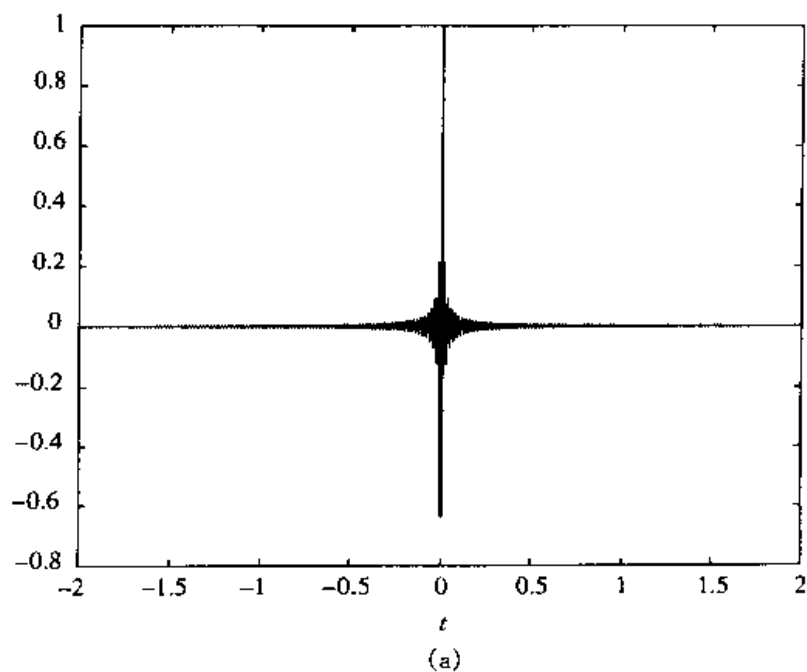


图 1.30 当  $f_0 = 100$  Hz 时, 信号  $x(t)$  的同相分量和包络  
(a) 同相分量;

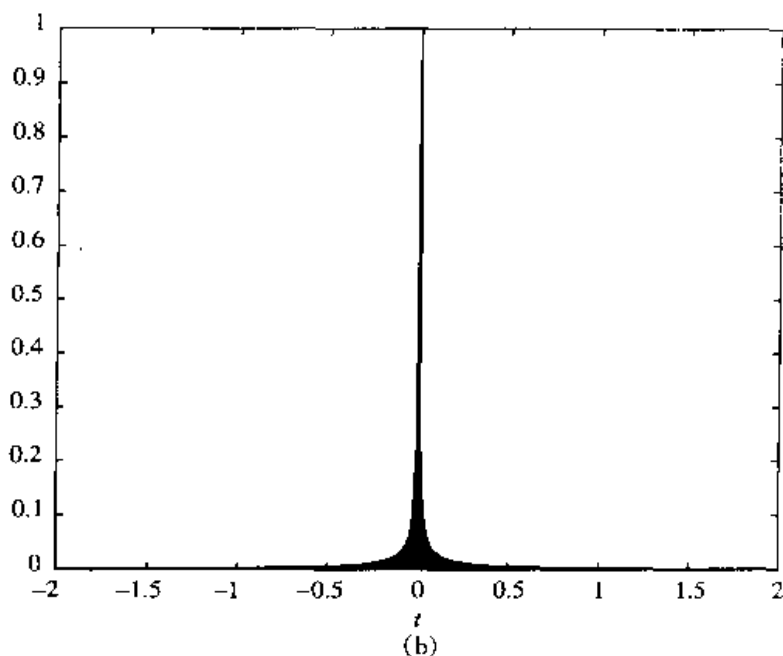


图 1.30(续) (b) 包络

## 习 题

- 1.1 考虑解答题 1.1 并在图 1.1 中展示的周期信号, 假设  $A = 1$ ,  $T_0 = 10$  和  $t_0 = 1$ , 求出并画出该信号的离散谱。将结果与解答题 1.1 的结果进行比较, 陈述它们的差异。
- 1.2 在解答题 1.1 中, 假设  $A = 1$ ,  $T_0 = 4$  和  $t_0 = 2$ , 求出并画出该信号的离散谱。将结果与解答题 1.1 的结果进行比较, 陈述它们的差异。
- 1.3 利用 M 文件 fseries.m 求图 1.1 中的信号在  $A = 1$ ,  $T_0 = 4$  和  $t_0 = \frac{1}{2}$ ,  $-24 \leq n \leq 24$  时的傅里叶级数系数。画出信号的幅度谱。现在再用 (1.25) 式求傅里叶级数系数并画出幅度谱。为什么这些结果不完全相同?
- 1.4 用  $T_0 = 4.6$  重做习题 1.3, 并将结果与用 (1.25) 式所得结果作比较。在这两个结果之间你观察到同样的差异吗? 为什么?
- 1.5 信号  $x(t)$  在区间  $[-2.3, 2.3]$  内的关系是  $x(t) = \Delta(t)$ , 周期  $T_0 = 4.6$ , 利用 MATLAB 脚本 dis\_spect.m 求出并画出该周期信号的幅度和相位谱, 画出在  $-24 \leq n \leq 24$  内的频谱。现在用解析法求该信号的傅里叶级数系数, 并证明全部系数都是非负的实数。你早先所画出的相位谱与这个结果相符吗? 如果不相符, 为什么?
- 1.6 将上题(习题 1.5)中的  $x(t) = \Delta(t)$  的定义区间改为  $[-1.3, 3.3]$ , 周期仍

为  $T_0 = 4.6$ 。利用 MATLAB 脚本 `dis_spect.m` 求出并画出信号的幅度和相位谱。注意,这时信号与习题 1.5 是相同的。请比较这两题中的幅度和相位谱。幅度谱和相位谱中哪一个显出更加显著的差异?为什么?

- 1.7 用  $[a, b] = [-4, 4]$  和  $x(t) = \cos(\pi t/8), |t| \leq 4$ , 重做解答题 1.2。  
 1.8 用  $[a, b] = [-4, 4]$  和  $x(t) = \sin(\pi t/8), |t| \leq 4$ , 重做解答题 1.2, 并将结果与习题 1.7 结果作比较。  
 1.9 周期为  $10^{-6}$  s, 按下述定义的  $x(t)$

$$x(t) = \begin{cases} -10^6 t + 0.5, & 0 \leq t \leq 5 \times 10^{-7} \\ 0, & \text{其余 } t \end{cases}$$

用数值法求出并画出该信号在  $|t| \leq 5 \times 10^{-7}$  区间内的幅度和相位谱。

- 1.10 周期信号  $x(t)$ , 周期  $T_0 = 6$ ,  $x(t) = \Pi(t/3), |t| \leq 3$ 。该信号通过一个冲激响应为

$$h(t) = \begin{cases} e^{-t/2}, & 0 \leq t \leq 4 \\ 0 & \text{其余 } t \end{cases}$$

的 LTI 系统, 用数值法求出并画出输出信号的离散谱。

- 1.11 用  $x(t) = e^{-2t}, |t| \leq 3$  和

$$h(t) = \begin{cases} 1, & 0 \leq t \leq 4 \\ 0 & \text{其余 } t \end{cases}$$

重做习题 1.10。

- 1.12 信号  $x(t) = \Pi(t)$  和  $y(t) = \Delta(t)$ , 利用数值法通过直接求卷积和两信号的傅里叶变换求卷积, 验证傅里叶变换卷积定理。

- 1.13 信号  $x(t)$  定义为

$$x(t) = \begin{cases} 1, & -2 \leq t \leq -1 \\ |t|, & |t| < 1 \\ 1, & 1 \leq t < 2 \\ 0, & \text{其余 } t \end{cases}$$

画出该信号的幅度和相位谱。

- 1.14 一偶信号  $x(t)$ , 对正的  $t$  值给出如下:

$$x(t) = \begin{cases} t+1, & 0 \leq t \leq 1 \\ 2, & 1 \leq t \leq 2 \\ -t+1, & 2 \leq t \leq 4 \\ 0, & \text{其余 } t \end{cases}$$

分别用解析法和数值法求出并画出该信号的幅度谱, 并比较它们的结果。

- 1.15 上题(习题 1.14)的信号通过一冲激响应为

$$h(t) = \begin{cases} 1, & 0 \leq t \leq 2 \\ 2, & 2 \leq t \leq 3 \\ 0, & \text{其余 } t \end{cases}$$

的 LTI 系统,求输出信号的幅度和相位谱。

1.16 现考虑信号  $x(t)$

$$x(t) = \begin{cases} \cos(2\pi \times 47t) + \cos(2\pi \times 219t), & 0 \leq t \leq 10 \\ 0, & \text{其余 } t \end{cases}$$

和解说题 1.8 中一样,假设这个信号按 1 000 样本/s 的采样率被采样。利用 MATLAB M 文件 butter.m 设计一个截止频率为 100 Hz 的 4 阶巴特沃兹低通滤波器,并将信号  $x(t)$  通过该滤波器,求出并概略画出输出的功率谱,将结果与图 1.25 作比较。现在再设计一个具有相同截止频率的 8 阶低通巴特沃兹滤波器,求该滤波器的输出,画出它的功率谱,试比较这两种情况下的结果。

1.17 重做习题 1.16,但这次设计的是具有相同阶和截止频率的高通巴特沃兹滤波器。画出你的结果并作比较。

1.18 考虑信号

$$x(t) = \begin{cases} \cos(2\pi \times 47t) + \cos(2\pi \times 219t), & 0 \leq t \leq 10 \\ 0 & \text{其余 } t \end{cases}$$

- 求对应于该信号的解析信号。
- 求出并画出这个信号的希尔伯特变换。
- 求出并画出这个信号的包络。
- 分别假设  $f_0 = 47$  Hz 和  $f_0 = 219$  Hz 求该信号的低通等效,以及同相和正交分量。

# 第 2 章 随机过程

## 2.1 概述

这一章要介绍产生随机变量和随机过程样本的方法。先从描述产生给定概率分布函数的随机变量的方法入手,然后考虑高斯((Gaussian)和高斯-马尔科夫(Gauss-Markov)过程,并说明产生这些过程的方法。要研究的第 3 个问题是在时域用自相关函数和在频域用功率谱描述的平稳随机过程的特性。由于线性滤波器在通信系统中起着非常重要的作用,所以经由线性过滤后的随机过程的自相关函数和功率谱也将进行研究。本章最后一节是处理低通和带通型随机过程的特性。

## 2.2 随机变量的产生

在实际中,常常用随机数发生器来仿真类似于噪声信号的效果,以及在物理世界遇到的其他随机现象。在电子器件和系统中存在这一类噪声,而且这些噪声通常限制了远距离通信和在相对微弱信号中检测信号的能力。利用在计算机上产生的这类噪声,就有可能通过通信系统的仿真来研究噪声的影响,并估价在噪声存在下系统的性能。

大多数计算机的软件库中都包含有一个均匀随机数发生器,它以等概率产生在 0 和 1 之间的一个数。我们称这样的随机数发生器的输出为随机变量。如果用  $A$  记作这个随机变量,它的大小就在范围: $0 \leq A \leq 1$ 。

我们知道,一台数字计算机的数值输出具有有限精度,这样就不可能在区间  $0 \leq A \leq 1$  内表示数的连续值。然而,可以假定计算机用了一个很大的比特数来表示每个输出;既可采用定点制,也可采用浮点制。结果,从实际的角度来说,可以认为在范围  $0 \leq A \leq 1$  内输出的数位是足够大,以至于在这个范围内的任何值都可能从发生器输出。

随机变量  $A$  的均匀概率密度函数  $f(A)$  如图 2.1(a) 所示,注意到  $A$  的平均值或均值  $m_A$  是  $1/2$ 。概率密度函数的积分代表  $f(A)$  下的面积,称为随机变量

$A$  的概率分布函数, 定义为

$$F(A) = \int_{-\infty}^A f(x) dx \quad (2.2.1)$$

对任何随机变量而言, 这个面积一定总是 1, 它是由分布函数能实现的最大值。所以, 对均匀随机变量  $A$  来说, 就有

$$F(1) = \int_{-\infty}^1 f(x) dx = 1 \quad (2.2.2)$$

$F(A)$  的范围就是  $0 \leq F(A) \leq 1, 0 \leq A \leq 1$ 。概率分布函数如图 2.1(b) 所示。

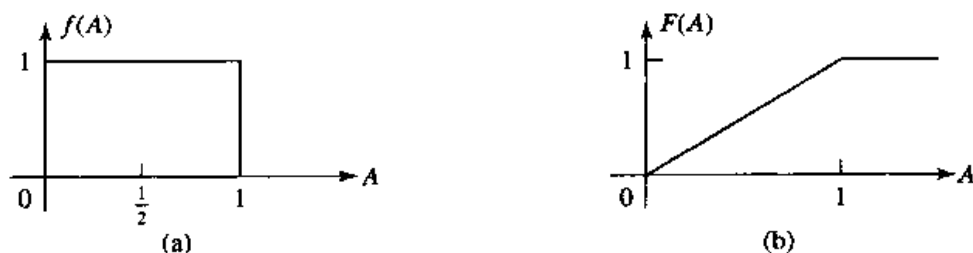


图 2.1 均匀分布随机变量  $A$  的概率密度函数  $f(A)$  和概率分布函数  $F(A)$

如果我们想产生一个在  $(b, b+1)$  内的均匀分布噪声, 只需要在随机数发生器输出  $A$  上偏置一个量  $b$  就可实现。据此, 新随机变量  $B$  就能定义为

$$B = A + b \quad (2.2.3)$$

而现在的均值  $m_B = b + \frac{1}{2}$ 。例如, 若  $b = -\frac{1}{2}$ , 则这个随机变量  $B$  就在  $(-\frac{1}{2}, \frac{1}{2})$  内均匀分布, 如图 2.2(a) 所示, 它的概率分布函数  $F(B)$  如图 2.2(b) 所示。

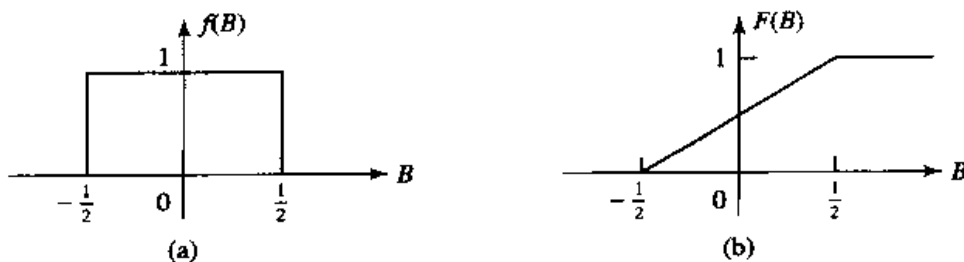


图 2.2 一个零均值均匀分布随机变量的概率密度函数和概率分布函数

在  $(0,1)$  内的均匀分布随机变量可用来产生具有其他概率分布函数的随机变量。例如, 设想要产生一个随机变量  $C$ , 其概率分布函数  $F(C)$  如图 2.3 所示。因为  $F(C)$  的范围在  $(0,1)$  内, 我们就可以先产生一个在  $(0,1)$  内的均匀分布随机变量  $A$ 。若置

$$F(C) = A \quad (2.2.4)$$



那么

$$C = F^{-1}(A) \quad (2.2.5)$$

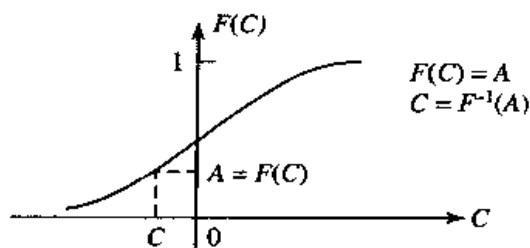


图 2.3 从均匀分布随机变量  $A$  到新随机变量  $C$  的逆映射

由此,对  $C$  解出(2.2.4)式,(2.2.5)式的解就给出具有  $F(C) = A$  的  $C$  值。按照这一方法,就求得具有概率分布函数  $F(C)$  的新随机变量  $C$ 。这种从  $A$  到  $C$  的逆映射如图 2.3 所说明。

### 解答题

#### 解答题 2.1

产生一个随机变量  $C$ ,它具有图 2.4(a)所示的线性概率密度函数,即

$$f(C) = \begin{cases} \frac{1}{2}C, & 0 \leq C \leq 2 \\ 0, & \text{其余 } C \end{cases}$$

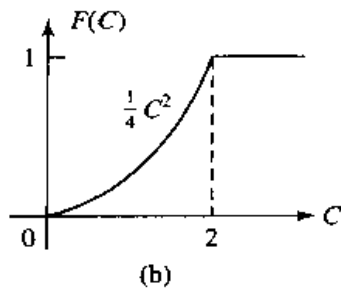
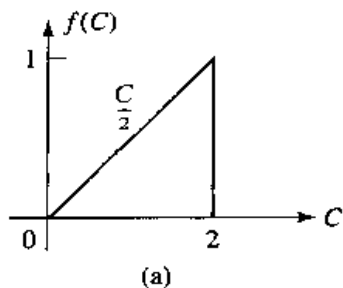


图 2.4 线性概率密度函数和对应的概率分布函数

### 理 解

该随机变量的概率分布函数为

$$F(C) = \begin{cases} 0, & C < 0 \\ \frac{1}{4}C^2, & 0 \leq C \leq 2 \\ 1, & C > 2 \end{cases}$$

如图 2.4(b) 所示。现产生一均匀分布的随机变量  $A$ , 并置  $F(C) = A$ , 所以有

$$F(C) = \frac{1}{4}C^2 = A \quad (2.2.6)$$

解出  $C$  为

$$C = 2\sqrt{A} \quad (2.2.7)$$

由此, 产生的具有概率分布函数  $F(C)$  的随机变量  $C$  如图 2.4(b) 所示。

在解说题 2.1 中, 这种逆映射  $C = F^{-1}(A)$  很简单; 而在有些情况中可没有这么简单。试图要产生一个具有正态分布函数的随机数就属于这种情况。

在实际系统中所遇到的噪声往往是由正态(或高斯)概率分布来表征的, 这个分布如图 2.5 所表示。这个概率密度函数由下式给出

$$f(C) = \frac{1}{\sqrt{2\pi}\sigma} e^{-C^2/(2\sigma^2)}, \quad -\infty < C < \infty \quad (2.2.8)$$

式中  $\sigma^2$  是  $C$  的方差, 它是概率密度函数  $f(C)$  分散程度的一种度量。概率分布函数  $F(C)$  是在区间  $(-\infty, C)$  内  $f(C)$  下所包围的面积, 即

$$F(C) = \int_{-\infty}^C f(x) dx \quad (2.2.9)$$

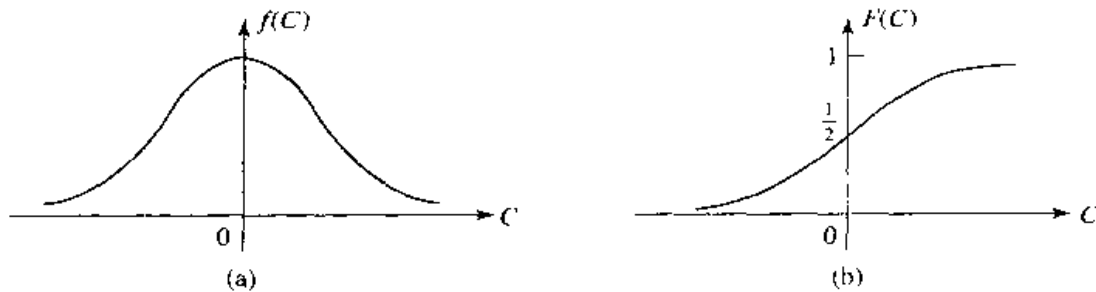


图 2.5 高斯概率密度函数和对应的概率分布函数

不幸的是(2.2.9)式的积分无法用简单函数来表示, 这样一来, 完成逆映射就很困难。克服这个难题的一种办法已经找到。由概率论知道, 具有概率分布函数为

$$F(R) = \begin{cases} 0, & R < 0 \\ 1 - e^{-R^2/(2\sigma^2)}, & R \geq 0 \end{cases} \quad (2.2.10)$$

的瑞利分布的随机变量  $R$  与一对高斯随机变量  $C$  和  $D$  是通过如下变换

$$C = R \cos \Theta \quad (2.2.11)$$

$$D = R \sin \Theta \quad (2.2.12)$$

关联的。这里  $\Theta$  是在  $(0, 2\pi)$  内的均匀分布变量, 参数  $\sigma^2$  是  $C$  和  $D$  的方差。因为(2.2.10)式容易求得逆函数, 所以

$$F(R) = 1 - e^{-R^2/(2\sigma^2)} = A \quad (2.2.13)$$

和

$$R = \sqrt{2\sigma^2 \ln\left(1 - \frac{1}{A}\right)} \quad (2.2.14)$$

式中  $A$  是在  $(0,1)$  内均匀分布的随机变量。现在,如果我们产生了第 2 个均匀分布的随机变量  $B$ ,而定义

$$\Theta = 2\pi B \quad (2.2.15)$$

那么,从(2.2.11)式和(2.2.12)式可求得两个统计独立的高斯分布随机变量  $C$  和  $D$ 。

上面所叙述的方法在实际中常被用作产生高斯分布的随机变量。正如在图 2.5 中所看到的,这些随机变量有一零均值和方差  $\sigma^2$ 。如果想要一个非零均值的高斯随机变量,那么用加一个均值的办法而将  $C$  和  $D$  作转换即可。

实现前述产生高斯分布随机变量方法的 MATLAB 脚本给出如下。

### M 文件

```
function [gsrv1,gsrv2]=gngauss(m,sgma)
% [gsrv1,gsrv2]=gngauss(m,sgma)
% [gsrv1,gsrv2]=gngauss(sgma)
% [gsrv1,gsrv2]=gngauss
%           GNGAUSS generates two independent Gaussian random variables with mean
%           m and standard deviation sgma. If one of the input arguments is missing,
%           it takes the mean as 0.
%           If neither the mean nor the variance is given, it generates two standard
%           Gaussian random variables.
if nargin == 0,
    m=0; sgma=1;
elseif nargin == 1,
    sgma=m; m=0;
end;
u=rand; % a uniform random variable in (0,1)
z=sgma*(sqrt(2*log(1/(1-u))))); % a Rayleigh distributed random variable
u=rand; % another uniform random variable in (0,1)
gsrv1=m+z*cos(2*pi*u);
gsrv2=m+z*sin(2*pi*u);
```

## 2.3 高斯和高斯-马尔科夫过程

在通信系统中,高斯过程起着非常重要的作用,其最根本的原因是在电子器件中的热噪声(它由热骚动引起电子的随机运动所产生)能够用一个高斯过程准确地建模。对于热噪声具有高斯行为的解释是:电路中由电子运动引起的电流

可以看作是大量的小电流源(即单个电子)的相加。可以假设,至少这些源中的大多数在特性行为上是独立的。因此,总电流就是这些大量的独立和同分布(i. i. d)的随机变量之和。根据中心极限定理,总电流就有一个高斯分布。

除了热噪声外,高斯过程对其他的一些信息源给出了相当好的模型。下面要给出的有关高斯过程的一些性质,使得这些过程在数学上也容易对付和处理。现在给高斯过程下一个正规的定义。

**定义:**若对全部  $n$  和全部  $(t_1, t_2, \dots, t_n)$ , 随机变量  $\{X(t_i)\}_{i=1}^n$  ①具有联合高斯密度函数, 这个随机过程  $X(t)$  就是高斯过程, 这可以表示成

$$f(\mathbf{x}) = \frac{1}{(2\pi)^{n/2} [\det(\mathbf{C})]^{1/2}} \exp \left[ -\frac{1}{2} (\mathbf{x} - \mathbf{m})^t \mathbf{C}^{-1} (\mathbf{x} - \mathbf{m}) \right] \quad (2.3.1)$$

式中向量  $\mathbf{x} = (x_1, x_2, \dots, x_n)^t$  记作  $n$  个随机变量  $x_i \equiv X(t_i)$ ,  $\mathbf{m}$  是均值向量, 即  $\mathbf{m} = E(\mathbf{X})$ ,  $\mathbf{C}$  是随机变量  $(x_1, x_2, \dots, x_n)$  的  $n \times n$  协方差矩阵, 该矩阵的元素是

$$c_{ij} = E[(x_i - m_i)(x_j - m_j)] \quad (2.3.2)$$

上角标  $t$  记为向量或矩阵的转置,  $\mathbf{C}^{-1}$  是协方差矩阵  $\mathbf{C}$  的逆阵。

从这个定义尤其可见, 在任意瞬时  $t_0$ , 随机变量  $X(t_0)$  是高斯型的; 在任意两点  $t_1, t_2$  上, 随机变量  $(X(t_1), X(t_2))$  是按照二维高斯随机变量分布的。更有甚者, 因为对  $\{X(t_i)\}_{i=1}^n$  的完全统计描述仅决定于均值向量  $\mathbf{m}$  和协方差矩阵  $\mathbf{C}$ , 所以有下列性质。

**性质 1** 对于高斯过程, 均值  $\mathbf{m}$  和协方差  $\mathbf{C}$  给出了对过程的完全统计描述。

高斯过程另一个很重要性质是涉及当它通过一线性时不变(LTI)系统时所具有的特性, 这个性质可陈述如下。

**性质 2** 如果高斯过程  $X(t)$  通过一线性时不变(LTI)系统, 其输出也是一个高斯过程。系统对  $X(t)$  的作用只是影响  $X(t)$  的均值和协方差的改变。

## 解说题

### 解说题 2.2 [多变量高斯过程样本的产生]

产生具有给定均值  $\mathbf{m}_x$  和协方差  $\mathbf{C}_x$  的多变量高斯过程  $X(t)$  的样本。

## 题解

首先, 用 2.2 节给出的方法产生一个统计独立的零均值和单位方差的高斯随机变量的序列  $n$ , 用向量  $\mathbf{Y} = (y_1, y_2, \dots, y_n)^t$  记作这个  $n$  个样本的序列。其

① 译者注: 原著此处为 " $\{X(t_i)\}_{i=1}^n = 1$ "

次将这个期望的  $n \times n$  协方差矩阵  $C_x$  分解为

$$C_x = C_x^{1/2} (C_x^{1/2})^t \quad (2.3.3)$$

然后定义线性变换的  $(n \times 1)$  向量  $X$  为

$$X = C_x^{1/2} Y + m_x \quad (2.3.4)$$

由此,  $X$  的协方差是

$$\begin{aligned} C_x &= E[(X - m_x)(X - m_x)^t] \\ &= E[C_x^{1/2} Y Y^t (C_x^{1/2})^t] \\ &= C_x^{1/2} E(Y Y^t) (C_x^{1/2})^t \\ &= C_x^{1/2} (C_x^{1/2})^t \end{aligned} \quad (2.3.5)$$

在这个过程中最困难的一步就是协方差矩阵  $C_x$  的分解。现在用一个采用双变量高斯分布的例子来阐明这一过程。设想开始有一对统计独立的高斯随机变量  $y_1$  和  $y_2$ , 它们都具有零均值和单位方差。我们要将这一对随机变量转换到具有均值  $m=0$  和协方差矩阵为

$$C = \begin{bmatrix} \sigma_1^2 & \rho\sigma_1\sigma_2 \\ \rho\sigma_1\sigma_2 & \sigma_2^2 \end{bmatrix} = \begin{bmatrix} 1 & \frac{1}{2} \\ \frac{1}{2} & 1 \end{bmatrix} \quad (2.3.6)$$

的一对高斯随机变量  $x_1$  和  $x_2$ 。式中  $\sigma_1^2$  和  $\sigma_2^2$  分别是  $x_1$  和  $x_2$  的方差, 而  $\rho$  是归一化方差, 定义为

$$\rho = \frac{E[(X_1 - m_1)(X_2 - m_2)]}{\sigma_1\sigma_2} = \frac{c_{12}}{\sigma_1\sigma_2} \quad (2.3.7)$$

这个协方差矩阵  $C$  能分解为

$$C = C^{1/2} (C^{1/2})^t$$

这里

$$C^{1/2} = \frac{1}{2\sqrt{2}} \begin{bmatrix} \sqrt{3} + 1 & \sqrt{3} - 1 \\ \sqrt{3} - 1 & \sqrt{3} + 1 \end{bmatrix} \quad (2.3.8)$$

因此,

$$\begin{aligned} X &= \begin{bmatrix} x_1 \\ x_2 \end{bmatrix} = C^{1/2} \begin{bmatrix} y_1 \\ y_2 \end{bmatrix} \\ &= \frac{1}{2\sqrt{2}} \begin{bmatrix} \sqrt{3} + 1 & \sqrt{3} - 1 \\ \sqrt{3} - 1 & \sqrt{3} + 1 \end{bmatrix} \begin{bmatrix} y_1 \\ y_2 \end{bmatrix} \\ &= \frac{1}{2\sqrt{2}} \begin{bmatrix} (\sqrt{3} + 1)y_1 & (\sqrt{3} - 1)y_2 \\ (\sqrt{3} - 1)y_1 & (\sqrt{3} + 1)y_2 \end{bmatrix} \end{aligned} \quad (2.3.9)$$

实现这个计算的 MATLAB 脚本给出如下。

## M 文件

```
% MATLAB script for Illustrative Problem 2.2.
echo on
mx=[0 0]';
Cx=[1 1/2;1/2 1];
x=multi_gp(mx,Cx);
% Computation of the pdf of (x1,x2) follows
delta=0.3;
x1=-3:delta:3;
x2=-3:delta:3;
for i=1:length(x1),
    for j=1:length(x2),
        f(i,j)=(1/((2*pi)*det(Cx)^1/2))*exp((-1/2)*([x1(i) x2(j)]-mx')*inv(Cx)*([x1(i) x2(j)]-mx)));
        echo off ;
    end;
end,
echo on ;
% plotting command for pdf follows
mesh(x1,x2,f);
```

## M 文件

```
function [x] = multi_gp(m,C)
% [x]=multi_gp(m,C)
%          MULTI_GP generates a multivariate Gaussian random
%          process with mean vector m (column vector) and covariance matrix C.
N=length(m);
for i=1:N,
    y(i)=gngauss;
end;
y=y.';
x=sqrtm(C)*y+m;
```

图 2.6 说明由(2.3.6)式给出的协方差矩阵  $C$  的联合概率密度函数  $f(x_1, x_2)$ 。

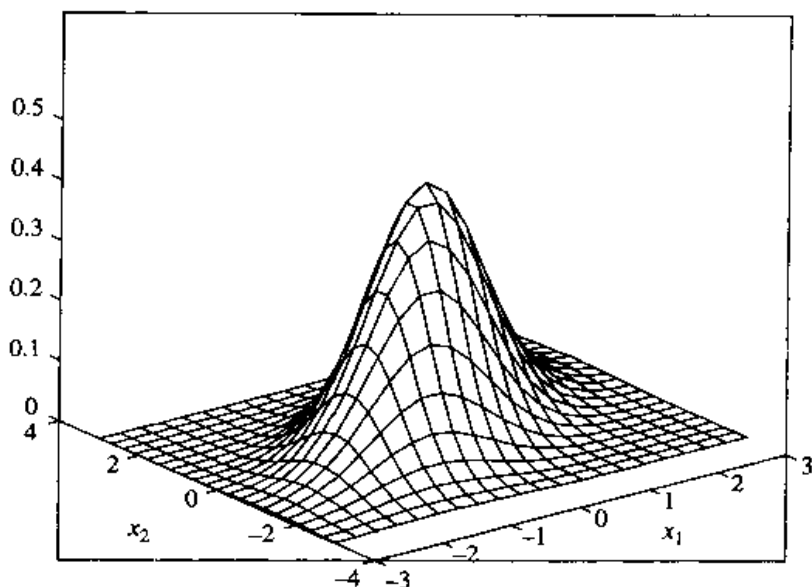
正如前面指出的,在计算中最困难的一步是求  $C^{1/2}$ 。已知所要求的协方差矩阵,就可以求出特征值  $\{\lambda_k, 1 \leq k \leq n\}$  和相应的特征向量  $\{v_k, 1 \leq k \leq n\}$ ,然后,协方差矩阵  $C$  能表示成

$$C = \sum_{k=1}^n \lambda_k v_k v_k^t \quad (2.3.10)$$

又因为  $C = C^{1/2}(C^{1/2})^t$ , 可得

$$C^{1/2} = \sum_{k=1}^n \lambda_k^{1/2} v_k v_k^t \quad (2.3.11)$$

定义: 一个马尔科夫过程  $X(t)$  是一个随机过程, 如果该过程的当前状况是给定

图 2.6  $x_1$  和  $x_2$  的联合概率密度函数

的,那么过程的过去对将来没有任何影响;也即,若  $t_n > t_{n-1}$ ,则

$$P[X(t_n) \leq x_n | X(t), t \leq t_{n-1}] = P[X(t_n) \leq x_n | X(t_{n-1})] \quad (2.3.12)$$

根据这个定义,就应得出:若  $t_1 < t_2 < \cdots < t_n$ ,则

$$P[X(t_n) \leq x_n | X(t_{n-1}), X(t_{n-2}), \cdots, X(t_1)] = P[X(t_n) \leq x_n | X(t_{n-1})] \quad (2.3.13)$$

**定义:**一个高斯-马尔科夫过程  $X(t)$  是一个概率密度函数为高斯型的马尔科夫过程。

产生马尔科夫过程最简单的方法是利用下面这个简单的递推公式

$$X_n = \rho X_{n-1} + w_n \quad (2.3.14)$$

$w_n$  是一个零均值、独立和同分布的(白色)随机变量,  $\rho$  是确定  $X_n$  和  $X_{n-1}$  之间相关程度的一个参数,即

$$E(X_n X_{n-1}) = \rho E(X_{n-1}^2) = \rho \sigma_{n-1}^2 \quad (2.3.15)$$

如果序列  $\{w_n\}$  是高斯型的,那么所得到的过程  $X(t)$  就是一个高斯-马尔科夫过程。

### 解说题

#### 解说题 2.3 [高斯-马尔科夫过程]

用递推关系

$$X_n = 0.95X_{n-1} + w_n, \quad n = 1, 2, \cdots, 1000 \quad (2.3.16)$$

产生 1 000 个样本(等间隔)的高斯-马尔科夫过程序列,这里  $X_0 = 0$ ,  $\{w_n\}$  是零均值和单位方差的独立同分布的高斯随机变量。作为时间变量  $n$  的函数画出这个序列  $\{X_n, |1 \leq n \leq 1\,000\}$  和自相关函数

$$R_r(m) = \frac{1}{N-m} \sum_{n=1}^{N-m} X_n X_{n+m}, \quad m = 0, 1, \dots, 50 \quad (2.3.17)$$

式中  $N = 1\,000$ 。

### 题 解

对于这个计算的 MATLAB 脚本给出如下。图 2.7 和 2.8 分别为序列  $(X_n)$  和自相关函数  $\hat{R}_{(m)}$ 。

### M 文件

```
% MATLAB script for Illustrative Problem 2.3.
echo on
rho=0.95;
X0=0;
N=1000;
X=gaus_mar(X0,rho,N);
M=50;
Rx=Rx_est(X,M);
% plotting commands follow
```

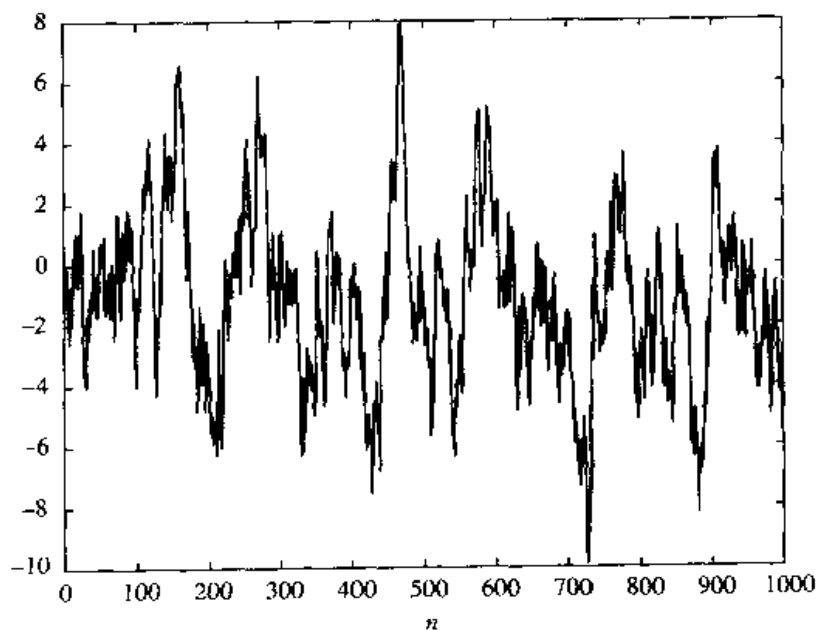


图 2.7 高斯-马尔科夫序列



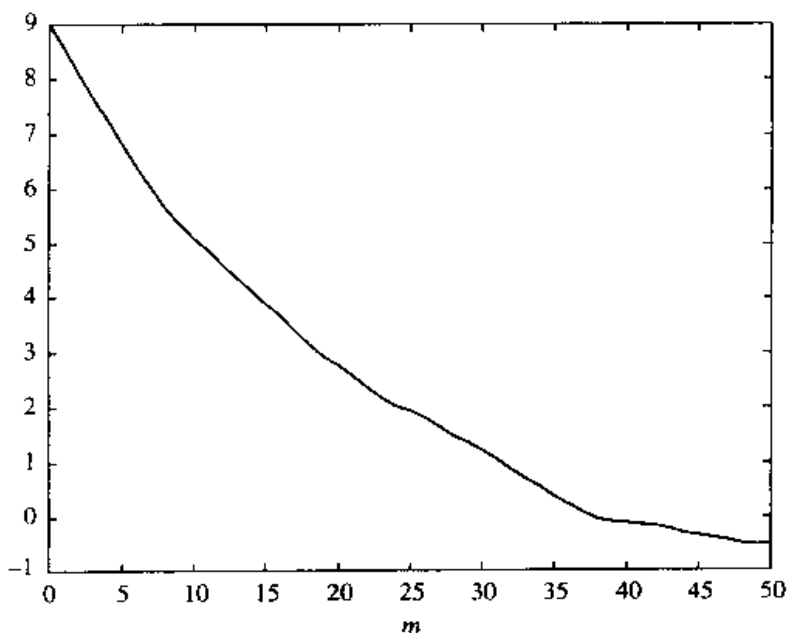


图 2.8 高斯-马尔科夫过程的自相关函数

### M 文件

```
function [X]=gaus_mar(X0,rho,N)
% [X]=gaus_mar(X0,rho,N)
%           GAUS_MAR generates a Gauss-Markov process of length N.
%           The noise process is taken to be white Gaussian
%           noise with zero mean and unit variance.
for i=1:2:N,
    [Ws(i) Ws(i+1)]=gngauss;           % Generate the noise process
end;
X(1)=rho*X0+Ws(1);                     % First element in the Gauss-Markov process
for i=2:N,
    X(i)=rho*X(i-1)+Ws(i);             % The remaining elements
end;
```

## 2.4 随机过程的功率谱和白色过程

一个平稳随机过程  $X(t)$  在频域是用它的功率谱  $\mathcal{S}_x(f)$  来表征的, 功率谱是随机过程自相关函数  $R_x(\tau)$  的傅里叶变换, 即

$$\mathcal{S}_x(f) = \int_{-\infty}^{\infty} R_x(\tau) e^{j2\pi f\tau} d\tau \quad (2.4.1)$$

① 译者注, 原著此处为“ $dt$ ”

相反,一个平稳随机过程  $X(t)$  的自相关函数  $R_x(\tau)$  可以由功率谱  $\mathcal{S}_x(f)$  的逆傅里叶变换得到,即

$$R_x(\tau) = \int_{-\infty}^{\infty} \mathcal{S}_x(f) e^{j2\pi f\tau} df \quad (2.4.2)$$

在电子器件中所产生的并在通信系统实现中所采用的热噪声建模中,往往假设这样的噪声是一个白色随机过程。这个过程定义如下:

定义:若一个随机过程具有平坦的功率谱,即若  $\mathcal{S}_x(f)$  对全部  $f$  是一个常数,则该随机过程称为白色过程。

正如上面已指出的,白色过程的重要性正来自于热噪声能在很宽的频率范围内作为一个常数谱给予准确地建模。另外,用于描述各种信息源的许多过程都能仿真为在白色过程驱动下的 LTI 系统的输出。

然而看到,若对所有  $f$ ,  $\mathcal{S}_x(f) = C$ , 那么

$$\int_{-\infty}^{\infty} \mathcal{S}_x(f) df = \int_{-\infty}^{\infty} C df = \infty \quad (2.4.3)$$

这样总功率是无限大,很显然,没有一个真实的物理过程能有无限大功率,因此白色过程不可能是一个有意义的物理过程。然而,热噪声的量子力学分析证明,它有功率谱密度为

$$\mathcal{S}_n(f) = \frac{hf}{2(e^{hf/(kT)} - 1)} \quad (2.4.4)$$

式中  $h$  为普朗克常数(等于  $6.6 \times 10^{-34} \text{ J} \cdot \text{s}$ ),  $k$  是玻耳兹曼常数(等于  $1.38 \times 10^{-23} \text{ J/K}$ ),  $T$  为绝对温度,这个功率谱如图 2.9 所示。

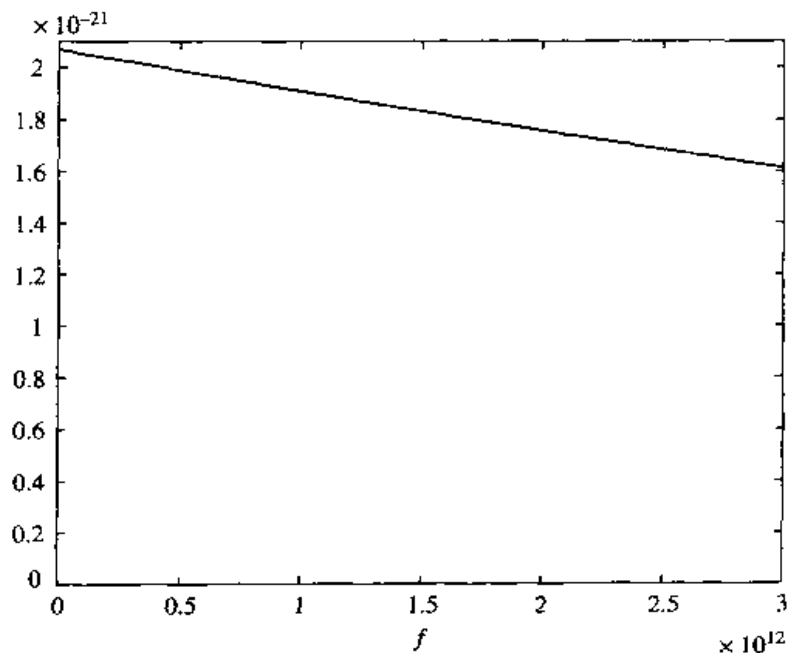


图 2.9 在(2.4.4)式中  $\mathcal{S}_n(f)$  的图

这个谱在  $f=0$  为最大值,其值为  $kT/2$ 。随  $f$  趋于无限大,谱趋近于 0;但是,收敛到 0 的速率是非常地慢。譬如,在室温 ( $T=300\text{ K}$ ) 下,大约在  $f \approx 2 \times 10^{12}\text{ Hz}$  时,  $\mathcal{S}_n(f)$  才降到它的最大值的 90%,而这个频率已大大超过在通常通信系统中所使用的频率。从这里可以得出,虽然热噪声并不是真正为白色的,但是从实际的角度看,热噪声还是可以把它当作功率谱等于  $kT/2$  的白色过程来建模。 $kT$  值通常记作  $N_0$ ,因此热噪声的功率谱密度一般就由  $\mathcal{S}_n(f) = N_0/2$  给出,有时将它称为**双边功率谱密度**,以强调这个谱既伸展到正频率,又伸展到负频率。在本书中不采用这个术语,只用**功率谱**或**功率谱密度**。

对于白色随机过程  $X(t)$ ,其功率谱  $\mathcal{A}(f) = N_0/2$ ,自相关函数  $R_x(\tau)$  就是

$$R_x(\tau) = \int_{-\infty}^{\infty} \mathcal{S}_x(f) e^{j2\pi f\tau} df = \frac{N_0}{2} \int_{-\infty}^{\infty} e^{j2\pi f\tau} df = \frac{N_0}{2} \delta(\tau) \quad (2.4.5)$$

式中  $\delta(\tau)$  为单位冲激函数。这样,只要  $\tau \neq 0$ ,都有  $R_x(\tau) = 0$ ;这就是说,如果对一个白色过程在两个点  $t_1$  和  $t_2$  ( $t_1 \neq t_2$ ) 上采样,所得到的随机变量一定不相关。如果除了是白色的以外,随机过程还是高斯分布的,那么已采样的随机变量一定是统计独立的高斯随机变量。

### 解答题

#### 解答题 2.4 [自相关与功率谱]

在  $(-\frac{1}{2}, \frac{1}{2})$  内产生一均匀分布的随机数  $N=1\ 000$  的离散时间序列,计算该序列  $\{x_n\}$  的自相关,它定义为

$$\begin{aligned} R_x(m) &= \frac{1}{N-m} \sum_{n=1}^{N-m} X_n X_{n+m}, \quad m = 0, 1, \dots, M \\ &= \frac{1}{N-|m|} \sum_{n=1}^N X_n X_{n+m}, \quad m = -1, -2, \dots, -M \end{aligned} \quad (2.4.6)$$

同时,用计算  $R_x(m)$  的离散傅里叶变换(DFT)求序列  $\{x_n\}$  的功率谱。DFT 定义为

$$\mathcal{S}_x(f) = \sum_{m=-M}^M R_x(m) e^{j2\pi f m / (2(M+1))} \quad (2.4.7)$$

它可以用快速傅里叶变(FFT)算法高效地计算出。

### 题解

产生序列  $\{x_n\}$ ,计算自相关和功率谱  $\mathcal{S}_x(f)$  的有关 MATLAB 脚本在下面给出。应该值得注意的是,自相关函数和功率谱都呈现出显著的波动,因此有必要在几次实现上对样本的自相关求平均。运行这个程序,在随机过程的 10 次实

现上采用平均自相关所得到的  $R_x(m)$  和  $S_x(f)$  如图 2.10 和图 2.11 所示。

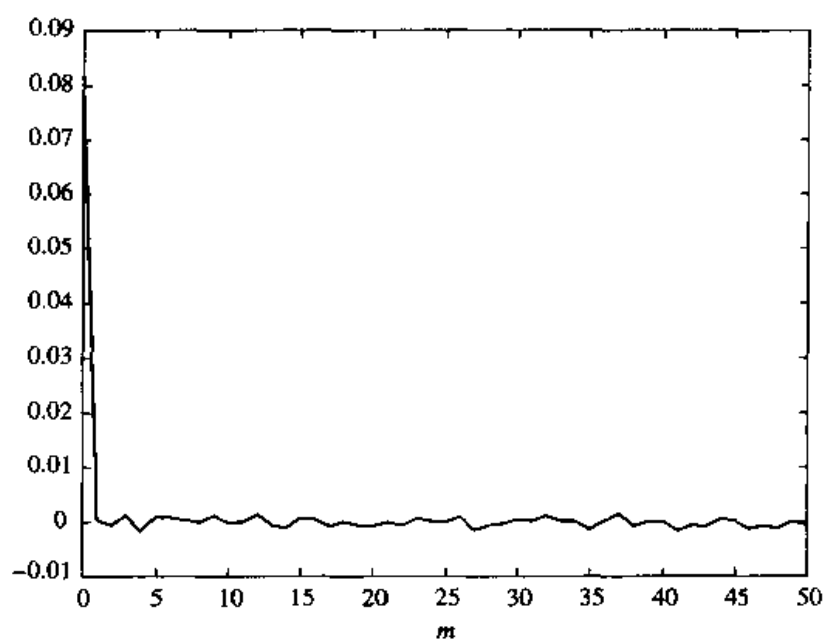


图 2.10 解说题 2.4 中的自相关函数

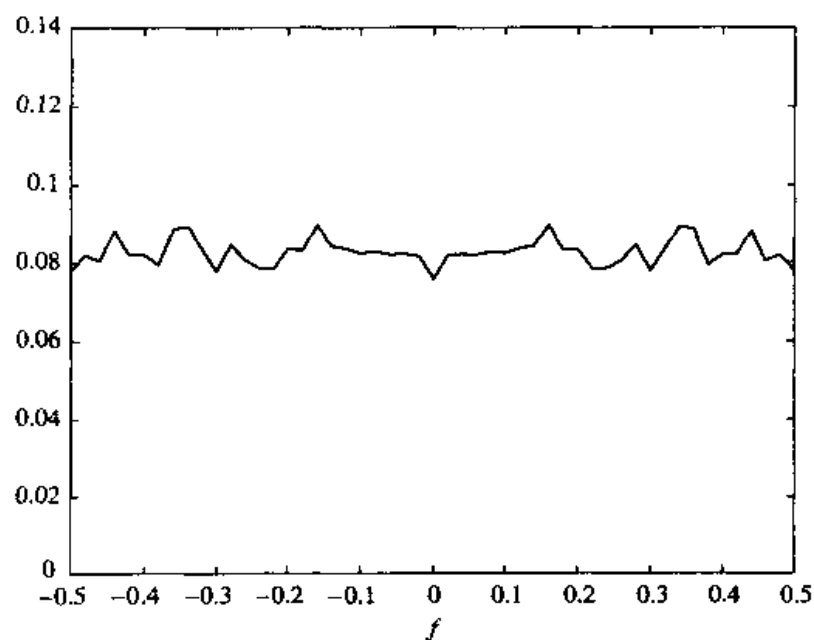


图 2.11 解说题 2.4 中的功率谱

## M 文件

```
% MATLAB script for Illustrative Problem 2.4.
echo on
N=1000;
M=50;
Rx_av=zeros(1,M+1);
Sx_av=zeros(1,M+1);
for j=1:10,
    X=rand(1,N)-1/2;
    Rx=Rx_est(X,M);
    Sx=fftshift(abs(fft(Rx)));
    Rx_av=Rx_av+Rx;
    Sx_av=Sx_av+Sx;
    echo off ;
end;
echo on ;
Rx_av=Rx_av/10;
Sx_av=Sx_av/10;
% Plotting comments follow
```

*% take the ensemble average over ten realizations*  
*% N i.i.d. uniformly distributed random variables*  
*% between -1/2 and 1/2*  
*% autocorrelation of the realization*  
*% power spectrum of the realization*  
*% sum of the autocorrelations*  
*% sum of the spectrums*  
*% ensemble average autocorrelation*  
*% ensemble average spectrum*

一个带限随机过程  $X(t)$  有功率谱为

$$\mathcal{S}_x(f) = \begin{cases} \frac{N_0}{2}, & |f| \leq B \\ 0, & |f| > B \end{cases} \quad (2.4.8)$$

现在来求它的自相关函数。由(2.4.1)式,有

$$\begin{aligned} R_x(\tau) &= \int_{-B}^B \frac{N_0}{2} e^{j2\pi f\tau} df \\ &= N_0 B \left( \frac{\sin(2\pi B\tau)}{2\pi B\tau} \right) \end{aligned} \quad (2.4.9)$$

$R_x(\tau)$  如图 2.12 所示。

MATLAB 可以用于从  $\mathcal{S}_x(f)$  计算出  $R_x(\tau)$ , 或者相反。快速傅里叶变换 (FFT) 算法可用于这类计算。

## 解说题

## 解说题 2.5 [自相关与功率谱]

计算功率谱由(2.4.8)式给出的随机过程的自相关函数  $R_x(\tau)$ 。

## 题解

为了进行计算, 将  $\mathcal{S}_x(f)$  用在频率范围  $|f| \leq B$  内的  $N$  个样本代表, 每个样

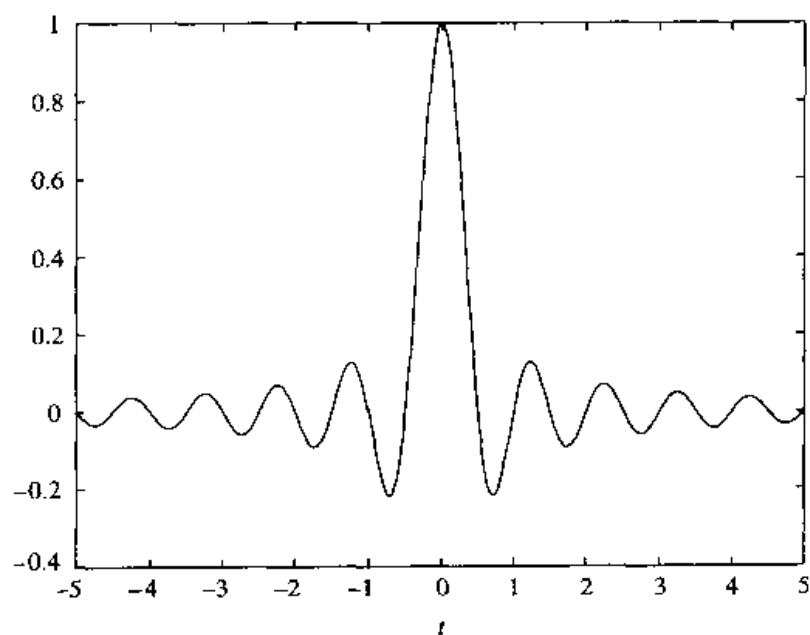


图 2.12 在  $B = N_0 = 1$  时,由(2.4.9)式给出的自相关函数的图

本对 1 归一化。图 2.13 是用  $N = 32$  的逆 FFT 的计算结果。要注意,由于采样  $\mathcal{S}_x(f)$  仅在  $|f| < B$  内作的,所以得到的仅是自相关函数  $R_x(\tau)$  一个粗略的表

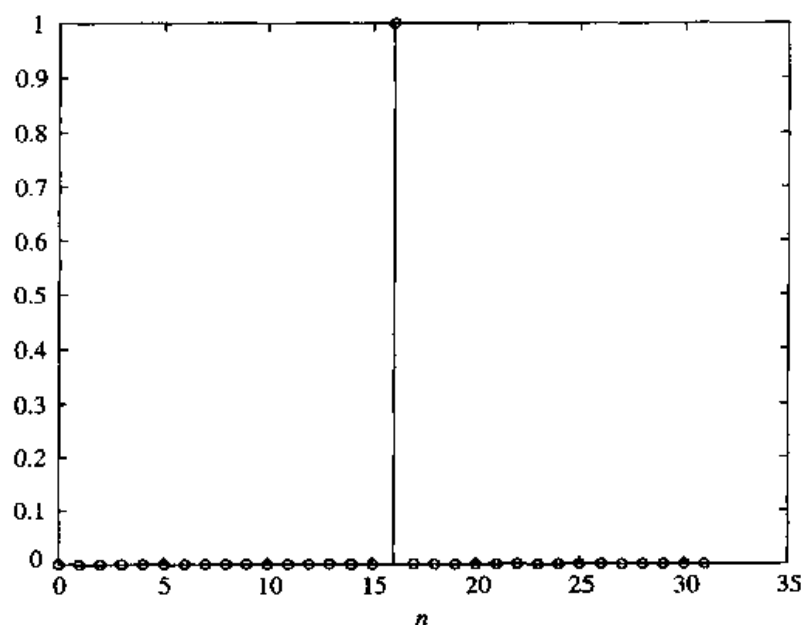


图 2.13 在解答题 2.5 中,用 32 个样本的该带限随机过程功率谱的逆 FFT

示。在这个例子中,频率间隔是  $\Delta f = 2B/N$ 。如果将  $\Delta f$  保持固定,而增加样本数以包括  $|f| > B$  的样本,就可得到  $R_x(\tau)$  的中间值。图 2.14 是用  $N_1 = 256$  个样本计算逆 FFT 的结果,图中的那些中间值在  $N = 32$  时都为零。

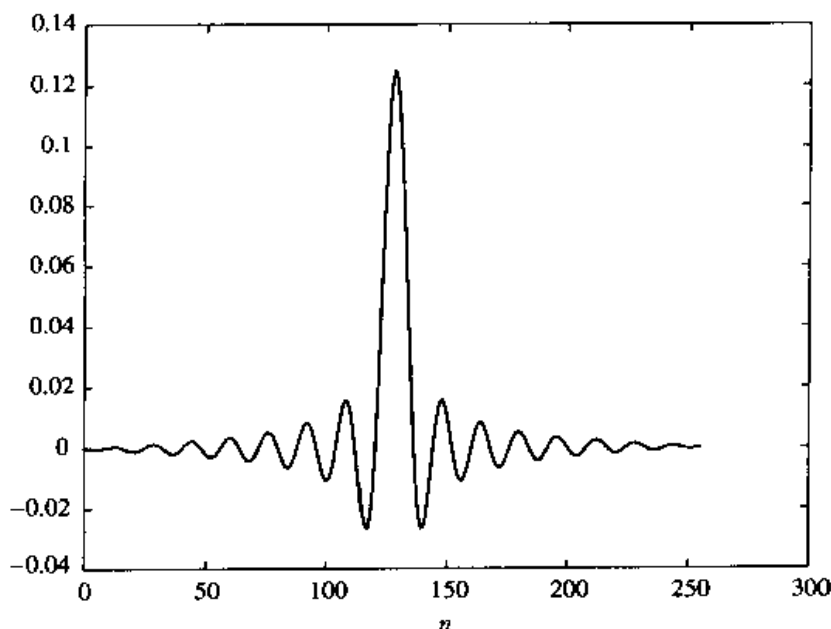


图 2.14 在解说题 2.5 中,用 256 个样本的该带限随机过程功率谱的逆 FFT

## 2.5 随机过程的线性滤波

假设一个平稳随机过程  $X(t)$  通过某一线性时不变滤波器,该滤波器在时域用它的冲激响应来表征,而在频域则用它的频率响应

$$H(f) = \int_{-\infty}^{\infty} h(t) e^{j2\pi ft} dt \quad (2.5.1)$$

来表征,这样可得该线性滤波器的输出是随机过程为

$$Y(t) = \int_{-\infty}^{\infty} X(\tau) h(t - \tau) d\tau \quad (2.5.2)$$

$Y(t)$  的均值是

$$\begin{aligned} m_y &= E[Y(t)] \\ &= \int_{-\infty}^{\infty} E[X(\tau) h(t - \tau)] d\tau \\ &= m_x \int_{-\infty}^{\infty} h(t - \tau) d\tau \end{aligned}$$

$$\begin{aligned}
 &= m_x \int_{-\infty}^{\infty} h(\tau) d\tau \\
 &= m_x H(0)
 \end{aligned} \tag{2.5.3}$$

式中  $H(0)$  是频率响应  $H(f)$  在  $f=0$  的值。

$Y(t)$  的自相关函数是

$$\begin{aligned}
 R_y(\tau) &= E[Y(\tau)Y(t+\tau)] \\
 &= \int_{-\infty}^{\infty} \int_{-\infty}^{\infty} E[X(\tau)X(\alpha)] h(t-\tau) h(t+\tau-\alpha) d\tau d\alpha \\
 &= \int_{-\infty}^{\infty} \int_{-\infty}^{\infty} R_x(\tau-\alpha) h(t-\tau) h(t+\tau-\alpha) d\tau d\alpha
 \end{aligned} \tag{2.5.4}$$

在频域输出过程  $Y(t)$  的功率谱与输入过程  $X(t)$  的功率谱和该线性滤波器的频率响应的关系由下式相关联

$$\mathcal{S}_y(f) = \mathcal{S}_x(f) |H(f)|^2 \tag{2.5.5}$$

通过对(2.5.4)式取傅里叶变换,(2.5.5)式很容易被证明。

### 解说题

#### 解说题 2.6 [过滤后的噪声]

假设有一功率谱  $\mathcal{S}_x(f)=1$  (对全部  $f$ ) 的白色随机过程  $X(t)$  激励某一线性滤波器,该滤波器的冲激响应是

$$h(t) = \begin{cases} e^{-t}, & t \geq 0 \\ 0, & t < 0 \end{cases} \tag{2.5.6}$$

求该滤波器输出的功率谱  $\mathcal{S}_y(f)$ 。

### 题解

容易求出该滤波器的频率响应是

$$H(f) = \frac{1}{1 + j2\pi f} \tag{2.5.7}$$

所以

$$\mathcal{S}_y(f) = |H(f)|^2 = \frac{1}{1 + (2\pi f)^2} \tag{2.5.8}$$

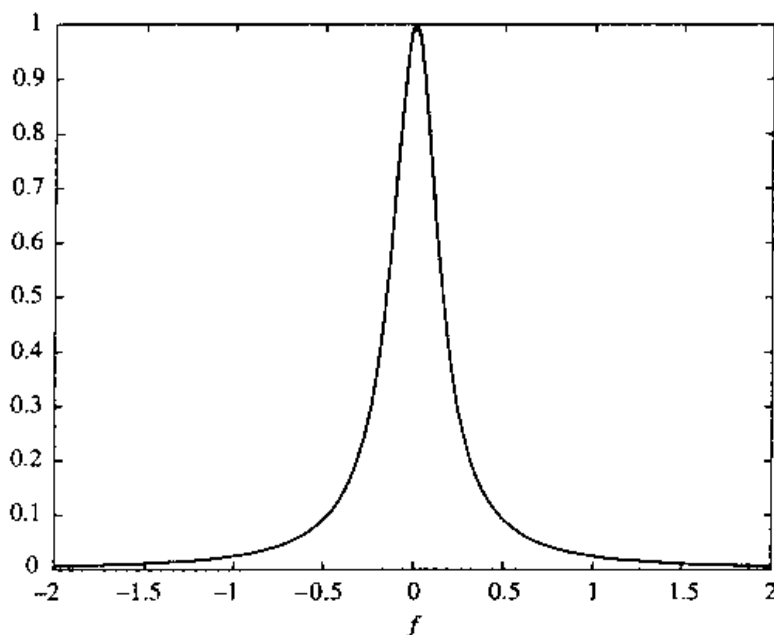
$\mathcal{S}_y(f)$  的图如图 2.15 所示。

已知  $\mathcal{S}_x(f)$  和  $H(f)$ , 计算  $\mathcal{S}_y(f)$  的 MATLAB 脚本给出如下。

### M 文件

```
% MATLAB script for Illustrative Problem 2.6.
echo on
delta=0.01;
```



图 2.15 由(2.5.8)式给出的  $S_y(f)$  的图

```
F_min=-2;
F_max=2;
f=F_min:delta:F_max;
Sx=ones(1,length(f));
H=1./(1+(2*pi*f).^2);
Sy=Sx.*H.^2;
```

### 解说题

#### 解说题 2.7 [自相关与功率谱]

已知  $S_x(f) = 1$ , 对应于解说题 2.6 中的  $S_y(f)$ , 计算自相关函数  $R_y(\tau)$ 。

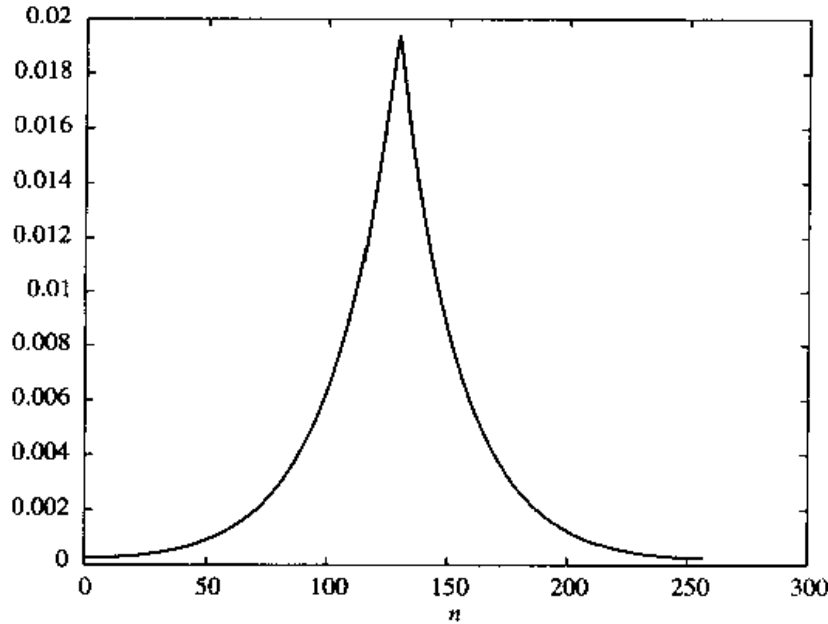
### 题 解

这种情况可以对(2.5.8)式给出的  $S_y(f)$  样本用逆 FFT。图 2.16 示出在  $N = 256$  个频率样本和频率间隔  $\Delta f = 0.1$  时的计算结果。

这个计算的 MATLAB 脚本给出如下。

### M 文件

```
% MATLAB script for Illustrative Problem 2.7.
echo on
N=256;                               % number of samples
deltaf=0.1;                           % frequency separation
f=[0:deltaf:(N/2)*deltaf, -(N/2-1)*deltaf:deltaf:-deltaf];
```

图 2.16 解答题 2.7 中  $R_y(\tau)$  的图

```

Sy=1./(1+(2*pi*f).^2);
Ry=ifft(Sy);
% plotting command follows
plot(fftshift(real(Ry)));
% swap the first half
% sampled spectrum
% autocorrelation of Y

```

现在考虑等效的离散时间情况下的问题。假设一个平稳随机过程  $X(t)$  被采样,其样本通过某一离散时间线性滤波器,该滤波器的脉冲响应为  $h(n)$ 。该线性滤波器的输出由卷积和给出

$$Y(n) = \sum_{k=0}^{\infty} h(k)X(n-k) \quad (2.5.9)$$

式中  $X(n) \equiv X(t_n)$  是输入随机过程  $X(t)$  的离散时间值,  $Y(n)$  是离散时间滤波器的输出。输出过程的均值是

$$\begin{aligned}
 m_y &= E[Y(n)] \\
 &= \sum_{k=0}^{\infty} h(k)E[X(n-k)] \\
 &= m_x \sum_{k=0}^{\infty} h(k) \\
 &= m_x H(0)
 \end{aligned} \quad (2.5.10)$$

式中  $H(0)$  是滤波器的频率响应  $H(f)$  在  $f=0$  的值,而  $H(f)$  为

$$H(f) = \sum_{n=0}^{\infty} h(n)e^{-j2\pi fn} \quad (2.5.11)$$

输出过程的自相关函数是

$$\begin{aligned}
 R_y(m) &= E[Y(n)Y(n+m)] \\
 &= \sum_{k=0}^{\infty} \sum_{l=0}^{\infty} h(k)h(l)E[X(n-k)X(n+m-l)] \\
 &= \sum_{k=0}^{\infty} \sum_{l=0}^{\infty} h(k)h(l)R_x(m-l+k) \quad (2.5.12)
 \end{aligned}$$

在频域的相应表示式是

$$\mathcal{S}_y(f) = \mathcal{S}_x(f) |H(f)|^2 \quad (2.5.13)$$

式中,功率谱定义为

$$\mathcal{S}_x(f) = \sum_{m=-\infty}^{\infty} R_x(m) e^{-j2\pi f m} \quad (2.5.14)$$

和

$$\mathcal{S}_y(f) = \sum_{m=-\infty}^{\infty} R_y(m) e^{-j2\pi f m} \quad (2.5.15)$$

### 解答题

#### 解答题 2.8 [过滤后的白噪声]

假设一样本为 $\{X(n)\}$ 的白色随机过程通过一线性滤波器,该滤波器的脉冲响应是

$$h(n) = \begin{cases} 0.95^n, & n \geq 0 \\ 0, & n < 0 \end{cases}$$

求输出过程 $\{Y(n)\}$ 的功率谱。

### 题解

容易看出

$$\begin{aligned}
 H(f) &= \sum_{n=0}^{\infty} h(n) e^{j2\pi f n} \\
 &= \sum_{n=0}^{\infty} (0.95 e^{-j2\pi f})^n \\
 &= \frac{1}{1 - 0.95 e^{-j2\pi f}} \quad (2.5.16)
 \end{aligned}$$

和

$$\begin{aligned}
 |H(f)|^2 &= \left| \frac{1}{1 - 0.95 e^{-j2\pi f}} \right|^2 \\
 &= \frac{1}{1.9025 - 1.9 \cos(2\pi f)} \quad (2.5.17)
 \end{aligned}$$

因此,输出过程的功率谱是

$$\mathcal{S}_y(f) = |H(f)|^2 \mathcal{S}_x(f) \quad (2.5.18)$$

$$= \frac{1}{1.9025 - 1.9\cos(2\pi f)} \quad (2.5.29)$$

这里已假定  $\mathcal{S}_x(f)$  归一化到 1。 $\mathcal{S}_y(f)$  如图 2.17 所示。注意,  $\mathcal{S}_y(f)$  是周期的, 周期为  $2\pi$ 。

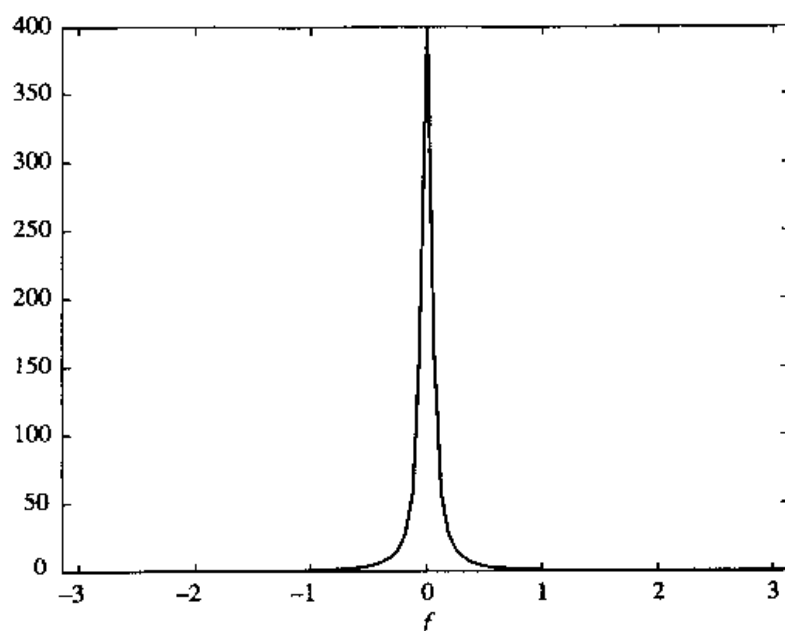


图 2.17 解说题 2.8 中  $\mathcal{S}_y(f)$  的图

这个计算的 MATLAB 脚本给出如下。

### VI 文件

```
% MATLAB script for Illustrative Problem 2.8.
delta_w=2*pi/100;
w=-pi:delta_w:pi;                                % one period of Sy
Sy=1./(1.9025-1.9*cos(w));
% plotting command follows
plot(w,Sy);
```

输出过程  $\{Y(n)\}$  的自相关函数可取  $\mathcal{S}_y(f)$  的逆 FFT 求出。学生将会发现, 将这个自相关函数与解说题 2.3 所得出的结果进行比较是很有意思的。

## 2.6 低通和带通过程

与在确定性信号的情况相同, 随机信号也能由低通和带通随机过程来表征。  
定义: 若过程的功率谱在  $f=0$  附近是大的, 而在高频域很小 (接近于 0), 这个随

机过程就称之为低通的。换句话说,一个低通随机过程的功率大部分集中在低频域。

**定义:**若过程的功率谱  $\mathcal{S}_x(f) = 0, |f| > B$ , 则称这个低通随机过程是带限的, 参数  $B$  称为该随机过程的带宽。

### 解答题

#### 解答题 2.9 [低通过程]

考虑用一白噪声序列  $\{x_n\}$  通过一低通滤波器产生一个低通随机过程的样本问题。输入序列是在  $(-\frac{1}{2}, \frac{1}{2})$  内均匀分布随机变量的一个 i.i.d (独立同分布) 序列, 低通滤波器的脉冲响应是

$$h(n) = \begin{cases} 0.9^n, & n \geq 0 \\ 0, & n < 0 \end{cases}$$

而且该滤波器由下面输入/输出递推(差分)方程表征

$$y_n = 0.9y_{n-1} + x_n, \quad n \geq 1, y_{-1} = 0$$

计算输出序列  $\{y_n\}$ , 并按(2.4.6)式求自相关函数  $R_x(m)$  和  $R_y(m)$ 。用计算  $R_x(m)$  和  $R_y(m)$  的 DFT 求功率谱  $\mathcal{S}_x(f)$  和  $\mathcal{S}_y(f)$

### 题解

这些计算的 MATLAB 脚本给出如下。自相关函数和功率谱分别如图 2.18 和图 2.19 所示。要注意, 自相关函数和功率谱都是在该随机过程 10 次实现中的平均值。

### VI 文件

```
% MATLAB script for Illustrative Problem 2.9.
N=1000; % The maximum value of n
M=50;
Rxav=zeros(1,M+1);
Ryav=zeros(1,M+1);
Sxav=zeros(1,M+1);
Syav=zeros(1,M+1);
for i=1:10, % Take the ensemble average over ten realizations
    X=rand(1,N)--(1/2); % Generate a uniform number sequence on (-1/2,1/2)
    Y(1)=0;
    for n=2:N, Y(n)=0.9*Y(n-1)+X(n); end; % Note that Y(n) means Y(n-1)
    Rx=Rx_est(X,M); % Autocorrelation of {Xn}
    Ry=Ry_est(Y,M); % Autocorrelation of {Yn}
    Sx=fftshift(abs(fft(Rx))); % Power spectrum of {Xn}
    Sy=fftshift(abs(fft(Ry))); % Power spectrum of {Yn}
    Rxav=Rxav+Rx;
    Ryav=Ryav+Ry;
    Sxav=Sxav+Sx;
```

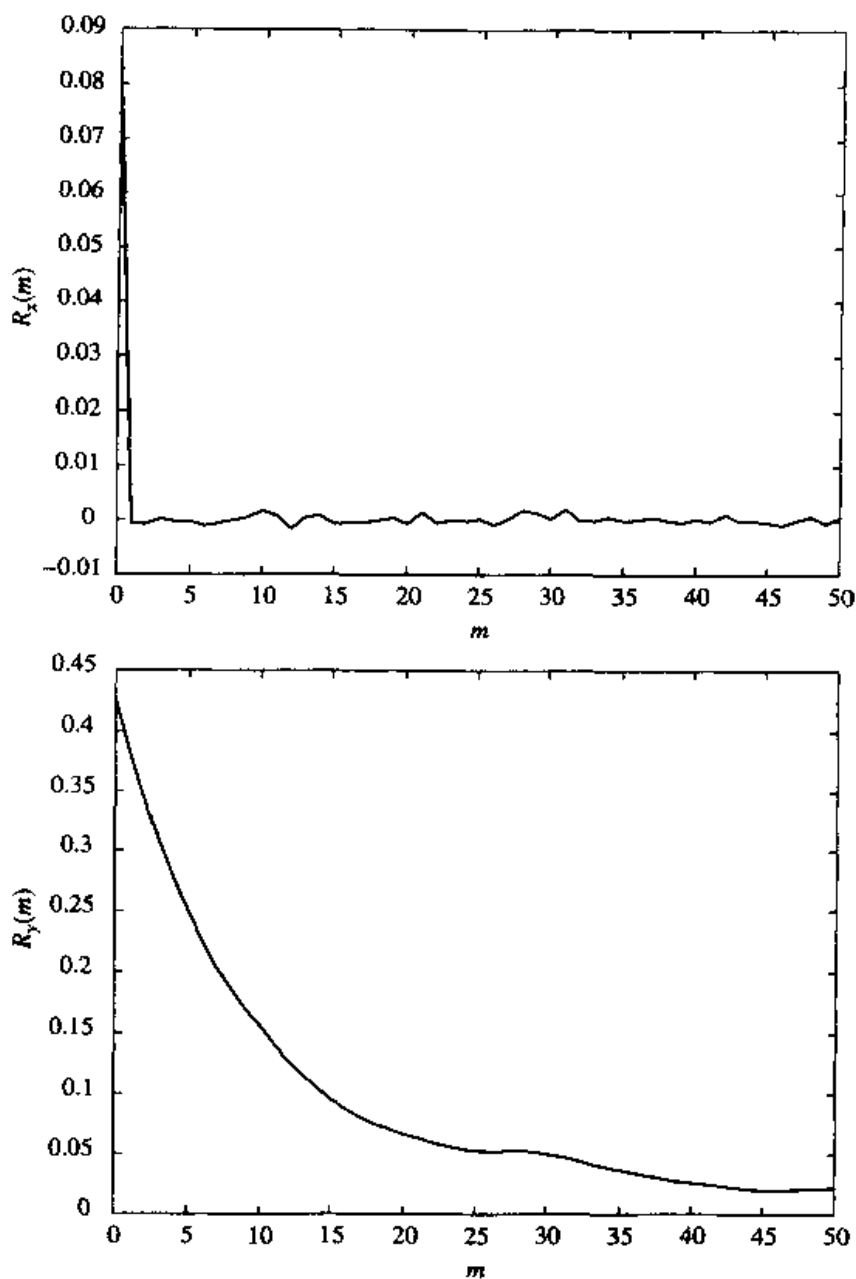
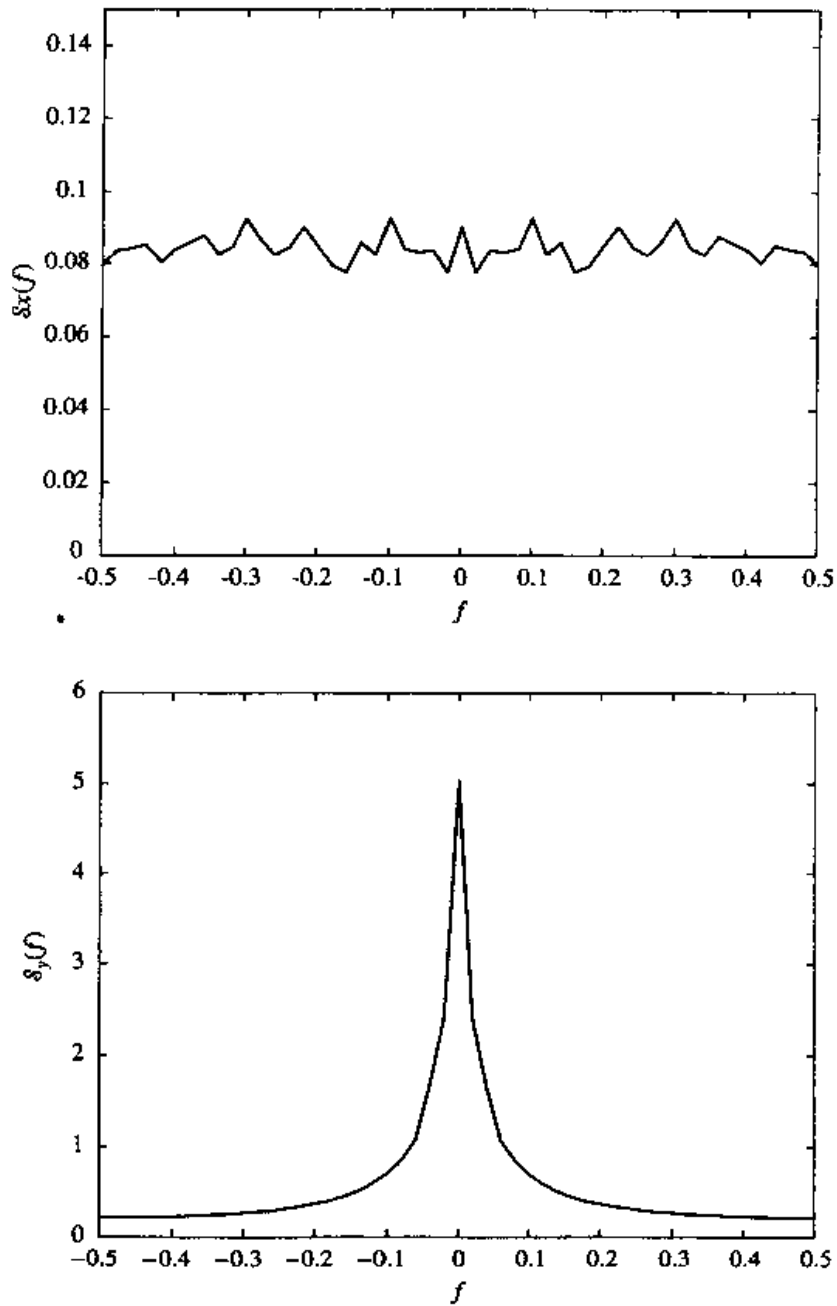


图 2.18 解说题 2.9 中的自相关函数  $R_x(m)$  和  $R_y(m)$

```

    Syav=Syav+Sy;
    echo off ;
end;
echo on ;
Rxav=Rxav/10;
Ryav=Ryav/10;
Sxav=Sxav/10;
Syav=Syav/10;
% Plotting commands follow

```

图 2.19 解说题 2.9 中的功率谱  $S_x(f)$  和  $S_y(f)$ 

## VI 文件

```
function [Rx]=Rx_est(X,M)
% [Rx]=Rx_est(X,M)
%      RX_EST Estimates the autocorrelation of the sequence of random
%      variables given in X. Only Rx(0), Rx(1), ..., Rx(M) are computed.
```

---

```
%           Note that Rx(m) actually means Rx(m-1).
N=length(X);
Rx=zeros(1,M+1);
for m=1:M+1,
    for n=1:N-m+1,
        Rx(m)=Rx(m)+X(n)*X(n+m-1);
    end;
    Rx(m)=Rx(m)/(N-m+1);
end;
```

---

**定义:**若过程的功率谱在某中心频率  $\pm f_0$  临近的一个频带内是大的,而在该频带以外相对很小,就称这个随机过程是带通过程,若通带  $B \ll f_0$ ,就说是一个窄带过程。

带通过程对表示调制信号是很适合的。在通信系统中,携带信息的信号通常都是一个低通随机过程,用它去调制某一载波,而在一个带通(窄带)通信信道上传输。因此,已调信号是一个带通随机过程。

和在确定性信号情况一样,带通随机过程  $X(t)$  也能表示成

$$X(t) = X_c(t)\cos(2\pi f_0 t) - X_s(t)\sin(2\pi f_0 t) \quad (2.6.1)$$

这里  $X_c(t)$  和  $X_s(t)$  称为  $X(t)$  的同相和正交分量。随机过程  $X_c(t)$  和  $X_s(t)$  都是低通过程。下面的定理(不作证明)给出了  $X(t)$ ,  $X_c(t)$  和  $X_s(t)$  之间的重要关系。

**定理:**若  $X(t)$  是一个零均值的平稳随机过程,那么过程  $X_c(t)$  和  $X_s(t)$  也是零均值,联合平稳过程。

事实上,很容易证明(见文献[1]), $X_c(t)$  和  $X_s(t)$  的自相关函数是相同的,且可表示为

$$R_c(\tau) = R_s(\tau) = R_x(\tau)\cos(2\pi f_0 \tau) + \hat{R}_x(\tau)\sin(2\pi f_0 \tau) \quad (2.6.2)$$

式中  $R_x(\tau)$  是带通过程  $X(t)$  的自相关函数,而  $\hat{R}_x(\tau)$  是  $R_x(\tau)$  的希尔伯特变换,它定义为

$$\hat{R}_x(\tau) = \frac{1}{\pi} \int_{-\infty}^{\infty} \frac{R(t)}{\tau - t} dt \quad (2.6.3)$$

另外,  $X_c(t)$  和  $X_s(t)$  的互相关函数表示为

$$R_{cs}(\tau) = R_x(\tau)\sin(2\pi f_0 \tau) - \hat{R}_x(\tau)\cos(2\pi f_0 \tau) \quad (2.6.4)$$

最后,用自相关函数  $R_c(\tau)$  和互相关函数  $R_{cs}(\tau)$ ,可将该带通过程  $X(t)$  的自相关函数表示成

$$R_x(\tau) = R_c(\tau)\cos(2\pi f_0 \tau) - R_{cs}(\tau)\sin(2\pi f_0 \tau) \quad (2.6.5)$$



## 解答题

## 解答题 2.10 [带通随机过程样本的产生]

按下述方法产生一带通随机过程的样本:首先产生两个统计独立的随机过程  $X_c(t)$  和  $X_s(t)$ , 然后分别用它们去调制两个互为正交的载波  $\cos(2\pi f_0 t)$  和  $\sin(2\pi f_0 t)$ , 如图 2.20 所示。

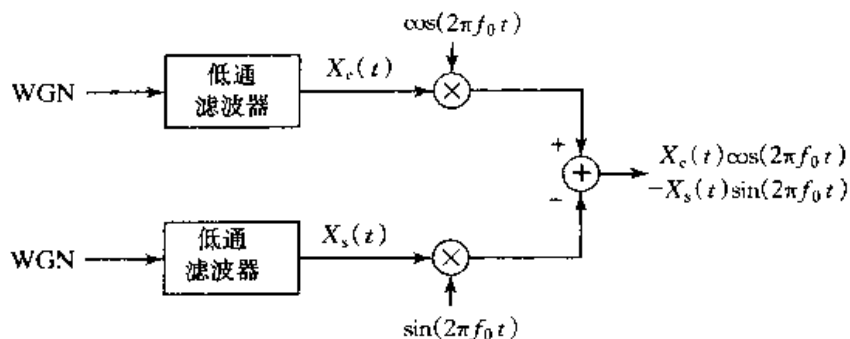


图 2.20 带通随机过程的产生

## 题解

在一台计算机上,将两个独立的白噪声过程经由两个完全一样的低通滤波器过滤,产生低通过程  $X_c(t)$  和  $X_s(t)$  的样本。由此就得到样本  $X_c(n)$  和  $X_s(n)$ ,这就相应于  $X_c(t)$  和  $X_s(t)$  的采样值。然后,用  $X_c(n)$  调制已采样的载波  $\cos(2\pi f_0 nT)$  和用  $X_s(n)$  调制正交载波  $\sin(2\pi f_0 nT)$ , 这里  $T$  是合适的采样间隔。

这些计算的 MATLAB 脚本给出如下。为了说明起见,已选取的低通滤波器具有传递函数为

$$H(z) = \frac{1}{1 - 0.9z^{-1}}$$

同时选  $T=1$  和  $f_0=1000/\pi$ 。这个带通过程所得到的功率谱如图 2.21 所示。

## M 文件

```

% MATLAB script for Illustrative Problem 2.10.
N=1000; % number of samples
for i=1:2:N,
    [X1(i) X1(i+1)]=gngauss;
    [X2(i) X2(i+1)]=gngauss;
    echo off ;
end; % standard Gaussian input noise processes
echo on ;
  
```

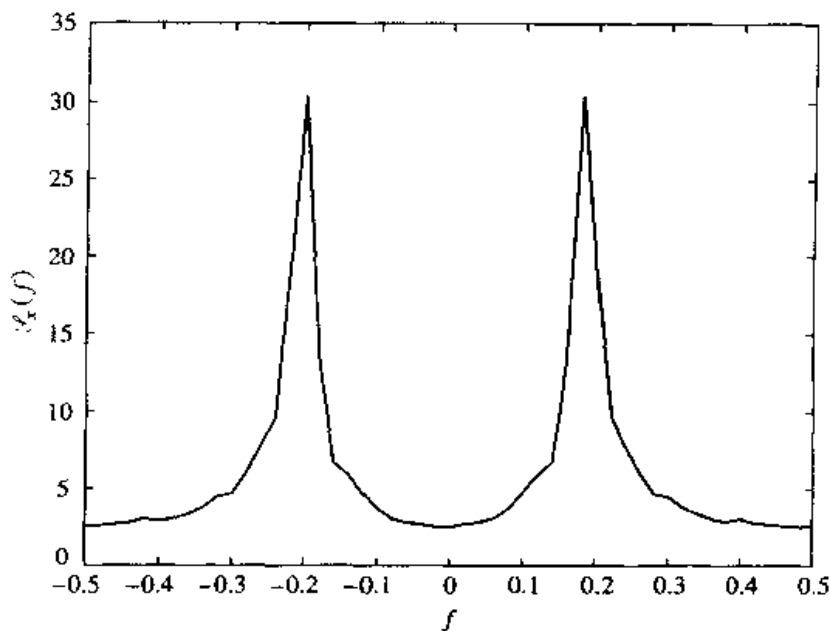


图 2.21 解答题 2.10 中带通过程的功率谱

```

A=[1 -0.9]; % lowpass filter parameters
B=1;
Xc=filter(B,A,X1);
Xs=filter(B,A,X2);
fc=1000/pi; % carrier frequency
for i=1:N,
    band_pass_process(i)=Xc(i)*cos(2*pi*fc*i)-Xs(i)*sin(2*pi*fc*i);
    echo off ;
end; % T=1 is assumed
echo on;
% Determine the autocorrelation and the spectrum of the bandpass process
M=50;
bpp_autocorr=Rx_est(band_pass_process,M);
bpp_spectrum=fftshift(abs(fft(bpp_autocorr)));
% plotting commands follow

```

## 习 题

- 2.1 利用 MATLAB 函数  $\text{rand}(1, N)$  在区间  $[0, 1]$  上产生 1 000 个均匀随机数的集合, 画出这个序列的直方图和概率分布函数。直方图可以这样做: 用覆盖住  $[0, 1]$  范围的 10 个等宽度的子区间, 去量化这个区间, 并在每个子区间内计数。
- 2.2 利用 MATLAB 函数  $\text{rand}(1, N)$  在区间  $[-\frac{1}{2}, \frac{1}{2}]$  上产生 1 000 个均匀随

机数的集合,画出这个序列的直方图和概率分布函数。

- 2.3 利用 MATLAB 函数  $\text{rand}(1, N)$  在区间  $[-2, 2]$  上产生 1 000 个均匀随机数的集合,画出这个序列的直方图和概率分布函数。

- 2.4 产生一个具有如下线性概率密度函数

$$f(x) = \begin{cases} \frac{x}{2}, & 0 \leq x \leq 2 \\ 0, & \text{其余 } x \end{cases}$$

的 1 000 个随机数,画出直方图概率分布函数。

- 2.5 利用 2.2 节叙述的方法,产生 1 000 个具有零均值和单位方差的高斯随机数的集合,画出这个序列的直方图和概率分布函数。在画直方图时,随机数的范围可以划分成宽度为  $\sigma^2/5$  的子区间,从包括  $-\sigma^2/10 < x < \sigma^2/10$  范围的第 1 个区间开始,这里  $\sigma^2$  是方差。

- 2.6 利用 MATLAB 函数  $\text{randn}(1, N)$  产生 1 000 个具有零均值和单位方差的高斯随机数的集合,画出这个序列的直方图和概率分布函数。将这个结果与习题 2.5 的结果作比较。

- 2.7 产生 1 000 对高斯随机数  $(x_1, x_2)$ , 具有均值向量为

$$\mathbf{m} = E[x_1 \ x_2] = \begin{bmatrix} \frac{1}{2} & \frac{1}{2} \end{bmatrix}$$

和协方差矩阵为

$$\mathbf{C} = \begin{bmatrix} 1 & \frac{1}{2} \\ \frac{1}{2} & 1 \end{bmatrix}$$

- a. 求样本  $(x_{1i}, x_{2i})$ ,  $i = 1, 2, \dots, 1\ 000$  的均值,它们定义为

$$\hat{m}_1 = \frac{1}{1\ 000} \sum_{i=1}^{1\ 000} x_{1i}$$

$$\hat{m}_2 = \frac{1}{1\ 000} \sum_{i=1}^{1\ 000} x_{2i}$$

同时求它们的方差

$$\hat{\sigma}_1^2 = \frac{1}{1\ 000} \sum_{i=1}^{1\ 000} (x_{1i} - \hat{m}_1)^2$$

$$\hat{\sigma}_2^2 = \frac{1}{1\ 000} \sum_{i=1}^{1\ 000} (x_{2i} - \hat{m}_2)^2$$

和协方差

$$\hat{C}_{ij} = \frac{1}{1\ 000} \sum_{i=1}^{1\ 000} (x_{1i} - \hat{m}_1)(x_{2i} - \hat{m}_2)$$

- b. 将从样本求得的这些值与理论值作比较。

- 2.8 产生 1 000 个高斯-马尔科夫过程的样本序列,该过程由下面递推关系描述

$$X_n = \rho X_{n-1} + W_n, \quad n = 1, 2, \dots, 1\,000$$

式中  $X_0 = 0$ ,  $\rho = 0.9$ , 而  $\{W_n\}$  是一个零均值和单位方差、独立同分布的高斯随机变量。

- 2.9 用一个独立同分布的零均值、单元方差的高斯随机变量重做解说题 2.4。  
2.10 当一带限随机过程的功率谱是

$$\mathcal{S}_x(f) = \begin{cases} 1 - \frac{|f|}{B}, & |f| \leq B \\ 0, & \text{其他 } f \end{cases}$$

重做解说题 2.5。

- 2.11 当线性滤波器的冲激响应为

$$h(t) = \begin{cases} e^{-3t}, & t \geq 0 \\ 0, & t < 0 \end{cases}$$

重做解说题 2.6。

- 2.12 用数值法求习题 2.11 中线性滤波器输出端随机过程的自相关函数。

- 2.13 当  $h(n)$  为

$$h(n) = \begin{cases} 0.8^n, & n \geq 0 \\ 0, & n < 0 \end{cases}$$

重做解说题 2.8。

- 2.14 产生一个在  $[-\frac{1}{2}, \frac{1}{2}]$  内,  $N = 1\,000$  均匀分布随机数的独立同分布序列  $\{x_n\}$ 。这个序列通过一线性滤波器,其脉冲响应为

$$h(n) = \begin{cases} 0.95^n, & n \geq 0 \\ 0, & n < 0 \end{cases}$$

作为输入的函数,描述这个滤波器输出的递推方程是

$$y_n = 0.95y_{n-1} + x_n \quad n \geq 0, y_{-1} = 0$$

利用(2.4.6)式和(2.4.7)式给出的关系,计算这个序列  $\{x_n\}$  和  $\{y_n\}$  的自相关函数  $R_x(m)$  和  $R_y(m)$ , 及其相应的功率谱  $\mathcal{S}_x(f)$  和  $\mathcal{S}_y(f)$ 。将  $\mathcal{S}_y(f)$  的结果与解说题 2.8 中得到的结果作比较。

- 2.15 产生两个在  $[-\frac{1}{2}, \frac{1}{2}]$  内,  $N = 1\,000$  均匀分布随机数的独立同分布序列  $\{w_{cn}\}$  和  $\{w_{sn}\}$ , 每一个序列都通过一线性滤波器,其脉冲响应为

$$h(n) = \begin{cases} (\frac{1}{2})^n, & n \geq 0 \\ 0, & n < 0 \end{cases}$$

该滤波器的输入/输出特性由下面递推关系给出

$$x_n = \frac{1}{2}x_{n-1} + w_n, \quad n \geq 1, x_0 = 0$$

由此得到两个序列  $\{x_{cn}\}$  和  $\{x_{sn}\}$ 。输出序列  $\{x_{cn}\}$  调制载波  $\cos(\pi/2)n$ ，输出序列  $\{x_{sn}\}$  调制正交载波  $\sin(\pi/2)n$ 。按(2.6.1)式将这两个已调分量组合起来就构成带通信号。

分别对序列  $\{x_{cn}\}$  和  $\{x_{sn}\}$  计算并画出自相关函数分量  $R_c(m)$  和  $R_s(m)$ ， $|m| \leq 10$ 。计算带通信号的自相关函数  $R_r(m)$ ， $|m| \leq 10$ 。用 DFT(或 FFT 算法)计算功率谱  $\mathcal{P}_c(f)$ ， $\mathcal{P}_s(f)$  和  $\mathcal{P}_r(f)$ 。画出这些功率谱，并对这些结果进行讨论。

# 第 3 章 模拟调制

## 3.1 概述

这一章要讨论各种模拟调制解调系统的性能(包括有加性噪声和无加性噪声存在时的情况),要讨论的系统包括幅度调制(AM)方法(譬如 DSB-AM,SSB-AM 和常规 AM)和角调制方法(如频率与相位调制)。每种模拟调制系统都用下面 5 个方面的基本性质来表征:

1. 已调信号的时域表示;
2. 已调信号的频域表示;
3. 已调信号的带宽;
4. 已调信号的功率含量;
5. 解调后的信号噪声比(SNR)。

很显然,这些性质互相之间不是独立的。通过傅里叶变换关系反映出信号的时域和频域表示之间存在着很紧密的关系;另外,信号的带宽也是用它的频域特性来定义的。

由于幅度调制和角调制方法存在着根本的不同,所以这两种方法需单立节次给予讨论。这一章从最简单的调制方法——幅度调制开始讨论。

## 3.2 幅度调制(AM)

**幅度调制(AM)**往往为**线性调制**,它是调制方法当中的一类,其中一个正弦载波的幅度作为调制信号的函数而改变。这一类调制方法由 DSB-AM(双边带幅度调制)、常规幅度调制、SSB-AM(单边带幅度调制)和 VSB-AM(残留边带幅度调制)等组成。调制信号和已调载波幅度之间的依赖关系可以很简单,如 DSB-AM;或者非常复杂,如 SSB-AM 或 VSB-AM 就属于这样。与角调制方法相比,幅度调制常以相对低的带宽要求和功率效率不高为其特点。AM 系统的带宽要求在  $W$  和  $2W$  之间变化,这里  $W$  是消息信号的带宽。对 SSB-AM,带宽是  $W$ ,DSB-AM 和常规 AM 带宽都是  $2W$ ,而对 VSB-AM 带宽则位于  $W$  和  $2W$  之间。这些系统广泛用于广播(AM 无线电广播和 TV 视频广播)、点到点通信

(SSB)和多路复用(如很多电话信道在微波链路上传输)等系统中。

### 3.2.1 DSB-AM

在DSB-AM中,已调信号的幅度正比于消息信号。这意味着,已调信号的时域表示由下式给出

$$u(t) = m(t)c(t) = A_c m(t) \cos(2\pi f_c t) \quad (3.2.1)$$

式中

$$c(t) = A_c \cos(2\pi f_c t) \quad (3.2.2)$$

是载波,而  $m(t)$  是消息信号。取  $u(t)$  的傅里叶变换,就得 DSB-AM 信号的频表示为

$$U(f) = \frac{A_c}{2} M(f - f_c) + \frac{A_c}{2} M(f + f_c) \quad (3.2.3)$$

式中  $M(f)$  是  $m(t)$  的傅里叶变换。很明显,这种调制型式将消息信号的频谱作了  $\pm f_c$  的频移,并在幅度上乘以  $A_c/2$ 。传输带宽  $B_T$  中消息信号带宽的两倍,即

$$B_T = 2W \quad (3.2.4)$$

图 3.1 示出一个典型的消息信号频谱及其相应的 DSB-AM 已调信号的频谱图。

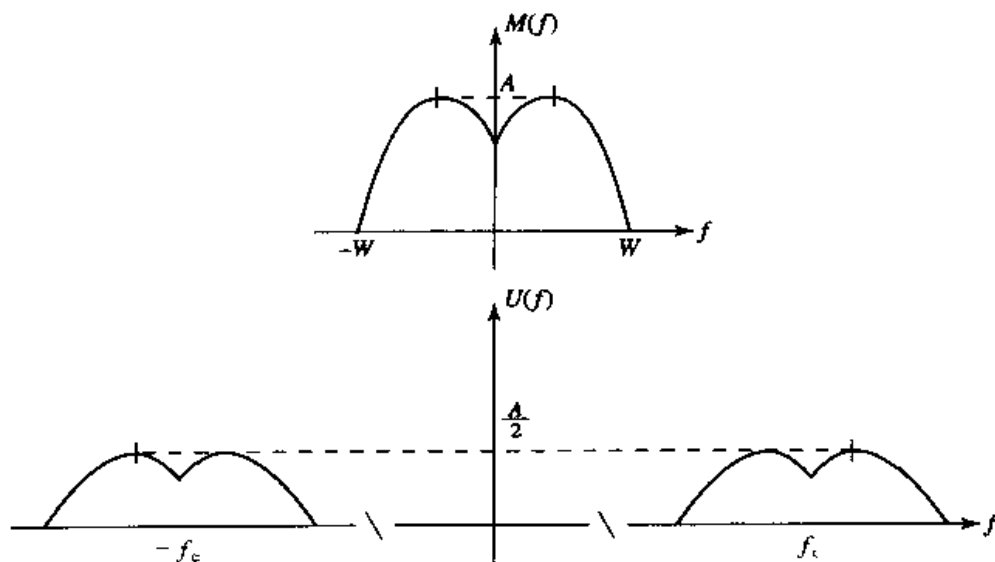


图 3.1 消息信号和 DSB-AM 已调信号的频谱

已调信号的功率由下式给出

$$P_u = \lim_{T \rightarrow \infty} \frac{1}{T} \int_{-T/2}^{T/2} u^2(t) dt$$

$$\begin{aligned}
&= \lim_{T \rightarrow \infty} \frac{1}{T} \int_{-T/2}^{T/2} A_c^2 m^2(t) \cos^2(2\pi f_c t) dt \\
&= \lim_{T \rightarrow \infty} \frac{1}{T} \int_{-T/2}^{T/2} A_c^2 m^2(t) \frac{1 + \cos(4\pi f_c t)}{2} dt \\
&= A_c^2 \left\{ \lim_{T \rightarrow \infty} \frac{1}{T} \int_{-T/2}^{T/2} \frac{m^2(t)}{2} dt + \lim_{T \rightarrow \infty} \frac{1}{T} \int_{-T/2}^{T/2} m^2(t) \frac{\cos(4\pi f_c t)}{2} dt \right\} \\
&= A_c^2 \lim_{T \rightarrow \infty} \frac{1}{T} \int_{-T/2}^{T/2} \frac{m^2(t)}{2} dt \quad (3.2.5)
\end{aligned}$$

$$= \frac{A_c^2}{2} P_m \quad (3.2.6)$$

式中  $P_m$  是消息信号的功率。(3.2.5)式是由这一点直接得出的： $m(t)$ 是一个低通信号，其频率分量远远小于  $2f_c$ ，即  $\cos(4\pi f_c t)$  的频率分量，因此下面积分

$$\int_{-T/2}^{T/2} m^2(t) \frac{\cos(4\pi f_c t)}{2} dt \quad (3.2.7)$$

随  $T \rightarrow \infty$  而趋近于零。最后，DSB-AM 系统的 SNR 等于基带的 SNR，即

$$\left( \frac{S}{N} \right)_o = \frac{P_R}{N_0 W} \quad (3.2.8)$$

式中  $P_R$  是接收到的功率(在接收端已调信号的功率)， $N_0/2$  是噪声功率谱密度(假定为白噪声)， $W$  是消息信号的带宽。

## 解答题

### 解答题 3.1 [DSB-AM 调制]

消息信号  $m(t)$  定义为

$$m(t) = \begin{cases} 1, & 0 \leq t \leq \frac{t_0}{3} \\ -2, & \frac{t_0}{3} < t \leq \frac{2t_0}{3} \\ 0, & \text{其余 } t \end{cases}$$

该消息以 DSB-AM 方式调制载波  $c(t) = \cos(2\pi f_c t)$ ，所得已调信号记为  $u(t)$ 。假设  $t_0 = 0.15$  s 和  $f_c = 250$  Hz，

1. 求  $u(t)$  的表达式。
2. 导出  $m(t)$  和  $u(t)$  的频谱。
3. 假定消息信号是周期的，周期  $T_0 = t_0$ ，求在已调信号中的功率。
4. 在本题第 3 部分，若噪声加到已调信号上，所得 SNR 是 10 dB，求噪声功率。

## 题解

1.  $m(t)$  可以写成



$$m(t) = \Pi\left(\frac{t - t_0/6}{t_0/3}\right) - 2\Pi\left(\frac{t - t_0/2}{t_0/3}\right)$$

因此,

$$u(t) = \left[ \Pi\left(\frac{t - 0.025}{0.05}\right) - 2\Pi\left(\frac{t - 0.075}{0.05}\right) \right] \cos(500\pi t) \quad (3.2.9)$$

2. 利用标准傅里叶变换关系  $\mathcal{F}[\Pi(t)] = \text{sinc}(t)$ , 再结合傅里叶变换的时移和尺度变换定理, 可得

$$\begin{aligned} \mathcal{F}[m(t)] &= \frac{t_0}{3} e^{-j\pi f t_0/3} \text{sinc}\left(\frac{t_0 f}{3}\right) - 2 \frac{t_0}{3} e^{-j\pi f t_0} \text{sinc}\left(\frac{t_0 f}{3}\right) \\ &= \frac{t_0}{3} e^{j\pi f t_0/3} \text{sinc}\left(\frac{t_0 f}{3}\right) (1 - 2e^{-j2\pi f t_0/3}) \end{aligned} \quad (3.2.10)$$

将  $t_0 = 0.15 \text{ s}$  代入后, 得到

$$\mathcal{F}[m(t)] = 0.05 e^{-0.05j\pi f} \text{sinc}(0.05f) (1 - 2e^{-0.1j\pi f}) \quad (3.2.11)$$

对已调信号  $u(t)$  就有

$$\begin{aligned} U(f) &= 0.025 e^{-0.05j\pi(f-f_c)} \text{sinc}[0.05(f-f_c)] (1 - 2e^{-0.1j\pi(f-f_c)}) \\ &\quad + 0.025 e^{-0.05j\pi(f+f_c)} \text{sinc}[0.05(f+f_c)] (1 - 2e^{-0.1j\pi(f+f_c)}) \end{aligned}$$

消息信号和已调制信号的幅度谱如图 3.2 所示。

3. 在已调信号中的功率为

$$P_u = \frac{A_c^2}{2} P_m = \frac{1}{2} P_m$$

式中  $P_m$  是消息信号的功率,

$$P_m = \frac{1}{t_0} \int_0^{2t_0/3} m^2(t) dt = \frac{1}{t_0} \left( \frac{t_0}{3} + \frac{4t_0}{3} \right) = \frac{5}{3} = 1.666$$

和

$$P_u = \frac{1.666}{2} = 0.833$$

4. 这里

$$10 \log_{10} \left( \frac{P_R}{P_n} \right) = 10$$

或者  $P_R = P_u = 10P_n$ , 就找到  $P_n = P_u/10 = 0.0833$ 。

本题的 MATLAB 脚本如下。

### M 文件

```
% Matlab script for Illustrative Problem 3.1.
% Matlab demonstration script for DSB-AM modulation. The message signal
% is +1 for 0 < t < t0/3, -2 for t0/3 < t < 2t0/3, and zero otherwise.
echo on
```

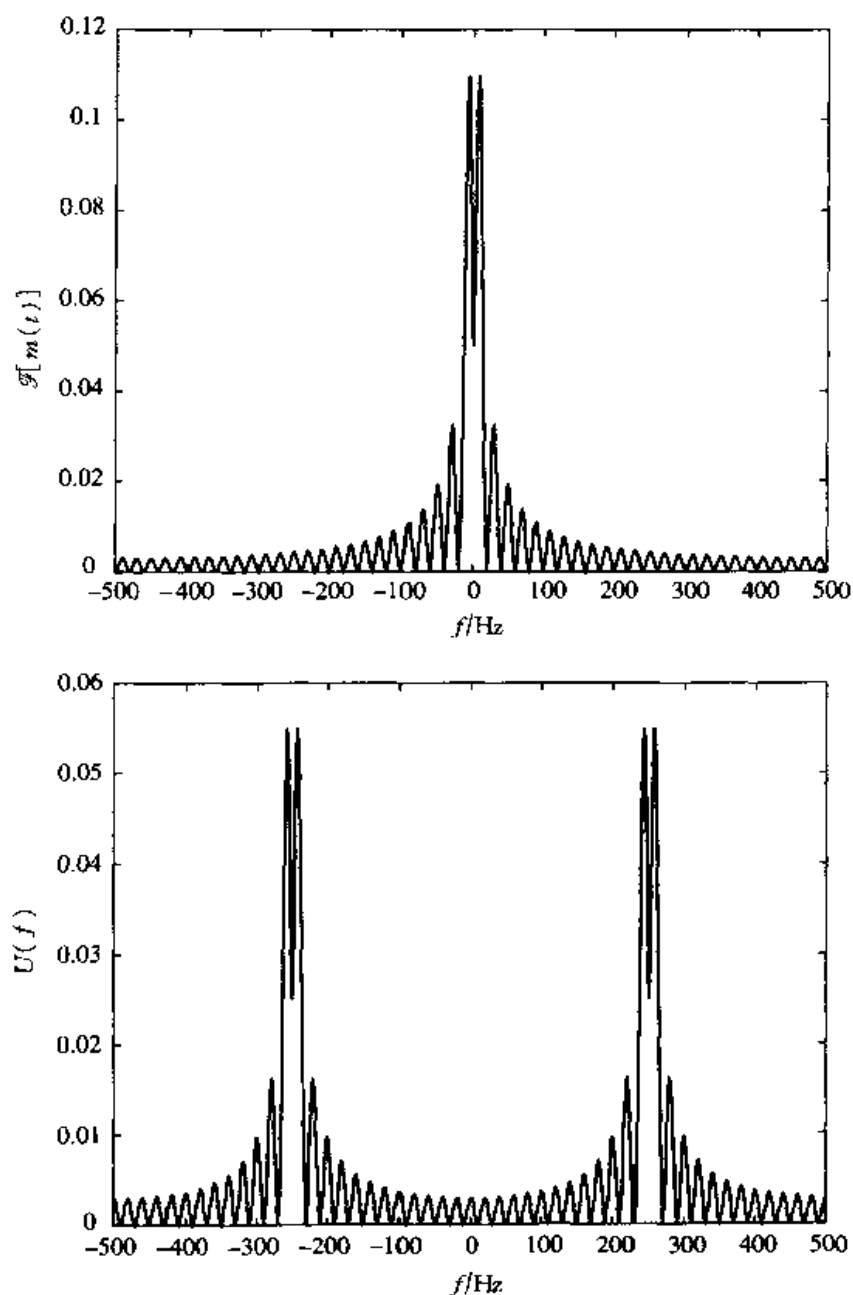


图 3.2 解说题 3.1 中消息和已调制信号的幅度谱

```

t0=15; % signal duration
ts=0.001; % sampling interval
fc=250; % carrier frequency
snr=20; % SNR in dB (logarithmic)
fs=1/ts; % sampling frequency
df=0.3; % desired freq. resolution

```

```

t=[0:ts:10]; % time vector
snr_lin=10^(snr/10); % linear SNR
% message signal
m={ones(1,t0/(3*ts)), -2*ones(1,t0/(3*ts)), zeros(1,t0/(3*ts)+1)};
c=cos(2*pi*fc.*t); % carrier signal
u=m.*c; % modulated signal
[M,m,df1]=fftseq(m,ts,df); % Fourier transform
M=M/fs; % scaling
[U,u,df1]=fftseq(u,ts,df); % Fourier transform
U=U/fs; % scaling
[C,c,df1]=fftseq(c,ts,df); % Fourier transform
f=[0:df1:df1*(length(m)-1)]-fs/2; % freq. vector
signal_power=spower(u(1:length(t))); % power in modulated signal
noise_power=signal_power/snr_lin; % compute noise power
noise_std=sqrt(noise_power); % compute noise standard deviation
noise=noise_std*randn(1,length(u)); % generate noise
r=u+noise; % add noise to the modulated signal
[R,r,df1]=fftseq(r,ts,df); % spectrum of the signal+noise
R=R/fs; % scaling
pause % Press a key to show the modulated signal power
signal_power
pause % Press any key to see plot of the message
clf
subplot(2,2,1)
plot(t,m(1:length(t)))
xlabel('Time')
title('The message signal')
pause % Press any key to see a plot of the carrier
subplot(2,2,2)
plot(t,c(1:length(t)))
xlabel('Time')
title('The carrier')
pause % Press any key to see a plot of the modulated signal
subplot(2,2,3)
plot(t,u(1:length(t)))
xlabel('Time')
title('The modulated signal')
pause % Press any key to see plots of the magnitude of the message and the
% modulated signal in the frequency domain.
subplot(2,1,1)
plot(f,abs(fftshift(M)))
xlabel('Frequency')
title('Spectrum of the message signal')
subplot(2,1,2)
plot(f,abs(fftshift(U)))
title('Spectrum of the modulated signal')
xlabel('Frequency')
pause % Press a key to see a noise sample
subplot(2,1,1)
plot(t,noise(1:length(t)))
title('Noise sample')
xlabel('Time')
pause % Press a key to see the modulated signal and noise

```

```

subplot(2,1,2)
plot(t,r(1:length(t)))
title('Signal and noise')
xlabel('Time')
pause % Press a key to see the modulated signal and noise in freq. domain
subplot(2,1,1)
plot(f,abs(fftshift(U)))
title('Signal spectrum')
xlabel('Frequency')
subplot(2,1,2)
plot(f,abs(fftshift(R)))
title('Signal and noise spectrum')
xlabel('Frequency')

```

### 解说题

#### 解说题 3.2 [近乎带限信号的 DSB 调制]

消息信号  $m(t)$  给出为

$$m(t) = \begin{cases} \text{sinc}(100t), & |t| \leq t_0 \\ 0, & \text{其余 } t \end{cases}$$

这里  $t_0 = 0.1 \text{ s}$ 。用这个消息去调制载波  $c(t) = \cos(2\pi f_c t)$ ,  $f_c = 250 \text{ Hz}$ 。

1. 求已调信号  $u(t)$ 。
2. 求  $m(t)$  和  $u(t)$  的频谱。
3. 如果消息信号是周期的, 周期  $T_0 = 0.2 \text{ s}$ , 求在已调信号中的功率。
4. 若将一高斯噪声加到该已调信号上, 使得 SNR 为 10 dB, 求噪声功率。

### 题 解

$$1. \quad u(t) = m(t)c(t)$$

$$= \begin{cases} \text{sinc}(100t)\cos(500t), & |t| \leq 0.1 \\ 0, & \text{其余 } t \end{cases} \quad (3.2.12)$$

$$= \text{sinc}(100t)\Pi(5t)\cos(500t) \quad (3.2.13)$$

2.  $m(t)$  和  $u(t)$  的频谱如图 3.3 所示。由图可见, 该消息信号几乎是一个带限信号, 带宽为 50 Hz。

3. 已调信号的功率是消息信号功率的一半, 消息信号的功率为

$$P_m = \frac{1}{0.2} \int_{-0.1}^{0.1} \text{sinc}^2(100t) dt$$

这个积分可用 MATLAB 的 M 文件 quad8.m 计算, 得出  $P_m = 0.0495$ , 所以  $P_u = 0.0247$ 。

4. 现在有

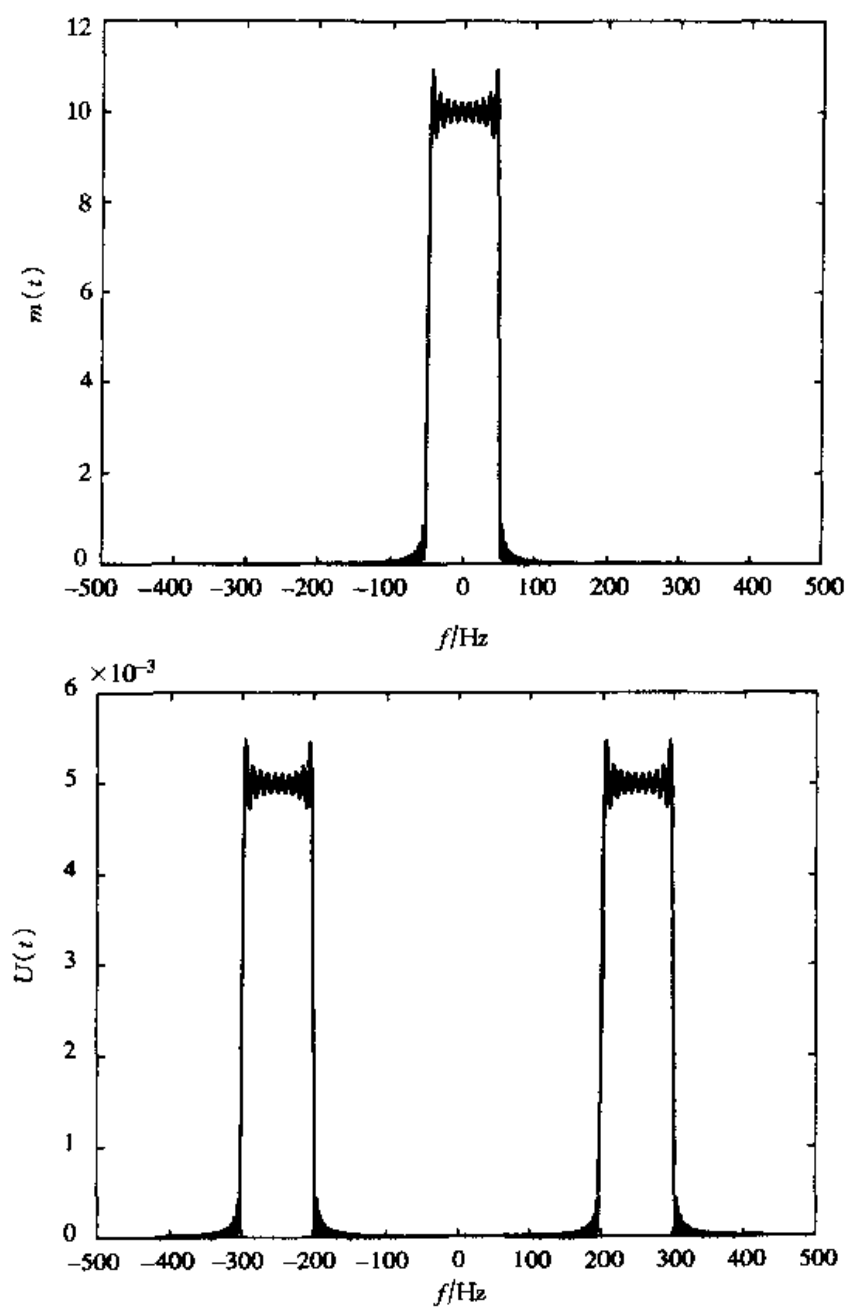


图 3.3 解说题 3.2 中消息信号和已调信号的频谱

$$10\log_{10}\left(\frac{P_R}{P_n}\right) = 10 \Rightarrow P_n = 0.1P_R = 0.1P_u = 0.00247$$

本题的 MATLAB 脚本如下。

## M 文件

```

% Matlab script for Illustrative Problem 3.2.
% Matlab demonstration script for DSB-AM modulation. The message signal
% is  $m(t)=\text{sinc}(100t)$ .
echo on
t0=.2; % signal duration
ts=0.001; % sampling interval
fc=250; % carrier frequency
snr=20; % SNR in dB (logarithmic)
fs=1/ts; % sampling frequency
df=0.3; % required freq. resolution
t=[-t0/2:ts:t0/2]; % time vector
snr_lin=10^(snr/10); % linear SNR
m=sinc(100*t); % the message signal
c=cos(2*pi*fc.*t); % the carrier signal
u=m.*c; % the DSB-AM modulated signal
[M,m,df1]=fftseq(m,ts,df); % Fourier transform
M=M/fs; % scaling
[U,u,df1]=fftseq(u,ts,df); % Fourier transform
U=U/fs; % scaling
f=[0:df1:df1*(length(m)-1)]-fs/2; % frequency vector
signal_power=spower(u(1:length(t))); % compute modulated signal power
noise_power=signal_power/snr_lin; % compute noise power
noise_std=sqrt(noise_power); % compute noise standard deviation
noise=noise_std*randn(1,length(u)); % generate noise sequence
r=u+noise; % add noise to the modulated signal
[R,r,df1]=fftseq(r,ts,df); % Fourier transform
R=R/fs; % scaling
pause % Press a key to show the modulated signal power
signal_power
pause % Press any key to see a plot of the message
clf
subplot(2,2,1)
plot(t,m(1:length(t)))
xlabel('Time')
title('The message signal')
pause % Press any key to see a plot of the carrier
subplot(2,2,2)
plot(t,c(1:length(t)))
xlabel('Time')
title('The carrier')
pause % Press any key to see a plot of the modulated signal
subplot(2,2,3)
plot(t,u(1:length(t)))
xlabel('Time')
title('The modulated signal')
pause % Press any key to see a plot of the magnitude of the message and the
% modulated signal in the frequency domain.
subplot(2,1,1)
plot(f,abs(fftshift(M)))
xlabel('Frequency')
title('Spectrum of the message signal')

```

```

subplot(2,1,2)
plot(f,abs(fftshift(U)))
title('Spectrum of the modulated signal')
xlabel('Frequency')
pause % Press a key to see a noise sample
subplot(2,1,1)
plot(t,noise(1:length(t)))
title('Noise sample')
xlabel('Time')
pause % Press a key to see the modulated signal and noise
subplot(2,1,2)
plot(t,r(1:length(t)))
title('Signal and noise')
xlabel('Time')
pause % Press a key to see the modulated signal and noise in freq. domain
subplot(2,1,1)
plot(f,abs(fftshift(U)))
title('Signal spectrum')
xlabel('Frequency')
subplot(2,1,2)
plot(f,abs(fftshift(R)))
title('Signal and noise spectrum')
xlabel('Frequency')

```

### 思考题

如果改变消息信号的持续期  $t_0$ , 会产生什么结果, 特别是在大的  $t_0$  和小的  $t_0$  时会有什么结果? 在带宽和信号功率上有什么效果?

下面给出的 M 文件 dsb\_mod.m 是以向量  $m$  给出的消息信号对频率为  $f_c$  的载波所进行的通用 DSB 调制器。

### M 文件

```

function u=dsb_mod(m,ts,fc)
%          u=dsb_mod(m,ts,fc)
%DSB_MOD  takes signal m sampled at ts and carrier
%          freq. fc as input and returns the DSB modulated
%          signal. ts << 1/2fc. The modulated signal
%          is normalized to have half the message power.
%          The message signal starts at 0.

t=[0:length(m)-1]*ts;
u=m.*cos(2*pi*t);

```

#### 3.2.2 常规 AM

在很多方面, 常规 AM 和 DSB-AM 是类似的, 唯一的差别是在常规 AM 中,

$m(t)$  被  $[1 + am_n(t)]$  代替, 这里  $m_n(t)$  是经归一化后的消息信号 (也即  $|m_n(t)| \leq 1$ ),  $a$  是调制指数, 而且是位于 0 和 1 之间的一个正的常数。由此有

$$u(t) = A_c[1 + am_n(t)]\cos(2\pi f_c t) \quad (3.2.14)$$

和

$$U(f) = \frac{A_c}{2}[\delta(f - f_c) + aM_n(f - f_c) + \delta(f + f_c) + aM_n(f + f_c)] \quad (3.2.15)$$

将消息信号幅度加权, 并在它上面加一个常数的净效果就是使这一项  $[1 + am_n(t)]$  总是正的。这就使得这些信号的解调变得十分容易而使用包络检波器就能完成。在  $U(f)$  中注意到频率为  $f_c$  的正弦分量的存在, 这意味着发射功率中有相当一部分是在信号载波上, 而信号载波实在没有用作信息的传输。这点表明, 与 DSB-AM 比较, 常规 AM 在功率利用率上是一种不够经济的调制方法。当然, 带宽是等于 DSB-AM 的带宽为

$$B_T = 2W \quad (3.2.16)$$

消息信号和相应的常规 AM 信号的典型频域图如图 3.4 所示。

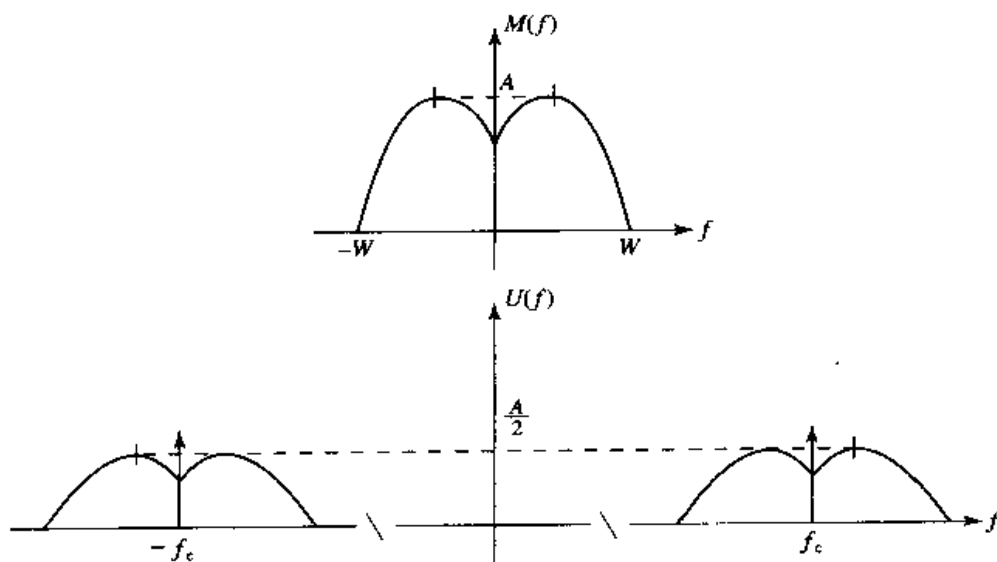


图 3.4 消息信号和常规 AM 信号的频谱

假设消息信号是零均值信号, 已调信号的功率就为

$$P_u = \frac{A_c^2}{2}[1 + a^2 P_{m_n}] \quad (3.2.17)$$

它由两部分构成:  $A_c^2/2$  是载波的功率;  $(A_c^2/2)a^2 P_{m_n}$  是已调信号中携带有消息部分的功率, 而这个功率才是真正用于传送消息的功率。用于传送消息的功率



与已调信号总功率的比称为调制效率, 定义为

$$\eta = \frac{a^2 P_{m_n}}{1 + a^2 P_{m_n}} \quad (3.2.18)$$

因为  $|m_n(t)| \leq 1$  和  $a \leq 1$ , 所以总有  $\eta \leq 0.5$ 。然而, 实际上  $\eta$  的值大约在 0.1 左右。信号噪声比为

$$\left(\frac{S}{N}\right)_o = \eta \frac{P_R}{N_0 W} \quad (3.2.19)$$

式中  $\eta$  是调制效率。可见, 与 DSB-AM 相比, SNR 减小  $\eta$  倍。总功率中相当大的一部分是在载波上(频谱图中的冲激), 而它又不携带任何信息, 在接收端最终要被滤去, 这就是造成性能下降的直接原因。

### 解说题

#### 解说题 3.3 [常规 AM]

消息信号

$$m(t) = \begin{cases} 1, & 0 \leq t < \frac{t_0}{3} \\ -2, & \frac{t_0}{3} \leq t < \frac{2t_0}{3} \\ 0, & \text{其余 } t \end{cases}$$

用常规 AM 方法调制载波  $c(t) = \cos(2\pi f_c t)$ 。假设  $f_c = 250 \text{ Hz}$ ,  $t_0 = 0.15 \text{ s}$ , 调制指数  $a = 0.85$ 。

1. 导出已调信号的表达式。
2. 求消息信号和已调信号的频谱。
3. 如果该消息信号是周期的, 周期等于  $t_0$ , 求已调信号的功率和调制效率。
4. 如果一噪声信号加到该消息信号上, 使解调器输出端的 SNR 是 10 dB, 求该噪声信号的功率。

### 题解

1. 首先注意到  $|m(t)| = 2$ , 因此  $m_n(t) = m(t)/2$ 。由此就有

$$\begin{aligned} u(t) &= \left[ 1 + 0.85 \frac{m(t)}{2} \right] \cos(2\pi f_c t) \\ &= \left[ 1 + 0.425 \Pi\left(\frac{t-0.025}{0.05}\right) - 0.85 \Pi\left(\frac{t-0.075}{0.05}\right) \right] \cos(500\pi t) \end{aligned}$$

该消息信号和已调制信号如图 3.5 所示。

2. 对消息信号有

$$\mathcal{F}[m(t)] = 0.05e^{-0.05j\pi f} \text{sinc}(0.05f)(1 - 2e^{-0.1j\pi f}) \quad (3.2.20)$$

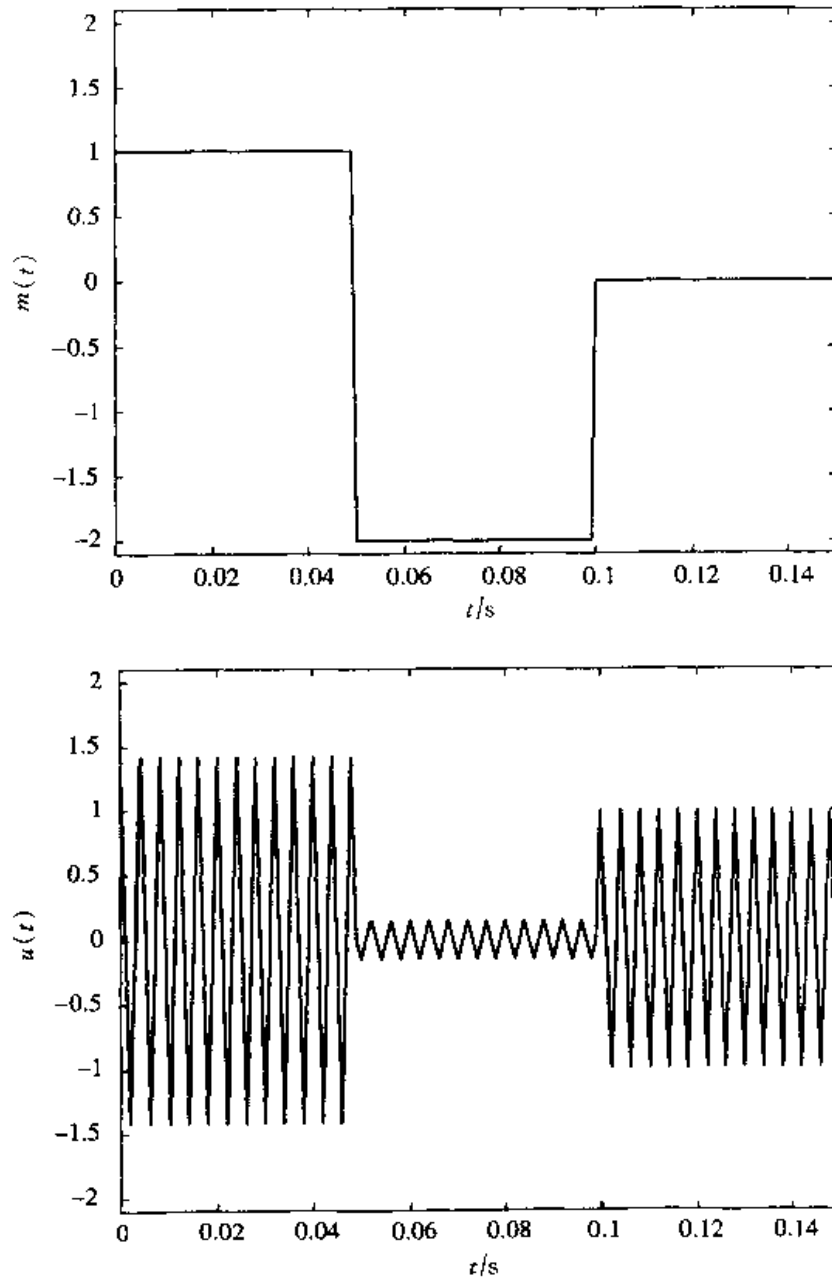


图 3.5 解答题 3.3 中的消息信号和已调制信号

对已调信号有

$$U(f) = 0.010\,625e^{-0.05j\pi(f-250)}\text{sinc}[0.05(f-250)](1 - 2e^{-0.1j\pi(f-250)}) \\ + 0.010\,625e^{-0.05j\pi(f+250)}\text{sinc}[0.05(f+250)](1 - 2e^{-0.1j\pi(f+250)})$$

图 3.6 示出消息信号和已调制信号的频谱。

**注意:**在这两个频谱图上标尺是不同的。在已调制信号的频谱上明显有两个冲激函数存在。

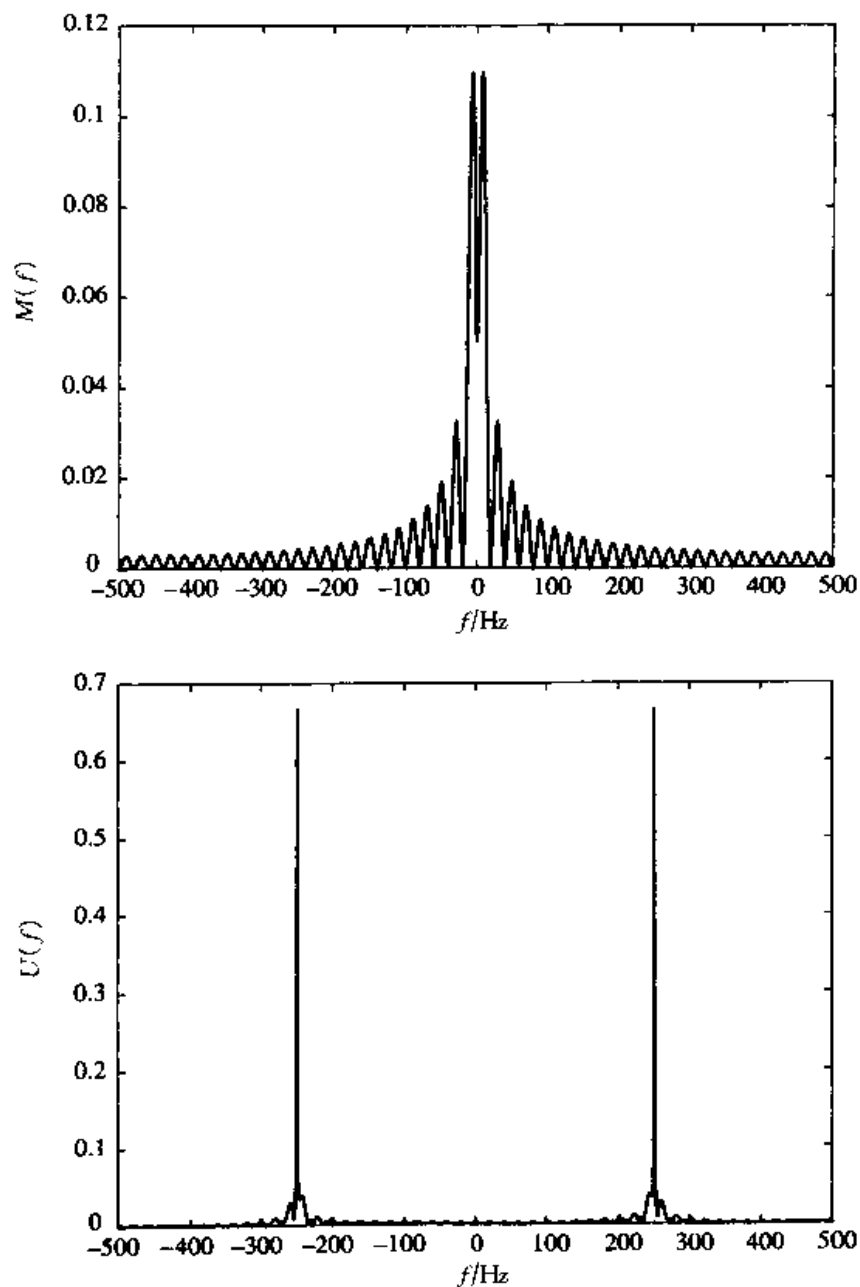


图 3.6 解说题 3.3 中消息信号和已调制信号的频谱

3. 消息信号功率可求得为

$$P_m = \frac{1}{0.15} \left[ \int_0^{0.05} dt + 4 \int_{0.05}^{0.1} dt \right] = 1.667$$

归一化的消息信号功率  $P_{m_n}$  为

$$P_{m_n} = \frac{1}{4} P_m = \frac{1.66}{4} = 0.4167$$

和调制效率是

$$\eta = \frac{a^2 P_{m_n}}{1 + a^2 P_{m_n}} = \frac{0.85^2 \times 0.4167}{1 + 0.85^2 \times 0.4167} = 0.2314$$

已调信号的功率由下式给出( $E$  为期望值)

$$\begin{aligned} P_u &= \frac{A_c^2}{2} E[1 + a m_n(t)]^2 \\ &= \frac{1}{2} \left( 1 + 0.3010 - 1.7 \times \frac{0.025}{0.15} \right) \\ &= 0.5088 \end{aligned}$$

4. 这时

$$10 \log_{10} \left[ \eta \left( \frac{P_R}{N_0 W} \right) \right] = 10$$

或者

$$\eta \left( \frac{P_R}{P_n} \right) = 10$$

将  $\eta = 0.2314$  和  $P_R = P_u = 0.5088$  代入, 得到

$$P_n = \frac{P_u}{10} = 0.0118$$

### 注 释

本题求已调信号功率时不能用下面关系

$$P_u = \frac{A_c^2}{2} [1 + a^2 P_{m_n}]$$

因为本题中  $m(t)$  不是零均值的信号。

本题的 MATLAB 脚本给出如下。

### M 文件

```
% am.m
% Matlab demonstration script for DSB-AM modulation. The message signal
% is +1 for 0 < t < t0/3, -2 for t0/3 < t < 2t0/3, and zero otherwise.
echo on
t0=15; % signal duration
ts=0.001; % sampling interval
fc=250; % carrier frequency
snr=10; % SNR in dB (logarithmic)
a=0.85; % modulation index
fs=1/ts; % sampling frequency
t=[0:ts:t0]; % time vector
df=0.2; % required frequency resolution
snr_lin=10^(snr/10); % SNR
```

```

% message signal
m=[ones(1,t0/(3*ts)), -2*ones(1,t0/(3*ts)), zeros(1,t0/(3*ts)+1)];
c=cos(2*pi*fc.*t); % carrier signal
m_n=m/max(abs(m)); % normalized message signal
[M,m,df1]=fftseq(m,ts,df); % Fourier transform
M=M/fs; % scaling
f=[0:df1:df1*(length(m)-1)]-fs/2; % frequency vector
u=(1+a*m_n).*c; % modulated signal
[U,u,df1]=fftseq(u,ts,df); % Fourier transform
U=U/fs; % scaling
signal_power=power(u(1:length(t))); % power in modulated signal
% power in normalized message
pmn=power(m(1:length(t)))/(max(abs(m)))^2;
eta=(a^2*pmn)/(1+a^2*pmn); % modulation efficiency
noise_power=eta*signal_power/snr_lin; % noise power
noise_std=sqrt(noise_power); % noise standard deviation
noise=noise_std*randn(1,length(u)); % generate noise
r=u+noise; % add noise to the modulated signal
[R,r,df1]=fftseq(r,ts,df); % Fourier transform
R=R/fs; % scaling
pause % Press a key to show the modulated signal power
signal_power
pause % Press a key to show the modulation efficiency
eta
pause % Press any key to see plot of the message
subplot(2,2,1)
plot(t,m(1:length(t)))
axis([0 0.15 -2.1 2.1])
xlabel('Time')
title('The message signal')
pause
pause % Press any key to see a plot of the carrier
subplot(2,2,2)
plot(t,c(1:length(t)))
axis([0 0.15 -2.1 2.1])
xlabel('Time')
title('The carrier')
pause % Press any key to see a plot of the modulated signal
subplot(2,2,3)
plot(t,u(1:length(t)))
axis([0 0.15 -2.1 2.1])
xlabel('Time')
title('The modulated signal')
pause % Press any key to see a plot of the magnitude of the message and the
% modulated signal in the frequency domain.
subplot(2,1,1)
plot(f,abs(fftshift(M)))
xlabel('Frequency')
title('Spectrum of the message signal')
subplot(2,1,2)
plot(f,abs(fftshift(U)))
title('Spectrum of the modulated signal')
xlabel('Frequency')

```

---

```

pause % Press a key to see a noise sample
subplot(2,1,1)
plot(t,noise(1:length(t)))
title('Noise sample')
xlabel('Time')
pause % Press a key to see the modulated signal and noise
subplot(2,1,2)
plot(t,r(1:length(t)))
title('Signal and noise')
xlabel('Time')
pause % Press a key to see the modulated signal and noise in freq. domain
subplot(2,1,1)
plot(f,abs(fftshift(U)))
title('Signal spectrum')
xlabel('Frequency')
subplot(2,1,2)
plot(f,abs(fftshift(R)))
title('Signal and noise spectrum')
xlabel('Frequency')

```

---

下面给出的 MATLAB M 文件 am\_mod.m 是一种通用的常规 AM 调制器。

### MI 文件

---

```

function u=am_mod(a,m,ts,fc)
%          u=am_mod(a,m,ts,fc)
%AM_MOD   takes signal m sampled at ts and carrier
%          freq. fc as input and returns the AM modulated
%          signal. "a" is the modulation index.
%          and ts << 1/2fc.

t=[0:length(m)-1]*ts;
c=cos(2*pi*fc.*t);
m_n=m/max(abs(m));
u=(1+a*m_n).*c;

```

---

### 3.2.3 SSB-AM

除掉 DSB-AM 的一个边带就可得到 SSB-AM, 因此它占有 DSB-AM 一半的带宽。依据所保留的边带是上边带还是下边带, 就有两种类型的 SSB-AM: USSB-AM 和 LSSB-AM。这些信号的时域表示是

$$u(t) = \frac{A_c}{2} m(t) \cos(2\pi f_c t) \mp \frac{A_c}{2} \hat{m}(t) \sin(2\pi f_c t) \quad (3.2.21)$$

式中减号对应于 USSB-AM, 加号是 LSSB-AM。\$\hat{m}(t)\$ 是 \$m(t)\$ 的希尔伯特变换定义为 \$\hat{m}(t) = m(t) \* (1/(\pi t))\$, 或者在频域是 \$\hat{M}(f) = -j \operatorname{sgn}(f) M(f)\$。换

句话说,一个信号的希尔伯特变换代表在全部信号分量上作  $\pi/2$  的相移。这样在频域有

$$U_{\text{USB}}(f) = \begin{cases} [M(f - f_c) + M(f + f_c)], & f_c \leq |f| \\ 0, & \text{其余 } f \end{cases} \quad (3.2.22)$$

和

$$U_{\text{LSB}}(f) = \begin{cases} [M(f - f_c) + M(f + f_c)], & |f| \leq f_c \\ 0, & \text{其余 } f \end{cases} \quad (3.2.23)$$

图 3.7 示出某一消息信号及其对应的 USB-AM 已调信号的典型频谱图。

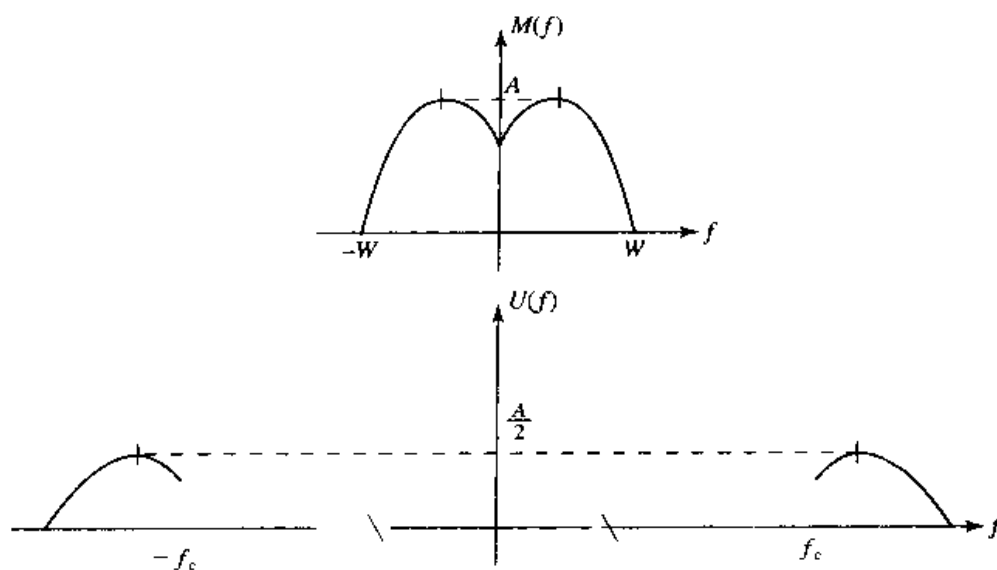


图 3.7 消息信号与 USB-AM 信号的频谱

SSB 信号的带宽是 DSB 和常规 AM 带宽的一半,所以等于消息信号的带宽,即

$$B_T = W \quad (3.2.24)$$

SSB 信号的功率给出为

$$P_u = \frac{A_c^2}{4} P_m \quad (3.2.25)$$

注意到,由于已经除去了一个边带,所以 SSB 的功率是对应的 DSB-AM 的一半。另一方面,因为这个已调信号只有对应的 DSB-AM 信号带宽的一半,所以在接收机前端点上的噪声功率也是和其相应的 DSB-AM 情况下的一半,因此在两种系统中 SNR 是相同的,即

$$\left(\frac{S}{N}\right)_0 = \frac{P_R}{N_0 W} \quad (3.2.26)$$

### 解说题

#### 解说题 3.4 [单边带举例]

有消息信号为

$$m(t) = \begin{cases} 1, & 0 \leq t < \frac{t_0}{3} \\ -2, & \frac{t_0}{3} \leq t < \frac{2t_0}{3} \\ 0, & \text{其余 } t \end{cases}$$

用 LSSB-AM 方法调制载波  $c(t) = \cos(2\pi f_c t)$ 。假定  $t_0 = 0.15 \text{ s}$ ,  $f_c = 250 \text{ Hz}$ 。

1. 画出消息信号的希尔伯特变换和已调信号  $u(t)$ , 同时也画出已调信号的频谱。
2. 假设消息信号是周期的, 周期为  $t_0$ , 求已调信号的功率。
3. 若一噪声加在已调信号上, 使解调后的 SNR 是 10 dB, 求噪声功率。

### 题 解

1. 消息信号的希尔伯特变换可用 MATLAB 的希尔伯特变换 M 文件 hilbert.m 计算出。然而应该值得注意的是, 这个函数所得到的是一个复数序列, 其实部是原序列, 而虚部才是要求的希尔伯特变换。因此, 序列  $m$  的希尔伯特变换用指令 `imag(hilbert(m))` 得到。现在, 利用下面关系

$$u(t) = m(t)\cos(2\pi f_c t) + \hat{m}(t)\sin(2\pi f_c t) \quad (3.2.27)$$

就能求得已调信号。图 3.8 示出  $\hat{m}(t)$  的图和 LSSB-AM 已调信号的频谱图。

2. 消息信号的功率是

$$P_m = \frac{1}{0.15} \int_0^{0.15} m^2(t) dt = 1.667$$

因此

$$P_v = \frac{A_c^2}{4} P_m = 0.416$$

3. 解调后的 SNR 由下式给出

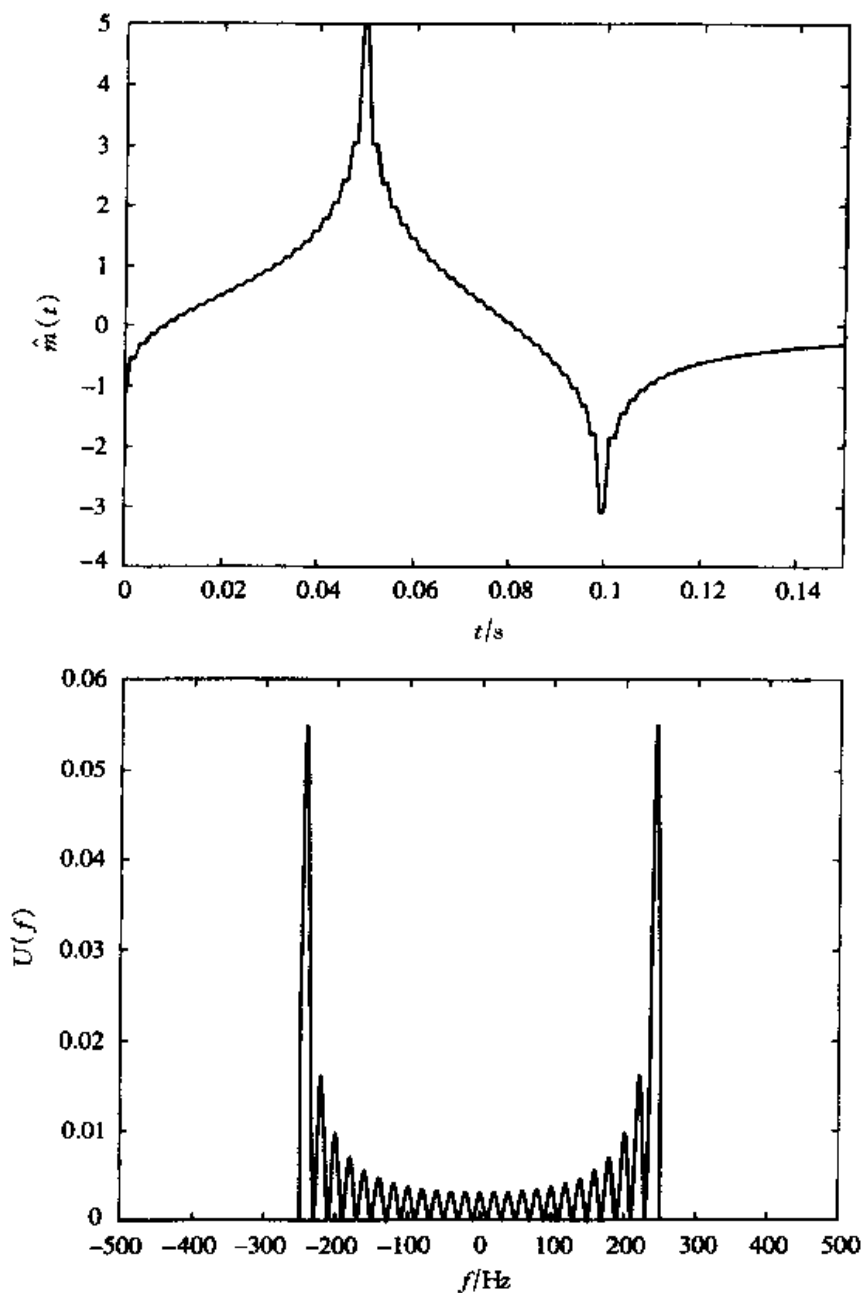
$$10 \log_{10} \left( \frac{P_R}{P_n} \right) = 10$$

所以

$$P_n = 0.1 P_R = 0.1 P_u = 0.0416$$

本题的 MATLAB 脚本给出如下。



图 3.8 对于  $m(t)$  的希尔伯特变换和 LSSB-AM 已调制信号的频谱

### VI 文件

```
% lssb.m
% Matlab demonstration script for LSSB-AM modulation. The message signal
% is +1 for  $0 < t < t0/3$ , -2 for  $t0/3 < t < 2t0/3$ , and zero otherwise.
echo on
t0=15; % signal duration
ts=0.001; % sampling interval
```

```

fc=250; % carrier frequency
snr=10; % SNR in dB (logarithmic)
fs=1/ts; % sampling frequency
df=0.25; % desired freq. resolution
t=[0:ts:t0]; % time vector
snr_lin=10^(snr/10); % SNR
% the message vector
m=[ones(1,t0/(3*ts)), -2*ones(1,t0/(3*ts)), zeros(1,t0/(3*ts)+1)];
c=cos(2*pi*fc.*t); % carrier vector
udsb=m.*c; % DSB modulated signal
[UDSB,udssb,df1]=fftseq(udsb,ts,df); % Fourier transform
UDSB=UDSB/fs; % scaling
f=[0:df1:df1*(length(udssb)-1)]-fs/2; % frequency vector
n2=ceil(fc/df1); % location of carrier in freq. vector
% remove the upper sideband from DSB
UDSB(n2:length(UDSB)-n2)=zeros(size(UDSB(n2:length(UDSB)-n2)));
ULSSB=UDSB; % generate LSSB-AM spectrum
[M,m,df1]=fftseq(m,ts,df); % Fourier transform
M=M/fs; % scaling
u=real(ifft(ULSSB))*fs; % generate LSSB signal from spectrum
signal_power=spower(udsb(1:length(t)))/2;
% % compute signal power
noise_power=signal_power/snr_lin; % compute noise power
noise_std=sqrt(noise_power); % compute noise standard deviation
noise=noise_std*randn(1,length(u)); % generate noise vector
r=u+noise; % add the signal to noise
[R,r,df1]=fftseq(r,ts,df); % Fourier transform
R=R/fs; % scaling
pause % Press a key to show the modulated signal power
signal_power
pause % Press any key to see a plot of the message signal
clf
subplot(2,1,1)
plot(t,m(1:length(t)))
axis([0,0.15,-2.1,2.1])
xlabel('Time')
title('The message signal')
pause % Press any key to see a plot of the carrier
subplot(2,1,2)
plot(t,c(1:length(t)))
xlabel('Time')
title('The carrier')
pause % Press any key to see a plot of the modulated signal and its spectrum
clf
subplot(2,1,1)
plot([0:ts:ts*(length(u)-1)/8],u(1:length(u)/8))
xlabel('Time')
title('The LSSB-AM modulated signal')
subplot(2,1,2)
plot(f,abs(fftshift(ULSSB)))
xlabel('Frequency')
title('Spectrum of the LSSB-AM modulated signal')
pause % Press any key to see the spectra of the message and the modulated signals
clf

```

```

subplot(2,1,1)
plot(f,abs(fftshift(M)))
xlabel('Frequency')
title('Spectrum of the message signal')
subplot(2,1,2)
plot(f,abs(fftshift(ULSSB)))
xlabel('Frequency')
title('Spectrum of the LSSB-AM modulated signal')

pause % Press any key to see a noise sample
subplot(2,1,1)
plot(t,noise(1:length(t)))
title('Noise sample')
xlabel('Time')
pause % Press a key to see the modulated signal and noise
subplot(2,1,2)
plot(t,r(1:length(t)))
title('Modulated signal and noise')
xlabel('Time')
subplot(2,1,1)
pause % Press any key to see the spectrum of the modulated signal
plot(f,abs(fftshift(ULSSB)))
title('Modulated signal spectrum')
xlabel('Frequency')
subplot(2,1,2)

pause % Press a key to see the modulated signal noise in freq. domain
plot(f,abs(fftshift(R)))
title('Modulated signal noise spectrum')
xlabel('Frequency')

```

下面给出的 M 文件 `ussb_mod.m` 和 `lssb_mod.m` 是以向量 `m` 给出的消息信号用 USSB 和 LSSB 调制方法的调制。

### M 文件

```

function u=ussb_mod(m,ts,fc)
%          u=ussb_mod(m,ts,fc)
%USSB_MOD takes signal m sampled at ts and carrier
%          freq. fc as input and returns the USSB modulated
%          signal. ts << 1/2fc.
t=[0:length(m)-1]*ts;
u=m.*cos(2*pi*t)-imag(hilbert(m)).*sin(2*pi*t);

```

### M 文件

```

function u=lssb_mod(m,ts,fc)
%          u=lssb_mod(m,ts,fc)
%LSSB_MOD takes signal m sampled at ts and carrier

```

---

```
%          freq. fc as input and returns the LSSB modulated
%          signal. ts << 1/2fc.
t=[0:length(m)-1]*ts;
u=m.*cos(2*pi*t)+imag(hilbert(m)).*sin(2*pi*t);
```

---

### 3.3 AM 信号的解调

解调是从已调信号中提取消息信号的过程。解调过程取决于所使用的调制方式。对于 DSB-AM 和 SSB-AM 来说,解调的方法是相干解调,它要求在接收端有一个与载波同频同相的信号存在。对于常规 AM,用包络检波器解调,这时有关载波频率和相位的精确了解,在接收端已不太重要,所以解调十分容易。对于 DSB-AM 和 SSB-AM 的相干解调由如下部分组成:用一个与载波同频率和同相位的正弦信号乘以已调信号(即混频),然后将乘积通过一低通滤波器来完成。在接收端产生所要求的正弦振荡器称为本地振荡器。

#### 3.3.1 DSB-AM 解调

在 DSB 中已调信号由  $A_c m(t) \cos(2\pi f_c t)$  给出,当将它乘以  $\cos(2\pi f_c t)$ ,或者说与  $\cos(2\pi f_c t)$  混频以后就得

$$y(t) = A_c m(t) \cos(2\pi f_c t) \cos(2\pi f_c t) = \frac{A_c}{2} m(t) + \frac{A_c}{2} m(t) \cos(4\pi f_c t) \quad (3.3.1)$$

式中  $y(t)$  为混频器输出,而它的傅里叶变换由下式给出

$$Y(f) = \frac{A_c}{2} M(f) + \frac{A_c}{4} M(f - 2f_c) + \frac{A_c}{4} M(f + 2f_c) \quad (3.3.2)$$

由上可知,混频器输出中有一个低频分量  $(A_c/2)M(f)$  和在  $\pm 2f_c$  附近的高频分量。当  $y(t)$  通过带宽为  $W$  的低通滤波器时,高频分量被滤去,而正比于消息信号的低频分量  $((\frac{A_c}{2})m(t))$  被解调出。这个过程如图 3.9 所示。

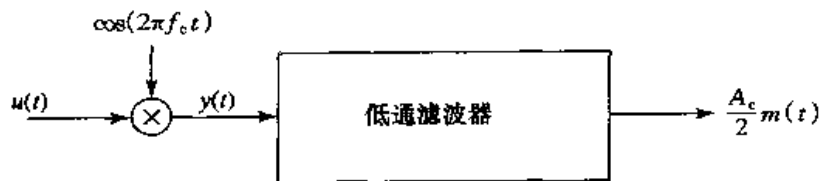


图 3.9 DSB-AM 信号的解调

### 解答题

#### 解答题 3.5 [DSB-AM 解调]

消息信号  $m(t)$  定义为

$$m(t) = \begin{cases} 1, & 0 \leq t < \frac{t_0}{3} \\ -2, & \frac{t_0}{3} \leq t < \frac{2t_0}{3} \\ 0, & \text{其余 } t \end{cases}$$

用该消息信号以 DSB-AM 方式调制载波  $c(t) = \cos 2\pi f_c t$ , 所得已调信号为  $u(t)$ 。假设  $t_0 = 0.15 \text{ s}$ ,  $f_c = 250 \text{ Hz}$ 。

1. 求  $u(t)$  表达式。
2. 求  $m(t)$  和  $u(t)$  的频谱。
3. 将该已调信号解调, 并恢复  $m(t)$ , 画出在时域和频域内的结果。

### 题解

1. 本题的前两部分与解答题 3.1 的前两部分是相同的, 这里只需重复这些结果为

$$u(t) = \left[ \Pi\left(\frac{t-0.025}{0.05}\right) - 2\Pi\left(\frac{t-0.075}{0.05}\right) \right] \cos(500\pi t)$$

和

$$\begin{aligned} \mathcal{F}[m(t)] &= \frac{t_0}{3} e^{j\pi f t_0/3} \text{sinc}\left(\frac{t_0 f}{3}\right) - \frac{2t_0}{3} e^{-j\pi f t_0} \text{sinc}\left(\frac{t_0 f}{3}\right) \\ &= \frac{t_0}{3} e^{-j\pi f t_0/3} \text{sinc}\left(\frac{t_0 f}{3}\right) (1 - 2e^{-j2\pi f t_0/3}) \\ &= 0.05 e^{-0.05j\pi f} \text{sinc}(0.05f) (1 - 2e^{-0.01j\pi f}) \end{aligned}$$

因此

$$\begin{aligned} U(f) &= 0.025 e^{-0.05j\pi(f-250)} \text{sinc}[0.05(f-250)] (1 - 2e^{-0.1j\pi(f-250)}) \\ &\quad + 0.025 e^{0.05j\pi(f+250)} \text{sinc}[0.05(f+250)] (1 - 2e^{-0.1j\pi(f+250)}) \end{aligned}$$

3. 为了解调, 要将  $u(t)$  乘以  $\cos(2\pi f_c t)$  得到混频器输出  $y(t)$ :

$$\begin{aligned} y(t) &= u(t) \cos(2\pi f_c t) \\ &= \left[ \Pi\left(\frac{t-0.025}{0.05}\right) - 2\Pi\left(\frac{t-0.075}{0.05}\right) \right] \cos^2(500\pi t) \\ &= \frac{1}{2} \left[ \Pi\left(\frac{t-0.025}{0.05}\right) - 2\Pi\left(\frac{t-0.075}{0.05}\right) \right] \\ &\quad + \frac{1}{2} \left[ \Pi\left(\frac{t-0.025}{0.05}\right) - 2\Pi\left(\frac{t-0.075}{0.05}\right) \right] \cos(1000\pi t) \end{aligned}$$

它的傅里叶变换是

$$Y(f) = 0.025e^{-0.05j\pi f} \text{sinc}(0.05f)(1 - 2e^{-0.01j\pi f}) \\ + 0.0125e^{-0.05j\pi(f-500)} \text{sinc}[0.05(f-500)](1 - 2e^{-0.01j\pi(f-500)}) \\ + 0.0125e^{-0.05j\pi(f+500)} \text{sinc}[0.05(f+500)](1 - 2e^{-0.01j\pi(f+500)})$$

式中的第 1 项对应于消息信号,后两项对应于 2 倍载波频率的高频分量。可见将第 1 项滤出就产生原消息信号(有一比例常数)。 $u(f)$  和  $Y(f)$  的幅度如图 3.10 所示。

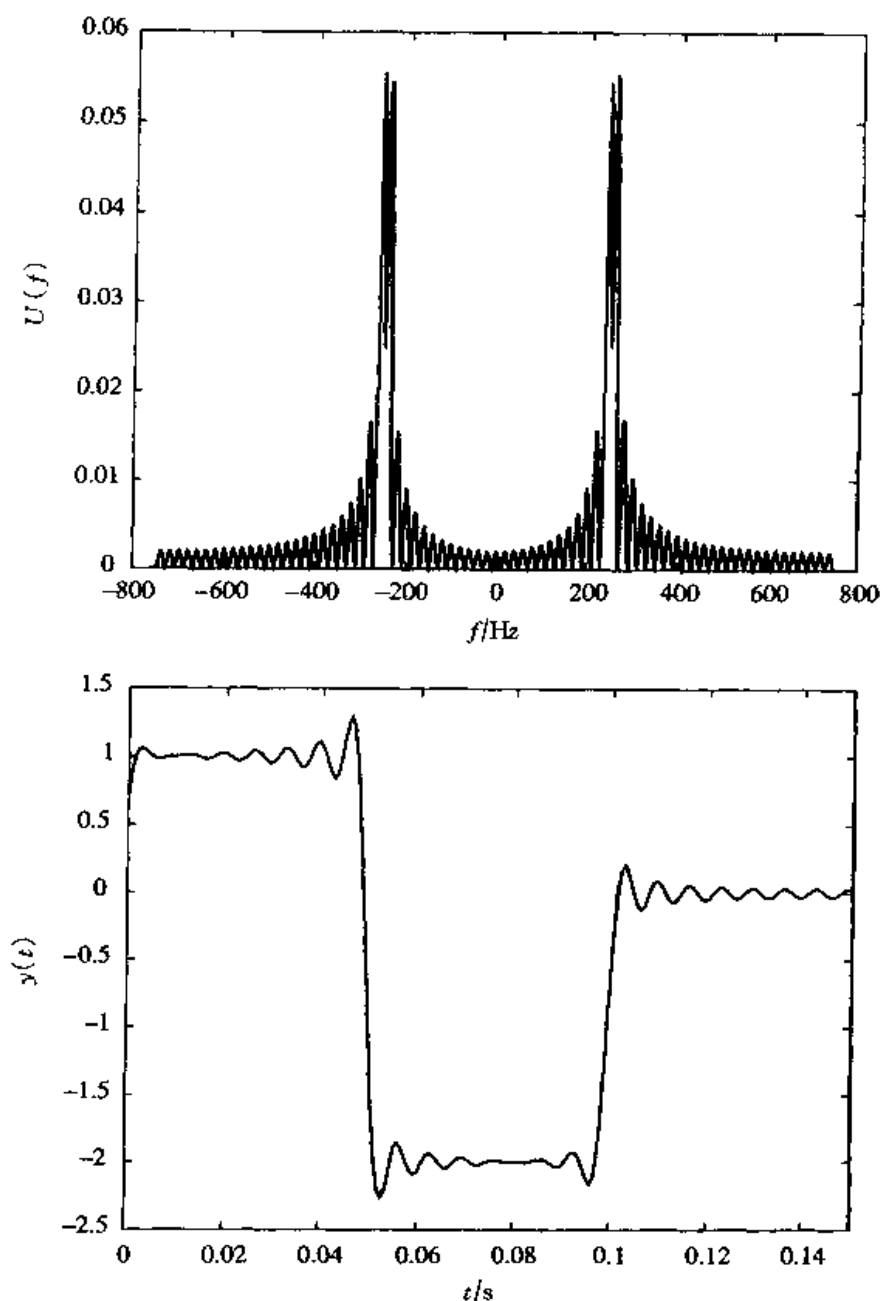


图 3.10 解答题 3.5 中已调信号和混频器输出的谱

如上所示,混频器输出的频谱中有一个低频分量,它是非常类似于消息信号的谱(除了因子 $\frac{1}{2}$ 外),和一个位于 $\pm 2f_c$ (这时是 500 Hz)的带通分量,利用一低通滤波器,就能将低频分量与带通分量分隔开。为了恢复消息信号  $m(t)$ ,现将  $y(t)$  通过带宽为 150 Hz 的低通滤波器。由于现在的消息信号不是严格带限的,所以这里滤波器带宽的选取多少有些任意性。对严格带限的消息信号来说,低通滤波器带宽的合适选择应是  $W$ ,即消息信号的带宽。因此,此处所用的理想低通滤波器的特性为

$$H(f) = \begin{cases} 1, & |f| \leq 150 \\ 0, & \text{其余 } f \end{cases}$$

$m(t)$  和解调器输出在频谱上的比较和图 3.11 所示,两者在时域的比较如图 3.12 所示。

本题的 MATLAB 脚本给出如下。

### VI 文件

```
% dsb_dem.m
% Matlab demonstration script for DSB-AM demodulation. The message signal
% is +1 for 0 < t < t0/3, -2 for t0/3 < t < 2t0/3, and zero otherwise.
echo on
t0=15; % signal duration
ts=1/1500; % sampling interval
fc=250; % carrier frequency
fs=1/ts; % sampling frequency
t=[0:ts:t0]; % time vector
df=0.3; % desired frequency resolution
% message signal
m=[ones(1,t0/(3*ts)), -2*ones(1,t0/(3*ts)), zeros(1,t0/(3*ts)+1)];
c=cos(2*pi*fc.*t); % carrier signal
u=m.*c; % modulated signal
y=u.*c; % mixing
[M,m,df1]=fftseq(m,ts,df); % Fourier transform
M=M/fs; % scaling
[U,u,df1]=fftseq(u,ts,df); % Fourier transform
U=U/fs; % scaling
[Y,y,df1]=fftseq(y,ts,df); % Fourier transform
Y=Y/fs; % scaling
f_cutoff=150; % cutoff freq. of the filter
n_cutoff=floor(150/df1); % design the filter
f=[0:df1:df1*(length(y)-1)]-fs/2;
H=zeros(size(f));
H(1:n_cutoff)=2*ones(1,n_cutoff);
H(length(f)-n_cutoff+1:length(f))=2*ones(1,n_cutoff);
DEM=H.*Y; % spectrum of the filter output
dem=real(ifft(DEM))*fs; % filter output
pause % Press a key to see the effect of mixing
clf
```

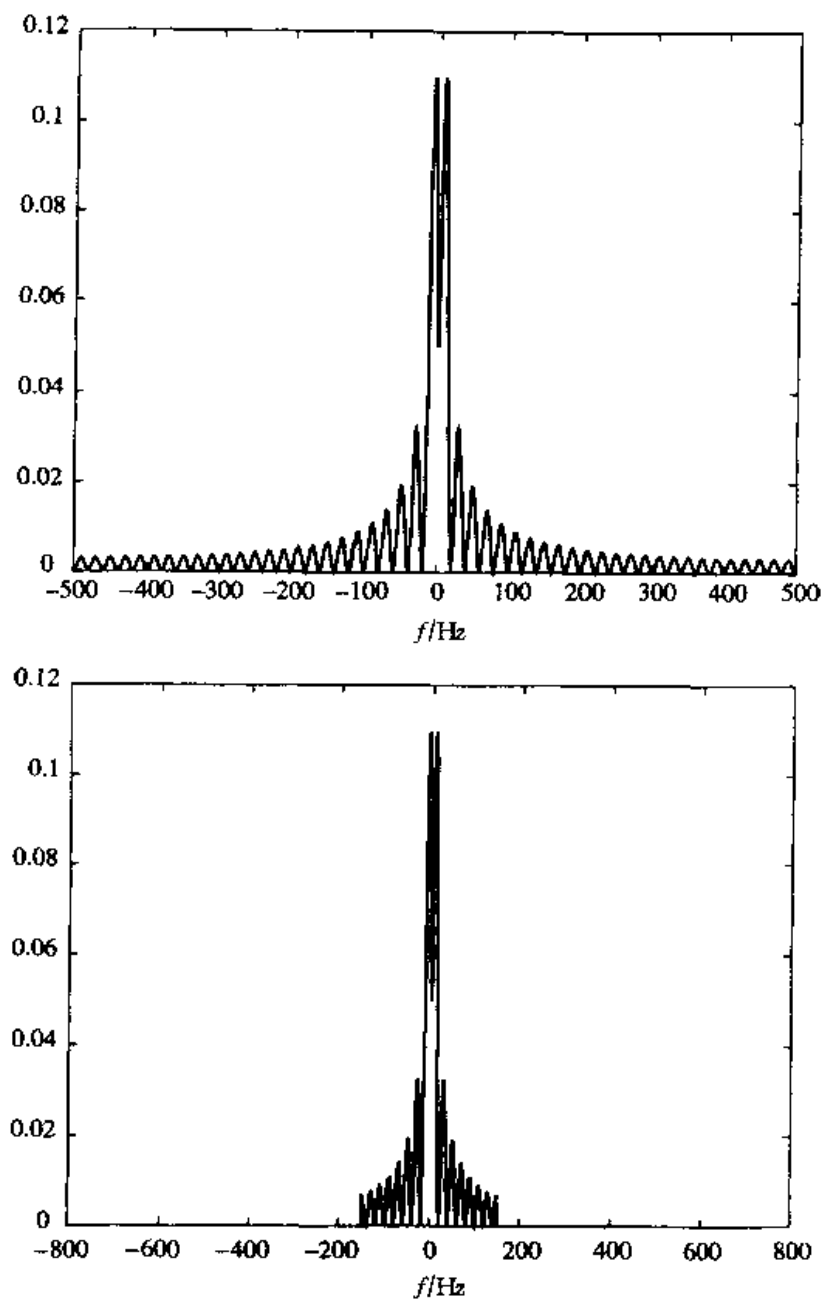


图 3.11 解说题 3.5 中消息信号和已解调信号的频谱

```

subplot(3,1,1)
plot(f,fftshift(abs(M)))
title('Spectrum of the Message Signal')
xlabel('Frequency')
subplot(3,1,2)
plot(f,fftshift(abs(U)))
title('Spectrum of the Modulated Signal')
xlabel('Frequency')

```



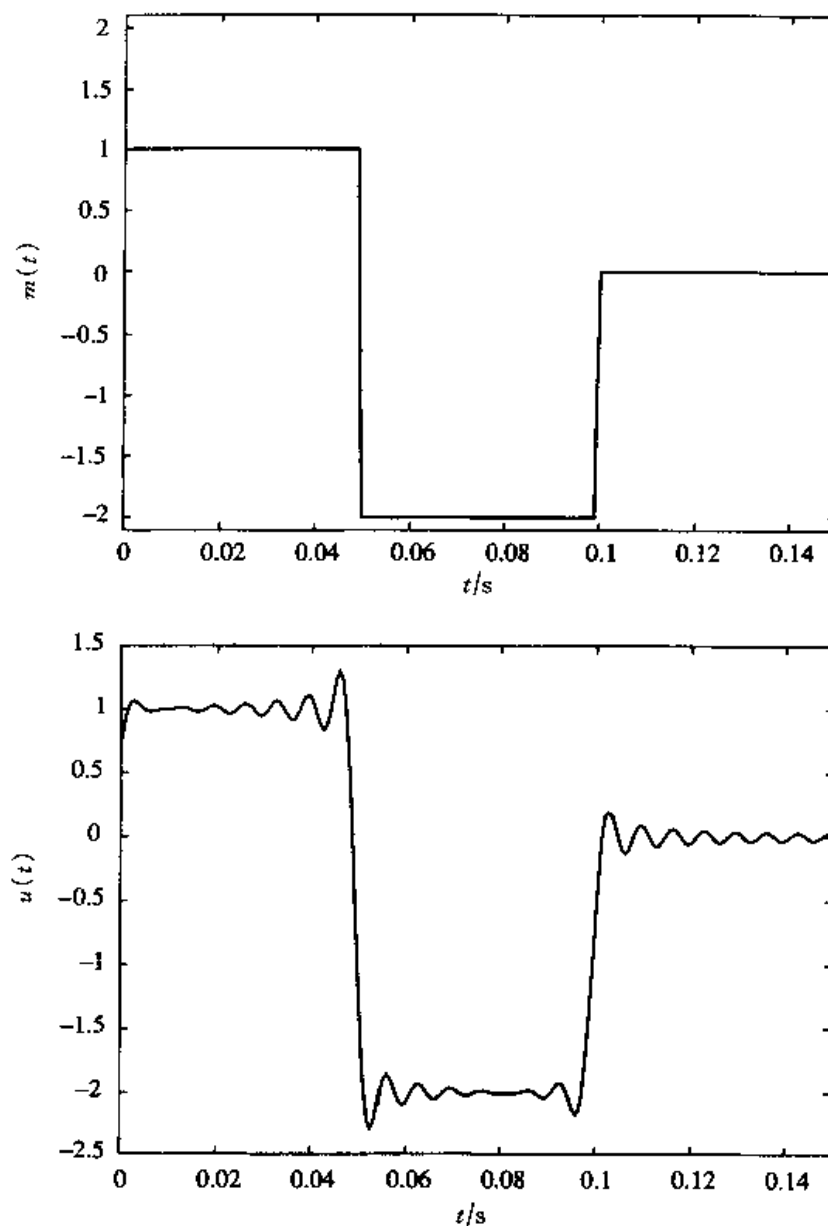


图 3.12 解答题 3.5 中消息信号和解调器输出

```

subplot(3,1,3)
plot(f,fftshift(abs(Y)))
title('Spectrum of the Mixer Output')
xlabel('Frequency')
pause % Press a key to see the effect of filtering on the mixer output
clf
subplot(3,1,1)
plot(f,fftshift(abs(Y)))
title('Spectrum of the Mixer Output')
xlabel('Frequency')

```

```

subplot(3,1,2)
plot(f,fftshift(abs(H)))
title('Lowpass Filter Characteristics')
xlabel('Frequency')
subplot(3,1,3)
plot(f,fftshift(abs(DEM)))
title('Spectrum of the Demodulator Output')
xlabel('Frequency')
pause % Press a key to compare the spectra of the message and the received signal
clf
subplot(2,1,1)
plot(f,fftshift(abs(M)))
title('Spectrum of the Message Signal')
xlabel('Frequency')
subplot(2,1,2)
plot(f,fftshift(abs(DEM)))
title('Spectrum of the Demodulator Output')
xlabel('Frequency')
pause % Press a key to see the message and the demodulator output signals
subplot(2,1,1)
plot(t,m(1:length(t)))
title('The Message Signal')
xlabel('Time')
subplot(2,1,2)
plot(t,dem(1:length(t)))
title('The Demodulator Output')
xlabel('Time')

```

### 解说题

#### 解说题 3.6 [DSB-AM 解调中相位误差的后果]

在 DSB-AM 信号解调中已经假设本地振荡器的相位是等于载波的相位。如果情况不是这样,而是本地振荡器和载波之间存在某一个相移  $\phi$ ,解调过程会如何改变?

### 题 解

这时有  $u(t) = A_c m(t) \cos(2\pi f_c t)$ , 本地振荡器产生的正弦信号为  $\cos(2\pi f_c t + \phi)$ , 这两个信号混频以后为

$$y(t) = A_c m(t) \cos(2\pi f_c t) \cos(2\pi f_c t + \phi) \quad (3.3.3)$$

$$= \frac{A_c}{2} m(t) \cos \phi + \frac{A_c}{2} m(t) \cos(4\pi f_c t + \phi) \quad (3.3.4)$$

和前面相同,在混频器输出中有两项,带通项可用低通滤波器滤掉,然而低频项  $(A_c/2)m(t)\cos\phi$  与  $\phi$  有关。低频项的功率为

$$P_{\text{dem}} = \frac{A_c^2}{4} P_m \cos^2 \phi \quad (3.3.5)$$

式中  $P_m$  是消息信号功率。由此可见,在这种情况下恢复出的消息信号基本上没有失真,但是在功率上受到  $\cos^2 \phi$  的损失。若  $\phi = \pi/4$ , 功率损失是 3 dB; 若  $\phi = \pi/2$ , 则在解调过程中什么东西也恢复不出来。

### 3.3.2 SSB-AM 解调

SSB-AM 信号的解调过程基本上与 DSB-AM 信号的解调过程是相同的, 也即混频之后紧接着低通滤波。这时

$$u(t) = \frac{A_c}{2} m(t) \cos(2\pi f_c t) \mp \frac{A_c}{2} \hat{m}(t) \sin(2\pi f_c t) \quad (3.3.6)$$

式中减号对应于 USSB, 加号对应于 LSSB。  $u(t)$  与本地振荡混频之后得到输出为

$$\begin{aligned} y(t) &= \frac{A_c}{2} m(t) \cos^2(2\pi f_c t) \mp \frac{A_c}{2} \hat{m}(t) \sin(2\pi f_c t) \cos(2\pi f_c t) \\ &= \frac{A_c}{2} m(t) + \frac{A_c}{4} m(t) \cos(4\pi f_c t) \mp \frac{A_c}{4} \hat{m}(t) \sin(4\pi f_c t) \end{aligned} \quad (3.3.7)$$

式中含有在  $\pm 2f_c$  的带通分量和正比于消息信号的低频分量。低频分量用低通滤波器滤出以恢复消息信号。图 3.13 示出对于 USSB-AM 的解调过程。

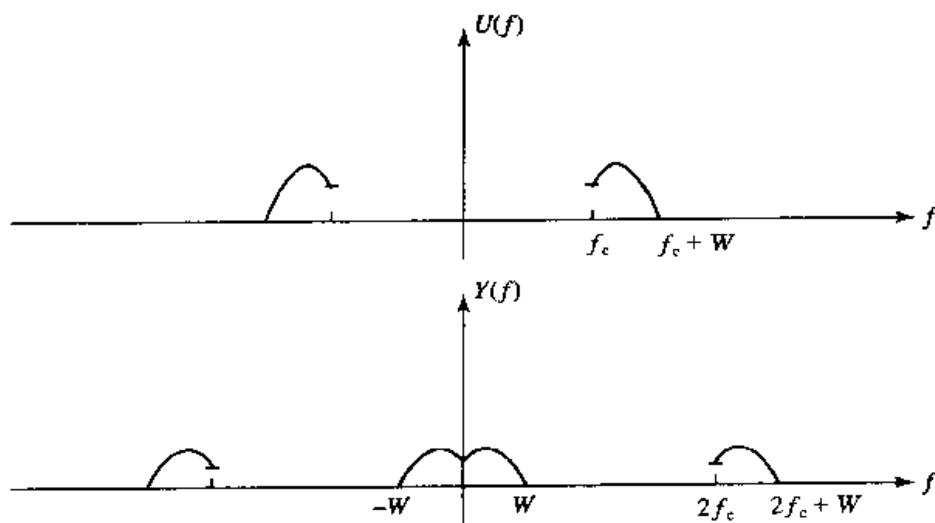


图 3.13 USSB-AM 信号的解调

### 解答题

#### 解答题 3.7 [LSSB-AM 的例子]

在 LSSB-AM 解调系统中, 若消息信号为

$$m(t) = \begin{cases} 1, & 0 \leq t < \frac{t_0}{3} \\ -2, & \frac{t_0}{3} \leq t < \frac{2t_0}{3} \\ 0, & \text{其余 } t \end{cases}$$

其中  $t_0 = 0.15 \text{ s}$ , 载波频率  $f_c = 250 \text{ Hz}$ , 求  $U(f)$ ,  $Y(f)$ , 并将解调信号与消息信号作比较。

### 题 解

已调信号和它的频谱在解说题 3.4 中已给出,  $U(f)$  的表达式是

$$U(f) = \begin{cases} 0.025e^{-0.05j\pi(f-250)} \text{sinc}(0.05(f-250))(1-2e^{-0.1j\pi(f-250)}) \\ + 0.025e^{-0.05j\pi(f+250)} \text{sinc}(0.05(f+250))(1-2e^{-0.1j\pi(f+250)}) \\ 0, \end{cases} \begin{matrix} |f| \leq f_c \\ \text{其余 } f \end{matrix}$$

和

$$Y(f) = \frac{1}{2} U(f-f_c) + \frac{1}{2} U(f+f_c) \approx \begin{cases} 0.0125e^{-0.05j\pi f} \text{sinc}(0.05f)(1-2e^{-0.01j\pi f}), & |f| \leq f_c \\ 0.0125e^{-0.05j\pi(f-500)} \text{sinc}(0.05(f-500))(1-2e^{-0.01j\pi(f-500)}), & f_c \leq |f| \leq 2f_c \\ 0.0125e^{-0.05j\pi(f+500)} \text{sinc}(0.05(f+500))(1-2e^{-0.01j\pi(f+500)}), & -2f_c \leq f \leq -f_c \\ 0, & \text{其余 } f \end{cases}$$

图 3.14 示出  $U(f)$  的图。信号  $y(t)$  用截止频率为  $150 \text{ Hz}$  的低通滤波器滤

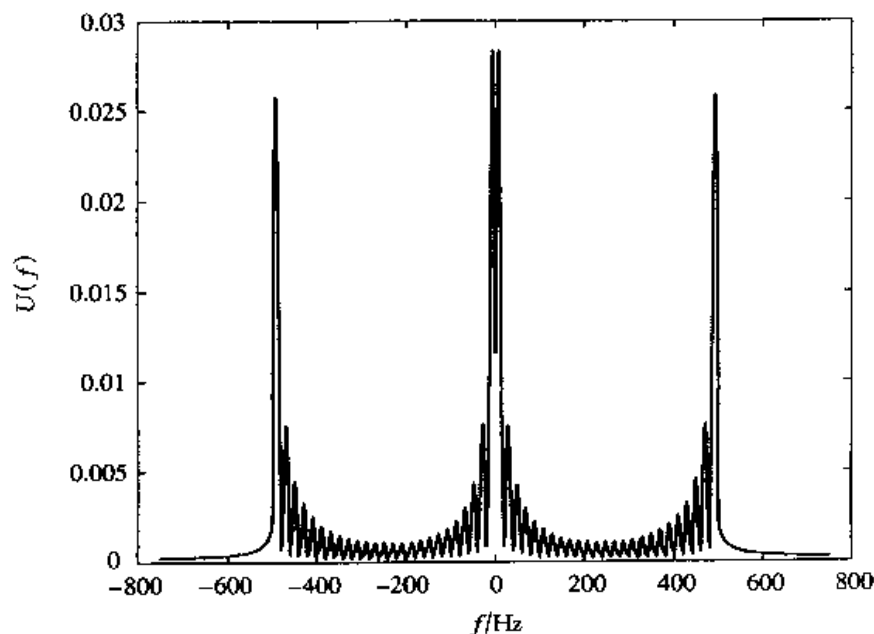


图 3.14 解说题 3.7 中混频器输出的幅度谱

波,图 3.15 是输出的频谱。图 3.16 将原消息信号与已解调信号作比较。

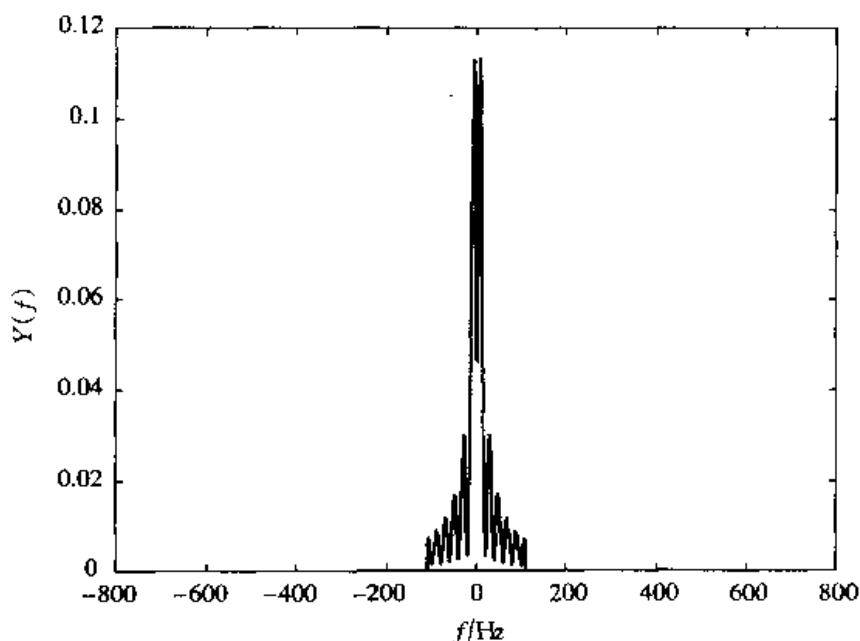


图 3.15 解答题 3.7 中解调器的输出

本题的 MATLAB 脚本给出如下。

### M 文件

```
% lssb_dem.m
% Matlab demonstration script for LSSB-AM demodulation. The message signal
% is +1 for  $0 < t < t_0/3$ , -2 for  $t_0/3 < t < 2t_0/3$ , and zero otherwise.
echo on
t0=15; % signal duration
ts=1/1500; % sampling interval
fc=250; % carrier frequency
fs=1/ts; % sampling frequency
df=0.25; % desired freq.resolution
t=[0:ts:t0]; % time vector
% the message vector
m=[ones(1,t0/(3*ts)), -2*ones(1,t0/(3*ts)), zeros(1,t0/(3*ts)+1)];
c=cos(2*pi*fc.*t); % carrier vector
udsb=m.*c; % DSB modulated signal
[UDSB,udsb,df1]=fftseq(udsb,ts,df); % Fourier transform
UDSB=UDSB/fs; % scaling
n2=ceil(fc/df1); % location of carrier in freq. vector
% remove the upper sideband from DSB
UDSB(n2:length(UDSB)-n2)=zeros(size(UDSB(n2:length(UDSB)-n2)));
ULSSB=UDSB; % generate LSSB-AM spectrum
[M,m,df1]=fftseq(m,ts,df); % spectrum of the message signal
M=M/fs; % scaling
f=[0:df1:df1*(length(M)-1)]-fs/2; % frequency vector
```

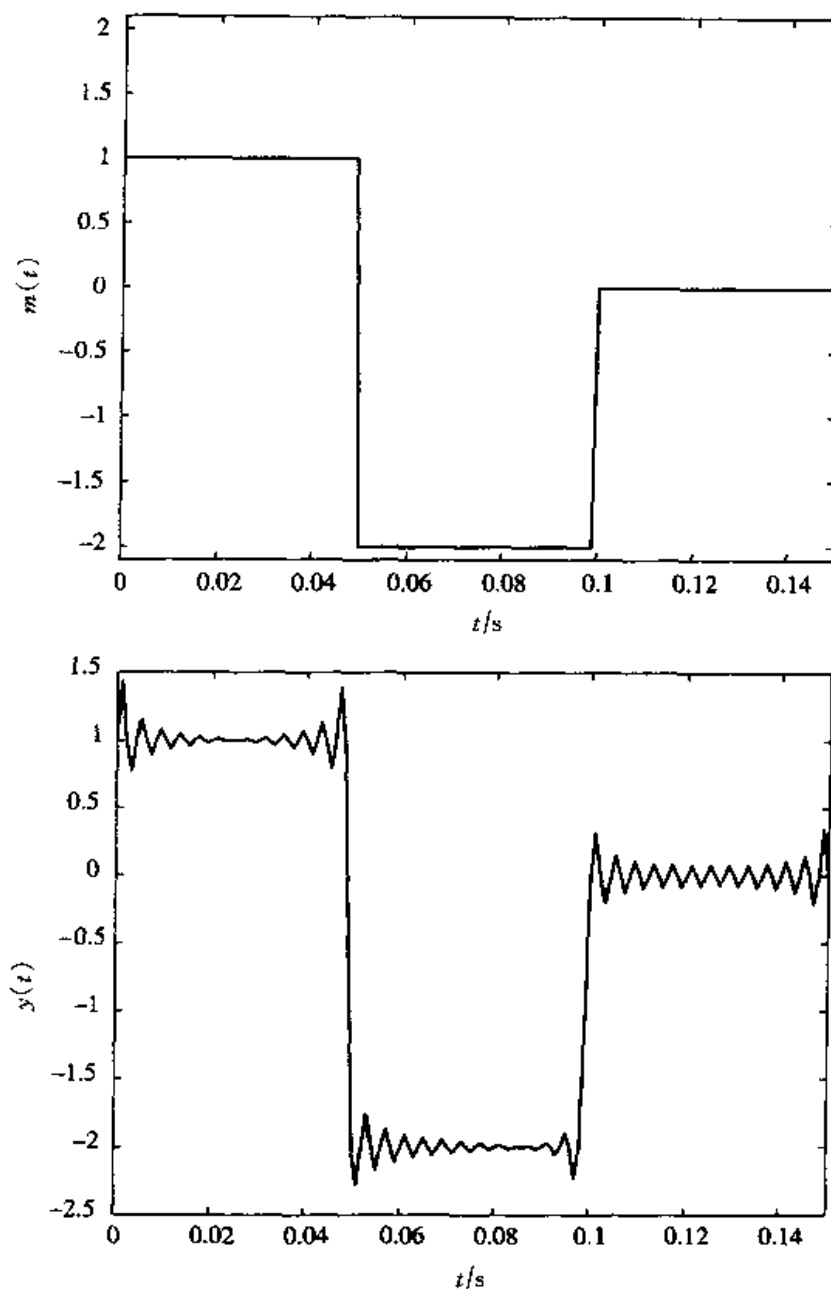


图 3.16 解说题 3.7 中消息信号与解调器输出信号

```

u=real(ifft(ULSSB))*fs;           % generate LSSB signal from spectrum
% mixing
y=u.*cos(2*pi*fc*[0:ts:ts*(length(u)-1)]);
[Y,y,df1]=fftseq(y,ts,df);        % spectrum of the output of the mixer
Y=Y/fs;                            % scaling
f_cutoff=150;                      % choose the cutoff freq. of the filter
n_cutoff=floor(150/df);            % design the filter
H=zeros(size(f));
H(1:n_cutoff)=4*ones(1,n_cutoff);

```

```

% spectrum of the filter output
H(length(f)-n_cutoff+1:length(f))=4*ones(1,n_cutoff);
DEM=H.*Y; % spectrum of the filter output
dem=real(iff(DEM))*fs; % filter output
pause % Press a key to see the effect of mixing
clf
subplot(3,1,1)
plot(f,fftshift(abs(M)))
title('Spectrum of the Message Signal')
xlabel('Frequency')
subplot(3,1,2)
plot(f,fftshift(abs(ULSSB)))
title('Spectrum of the Modulated Signal')
xlabel('Frequency')
subplot(3,1,3)
plot(f,fftshift(abs(Y)))
title('Spectrum of the Mixer Output')
xlabel('Frequency')
pause % Press a key to see the effect of filtering on the mixer output
clf
subplot(3,1,1)
plot(f,fftshift(abs(Y)))
title('Spectrum of the Mixer Output')
xlabel('Frequency')
subplot(3,1,2)
plot(f,fftshift(abs(H)))
title('Lowpass Filter Characteristics')
xlabel('Frequency')
subplot(3,1,3)
plot(f,fftshift(abs(DEM)))
title('Spectrum of the Demodulator Output')
xlabel('Frequency')
pause % Press a key to see the message and the demodulator output signals
subplot(2,1,1)
plot(t,m(1:length(t)))
title('The Message Signal')
xlabel('Time')
subplot(2,1,2)
plot(t,dem(1:length(t)))
title('The Demodulator Output')
xlabel('Time')

```

### 解说题

#### 解说题 3.8 [SSB-AM 解调中相位误差的后果]

在 SSB-AM 解调中相位误差的后果是什么?

### 题解

假定本地振荡器产生的正弦信号与载波有相位偏差  $\phi$ , 则有

$$\begin{aligned}
 y(t) &= u(t) \cos(2\pi f_c t + \phi) \\
 &= \left[ \frac{A_c}{2} m(t) \cos(2\pi f_c t) \mp \frac{A_c}{2} \hat{m}(t) \sin(2\pi f_c t) \right] \cos(2\pi f_c t + \phi) \\
 &= \frac{A_c}{4} m(t) \cos \phi \pm \frac{A_c}{4} \hat{m}(t) \sin \phi + \text{高频项}
 \end{aligned} \quad (3.3.18)$$

可见,不像 DSB-AM 那样,相位偏差的后果在这里不只是使解调信号衰减,而是解调信号既受到  $\cos \phi$  因子的衰减,同时还附加了  $\pm (A_c/4) \hat{m}(t) \sin \phi$  的失真项。在  $\phi = \pi/2$  的特殊情况下,信号的希尔伯特变换被解调出,而不是信号本身被解调。

### 3.3.3 常规 AM 解调

已经看到,当考虑功率和 SNR 时,常规 AM 是比较差的调制方式,其原因是已调信号的大部分功率是在不携带信息的载波分量上。载波分量的作用就是为了通过包络检波器而使常规 AM 的解调更容易些。与此相反,对 DSB-AM 和 SSB-AM 则要求相干解调。因此,AM 信号的解调要比 DSB-AM 和 SSB-AM 信号的解调明显简单得多。所以这种调制方法广泛用于广播系统中,在那里只有一台发射机,而有众多的接收机,接收机的价格应保持低廉。在包络检波中,已调信号的包络经由二极管、电阻和电容器所组成的简单电路(如图 3.17 所示)而被检测出。

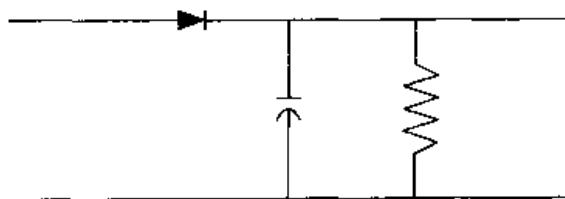


图 3.17 一个简单的包络检波器

从数学上说,包络检波器产生常规 AM 信号的包络为

$$V(t) = [1 + a m_n(t)] \quad (3.3.9)$$

由于  $1 + m_n(t) \geq 0$ , 可得

$$V(t) = 1 + a m_n(t) \quad (3.3.10)$$

式中  $m_n(t)$  正比于消息信号  $m(t)$ , 而 1 相应于载波分量, 这个分量可用一个隔直流电路而分隔开。如同在上面所讨论的, 它不需要知道载波相位的任何知识。这就是为什么把这种解调方法称之为非相干解调, 或非同步解调的缘故。回想一下第 1 章讨论到的, 一个带通信号的包络可以表示成它的低通等效信号的幅度。因此, 如果  $u(t)$  是一带通信号, 其载波为  $f_c$ ,  $u(t)$  的低通等效信号记为



$u_1(t)$ , 那么  $u(t)$  的包络  $V(t)$  可表示为

$$V(t) = \sqrt{u_{1r}^2(t) + u_{1i}^2(t)} = \sqrt{u_c^2(t) + u_s^2(t)} \quad (3.3.11)$$

这里  $U_c(t)$  和  $U_s(t)$  代表带通信号  $u(t)$  的同相和正交分量。因此, 为了得到这个包络, 只要求得该带通信号的低通等效信号就足够了, 这个包络就是带通信号的低通等效的幅度。

### 解答题

#### 解答题 3.9 [包络检波]

有消息信号为

$$m(t) = \begin{cases} 1, & 0 \leq t < \frac{t_0}{3} \\ -2, & \frac{t_0}{3} \leq t < \frac{2t_0}{3} \\ 0, & \text{其余 } t \end{cases}$$

用它以常规 AM 方式调制载波  $c(t) = \cos(2\pi f_c t)$ , 假设  $f_c = 250 \text{ Hz}$ ,  $t_0 = 0.15 \text{ s}$  和调制指数  $a = 0.85$ 。

1. 用包络检波器解调出消息信号。

2. 如果该消息信号是周期的, 周期等于  $t_0$ , 并且若有一 AWGN 过程加到已调信号上使噪声过程的功率是已调信号功率的  $1/100$ , 用一包络解调器对已接收到的信号解调。将这种情况与不存在噪声的情况作比较。

### 题解

1. 与解答题 3.3 相同, 有

$$\begin{aligned} u(t) &= \left[ 1 + 0.85 \frac{m(t)}{2} \right] \cos(2\pi f_c t) \\ &= \left[ 1 + 0.425 \Pi\left(\frac{t - 0.025}{0.05}\right) - 0.85 \Pi\left(\frac{t - 0.075}{0.05}\right) \right] \cos(500\pi t) \end{aligned}$$

如果用包络检波器解调该信号, 而载波分量又用隔直流电路而阻隔掉, 那么原消息  $m(t)$  就被恢复。应该注意, 在恢复  $m(t)$  中的关键点是, 在全部  $t$  值中,  $1 + am_n(t)$  都是正值, 因此信号  $[1 + am_n(t)] \cos(2\pi f_c t)$  的包络  $V(t) = |1 + am_n(t)|$  就等于  $1 + am_n(t)$ , 从中  $m(t)$  很容易恢复出。图 3.18 示出该常规 AM 已调信号和由包络检波器检测出它的包络的图。

在包络检波器分开已调信号的包络之后, 信号的直流分量被移去, 并将信号给以幅度加权就得到解调器输出。图 3.19 示出原消息信号和解调器输出的图。

2. 当有噪声时, 由于噪声会有一点失真。图 3.20 是已接收信号和它的包络, 图 3.21 则对这种情况的消息信号和已解调信号作一比较。

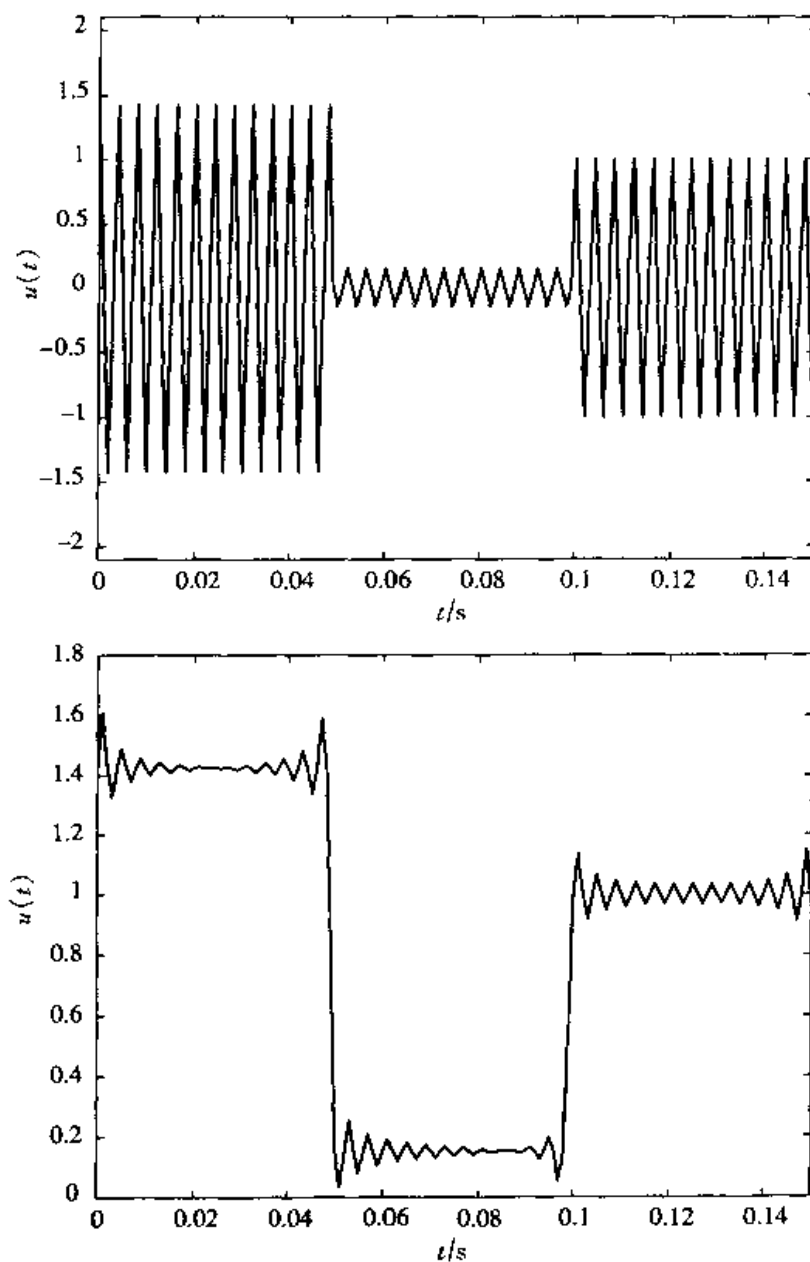


图 3.18 常规 AM 已调信号和它的包络

本题的 MATLAB 脚本给出如下。

### M 文件

```
% am-dem.m
% Matlab demonstration script for envelope detection. The message signal
% is +1 for 0 < t < t0/3, -2 for t0/3 < t < 2t0/3, and zero otherwise.
echo on
t0=.15;                                % signal duration
```

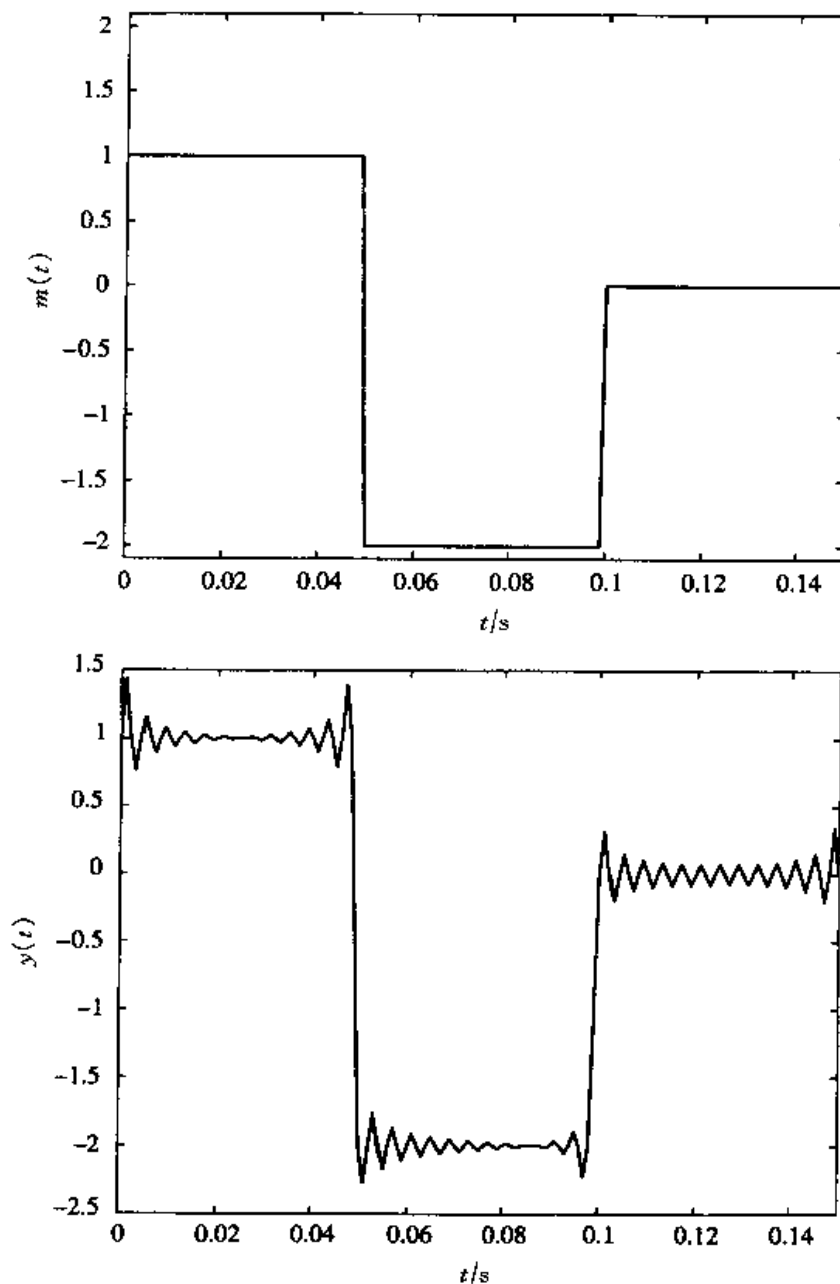


图 3.19 当无噪声存在时,消息信号和已解调信号

```

ts=0.001; % sampling interval
fc=250; % carrier frequency
a=0.85; % modulation index
fs=1/ts; % sampling frequency
t=[0:ts:t0]; % time vector
df=0.25; % required frequency resolution
% message signal
m=[ones(1,t0/(3*ts)), -2*ones(1,t0/(3*ts)), zeros(1,t0/(3*ts)+1)];
c=cos(2*pi*fc.*t); % carrier signal

```

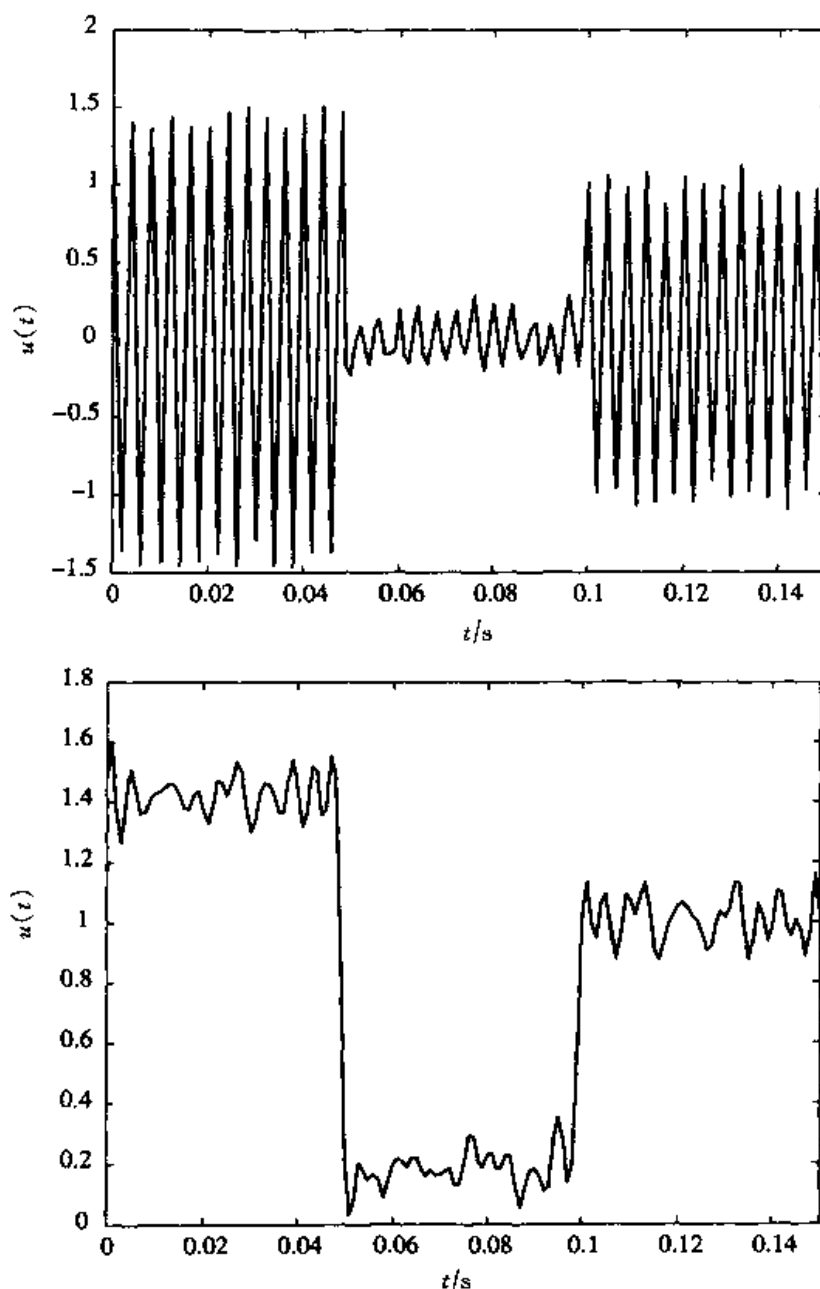


图 3.20 有噪声存在时的已接收信号和它的包络

```

m_n=m/max(abs(m));           % normalized message signal
[M,m,df1]=fftseq(m,ts,df);    % Fourier transform
f=[0:df1:df1*(length(m)-1)]-fs/2; % frequency vector
u=(1+a*m_n).*c;               % modulated signal
[U,u,df1]=fftseq(u,ts,df);    % Fourier transform
env=env_phas(u);              % find the envelope
dem1=2*(env-1)/a;             % remove dc and rescale
signal_power=spower(u(1:length(t))); % power in modulated signal
noise_power=signal_power/100; % noise power

```

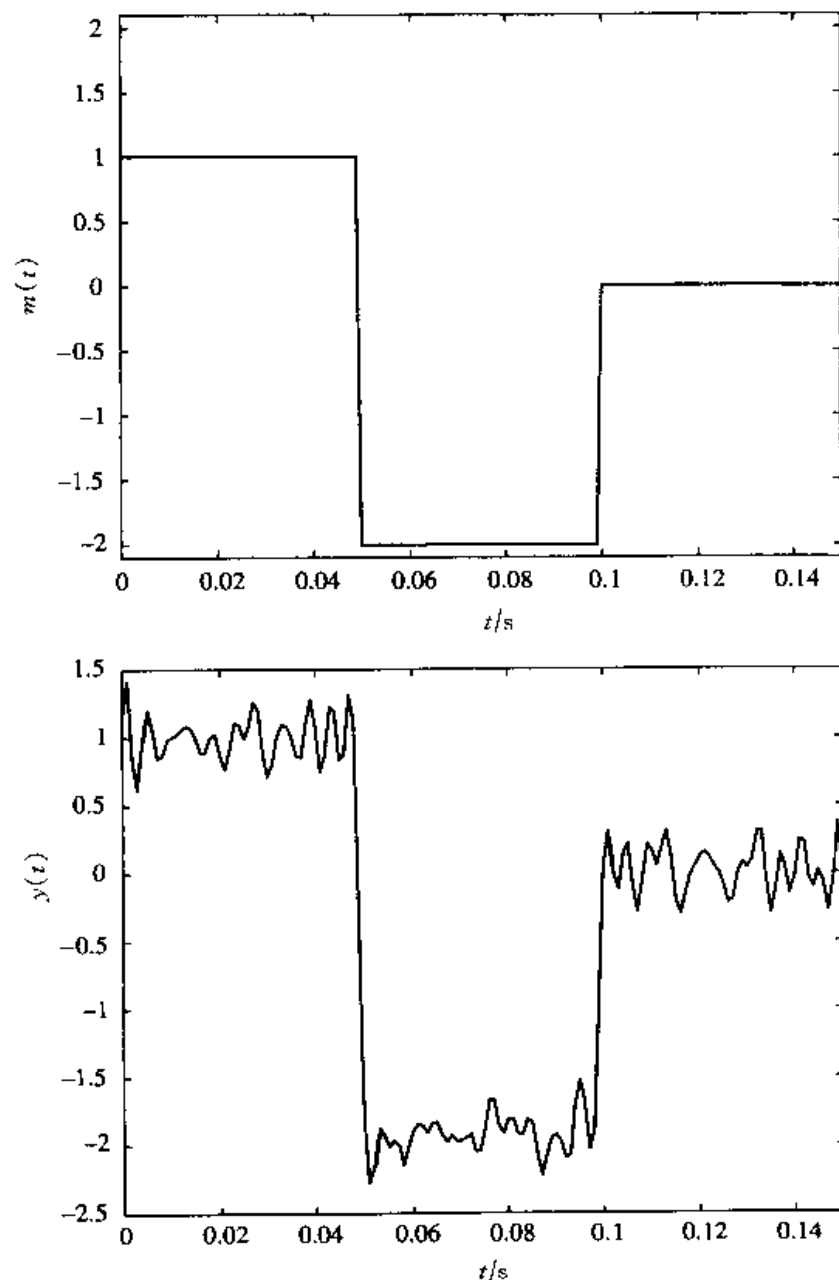


图 3.21 消息信号和有噪声存在时的已解调信号

```

noise_std=sqrt(noise_power);           % noise standard deviation
noise=noise_std*randn(1,length(u));    % generate noise
r=u+noise;                             % add noise to the modulated signal
[R,r,df1]=fftseq(r,ts,df);             % Fourier transform
env_r=env_phas(r);                     % envelope, when noise is present
dem2=2*(env_r-1)/a;                    % demodulate in the presence of noise
pause % Press any key to see a plot of the message
subplot(2,1,1)
plot(t,m(1:length(t)))

```

---

```

axis([0 0.15 -2.1 2.1])
xlabel('Time')
title('The message signal')
pause % Press any key to see a plot of the modulated signal
subplot(2,1,2)
plot(t,u(1:length(t)))
axis([0 0.15 -2.1 2.1])
xlabel('Time')
title('The modulated signal')
pause % Press a key to see the envelope of the modulated signal
clf
subplot(2,1,1)
plot(t,u(1:length(t)))
axis([0 0.15 -2.1 2.1])
xlabel('Time')
title('The modulated signal')
subplot(2,1,2)
plot(t,env(1:length(t)))
xlabel('Time')
title('Envelope of the modulated signal')
pause % Press a key to compare the message and the demodulated signal
clf
subplot(2,1,1)
plot(t,m(1:length(t)))
axis([0 0.15 -2.1 2.1])
xlabel('Time')
title('The message signal')
subplot(2,1,2)
plot(t,dem1(1:length(t)))
xlabel('Time')
title('The demodulated signal')
pause % Press a key to compare in the presence of noise
clf
subplot(2,1,1)
plot(t,m(1:length(t)))
axis([0 0.15 -2.1 2.1])
xlabel('Time')
title('The message signal')
subplot(2,1,2)
plot(t,dem2(1:length(t)))
xlabel('Time')
title('The demodulated signal in the presence of noise')

```

---

### 注 释

在以上的解调过程中,已经略去了限制噪声滤波器的影响,这个滤波器是一个带通滤波器,它位于任何接收机的第1级。实际上,已接收的信号  $r(t)$  是先通过这个限制噪声滤波器,然而再供给包络检波器的。在前面的例子中,由于消息信号的带宽不是有限的,所以  $r(t)$  通过任何带通滤波器都会引起在已解调消

息上的失真,但是也会降低在解调器输出上的噪声量。图 3.22 已经画出了当利用不同带宽的限制噪声滤波器时解调器的输出,其中无限大带宽的情况就等效于图 3.21 的结果。

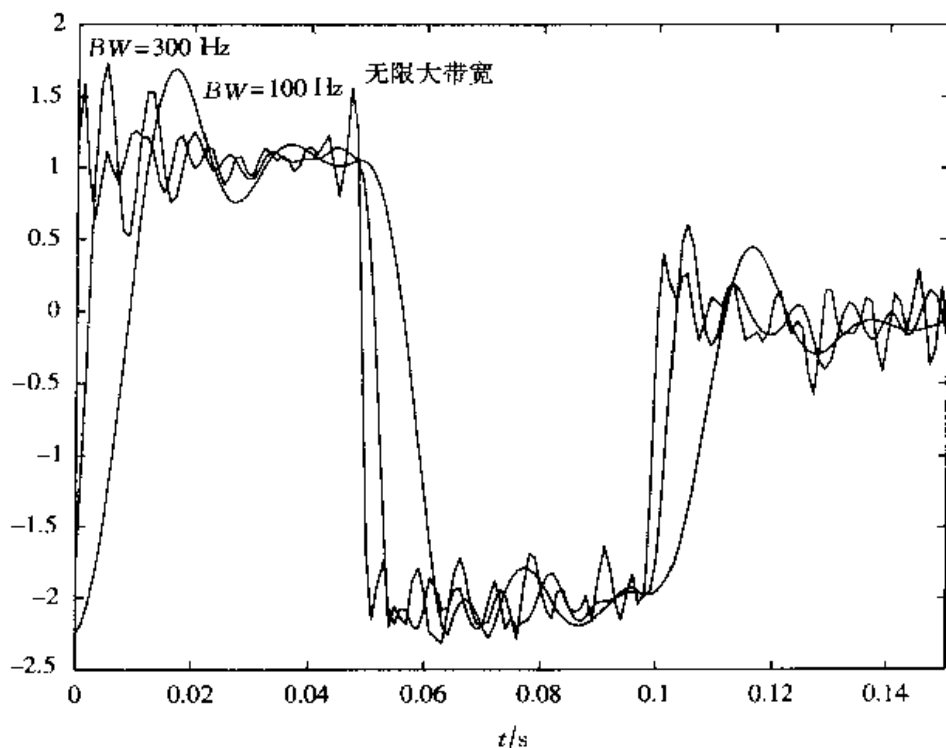


图 3.22 限制噪声滤波器的带宽对包络检波器输出的影响

### 3.4 角调制

角调制属于一类非线性调制方法,其中包括频率调制(FM)和相位调制(PM)。这类调制方法以其高的带宽要求和在噪声存在下好的性能为其特征的。这些方法可以看作是以带宽来交换功率的调制技术,因此应用在带宽不是一个主要问题而希望有高的信噪比 SNR 的场合。频率调制广泛用于高保真度的 FM 广播、TV 音频广播、微波载波调制和点对点的通信系统中。

在讨论角调制方法时,还是集中在 5 个基本特性上,即:时域表示、频域表示、带宽、功率和 SNR。因为 PM 和 FM 之间存在有很密切的关系,所以将并行地讨论它们,但重点放在 FM 上。

当载波是  $c(t) = A_c \cos(2\pi f_c t)$  和消息信号是  $m(t)$  时,角调制信号的时域表示为

$$u(t) = \begin{cases} A_c \cos(2\pi f_c t + k_p m(t)), & \text{PM} \\ A_c \cos(2\pi f_c t + 2\pi k_f \int_{-\infty}^t m(\tau) d\tau), & \text{FM} \end{cases} \quad (3.4.1)$$

式中  $k_f$  和  $k_p$  分别表示 FM 和 PM 的偏离常数(deviation constant)。由于这些调制方法的非线性,一般来说角调制的频域表示很复杂,现仅讨论消息信号  $m(t)$  是正弦信号的情况。假设对 PM 来说,  $m(t) = a \cos(2\pi f_m t)$ ; 对 FM,  $m(t) = -a \sin(2\pi f_m t)$ 。那么已调信号就具有如下表示

$$u(t) = \begin{cases} A_c \cos(2\pi f_c t + \beta_p \cos(2\pi f_m t)), & \text{PM} \\ A_c \cos(2\pi f_c t + \beta_f \sin(2\pi f_m t)), & \text{FM} \end{cases} \quad (3.4.2)$$

式中

$$\begin{cases} \beta_p = k_p a \\ \beta_f = \frac{k_f a}{f_m} \end{cases} \quad (3.4.3)$$

$\beta_p$  和  $\beta_f$  分别是 PM 和 FM 的调制指数。一般对一个非正弦的  $m(t)$ , 调制指数定义为

$$\begin{cases} \beta_p = k_p \max |m(t)| \\ \beta_f = \frac{k_f \max |m(t)|}{W} \end{cases} \quad (3.4.4)$$

式中  $W$  是消息信号  $m(t)$  的带宽。在正弦消息信号中, 已调信号能表示为

$$u(t) = \sum_{n=-\infty}^{\infty} A_c J_n(\beta) \cos(2\pi(f_c + n f_m)t) \quad (3.4.5)$$

式中  $J_n(\beta)$  是  $n$  阶的第 1 类贝塞尔函数, 而  $\beta$  是  $\beta_p$  或  $\beta_f$  之一, 这取决于处理的是 PM 还是 FM 而定。在频域有

$$U(f) = \sum_{n=-\infty}^{\infty} \left[ \frac{A_c J_n(\beta)}{2} \delta(f - (f_c + n f_m)) + \frac{A_c J_n(\beta)}{2} \delta(f + (f_c + n f_m)) \right] \quad (3.4.6)$$

显然, 这个已调信号的带宽不是有限的。然而, 可以用包含已调信号功率的 98% 到 99% 的带宽定义为信号的有效带宽。这个带宽用卡尔松法则给出为

$$B_T = 2(\beta + 1)W \quad (3.4.7)$$

这里  $\beta$  是调制指数,  $W$  是消息信号的带宽, 而  $B_T$  是已调信号的带宽。

角调制信号功率的表达式很简单。因为角调制信号是正弦的, 具有变化的瞬时频率和恒定的幅度, 它的功率是常数而与消息信号无关。无论是 FM 还是 PM, 其功率均为

$$P_u = \frac{A_c^2}{2} \quad (3.4.8)$$



当不采用任何预加重和去加重过滤时,角调制信号的 SNR 由下式给出

$$\left(\frac{S}{N}\right)_0 = \begin{cases} \frac{P_M \beta_p^2}{(\max |m(t)|)^2} \frac{P_R}{N_0 W}, & \text{PM} \\ 3 \frac{P_M \beta_f^2}{(\max |m(t)|)^2} \frac{P_R}{N_0 W}, & \text{FM} \end{cases} \quad (3.4.9)$$

因为消息信号的最大幅度记为  $\max |m(t)|$ , 所以可以将  $P_M/(\max |m(t)|)^2$  理解为归一化消息信号的功率, 并记作  $P_{M_0}$ 。当使用了 3dB 截止频率为  $f_0$  的预加重和去加重滤波器时, 对 FM 的 SNR 给出为

$$\left(\frac{S}{N}\right)_{\text{opt}} = \frac{(W/f_0)^3}{3[W/f_0 - \arctan(W/f_0)]} \left(\frac{S}{N}\right)_0 \quad (3.4.10)$$

式中  $(S/N)_0$  是由 (3.4.9) 式给出的无预加重和去加重过滤时的 SNR。

### 解说题

#### 解说题 3.10 [频率调制]

用消息信号

$$m(t) = \begin{cases} 1, & 0 \leq t < \frac{t_0}{3} \\ -2, & \frac{t_0}{3} \leq t < \frac{2t_0}{3} \\ 0, & \text{其余 } t \end{cases}$$

采用频率调制方法调制载波  $c(t) = \cos(2\pi f_c t)$ , 假设  $f_c = 200 \text{ Hz}$ ,  $t_0 = 0.15 \text{ s}$ , 偏离常数  $k_f = 50$ 。

1. 画出已调信号。
2. 求消息信号和已调信号的频谱。

### 题解

1. 现有

$$u(t) = A_c \cos\left(2\pi f_c t + 2\pi k_f \int_{-\infty}^t m(\tau) d\tau\right)$$

必须要求  $\int_{-\infty}^t m(\tau) d\tau$ 。这可以用数值法或解析法来完成, 其结果如图 3.23 所示。利用  $u(t)$  的关系和  $m(t)$  的积分值, 就可求得  $u(t)$  的表达式。 $m(t)$  和  $u(t)$  的图如图 3.24 所示。

2. 利用 MATLAB 的傅里叶变换子程序, 可得  $u(t)$  的频谱如图 3.25 所示。很容易看出, 不像 AM 那样, 在 FM 情况下消息信号频谱和已调信号频谱之间不存在明显的相似性。在现在这个特例中, 消息信号的带宽不是有限的, 因此为了

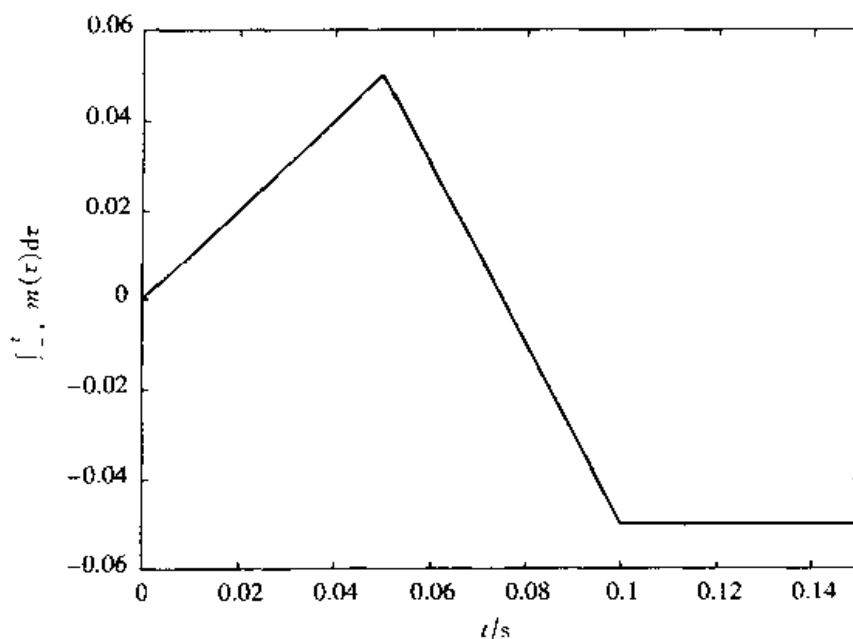


图 3.23 消息信号的积分

定义调制指数,就应该在表达式

$$\beta = \frac{k_f \max |m(t)|}{W} \quad (3.4.11)$$

中用一个消息信号的近似带宽。例如,可用消息信号  $m(t)$  频谱的主瓣宽度作为带宽,这样可得

$$W = 20 \text{ Hz}$$

所以

$$\beta = \frac{50 \times 2}{20} = 10$$

本题的 MATLAB 脚本给出如下。

### MI 文件

```
% fm1.m
% Matlab demonstration script for frequency modulation. The message signal
% is +1 for 0 < t < t0/3, -2 for t0/3 < t < 2t0/3, and zero otherwise.
echo on
t0=15; % signal duration
ts=0.0005; % sampling interval
fc=200; % carrier frequency
kf=50; % modulation index
fs=1/ts; % sampling frequency
t=[0:ts:t0]; % time vector
```

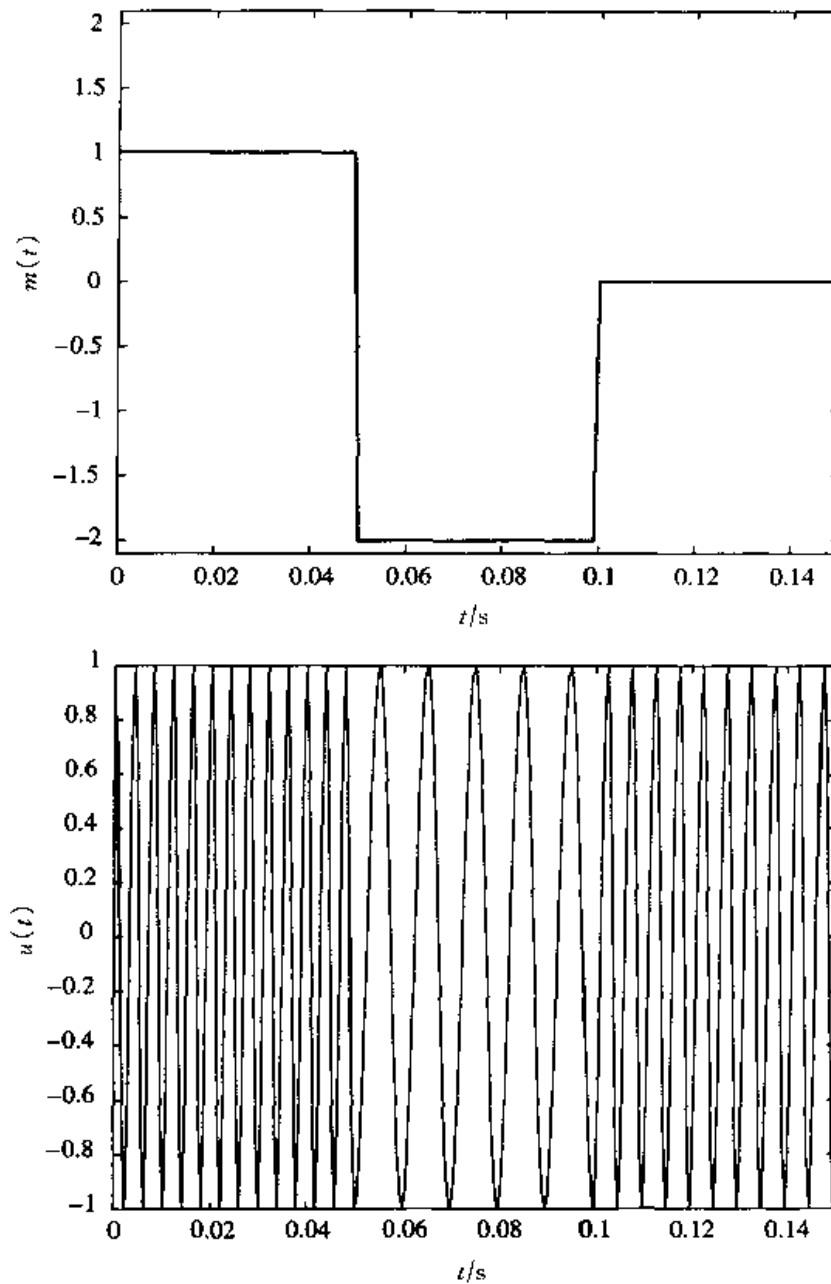


图 3.24 消息信号和已调制信号

```

df=0.25;                                % required frequency resolution
% message signal
m=[ones(1,t0/(3*ts)), -2*ones(1,t0/(3*ts)), zeros(1,t0/(3*ts)+1)];
int_m(1)=0;
for i=1:length(t)-1                      % integral of m
    int_m(i+1)=int_m(i)+m(i)*ts;
    echo off ;
end
echo on ;

```

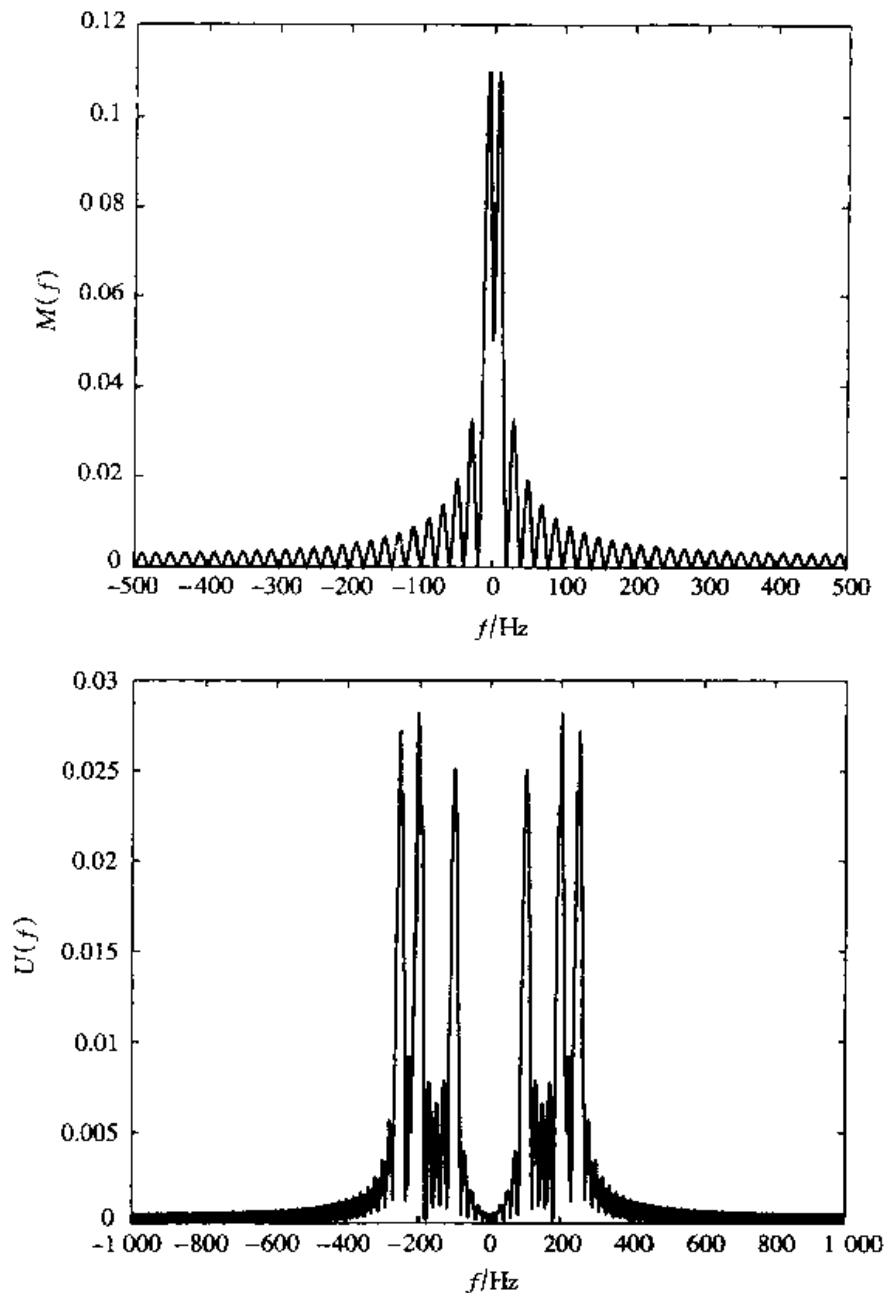


图 3.25 消息信号和已调信号的幅度谱

```

[M,m,df1]=fftseq(m,ts,df);           % Fourier transform
M=M/fs;                               % scaling
f=[0:df1:df1*(length(m)-1)]-fs/2;    % frequency vector
u=cos(2*pi*fc*t+2*pi*kf*int_m);        % modulated signal
[U,u,df1]=fftseq(u,ts,df);            % Fourier transform
U=U/fs;                               % scaling
pause % Press any key to see plot of the message and the modulated signal
subplot(2,1,1)
plot(t,m(1:length(t)))

```

```

axis([0 0.15 -2.1 2.1])
xlabel('Time')
title('The message signal')
subplot(2,1,2)
plot(t,u(1:length(t)))
axis([0 0.15 -2.1 2.1])
xlabel('Time')
title('The modulated signal')
pause % Press any key to see plots of the magnitude of the message and the
      % modulated signal in the frequency domain.
subplot(2,1,1)
plot(f,abs(fftshift(M)))
xlabel('Frequency')
title('Magnitude spectrum of the message signal')
subplot(2,1,2)
plot(f,abs(fftshift(U)))
title('Magnitude spectrum of the modulated signal')
xlabel('Frequency')

```

### 解说题

#### 解说题 3.11 [频率调制]

设消息信号是

$$m(t) = \begin{cases} \text{sinc}(100t), & |t| \leq t_0 \\ 0, & \text{其余 } t \end{cases}$$

式中  $t_0 = 0.1$ 。用这个消息信号去调制载波  $c(t) = \cos(2\pi f_c t)$ ,  $f_c = 250$  Hz, 偏离常数  $k_f = 100$ 。

1. 在时域和频域画出已调信号。
2. 将解调器输出与原消息信号作比较。

### 题解

1. 首先对消息信号积分, 然后用下面关系

$$u(t) = A_c \cos\left(2\pi f_c t + 2\pi k_f \int_{-\infty}^t m(\tau) d\tau\right)$$

求出  $u(t)$ 。 $u(t)$  和消息信号如图 3.26 所示。该消息信号的积分如图 3.27 所示。已调信号在频域的频谱图如图 3.28 所示。

2. 为了对 FM 信号解调, 首先要求出已调信号  $u(t)$  的相位。这个相位是  $2\pi k_f \int_{-\infty}^t m(\tau) d\tau$ , 可以将它微分再除以  $2\pi k_f$  就得到  $m(t)$ 。注意, 为了恢复这个相位, 并将  $2\pi$  的相位卷绕解开, 用了 MATLAB 的 `unwrap.m` 函数。图 3.29 示出该消息信号和已解调信号的图。正如所看到的, 这个已解调信号是非常类

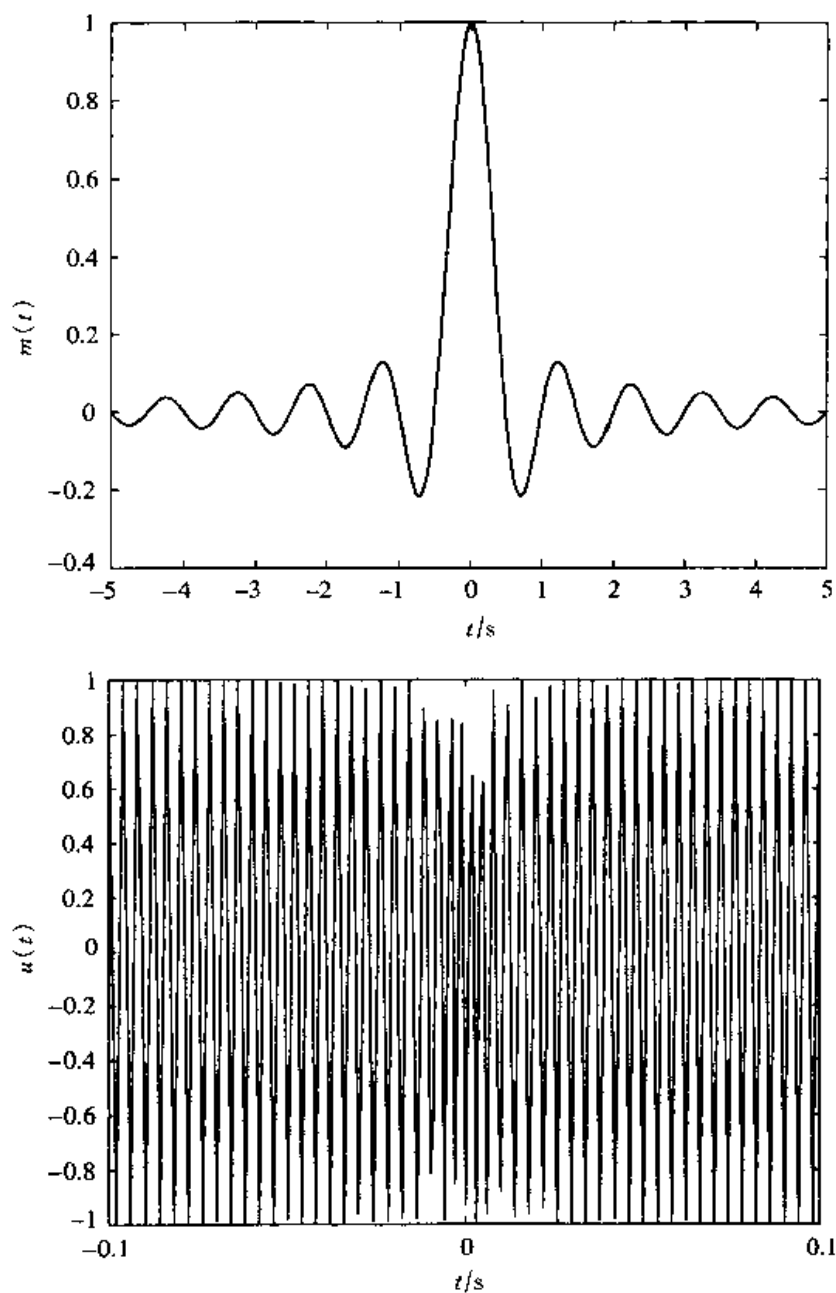


图 3.26 消息信号和已调信号

似于消息信号的。

本题的 MATLAB 脚本给出如下。

#### VI 文件

```
% fm2.m
% Matlab demonstration script for frequency modulation. The message signal
% is  $m(t)=\text{sinc}(100t)$ .
```

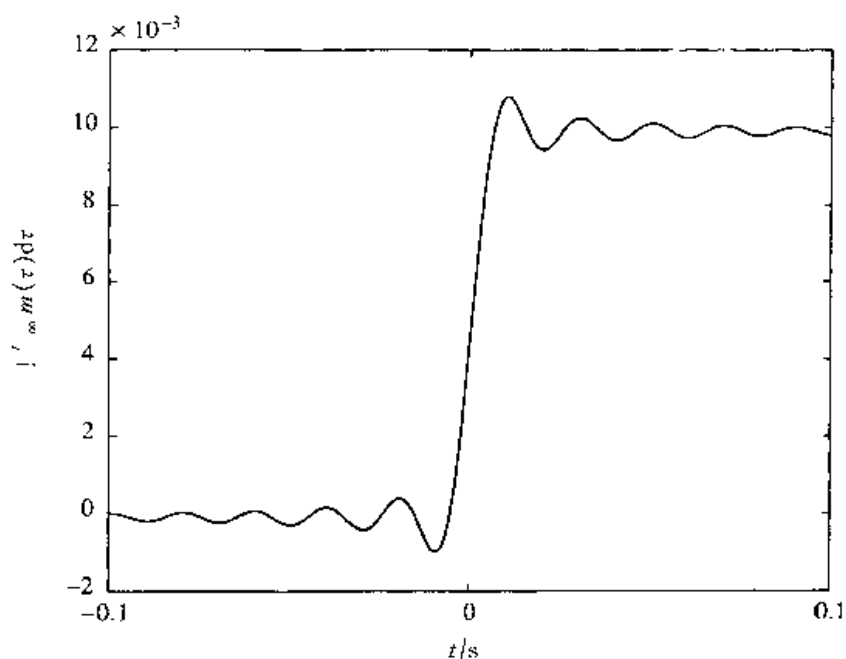


图 3.27 消息信号的积分

```

echo on
t0=.2; % signal duration
ts=0.001; % sampling interval
fc=250; % carrier frequency
snr=20; % SNR in dB (logarithmic)
fs=1/ts; % sampling frequency
df=0.3; % required freq. resolution
t=[-t0/2:ts:t0/2]; % time vector
kf=100; % deviation constant
df=0.25; % required frequency resolution
m=sinc(100*t); % the message signal
int_m(1)=0;
for i=1:length(t)-1 % integral of m
    int_m(i+1)=int_m(i)+m(i)*ts;
    echo off ;
end
echo on ,
[M,m,df1]=fftseq(m,ts,df); % Fourier transform
M=M/fs; % scaling
f=[0:df1:df1*(length(m)-1)]-fs/2; % frequency vector
u=cos(2*pi*fc*t+2*pi*kf*int_m); % modulated signal
[U,u,df1]=fftseq(u,ts,df); % Fourier transform
U=U/fs; % scaling
[v,phase]=cnv_phase(u,ts,250); % demodulation, find phase of u
phi=unwrap(phase); % restore original phase
dem=(1/(2*pi*kf))*(diff(phi)/ts); % demodulator output, differentiate and scale phase
pause % Press any key to see a plot of the message and the modulated signal
subplot(2,1,1)
plot(t,m(1:length(t)))
xlabel('Time')

```

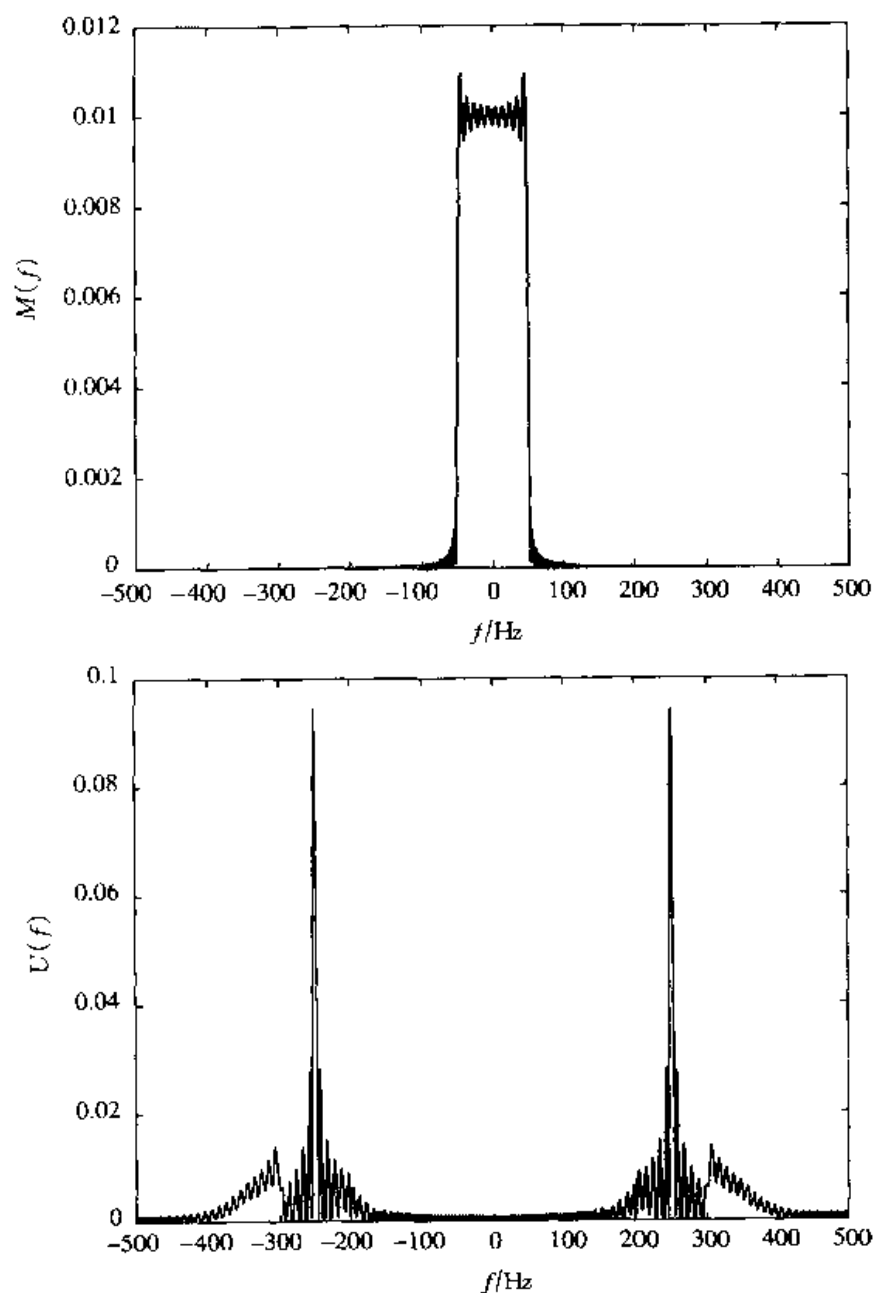


图 3.28 消息信号和已调信号的幅度谱

```

title('The message signal')
subplot(2,1,2)
plot(t,u(1:length(t)))
xlabel('Time')
title('The modulated signal')
pause % Press any key to see plots of the magnitude of the message and the
      % modulated signal in the frequency domain.
subplot(2,1,1)
plot(f,abs(fftshift(M)))

```



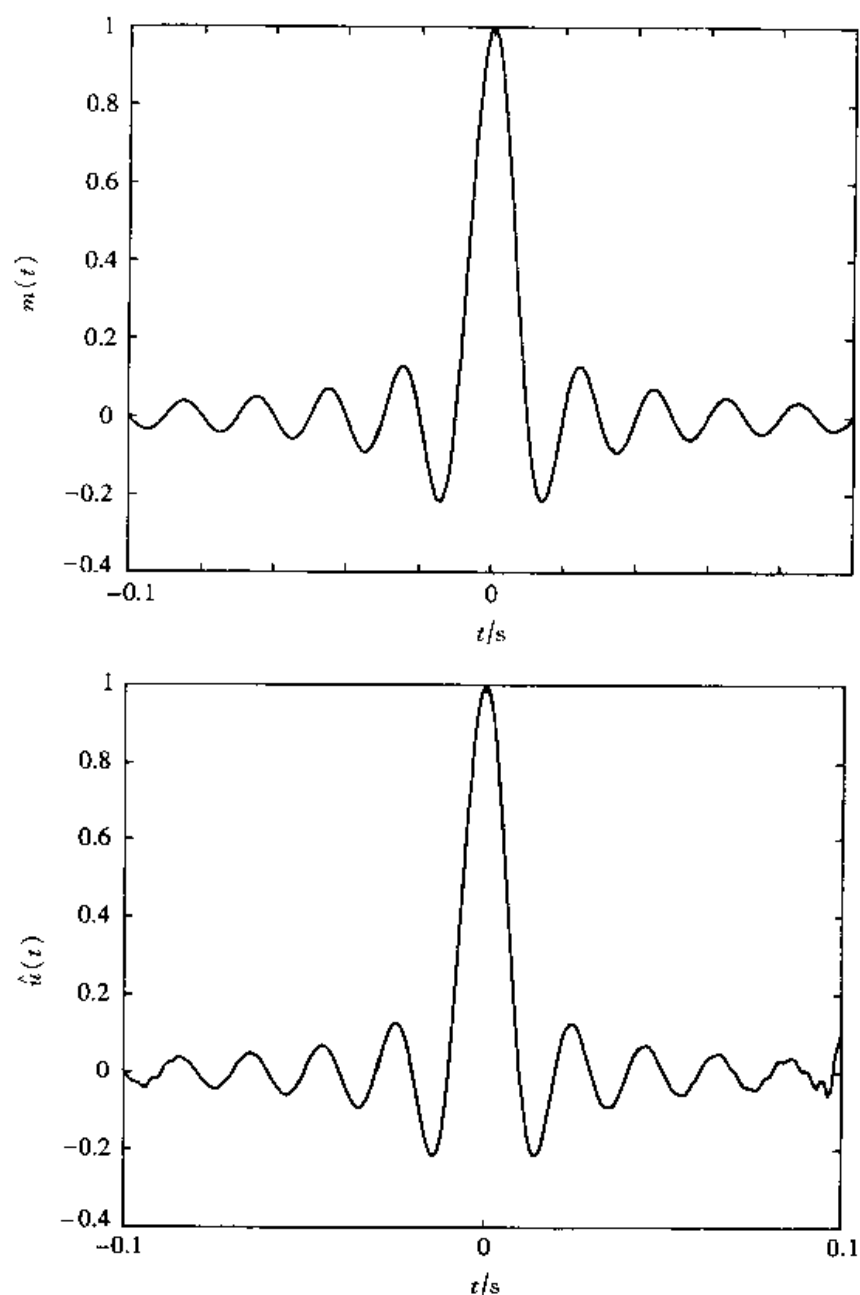


图 3.29 消息信号和已解调信号

```

xlabel('Frequency')
title('Magnitude spectrum of the message signal')
subplot(2,1,2)
plot(f,abs(fftshift(U)))
title('Magnitude spectrum of the modulated signal')
xlabel('Frequency')
pause % Press any key to see plots of the message and the demodulator output with no
      % noise
subplot(2,1,1)

```

```

plot(t,m(1:length(t)))
xlabel('Time')
title('The message signal')
subplot(2,1,2)
plot(t,dem(1:length(t)))
xlabel('Time')
title('The demodulated signal')

```

### 思考题

一个频率调制信号有恒定的幅度,然而在图 3.26 中,信号  $u(t)$  的幅度明显的不是恒定的。你能解释为什么会是这样吗?

## 习 题

3.1 信号  $m(t)$  在区间  $[0,2]$  内给出为

$$m(t) = \begin{cases} t, & 0.1 \leq t < 1 \\ -t + 2, & 1 \leq t < 1.9 \\ 0.1, & \text{其余 } t \end{cases}$$

用该信号以 DSB-AM 方式调制一载波频率为 25 Hz 幅度为 1 的载波产生已调信号  $u(t)$ 。写一个 MATLAB 的 M 文件,并用该文件做下面的题:

- 画出已调信号;
- 求已调信号的功率;
- 求已调信号的频谱;
- 求已调信号的功率谱密度,并与消息信号的功率谱密度作比较。

3.2 用在区间  $[0,2]$  内的  $m(t)$

$$m(t) = \begin{cases} t, & 0 \leq t \leq 1 \\ -t + 2, & 1 \leq t \leq 2 \end{cases}$$

重做习题 3.1。你认为本题和习题 3.1 之间的差别是什么?

3.3 用  $m(t)$  为

$$m(t) = \begin{cases} \text{sinc}^2(10t), & |t| \leq 2 \\ 0, & \text{其余 } t \end{cases}$$

和频率为 100 Hz 的载波重做习题 3.1。

3.4 假设习题 3.1 中不是 DSB 而用常规 AM 方式,调制指数  $a = 0.2$ 。

- 求出并画出已调信号的频谱;
- 将调制指数从 0.1 改变到 0.9,请解释将会怎样影响由上面 a 部分导得的频谱;

c. 作为调制指数的函数,画出边带功率对载波功率的比的图

3.5 在习题 3.1 中,设调制方法是 USSB 而不是 DSB。首先用 DSB 方法,然后再除去下边带。

a. 求出并画出已调信号;

b. 求出并画出已调信号的频谱;

c. 将已调信号的频谱与未调制信号的频谱作比较。

3.6 在习题 3.5 中,不用滤波 DSB 产生 USSB 信号,而用下面关系

$$u(t) = \frac{A_c}{2} m(t) \cos(2\pi f_c t) - \frac{A_c}{2} \hat{m}(t) \sin(2\pi f_c t)$$

你能看到与习题 3.5 得到的结果有什么差别吗?

3.7 改用消息信号  $m(t)$  为

$$m(t) = \begin{cases} \text{sinc}^2(10t), & |t| \leq 2 \\ 0, & \text{其余 } t \end{cases}$$

并用频率为 100 Hz 的载波产生 LSSB 信号,重做习题 3.5 和习题 3.6。

3.8 用信号

$$m(t) = \begin{cases} t, & 0.1 \leq t < 1 \\ -t + 2, & 1 \leq t < 1.9 \\ 0, & \text{其余 } t \end{cases}$$

以 DSB 调制方式调制频率为 25 Hz 的载波。

a. 求出并画出已调信号;

b. 假设在解调器端的本地振荡器与载波有相位为  $\theta$  的滞后,  $0 \leq \theta \leq \pi/2$ , 利用 MATLAB 画出已解调信号的功率对  $\theta$  的图(假定无噪声传输)。

3.9 在习题 3.8 中,假设调制方法是 USSB,画出在  $\theta = 0^\circ, 30^\circ, 45^\circ, 60^\circ$  和  $90^\circ$  时的已解调信号。

3.10 假设调制是调制指数为 0.2 的常规 AM,重做习题 3.8。并用包络检波器解调该信号,无噪声存在,画出已解调信号和它的频谱。

3.11 一消息信号是周期的,周期为 2 s,在区间  $[0, 2]$  内定义为

$$m(t) = \begin{cases} t, & 0.1 \leq t < 1 \\ -t + 2, & 1 \leq t < 1.9 \\ 0, & \text{其余 } t \end{cases}$$

用该信号以 DSB 方式调制频率为 50 Hz 的载波。画出这个 DSB 解调器的输出,并将它与在下述噪声情况下的消息信号作比较:白高斯噪声的功率为已调信号功率的 0.001, 0.01, 0.05, 0.1 和 0.3,并加在已调信号上。

3.12 用 LSSB 方式重做习题 3.11。将结果与习题 3.11 的结果作比较。

3.13 用常规 AM 和包络解调重做习题 3.11。

## 3.14 用信号

$$m(t) = \begin{cases} t, & 0 \leq t < 1 \\ -t + 2, & 1 < t \leq 2 \\ 0.1, & \text{其余 } t \end{cases}$$

对频率为 1 000 Hz 的载波进行频率调制 FM, 偏离常数  $k_f = 25$ 。

- a. 求已调信号的瞬时频率范围;
  - b. 求已调信号的带宽;
  - c. 画出消息信号和已调信号的频谱;
  - d. 求调制指数。
- 3.15 利用频率解调的 MATLAB 文件对习题 3.14 的已调信号进行解调, 并将已解调信号与消息信号作比较。
- 3.16 设消息信号是周期的, 周期为 2, 在区间  $[0, 2]$  内定义为

$$m(t) = \begin{cases} t, & 0 \leq t < 1 \\ -t + 2, & 1 \leq t < 1.9 \\ 0.1, & \text{其余 } t \end{cases}$$

调制方法与习题 3.14 相同。在解调以前, 将加性白高斯噪声加到已调信号上。当噪声功率与已调信号功率之比是 0.001, 0.01, 0.05, 0.1 和 0.3 时, 解调并画出已解调信号。

- 3.17 在习题 3.16 中设  $m(t) = 0$ , 按题中所述将噪声过程加到已调信号上并解调出所得信号。画出在每种情况下解调器输出的功率谱密度。

# 第 4 章 模拟/数字转换

## 4.1 概述

大多数信息源原本都是模拟的。模拟(信息)源包括语音、图像、以及许多遥测源。本章要讨论用一种有效的方式将模拟源转换成数字序列的各种方法和技术。在后续各章中将会看到,由于数字信息更容易处理、通信和存储,将模拟源转换成数字序列是很必要的。数据压缩的一般论题(其中模拟/数字转换是一种特例)可以分为两个主要分支:

1. **量化(或称有损数据压缩)**,其中模拟源被量化到某一有限电平数。在这一过程中,产生失真不可避免的,所以会丢掉某些信息,而且这个丢失了的信息不可能恢复。一般的模拟/数字转换技术,像脉冲编码调制(PCM)、差分脉冲编码调制(DPCM)、 $\Delta$ 调制( $\Delta M$ )、均匀量化、非均匀量化和矢量量化等都属于这一类。这类数据压缩方法在性能上的基本限制由**率失真界**(rate-distortion bound)给出的。

2. **无噪声编码(或称无损数据压缩)**,其中数字数据(通常是上面讨论的量化结果)被压缩以达到用尽可能少的比特数来表示它们,这样原数据序列可以完全从已压缩的序列中恢复出来。信源编码技术,像 Huffman 编码、Lempel-Ziv 编码、以及算术编码都属于这一类数据压缩方法。在这类编码方法中,没有任何信息丢失。这类压缩方法所实现压缩的基本限制由信源的**熵**给出。

## 4.2 信息的度量

一个信息源(数据、语音、视频影像等)的输出能够用一个随机过程来建模。对一离散无记忆和平稳随机过程(它可以认为是一随机变量  $X$  的独立抽取)来说,信息含量(或熵)定义为

$$H(X) = - \sum_{x \in \mathcal{X}} p(x) \log_2 p(x) \quad (4.2.1)$$

式中  $\mathcal{X}$  表示信源字符集,  $p(x)$  是字符  $x$  的概率。这样得出的熵以**比特**表示。对于概率为  $p$  和  $1-p$  的二进制字符来说,熵用  $H_b(p)$  表示并给出为

$$H_b(p) = -p \log_2 p - (1-p) \log_2 (1-p) \quad (4.2.2)$$

二进制熵函数的图由图 4.1 所示。

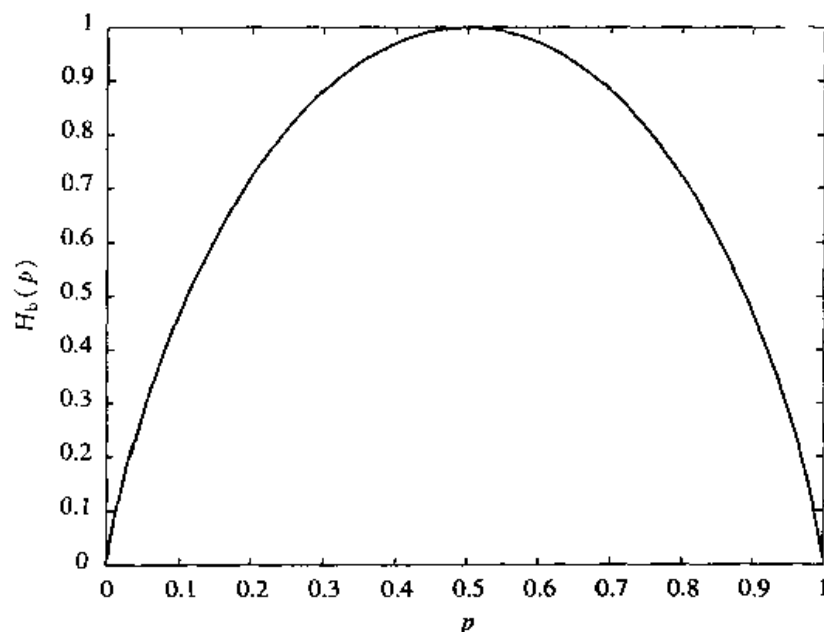


图 4.1 二进制熵函数的图

一个信源的熵给出了为能完全恢复这个信源而要求表示这个信源比特数的基本界限。换句话说,为了无误差地恢复,对某个信源编码而要求每个信源输出的平均比特数可以实现到尽你所能而接近  $H(X)$ ,但是决不能小于  $H(X)$ 。

#### 4.2.1 无噪声编码

无噪声编码是所有这类方法的一般称呼,这类方法在达到完全恢复前提下,减少了一个信源输出表示所要求的比特数。无噪声编码理论(归功于 Shannon)指出,有可能用一种码,它的码率可以尽量接近这个信源的熵来完全恢复这个信源,但是小于信源熵的码率的码是不可能完全恢复这个信源的。换句话说,对任意  $\epsilon > 0$ ,可有一种码其码率小于  $H(X) + \epsilon$ ,而不能有一种码其码率是小于  $H(X)$ 的,而不管编码器和解码器的复杂性如何。现在有各种无噪声信源编码算法,Huffman 编码和 Lempel-Ziv 编码就是其中的两个例子。现在就来讨论 Huffman 编码算法。

##### Huffman 编码

在 Huffman 编码中,将较长的码字分配给较小可能的信源输出,而将较短的码字分配给较大可能的信源输出。为了实现这一点,先将两个最低概率的信

源输出合并产生一个新的合并后的输出,它的概率是两个相应概率的和。这一过程重复做下去直到仅有一个合并了的输出为止。这样就得到一个树状的图。然后从树的根部开始,将0和1放到合并成同一节点的任意两条支路上,这样就产生了这组码。可以证明,用这种方式所产生的码在异前缀码(prefix-free codes)<sup>①</sup>中具有最小平均长度。下面的例子说明如何来设计一个 Huffman 码。

### 解说题

#### 解说题 4.1 [Huffman 编码]

为某一信源设计一个 Huffman 码,该信源的字符集为  $\mathcal{X} = \{x_1, x_2, \dots, x_9\}$ , 相应的概率向量

$$p = (0.2, 0.15, 0.13, 0.12, 0.1, 0.09, 0.08, 0.07, 0.06)$$

求所得码的平均码长,并与该信源的熵作比较。

### 题 解

依据上面所提出的算法得到的树如图 4.2 所示。这个码的平均码字长度是

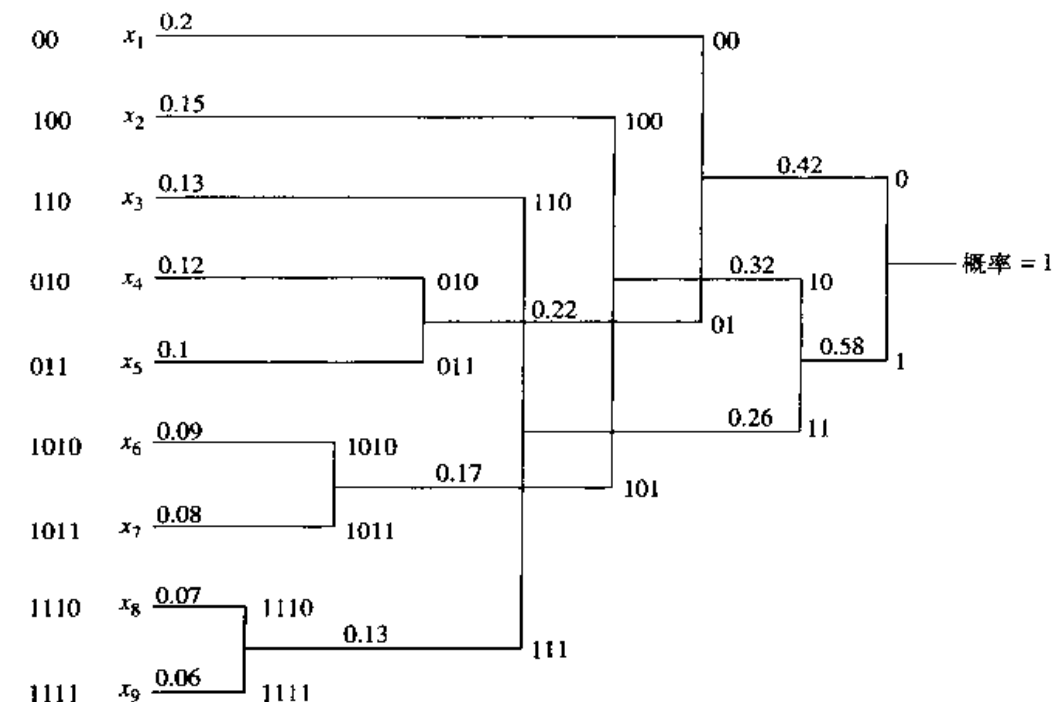


图 4.2 Huffman 码树

<sup>①</sup> 异前缀码是这样一类码,其中没有一个码字是另一个码字的前缀。

$$\begin{aligned}\bar{L} &= 2 \times 0.2 + 3 \times (0.15 + 0.13 + 0.12 + 0.1) \\ &\quad + 4 \times (0.09 + 0.08 + 0.07 + 0.06) \\ &= 3.1 \quad \text{比特/信源输出}\end{aligned}$$

信源的熵为

$$H(X) = - \sum_{i=1}^9 p_i \log_2 p_i = 3.037 \text{ 1} \quad \text{比特/信源输出}$$

可见,如所预期的  $\bar{L} > H(X)$ 。

下面给出的 MATLAB 函数 `entropy.m` 可计算概率向量  $p$  的熵。

### M 文件

```
function h=entropy(p)
%           H=ENTROPY(P) returns the entropy function of
%           the probability vector p.
if length(find(p<0))~=0,
    error('Not a prob. vector, negative component(s)')
end
if abs(sum(p)-1)>10e-10,
    error('Not a prob. vector, components do not add up to 1')
end
h=sum(-p.*log2(p));
```

$$\eta = \frac{H(X)}{\bar{L}} \quad (4.2.3)$$

这个量称为 **Huffman 码的效率**。虽然总是有  $\eta \leq 1$ 。一般来说,可以证明任何 Huffman 码的平均码字长度都满足下面不等式

$$H(X) \leq \bar{L} < H(X) + 1 \quad (4.2.4)$$

如果是对长度为  $K$  的分组码设计一个 Huffman 码,而不是对单个字符来做,就有

$$H(X) \leq \bar{L} < H(X) + \frac{1}{K} \quad (4.2.5)$$

因此,增大  $K$  就能随意逼近  $H(X)$ 。毋庸置疑,增大  $K$  会大大增加复杂性。应该值得注意的是,Huffman 编码算法不会得出唯一的码,这是由于在不同的树支路处可任意置 0 和 1 的缘故。这就是为什么我们总说“某--”Huffman 码,而不是说“该”Huffman 码的缘故。

下面给出的 MATLAB 函数 `huffman.m`,为概率向量  $p$  的离散无记忆信源设计某-- Huffman 码,并能得到码字和平均码字长度。



## M 文件

```

function [h,l]=huffman(p);
%HUFFMAN    Huffman code generator.
%           [h,l]=huffman(p), Huffman code generator
%           returns h the Huffman code matrix, and l the
%           average codeword length for a source with
%           probability vector p.

if length(find(p<0))~=0,
    error('Not a prob. vector, negative component(s)')
end
if abs(sum(p)-1)>10e-10,
    error('Not a prob. vector, components do not add up to 1')
end
n=length(p);
q=p;
m=zeros(n-1,n);
for i=1:n-1
    [q,l]=sort(q);
    m(i,:)=l(1:n-i+1),zeros(1,i-1)];
    q=[q(1)+q(2),q(3:n),1];
end
for i=1:n-1
    c(i,:)=blanks(n*n);
end
c(n-1,n)='0';
c(n-1,2*n)='1';
for i=2:n-1
    c(n-i,1:n-1)=c(n-i+1,n*(find(m(n-i+1,:)==1))...
        -(n-2):n*(find(m(n-i+1,:)==1)));
    c(n-i,n)='0';
    c(n-i,n+1:2*n-1)=c(n-i,1:n-1);
    c(n-i,2*n)='1';
    for j=1:i-1
        c(n-i,(j+1)*n+1:(j+2)*n)=c(n-i+1,...
            n*(find(m(n-i+1,:)==j+1)-1)+1:n*find(m(n-i+1,:)==j+1));
    end
end
for i=1:n
    h(i,1:n)=c(1,n*(find(m(1,:)==i)-1)+1:find(m(1,:)==i)*n);
    l(i)=length(find(abs(h(i,:))~=32));
end
l=sum(p.*l);

```

## 解答题

## 解答题 4.2 [Huffman 编码]

有一离散无记忆信息源,其字符集为

$$\mathcal{X} = \{x_1, x_2, \dots, x_6\}$$

对应的概率为

$$p = (0.1, 0.3, 0.05, 0.09, 0.21, 0.25)$$

要对该信源用 Huffman 编码。

1. 求信源的熵。

2. 求该信源的 Huffman 码, 并求 Huffman 码的效率。

3. 现在对长度为 2 的信源序列设计一 Huffman 码, 比较这个码的效率和第 2 部分中得出的码的效率。

### 题 解

1. 经由函数 entropy.m 得出该信源的熵是 2.354 9 比特/信源符号。

2. 利用 huffman.m 函数就能对该信源设计一 Huffman 码, 求得的码字是 010, 11, 0110, 0111, 00 和 10。平均码字长度是 2.38 比特/信源输出, 因此该码的效率是

$$\eta_1 = \frac{2.354\ 9}{2.38} = 0.989\ 5$$

3. 信源输出是原信源字符对的新信源有 36 个输出字符为  $\{(x_i, x_j)\}_{i,j=1}^6$ 。因为这个信源是无记忆的, 所以每对概率就是单个字符概率的乘积。因此, 为了得到这个新信源的概率向量, 必须产生有 36 元素的向量, 其中每个元素是原概率向量  $p$  中两个概率的乘积, 这可以使用 MATLAB 函数 kron.m 以  $\text{kron}(p, p)$  的形式来完成。这个 Huffman 码字给出如下:

1110000, 01110, 10110111, 1011001, 111001, 00101, 01111, 000, 011010,  
00111, 1001, 1100, 11101110, 011011, 111011110, 1110111111, 1110001, 001000,  
1011010, 01100, 10110110, 1011000, 101110, 111110, 111010, 1010, 1110110,  
101111, 11110, 0100, 00110, 1101, 001001, 111111, 0101, 1000

这个新信源的平均码字长度是 4.742 0, 而它的熵是 4.709 7, 所以这个 Huffman 码的效率是

$$\eta_2 = \frac{4.709\ 7}{4.742\ 0} = 0.993\ 2$$

与本题第 2 部分设计出的 Huffman 码效率相比有改善。

### 解说题

#### 解说题 4.3 [最大效率的 Huffman 码]

设计某一信源的 Huffman 码, 其概率向量为

$$p = \left( \frac{1}{2}, \frac{1}{4}, \frac{1}{8}, \frac{1}{16}, \frac{1}{32}, \frac{1}{64}, \frac{1}{128}, \frac{1}{256}, \frac{1}{256} \right)$$

### 题解

用 `huffman.m` 求一 Huffman 码和对应的平均码字长度。所得码字是 1,01,001,0001,00001,000001,0000000 和 00000001, 平均码字长度是 1.992 2 比特/信源输出。如果用 `entropy.m` 函数求这个信源的熵, 可得也是 1.992 2 比特/信源输出, 所以这个码的效率是 1。

### 思考题

你能够说说在什么条件下, 一个 Huffman 码的效率是等于 1 吗?

## 4.3 量化

在前面一节研究了两种无噪声编码方法, 这就是将信源输出序列压缩, 并使得从已压缩的数据中可以全部恢复出原信源。在这些方法中, 已压缩的数据是信源输出的一个确定性函数, 而信源输出也是已压缩数据的一个确定性函数。这种已压缩数据和信源输出之间的一对一的对应关系意味着它的熵是相等的, 在编码和解码过程中没有信息丢失。

在很多应用中(例如, 模拟信号的数字处理), 信源的字符集不是离散的, 为表示每个信源输出所需要的比特数就不是有限的了。为了用数字的方式处理信源输出, 信源就不得不被**量化**到某一有限的数值上。这一过程虽将比特数减少到某一有限数上, 但同时却引入了某些失真。在量化过程中丢失掉的信息是永远不可能再恢复的。

一般来说, 量化方法可分为**标量量化**和**矢量量化**。在标量量化中, 每一信源输出单独量化; 而在矢量量化中信源输出分组被量化。

可以将标量量化器进一步分为**均匀量化器**和**非均匀量化器**。在均匀量化中, 将量化的区域选为相等长度; 在非均匀量化中, 容许有各种不同长度的区域。很清楚, 一般非均匀量化器要优于均匀量化器。

### 4.3.1 标量量化

在标量量化中, 随机变量  $X$  的范围被分成  $N$  个互不重叠的区域  $\mathcal{R}_i, 1 \leq i \leq N$ , 称为**量化间隔**, 在每个区域内选取某个单一点称为**量化电平**。然后随机变量落进区域  $\mathcal{R}_i$  内的所有值都被量化到第  $i$  个量化电平上, 用  $\hat{x}_i$  表示。这就意味着

$$x \in \mathcal{R}_i \Leftrightarrow Q(x) = \hat{x}_i \quad (4.3.1)$$

式中

$$\hat{x}_i \in \mathcal{R}_i \quad (4.3.2)$$

显然,这种型式的量化就引入了均方误差  $(x - \hat{x}_i)^2$ , 因此这个均方量化误差由下式给出

$$D = \sum_{i=1}^N \int_{\mathcal{R}_i} (x - \hat{x}_i)^2 f_X(x) dx \quad (4.3.3)$$

式中  $f_X(x)$  代表信源随机变量的概率密度函数。信号量化噪声比(SQNR)定义为

$$\text{SQNR}_{\text{dB}} = 10 \log_{10} \frac{E[X^2]}{D}$$

### 均匀量化

在均匀量化中,除去第 1 个和最后一个区域(也就是  $\mathcal{R}_1$  和  $\mathcal{R}_N$ )外,全部量化区域都具有相等的长度并记作  $\Delta$ , 因此

$$\begin{aligned} \mathcal{R}_1 &= (-\infty, a] \\ \mathcal{R}_2 &= (a, a + \Delta] \\ \mathcal{R}_3 &= (a + \Delta, a + 2\Delta] \\ &\vdots \\ \mathcal{R}_N &= (a + (N - 2)\Delta, \infty) \end{aligned}$$

在每个量化间隔内最佳的量化电平可以证明是那个间隔的质心(centroid), 即

$$\hat{x}_i = E[X | X \in \mathcal{R}_i] = \frac{\int_{\mathcal{R}_i} x f_X(x) dx}{\int_{\mathcal{R}_i} f_X(x) dx} \quad 1 \leq i \leq N \quad (4.3.4)$$

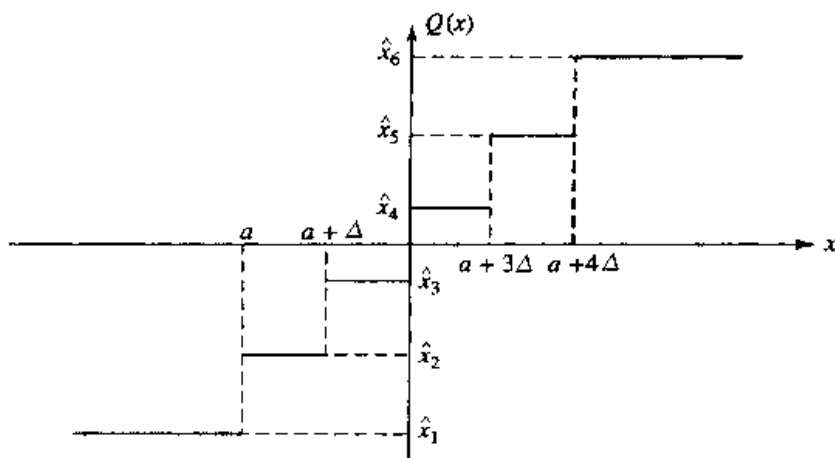
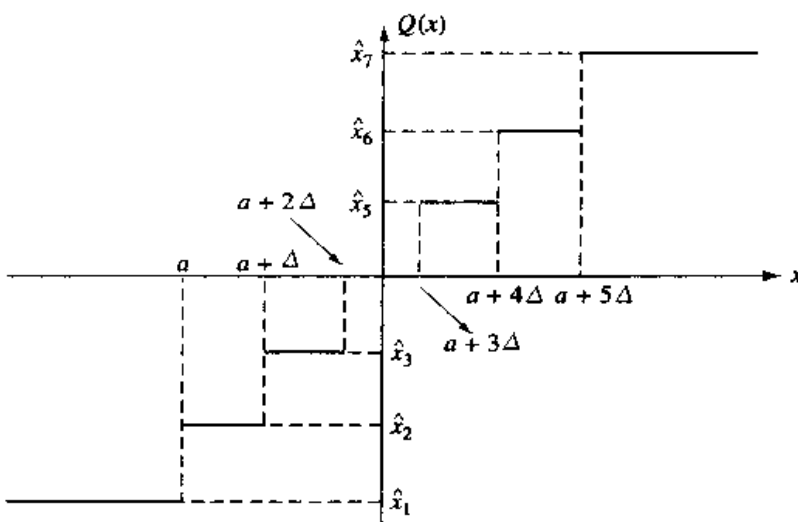
因此,均匀量化器的设计就等效于确定  $a$  和  $\Delta$ 。在确定出  $a$  和  $\Delta$  之后,  $\hat{x}_i$  的值和产生的失真能用(4.3.3)式和(4.3.4)式极易确定。在某些情况下,为方便就选量化区域的中点作为量化电平,也就是距离量化区域边界  $\Delta/2$  点。

图 4.3 和图 4.4 分别示出  $N$  为偶数值和奇数值时某一对称概率密度函数的量化函数  $Q(x)$  的图。

对于对称概率密度函数。问题变得甚至更为简单。在这种情况下,

$$\mathcal{R}_i = \begin{cases} (a_{i-1}, a_i), & 1 \leq i \leq N-1 \\ (a_{i-1}, a_N), & i = N \end{cases} \quad (4.3.5)$$

这里

图 4.3  $N=6$  的均匀量化器(注意这里  $a+2\Delta=0$ )图 4.4  $N=7$  的量化函数(注意这里  $\hat{x}_4=0$ )

$$\begin{cases} a_0 = -\infty \\ a_i = (i - N/2)\Delta & 1 \leq i \leq N-1 \\ a_N = \infty \end{cases} \quad (4.3.6)$$

可见这时为了实现最小失真,仅有一个参数  $\Delta$  需要选取。有 3 个 M 文件 centroid.m, mse-dist.m 和 uq-dist.m 分别求一个区域的质心;对已知分布和已知量化区域边界时的均方量化误差;以及当采用一均匀量化器对一给定信源量化时的失真(假设量化电平设在量化区域的质心)。为了使用这 3 个 M 文件中的每一个,信源的分布(它决定于至多 3 个参数)必须在某一 M 文件中给出。这些 M 文件给出如下。

## M 文件

```
function y=centroid(funfcn,a,b,tol,p1,p2,p3)
% CENTROID Finds the centroid of a function over a region.
%          Y=CENTROID('F',A,B,TOL,P1,P2,P3), finds the centroid of the
%          function F defined in an m-file on the [A,B] region. The
%          function can contain up to three parameters, P1, P2, P3.
%          tol=the relative error.

args=[];
for n=1:nargin-4
    args=[args,' ,p',int2str(n)];
end
args=[args,')'];
funfcn1='x_fnc1';
y1=eval(['quad(funfcn1,a,b,tol,[],funfcn',args)']);
y2=eval(['quad(funfcn,a,b,tol,[],args)']);
y=y1/y2;
```

## M 文件

```
function [y,dist]=mse_dist(funfcn,a,tol,p1,p2,p3)
% MSE_DIST Returns the mean-squared quantization error.
%          [Y,DIST]=MSE_DIST(FUNFCN,A,TOL,P1,P2,P3)
%          funfcn=The distribution function given
%          in an m-file. It can depend on up to three
%          parameters, p1,p2,p3.
%          a=the vector defining the boundaries of the
%          quantization regions. (note: {a(1),a(length(a))}
%          is the support of funfcn).
%          p1,p2,p3=parameters of funfcn.
%          tol=the relative error.

args=[];
for n=1:nargin-3
    args=[args,' ,p',int2str(n)];
end
args=[args,')'];
for i=1:length(a)-1
    y(i)=eval(['centroid(funfcn,a(i),a(i+1),tol',args)']);
end
dist=0;
for i=1:length(a)-1
    newfun = 'x_a2_fnc1';
    dist=dist+eval(['quad(newfun,a(i),a(i+1),tol,[],funfcn,', num2str(y(i)), args)']);
end
```

## M 文件

```

function [y,dist]=uq_dist(funfcn,b,c,n,delta,s,tol,p1,p2,p3)
% UQ_DIST      Returns the distortion of a uniform quantizer
%              with quantization points set to the centroids.
%              [Y,DIST]=UQ_DIST(FUNFCN,B,C,N,DELTA,S,TOL,P1,P2,P3)
%              funfcn=source density function given in an m-file
%              with at most three parameters. p1,p2,p3
%              [b,c]=The support of the source density function.
%              n=number of levels.
%              delta=level size.
%              s=the leftmost quantization region boundary.
%              p1,p2,p3=parameters of the input function
%              y=quantization levels.
%              dist=distortion.
%              tol=the relative error.

if (c-b<delta*(n-2))
    error('Too many levels for this range. '); return
end
if (s<b)
    error('The leftmost boundary too small. '); return
end
if (s+(n-2)*delta>c)
    error('The leftmost boundary too large. '); return
end
args=[];
for j=1:nargin-7
    args=[args,' , p',int2str(j)];
end
args=[args,' ) '];
a(1)=b;
for i=2:n
    a(i)=s+(i-2)*delta;
end
a(n+1)=c;
[y,dist]=eval(['mso_dist(funfcn,a,tol',args)];

```

## 解说题

## 解说题 4.4 [质心的确定]

对一零均值、单位方差高斯分布的量化区域求质心,量化区域的边界给出为  $(-5, -4, -2, 0, 1, 3, 5)$ 。

## 题 解

高斯分布由 M 文件 normal.m 中给出。这个分布是两个参数的函数,它们是均值和方差,分别用  $m$  和  $s$  (或  $\delta$ ) 表示。高斯分布的支持区间是  $(-\infty, \infty)$ ,

但是使用数值计算时,采用该分布标准方差的许多信的范围也就足够了,例如  $(m - 10\sqrt{s}, m + 10\sqrt{s})$  就可用。下面的 M 文件用于求质心(最佳量化电平)。

### M 文件

% MATLAB script for Illustrative Problem 4.4.

```
echo on ;
a=[-10,-5,-4,-2,0,1,3,5,10];
for i=1:length(a)-1
    y(i)=centroid('normal',a(i),a(i+1),0.001,0,1);
    echo off ;
end
```

这个结果为如下量化电平:

$(-5.186\ 5, -4.216\ 8, -2.370\ 6, 0.722\ 8, -0.459\ 9, 1.510\ 1, 3.282\ 7, 5.186\ 5)$

### 解答题

#### 解答题 4.5 [均方误差]

在解答题 4.4 中求均方误差。

### 题 解

令  $a = (-10, -5, -4, -2, 0, 1, 3, 5, 10)$ , 用 mse\_dist.m 求得均方误差为 0.177。

### 解答题

#### 解答题 4.6 [均匀量化器失真]

一方差为 4 的零均值高斯源,用具有 12 个量化电平,每一个长度为 1 的均匀量化器量化,求均方误差。假设量化区域对于分布的方差是对称的。

### 题 解

根据对称的假设,量化区域的边界是  $0, \pm 1, \pm 2, \pm 3, \pm 4$  和  $\pm 5$ , 面量化区域是  $(-\infty, -5], (-5, -4], (-4, -3], (-3, -2], (-2, -1], (-1, 0], (0, 1], (1, 2], (2, 3], (3, 4], (4, 5]$  和  $(5, +\infty]$ 。这意味着在 uq\_dis.m 函数中,能用  $b = -20, c = 20, \Delta = 1, n = 12, s = -5, tol = 0.001, p_1 = 0$  和  $p_2 = 2$  代入,代入这些值后求出平方误差失真为 0.085 1 和各量化值为  $\pm 0.489\ 7, \pm 1.469\ 1, \pm 2.448\ 7, \pm 3.428\ 6, \pm 4.408\ 9$  和  $\pm 5.645\ 5$ 。



M 文件 `uq-mdpnt.m` 是用于在当量化电平选为量化间隔的中点时,对一一对称密度函数求平方误差失真的。这时,对应于第 1 个和最后一个量化区域的量化电平就选为距离最外两个量化边界的  $\Delta/2$  点处。这就是说,如果量化电平数是偶数,那么量化边界就是  $0, \pm \Delta, \pm 2\Delta, \dots, \pm (N/2 - 1)\Delta$ , 量化电平就由  $\pm \Delta/2, \pm 3\Delta/2, \dots, (N-1)\Delta/2$  给出。如果量化电平数是奇数,那么量化边界就是  $\pm \Delta/2, \pm 3\Delta/2, \dots, \pm (N/2 - 1)\Delta$ , 量化电平由  $0, \pm \Delta, \pm 2\Delta, \dots, (N-1)\Delta/2$  给出。这个 M 文件 `uq-mdpnt.m` 给出如下。

### M 文件

```
function dist=uq-mdpnt(funfcn,b,n,delta,tol,p1,p2,p3)
%UQ_MDPNT Returns the distortion of a uniform quantizer
%           with quantization points set to the midpoints.
%           DIST=UQ_MDPNT(FUNFCN,B,N,DELTA,TOL,P1,P2,P3)
%           funfcn=source density function given in an m-file
%           with at most three parameters, p1,p2,p3. The density
%           function is assumed to be an even function.
%           [-b,b]=The support of the source density function.
%           n=number of levels.
%           delta=level size.
%           p1,p2,p3=parameters of the input function.
%           dist=distortion.
%           tol=the relative error.

if (2*b<delta*(n-1))
    error('Too many levels for this range. '); return
end
args=[];
for j=1:nargin-5
    args=[args, ' ', p', int2str(j)];
end
args=[args, ' ')'];
a(1)=-b;
a(n+1)=b;
a(2)=-(n/2-1)*delta;
y(1)=a(2)-delta/2;
for i=3:n
    a(i)=a(i-1)+delta;
    y(i-1)=a(i)-delta/2;
end
y(n)=a(n)+delta;
dist=0;
for i=1:n
    newfun = 'x_a2_fnc' ;
    dist=dist+eval(['quad(newfun,a(i),a(i+1),tol, ),funfcn, ', num2str(y(i)), args]);
end
```

## 解说题

### 解说题 4.7 [量化电平设置在中点的均匀量化器]

当用一均匀量化器对一零均值、单位方差的高斯随机变量量化时求失真。量化电平数是 11, 每一量化区域的长度是 1。

## 题 解

在 `uq-mdpnt.m` 中代入该密度函数的名 `normal`,<sup>①</sup> 密度函数的参数  $p_1 = 0$ ,  $p_2 = 1$  和量化电平数  $n = 11$ 。参数  $b$  (选择该密度函数的支撑区间) 用  $b = 10$ ,  $p_2 = 10$ , 并选容差为 0.001, 得到失真是 0.083 3。

### 非均匀量化

在非均匀量化中, 除了第一个和最后一个量化区域外, 每个量化区域要求等长度被放宽, 而可以具有任意长度。因为在这种情况下, 量化是在更为宽松的条件下完成的, 所以结果会明显优于均匀量化。这时称为 **Lloyd-Max 条件** 的最优化条件可表示为

$$\begin{cases} \hat{x}_i = \frac{\int_{a_{i-1}}^{a_i} x f_X(x) dx}{\int_{a_{i-1}}^{a_i} f_X(x) dx} \\ a_i = \frac{(\hat{x}_{i-1} + \hat{x}_i)}{2} \end{cases} \quad (4.3.7)$$

从这些式子中可以得出最优量化电平是量化区域的质心, 量化区域之间的最佳边界是量化电平之间的中间值。为了求得这个 Lloyd-Max 方程的解, 我们由一组量化电平  $\hat{x}_i$  开始, 由这一组值就能简单求得一组量化区域的边界  $a_i$ , 再由这组  $a_i$ , 又可得到一组新的量化电平。这个过程一直继续到从一次迭代到另一次迭代失真再也没有明显地改善为止。这个算法保证收敛到某一局部最小值, 但一般不保证可实现全局最小值。

下面的 M 文件 `lloydmax.m` 给出设计一个最优量化器的程序。

## M 文件

```
function [a,y,dist]=lloydmax(funfcn,b,n,tol,p1,p2,p3)
%LLOYDMAX Returns the the Lloyd-Max quantizer and the mean-squared
% quantization error for a symmetric distribution.
```

① 函数的名应该用 `normal` 代入, 包括单引号。

```

%      [A,Y,DIST]=LLOYDMAX(FUNFCN,B,N,TOL,P1,P2,P3)
%      funfcn=The density function given
%      in an m-file. It can depend on up to three
%      parameters, p1,p2,p3.
%      a=The vector giving the boundaries of the
%      quantization regions.
%      [-b,b] approximates support of the density function.
%      n=The number of quantization regions.
%      y=The quantization levels.
%      p1,p2,p3=Parameters of funfcn.
%      tol=the relative error.

args=[];
for j=1:nargin-4
    args=[args,' ',p',int2str(j)];
end
args=[args,' '];
v=eval(['variance(funfcn,-b,b,tol',args)']);
a(1)=-b;
d=2*b/n;
for i=2:n
    a(i)=a(i-1)+d;
end
a(n+1)=b;
dist=v;
[y,newdist]=eval(['mse_dist(funfcn,a,tol',args)']);
while(newdist<0.99*dist),
    for i=2:n
        a(i)=(y(i-1)+y(i))/2;
    end
    dist=newdist;
    [y,newdist]=eval(['mse_dist(funfcn,a,tol',args)']);
end

```

### 解说题

#### 解说题 4.8 [Lloyd-Max 量化器设计]

为一零均值、单位方差的高斯源设计一个 Lloyd-Max 量化器。

### 题解

在 lloydmax.m 中用  $b = 10$ ,  $n = 10$ ,  $tol = 0.01$ ,  $p_1 = 0$  和  $p_2 = 1$ , 得出量化边界和量化电平向量  $\mathbf{a}$  和  $\mathbf{y}$  为

$$\mathbf{a} = (\pm 10, \pm 2.16, \pm 1.51, \pm 0.98, \pm 0.48, 0)$$

$$\mathbf{y} = (\pm 2.52, \pm 1.78, \pm 1.22, \pm 0.72, \pm 0.24)$$

所得失真是 0.02。这些值都是由 Max[2] 表中给出的最优值的一个好的近似。

## 4.4 脉冲编码调制

在脉冲编码调制中,模拟信号首先以高于奈奎斯特率的速率采样,然后将所得样本量化。假设模拟信号是以 $[-x_{\max}, x_{\max}]$ 表示的区间内分布的,而量化电平数很大。量化电平可以是相等的或是不相等的;前者就属于均匀 PCM,而后者就是非均匀 PCM。

### 4.4.1 均匀 PCM

在均匀 PCM 中,长度为  $2x_{\max}$  的区间  $[-x_{\max}, x_{\max}]$  被划分为  $N$  个相等的子区间,每一子区间长度为  $\Delta = 2x_{\max}/N$ 。如果  $N$  足够大,那么在每一子区间内输入的密度函数就能认为是均匀的,产生的失真为  $D = \Delta^2/12$ 。如果  $N$  是 2 的幂次方即  $N = 2^v$ ,那么就要求用  $v$  比特来表示每个量化电平。这就意味着,如果模拟信号的带宽是  $W$ ,采样又是在奈奎斯特率下完成的,那么传输 PCM 信号所要求的带宽至少是  $vW$ (实际上  $1.5vW$  比较接近于实际)。这时失真由下式给出。

$$D = \frac{\Delta^2}{12} = \frac{x_{\max}^2}{3N^2} = \frac{x_{\max}^2}{3 \times 4^v} \quad (4.4.1)$$

如果模拟信号的功率用  $\overline{X^2}$  表示,则信号/量化噪声的比(SQNR)由下式给出

$$\begin{aligned} \text{SQNR} &= 3N^2 \frac{\overline{X^2}}{x_{\max}^2} \\ &= 3 \times 4^v \frac{\overline{X^2}}{x_{\max}^2} \\ &= 3 \times 4^v \tilde{X}^2 \end{aligned} \quad (4.4.2)$$

式中  $\tilde{X}$  表示归一化输入,定义为

$$\tilde{X} = \frac{X}{x_{\max}}$$

以分贝(dB)计的 SQNR 为

$$\text{SQNR}_{\text{dB}} \approx 4.8 + 6v + \overline{\tilde{X}^2} |_{\text{dB}} \quad (4.4.3)$$

量化以后,这些已量化的电平用  $v$  比特对每个已量化电平进行编码。编码方法通常使用自然二进制码(NBC),即最低电平映射为全 0 序列,最高电平映射为全 1 序列,全部其余的电平按已量化值的递增次序映射。

下面给出的 M 文件 u\_pcm.m 用采样值序列和要求的量化电平数作输入,求得已量化序列、编码序列和产生的 SQNR(以 dB 计)。

## M 文件

```

function [sqnr,a_quan,code]=u_pcm(a,n)
%U_PCM      Uniform PCM encoding of a sequence.
%           [SQNR,A_QUAN,CODE]=U_PCM(A,N)
%           a=input sequence.
%           n=number of quantization levels (even).
%           sqnr=output SQNR (in dB).
%           a_quan=quantized output before encoding
%           code=the encoded output.

amax=max(abs(a));
a_quan=a/amax;
b_quan=a_quan;
d=2/n;
q=d.*[0:n-1];
q=q-((n-1)/2)*d;
for i=1:n
    a_quan(find((q(i)-d/2 <= a_quan) & (a_quan <= q(i)+d/2)))=...
    q(i).*ones(1,length(find((q(i)-d/2 <= a_quan) & (a_quan <= q(i)+d/2)))).
    b_quan(find( a_quan==q(i) ))=(i-1).*ones(1,length(find( a_quan==q(i) )));
end
a_quan=a_quan*amax;
nu=ceil(log2(n));
code=zeros(length(a),nu);
for i=1:length(a)
    for j=nu:-1:0
        if ( fix(b_quan(i)/(2^j)) ~= 1)
            code(i,(nu-j)) = 1;
            b_quan(i) = b_quan(i) - 2^j;
        end
    end
end
sqnr=20*log10(norm(a)/norm(a-a_quan));

```

## 解答题

## 解答题 4.9 [均匀 PCM]

产生一幅度为 1 和  $\omega = 1$  的正弦信号,用均匀 PCM 方法分别用 8 电平和 16 电平作量化,在同一坐标轴上画出原信号和已量化信号,比较这两种情况下的 SQNR。

## 题解

任意选取信号持续期到 10 s,然后用 M 文件 u\_pcm.m 产生 8 量化电平和 16 量化电平两种情况下的已量化信号。所得 SQNR 是:8 电平 PCM 为 18.90 dB,16 电平均匀 PCM 为 25.13 dB。图 4.5 示出它们的图。

本题的 MATLAB 脚本给出如下。





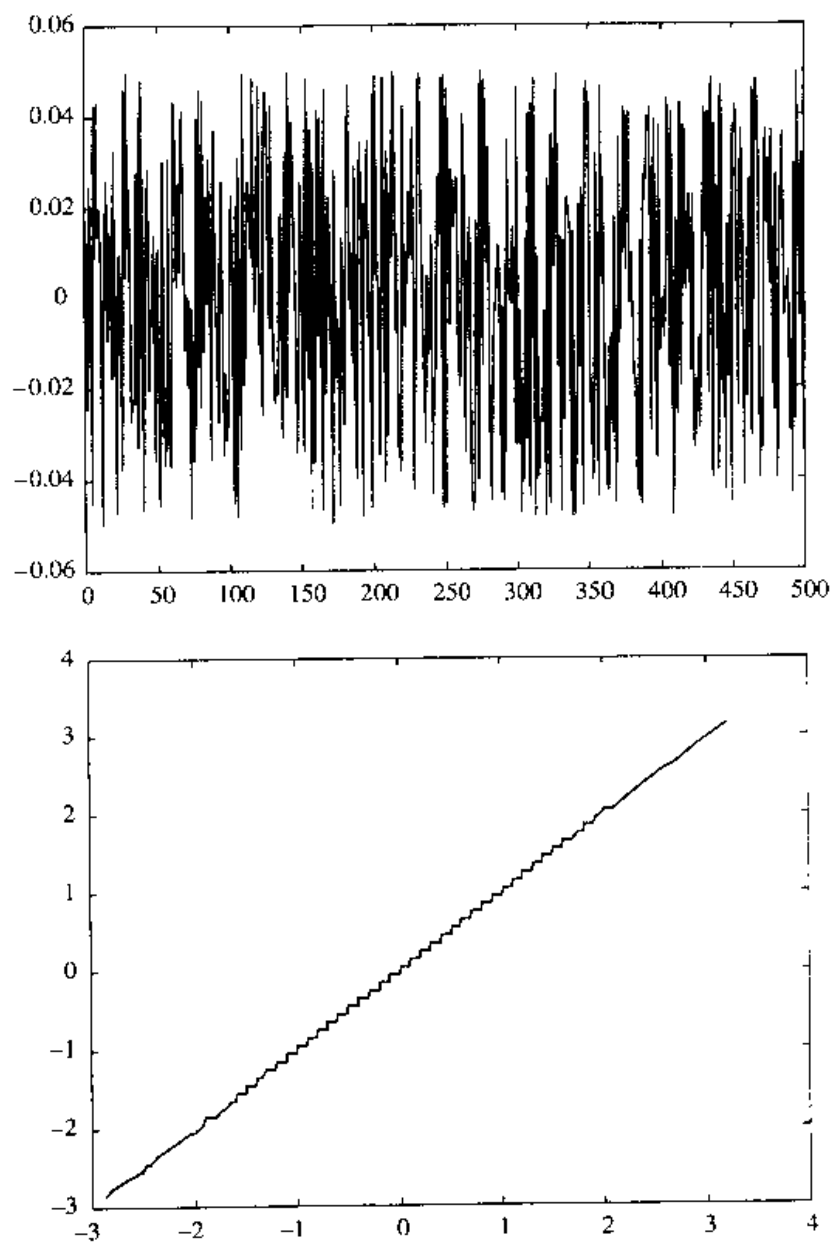


图 4.6 64 量化电平时均匀 PCM 的量化误差

**解说题****解说题 4.12 [量化误差]**

分别用 16 和 128 的量化电平数重复做解说题 4.11, 并比较结果。



**题 解**

16 量化电平的结果如图 4.7 所示,128 量化电平的结果如图 4.8 所示。由图 4.6,4.7 和 4.8 明显可见,量化电平数愈大,量化误差愈小,这与所期望的一致。另外还注意到,对于大的量化电平数,输入和量化值之间的关系趋近于通过原点斜率为 1 的一条直线,这表明输入和量化值几乎是相等的。而对于小的量化电平数(如 16),这个关系离相等甚远,如图 4.7 所示。

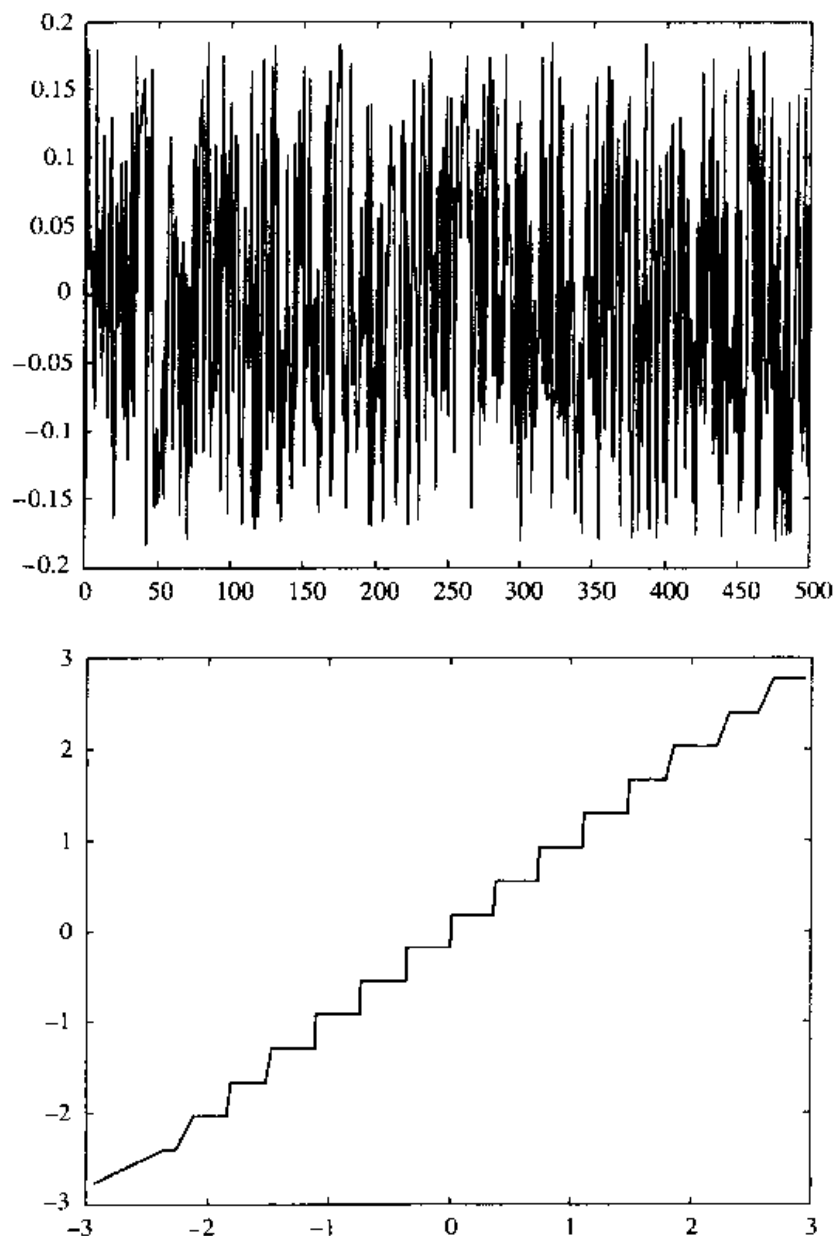


图 4.7 16 量化电平数的量化误差





## M 文件

```
function x=invmulaw(y,mu)
%INVMULAW      The inverse of mu-law nonlinearity
%X=INVMULAW(Y,MU)  Y=Normalized output of the mu-law nonlinearity

x=((1+mu).^(abs(y))-1)/mu).*signum(y);
```

当使用一个  $\mu$  律 PCM 方法时 M 文件 mula\_pcm.m 就等效于 M 文件 u\_pcm.m, 这个文件给出如下。

## M 文件

```
function [sqnr,a_quan,code]=mula_pcm(a,n,mu)
%MULA_PCM      mu-law PCM encoding of a sequence.
%              [SQNR,A_QUAN,CODE]=MULA_PCM(A,N,MU)
%              a=input sequence.
%              n=number of quantization levels (even).
%              sqnr=output SQNR (in dB).
%              a_quan=quantized output before encoding.
%              code=the encoded output.

[y,maximum]=mulaw(a,mu);
[sqnr,y_q,code]=u_pcm(y,n);
a_quan=invmulaw(y_q,mu);
a_quan=maximum*a_quan;
sqnr=20*log10(norm(a)/norm(a-a_quan));
```

## 解说题

### 解说题 4.13 [非均匀 PCM]

产生一长度为 500, 按  $\mathcal{N}(0,1)$  分布的随机变量序列。用 16, 64 和 128 量化电平数和  $\mu=255$  的  $\mu$  律非线性, 画出每种情况量化器的误差和输入输出关系, 并求 SQNR。

## 题解

令向量  $\mathbf{a}$  是按  $\mathcal{N}(0,1)$  产生的长度为 500 的向量, 即

$$\mathbf{a} = \text{randn}(1,500)$$

然后, 利用

$$[\text{dist}, \mathbf{a\_quan}, \text{code}] = \text{mula\_pcm}(\mathbf{a}, 16, 255)$$

就得到 16 量化电平数的已量化序列和 SQNR, 这时的 SQNR 是 13.76 dB。对于 64 量化电平数的情况, SQNR = 25.89 dB; 而 128 量化电平数是 SQNR =

31.76 dB。可见在所有情况下,将这些结果与均匀 PCM 比较,其性能都比均匀 PCM 的结果差。图 4.10,图 4.11 和图 4.12 分别示出了量化器的输入输出关系和量化误差。

将图 4.7 和图 4.10 所示的均匀和非均匀 PCM 的输入输出关系进行比较后清楚说明为什么前者称为均匀 PCM,后者称为非均匀 PCM 的道理。

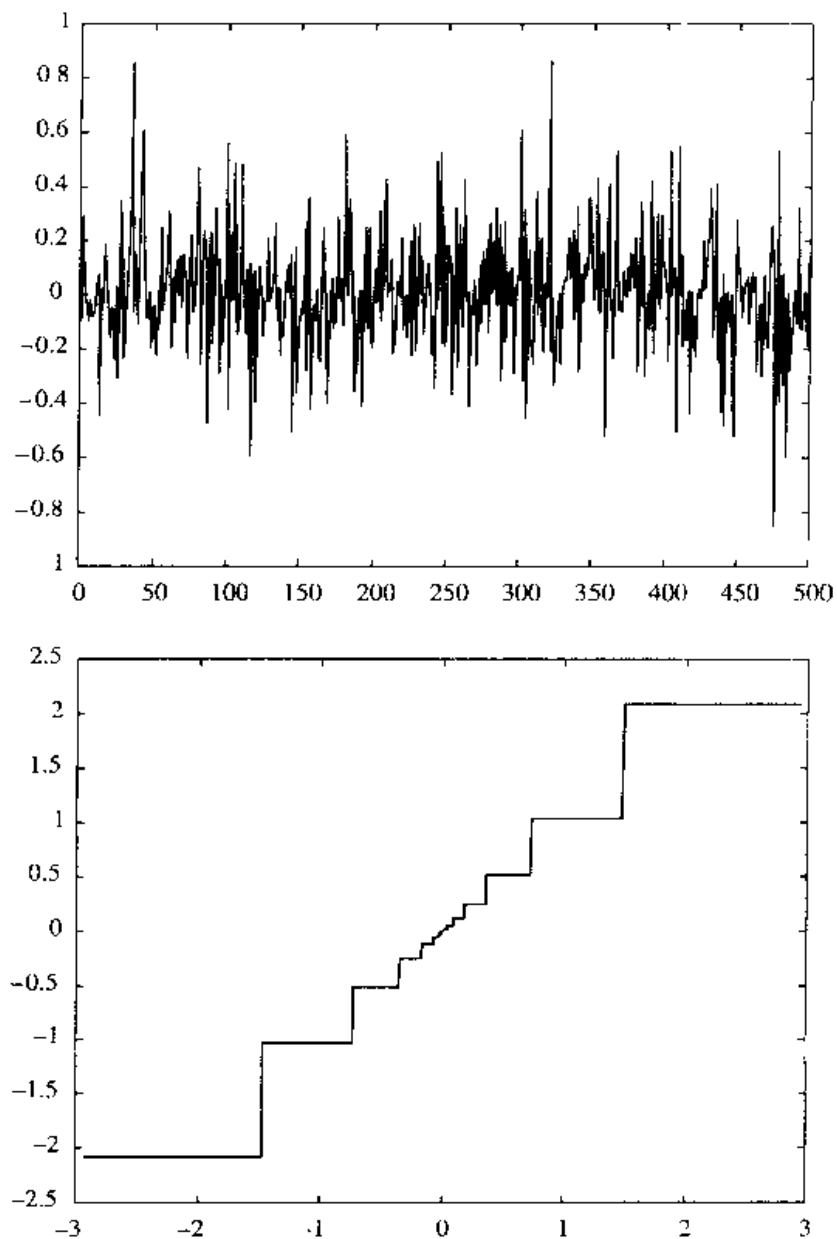


图 4.10 16 量化电平数  $\mu$  律 PCM 的量化误差和量化器输入输出关系



- 4.5 有一零均值、单位方差高斯分布的连续信息源,用均匀对称量化器量化,量化区域的长度是1,量化电平数是 $N$ 。对 $N=2,3,4,5,6,7$ 和8,求已量化信源输出的熵,并画出它作为 $N$ 的函数图。在同一张图上,画出 $\log_2 N \sim N$ 的图并解释为什么这两条曲线不同。
- 4.6 用一均匀量化器对零均值、单位方差的高斯源进行量化,这个量化器在区间 $[-10,10]$ 内非均匀量化。假定量化电平设在各量化区域的中间点,求出并画出对 $N=3,4,5,6,7,8,9$ 和10时,均方失真作为量化电平数 $N$ 的函数图。
- 4.7 在习题4.6所画的同一张图上,画出当量化电平是取在各量化区域的质心时均方失真的图。对于 $N$ 为何值时这两张图很接近,为什么?
- 4.8 为一零均值、单位方差的高斯源设计最优非均匀量化器,其量化电平数为 $N=2,3,4,5,6,7$ 和8,对每种情况求已量化信源的熵 $H(\hat{X})$ ,为该信源设计的 Huffman 码的平均码字长度 $R$ ,在同一张图上画出作为 $N$ 函数的 $H(\hat{X})$ , $R$ 和 $\log_2 N$ 的图。
- 4.9 概率密度函数为

$$f(x) = \frac{\lambda}{2} e^{-\lambda|x|}$$

的随机变量定义为拉普拉斯随机变量,式中 $\lambda > 0$ 是某一给定常数。

- 证明拉普拉斯随机变量的方差是等于 $2/\lambda^2$ 。
  - 假设 $\lambda=1$ ,为这个信源设计量化电平数 $N=2,3,4,5,6,7$ 和8的均匀量化器。按惯例取有用区间是 $[-10\sigma,10\sigma]$ , $\sigma$ 是该信源的标准方差。
  - 在同一张图上,画出作为 $N$ 的函数已量化源的熵和 $\log_2 N$ 的图。
- 4.10 用最优非均匀量化器代替均匀量化器重做习题4.9。
- 4.11 为拉普拉斯源设计一最优8电平量化器, $\lambda$ 在区间 $[0.1,5]$ 内变化,作为 $\lambda$ 的函数画出所得均方失真的图。
- 4.12 对习题4.9中的拉普拉斯源, $\lambda=\sqrt{2}$ ,用 $N=2,3,4,5,6,7$ 和8,设计最优非均匀量化器(注意: $\lambda$ 的这一选取会导致一个零均值和单位方差的拉普拉斯源)。对该信源作为 $N$ 的函数画出均方误差的图。将这些结果与量化一个零均值和单位方差的高斯源所得结果作比较。
- 4.13 周期信号 $x(t)$ ,周期为2,在区间 $[0,2]$ 内定义为

$$x(t) = \begin{cases} t, & 0 \leq t < 1 \\ -t+2, & 1 \leq t < 2 \end{cases}$$

- 对这个信号设计一个8电平的均匀PCM量化器,画出这个系统的已量化输出。







### 信号相关器

信号相关器将接收到的信号  $r(t)$  与两个可能发送的信号  $s_0(t)$  和  $s_1(t)$  作互相关, 如图 5.1 所示。也即, 信号相关器计算在区间  $0 \leq t \leq T_b$  由下面两个输出

$$\begin{aligned} r_0(t) &= \int_0^t r(\tau) s_0(\tau) d\tau \\ r_1(t) &= \int_0^t r(\tau) s_1(\tau) d\tau \end{aligned} \quad (5.2.2)$$

在  $t = T_b$  对这两个输出采样, 并将已采样输出馈给检测器。

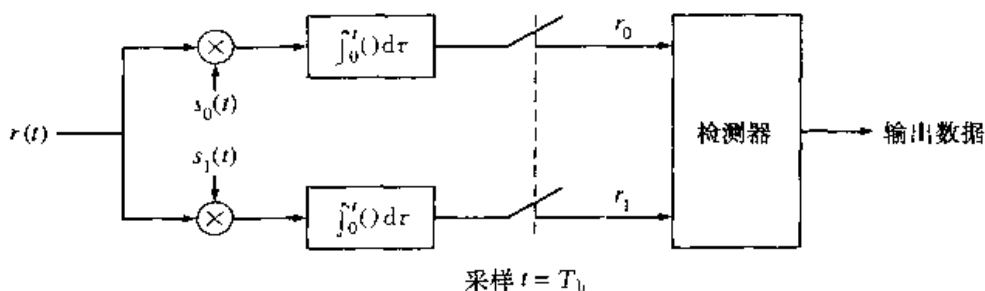


图 5.1 接收信号  $r(t)$  与两个发送信号的互相关

### 解答题

#### 解答题 5.1 [信号相关器]

假设信号波形  $s_0(t)$  和  $s_1(t)$  如图 5.2 所示, 并设  $s_0(t)$  是已发送的信号, 那么已接收信号是

$$r(t) = s_0(t) + n(t), \quad 0 \leq t \leq T_b \quad (5.2.3)$$

求在采样瞬时相关器的输出。

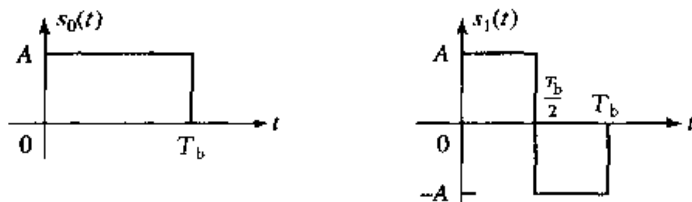


图 5.2 二进制通信系统的信号波形  $s_0(t)$  和  $s_1(t)$

### 题解

当信号  $r(t)$  用图 5.1 所示的两信号相关器处理时, 在采样瞬时  $t = T_b$  的输

出  $r_0$  和  $r_1$  是

$$\begin{aligned} r_0 &= \int_0^{T_b} r(t) s_0(t) dt \\ &= \int_0^{T_b} s_0^2(t) dt + \int_0^{T_b} n(t) s_0(t) dt \\ &= \mathcal{E} + n_0 \end{aligned} \quad (5.2.4)$$

和

$$\begin{aligned} r_1 &= \int_0^{T_b} r(t) s_1(t) dt \\ &= \int_0^{T_b} s_0(t) s_1(t) dt + \int_0^{T_b} n(t) s_1(t) dt \\ &= n_1 \end{aligned} \quad (5.2.5)$$

这里  $n_0$  和  $n_1$  都是在信号相关器输出端的噪声分量,即

$$\begin{aligned} n_0 &= \int_0^{T_b} n(t) s_0(t) dt \\ n_1 &= \int_0^{T_b} n(t) s_1(t) dt \end{aligned} \quad (5.2.6)$$

而  $\mathcal{E} = A^2 T_b$  是信号  $s_0(t)$  和  $s_1(t)$  的能量。另外还注意到,这两个信号波形是正交的,即

$$\int_0^{T_b} s_0(t) s_1(t) dt = 0 \quad (5.2.7)$$

另一方面,当  $s_1(t)$  是发送时,已接收信号是

$$r(t) = s_1(t) + n(t), \quad 0 \leq t \leq T_b$$

容易证明,在这种情况下信号相关器输出是

$$\begin{aligned} r_0 &= n_0 \\ r_1 &= \mathcal{E} + n_1 \end{aligned} \quad (5.2.8)$$

图 5.3 示出,当发送  $s_0(t)$  和发送  $s_1(t)$  时在区间  $0 \leq t \leq T_b$  内两无噪声相关器的输出。

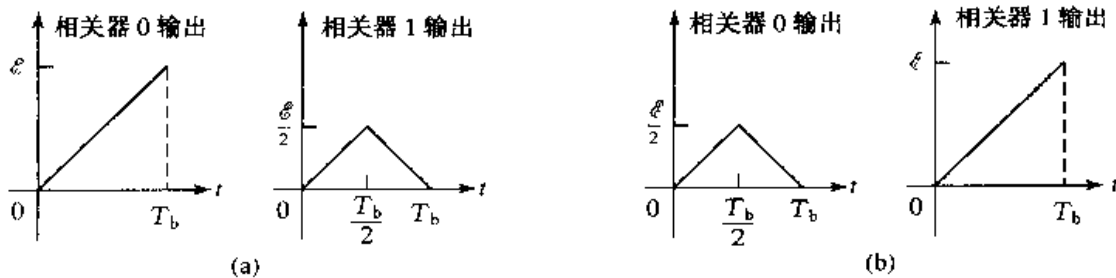


图 5.3 无噪声相关器输出  
(a)  $s_0(t)$  被发送; (b)  $s_1(t)$  被发送

因为  $n(t)$  是功率谱为  $N_0/2$  的白色高斯过程的一个样本函数, 所以噪声分量  $n_0$  和  $n_1$  就是零均值高斯型的, 即

$$\begin{aligned} E(n_0) &= \int_0^{T_b} s_0(t) E[n(t)] dt = 0 \\ E(n_1) &= \int_0^{T_b} s_1(t) E[n(t)] dt = 0 \end{aligned} \quad (5.2.9)$$

和方差  $\sigma_i^2, i=1,2$  为

$$\begin{aligned} \sigma_i^2 &= E(n_i^2) \\ &= \int_0^{T_b} \int_0^{T_b} s_i(t) s_i(\tau) E[n(t) n(\tau)] dt d\tau \\ &= \frac{N_0}{2} \int_0^{T_b} s_i(t) s_i(\tau) \delta(t - \tau) dt d\tau \\ &= \frac{N_0}{2} \int_0^{T_b} s_i^2(t) dt \end{aligned} \quad (5.2.10)$$

$$= \frac{\mathcal{E} N_0}{2}, \quad i = 0, 1 \quad (5.2.11)$$

因此, 当  $s_0(t)$  被发送时,  $r_0$  和  $r_1$  的概率密度函数是

$$\begin{aligned} p(r_0 | s_0(t) \text{ 被发送}) &= \frac{1}{\sqrt{2\pi}\sigma} e^{-(r_0 - \mathcal{E})^2 / 2\sigma^2} \\ p(r_1 | s_0(t) \text{ 被发送}) &= \frac{1}{\sqrt{2\pi}\sigma} e^{-r_1^2 / 2\sigma^2} \end{aligned} \quad (5.2.12)$$

这两个概率密度函数  $p(r_0|0)$  和  $p(r_1|0)$  如图 5.4 所示。相类似, 当  $s_1(t)$  被发送时,  $r_0$  就是零均值和方差为  $\sigma^2$  的高斯随机变量, 而  $r_1$  则是均值为  $\mathcal{E}$  和方差为  $\sigma^2$  的高斯随机变量。

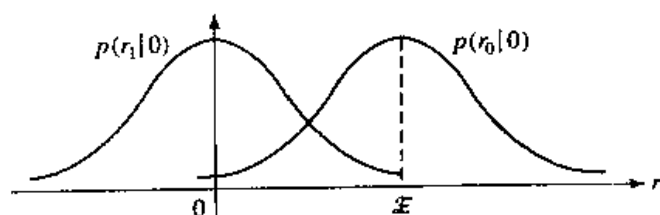


图 5.4 当  $s_0(t)$  被发送时的概率密度函数  $p(r_0|0)$  和  $p(r_1|0)$

### 匹配滤波器

匹配滤波器为解调已接收到信号  $r(t)$  的信号相关器提供了另一种方法。对信号波形  $s(t), 0 \leq t \leq T_b$ , 匹配滤波器具有冲激响应为

$$h(t) = s(T_b - t), \quad 0 \leq t \leq T_b \quad (5.2.13)$$

这样,当输入波形是  $s(t)$  时,在匹配滤波器输出端的信号波形  $y(t)$  就由下面卷积积分给出

$$y(t) = \int_0^t s(\tau) h(t - \tau) d\tau \quad (5.2.14)$$

如果将(5.2.13)式中的  $h(t - \tau)$  代入(5.2.14)式中,就得

$$y(t) = \int_0^t s(\tau) s(T_b - t + \tau) d\tau \quad (5.2.15)$$

如果在  $t = T_b$  对  $y(t)$  采样,可得

$$y(T_b) = \int_0^{T_b} s^2(\tau) d\tau = \mathcal{E} \quad (5.2.16)$$

这里  $\mathcal{E}$  是信号  $s(t)$  的能量。因此,匹配滤波器在采样瞬时  $t = T_b$  的输出与信号相关器的输出是一样的。

### 解说题

#### 解说题 5.2 [匹配滤波器]

考虑用匹配滤波器对图 5.2 所示两信号波形解调,并求输出。

### 题 解

两个匹配滤波器的冲激响应是

$$\begin{aligned} h_0(t) &= s_0(T_b - t) \\ h_1(t) &= s_1(T_b - t) \end{aligned} \quad (5.2.17)$$

如图 5.5 所示。注意,将信号  $s(t)$  反转得  $s(-t)$ ,然后将反转信号  $s(-t)$  延迟  $T_b$  就得出  $s(T_b - t)$ 。

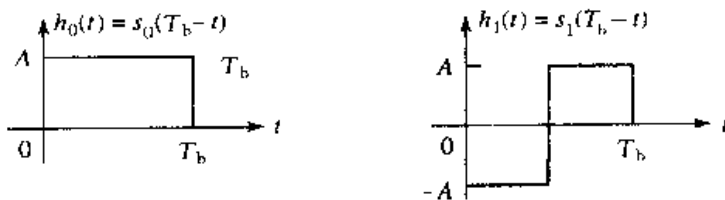


图 5.5 对信号  $s_0(t)$  和  $s_1(t)$  的匹配滤波器的冲激响应

现在假定信号波形  $s_0(t)$  被发送,那么已接收信号  $r(t) = s_0(t) + n(t)$  通过这两个匹配滤波器。具有冲激响应为  $h_0(t)$  的滤波器对信号分量  $s_0(t)$  的响应如图 5.6(a)所示。具有冲激响应为  $h_1(t)$  的滤波器对信号分量  $s_0(t)$  的响应如

图 5.6(b)所示。所以,在采样瞬时  $t = T_b$ , 具有冲激响应为  $h_0(t)$  和  $h_1(t)$  的两匹配滤波器的输出分别是

$$\begin{aligned} r_0 &= \mathcal{E} + n_0 \\ r_1 &= n_1 \end{aligned} \quad (5.2.18)$$

注意,这些输出与在  $t = T_b$  时对信号相关器采样所得输出是相同的。

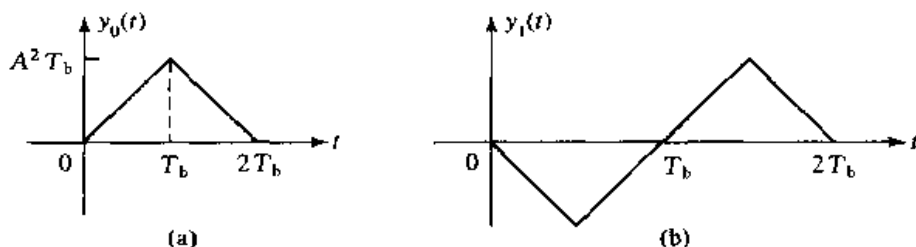


图 5.6 当  $s_0(t)$  被发送时匹配滤波器的信号输出

### 检测器

检测器观察到相关器或匹配滤波器的输出  $r_0$  和  $r_1$ , 并判决所发送的信号波形是  $s_0(t)$  还是  $s_1(t)$ , 这就分别相应于传输的是一个 0, 或是一个 1。最佳检测器就是使差错概率最小的检测器。

### 解答题

#### 解答题 5.3 [二进制检测]

现考虑对示于图 5.2 的信号检测器, 它们是等概率的并有相等的能量。对这两信号的最佳检测器将  $r_0$  和  $r_1$  作比较, 并判断: 当  $r_0 > r_1$  时, 传输的是 0; 当  $r_1 > r_0$  时, 传输的是 1。求差错概率。

### 题解

当  $s_0(t)$  是发送的信号波形时, 差错概率是

$$P_e = P(r_1 > r_0) = P(n_1 < \mathcal{E} + n_0) = P(n_1 - n_0 > \mathcal{E}) \quad (5.2.19)$$

因为  $n_1$  和  $n_2$  是零均值高斯随机变量, 它们的差  $x \equiv n_1 - n_0$  也是零均值高斯型的, 随机变量  $x$  的方差是

$$E(x^2) = E[(n_1 - n_0)^2] = E(n_1^2) + E(n_0^2) - 2E(n_1 n_0) \quad (5.2.20)$$

但是  $E(n_1 n_0) = 0$ , 因为这些信号波形是正交的, 即

$$\begin{aligned} E(n_1 n_0) &= E \int_0^{T_b} \int_0^{T_b} s_0(t) s_1(\tau) n(t) n(\tau) dt d\tau \\ &= \frac{N_0}{2} \int_0^{T_b} \int_0^{T_b} s_0(t) s_1(\tau) \delta(t - \tau) dt d\tau \end{aligned}$$

$$\begin{aligned}
 &= \frac{N_0}{2} \int_0^{T_b} s_0(t) s_1(t) dt \\
 &= 0
 \end{aligned} \tag{5.2.21}$$

因此

$$E(x^2) = 2 \left( \frac{\mathcal{E} N_0}{2} \right) = \mathcal{E} N_0 \equiv \sigma_x^2 \tag{5.2.22}$$

所以, 差错概率是

$$\begin{aligned}
 P_e &= \frac{1}{\sqrt{2\pi\sigma_x^2}} \int_{\mathcal{E}}^{\infty} e^{-x^2/2\sigma_x^2} dx \\
 &= \frac{1}{\sqrt{2\pi}} \int_{\sqrt{\mathcal{E}/N_0}}^{\infty} e^{-x^2/2} dx \\
 &= Q\left(\frac{\sqrt{\mathcal{E}}}{N_0}\right)
 \end{aligned} \tag{5.2.23}$$

比值  $\mathcal{E}/N_0$  称为信号噪声比(SNR)。

本例中所给出的检测器性能的导出是基于传送的信号波形是  $s_0(t)$ 。读者可以证明, 当传送的是  $s_1(t)$  时所求得的差错概率与传送  $s_0(t)$  时得出的差错概率是相同的。因为在这个数据序列中 0 和 1 是等概率的, 所以平均差错概率就由(5.2.23)式给出。用下面给出的 MATLAB 脚本对这一表达式的差错概率求值, 作为 SNR 的函数画在图 5.7 中。图中 SNR 是以对数标尺( $10\log_{10}(\mathcal{E}/N_0)$ )给出的。正如所预料的, 差错概率随 SNR 的增加成指数律减小。

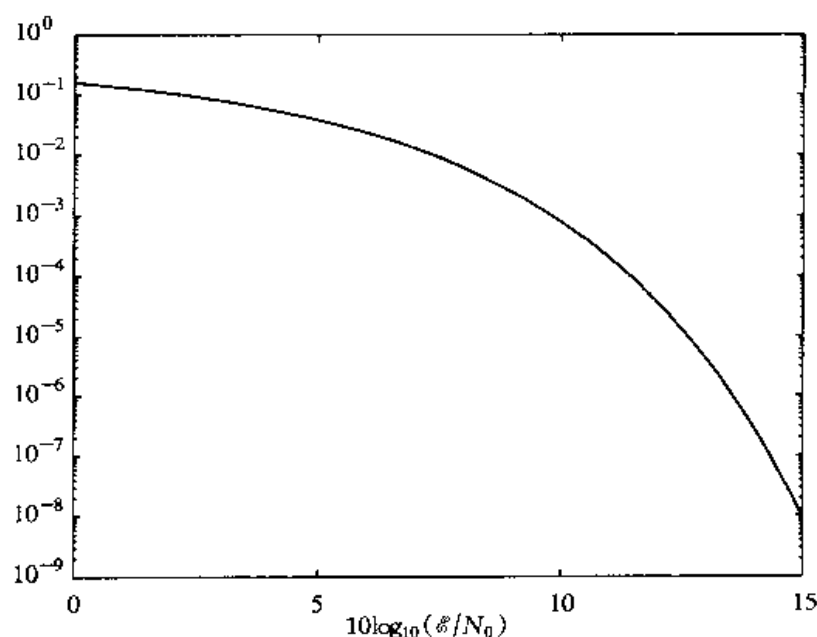


图 5.7 正交信号的差错概率

## M 文件

```
% The MATLAB script that generates the probability of error versus the signal to noise ratio
initial_snr=0;
final_snr=15;
snr_step=0.25;
snr_in_dB=initial_snr:snr_step:final_snr;
for i=1:length(snr_in_dB),
    snr=10^(snr_in_dB(i)/10);
    Pe(i)=Qfunc(sqrt(snr));
    echo off;
end;
echo on;
semilogy(snr_in_dB,Pe);
```

### 5.2.2 二进制通信系统的 Monte Carlo 仿真

实际中为了估计某一数字通信系统的差错概率,通常都用 Monte Carlo 计算机仿真来完成,尤其是对检测器的性能分析是很困难时更是如此。现在对前面叙述的二进制通信系统说明估计差错概率的方法。

## 解答题

### 解答题 5.4 [Monte Carlo 仿真]

对一个使用相关器或匹配滤波器的二进制通信系统,用 Monte Carlo 仿真估计  $P_e$ ,并画出  $P_e$  对 SNR 的图。该系统的模型如图 5.8 所说明。

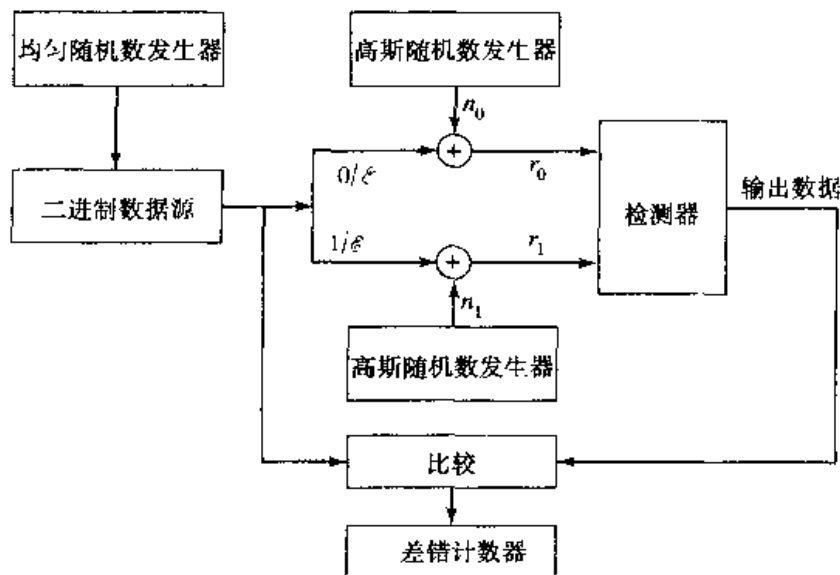


图 5.8 解答题 5.4 的仿真模型



## 题解

我们先仿真产生随机变量  $r_0$  和  $r_1$ , 它们构成了检测器的输入。首先产生一个具有等概率出现并互为统计独立的二进制 0 和 1 的序列。为了实现这一点, 用一个产生范围在 (0, 1) 内的均匀随机数的随机数发生器, 如果产生的随机数是在 (0, 0.5) 以内, 二进制源的输出就是 0; 否则它就是 1。若产生一个 0, 那么  $r_0 = \epsilon + n_0$  和  $r_1 = n_1$ ; 若产生一个 1, 那么  $r_0 = n_0$  和  $r_1 = \epsilon + n_1$ 。

利用两个高斯噪声发生器产生加性噪声分量  $n_0$  和  $n_1$ , 它们的均值是零, 方差是  $\sigma^2 = \epsilon N_0 / 2$ 。为了方便, 可以将信号能量  $\epsilon$  归一化到 1 ( $\epsilon = 1$ ) 而改变  $\sigma^2$ 。应该注意, 这样 SNR (定义为  $\epsilon / N_0$ ) 就等于  $1 / (2\sigma^2)$ 。检测器输出与二进制发送序列比较, 差错计数器用来对比特差错数计数。

图 5.9 说明在几个不同的 SNR 值下, 传输  $N = 10\,000$  个比特时的仿真结果, 可以看到, 仿真结果与由 (5.2.23) 式给出的理论值  $P_e$  之间的一致性。也应该注意到,  $N = 10\,000$  个数据比特的仿真可以可靠地对差错概率估计在  $P_e = 10^{-3}$  以下; 换句话说, 用  $N = 10\,000$  的数据比特, 在对  $P_e$  可靠的估计下应该至少有 10 个差错。

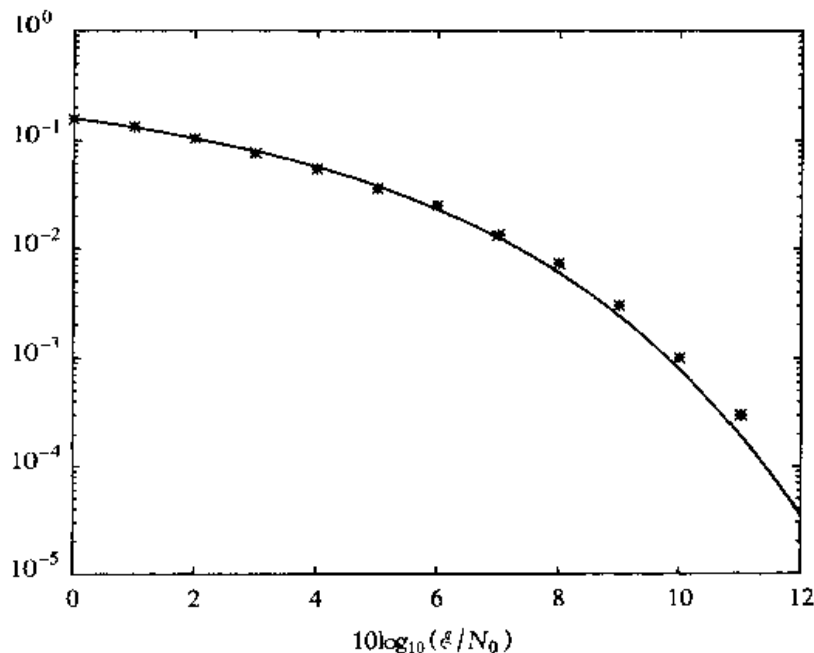


图 5.9 对正交信号由 Monte Carlo 仿真的差错概率与理论差错概率的比较

本题的 MATLAB 脚本给出如下。

## M 文件

*% MATLAB script for Illustrative Problem 5.4.*

```
echo on
SNRindB1=0:1:12;
SNRindB2=0:0.1:12;
for i=1:length(SNRindB1),
    % simulated error rate
    smld_err_prb(i)=smldPe54(SNRindB1(i));
    echo off ;
end;
echo on ;
for i=1:length(SNRindB2),
    SNR=exp(SNRindB2(i)*log(10)/10);
    % theoretical error rate
    theo_err_prb(i)=Qfunc(sqrt(SNR));
    echo off ;
end;
echo on;
% Plotting commands follow
semilogy(SNRindB1,smld_err_prb,'*');
hold
semilogy(SNRindB2,theo_err_prb);
```

## M 文件

```
function [p]=smldPe54(snr_in_dB)
% [p]=smldPe54(snr_in_dB)
% SMLDPE54 finds the probability of error for the given
% snr_in_dB, signal to noise ratio in dB.
E=1;
SNR=exp(snr_in_dB*log(10)/10);           % signal to noise ratio
sigma=E/sqrt(2*SNR);                     % sigma, standard deviation of noise
N=10000;
% generation of the binary data source
for i=1:N,
    temp=rand;                            % a uniform random variable over (0,1)
    if (temp<0.5),
        dsouce(i)=0;                     % with probability 1/2, source output is 0
    else
        dsouce(i)=1;                     % with probability 1/2, source output is 1
    end
end;
% detection, and probability of error calculation
numoferr=0;
for i=1:N,
    % matched filter outputs
    if (dsouce(i)==0),
        r0=E+gngauss(sigma);
        r1=gngauss(sigma);               % if the source output is "0"
    else
        r0=gngauss(sigma);
        r1=E+gngauss(sigma);
```

```

r0=gngauss(sigma);
r1=E+gngauss(sigma);           % if the source output is "1"
end;
% detector follows
if (r0>r1),
    decis=0;                     % decision is "0"
else
    decis=1;                     % decision is "1"
end;
if (decis~=dsource(i)),         % if it is an error, increase the error counter
    numoferr=numoferr+1;
end;
end;
p=numoferr/N;                   % probability of error estimate

```

### 思考题

在图 5.9 中,仿真和理论值在低信噪比下完全一致,而在高信噪比下,一致性稍差,你能解释为什么吗?我们应该如何改变仿真过程以使在高信噪比下也能得到更好的一致性?

### 5.2.3 其他二进制信号传输方法

上面所讨论的二进制信号传输方法是基于利用正交信号,下面要讨论经由某一通信信道传输二进制信息的另外两种方法:一种使用反极性的信号,另一种使用开关信号。

#### 二进制信号传输的反极性信号

如果一种信号波形是另一种的负值,则就说这两个信号波形是反极性的(antipodal)。例如,图 5.10(a)示出一对反极性的信号,而图 5.10(b)又示出了第 2 对。

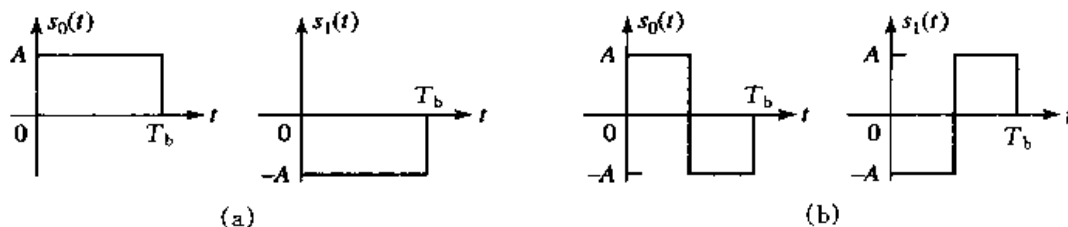


图 5.10 反极性信号对举例

现在设想用反极性的信号波形  $s_0(t) = s(t)$  和  $s_1(t) = -s(t)$  来传输二进制信息,这里  $s(t)$  是具有能量为  $\mathcal{E}$  的某任意波形,从 AWGN 信道接收到的信号

波形可表示为

$$r(t) = \pm s(t) + n(t), \quad 0 \leq t \leq T_b \quad (5.2.24)$$

为恢复该二进制信息的最佳接收机使用单一的相关器,或对  $s(t)$  匹配的单一匹配滤波器,再紧跟着一个检测器,如图 5.11 所示。

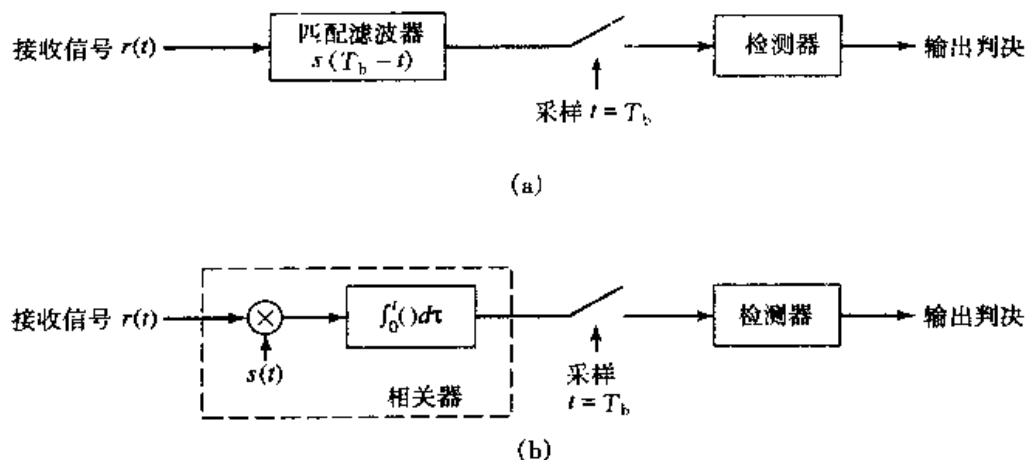


图 5.11 对于反极性信号的最佳接收机  
(a) 匹配滤波器解调器; (b) 相关器解调器

假设发送的是  $s(t)$ , 接收到的信号就是

$$r(t) = s(t) + n(t) \quad (5.2.25)$$

在采样瞬时  $t = T_b$ , 相关器或匹配滤波器的输出是

$$r = \mathcal{E} + n \quad (5.2.26)$$

这里  $\mathcal{E}$  是信号能量,  $n$  是加性噪声分量, 它可表示为

$$n = \int_0^{T_b} n(t)s(t)dt \quad (5.2.27)$$

因为加性噪声过程  $n(t)$  是零均值, 因此有  $E(n) = 0$ 。噪声分量  $n$  的方差是

$$\begin{aligned} \sigma^2 &= E(n^2) \\ &= \int_0^{T_b} \int_0^{T_b} E[n(t)n(\tau)]s(t)s(\tau)dt d\tau \\ &= \frac{N_0}{2} \int_0^{T_b} \int_0^{T_b} \delta(t - \tau)s(t)s(\tau)dt d\tau \\ &= \frac{N_0}{2} \int_0^{T_b} s^2(t)dt \\ &= \frac{N_0 \mathcal{E}}{2} \end{aligned} \quad (5.2.28)$$

结果, 当发送  $s(t)$  时,  $r$  的概率密度函数是

$$p(r | s(t) \text{ 被发送}) \equiv p(r | 0) = \frac{1}{\sqrt{2\pi}\sigma} e^{-(r-\epsilon)^2/(2\sigma^2)} \quad (5.2.29)$$

相仿,当发送  $-s(t)$  时,检测器的输入是

$$r = -\epsilon + n \quad (5.2.30)$$

$r$  的概率密度函数是

$$p(r | -s(t) \text{ 被发送}) \equiv p(r | 1) = \frac{1}{\sqrt{2\pi}\sigma} e^{-(r+\epsilon)^2/(2\sigma^2)} \quad (5.2.31)$$

这两个概率密度函数如图 5.12 所示。

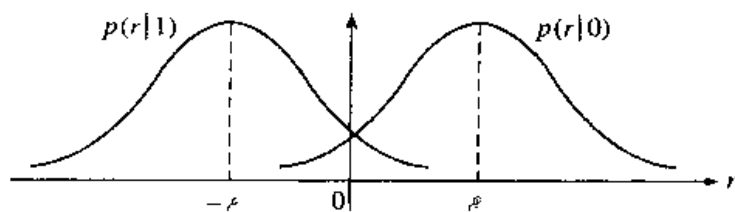


图 5.12 检测器输入的概率密度函数

对于等概率的信号波形,最佳检测器将  $r$  与阈值零比较。若  $r > 0$ ,则判决为  $s(t)$ ;若  $r < 0$ ,则判决为  $-s(t)$  被发送。

污损信号的噪声引起检测器中的差错。检测器的差错概率是很容易计算出的。假定发送的是  $s(t)$ ,那么差错概率就等于  $r < 0$  的概率,即

$$\begin{aligned} P_e &= P(r < 0) \\ &= \frac{1}{\sqrt{2\pi}\sigma} \int_{-\infty}^0 e^{-(r-\epsilon)^2/(2\sigma^2)} dr \\ &= \frac{1}{\sqrt{2\pi}} \int_{-\epsilon/\sigma}^{-\infty} e^{-r^2/2} dr \\ &= Q\left(\frac{\epsilon}{\sigma}\right) \\ &= Q\left(\sqrt{\frac{2\epsilon}{N_0}}\right) \end{aligned} \quad (5.2.32)$$

当发送的是  $-s(t)$  时,也能得出类似的结果。因此,当这两个信号波形是等概率时,平均差错概率由(5.2.32)式给出。

当将反极性信号的差错概率与由(5.2.23)式给出的正交信号的差错概率比较时,可以看出,对同一发送信号能量  $\epsilon$ ,反极性信号的结果有更好的性能。换一种方式也可以说,在相同性能(相同差错概率)下,反极性信号只需使用正交信号一半的发送能量,所以反极性信号比正交信号在效率上高出 3 dB。

## 解说题

### 解说题 5.5 [二进制反极性信号的仿真]

用 Monte Carlo 仿真估计并画出用二进制反极性信号通信系统的差错概率性能,系统的模型如图 5.13 所说明。

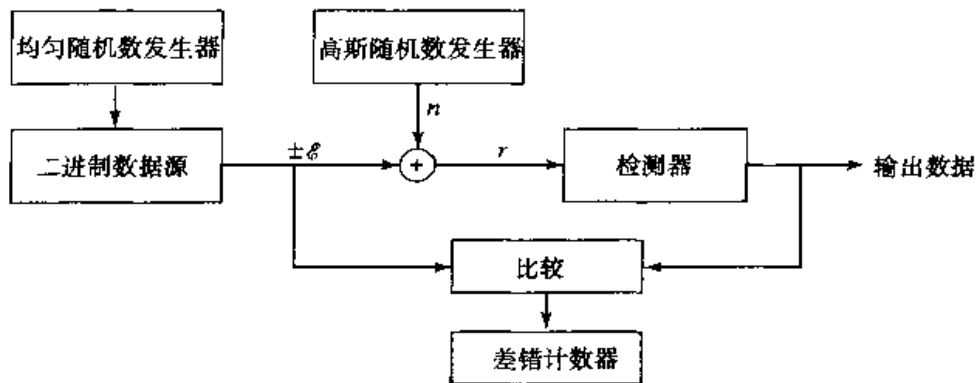


图 5.13 利用反极性信号的二进制通信系统模型

## 题解

我们先仿真随机变量  $r$  的产生,它是检测器的输入。用一均匀随机数发生器从二进制数据源中产生二进制信息序列。这个 0 和 1 的序列映射为  $\pm\mathcal{E}$  的序列,这里  $\mathcal{E}$  代表信号能量,它可以归一化到 1。用一高斯噪声发生器产生零均值、方差为  $\sigma^2$  的高斯随机数。检测器与阈值 0 比较随机变量  $r$ 。若  $r > 0$ ,判决传送的比特是一个 0;若  $r < 0$ ,判决传送的比特是一个 1。然后将检测器的输出与信息比特传输的序列比较,比特差错被计数。图 5.14 说明在几个不同的 SNR 值下,传输  $N = 10\,000$  个比特时的仿真结果。由 (5.2.32) 式给出  $P_e$  的理论值也画在图 5.14 上以供比较。

本题的 MATLAB 脚本给出如下。

## VI 文件

```

% MATLAB script for Illustrative Problem 5.5.
echo on
SNRindB1=0:1:10;
SNRindB2=0:0.1:10;
for i=1:length(SNRindB1),
    % simulated error rate
    smld_err_prb(i)=smldPe55(SNRindB1(i));
    echo off;
end;
  
```

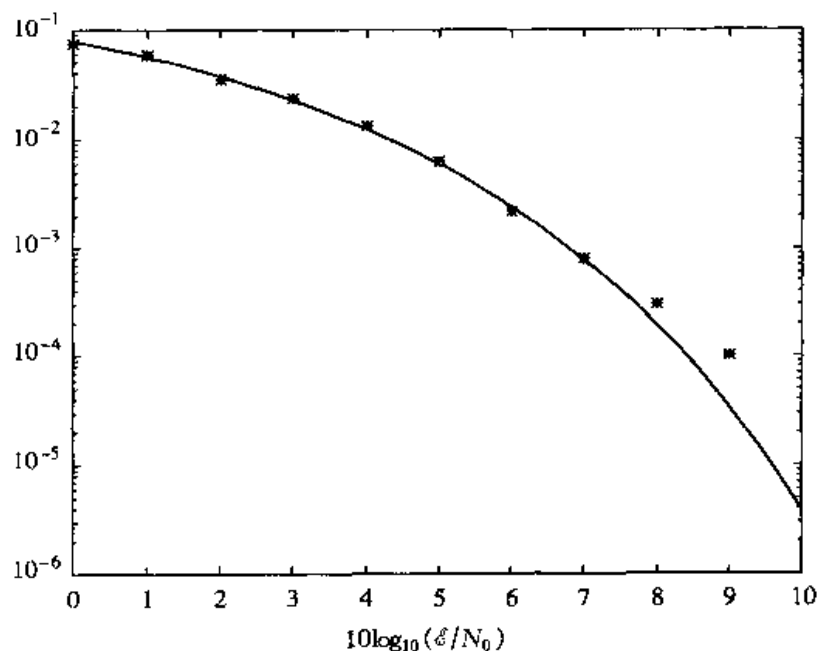


图 5.14 反极性信号由 Monte Carlo 仿真的差错概率与理论差错概率的比较

```

echo on;
for i=1:length(SNRindB2),
    SNR=exp(SNRindB2(i)*log(10)/10);
    % theoretical error rate
    theo_err_prb(i)=Qfunc(sqrt(2*SNR));
    echo off;
end;
echo on;
% Plotting commands follow
semilogy(SNRindB1,smld_err_prb,'*');
hold
semilogy(SNRindB2,theo_err_prb);

```

## VI 文件

```

function [p]=smldPe55(snr_in_dB)
% [p]=smldPe55(snr_in_dB)
%           SMLDPE55 simulates the probability of error for the particular
%           value of snr_in_dB, signal to noise ratio in dB.
E=1;
SNR=exp(snr_in_dB*log(10)/10);           % signal to noise ratio
sigma=E/sqrt(2*SNR);                     % sigma, standard deviation of noise
N=10000;
% generation of the binary data source follows

```

---

```

for i=1:N,
    temp=rand; % a uniform random variable over (0,1)
    if (temp<0.5),
        dsource(i)=0; % with probability 1/2, source output is 0
    else
        dsource(i)=1; % with probability 1/2, source output is 1
    end
end;
% the detection, and probability of error calculation follows
numoferr=0;
for i=1:N,
    % The matched filter outputs
    if (dsource(i)==0),
        r=-E+gngauss(sigma); % if the source output is "0"
    else
        r=E+gngauss(sigma); % if the source output is "1"
    end;
    % detector follows
    if (r<0),
        decis=0; % decision is "0"
    else
        decis=1; % decision is "1"
    end;
    if (decis~=dsource(i)), % if it is an error, increase the error counter
        numoferr=numoferr+1;
    end;
end;
p=numoferr/N; % probability of error estimate

```

---

## 二进制信号传输的开关信号

二进制信息序列也可以用开关信号来传送。为了发送一个 0, 在持续期  $T_b$  的时间区间内不传送任何信号; 为了发送一个 1, 传送信号波形  $s(t)$ 。结果接收到的信号波形可表示为

$$r(t) = \begin{cases} n(t), & \text{若 0 被传输} \\ s(t) + n(t), & \text{若 1 被传输} \end{cases} \quad (5.2.33)$$

这里  $n(t)$  代表加性白色高斯噪声。

与在反极性信号的情况一样, 最佳接收机由一个相关器, 或一个对  $s(t)$  匹配的匹配滤波器(它的输出在  $t = T_b$  被采样)再紧跟着一个检测器所组成, 它将采样输出与阈值为  $\alpha$  进行比较。若  $r > \alpha$ , 就说 1 被传输; 否则就是 0 被传输。

检测器的输入可表示为

$$r = \begin{cases} n, & \text{若 0 被传输} \\ E + n, & \text{若 1 被传输} \end{cases} \quad (5.2.34)$$

这里  $n$  是零均值、方差  $\sigma^2 = \mathcal{E}N_0/2$  的高斯随机变量。因此, 随机变量  $r$  的条件



概率密度函数是

$$p(r|0) = \frac{1}{\sqrt{2\pi}\sigma} e^{-r^2/(2\sigma^2)}, \quad \text{若 } 0 \text{ 被传输}$$

$$p(r|1) = \frac{1}{\sqrt{2\pi}\sigma} e^{-(r-\ell)^2/(2\sigma^2)}, \quad \text{若 } 1 \text{ 被传输}$$

这些概率密度函数如图 5.15 所示。

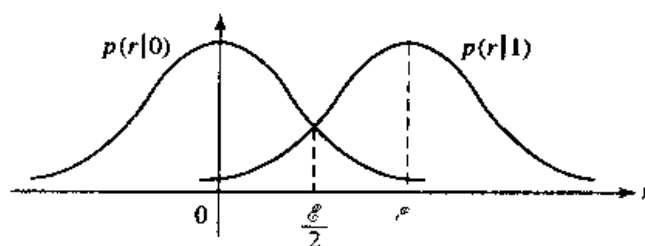


图 5.15 开关信号在相关器输出端已接收信号的概率密度函数

当传输为 0 时, 差错概率为

$$P_{e0}(\alpha) = P(r > \alpha) = \frac{1}{\sqrt{2\pi}\sigma} \int_{\alpha}^{\infty} e^{-r^2/(2\sigma^2)} dr \quad (5.2.35)$$

式中  $\alpha$  是阈值。另一方面, 当传输为 1 时, 差错概率是

$$P_{e1}(\alpha) = P(r < \alpha) = \frac{1}{\sqrt{2\pi}\sigma} \int_{-\infty}^{\alpha} e^{-(r-\ell)^2/(2\sigma^2)} dr \quad (5.2.36)$$

假定二进制信息比特是等概率的, 其平均差错概率为

$$P_e(\alpha) = \frac{1}{2} P_{e0}(\alpha) + \frac{1}{2} P_{e1}(\alpha) \quad (5.2.37)$$

使这个平均差错概率最小的值  $\alpha$  可以通过对  $P_e(\alpha)$  微分并解出最佳阈值而求得。容易证明, 这个最佳阈值是

$$\alpha_{\text{opt}} = \frac{\ell}{2} \quad (5.2.38)$$

将这个最佳值代入(5.2.35)式, (5.2.36)式和(5.2.37)式, 可得出差错概率是

$$P_e(\alpha_{\text{opt}}) = Q\left(\sqrt{\frac{\ell}{2N_0}}\right) \quad (5.2.39)$$

可以看到, 用开关信号时误码率的性能不及反极性信号时那样好。似乎看来与反极性信号相比要差 6 dB, 与正交信号相比要差 3 dB。然而, 对开关信号而言, 其平均发送的能量要比反极性信号和正交信号都少 3 dB。因此, 当在与其他的信号类型作性能比较时, 这个差别也应计及。

## 解说题

### 解说题 5.6 [开关信号仿真]

用 Monte Carlo 仿真作计并画出用开关信号的二进制通信系统的性能。

## 题解

要仿真的这个系统的模型与图 5.13 是类似的,除了一个信号是 0 之外。因此,按(5.2.34)式产生一随机变量  $|r_i|$  序列,检测器将该随机变量  $|r_i|$  对最佳阈值  $\mathcal{E}/2$  作比较,并作出适当的判决。图 5.16 示出基于 10 000 个二进制数字的估计差错概率,由(5.2.39)式给出的理论上的误码率也画在这张图上。

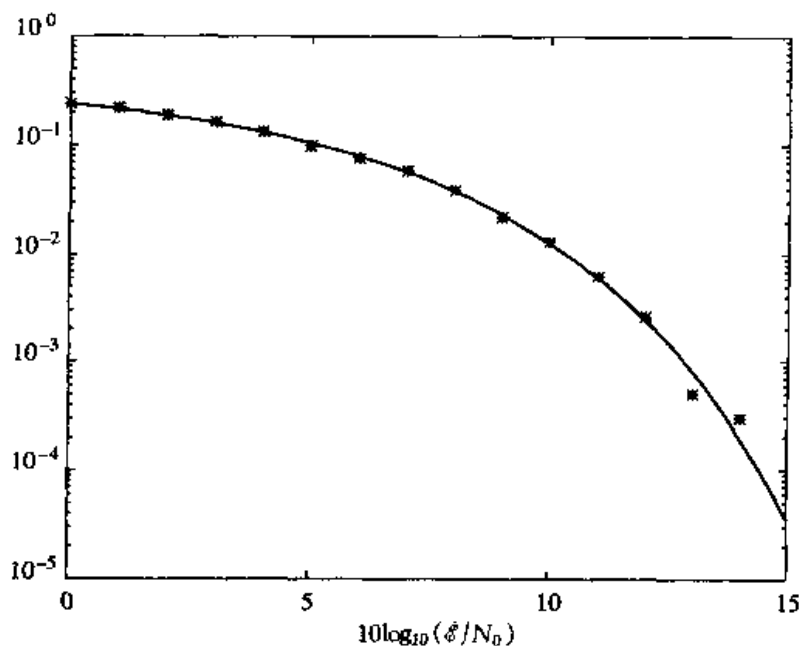


图 5.16 开关信号由 Monte Carlo 仿真的差错概率与理论差错概率的比较

本题的 MATLAB 脚本给出如下。

## NI 文件

```
% MATLAB script for Illustrative Problem 5.6.
echo on
SNRindB1=0:1:15;
SNRindB2=0:0.1:15;
for i=1:length(SNRindB1),
    smld_err_prb(i)=smldPc56(SNRindB1(i)); % simulated error rate
```

```

    echo off;
end;
echo on;
for i=1:length(SNRindB2),
    SNR=exp(SNRindB2(i)*log(10)/10);           % signal to noise ratio
    theo_err_prb(i)=Qfunc(sqrt(SNR/2));          % theoretical error rate
    echo off;
end;
echo on;
% Plotting commands follow
semilogy(SNRindB1,smld_err_prb,'*');
hold
semilogy(SNRindB2,theo_err_prb);

```

## MI 文件

```

function [p]=smldPe56(snr_in_dB)
% [p]=smldPe56(snr_in_dB)
%           SMLDPE56 simulates the probability of error for a given
%           snr_in_dB, signal to noise ratio in dB.

E=1;
alpha_opt=1/2;
SNR=exp(snr_in_dB*log(10)/10);           % signal to noise ratio
sgma=E/sqrt(2*SNR);                      % sigma, standard deviation of noise
N=10000;
% generation of the binary data source follows
for i=1:N,
    temp=rand;                            % a uniform random variable over (0,1)
    if (temp<0.5),
        dsouce(i)=0;                      % with probability 1/2, source output is 0
    else
        dsouce(i)=1;                      % with probability 1/2, source output is 1
    end
end;
% detection, and probability of error calculation
numoferr=0;
for i=1:N,
    % The matched filter outputs
    if (dsouce(i)==0),
        r=gngauss(sgma);                  % if the source output is "0"
    else
        r=E+gngauss(sgma);                % if the source output is "1"
    end;
    % detector follows
    if (r<alpha_opt),
        decs=0;                            % decision is "0"
    else
        decs=1;                            % decision is "1"
    end;
end;

```

```

if (decis~=dsource(i)),           % if it is an error, increase the error counter
    numoferr=numoferr+1;
end;
end;
p=numoferr/N;                     % probability of error estimate

```

#### 5.2.4 二进制信号的信号星座图

3种二进制信号(即反极性、开关和正交信号)都可以在几何上用“信号空间”的点来表征。在反极性信号情况下,信号是 $s(t)$ 和 $-s(t)$ ,每一个都具有能量为 $\mathcal{E}$ ,这两个信号点落在实线的 $\pm\sqrt{\mathcal{E}}$ 点上,如图5.17(a)所示。反极性信号的一维几何表示之所以可能是由于仅用一个信号波形或基函数(即 $s(t)$ )就足以在信号空间内表示这对反极性信号。

开关信号也是一维信号,所以两个信号点就落在实线的0和 $\sqrt{\mathcal{E}}$ 上,如图5.17(b)所示。

另一方面,二进制正交信号需要有一个二维的几何表示,因为有两个线性独立的函数 $s_0(t)$ 和 $s_1(t)$ ,它们构成了两种信号波形。这样,相应于这两个信号的信号点就在 $(\sqrt{\mathcal{E}}, 0)$ 和 $(0, \sqrt{\mathcal{E}})$ 上,如图5.17(c)所示。

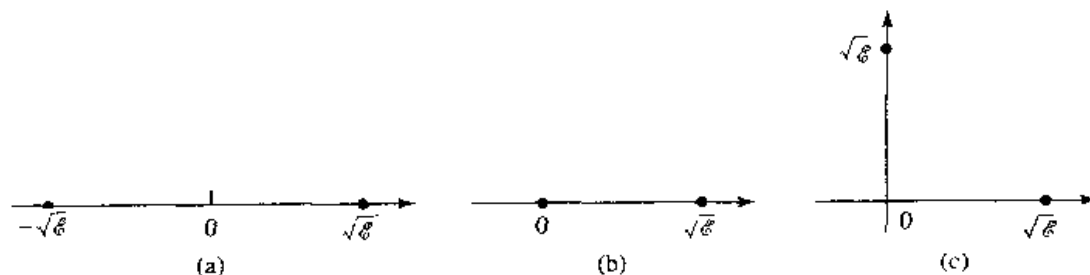


图 5.17 二进制信号的信号星座图  
(a) 反极性信号; (b) 开关信号; (c) 正交信号。

按图 5.17 所示的二进制信号的几何表示就称为**信号星座图**。

### 解说题

#### 解说题 5.7 [噪声影响和星座图]

噪声在二进制通信系统性能上的影响可以在检测器输入端已接收信号加噪声中看到。例如,考虑二进制正交信号,检测器的输入由一对随机变量 $(r_0, r_1)$ 组成,这里 $(r_0, r_1)$ 要么为

$$(r_0, r_1) = (\sqrt{\mathcal{E}} + n_0, n_1)$$

或者为

$$(r_0, r_1) = (n_0, \sqrt{\mathcal{E}} + n_1)$$

噪声随机变量  $n_0$  和  $n_1$  都是零均值, 方差  $\sigma^2$  的独立高斯随机变量。和解说题 5.4 相同, 用 Monte Carlo 仿真对每一  $\sigma$  值为  $\sigma=0.1$ ,  $\sigma=0.3$  和  $\sigma=0.5$  产生 100  $(r_0, r_1)$  样本, 分别对每一  $\sigma$ , 在不同的二维坐标图上画出这 100 个样本。信号能量  $\mathcal{E}$  可归一化到 1。

### 题 解

Monte Carlo 的仿真结果如图 5.18 所示。注意: 在低噪声水平( $\sigma$ )下, 噪声

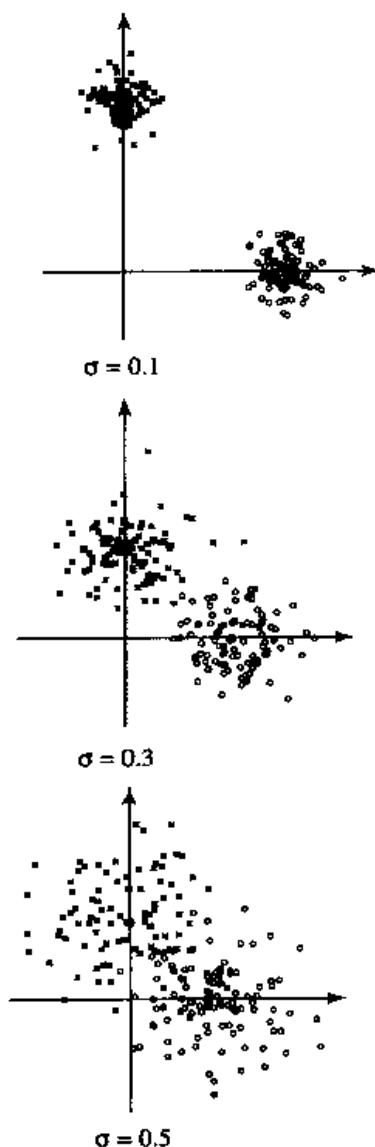


图 5.18 对正交信号在检测器输入端的接收信号点(Monte Carlo 仿真)

对通信系统的性能(误码率)影响是很小的,随着噪声功率的增加,噪声分量在份量上增加了,引起更多的误码。

对  $\sigma = 0.5$  的本题 MATLAB 脚本给出如下。

### M 文件

*% MATLAB script for Illustrative Problem 5.7.*

```
echo on
n0=.5*randn(100,1);
n1=.5*randn(100,1);
n2=.5*randn(100,1);
n3=.5*randn(100,1);
x1=1.+n0;
y1=n1;
x2=n2;
y2=1.+n3;
plot(x1,y1,'o',x2,y2,'*')
axis('square')
```

## 5.3 多幅度信号传输

在前一节中处理数字信息的传输用的都是二进制信号波形,因此每一信号波形仅传送 1 比特信息。这一节要用取多个幅度电平的信号波形,由此每一信号波形就能传输多个比特的信息。

### 5.3.1 四幅度电平的信号波形

考虑一组信号波形,形式为

$$s_m(t) = A_m g(t), \quad 0 \leq t \leq T \quad (5.3.1)$$

式中  $A_m$  是第  $m$  个波形的幅度,  $g(t)$  是矩形脉冲,定义为

$$g(t) = \begin{cases} \sqrt{1/T}, & 0 \leq t \leq T \\ 0, & \text{其余 } t \end{cases} \quad (5.3.2)$$

这里在脉冲  $g(t)$  中的能量为一化到 1。现在特别考虑这样一种情况,信号幅度取在 4 种可能的等间隔值上,即为  $\{A_m\} = \{-3d, -d, d, 3d\}$ , 或等效为

$$A_m = (2m - 3)d, \quad m = 0, 1, 2, 3 \quad (5.3.3)$$

这里  $2d$  是两个相邻幅度电平之间的欧氏距离(Euclidean)。4 种信号波形如图 5.19 所示。我们称这组信号波形为脉冲幅度调制(PAM)信号。

图 5.19 所示的 4 种 PAM 信号波形可用来传送每个波形 2 比特的信息,因此可按下面的信息比特对指定到这 4 种信号波形上去:

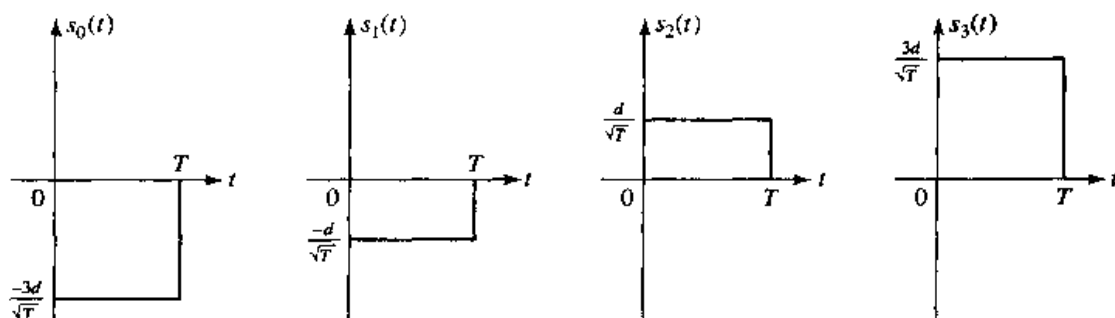


图 5.19 多幅度信号波形

$$00 \rightarrow s_0(t)$$

$$01 \rightarrow s_1(t)$$

$$11 \rightarrow s_2(t)$$

$$10 \rightarrow s_3(t)$$

每一信息比特{00,01,10,11}对称为一个符号(symbol),时间持续期  $T$  称为符号区间(symbol interval)。注意,如果比特率是  $R = 1/T_b$ ,则符号区间就是  $T = 2T_b$ 。因为全部信号波形都是信号基函数  $g(t)$  的幅度加权的结果,所以这些信号波形可以在几何上作为一些点表示在实线上,因此这 4 种 PAM 信号几何表示的信号星座图如图 5.20 所示。

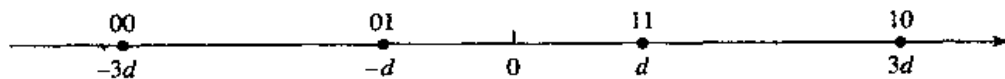


图 5.20 4 种 PAM 信号波形的信号星座图

与在二进制信号情况一样,假设 PAM 信号波形是经由 AWGN 信道传输的,这样接收到的信号可表示为

$$r(t) = s_i(t) + n(t), \quad i = 0, 1, 2, 3, \quad 0 \leq t \leq T \quad (5.3.4)$$

这里  $n(t)$  是功率谱为  $N_0/2$  (W/Hz) 的白色高斯噪声过程的一个样本函数。接收机的任务就是要在观察到区间  $0 \leq t \leq T$  的接收信号  $r(t)$  之后确定这 4 种信号波形中哪一种被传输。最佳接收机就是要设计成使符号差错的概率最小。

### 5.3.2 AWGN 信道的最佳接收机

使差错概率最小的接收机可以将信号通过一信号相关器或匹配滤波器,再紧跟着一个幅度检测器来实现。因为信号相关器和匹配滤波器在采样瞬时都产生相同的输出,所以我们在讨论中仅考虑信号相关器。

### 信号相关器

信号相关器将接收到的信号  $r(t)$  与信号脉冲  $g(t)$  作互相关, 并将它的输出在  $t = T$  采样, 因此信号相关器的输出是

$$\begin{aligned} r &= \int_0^T r(t)g(t)dt \\ &= \int_0^T A_i g^2(t)dt + \int_0^T g(t)n(t)dt \\ &= A_i + n \end{aligned} \quad (5.3.5)$$

式中  $n$  代表噪声分量, 定义为

$$n = \int_0^T g(t)n(t)dt \quad (5.3.6)$$

注意到,  $n$  是一高斯随机变量, 其均值为

$$E(n) = \int_0^T g(t)E[n(t)]dt = 0 \quad (5.3.7)$$

和方差为

$$\begin{aligned} \sigma^2 &= E(n^2) \\ &= \int_0^T \int_0^T g(t)g(\tau)E[n(t)n(\tau)]dt d\tau \\ &= \frac{N_0}{2} \int_0^T \int_0^T g(t)g(\tau)\delta(t-\tau)dt d\tau \\ &= \frac{N_0}{2} \int_0^T g^2(t)dt \\ &= \frac{N_0}{2} \end{aligned} \quad (5.3.8)$$

因此, 信号相关器输出  $r$  的概率密度函数是

$$p(r | s_i(t) \text{ 被传输}) = \frac{1}{\sqrt{2\pi}\sigma} e^{-(r-A_i)^2/(2\sigma^2)}, \quad (5.3.9)$$

这里  $A_i$  是 4 种可能幅度值之一。

### 检测器

检测器观察相关器的输出  $r$ , 并判决在信号区间内是 4 种 PAM 信号中哪一种被传输。在下面建立最佳检测器性能的讨论中, 假设这 4 种可能幅度电平是等概率的。

如在图 5.20 的信号星座图中所表明的, 因为接收到的信号幅度  $A_i$  能够取  $\pm d, \pm 3d$ , 所以最佳幅度检测器要将相关器输出  $r$  与 4 种可能传输的幅度电平作比较, 并选择在欧氏距离上最接近于  $r$  的幅度电平。因此, 最佳幅度检测器



计算距离

$$D_i = |r - A_i|, \quad i = 0, 1, 2, 3 \quad (5.3.10)$$

并选取对应于最小距离的幅度。

我们注意到,当噪声变量  $n$  在幅度上超过幅度电平之间距离的一半时,也即当  $|n| > d$  时,就会发生判决错误。然而,当传输的幅度电平是  $+3d$  或  $-3d$  时,差错只会发生在一个方向上。因为这 4 种幅度电平是等概率的,所以一个符号区间的平均概率是

$$\begin{aligned} P_4 &= \frac{3}{4} P(|r - A_m| > d) \\ &= \frac{3}{2} \int_d^\infty \frac{1}{\sqrt{2\pi}\sigma} e^{-x^2/(2\sigma^2)} dx \\ &= \frac{3}{2} \int_{d/\sigma}^\infty \frac{1}{\sqrt{2\pi}} e^{-x^2/2} dx \\ &= \frac{3}{2} Q\left[\sqrt{\frac{d^2}{\sigma^2}}\right] \\ &= \frac{3}{2} Q\left[\sqrt{\frac{2d^2}{N_0}}\right] \end{aligned} \quad (5.3.11)$$

可以看出相继幅度电平之间平方距离是  $(2d)^2 \triangleq \delta^2$ , 因此,平均差错概率可表示为

$$P_4 = \frac{3}{2} Q\left[\sqrt{\frac{\delta^2}{2N_0}}\right] \quad (5.3.12)$$

另外,平均差错概率还可以利用信号能量来表示。因为全部 4 种幅度电平是等概率的,所以每个符号平均传输的信号能量是

$$\mathcal{E}_{av} = \frac{1}{4} \sum_{k=1}^4 \int_0^T s_k^2(t) dt = 5d^2 \quad (5.3.13)$$

这样  $d^2 = \mathcal{E}_{av}/5$ , 所以

$$P_4 = \frac{3}{2} Q\left[\sqrt{\frac{2\mathcal{E}_{av}}{5N_0}}\right] \quad (5.3.14)$$

因为每个传输符号由 2 个信息比特组成,所以每个比特传输的平均能量是  $\mathcal{E}_{av}/2 \triangleq \mathcal{E}_{avb}$ 。

平均差错概率  $P_4$  作为 SNR(定义为  $10\log_{10}(\mathcal{E}_{avb}/N_0)$ ) 的函数画在图 5.21 中。

①译者注:原著中式(5.3.12)为  $P_4 = \frac{3}{2} Q\left[\sqrt{\frac{\delta^2}{4N_0}}\right]$

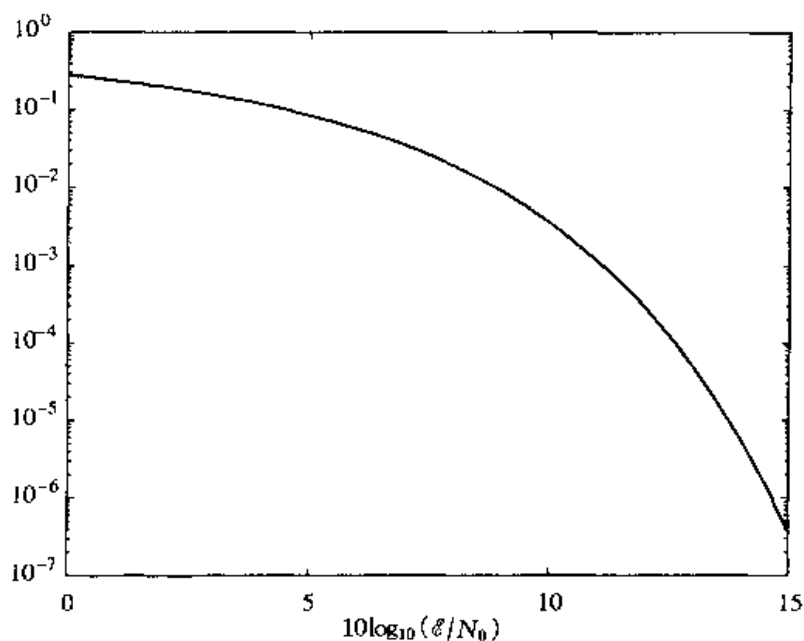


图 5.21 4 电平 PAM 的符号差错概率

### 解说题

#### 解说题 5.8 [多幅度信号仿真]

完成 4 电平 PAM 通信系统的 Monte Carlo 仿真,该系统系用一个信号相关器(如前述)再紧跟着一个幅度检测器。待仿真的系统模型如图 5.22 所示。

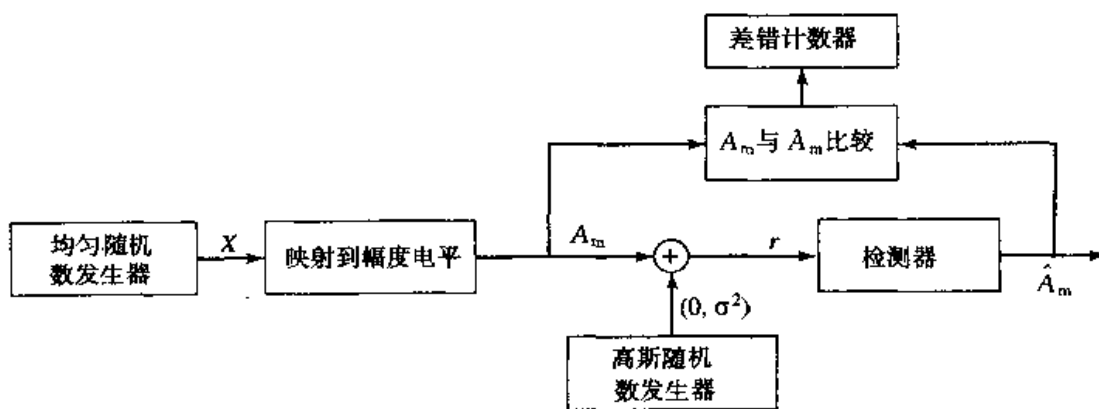


图 5.22 用于 Monte Carlo 仿真的 4 电平 PAM 方框图

### 题解

我们要仿真出随机变量  $r$  的产生,它是信号相关器的输出和检测器的输

入。先要产生一个4组符号的序列,再将该序列映射到对应的幅度电平 $\{A_m\}$ 。为了完成这个任务,用一个随机数发生器产生在范围 $(0,1)$ 内的均匀随机数。然后将这个范围再分成4个相等的区间 $(0,0.25)$ ,  $(0.25,0.5)$ ,  $(0.5,0.75)$ 和 $(0.75,1.0)$ 这里这些子区间就分别对应于4个信息比特对的符号00,01,11和10。这样,均匀随机数发生器的输出就分别映射到相应的信号幅度电平 $(-3d, -d, d, 3d)$ 。

高斯随机数发生器产生零均值、方差为 $\sigma^2$ 的加性噪声分量。为了方便可以将距离参数归一化到 $d=1$ 而变化 $\sigma^2$ 。检测器观察到 $r=A_m+n$ ,并计算 $r$ 和4种可能传输的信号幅度之间的距离,它的输出 $\hat{A}_m$ 就是相应于最小距离的信号幅度电平。 $\hat{A}_m$ 与真正的传输信号幅度比较,差错计数器用来对检测器产生的差错计数。

图5.23是在不同的平均比特SNR值下,传输 $N=10\,000$ 个符号时的仿真结果,这个平均比特SNR定义为

$$\frac{E_{\text{avb}}}{N_0} = \frac{5}{4} \left( \frac{d^2}{\sigma^2} \right) \quad (5.3.15)$$

由该图可注意到仿真结果与由(5.3.14)式计算出 $P_4$ 理论值的一致性。

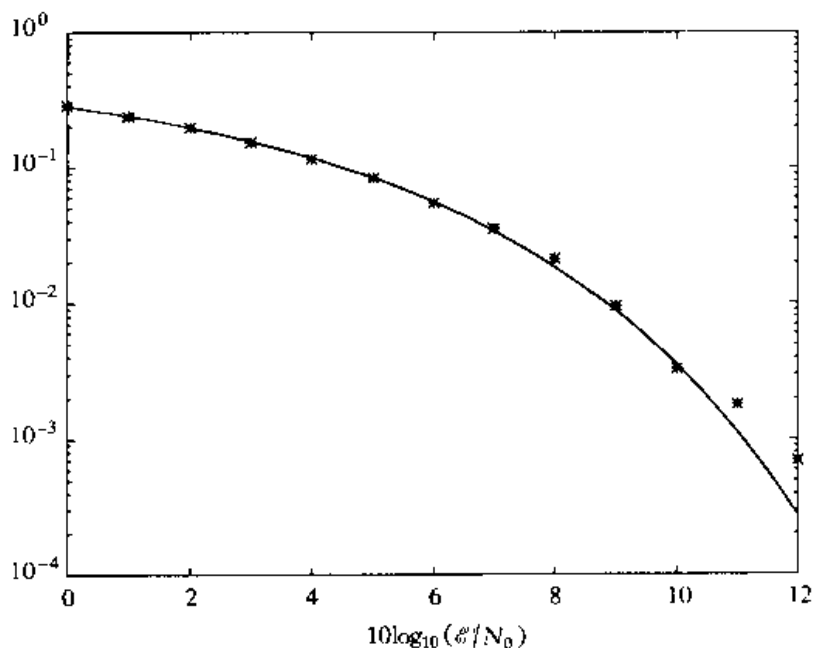


图 5.23 Monte Carlo 仿真的差错概率与  $M=4$  PAM 的理论差错概率的比较

本题的 MATLAB 脚本给出如下。

## M 文件

*% MATLAB script for Illustrative Problem 5.8.*

```

echo on
SNRindB1=0:1:12;
SNRindB2=0:0.1:12;
for i=1:length(SNRindB1),
    % simulated error rate
    smld_err_prb(i)=smldPe58(SNRindB1(i));
    echo off;
end;
echo on;
for i=1:length(SNRindB2),
    % signal to noise ratio
    SNR_per_bit=exp(SNRindB2(i)*log(10)/10);
    % theoretical error rate
    theo_err_prb(i)=(3/2)*Qfunct(sqrt((4/5)*SNR_per_bit));
    echo off;
end;
echo on;
% Plotting commands follow
semilogy(SNRindB1,smld_err_prb,'*');
hold
semilogy(SNRindB2,theo_err_prb);

```

## M 文件

```

function [p]=smldPe58(snr_in_dB)
% [p]=smldPe58(snr_in_dB)
%           SMLDPE58 simulates the probability of error for the given
%           snr_in_dB, signal to noise ratio in dB.
d=1;
SNR=exp(snr_in_dB*log(10)/10);           % signal to noise ratio per bit
sgma=sqrt((5*d^2)/(4*SNR));              % sigma, standard deviation of noise
N=10000;                                  % number of symbols being simulated
% generation of the quaternary data source follows
for i=1:N,
    temp=rand;                             % a uniform random variable over (0,1)
    if (temp<0.25),
        dsouce(i)=0;                       % with probability 1/4, source output is "00"
    elseif (temp<0.5),
        dsouce(i)=1;                       % with probability 1/4, source output is "01"
    elseif (temp<0.75),
        dsouce(i)=2;                       % with probability 1/4, source output is "10"
    else
        dsouce(i)=3;                       % with probability 1/4, source output is "11"
    end
end

```

---

```

end;
% detection, and probability of error calculation
numoferr=0;
for i=1:N,
    % The matched filter outputs
    if (dsource(i)==0),
        r=-3*d+gngauss(sgma);           % if the source output is "00"
    elseif (dsource(i)==1),
        r=-d+gngauss(sgma);             % if the source output is "01"
    elseif (dsource(i)==2)
        r=d+gngauss(sgma);               % if the source output is "10"
    else
        r=3*d+gngauss(sgma);             % if the source output is "11"
    end;
    % detector follows
    if (r<-2*d),
        decis=0;                          % decision is "00"
    elseif (r<0),
        decis=1;                          % decision is "01"
    elseif (r<2*d),
        decis=2;                          % decision is "10"
    else
        decis=3;                          % decision is "11"
    end;
    if (decis~=dsource(i)),
        numoferr=numoferr+1;              % if it is an error, increase the error counter
    end;
end;
p=numoferr/N;                            % probability of error estimate

```

---

### 5.3.3 多幅度电平的信号波形

构造多于4电平的多幅度信号是相当直接的。一般来说,一组  $M=2^k$  的多幅度信号波形表示成

$$s_m(t) = A_m g(t), \quad 0 \leq t \leq T, \quad m = 0, 1, 2, \dots, M-1$$

这里  $M$  个幅度值是等间隔的,给出为

$$A_m = (2m - M + 1)d, \quad m = 0, 1, \dots, M-1 \quad (5.3.16)$$

$g(t)$  是一矩形脉冲,它由(5.3.2)式定义。每一信号波形携带有  $k = \log_2 M$  信息比特。当比特率是  $R = 1/T_b$  时,相应的符号率就是  $\frac{1}{T} = 1/(kT_b)$ 。和在4电平PAM情况相同,最佳接收机由信号相关器(或匹配滤波器)紧跟一个幅度检测器所组成,该幅度检测器计算由(5.3.10)式给出的,对  $m = 0, 1, \dots, M-1$  时的欧氏距离。对于等概率的幅度电平来说,判决是朝向对应于最小距离的幅度电平作出的。

容易证明, $M$  电平 PAM 系统最佳检测器的差错概率是

$$P_M = \frac{2(M-1)}{M} Q \left[ \sqrt{\frac{6(\log_2 M) \epsilon_{avb}}{(M^2-1)N_0}} \right] \quad (5.3.17)$$

式中  $\epsilon_{avb}$  是 1 个信息比特的平均能量。图 5.24 示出对  $M=2, 4, 8, 16$  时, 1 个符号差错概率。

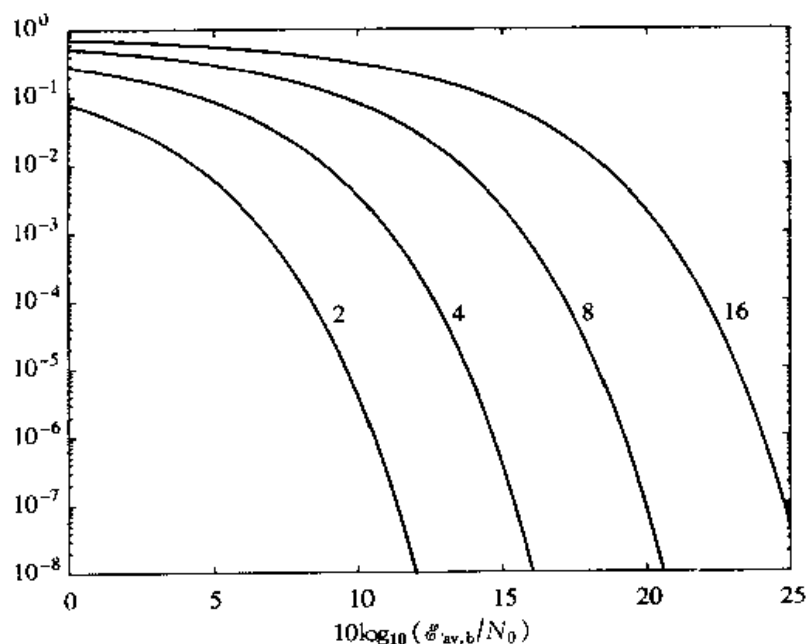


图 5.24  $M$  电平 PAM 在  $M=2, 4, 8, 16$  时的符号差错概率

### 解说题

#### 解说题 5.9 [PAM 仿真]

完成一个 16 电平 PAM 数字通信系统的 Monte Carlo 仿真, 并测量它的误码率性能。

### 题解

一般可用示于图 5.22 的基本方框图。用均匀随机数发生器产生信息符号序列, 该序列被当作 4 个信息比特一组。将区间  $(0, 1)$  划分为 16 个等宽度的子区间可直接产生这 16 组符号, 并将这 16 组符号映射到 16 个信号幅度。将一白色高斯噪声序列加到这 16 组信息符号序列上去以形成信号加噪声馈给检测器。检测器按 (5.3.10) 式给出的关系计算距离, 并选择出对应于最小距离的幅度。检测器的输出与真正传输的信息符号序列作比较, 然后将差错计数。图 5.25 示出对传输 10 000 个符号时所测出的符号误码率, 并与当  $M=16$  时由 (5.3.17) 式给出的理论上的符号误码率比较。

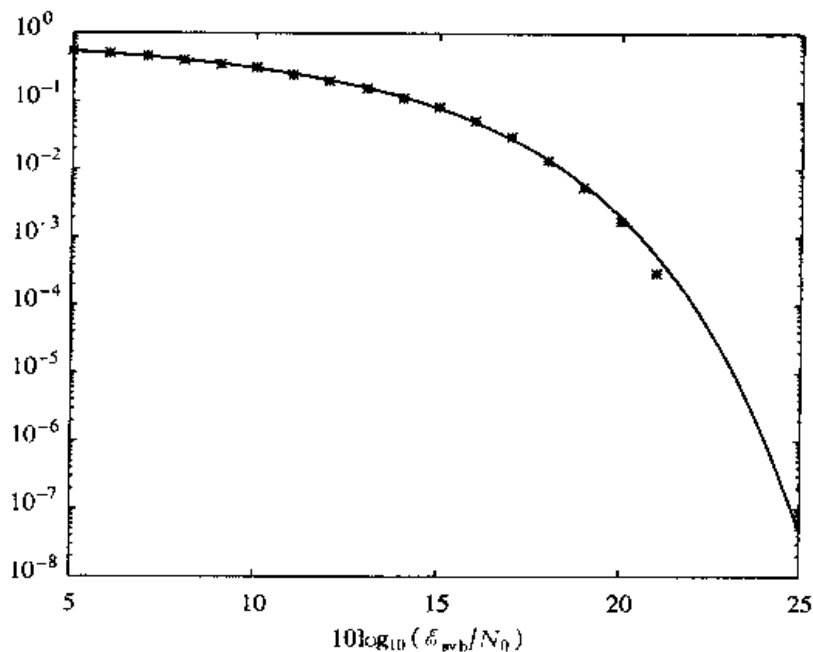


图 5.25  $M=16$ PAM 时, Monte Carlo 仿真误码率与理论差错概率比较

本题的 MATLAB 脚本给出如下。

### M 文件

```
% MATLAB script for Illustrative Problem 5.9.
echo on
SNRindB1=5:1:25;
SNRindB2=5:0.1:25;
M=16;
for i=1:length(SNRindB1),
    % simulated error rate
    smld_err_prb(i)=smldPe59(SNRindB1(i));
    echo off;
end;
echo on ;
for i=1:length(SNRindB2),
    SNR_per_bit=exp(SNRindB2(i)*log(10)/10);
    % theoretical error rate
    theo_err_prb(i)=(2*(M-1)/M)*Qfunc(sqrt((6*log2(M)/(M^2-1))*SNR_per_bit));
    echo off;
end;
echo on;
% Plotting commands follow
semilogy(SNRindB1,smld_err_prb,'*');
hold
semilogy(SNRindB2,theo_err_prb);
```

## M 文件

```

function [p]=smldPe59(snr_in_dB)
% {p}=smldPe59(snr_in_dB)
%           SMLDPE59 simulates the error probability for the given
%           snr_in_dB, signal to noise ratio in dB.
M=16;                % 16-ary PAM
d=1;
SNR=exp(snr_in_dB*log(10)/10);    % signal to noise ratio per bit
sgma=sqrt((85*d^2)/(8*SNR));      % sigma, standard deviation of noise
N=10000;              % number of symbols being simulated
% generation of the data source
for i=1:N,
    temp=rand;          % a uniform random variable over (0,1)
    index=floor(M*temp); % the index is an integer from 0 to M-1, where
                        % all the possible values are equally likely
    dsource(i)=index;
end,
% detection, and probability of error calculation
numoferr=0;
for i=1:N,
    % matched filter outputs
    % (2*dsource(i)-M+1)*d is the mapping to the 16-ary constellation
    r=(2*dsource(i)-M+1)*d+gngauss(sgma);
    % the detector
    if (r>(M-2)*d),
        decis=15;
    elseif (r>(M-4)*d),
        decis=14;
    elseif (r>(M-6)*d),
        decis=13;
    elseif (r>(M-8)*d),
        decis=12;
    elseif (r>(M-10)*d),
        decis=11;
    elseif (r>(M-12)*d),
        decis=10;
    elseif (r>(M-14)*d),
        decis=9;
    elseif (r>(M-16)*d),
        decis=8;
    elseif (r>(M-18)*d),
        decis=7;
    elseif (r>(M-20)*d),
        decis=6;
    elseif (r>(M-22)*d),
        decis=5;
    elseif (r>(M-24)*d),
        decis=4;
    elseif (r>(M-26)*d),
        decis=3;
    elseif (r>(M-28)*d),
        decis=2;

```



---

```

elseif (r>(M-30)*d),
    decis=1;
else
    decis=0;
end;
if (decis~=dsource(i)), % if it is an error, increase the error counter
    numoferr=numoferr+1;
end;
end;
p=numoferr/N; % probability of error estimate

```

---

## 5.4 多维信号

在前面一节,我们构造了多幅度信号波形,而可以在每一信号波形上传输多比特信息。由此,具有  $M=2^k$  幅度电平的信号波形就能够每信号波形传输  $k = \log_2 M$  信息比特。另外还看到多幅度信号几何上能表示成实线上的一些信号点(见图 5.20)。这样的信号波形称为**一维信号**。

这一节要考虑一类  $M=2^k$  的信号波形,它们具有一个多维表示;也就是说,这组信号波形几何上能用  $N$  维空间的点来表示。我们已经见过二进制正交信号几何上能用二维空间上的点来表示。

### 5.4.1 多维正交信号

在很多方法来构造多维信号波形,它们具有各自的性质。这一节考虑的一组  $M=2^k$  信号波形  $s_i(t)$ ,  $i=0,1,\dots,M-1$ ,它具有如下性质:(a) 互为正交;(b) 等能量。这两个性质可以简洁地表示为

$$\int_0^T s_i(t)s_k(t)dt = \mathcal{E}\delta_{ik}, \quad i,k=0,1,\dots,M-1 \quad (5.4.1)$$

式中  $\mathcal{E}$  是每个信号波形的能量,  $\delta_{ik}$  是单位脉冲函数,定义为

$$\delta_{ik} = \begin{cases} 1, & i = k \\ 0, & i \neq k \end{cases} \quad (5.4.2)$$

和前面的讨论一样,假设某一信息源正提供一个信息比特序列,要将这个序列经由某一通信信道传输。该信息比特以  $R$  b/s 的均匀码率出现,  $R$  的倒数就是比特区间  $T_b$ 。调制器每次取  $k$  比特并将它映射到  $M=2^k$  个信号波形中的一个。每一  $k$  比特组称为 1 个符号。传输每一符号可用的时间区间是  $T = kT_b$ , 所以  $T$  是符号区间。

在区间  $(0, T)$  内构造一组  $M=2^k$  的等能量正交波形的最简单方法是将这个区间分成  $M$  个持续期为  $T/M$  的相等子区间,并对每一子区间指定一种信号

波形。图 5.26 就是对于  $M=4$  的这样一种构造的信号。以这种方式构造的所有信号波形都具有相同的能量为

$$\begin{aligned}\mathcal{E} &= \int_0^T s_i^2(t) dt, \quad i = 0, 1, 2, \dots, M-1 \\ &= \frac{A^2 T}{M}\end{aligned}\quad (5.4.3)$$

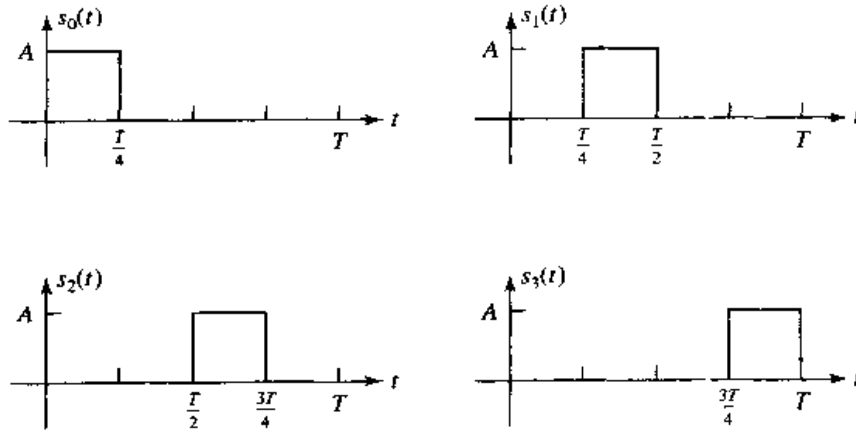


图 5.26 4 个正交、等能量信号波形的例子

这样一组正交波形可以表示成一组  $M$  维的正交向量, 即

$$\begin{aligned}s_0 &= (\sqrt{\mathcal{E}}, 0, 0, \dots, 0) \\ s_1 &= (0, \sqrt{\mathcal{E}}, 0, \dots, 0) \\ &\vdots \\ s_M &= (0, 0, \dots, 0, \sqrt{\mathcal{E}})\end{aligned}\quad (5.4.4)$$

相应于  $M=2$  和  $M=3$  的正交信号的信号星座图如图 5.27 所示。

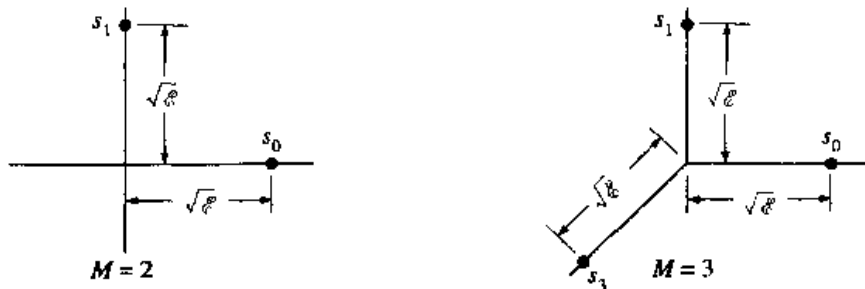


图 5.27  $M=2$  和  $M=3$  的正交信号的信号星座图

现在假定用这些正交信号波形经由 AWGN 信道传输信息, 这样, 如果传输的是  $s_i(t)$ , 则接收到的信号波形就是

$$r(t) = s_i(t) + n(t), \quad 0 \leq t \leq T, \quad i = 0, 1, \dots, M-1 \quad (5.4.5)$$

这里  $n(t)$  是功率谱为  $N_0/2$  (W/Hz) 的白色高斯噪声过程的一个样本函数。接收机观察到信号  $r(t)$  并作出判决:  $M$  个信号波形中的哪一个被传输。

### AWGN 信道的最佳接收机

使差错概率最小的接收机首先将信号  $r(t)$  通过一组并联的  $M$  个匹配滤波器或  $M$  个相关器。因为信号相关器和匹配滤波器在采样瞬时产生相同的输出, 所以只考虑用信号相关器的情况, 如图 5.28 所示。

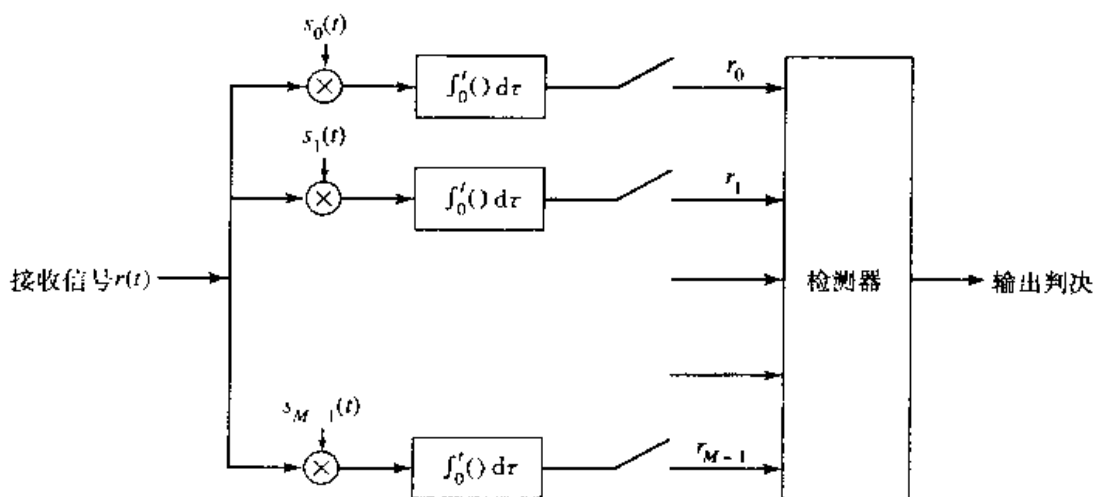


图 5.28 多维正交信号的最佳接收机

### 信号相关器

接收信号  $r(t)$  与  $M$  个信号波形中的每一个作互相关, 相关器输出在  $t = T$  采样, 因此  $M$  个相关器的输出是

$$r_i = \int_0^T r(t) s_i(t) dt, \quad i = 0, 1, \dots, M-1 \quad (5.4.6)$$

它可以用向量表示成  $\mathbf{r} = [r_0, r_1, \dots, r_{M-1}]^T$ 。假设传输的是信号波形  $s_0(t)$ , 那么

$$r_0 = \int_0^T s_0^2(t) dt + \int_0^T n(t) s_0(t) dt = \mathcal{E} + n_0 \quad (5.4.7)$$

和

$$\begin{aligned} r_i &= \int_0^T s_0(t) s_i(t) dt + \int_0^T n(t) s_i(t) dt \\ &= \int_0^T n(t) s_i(t) dt = n_i, \quad i = 1, 2, 3, \dots, M-1 \end{aligned} \quad (5.4.8)$$

这里

$$n_i = \int_0^T n(t) s_i(t) dt \quad (5.4.9)$$

因此,输出  $r_0$  由一个信号分量  $\varepsilon$  和一个噪声分量  $n_0$  所组成,而其余的  $M-1$  个输出仅由噪声组成。这个噪声分量是高斯型的,均值为零,方差为

$$\begin{aligned} \sigma^2 &= E(n_i^2) \\ &= \int_0^T \int_0^T s_i(t) s_i(\tau) E[n(t) n(\tau)] dt d\tau \\ &= \frac{N_0}{2} \int_0^T \int_0^T s_i(t) s_i(\tau) \delta(t - \tau) dt d\tau \\ &= \frac{N_0}{2} \int_0^T s_i^2(t) dt \\ &= \frac{N_0 \varepsilon}{2} \end{aligned} \quad (5.4.10)$$

读者可以证明  $E(n_i n_j) = 0, i \neq j$ 。结果,这些相关器输出的概率密度函数是

$$\begin{aligned} p(r_0 | s_0(t) \text{ 被传输}) &= \frac{1}{\sqrt{2\pi}\sigma} e^{-(r_0 - \varepsilon)^2 / (2\sigma^2)} \\ p(r_i | s_0(t) \text{ 被传输}) &= \frac{1}{\sqrt{2\pi}\sigma} e^{-r_i^2 / (2\sigma^2)} \textcircled{1}, \quad i = 1, \dots, M-1 \end{aligned}$$

### 检测器

最佳检测器观察到  $M$  个相关器的输出  $r_i, i = 0, 1, \dots, M-1$ , 并选出对应于最大相关器输出的信号。在  $s_0(t)$  被传输的情况下, 正确判决的概率就是  $r_0 > r_i$  的概率,  $i = 1, 2, \dots, M-1$ 。或者

$$P_c = P(r_0 > r_1, r_0 > r_2, \dots, r_0 > r_{M-1}) \quad (5.4.11)$$

1 个符号差错的概率就是

$$P_M = 1 - P_c = 1 - P(r_0 > r_1, r_0 > r_2, \dots, r_0 > r_{M-1}) \quad (5.4.12)$$

可以证明,  $P_M$  能表示成如下积分形式

$$P_M = \frac{1}{\sqrt{2\pi}} \int_{-\infty}^{\infty} |1 - [1 - Q(y)]^{M-1}| e^{-(y - \sqrt{2\varepsilon/N_0})^2 / 2} dy \quad (5.4.13)$$

对于  $M=2$  的特殊情况, (5.4.13) 式化为

$$P_2 = Q\left[\sqrt{\frac{\varepsilon}{N_0}}\right]$$

这就是在 5.2 节对二进制正交信号所得结果。

① 译者注: 原著中此处为  $p(r_i | s_0(t) \text{ 被传输}) = \frac{1}{\sqrt{2\pi}} e^{-r_i^2 / (2\sigma^2)}$

当传输其他  $M-1$  个信号之任一个时,可以得到差错概率的同一表达式. 因为全部  $M$  个信号都可能是等概率的,所以由(5.4.13)式给出的  $P_M$  表达式就是 1 个符号差错的平均概率。这个积分式可用数值法求出。

有时希望把符号差错概率转换成一个二进制数字差错的等效概率。对于等概率的正交信号,所有符号差错都是等概率的,并且其发生概率为

$$\frac{P_M}{M-1} = \frac{P_M}{2^k-1} \quad (5.4.14)$$

再者,在差错中有  $\binom{k}{n}$  (由  $k$  中的  $n$  个比特)种可能方式,所以每  $k$  比特符号的平均比特差错数是

$$\sum_{n=1}^k n \binom{k}{n} \frac{P_M}{2^k-1} = k \frac{2^{k-1}}{2^k-1} P_M \quad (5.4.15)$$

而平均比特差错概率就是(5.4.15)式的结果除以  $k$ ,即每符号的比特数,因此

$$P_b = \frac{2^{k-1}}{2^k-1} P_M \quad (5.4.16)$$

图 5.29 示出对  $M=2,4,8,16,32,64$  时,1 个二进制数字差错的概率作为每比特 SNR( $\mathcal{E}_b/N_0$ )的函数的图,这里  $\mathcal{E}_b = \mathcal{E}/k$  是每比特的能量。这张图说明,增加波形的数目  $M$  可以降低为达到某一给定的比特差错概率而要求的每比特 SNR。

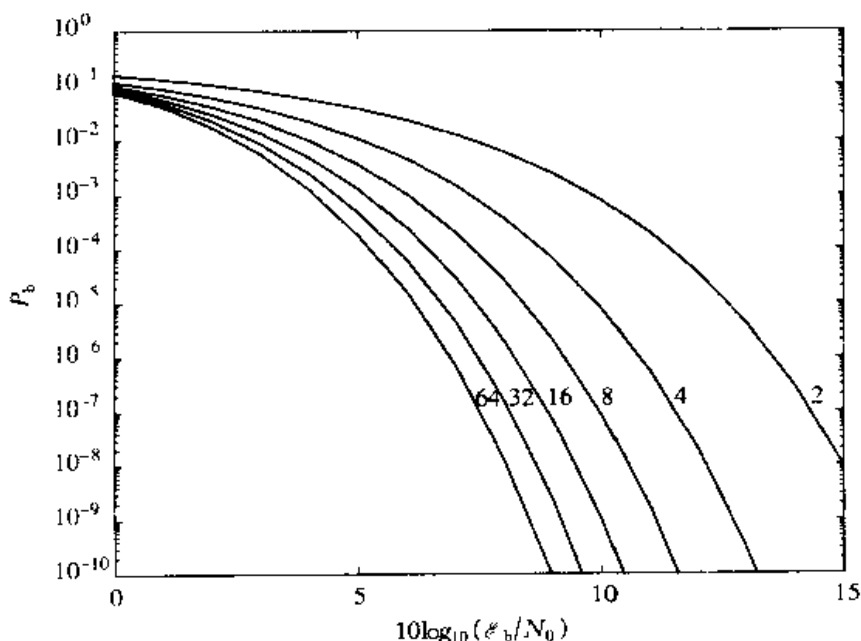


图 5.29 正交信号的比特差错概率

计算由(5.4.13)式的差错概率的 MATLAB 脚本给出如下。

## M 文件

```

% MATLAB script that generates the probability of error versus the signal to noise ratio
initial_snr=0;
final_snr=15;
snr_step=1;
tolerance=1e-7;                                % Tolerance used for the integration
minus_inf=-20;                                  % This is practically -infinity
plus_inf=20;                                    % This is practically infinity
snr_in_dB=initial_snr:snr_step:final_snr;
for i=1:length(snr_in_dB),
    snr=10^(snr_in_dB(i)/10);
    Pe_2(i)=Qfunc(sqrt(snr));
    Pe_4(i)=(2/3)*quad8('bdt_int',minus_inf,plus_inf,tolerance,[],snr,4);
    Pe_8(i)=(4/7)*quad8('bdt_int',minus_inf,plus_inf,tolerance,[],snr,8);
    Pe_16(i)=(8/15)*quad8('bdt_int',minus_inf,plus_inf,tolerance,[],snr,16);
    Pe_32(i)=(16/31)*quad8('bdt_int',minus_inf,plus_inf,tolerance,[],snr,32);
    Pe_64(i)=(32/63)*quad8('bdt_int',minus_inf,plus_inf,tolerance,[],snr,64);
end;
% Plotting commands follow

```

## 解说题

## 解说题 5.10 [正交信号仿真]

完成一个用  $M=4$  的正交信号的数字通信系统的 Monte Carlo 仿真,要仿真的系统模型如图 5.30 所示。

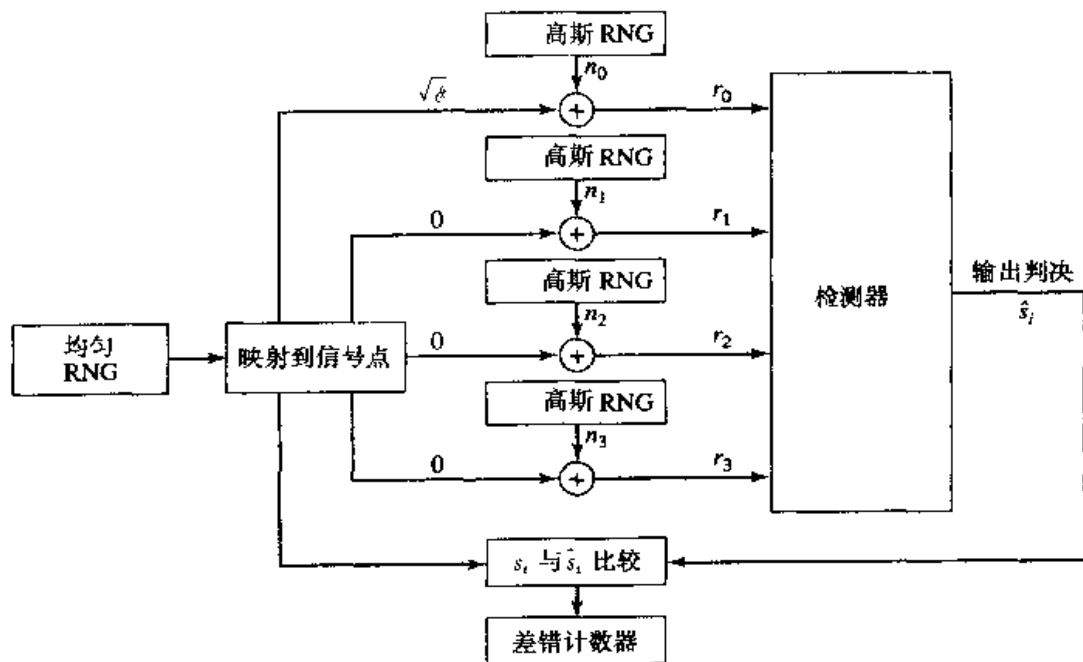


图 5.30 用于 Monte Carlo 仿真的  $M=4$  的正交信号系统方框图

## 题解

先要仿真随机变量  $r_0, r_1, r_2$  和  $r_3$ , 它们构成了检测器的输入。首先可以产生一个 0 和 1 的二进制序列, 它们是等概率出现并互为统计独立的, 就如解说题 5.4 所述那样。将这个二进制序列组合成比特对, 这些比特对再映射到对应的信号分量。产生单个比特对的另一种办法就是像解说题 5.8 那样产生比特对。在任一种情况下, 都将这 4 个符号映射为如下的信号点:

$$\begin{aligned} 00 &\rightarrow s_0 = (\sqrt{\mathcal{E}}, 0, 0, 0) \\ 01 &\rightarrow s_1 = (0, \sqrt{\mathcal{E}}, 0, 0) \\ 10 &\rightarrow s_2 = (0, 0, \sqrt{\mathcal{E}}, 0) \\ 11 &\rightarrow s_3 = (0, 0, 0, \sqrt{\mathcal{E}}) \end{aligned} \quad (5.4.17)$$

加性噪声分量  $n_0, n_1, n_2, n_3$  由 4 个高斯噪声发生器产生, 每一个都有零均值和方差为  $\sigma^2 = N_0\mathcal{E}/2$ 。为了方便, 可将符号能量归一化到  $\mathcal{E} = 1$  而变化  $\sigma^2$ 。因为  $\mathcal{E} = 2\mathcal{E}_b$ , 所以有  $\mathcal{E}_b = \frac{1}{2}$ 。检测器输出与传输的比特序列比较, 差错计数器用于对比特差错数计数。

图 5.31 示出在几个不同的  $\text{SNR}(\mathcal{E}_b/N_0)$  值下, 传输 20 000 个比特时的仿真结果。可以注意到, 仿真结果与由 (5.4.16) 式给出的理论  $P_b$  值的一致性。

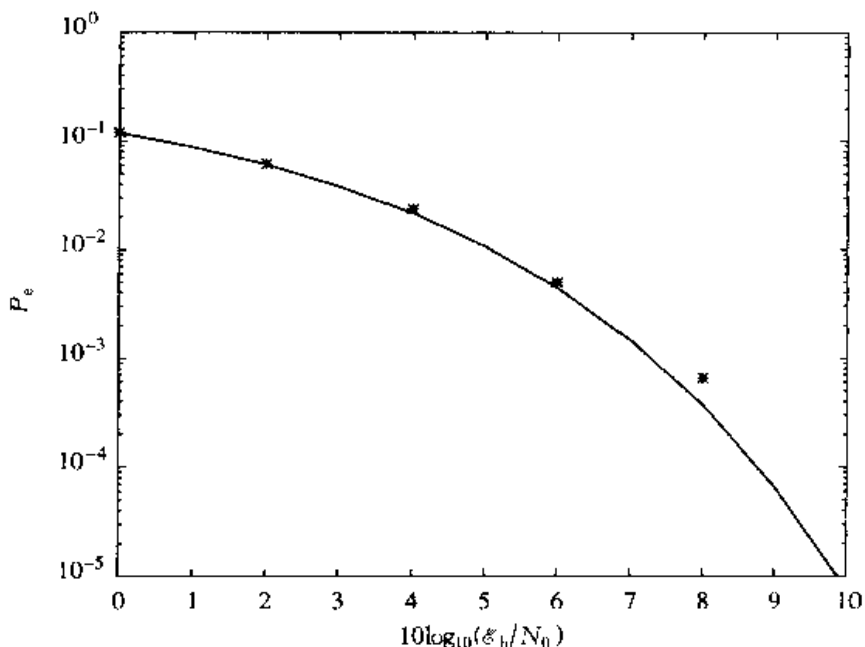


图 5.31 对  $M=4$  的正交信号, 由 Monte Carlo 仿真的比特差错概率与理论差错概率的比较

本题的 MATLAB 脚本给出如下。

### MI 文件

```
% MATLAB script for Illustrative Problem 5.10.
echo on
SNRindB=0:2:10;
for i=1:length(SNRindB),
    % simulated error rate
    smld_err_prb(i)=smldP510(SNRindB(i));
    echo off;
end;
echo on;
% Plotting commands follow
semilogy(SNRindB,smld_err_prb,'*').
```

### MI 文件

```
function [p]=smldP510(snr_in_dB)
% [p]=smldP510(snr_in_dB)
%           SMLDP510 simulates the probability of error for the given
%           snr_in_dB, signal to noise ratio in dB.
M=4; % quaternary orthogonal signalling
E=1;
SNR=exp(snr_in_dB*log(10)/10); % signal to noise ratio per bit
sgma=sqrt(E^2/(4*SNR)); % sigma, standard deviation of noise
N=10000; % number of symbols being simulated
% generation of the quaternary data source
for i=1:N,
    temp=rand; % a uniform random variable over (0,1)
    if (temp<0.25),
        dsource1(i)=0;
        dsource2(i)=0;
    elseif (temp<0.5),
        dsource1(i)=0;
        dsource2(i)=1;
    elseif (temp<0.75),
        dsource1(i)=1;
        dsource2(i)=0;
    else
        dsource1(i)=1;
        dsource2(i)=1;
    end
end;
% detection, and probability of error calculation
numoferr=0;
for i=1:N,
    % matched filter outputs
    if ((dsource1(i)==0) & (dsource2(i)==0)),
        r0=sqrt(E)+gngauss(sgma);
        r1=gngauss(sgma);
```



---

```

    r2=gngauss(sgma);
    r3=gngauss(sgma);
elseif ((dsourcel(i)==0) & (dsource2(i)==1)),
    r0=gngauss(sgma);
    r1=sqrt(E)+gngauss(sgma);
    r2=gngauss(sgma);
    r3=gngauss(sgma);
elseif ((dsourcel(i)==1) & (dsource2(i)==0)),
    r0=gngauss(sgma);
    r1=gngauss(sgma);
    r2=sqrt(E)+gngauss(sgma);
    r3=gngauss(sgma);
else
    r0=gngauss(sgma);
    r1=gngauss(sgma);
    r2=gngauss(sgma);
    r3=sqrt(E)+gngauss(sgma);
end;
% the detector
max_r=max([r0 r1 r2 r3]);
if (r0==max_r),
    decis1=0;
    decis2=0;
elseif (r1==max_r),
    decis1=0;
    decis2=1;
elseif (r2==max_r),
    decis1=1;
    decis2=0;
else
    decis1=1;
    decis2=1;
end;
% count the number of bit errors made in this decision
if (decis1~=dsourcel(i)), % if it is an error, increase the error counter
    numoferr=numoferr+1;
end;
if (decis2~=dsource2(i)), % if it is an error, increase the error counter
    numoferr=numoferr+1;
end;
end;
p=numoferr/(2*N); % bit error probability estimate

```

---

#### 5.4.2 双正交信号

正如我们在前面一节所看到的,一组  $M=2^k$  个等能量的正交波形可以通过将符号区间  $T$  划分成区间为  $T/M$  的  $M$  个相等的子区间,并对每一子区间指定

一个矩形信号来构成。可以用类似的方法构成另一组  $M=2^k$  个多维信号,它们具有双正交(biorthogonal)性质。在这样的信号集合中,一半波形是正交的,而另一半则是这些正交波形的负值;也就是说,  $s_0(t), s_1(t), \dots, s_{M/2-1}(t)$  都是正交波形,而其他  $M/2$  个波形就是  $s_{i+M/2}(t) = -s_i(t), i=0, 1, \dots, M/2-1$ 。由此,得到  $M$  个信号,每个具有  $M/2$  维。

这  $M/2$  个正交波形可以很容易地通过将符号区间  $T = kT_b$  划分成  $M/2$  个不重叠的子区间,每个子区间的持续期为  $2T/M$ ,再将每一子区间指定一个矩形脉冲来实现。图 5.32 说明用这种方式构造的  $M=4$  的一组双正交波形。

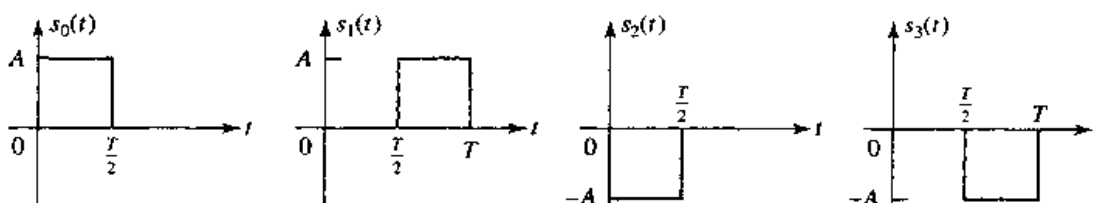


图 5.32  $M=4$  的一组双正交信号波形

以这种方式构造的一组  $M$  个信号的几何表示可用如下  $M/2$  维的信号点给出:

$$\begin{aligned}
 s_0 &= (\sqrt{\epsilon}, 0, 0, \dots, 0) \\
 s_1 &= (0, \sqrt{\epsilon}, 0, \dots, 0) \\
 &\vdots \\
 s_{M/2-1} &= (0, 0, 0, \dots, \sqrt{\epsilon}) \\
 s_{M/2} &= (-\sqrt{\epsilon}, 0, 0, \dots, 0) \\
 &\vdots \\
 s_{M-1} &= (0, 0, \dots, -\sqrt{\epsilon})
 \end{aligned} \tag{5.4.18}$$

与在正交信号情况一样,假设是经由 AWGN 信道用双正交信号传输信息,那么接收到的信号波形可以表示成

$$r(t) = s_i(t) + n(t), \quad 0 \leq t \leq T \tag{5.4.19}$$

这里  $s_i(t)$  是传输的波形,  $n(t)$  是功率谱为  $N_0/2$  (W/Hz) 的白色高斯噪声过程的一个样本函数。

### 最佳接收机

最佳接收机可通过将接收信号  $r(t)$  与  $M/2$  个双正交信号波形中的每一个作互相关,在  $t=T$  对相关器输出采样,并将  $M/2$  个相关器输出通过检测器来

实现。据此有

$$r_i = \int_0^T r(t)s_i(t)dt \quad i = 0, 1, \dots, \frac{M}{2} - 1 \quad (5.4.20)$$

假定传输的信号波形是  $s_0(t)$ , 那么

$$\begin{aligned} r_i &= \int_0^T s_i(t)dt \quad i = 0, 1, \dots, \frac{M}{2} - 1 \\ &= \begin{cases} \epsilon + n_0, & i = 0 \\ n_i, & i \neq 0 \end{cases} \end{aligned} \quad (5.4.21)$$

式中

$$n_i = \int_0^T r(t)s_i(t)dt \quad i = 0, 1, \dots, \frac{M}{2} - 1 \quad (5.4.22)$$

$\epsilon$  是每个信号波形的符号能量。噪声分量是零均值高斯噪声, 方差为  $\sigma^2 = \epsilon N_0/2$ 。

### 检测器

检测器观察到  $M/2$  个相关器的输出  $\{r_i, 0 \leq i \leq M/2 - 1\}$ , 并选出  $|r_i|$  是最大的相关器输出。假设

$$|r_j| = \max_i |r_i| \quad (5.4.23)$$

那么, 检测器就选出信号  $s_j(t)$ , 若  $r_j > 0$  和  $-s_j(t)$ , 若  $r_j < 0$ 。

为了确定差错概率, 假设传输的是  $s_0(t)$ , 那么一个正确判决概率就等于  $r_0 = \epsilon + n_0 > 0$  和  $|r_0| > |r_i|, i = 1, 2, \dots, M/2 - 1$  的概率, 因此

$$P_c = \int_0^\infty \left[ \frac{1}{\sqrt{2\pi}} \int_{-r_0\sqrt{\epsilon N_0/2}}^{r_0\sqrt{\epsilon N_0/2}} e^{-x^2/2} dx \right]^{M-1} P(r_0) dr_0 \quad (5.4.24)$$

式中

$$P(r_0) = \frac{1}{\sqrt{2\pi}\sigma} e^{-(r_0 - \epsilon)^2/(2\sigma^2)} \quad (5.4.25)$$

最后, 1 个符号差错的概率就是

$$P_M = 1 - P_c \quad (5.4.26)$$

$P_c$  和  $P_M$  可由 (5.4.24) 式和 (5.4.25) 对不同的  $M$  值用数值法求出。图 5.33 示出对  $M=2, 4, 8, 16$  和  $32$  时,  $P_M$  作为信噪比  $\epsilon_b/N_0$  的函数的图, 这里  $\epsilon = k\epsilon_b$ 。可以看出这张图与正交信号的图是相似的。然而对双正交信号来说注意到  $P_4 > P_2$ 。这是由于我们画出的是符号差错概率  $P_M$ , 如果画出等效比特差错概率的话, 就会发现  $M=2$  和  $M=4$  是重合的。

由 (5.4.24) 式和 (5.4.26) 式计算差错概率的 MATLAB 脚本给出如下。

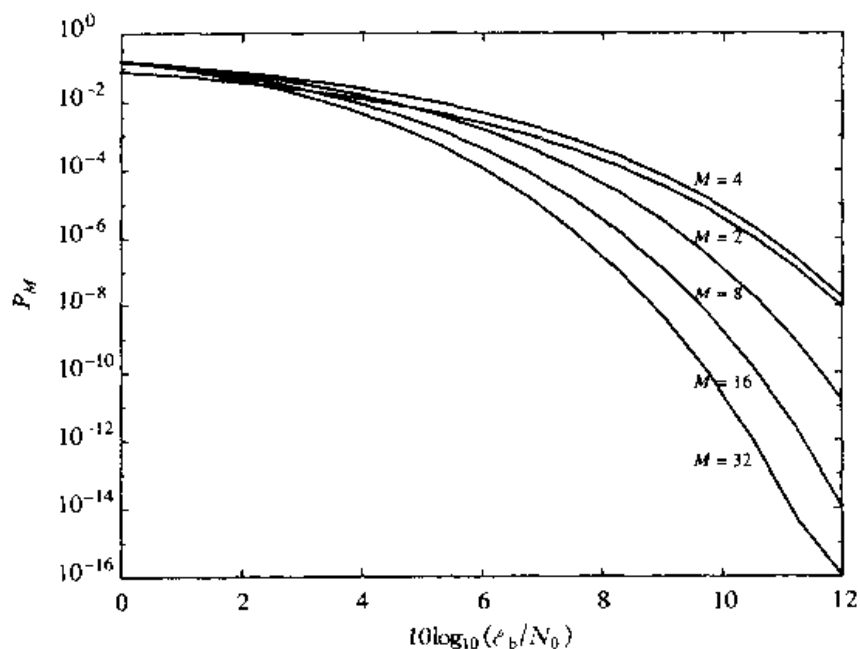


图 5.33 双正交信号的符号差错概率

## M 文件

```
% MATLAB script that generates the probability of error versus the signal to noise ratio.
initial_snr=0;
final_snr=12;
snr_step=0.75;
tolerance=eps;
plus_inf=20;
snr_in_dB=initial_snr:snr_step:final_snr;
for i=1:length(snr_in_dB),
    snr=10^(snr_in_dB(i)/10);
    Pe_2(i)=1-quad8('bdt_int2',0,plus_inf,tolerance,[ ],snr,2);
    Pe_4(i)=1-quad8('bdt_int2',0,plus_inf,tolerance,[ ],snr,4);
    Pe_8(i)=1-quad8('bdt_int2',0,plus_inf,tolerance,[ ],snr,8);
    Pe_16(i)=1-quad8('bdt_int2',0,plus_inf,tolerance,[ ],snr,16);
    Pe_32(i)=1-quad8('bdt_int2',0,plus_inf,tolerance,[ ],snr,32);
end;
% Plotting commands follow
```

## 解答题

## 解答题 5.11 [双正交信号仿真]

完成一个用  $M=4$  的双正交信号数字通信系统的 Monte Carlo 仿真。要仿

真的系统模型如图 5.34 所示。

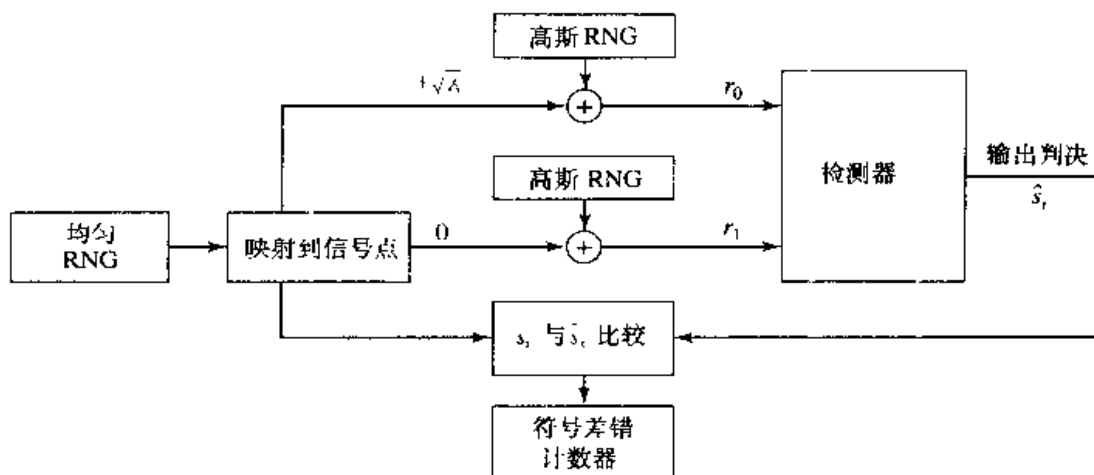


图 5.34 用于 Monte Carlo 仿真的  $M=4$  双正交信号的系统方框图

### 题 解

如图所示,先要仿真随机变量  $r_0$  和  $r_1$ ,它们构成了检测器的输入。首先产生一个等概率并互为统计独立的 0 和 1 的二进制序列,就像解答题 5.4 一样。这个二进制序列按成对比特组合,然后按下列关系映射为相应的信号分量:

$$00 \rightarrow s_0 = (\sqrt{\mathcal{E}}, 0)$$

$$01 \rightarrow s_1 = (0, \sqrt{\mathcal{E}})$$

$$10 \rightarrow s_2 = (0, -\sqrt{\mathcal{E}})$$

$$11 \rightarrow s_3 = (-\sqrt{\mathcal{E}}, 0)$$

另外也可用解答题 5.8 中的方法直接产生 2 比特的符号。

因为  $s_2 = -s_1$  和  $s_3 = -s_0$ ,所以解调仅需要两个相关器或匹配滤波器,它们的输出是  $r_0$  和  $r_1$ 。由两个高斯噪声发生器产生加性噪声分量  $n_0$  和  $n_1$ ,每一个都是零均值和方差为  $\sigma^2 = N_0\mathcal{E}/2$ 。为方便计,可将符号能量归一化到  $\mathcal{E}=1$  而改变  $\sigma^2$ 。因为  $\mathcal{E}=2\mathcal{E}_b$ ,所以有  $\mathcal{E}_b = \frac{1}{2}$ 。检测器输出与传输的比特序列比较,用差错计数器对符号差错数和比特差错数计数。

图 5.35 示出在几个不同的 SNR( $\mathcal{E}_b/N_0$ )值时,传输 20 000 个比特的仿真结果。应该注意到,仿真结果和由(5.4.26)式和(5.4.24)式给出  $P_4$  理论值的一致性。

本题的 MATLAB 脚本给出如下。

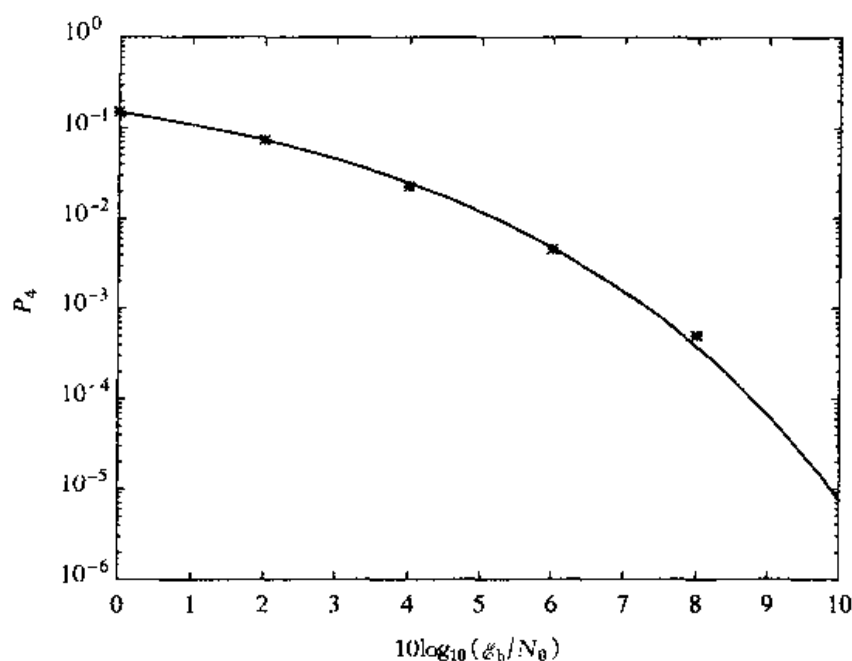


图 5.35 由 Monte Carlo 仿真对  $M=4$  双正交信号的符号差错概率与理论差错概率的比较

## M 文件

```
% MATLAB script for Illustrative Problem 5.11.
echo on
SNRindB=0:2:10;
for i=1:length(SNRindB),
    % simulated error rate
    smld_err_prb(i)=smldP511(SNRindB(i));
    echo off;
end;
echo on ;
% Plotting commands follow
```

## M 文件

```
function [p]=smldP511(snr_in_dB)
% {p}=smldP511(snr_in_dB)
%           SMLDP511 simulates the probability of error for the given
%           snr_in_dB, signal to noise ratio in dB, for the system
%           described in illustrated problem 11, Chapter 5.
M=4;           % quaternary orthogonal signalling
E=1;
```

---

```

SNR=exp(snr_in_dB*log(10)/10);           % signal to noise ratio per bit
sgma=sqrt(E^2/(4*SNR));                   % sigma, standard deviation of noise
N=10000;                                   % number of symbols being simulated
% generation of the quaternary data source
for i=1:N,
    temp=rand;                             % uniform random variable over (0,1)
    if (temp<0.25),
        dsource(i)=0;
    elseif (temp<0.5),
        dsource(i)=1;
    elseif (temp<0.75),
        dsource(i)=2;
    else
        dsource(i)=3;
    end
end;
% detection, and error probability computation
numoferr=0;
for i=1:N,
    % The matched filter outputs
    if (dsource(i)==0)
        r0=sqrt(E)+gngauss(sgma);
        r1=gngauss(sgma);
    elseif (dsource(i)==1)
        r0=gngauss(sgma);
        r1=sqrt(E)+gngauss(sgma);
    elseif (dsource(i)==2)
        r0=-sqrt(E)+gngauss(sgma);
        r1=gngauss(sgma);
    else
        r0=gngauss(sgma);
        r1=-sqrt(E)+gngauss(sgma);
    end;
    % detector follows
    if (r0>abs(r1)),
        decis=0;
    elseif (r1>abs(r0)),
        decis=1;
    elseif (r0<-abs(r1)),
        decis=2;
    else
        decis=3;
    end;
    if (decis~=dsource(i)),                 % if it is an error, increase to the error counter
        numoferr=numoferr+1;
    end;
end;
p=numoferr/N;                             % bit error probability estimate

```

---

## 习 题

- 5.1 假定用图 5.2 中所示的两个正交信号经由一 AWGN 信道传输二进制信息,在持续期  $T_b$  的每一比特区间接收到的信号由(5.2.1)式给出。假设接收信号波形以  $10/T_b$  速率采样,也即每比特区间内 10 个样本,所以在离散时间内,幅度为  $A$  的信号波形  $s_0(t)$  用 10 个样本  $(A, A, \dots, A)$  表示,而信号波形  $s_1(t)$  由 10 个样本  $(A, A, A, A, A, -A, -A, -A, -A, -A)$  表示。这样,当传输  $s_0(t)$  时,接收序列的采样形式是

$$r_k = A + n_k, \quad k = 1, 2, \dots, 10$$

而当传输  $s_1(t)$  时是

$$r_k = \begin{cases} A + n_k, & 1 \leq k \leq 5 \\ -A + n_k, & 6 \leq k \leq 10 \end{cases}$$

这里序列  $\{n_k\}$  是独立同分布(i. i. d)的零均值,每一随机变量具有方差  $\sigma^2$  的高斯过程。写一个 MATLAB 程序,它对两种可能接收信号的每一种产生序列  $\{r_k\}$ ,在不同的加性高斯噪声方差值  $\sigma^2 = 0, \sigma^2 = 0.1, \sigma^2 = 1.0$  和  $\sigma^2 = 2.0$  下,完成序列  $\{r_k\}$  与由采样形式所表示的两种可能信号  $s_0(t)$  和  $s_1(t)$  中每一种的离散时间相关。信号幅度可以归一化到  $A = 1$ 。在时刻  $k = 1, 2, 3, \dots, 10$  画出相关器的输出。

- 5.2 对于图 P5.2 所示的两个信号波形  $s_0(t)$  和  $s_1(t)$  重做习题 5.1。描述一下这组两个信号和图 5.2 中的两个信号之间的类似和差异。从传输二进制信息信号的序列的观点来看,一组比另一组信号更好一些吗?

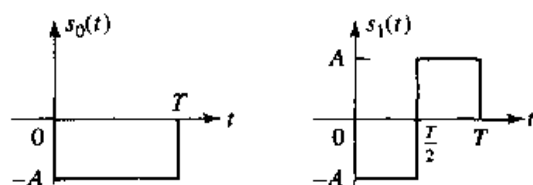


图 P5.2

- 5.3 本题的目的是在习题 5.1 中用两个匹配滤波器来替换两个相关器,产生信号的情况与习题 5.1 相同。写一个 MATLAB 程序,它对两种可能接收信号的每一种产生序列  $\{r_k\}$ ,在不同的加性高斯噪声方差值  $\sigma^2 = 0, \sigma^2 = 0.1, \sigma^2 = 1.0$  和  $\sigma^2 = 2.0$  下,完成序列  $\{r_k\}$  与由采样形式所表示的两种可能信号  $s_0(t)$  和  $s_1(t)$  中每一种的离散时间匹配滤波。信号幅度可以归一



化到1。在对应于  $k=1, 2, \dots, 10$  的时间瞬时,画出相关器的输出。

- 5.4 对于图 P5.2 的信号波形,重做习题 5.3。
- 5.5 运行一个 MATLAB 程序,它完成示于图 5.8,基于正交信号的二进制通信系统的 Monte Carlo 仿真。仿真对 10 000 个比特实行,并测量在  $\sigma^2=0$ ,  $\sigma^2=0.1$ ,  $\sigma^2=1.0$  和  $\sigma^2=2.0$  时的差错概率。画出理论误码率和由 Monte Carlo 仿真测得的误码率,并比较这两个结果。另外画出在每种  $\sigma^2$  值时,在检测器输入端 1 000 个接收到的信号加噪声的样本。
- 5.6 对基于反极性信号的示于图 5.13 的二进制通信系统重做习题 5.5。
- 5.7 对基于开关信号的二进制通信系统重做习题 5.5。
- 5.8 运行一个 MATLAB 程序,完成一个  $M=4$  的 PAM 通信系统的仿真。仿真对 10 000 个符号(20 000 比特)实行,并测量在  $\sigma^2=0$ ,  $\sigma^2=0.1$ ,  $\sigma^2=1.0$  和  $\sigma^2=2.0$  时的符号差错概率。画出理论误码率和由 Monte Carlo 仿真测得的差错,并比较这些结果。另外画出在每种  $\sigma^2$  值时,在检测器输入端 1 000 个接收到的信号加噪声的样本。
- 5.9 修改习题 5.8 中的 MATLAB 程序用于仿真  $M=8$  PAM 的信号,完成 Monte Carlo 仿真的其他数据同习题 5.8。
- 5.10 按解说题 5.10 所述,运行一 MATLAB 程序实现用  $M=4$  的正交信号的数字通信系统的 Monte Carlo 仿真。完成对 10 000 符号(20 000 比特)的仿真,并测量在  $\sigma^2=0.1$ ,  $\sigma^2=1.0$  和  $\sigma^2=2.0$  时的比特差错概率。画出理论差错概率和由 Monte Carlo 仿真测得的误码率,并比较这些结果。
- 5.11 考虑示于图 P5.11 中的 4 种信号波形,证明:这 4 种信号波形都是互为正交的。习题 5.10 中的 Monte Carlo 仿真结果适用于这些信号吗? 为什么?

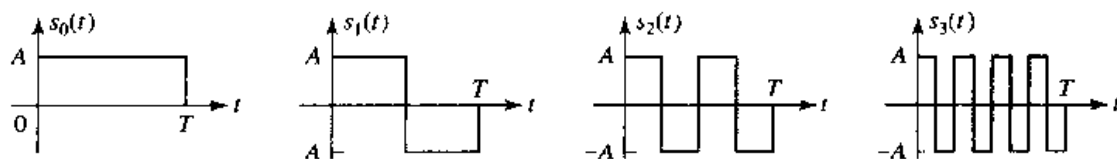


图 P5.11

- 5.12 按解说题 5.11 所述,运行一 MATLAB 程序,实现用  $M=4$  的双正交信号的数字通信系统的 Monte Carlo 仿真。仿真对 10 000 符号(20 000 比特)进行,并测量在  $\sigma^2=0.1$ ,  $\sigma^2=1.0$  和  $\sigma^2=2.0$  时的符号差错概率。画出理论符号差错概率和由 Monte Carlo 仿真所测得的误码率,并比较这些结果。另外再画出在每一  $\sigma^2$  值时,在检测器输入端 1 000 个接收到的信号加噪声的样本。

5.13 考虑示于图 P5.13 的 4 种信号波形,证明它们是双正交的。习题 5.12 的 Monte Carlo 仿真结果适用于这组 4 种信号波形吗?为什么?

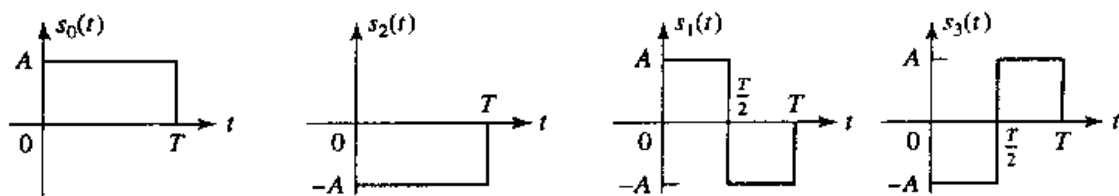


图 P5.13

# 第 6 章 带限信道的数字传输

## 6.1 概述

这一章要讨论通过带宽有限信道进行数字传输的几个方面的问题。首先叙述有关 PAM 信号的频谱特性,接着考虑带限信道的性质和针对这一信道的信号波形设计问题,然后讨论为补偿因带限信道引起的失真的信道均衡器的设计问题。将要指出,信道失真会导致码间干扰(ISI),这又会引起解调信号的误码。信道均衡器就是用于减少码间干扰的一种装置,由此而降低解调数据序列的误码率。

## 6.2 数字 PAM 信号的功率谱

在前面一章曾考虑过用脉冲幅度调制(PAM)的数字信息的传输,这一节要研究这类信号的频谱特性。

在一条通信信道输入端的数字(PAM)信号一般可表示为

$$v(t) = \sum_{n=-\infty}^{\infty} a_n g(t - nT) \quad (6.2.1)$$

式中  $\{a_n\}$  是对应于信源信息符号的幅度序列,  $g(t)$  是一脉冲波形,而  $T$  是符号速率的倒数,  $T$  也称为符号区间。 $\{a_n\}$  中的每一个元素是从可能的幅度值中选出来的一个,它们是

$$A_m = (2m - M + 1)d, \quad m = 0, 1, \dots, M - 1 \quad (6.2.2)$$

这里  $d$  是某一加权因子,以决定任意信号幅度对之间的欧氏距离( $2d$  是任意相邻信号幅度电平之间的欧氏距离)。

因为信息序列是一个随机序列,所以对应于信源信息符号的幅度序列  $\{a_n\}$  也是随机的。这样,PAM 信号  $v(t)$  就是随机过程  $V(t)$  的一个样本函数。为了确定该随机过程  $V(t)$  的频谱特性,就必须求出功率谱。

首先,  $V(t)$  的均值是

$$E[V(t)] = \sum_{n=-\infty}^{\infty} E(a_n) g(t - nT) \quad (6.2.3)$$

如若按(6.2.2)式所给出的选取关于零对称的信号幅度,且为等概率的话,那么就有  $E(a_n) = 0$ ,从而有  $E[V(t)] = 0$ 。

$V(t)$ 的自相关函数是

$$R_v(t + \tau; t) = E[V(t)V(t + \tau)] \quad (6.2.4)$$

有关数字通信的很多教科书中都有证明;自相关函数是一个以变量  $t$ , 周期为  $T$  的周期函数。具有周期性均值和周期性自相关函数的随机过程称为**周期平稳**的随机过程。在单一周期内平均  $R_v(t + \tau; t)$  可以将变量  $t$  消去, 即

$$\bar{R}_v(t) = \frac{1}{T} \int_{T/2}^{T/2} R_v(t + \tau; t) dt \quad (6.2.5)$$

这个平均自相关函数对 PAM 信号可表示为

$$\bar{R}_v(\tau) = \frac{1}{T} \sum_{m=-\infty}^{\infty} R_a(m) R_g(\tau - mT) \quad (6.2.6)$$

式中  $R_a(m) = E(a_n a_{n+m})$  是序列  $\{a_n\}$  的自相关, 而  $R_g(\tau)$  定义为

$$R_g(\tau) = \int_{-\infty}^{\infty} g(t)g(t + \tau)dt \quad (6.2.7)$$

$V(t)$  的功率谱就是平均自相关函数  $\bar{R}_v(\tau)$  的傅里叶变换, 即

$$\begin{aligned} \mathcal{S}_v(f) &= \int_{-\infty}^{\infty} \bar{R}_v(\tau) e^{-j2\pi f\tau} d\tau \textcircled{1} \\ &= \frac{1}{T} \mathcal{S}_a(f) |G(f)|^2 \end{aligned} \quad (6.2.8)$$

式中  $\mathcal{S}_a(f)$  是幅度序列  $\{a_n\}$  的功率谱, 而  $G(f)$  是脉冲  $g(t)$  的傅里叶变换。 $\mathcal{S}_a(f)$  定义为

$$\mathcal{S}_a(f) = \sum_{m=-\infty}^{\infty} R_a(m) e^{-j2\pi f m T} \quad (6.2.9)$$

由(6.2.8)式可见, PAM 信号的功率谱是信息符号  $\{a_n\}$  的功率谱和脉冲  $g(t)$  的谱的函数。在序列  $\{a_n\}$  不相关的特殊情况下, 即

$$R_a(m) = \begin{cases} \sigma_a^2, & m = 0 \\ 0, & m \neq 0 \end{cases} \quad (6.2.10)$$

这里  $\sigma_a^2 = E(a_n^2)$ , 就有对全部  $f$ ,  $\mathcal{S}_a(f) = \sigma_a^2$  和

$$\mathcal{S}_v(f) = \frac{\sigma_a^2}{T} |G(f)|^2 \quad (6.2.11)$$

这里,  $V(t)$  的功率谱就完全由脉冲  $g(t)$  的频谱特性所决定。

① 译者注:原著此处为“dt”。

### 解说题

#### 解说题 6.1[PAM 功率谱]

当  $\{a_n\}$  是一个不相关序列和  $g(t)$  是一个如图 6.1 所示的矩形脉冲时, 求  $V(t)$  的功率谱。

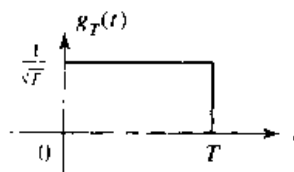


图 6.1 发送脉冲

### 题解

$g(t)$  的傅里叶变换是

$$\begin{aligned} G(f) &= \int_{-\infty}^{\infty} g(t) e^{-j2\pi ft} dt \\ &= \sqrt{T} \frac{\sin(\pi fT)}{\pi fT} e^{-j\pi fT} \end{aligned} \quad (6.2.12)$$

和

$$S_v(f) = \sigma_a^2 \left( \frac{\sin(\pi fT)}{\pi fT} \right)^2 \quad (6.2.13)$$

这个功率谱如图 6.2 所示。

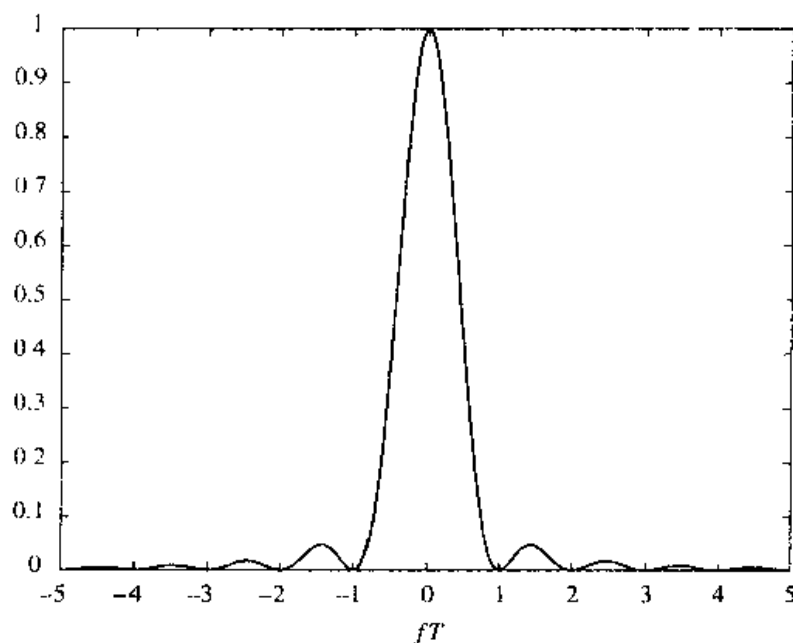


图 6.2 解说题 6.1 中传输信号的功率谱 ( $\sigma_a^2 = 1$ )

计算本题的 MATLAB 脚本给出如下。

## VI 文件

```
% MATLAB script for Illustrative Problem 6.1.
echo on
T=1;
delta_f=1/(100*T);
f=-5/T:delta_f:5/T;
sgma_a=1;
Sv=sgma_a^2*sinc(f*T).^2;
% plotting command follows
plot(f,Sv);
```

## 解说题

### 解说题 6.2[PAM 功率谱]

假设序列  $\{a_n\}$  的自相关函数是

$$R_a(m) = \begin{cases} 1, & m = 0 \\ \frac{1}{2}, & m = 1, -1 \\ 0, & \text{其余 } m \end{cases} \quad (6.2.14)$$

$g(t)$  如图 6.1 所示的矩形脉冲, 求  $\mathcal{S}_v(f)$ 。

## 题 解

PAM 信号  $V(t)$  的功率谱由 (6.2.8) 式给出。根据 (6.2.9) 式和 (6.2.14) 式, 序列  $\{a_n\}$  的功率谱是

$$\begin{aligned} \mathcal{S}_a(f) &= 1 + \cos(2\pi fT) \\ &= 2\cos^2(\pi fT) \end{aligned} \quad (6.2.15)$$

结果得到

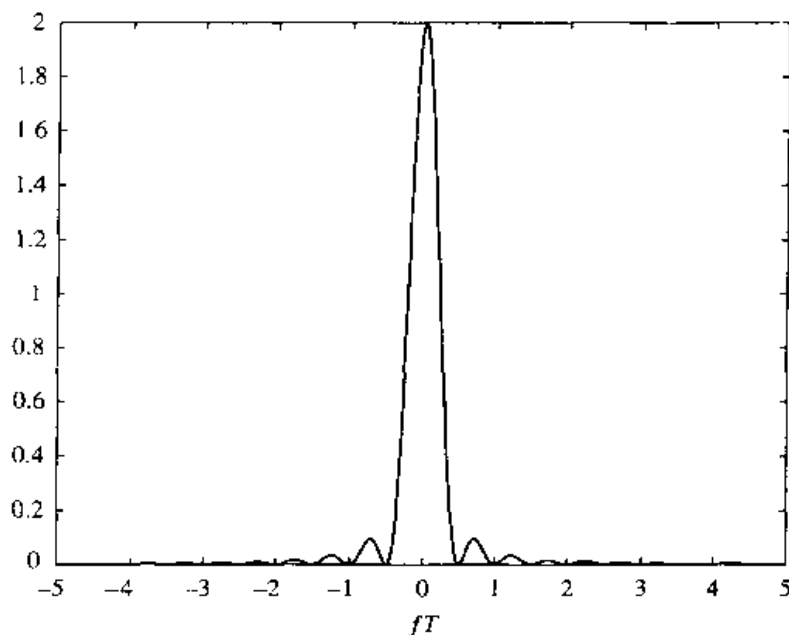
$$\mathcal{S}_v(f) = 2\cos^2(\pi fT) \left( \frac{\sin(\pi fT)}{\pi fT} \right)^2 \quad (6.2.16)$$

这一功率谱如图 6.3 所示。

完成本题计算的 MATLAB 脚本给出如下。这种情况传输信号  $V(t)$  的整个功率谱明显地比图 6.2 的谱要窄。

## VI 文件

```
% MATLAB script for Illustrative Problem 6.2.
echo on
T=1;
delta_f=1/(100*T);
```

图 6.3 解答题 6.2 中传输信号的功率谱( $\sigma_a^2 = 1$ )

```
f=-5/T:delta_f/5/T;
Sv=2*(cos(pi*f*T).*sinc(f*T)).^2;
% plotting command follows
plot(f,Sv);
```

### 6.3 带限信道特性和信道失真

许多通信信道(其中包括电话信道和某些无线信道)一般来说都可以用带限线性滤波器来表征。因此,此类信道可用它们的频率响应  $C(f)$  表示为

$$C(f) = A(f)e^{j\theta(f)} \quad (6.3.1)$$

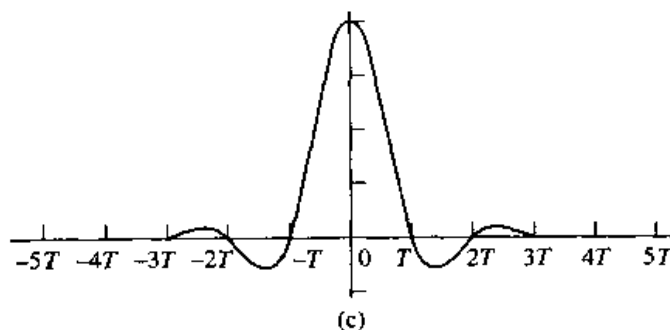
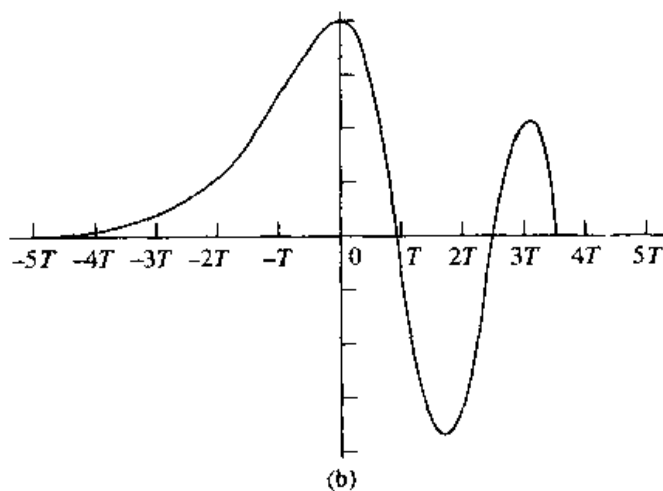
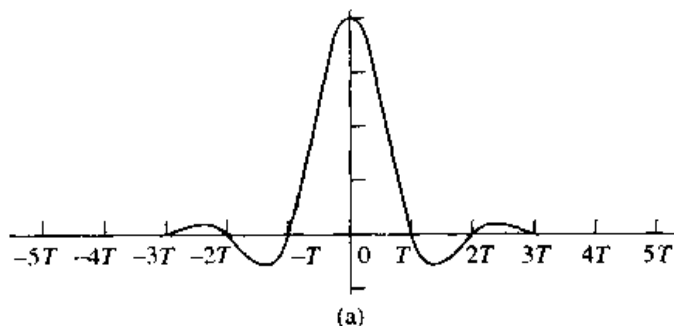
这里  $A(f)$  称为幅度响应,  $\theta(f)$  称为相位响应。有时也用包络延时或群延时来代替相位特性,其定义为

$$\tau(f) = -\frac{1}{2\pi} \frac{d\theta(f)}{df} \quad (6.3.2)$$

如果在传输信号所占有的带宽  $W$  内具有  $A(f) = \text{常数}$  和  $\theta(f)$  是频率的线性函数(或者包络延时  $\tau(f) = \text{常数}$ ),那么就说信道是无失真或理想的。另一方面,若  $A(f)$  和  $\tau(f)$  在传输信号占有的带宽内不是常数,那么信道就会使信号失真。若  $A(f)$  不是常数,这个失真称为幅度失真;若  $\tau(f)$  不是常数,则在传输信号上的失真称为延时失真。

由非理想信道频率响应特性  $C(f)$  所引起的幅度和延时失真的一个结果就

是,在传输信号的速率与信道带宽  $W$  可比拟的情况下,连续传输的脉冲波形会受到破坏,以使得在接收端各前后脉冲不再能清晰分隔开,或者说它们互相重叠了,所以就有了码间干扰。作为延时失真对一个传输脉冲影响的一个例子,图 6.4(a)说明了具有在标定的时刻点  $\pm T, \pm 2T, \dots$  等等上周期性为 0 的带限脉冲的情况。当信息是用脉冲幅度携带时(如在 PAM 中),可能传输一个脉冲串,其中每个脉冲都在其他脉冲的周期零值上有一个峰值。然而,经过具有线性包



#### 6.4 信道失真的影响

(a) 信道输入; (b) 信道输出; (c) 均衡器输出



络延时特性( $\theta(f)$ 为二次相位特性)的信道传输这个脉冲会形成图 6.4(b)所示的接收脉冲,它的零值交替点不再是周期性分隔的了,结果持续不断的一个脉冲就会互相受到破坏,各脉冲的峰值不再会清晰可辨。因此,信道延时失真就会形成码间干扰。在本章将要讨论,有可能在解调器中使用一个滤波器或均衡器来补偿信道的非理想频率响应特性。图 6.4(c)说明用于补偿在信道中线性失真的一个线性均衡器的输出。

作为一个例子,考虑某一电话信道的码间干扰。图 6.5 示出的是对交换电信网络一个电话信道测得的平均幅度和延时作为频率函数的特性。可以看到可用的信道频带大约从 300 Hz 到 3 200 Hz。这个平均信道的冲激响应如图 6.6 所示,其持续时间大约 10 ms。比较一下,在这类信道上传输的符号率可以在每秒 2 500 个脉冲或符号的量级上,码间干扰可能会达到 20 到 30 个符号以上。

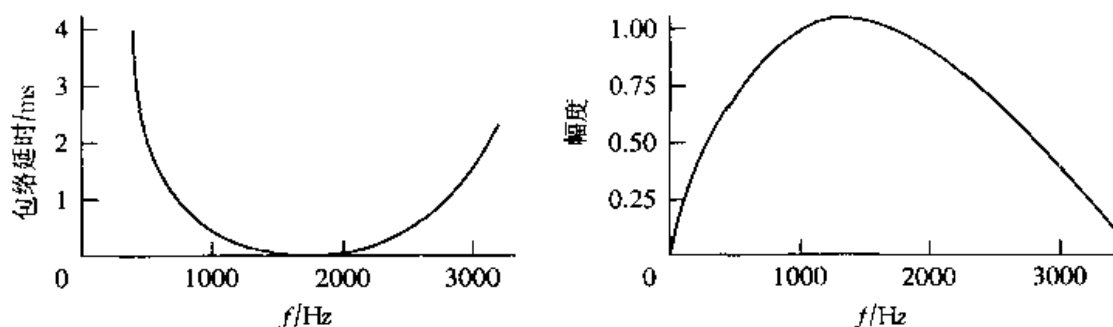


图 6.5 一中距离电话信道的平均幅度和延时特性

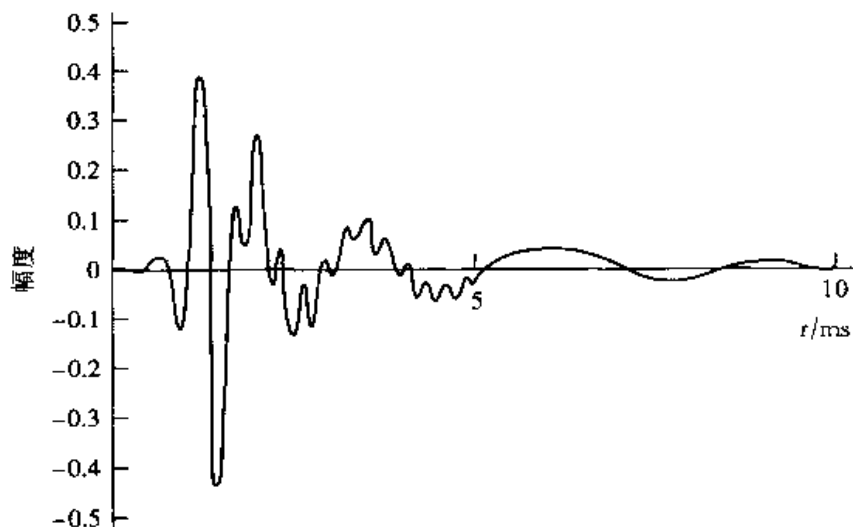


图 6.6 具有图 6.5 幅度和延时特性的平均信道的冲激响应

除了电话信道外,还有其他的物理信道也呈现有某些时间弥散的形式,从而引入码间干扰。诸如短波电离层传播(HF),对流层散射和移动蜂窝无线电等这

些无线信道就是时间弥散的无线信道的 3 个例子。在这些信道中,时间弥散(从而码间干扰)是由于具有不同路径延时的多传播路径所引起的。路径的数目和路径之间的相对时间延时都随时间而变化,为此,这类无线信道通常称为时变多径信道。时变多径的情况就会招致各种各样的频率响应特性,这样用于电话信道的频率响应特性对时变多径信道就不合适。取而代之的是这些无线信道是用散射函数统计地给予表征的;简单地说,散射函数是作为相对时间延时和多普勒频率分布函数的平均接收信号的一个二维表示。

为了说明,图 6.7 示出某一中等距离(150 哩,约为 241.4 公里)对流层散射信道测得的某一散射函数。平均信道响应的总持续时间(多径分布)大约为  $0.7 \mu\text{s}$ ,在多普勒频率半功率点之间的分布在最强的路径上略小于  $1\text{Hz}$ ,在其他路径稍许大一点。典型情况是,如果在此类信道上传输速率是  $10^7$  符号/s,而多径扩散在  $0.7 \mu\text{s}$  将导致跨大约 7 个符号的码间干扰。

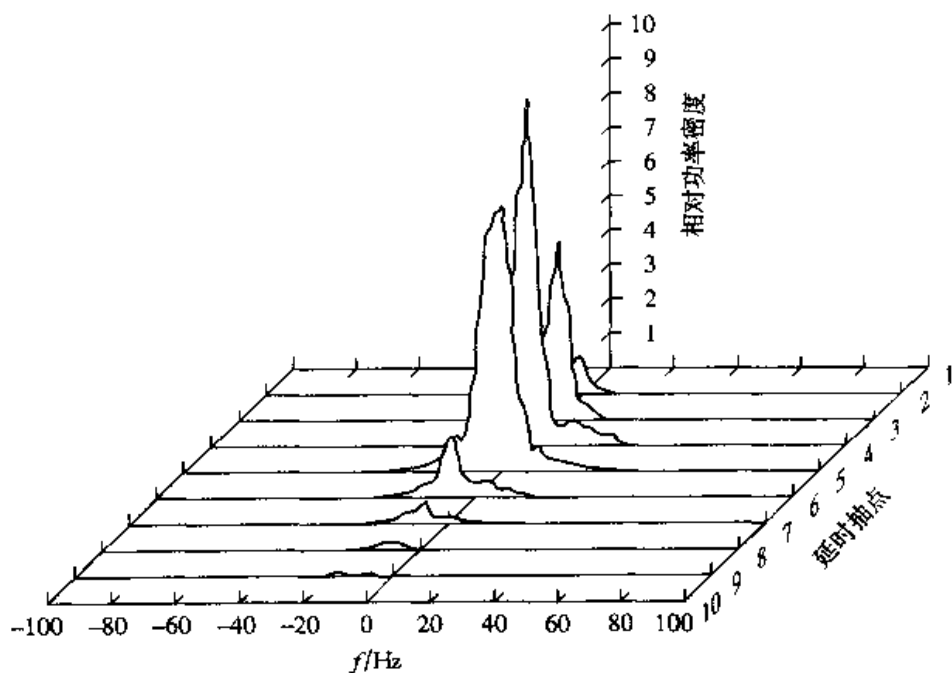


图 6.7 一中等距离对流层散射信道的散射函数

### 解说题

#### 解说题 6.3[作为一个滤波器的信道]

正如早先指出的,一个带限通信信道可以作为一个线性滤波器来建模,该滤波器的频率响应特性与信道的频率响应特性相匹配。可以用 MATLAB 设计有限脉冲响应(FIR)或无限脉冲响应(IIR)数字滤波器来近似模拟通信信道的频

率响应特性。假定想要对一个具有幅度响应  $A(f) = 1, |f| \leq 2\,000\text{ Hz}$  和  $A(f) = 0, |f| > 2\,000\text{ Hz}$ , 对所有  $f$  为恒定延时(线性相位)的理想信道建模, 对数字滤波器的采样频率选为  $F_s = 10\,000\text{ Hz}$ 。因为要求有线性相位, 所以仅能用 FIR 滤波器才能满足。然而, 在阻带内不可能达到零响应, 因此代之以选择阻带响应是  $-40\text{ dB}$ , 阻带频率是  $2\,500\text{ Hz}$ 。另外, 在通带内容许有一小的量, 即  $0.5\text{ dB}$  的起伏。设计一个滤波器满足这些特性。

### 题 解

满足这些指标要求的, 长度  $N = 41$  的 FIR 滤波器的脉冲响应和频率响应如图 6.8 所示。因为  $N$  是奇数, 所以通过滤波器的延时是  $(N + 1)/2$ , 这相应于在采样频率  $F_s = 10\text{ kHz}$  下  $(N + 1)/20\text{ ms}$  的时间延时。本例中, FIR 滤波器是采用切比雪夫近似(Remez 算法), 用 MATLAB 设计的。

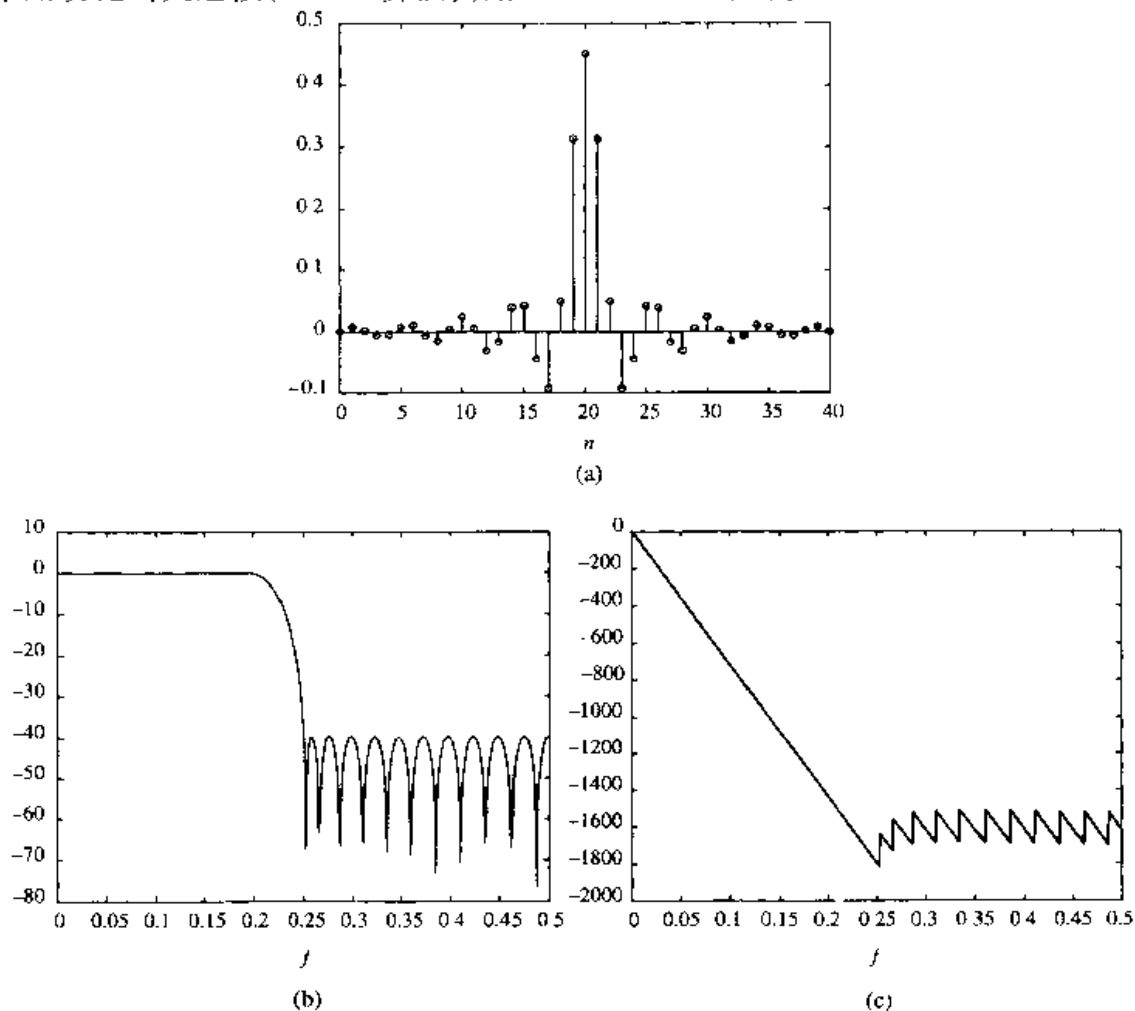


图 6.8 解说题 6.3 中具有线性相位 FIR 滤波器的脉冲、幅度、相位响应

(a) 脉冲响应; (b) 幅度响应; (c) 相位响应

本题的 MATLAB 脚本给出如下。

### M 文件

```
% MATLAB script for Illustrative Problem 6.3.
echo on
f_cutoff=2000;           % the desired cut-off frequency
f_stopband=2500;         % the actual stopband frequency
fs=10000;                % the sampling frequency
f1=2*f_cutoff/fs;        % the normalized passband frequency
f2=2*f_stopband/fs;      % the normalized stopband frequency
N=41;                    % this number is found by experiment
F=[0 f1 f2 1];
M=[1 1 0 0];             % describes the low-pass filter
B=remez(N-1,F,M);        % returns the FIR tap coefficients
% plotting command follows
figure(1);
[H,W]=freqz(B);
H_in_dB=20*log10(abs(H));
plot(W/(2*pi),H_in_dB);
figure(2);
plot(W/(2*pi),(180/pi)*unwrap(angle(H)));
% plot of the impulse response follows
figure(3);
plot(zeros(size([0:N-1])));
hold;
stem([0:N-1],B);
```

### 解说题

#### 解说题 6.4[作为一个滤波器的信道]

设计一个逼近所期望的信道特性的 FIR 滤波器的另一种方法是基于窗函数法。具体一点,若期望信道特性是  $C(f)$ ,  $|f| \leq W$  和  $C(f) = 0$ ,  $|f| > W$ , 那么信道的脉冲响应是

$$h(t) = \int_{-W}^W C(f) e^{j2\pi ft} df \quad (6.3.3)$$

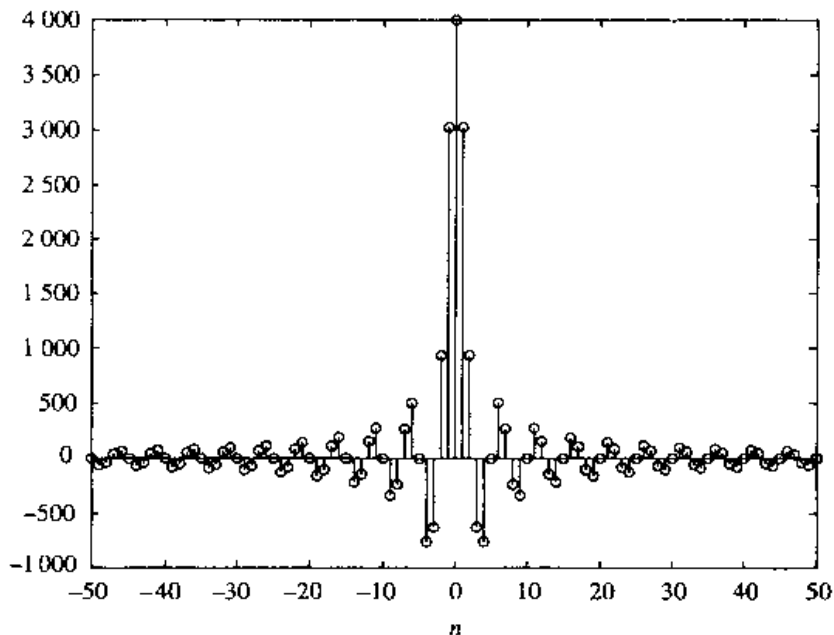
例如,若信道是理想的,则  $C(f) = 1$ ,  $|f| \leq W$ , 所以

$$h(t) = \frac{\sin(2\pi Wt)}{\pi t} \quad (6.3.4)$$

可以通过在  $t = nT_s$  对  $h(t)$  采样来实现一个等效的数字滤波器,这里  $T_s$  是采样时间间隔,  $n = 0, \pm 1, \pm 2, \dots$ 。试用  $W = 2000$  Hz 和  $F_s = 1/T_s = 10$  kHz 设计一 FIR 滤波器。

## 题解

$h(t)$ 的采样  $h_n \triangleq h(nT)$  如图 6.9 所示。因为  $|h_n|$  为无限长, 可以在某个长度  $N$  将其截断。这个截断就相当于将  $\{h_n\}$  乘以矩形窗序列  $w_n$ , 这里  $w_n = 1, |n| \leq (N-1)/2$  和  $w_n = 0, |n| \geq (N+1)/2$ 。这个截断后的 FIR 滤波器的脉冲响应  $\{h_n^1 = w_n h_n\}$  和对应的频率响应如图 6.10 所示 ( $N = 51$ )。注意到截断滤波器在阻带有大的旁瓣, 所以这个 FIR 滤波器对所期望的信道特性来说是一个不够好的近似。使用比较平滑的窗函数, 如 Hanning 窗或 Hamming 窗, 来截断理想信道响应, 可以大大降低旁瓣的大小。图 6.11 示出的是使用  $N = 51$  的 Hanning 窗函数时,  $\{h_n^1 = w_n h_n\}$  的脉冲响应和频率响应。MATLAB 提供了有关子程序, 可以实现几个不同形式的窗函数。

图 6.9 解说题 6.4 中  $h(n)$  的样本

## M 文件

```
% MATLAB script for Illustrative Problem 6.4.
echo on
Length=101;
Fs=10000;
W=2000;
Ts=1/Fs;
n=-(Length-1)/2:(Length-1)/2;
```

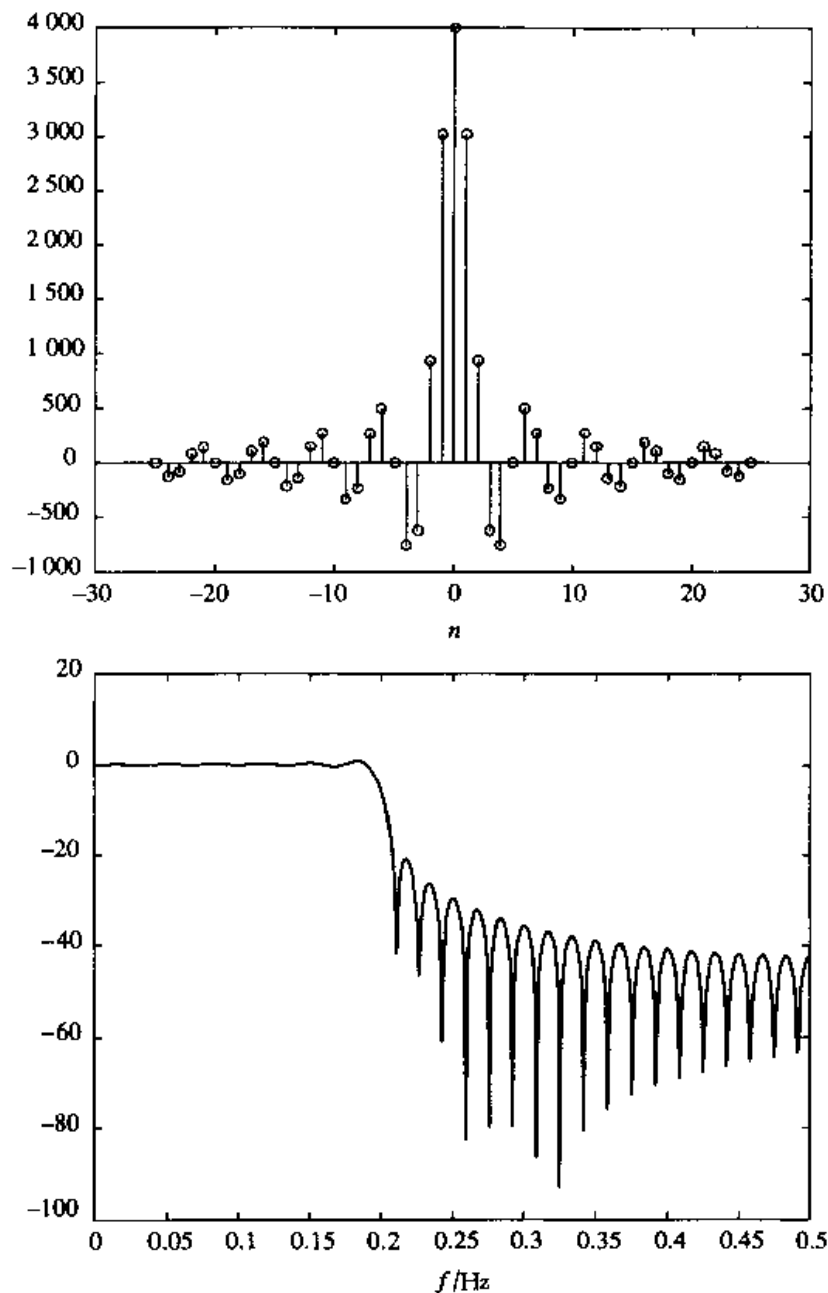


图 6.10 解说题 6.4 中用矩形窗截断的滤波器的脉冲响应和频率响应

```

t=Ts*n;
h=2*W*sinc(2*W*t);
% The rectangular windowed version follows...
N=61;
rec_windowed_h=h((Length-N)/2+1:(Length+N)/2);
% Frequency response of rec_windowed_h follows
[rec_windowed_H,W1]=freqz(rec_windowed_h,1);
% to normalize the magnitude

```

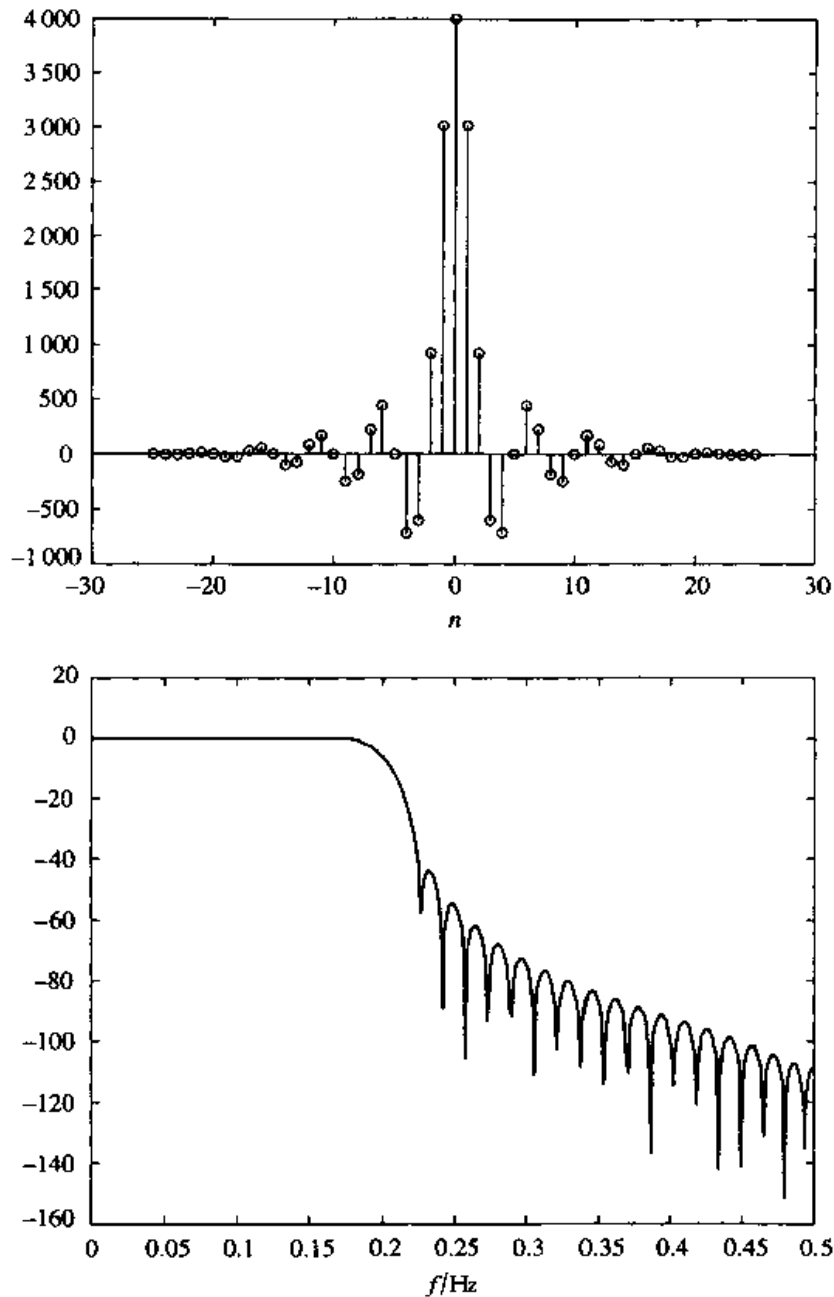


图 6.11 解答题 6.4 中用 Hanning 窗截断的滤波器的脉冲响应和频率响应

```

rec_windowed_H_in_dB=20*log10(abs(rec_windowed_H)/abs(rec_windowed_H(1)));
% The Hanning windowed version follows...
hanning_window=hanning(N);
hanning_windowed_h=h((Length-N)/2+1:(Length+N)/2).*hanning_window.';
[hanning_windowed_H,W2]=freqz(hanning_windowed_h,1);
hanning_windowed_H_in_dB=20*log10(abs(hanning_windowed_H)/abs(hanning_windowed_H(1)));
% the plotting commands follow

```

## 解答题

## 解答题 6.5[多径信道仿真]

两条路径(多路径)的无线信道可按图 6.12 在时域给予建模 它的冲激响应可表示为

$$c(t, \tau) = b_1(t)\delta(\tau) + b_2(t)\delta(\tau - \tau_d) \quad (6.3.5)$$

式中  $b_1(t)$  和  $b_2(t)$  都是随机过程, 它们代表信道的时变传播行为,  $\tau_d$  是两条多径分量之间的延时。在计算机上仿真这样的信道。

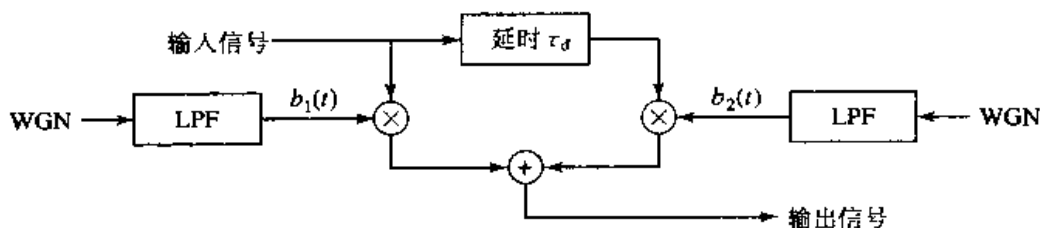


图 6.12 两条路径的无线信道模型

## 题解

将白色高斯噪声过程通过低通滤波器(LPF)产生高斯随机过程来仿真  $b_1(t)$  和  $b_2(t)$ , 在离散时间, 可以相对简单地用白高斯噪声(WGN)序列激励数字 IIR 滤波器来实现。例如, 具有两个相同极点的简单低通滤波器用  $z$  变换可表示为

$$H(z) = \frac{(1-p)^2}{(1-pz^{-1})^2} = \frac{(1-p)^2}{1-2pz^{-1}+p^2z^{-2}} \quad (6.3.6)$$

或者对应的差分方程是

$$b_n = 2pb_{n-1} - p^2b_{n-2} + (1-p)^2w_n \quad (6.3.7)$$

这里  $\{w_n\}$  是输入 WGN 序列,  $\{b_n\}$  是输出序列,  $p(0 < p < 1)$  是极点位置。极点的位置控制该滤波器的带宽, 从而也就是  $\{b_n\}$  的变化速率。当  $p$  靠近 1 (即接近单位圆) 时, 滤波器的带宽就窄; 而当  $p$  靠近 0 时, 带宽就宽。所以, 当  $p$  在  $z$  平面内接近单位圆时, 滤波器的输出序列的变化就比当  $p$  接近于原点时要更慢一些。

图 6.13 示出当  $p=0.99$  时, 将统计独立的 WGN 序列通过该滤波器所产生的输出序列  $\{b_{1n}\}$  和  $\{b_{2n}\}$ , 同时也示出离散时间信道脉冲响应  $\{c_n\}$

$$c_n = b_{1,n} + b_{2,n-d} \quad (6.3.8)$$

在  $d=5$  个样本延时的图。图 6.14 是  $p=0.9$  时, 序列  $\{b_{1n}\}$ ,  $\{b_{2n}\}$  和  $\{c_n\}$  的图。



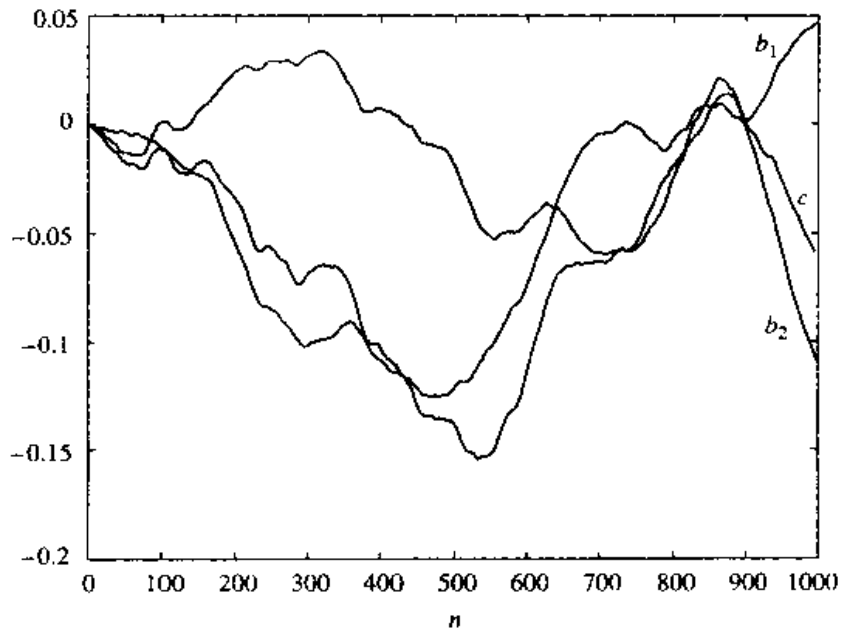


图 6.13 当  $p=0.99$  时,低通滤波器的输出序列  $b_{1n}$  和  $b_{2n}$ ,及其所产生的  $c_n$

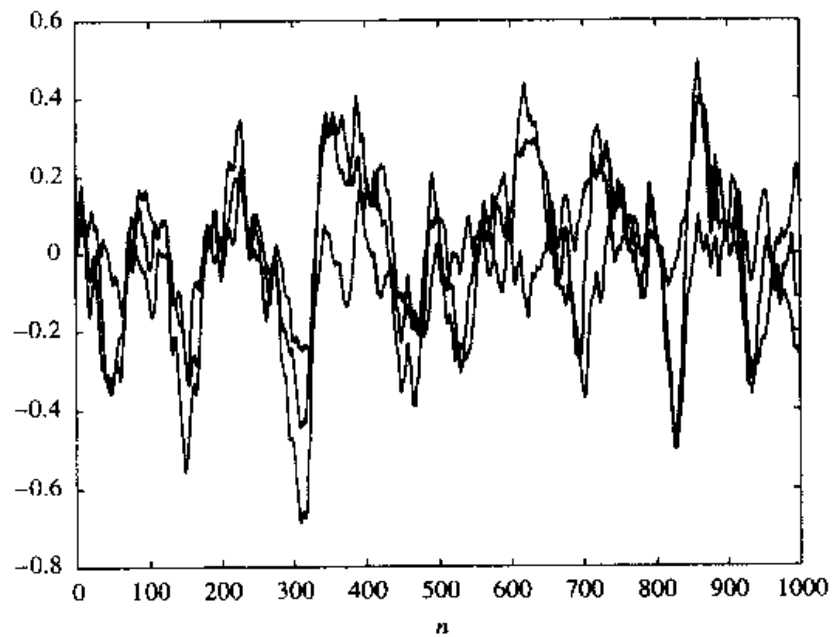


图 6.14  $p=0.9$  时的输出序列  $b_{1n}$ ,  $b_{2n}$  和  $c_n$  (在  $n=1\ 000$  时, 由上至下分别为  $b_{1n}$ ,  $c_n$  和  $b_{2n}$ )

## 6.4 码间干扰的特性

在数字通信系统中,信道失真会导致码间干扰(ISI)。这一节要给出表征 ISI 的一种模型。为简单起见,假定传输的信号是基带 PAM 信号。然而,这一论述是很容易推广到下一章要讨论的载波(线性)调制信号中去的。

传输的 PAM 信号表示为

$$s(t) = \sum_{n=-\infty}^{\infty} a_n g(t - nT) \quad (6.4.1)$$

式中  $g(t)$  是要选择的基本脉冲形状,用于控制传输信号的频谱特性。 $\{a_n\}$  是由  $M$  点组成的信号星座图中选取的传输信息符号的序列。 $T$  是信号间隔( $1/T$  就是符号率)。

在一基带信道上传输信号  $s(t)$ ,该基带信道可用频率响应  $c(f)$  表征。这样,接收信号可表示成

$$r(t) = \sum_{n=-\infty}^{\infty} a_n h(t - nT) + w(t) \quad (6.4.2)$$

这里  $h(t) = g(t) * c(t)$ ,  $c(t)$  是信道的冲激响应,  $*$  代表卷积,而  $w(t)$  代表在信道中的加性噪声。为了表征 ISI,假设接收信号通过一接收滤波器,然后以  $f/T$  样本/s 的采样频率采样。一般来说,在接收端最佳滤波器是与接收信号脉冲  $h(t)$  匹配的,所以这个滤波器的频率响应是  $H^*(f)$ 。把滤波器的输出表示为

$$y(t) = \sum_{n=-\infty}^{\infty} a_n x(t - nT) + v(t) \quad (6.4.3)$$

这里  $x(t)$  是接收滤波器的信号脉冲响应,即  $X(f) = H(f)H^*(f) = |H(f)|^2$ ,  $v(t)$  是接收滤波器对噪声  $w(t)$  的响应。现在,如果  $y(t)$  在时刻  $t = kT$ ,  $k = 0, 1, 2, \dots$  被采样,就有

$$\begin{aligned} y(kT) &= \sum_{n=-\infty}^{\infty} a_n x(kT - nT) + v(kT) \\ y_k &= \sum_{n=-\infty}^{\infty} a_n x_{k-n} + v_k, \quad k = 0, 1, \dots \end{aligned} \quad (6.4.4)$$

样本值  $\{y_k\}$  可表示为

$$y_k = x_0 \left( a_k + \frac{1}{x_0} \sum_{\substack{n=-\infty \\ n \neq k}}^{\infty} a_n x_{k-n} \right) + v_k, \quad k = 0, 1, \dots \quad (6.4.5)$$

$x_0$  是任意加权因子,为了方便置它等于 1,那么

$$y_k = a_k + \sum_{\substack{n=-\infty \\ n \neq k}}^{\infty} a_n x_{k-n} + v_k \quad (6.4.6)$$

$a_k$  这一项就代表在第  $k$  个采样瞬时所期望的信息符号,而这一项

$$\sum_{\substack{n=0 \\ n \neq k}}^{\infty} a_n x_{k-n} \quad (6.4.7)$$

就代表码间干扰 ISI, 而  $v_k$  是在第  $k$  个采样瞬时的加性噪声。

在一个数字通信系统中,ISI 和噪声的量都能在示波器上观察到。对 PAM 信号可以用水平扫描速率  $1/T$ ,在垂直输入上展示接收信号  $y(t)$ 。所得出的示波器上的图称为眼图,因为它与人的眼睛很相像,例如,图 6.15 示出了二电平和四电平 PAM 调制的眼图。ISI 的影响是导致眼睛闭合,由此而降低了因加性噪声引起误码的裕度。图 6.16 用图解方法说明 ISI 在减小一个二电平眼睛开启方面的影响。因此,这会导致系统对同步误差有更高的灵敏度。

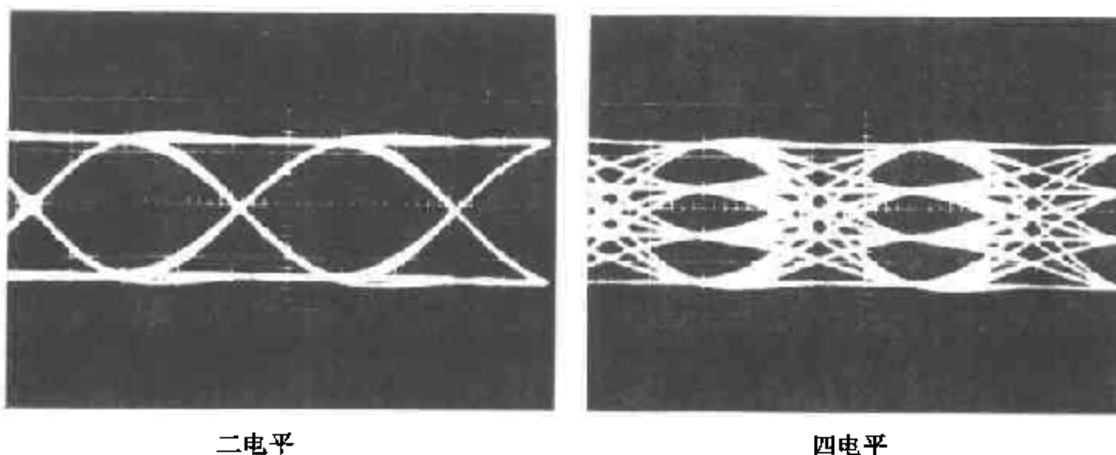


图 6.15 二电平和四电平幅度键控(或 PAM)眼图举例

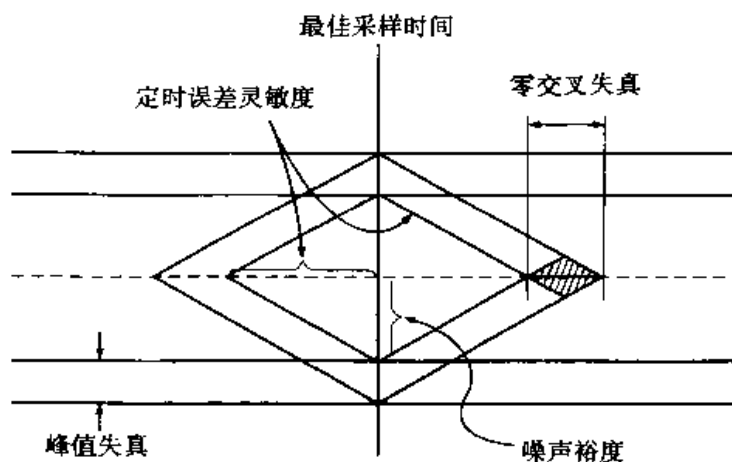


图 6.16 码间干扰在眼图开启方面的影响

## 解答题

## 解答题 6.6[码间干扰]

本题要考虑码间干扰(ISI)对两个信道接收到的信号序列 $\{y_k\}$ 的影响,这两个信道产生的序列 $\{x_k\}$ 如下:

信道 1

$$x_n = \begin{cases} 1, & n = 0 \\ -0.25, & n = \pm 1 \\ 0.1, & n = \pm 2 \\ 0, & \text{其余 } n \end{cases}$$

信道 2

$$x_n = \begin{cases} 1, & n = 0 \\ -0.5, & n = \pm 1 \\ -0.2, & n = \pm 2 \\ 0, & \text{其余 } n \end{cases}$$

应该注意到,这个 ISI 是局限在欲传输信号两边的两个符号上。因此,发送端和接收端滤波器的级联和在采样瞬时的信道就可用如图 6.17 所示的这个等效离散时间 FIR 信道滤波器来表示。现在假设传输信号序列是二电平的,也即 $\{a_n = \pm 1\}$ 。那么,对信道 1 而言,在没有噪声下接收到的信号序列 $\{y_k\}$ 如图 6.18(a)所示,而在有方差 $\sigma^2 = 0.1$ 的加性白色高斯噪声下,接收到的信号序列

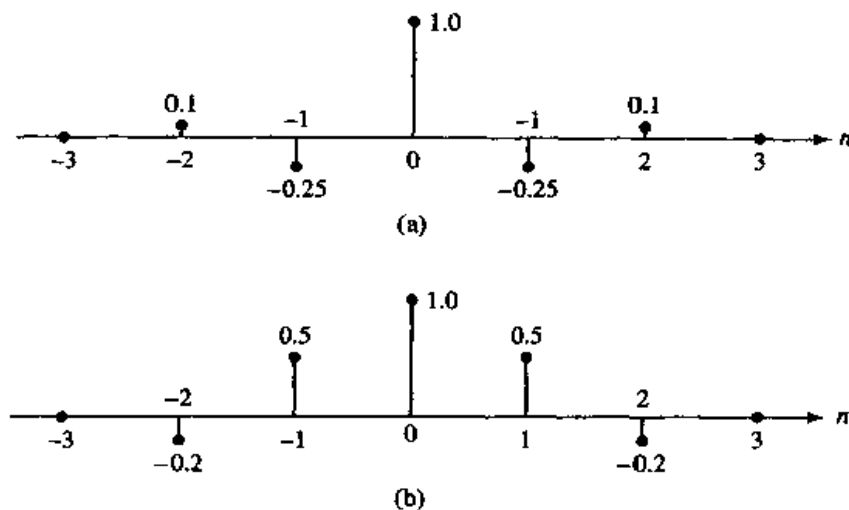


图 6.17 具有 ISI 的 FIR 信道模型

(a) 信道 1; (b) 信道 2

如图 6.18(b) 所示。可以注意到, 在没有噪声时, 仅由 ISI 并不产生在检测器上的差错(这个检测器将接收到的信号序列  $\{y_n\}$  与阈值为零值进行比较), 所以这时眼图是开启的。然而, 当加性噪声足够大时, 就会发生差错。

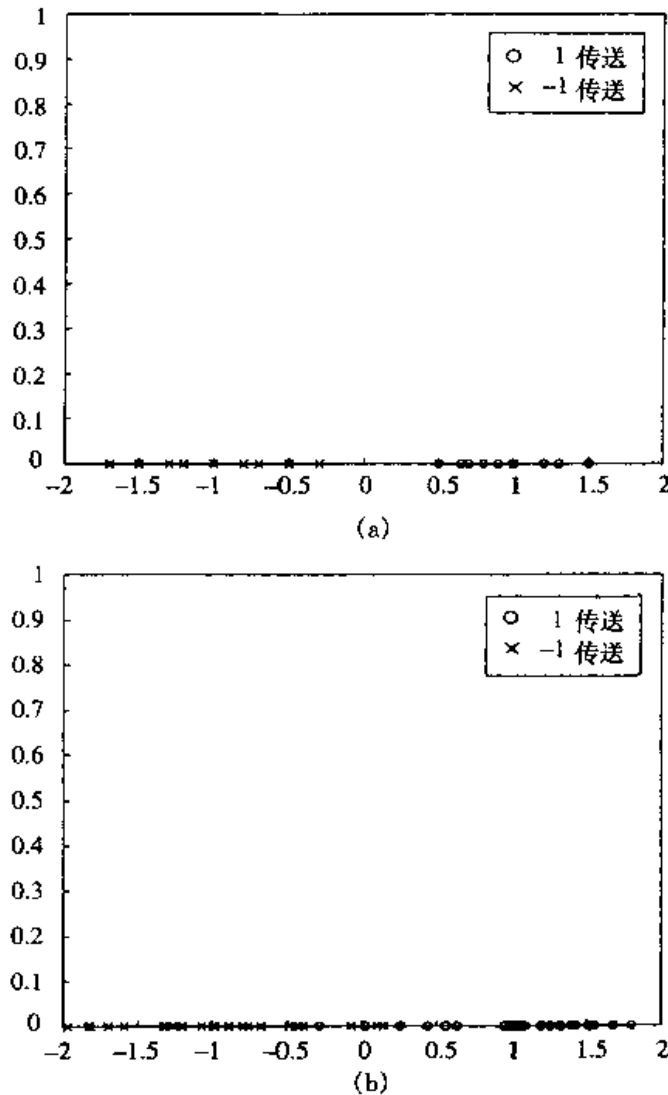


图 6.18 有和没有 AWGN 时, 信道模型 1 的输出  
(a) 无噪声; (b)  $\sigma^2 = 0.1$  的加性白色高斯噪声

在信道 2 的情况下, 无噪声和有噪声 ( $\sigma^2 = 0.1$ ) 时的序列  $\{y_n\}$  如图 6.19 所示。现在看到, 当检测器将接收序列  $\{y_n\}$  与阈值为零值比较后, 在检测器上 ISI 能产生差错, 即使是在无噪声时也是这样。因此, 对于这个信道特性, 眼图完全闭合。

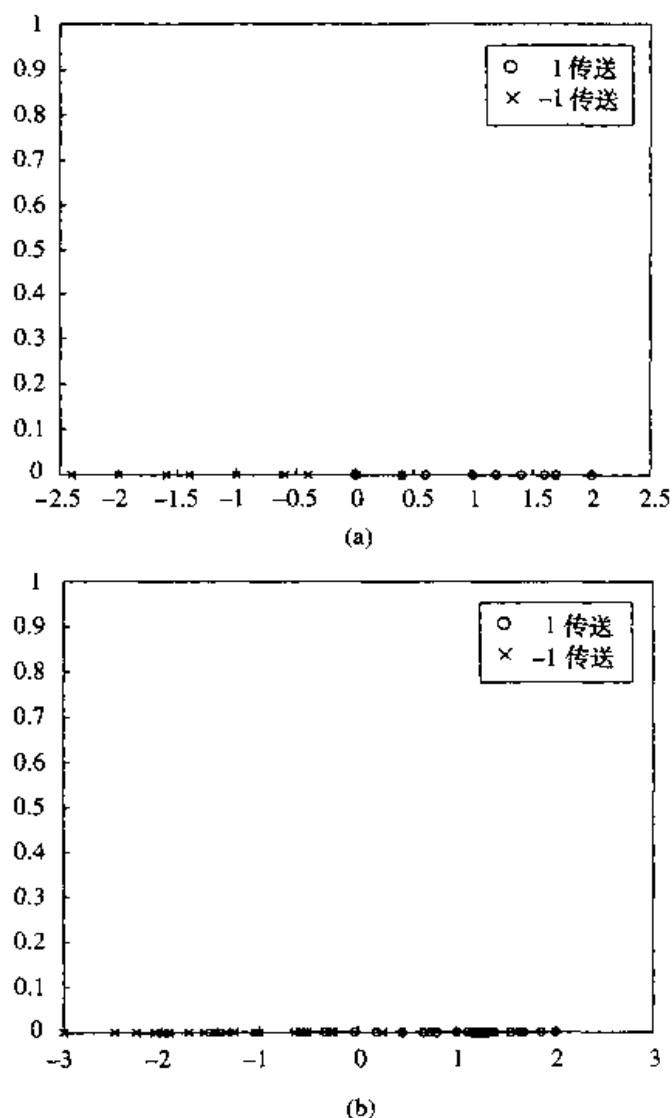


图 6.19 有和没有 AWGN 时,信道模型 2 的输出  
(a) 无噪声; (b)  $\sigma^2 = 0.1$  的加性白色高斯噪声

## 6.5 带限信道的通信系统设计

这一节要考虑发送端和接收端滤波器的设计问题,这些滤波器对基带带限信道是适用的。要考虑两种情况:第一种情况是基于发送和接收滤波器产生零 ISI 的设计;第二种情况是基于发送和接收滤波器具有某一给定(预定)的 ISI 值的设计。因此,第二种设计方法会导致某一可控制的 ISI 值,所对应的传输信号称为部分响应信号。在两种情况下都假定信道是理想的;也就是说,在信道带宽

W 内,  $A(f)$  和  $\tau(f)$  都是常数。为简单起见, 设  $A(f)=1$  和  $\tau(f)=0$ 。

### 6.5.1 对于零 ISI 的信号设计

具有零 ISI 的带限信号设计是大约 70 年前 Nyquist 考虑的一个问题。他证实: 一个信号  $x(t)$  具有零 ISI 的必要和充分条件是

$$x(nT) = \begin{cases} 1, & n = 0 \\ 0, & n \neq 0 \end{cases} \quad (6.5.1)$$

它的傅里叶变换  $X(f)$  满足

$$\sum_{m=-\infty}^{\infty} X\left(f + \frac{m}{T}\right) = T \quad (6.5.2)$$

式中  $1/T$  是符号率。

一般来说, 很多信号都能设计成具有这个性质。在实际中最常用的一种信号是具有升余弦频率响应特性的信号, 它定义为

$$X_{\text{rc}}(f) = \begin{cases} T, & 0 \leq |f| \leq \frac{1-\alpha}{2T} \\ \frac{T}{2} \left[ 1 + \cos \frac{\pi T}{\alpha} \left( |f| - \frac{1-\alpha}{2T} \right) \right], & \frac{1-\alpha}{2T} < |f| \leq \frac{1+\alpha}{2T} \\ 0, & |f| > \frac{1+\alpha}{2T} \end{cases} \quad (6.5.3)$$

式中  $\alpha$  称为滚降系数, 它的取值为  $0 \leq \alpha \leq 1$ ,  $1/T$  是符号率。对于  $\alpha=0$ ,  $\alpha=\frac{1}{2}$  和  $\alpha=1$  的频率响应  $X_{\text{rc}}(f)$  如图 6.20(a) 所示。注意, 当  $\alpha=0$  时,  $X_{\text{rc}}(f)$  就变成一个理想的, 带宽为  $1/(2T)$  的物理上不可实现的矩形频率响应。频率  $1/(2T)$  称为奈奎斯特频率。对于  $\alpha>0$ , 被期望信号  $X_{\text{rc}}(f)$  占据的超过奈奎斯特频率  $1/(2T)$  的带宽称为过量带宽(excess bandwidth), 通常将它表示为奈奎斯特频率的一个百分数。例如, 当  $\alpha=\frac{1}{2}$  时, 过量带宽是 50%; 当  $\alpha=1$  时, 过量带宽是 100%。具有升余弦频谱的信号脉冲  $x_{\text{rc}}(t)$  是

$$x_{\text{rc}}(t) = \frac{\sin(\pi t/T)}{\pi t/T} \frac{\cos(\pi \alpha t/T)}{1 - 4\alpha^2 t^2/T^2} \quad (6.5.4)$$

图 6.20(b) 示出  $\alpha=0$ ,  $\frac{1}{2}$  和 1 时的  $x_{\text{rc}}(t)$ 。因为  $X_{\text{rc}}(f)$  满足 (6.5.2) 式, 所以有  $x_{\text{rc}}(t)=1$ ,  $t=0$  和  $x_{\text{rc}}(t)=0$ ,  $t=kT$ ,  $k=\pm 1, \pm 2, \dots$ 。这样, 在采样瞬时  $t=kT$ ,  $k \neq 0$ , 在不存在信道失真的情况下, 不存在从邻近符号来的 ISI。然而, 在有信道失真时, 由 (6.4.7) 式给出的 ISI 不再是零, 就需要用一个信道均衡器使它对系统性能的影响最小。信道均衡器在 6.6 节讨论。

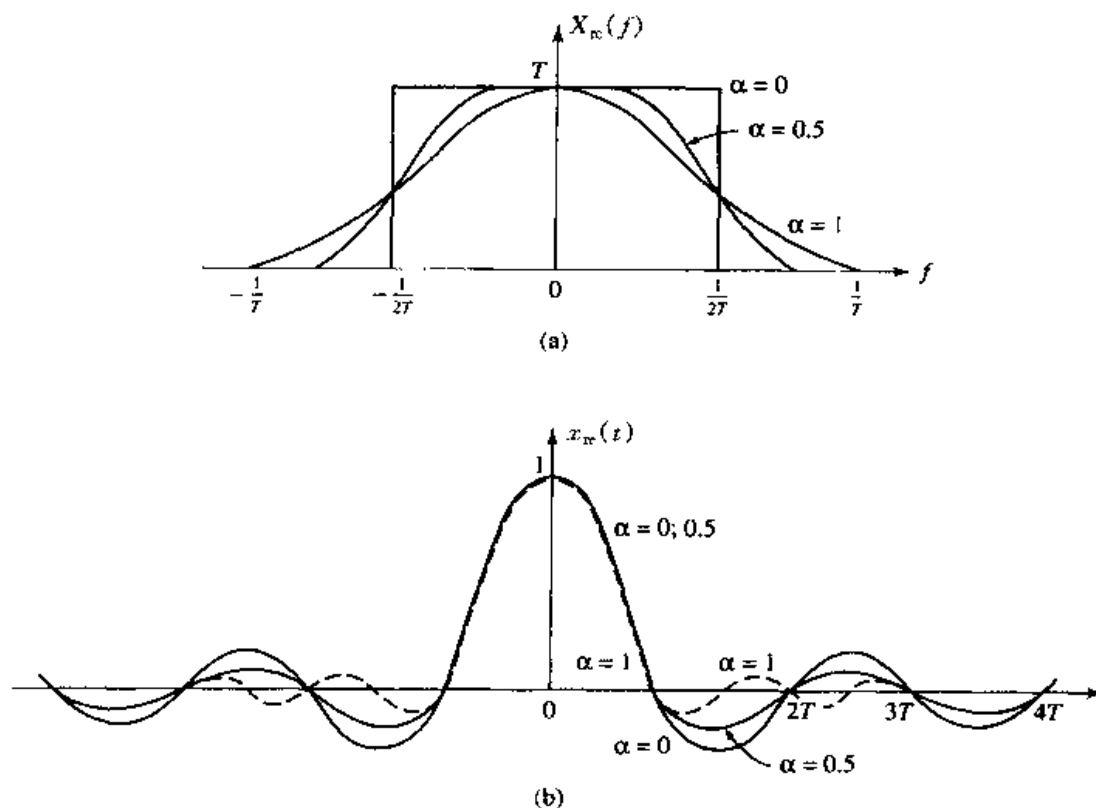


图 6.20 升余弦函数

(a) 升余弦频率响应; (b) 具有升余弦频率响应的脉冲波形

在理想信道中,发送和接收滤波器联合设计成在所要求的采样瞬时  $t = nT$  具有零 ISI。因此,若  $G_T(f)$  是发送滤波器的频率响应,而  $G_R(f)$  是接收滤波器的频率响应,那么乘积  $G_T(f)G_R(f)$  (两个滤波器级联)就设计或产生零 ISI。例如,如果该乘积  $G_T(f)G_R(f)$  选为

$$G_T(f)G_R(f) = X_{rc}(f) \quad (6.5.5)$$

这里  $X_{rc}(f)$  就是升余弦频率响应特性,那么在采样时刻  $t = nT$ , ISI 是零。

### 解 说 题

#### 解说题 6.7 [最佳发送和接收滤波器]

设计一个发送和接收滤波器  $G_T(f)$  和  $G_R(f)$  的数字实现,使它们的乘积满足(6.5.5)式,并且  $G_R(f)$  是  $G_T(f)$  的匹配滤波器。

### 题 解

以数字形式设计和实现发送和接收滤波器的最简单方法是采用具有线性相



移(对称脉冲响应)的 FIR 滤波器。所期望的幅度响应是

$$|G_T(f)| = |G_R(f)| = \sqrt{X_{rc}(f)} \quad (6.5.6)$$

式中  $X_{rc}(f)$  由(6.5.3)式给出。频率响应与数字滤波器脉冲响应的关系是

$$G_T(f) = \sum_{n=-(N-1)/2}^{(N-1)/2} g_T(n) e^{j2\pi f n T_s} \quad (6.5.7)$$

这里  $T_s$  是采样间隔,  $N$  是滤波器长度, 注意  $N$  是奇数。因为  $G_T(f)$  是带限的, 可以选采样频率  $F_s$  至少是  $2/T$ 。现选择  $F_s$  为

$$F_s = \frac{1}{T_s} = \frac{4}{T}$$

或者等效为  $T_s = T/4$ 。所以折叠频率是  $F_s/2 = 2/T$ 。因为  $G_T(f) = \sqrt{X_{rc}(f)}$ , 所以, 在频域以  $\Delta f = F_s/N$  等频率间隔对  $X_{rc}(f)$  采样而有

$$\sqrt{X_{rc}(m\Delta f)} = \sqrt{X_{rc}\left(\frac{mF_s}{N}\right)} = \sum_{n=-(N-1)/2}^{(N-1)/2} g_T(n) e^{-j2\pi mn/N} \quad (6.5.8)$$

它的逆变换关系是

$$g_T(n) = \sum_{m=-(N-1)/2}^{(N-1)/2} \sqrt{X_{rc}\left(\frac{4m}{NT}\right)} e^{j2\pi mn/N} \quad n = 0, \pm 1, \dots, \pm \frac{N-1}{2} \quad (6.5.9)$$

由于  $g_T(n)$  是对称的, 因此将  $g_T(n)$  延时  $(N-1)/2$  个样本就得到期望的线性相位发送滤波器的脉冲响应。

计算本题的 MATLAB 脚本给出如下。

## VI 文件

```
% MATLAB script for Illustrative Problem 6.7.
echo on
N=31;
T=1;
alpha=1/4;
n=-(N-1)/2:(N-1)/2; % The indices for g_T
% The expression for g_T is obtained next
for i=1:length(n),
    g_T(i)=0;
    for m=-(N-1)/2:(N-1)/2,
        g_T(i)=g_T(i)+sqrt(xrc(4*m/(N*T),alpha,T))*exp(j*2*pi*m*n(i)/N);
    end;
end;
echo on ;
g_T=real(g_T) : % The imaginary part is due to the finite machine precision
% derive g_T(n-(N-1)/2)
n2=0:N-1;
% get the frequency response characteristics
[G_T,W]=freqz(g_T,1);
```

---

```
% normalized magnitude response
magG_T_in_dB=20*log10(abs(G_T)/max(abs(G_T)));
% Impulse response of the cascade of the transmitter and the receiver filters.
g_R=g_T;
imp_resp_of_cascade=conv(g_R,g_T);
% plotting commands follow
```

---

## M 文件

---

```
function [y] = xrc(f,alpha,T);
% [y]=xrc(f,alpha,T)
%           evaluates the expression Xrc(f). The parameters alpha and T
%           must also be given as inputs to the function.
if (abs(f) > ((1+alpha)/(2*T))),
    y=0;
elseif (abs(f) > ((1-alpha)/(2*T))),
    y=(T/2)*(1+cos((pi*T/alpha)*(abs(f)-(1-alpha)/(2*T))));
else
    y=T;
end;
```

---

图 6.21(a)示出当  $\alpha = \frac{1}{4}$  和  $N=31$  时的  $g_T(n - \frac{N-1}{2})$ ,  $n=0,1,\dots,N-1$ , 图 6.21(b)是相应的频率响应特性。注意到,因为滤波器为有限长,所以频率响应在  $|f| \geq (1+\alpha)/T$  不再是零。然而,在频谱中旁瓣相对来说是小的。进一步减小旁瓣可通过增大  $N$  来实现。

最后,在图 6.22 中示出发送和接收 FIR 滤波器级联后的脉冲响应。这个响应与在  $F_s=4/T$  的采样频率下对  $x_{rc}(t)$  采样所得到的理想脉冲响应是可以比拟的。

### 6.5.2 可控制 ISI 的信号设计

正如我们在零 ISI 的信号设计讨论中已经看到的,可用具有过量带宽的传输滤波器来实现实际带限信道的发送和接收滤波器。另一方面,设想选择放松零 ISI 的条件而因此实现以带宽  $W=1/(2T)$  的符号传输,也就是说不用过量带宽。通过容许某一可控制的 ISI 量,就能实现每秒  $2W$  个符号的速率。

已经看到,零 ISI 的条件是  $x(nT)=0$ ,  $n \neq 0$ 。然而,假定设计的带限信号在一个时间瞬时具有可控制的 ISI,这意味着容许在样本  $|x(nT)|$  中有一个额外的非零值。由于引入的 ISI 是确定的,或者说“可控制的”,所以在接收端就能计及它,这点稍后将作讨论。

一般来说,一个带限到  $W$  Hz 的信号  $x(t)$ ,即

$$X(f) = 0, |f| > W \quad (6.5.10)$$

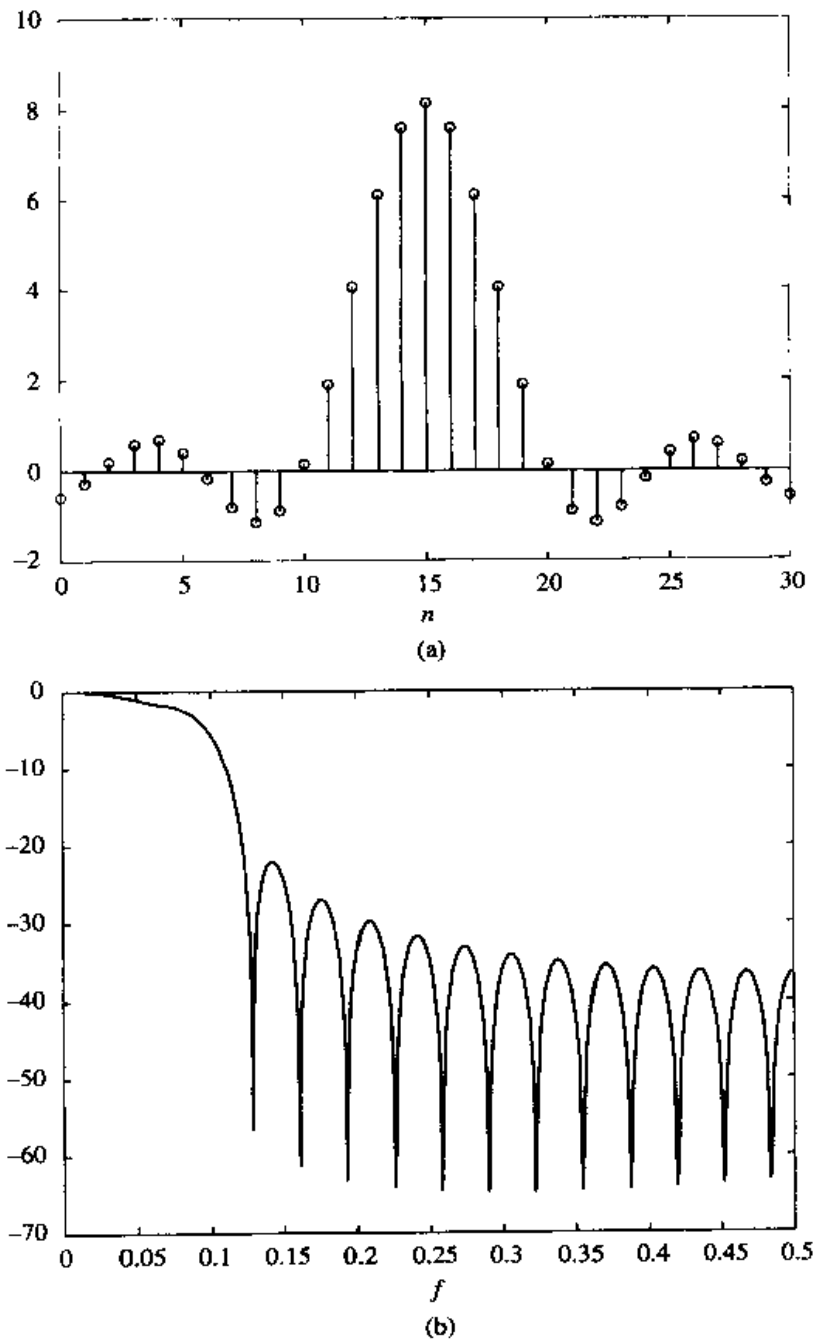


图 6.21 发送端截断离散时间 FIR 滤波器的脉冲和频率响应  
(a) 脉冲响应; (b) 频率响应

能表示成

$$x(t) = \sum_{n=-\infty}^{\infty} x\left(\frac{n}{2W}\right) \frac{\sin[2\pi W[t - n/(2W)]]}{2\pi W[t - n/(2W)]} \quad (6.5.11)$$

上式是从带限信号的采样定理中得出的。带限信号的频谱是

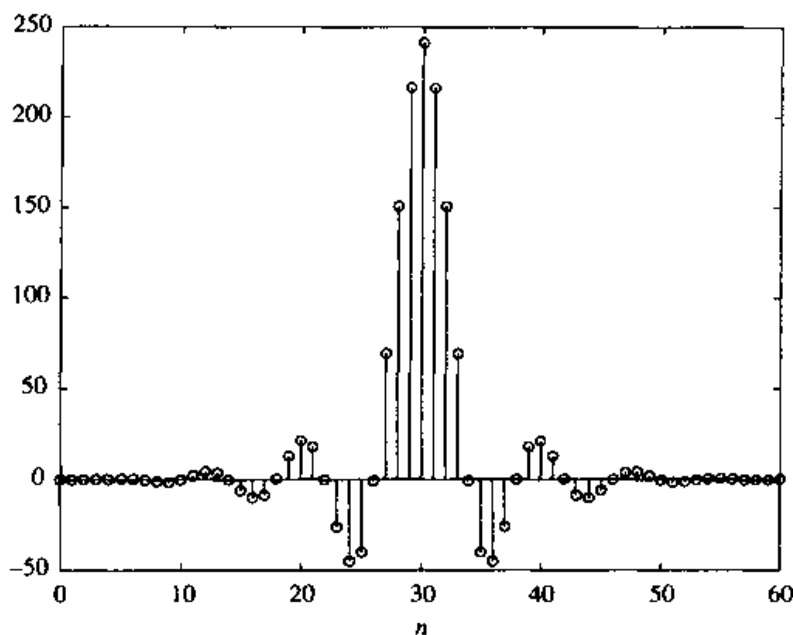


图 6.22 发送滤波器与在接收端匹配滤波器级联的脉冲响应

$$\begin{aligned}
 X(f) &= \int_{-\infty}^{\infty} x(t) e^{-j2\pi ft} dt \\
 &= \begin{cases} \frac{1}{2W} \sum_{n=-\infty}^{\infty} x\left(\frac{n}{2W}\right) e^{-jn\pi f/W}, & |f| \leq W \\ 0, & |f| > W \end{cases} \quad (6.5.12)
 \end{aligned}$$

导致物理上可实现的发送和接收滤波器的一种特殊情况是由下式样本所给出

$$x\left(\frac{n}{2W}\right) \equiv x(nT) = \begin{cases} 1, & n = 0, 1 \\ 0, & \text{其余 } n \end{cases} \quad (6.5.13)$$

相应的信号频谱是

$$\begin{aligned}
 X(f) &= \begin{cases} \frac{1}{2W} [1 + e^{-jn\pi f/W}], & |f| < W \\ 0, & \text{其余 } f \end{cases} \\
 &= \begin{cases} \frac{1}{W} e^{-j2\pi f/W} \cos\left(\frac{\pi f}{2W}\right), & |f| < W \\ 0, & \text{其余 } f \end{cases} \quad (6.5.14)
 \end{aligned}$$

因此,  $x(t)$  由下式给出

$$x(t) = \text{sinc}(2Wt) + \text{sinc}(2Wt - 1) \quad (6.5.15)$$

这里  $\text{sinc}(t) = \sin(\pi t)/(\pi t)$ 。这个脉冲称为双二进制信号脉冲 (duobinary signal pulse), 它的波形及幅度谱如图 6.23 所示。

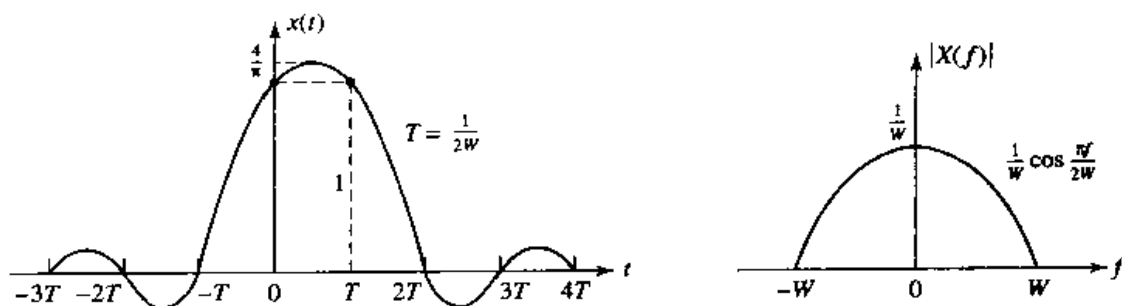


图 6.23 双二进制信号脉冲及其频谱

注意到这个频谱平滑衰减到零,这就意味着能够设计出物理上可实现的滤波器,它能非常近似这个频谱,从而可实现  $2W$  的符号速率。

可以导致物理可实现发送和接收滤波器的另一种特殊情况是样本由下式给出

$$x\left(\frac{n}{2W}\right) = x(nT) = \begin{cases} 1, & n = 1 \\ -1, & n = -1 \\ 0, & \text{其余 } n \end{cases} \quad (6.5.16)$$

相应的脉冲  $x(t)$  为

$$x(t) = \text{sinc}(2Wt + 1) - \text{sinc}(2Wt - 1) \quad (6.5.17)$$

它的频谱是

$$X(f) = \begin{cases} \frac{1}{2W} (e^{j\pi f/W} - e^{-j\pi f/W}) = \frac{j}{W} \sin \frac{\pi f}{W}, & |f| \leq W \\ 0, & |f| > W \end{cases} \quad (6.5.18)$$

这个脉冲和它的幅度谱如图 6.24 所示,称之为修正双二进制信号脉冲(modified

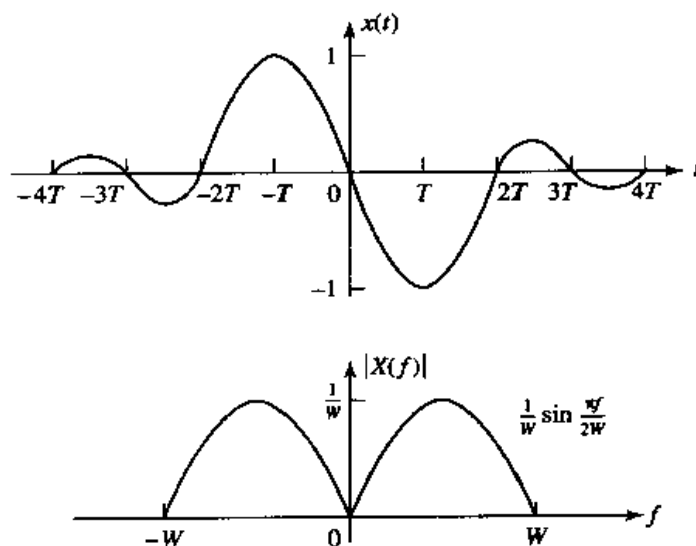


图 6.24 修正双二进制信号脉冲及其频谱

duobinary signal pulse)。注意到这个信号的频谱在  $f=0$  有零值是很有意思的, 对于欲在一条不通过直流分量的信道上传输时, 这个信号是很合适的。

通过选择样本  $\{x(n/(2W))\}$  中不同的值和多于两个非零样本的方法, 还能得到其他的有趣和物理可实现的滤波器特性。但是, 随着选取更多的非零样本, 解决可控 ISI 值的问题就会变得更为复杂和不切实际。

当用从样本  $\{x(n/(2W))\}$  集合中选取两个或更多个非零样本而有目的地引入可控的 ISI 时所得出的信号称为**部分响应信号**。这样得到的信号脉冲就容许在  $2W$  样本/s 的奈奎斯特率下传输信息符号, 因此, 与升余弦信号脉冲相比可获得较大的带宽效率。

### 解答题

#### 解答题 6.8[双二进制信号]

设计一个发送和接收滤波器  $G_T(f)$  和  $G_R(f)$  的数字实现, 使得它们的乘积等于一个双二进制脉冲的频谱, 并且  $G_R(f)$  是  $G_T(f)$  的匹配滤波器。

### 题 解

为了满足频域指标应有

$$|G_T(f)| |G_R(f)| = \begin{cases} \frac{1}{W} \cos\left(\frac{\pi f}{2W}\right), & |f| \leq W \\ 0, & |f| > W \end{cases} \quad (6.5.19)$$

所以有

$$|G_T(f)| = \begin{cases} \sqrt{\frac{1}{W} \cos\left(\frac{\pi f}{2W}\right)}, & |f| \leq W \\ 0, & |f| > W \end{cases} \quad (6.5.20)$$

现以遵照解答题 6.7 相同的方式求发送和接收滤波器的 FIR 实现的脉冲响应, 用  $W=1/(2T)$  和  $F_s=4/T$  可得

$$g_T(n) = \sum_{m=-(N-1)/2}^{(N-1)/2} \left| G_T\left(\frac{4m}{NT}\right) \right| e^{j2\pi mn/N}, \quad n = 0, \pm 1, \pm 2, \dots, \pm \frac{N-1}{2} \quad (6.5.21)$$

以及  $g_R(n) = g_T(n)$ 。

计算本题的 MATLAB 脚本给出如下。

### NI 文件

```
% MATLAB script for Illustrative Problem 6.8.
echo on
N=31;
```

```

T=1;
W=1/(2*T);
n=-(N-1)/2:(N-1)/2; % The indices for g_T
% The expression for g_T is obtained next
for i=1:length(n),
    g_T(i)=0;
    for m=-(N-1)/2:(N-1)/2,
        if ( abs((4*m)/(N*T)) <= W ),
            g_T(i)=g_T(i)+sqrt((1/W)*cos((2*pi*m)/(N*T*W)))*exp(j*2*pi*m*n(i)/N);
        end;
    end;
end;
echo on ;
end;
echo on ;
g_T=real(g_T) ; % The imaginary part is due to the finite machine precision
% obtain g_T(n-(N-1)/2)
n2=0:N-1;
% obtain the frequency response characteristics
[G_T,W]=freqz(g_T,1);
% normalized magnitude response
magG_T_in_dB=20*log10(abs(G_T)/max(abs(G_T)));
% Impulse response of the cascade of the transmitter and the receiver filters.
g_R=g_T;
imp_resp_of_cascade=conv(g_R,g_T);
% plotting commands follow

```

图 6.25(a) 示出  $N=31$  时的  $g_T(n - \frac{N-1}{2})$ ,  $n=0, 1, \dots, N-1$ , 相应的频率响应特性如图 6.25(b) 所示。可以注意到, 由于这个数字滤波器为有限长, 所以频率响应特性在  $|f| > W$  时不再是零。然而, 在频谱中的旁瓣相对很小。最后在图 6.26 中示出发送和接收 FIR 滤波器级联的脉冲响应, 这个脉冲响应与以  $F_s = 4/T = 8W$  采样率对由 (6.5.17) 式给出的  $x(t)$  采样而得到的理想脉冲响应是可以比拟的。

### 6.5.3 部分响应信号检测的预编码

对于双二进制信号脉冲来说有  $x(nT) = 1$ ,  $n = 0, 1$ , 而在其余  $n$  处,  $x(nT) = 0$ , 所以接收滤波器  $G_R(f)$  的输出样本表示为

$$\begin{aligned}
 y_k &= a_k + a_{k-1} + v_k \\
 &= b_k + v_k
 \end{aligned}
 \quad (6.5.22)$$

这里  $\{a_k\}$  是传输的幅度序列,  $\{v_k\}$  是加性高斯噪声样本序列, 和  $b_k = a_k + a_{k-1}$ 。先暂时不考虑噪声并考虑具有等概率的二进制情况, 这时  $a_k = \pm 1$ 。那么  $b_k$  就分别以概率  $\frac{1}{4}$ ,  $\frac{1}{2}$  和  $\frac{1}{4}$  取 3 种可能的值即  $b_k = -2, 0$  和  $2$  中的一个。如果  $a_{k-1}$

① 译者注: 原著此处为“ $n$ ”。

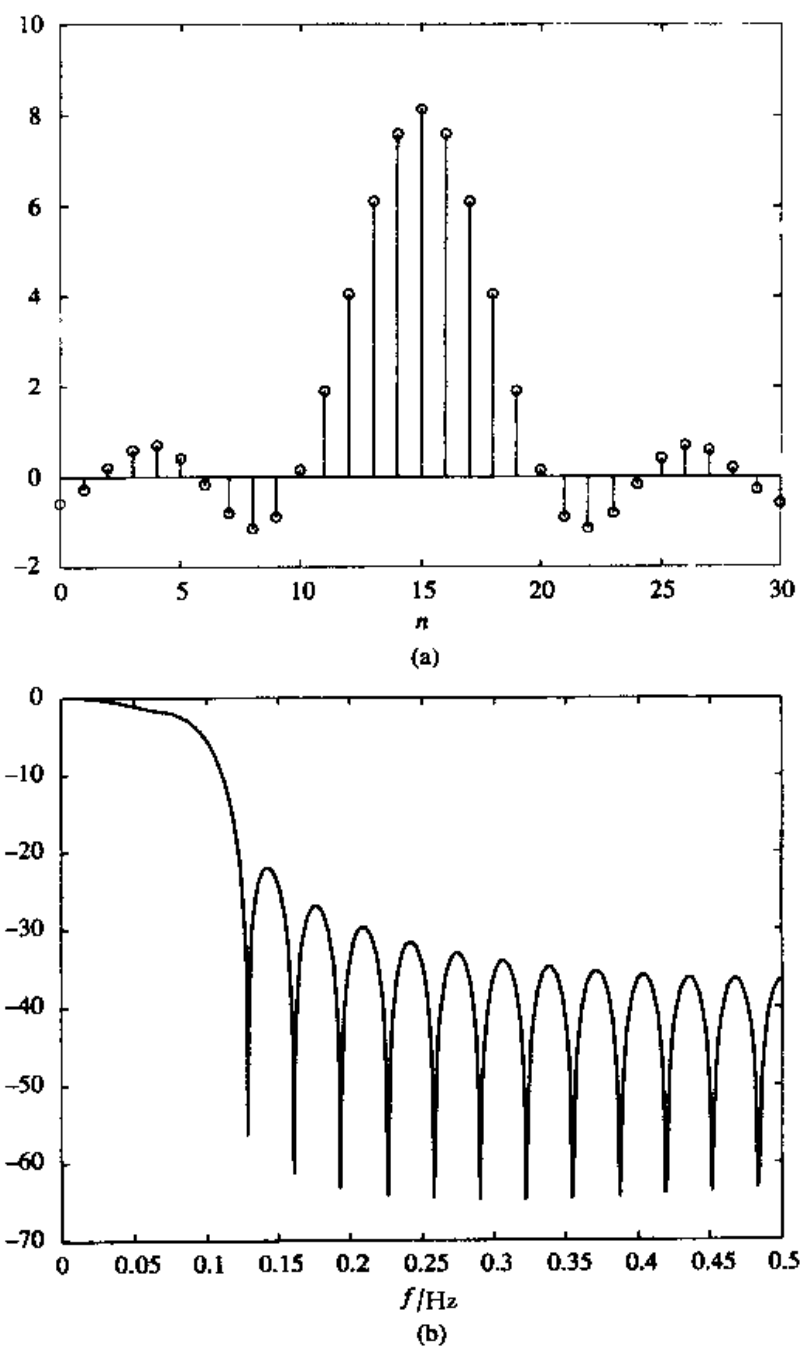


图 6.25 发送端截断的非相攻时间双二进制 FIR 滤波器的脉冲和频率响应  
(a) 脉冲响应; (b) 频率响应

是从第 $(k-1)$ 个信号区间上的检测信号,那么它将在第 $k$ 个信号区间的接收信号 $b_k$ 上的影响就能通过相减而消去它,由此就将 $a_k$ 检测出。这一过程对每个接收符号都不断重复下去。



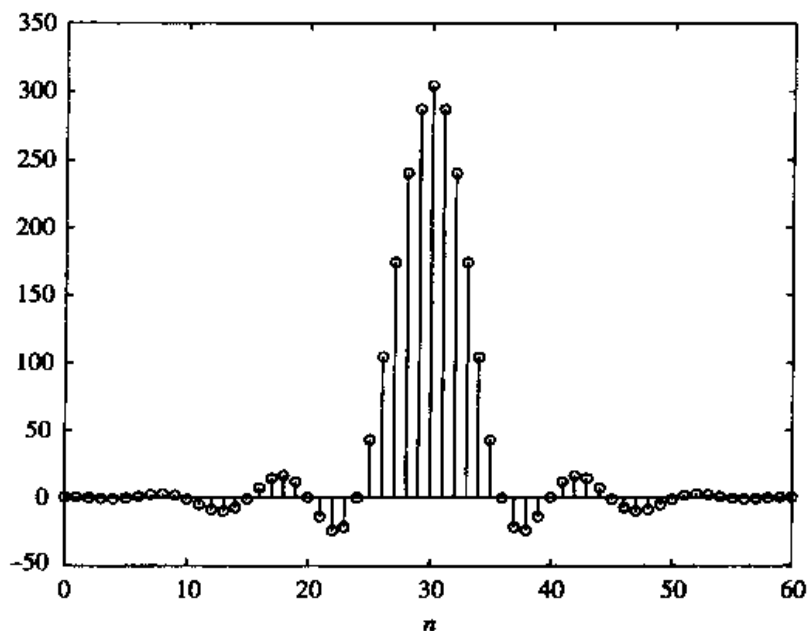


图 6.26 发送滤波器与接收端匹配滤波器级联后的脉冲响应

这一过程的主要问题是加性噪声所引起的误差有传播的趋势。例如,如果  $a_{k-1}$  是在误差中检测出,那么它对  $a_k$  的影响没有消除,事实上由于不正确的相减反而增强了。因此,  $a_k$  的检测很可能也是在误差中检测出的。

通过在发送端对数据预编码而不是在接收端通过相减来消除这一可控制的 ISI 的办法可防止误差传播。预编码是在调制之前对二进制数据序列实施的。由待传输的 0 和 1 的数据序列  $\{D_k\}$ , 产生一个称为预编码序列的新序列  $\{p_k\}$ 。对双二进制信号来说,这个预编码序列定义为

$$p_k = D_k \ominus p_{k-1}, \quad k = 1, 2, \dots \quad (6.5.23)$$

这里  $\ominus$  表示按模 2 减法<sup>①</sup>。这样,若  $p_k = 0$ , 传输的信号幅度是  $a_k = -1$ ; 若  $p_k = 1$ , 则  $a_k = 1$ ; 也就是说

$$a_k = 2p_k - 1 \quad (6.5.24)$$

在接收滤波器输出端,无噪声样本由下式给出

$$\begin{aligned} b_k &= a_k + a_{k-1} \\ &= (2p_k - 1) + (2p_{k-1} - 1) \\ &= 2(p_k + p_{k-1} - 1) \end{aligned} \quad (6.5.25)$$

这样

$$p_k + p_{k-1} = \frac{1}{2} b_k + 1 \quad (6.5.26)$$

<sup>①</sup> 虽然这个运算与按模 2 加是相同的,但是对双二进制信号把预编码看作是用按模 2 减是方便的。

因为  $D_k = p_k \oplus p_{k-1}$ , 立刻利用下面关系

$$D_k = \frac{1}{2} b_k + 1 \pmod{2} \quad (6.5.27)$$

就可从  $\{b_k\}$  得到序列  $\{D_k\}$ 。因此, 若  $b_k = \pm 2$ , 则  $D_k = 0$  和若  $b_k = 0$ , 则  $D_k = 1$ 。作为说明这个预编码和解码操作的一个例子由表 6.1 给出。

表 6.1 具有双二进制脉冲的二进制信号

|       |       |    |   |    |   |   |    |    |    |   |   |   |   |    |
|-------|-------|----|---|----|---|---|----|----|----|---|---|---|---|----|
| 数据序列  | $D_k$ | -  | 1 | 1  | 1 | 0 | 1  | 0  | 0  | 1 | 0 | 0 | 0 | 1  |
| 预编码序列 | $p_k$ | 0  | 1 | 0  | 1 | 1 | 0  | 0  | 0  | 1 | 1 | 1 | 1 | 0  |
| 发送序列  | $a_k$ | -1 | 1 | -1 | 1 | 1 | -1 | -1 | -1 | 1 | 1 | 1 | 1 | -1 |
| 接收序列  | $b_k$ | -  | 0 | 0  | 0 | 2 | 0  | -2 | -2 | 0 | 2 | 2 | 2 | 0  |
| 解码序列  | $D_k$ | -  | 1 | 1  | 1 | 0 | 1  | 0  | 0  | 1 | 0 | 0 | 0 | 1  |

在加性噪声存在下, 接收滤波器的采样输出由 (6.5.22) 式给出。这时,  $y_k = b_k + v_k$  与两个阈值为 +1 和 -1 作比较, 按照下面检测规则得到  $\{D_k\}$  序列

$$D_k = \begin{cases} 1, & |y_k| < 1 \\ 0, & |y_k| \geq 1 \end{cases} \quad (6.5.28)$$

这样, 对数据预编码就能够完成在接收端逐个符号的检测, 而不需要作前述的检测符号的相减。

利用双二进制脉冲从二电平 PAM 到多电平 PAM 的推广是很直接的。M 电平的传输序列  $\{a_k\}$  产生 (无噪声) 的接收序列

$$b_k = a_k + a_{k-1}, \quad k = 1, 2, 3, \dots \quad (6.5.29)$$

它有  $2M-1$  个可能的相等分隔开的幅度电平。由下面关系

$$a_k = 2p_k - (M-1) \quad (6.5.30)$$

确定序列  $\{a_k\}$  的幅度电平。这里  $\{p_k\}$  是预编码序列, 它是从  $M$  个电平的数据序列  $\{D_k\}$  按下面关系得到的

$$p_k = D_k \ominus p_{k-1} \pmod{M} \quad (6.5.31)$$

这里数据序列  $\{D_k\}$  的可能值是  $0, 1, 2, \dots, M$ 。

在无噪声时, 接收滤波器输出的样本可表示为

$$\begin{aligned} b_k &= a_k + a_{k-1} \\ &= [2p_k - (M-1)] + [2p_{k-1} - (M-1)] \\ &= 2[p_k + p_{k-1} - (M-1)] \end{aligned} \quad (6.5.32)$$

所以

$$p_k + p_{k-1} = \frac{1}{2} b_k + (M-1) \quad (6.5.33)$$

因为  $D_k = p_k + p_{k-1} \pmod{M}$ , 于是发送数据  $\{D_k\}$  就利用下面关系

$$D_k = \frac{1}{2} b_k + (M-1) \pmod{M} \quad (6.5.34)$$

从接收序列  $\{b_k\}$  中恢复出来。在修正双二进制脉冲的情况下, 接收滤波器  $G_R(f)$  输出端接收信号样本表示为

$$y_k = a_k - a_{k-2} + v_k = b_k + v_k \quad (6.5.35)$$

对修正双二进制脉冲的预编码器按下面关系从数据序列  $\{D_k\}$  产生序列  $\{p_k\}$

$$p_k = D_k \oplus p_{k-2} \pmod{M} \quad (6.5.36)$$

由这些关系容易证明, 在无噪声情况下由  $\{b_k\}$  恢复数据序列  $\{D_k\}$  的检测规则是

$$D_k = \frac{1}{2} b_k \pmod{M} \quad (6.5.37)$$

### 解说题

#### 解说题 6.9[双二进制预编码]

写一个 MATLAB 程序, 程序完成: 取一个数据序列  $\{D_k\}$ , 针对一双二进制脉冲传输系统对  $\{D_k\}$  预编码产生  $\{p_k\}$ , 并将这个预编码序列映射到发送幅度电平  $\{a_k\}$ , 然后从发送序列  $\{a_k\}$  形成接收无噪声序列  $\{b_k\}$ , 再利用 (6.5.34) 式的关系恢复数据序列  $\{D_k\}$ 。

### 题解

本题的 MATLAB 脚本给出如下。利用这一程序, 对  $M=2$ , 可以验证表 6.1 的结果。

### M 文件

```
% MATLAB script for Illustrative Problem 6.9.
echo on
d=[1 1 1 0 1 0 0 1 0 0 0 1];
p(1)=0;
for i=1:length(d)
    p(i+1)=rem(p(i)+d(i),2);
    echo off ;
end
echo on ;
a=2.*p-1;
b(1)=0;
dd(1)=0;
for i=1:length(d)
    b(i+1)=a(i+1)+a(i);
    d_out(i+1)=rem(b(i+1)/2+1,2);
    echo off ;
end
```

```
echo on ;
d_out=d_out(2:length(d)+1);
```

## 6.6 线性均衡器

在实际中用于降低 ISI 所采用的信道均衡器的最一般型式是线性 FIR 滤波器,它有可调节的系数  $\{c_i\}$ ,如图 6.27 所示。

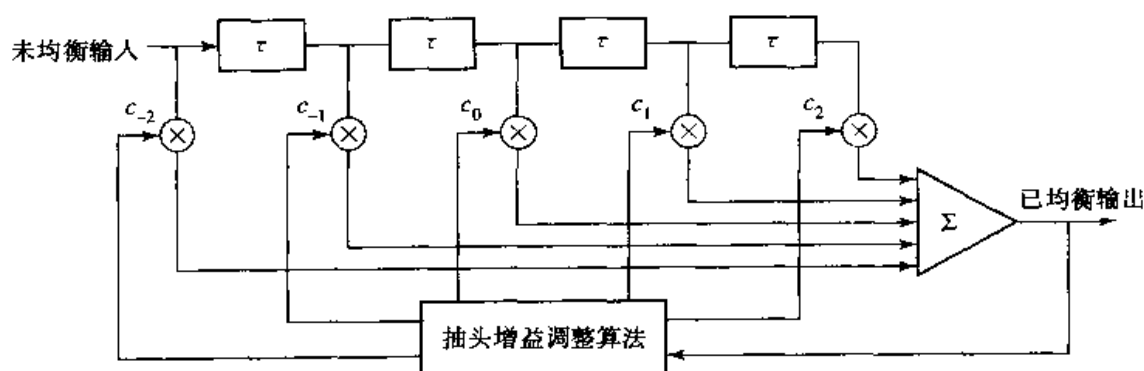


图 6.27 线性横向滤波器

信道的频率响应特性是不知道的,而且是时变的,我们可以测量出信道的特性并调节均衡器的参数,一旦调节好,在数据传输过程中这些参数保持不变,这种均衡器称为**预置均衡器**(preset equalizers)。另外,**自适应均衡器**在数据传输过程中,在某一周期的基础上不断更新它们的参数,所以它们就有可能跟踪慢时变信道的响应。

首先,考虑从频域的观点设计一个线性均衡器特性的问题。图 6.28 示出一个系统的方框图,它采用线性滤波器作为信道均衡器。

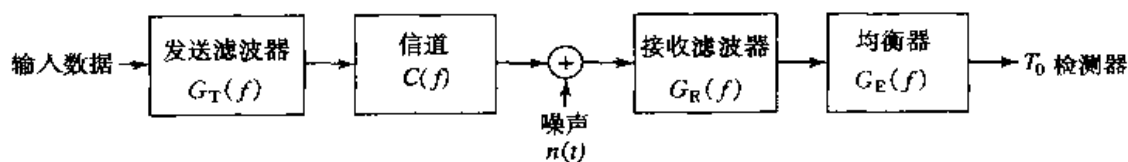


图 6.28 具有均衡器的系统方框图

解调器由频率响应为  $G_R(f)$  的接收滤波器与频率响应为  $G_E(f)$  的信道均衡器的级联所组成。如同在前一节所指出的,接收滤波器的频率响应  $G_R(f)$  是与发送滤波器的频率响应  $G_T(f)$  匹配的,也即  $G_R(f) = G_T^*(f)$ ,而乘积  $G_R(f) G_T(f)$  通常要么设计成在采样瞬时具有零 ISI 的特性(例如,当

$G_R(f)G_T(f) = X_{rc}(f)$ 时就属于此种情况),要么对部分响应信号具有可控的 ISI 特性。

对于图 6.28 所示系统,信道频率响应不是理想的,因此对于零 ISI 的条件就是

$$G_T(f)C(f)G_R(f)G_E(f) = X_{rc}(f) \quad (6.6.1)$$

这里  $X_{rc}(f)$  是期望的升余弦频谱特性。因  $G_T(f)G_R(f) = X_{rc}(f)$ , 所以为补偿信道失真的均衡器频率响应为

$$G_E(f) = \frac{1}{C(f)} = \frac{1}{|C(f)|} e^{-j\theta_c(f)} \quad (6.6.2)$$

由此,均衡器的幅度响应是  $|G_E(f)| = 1/|C(f)|$ , 相位响应是  $\theta_E(f) = -\theta_c(f)$ 。这种情况就说该均衡器是对信道响应的逆信道滤波器。

注意到,这个逆信道滤波器完全消除了由信道引起的 ISI。因为这种均衡是强使 ISI 在采样瞬时  $t = kT$ ,  $k = 0, 1, \dots$ , 为零,所以称这类均衡器为强迫归零均衡器(zero-forcing equalizer)。因此,检测器的输入就是

$$z_k = a_k + \eta_k, \quad k = 0, 1, \dots \quad (6.6.3)$$

这里  $\eta_k$  代表加性噪声,  $a_k$  是期望的符号。

实际上,由信道失真引起的 ISI 通常都将它局限在所期望符号两边有限个符号数上,所以由(6.4.7)式给出的求和式中构成 ISI 的项数是有限的。这样一来,实际的信道均衡器是按有限脉冲响应(FIR)滤波器或横向滤波器给予实现的,它具有可供调节的抽头系数  $\{c_n\}$ , 如图 6.27 所示。相邻节点之间的延时  $\tau$  可以选成和  $T$  一样大,即符号区间。在这种情况下,这个 FIR 均衡器称为 symbol-spaced equalizer(符号间隔均衡器)。在这种情况下,均衡器的输入是由(6.4.6)式给出的采样序列。然而,应该注意到,当符号率  $1/T < 2W$  时,在接收信号中超过折叠频率  $1/T$  的那些频率被混叠到低于  $1/T$  的频率中去,这时,这个均衡器对这个已混叠的信道失真信号给予补偿。

另一方面,当相邻节点之间的延时  $\tau$  选成  $\frac{1}{\tau} \geq 2W > \frac{1}{T}$  时,不发生混叠,因此该逆信道均衡器对真正的信道失真给予补偿。因为  $\tau < T$ , 就说该信道均衡器具有 fractionally spaced taps(部分符号间隔抽头),而称之为 fractionally spaced equalizer(部分符号间隔均衡器)。实际上  $\tau$  往往选为  $\tau = T/2$ , 要注意,这时在滤波器  $G_E(f)$  的输入端采样率是  $2/T$ 。

该 FIR 均衡器的冲激响应是

$$g_E(t) = \sum_{n=-K}^K c_n \delta(t - n\tau) \quad (6.6.4)$$

相应的频率响应是

$$G_E(f) = \sum_{n=-K}^K c_n e^{-j2\pi f n\tau} \quad (6.6.5)$$

式中  $\{c_n\}$  是  $2K+1$  个均衡器系数, 而  $K$  选得足够大, 以使均衡器跨过 ISI 的长度, 也即  $2K+1 \geq L$ ,  $L$  是由 ISI 跨过的信号样本个数。因为  $X(f) = G_T(f)C(f)G_R(f)$ , 而  $x(t)$  就是对应于  $X(f)$  的信号脉冲, 所以已均衡的输出信号脉冲是

$$q(t) = \sum_{n=-K}^K c_n x(t - n\tau) \quad (6.6.6)$$

现在应对在  $t = mT$  取得的  $q(t)$  样本应用归零条件。这些样本是

$$q(mT) = \sum_{n=-K}^K c_n x(mT - n\tau), \quad m = 0, \pm 1, \dots, \pm K \quad (6.6.7)$$

因为有  $2K+1$  个均衡器系数, 所以仅能控制  $2K+1$  个  $q(t)$  的采样值。具体一些就是可以强使这些条件为

$$\begin{aligned} q(mT) &= \sum_{n=-K}^K c_n x(mT - n\tau) \\ &= \begin{cases} 1, & m = 0 \\ 0, & m = \pm 1, \pm 2, \dots, \pm K \end{cases} \end{aligned} \quad (6.6.8)$$

它可以表示成矩阵形式为  $\mathbf{X}\mathbf{c} = \mathbf{q}$ , 其中  $\mathbf{X}$  是  $(2K+1) \times (2K+1)$  的矩阵, 其元素为  $x(mT - n\tau)$ ,  $\mathbf{c}$  是  $(2K+1)$  的系数向量,  $\mathbf{q}$  是  $(2K+1)$  个列向量, 其中只有一个非零元素。这样就得到一组强迫归零均衡器系数的  $2K+1$  个线性方程组。

应该强调的是, 这个 FIR 强迫归零均衡器并没有完全消除掉 ISI, 因为它是有限长的。然而, 随着  $K$  的增加, 残留的 ISI 可以减小, 在  $K \rightarrow \infty$  的极限情况下, ISI 完全被消除。

## 解 说 题

### 解 说 题 6.10 [均衡器设计]

考虑一个信道失真了的脉冲  $x(t)$ , 经在均衡器的输入端并由下式表示

$$x(t) = \frac{1}{1 + (2t/T)^2}$$

这里  $1/T$  是符号率。该脉冲在  $2/T$  采样率被采样, 而且用一个强迫归零均衡器给予均衡。求具有 5 个抽头的强迫归零均衡器的系数。

## 题 解

根据(6.6.8)式, 该强迫归零均衡器必须满足下式

$$q(mT) = \sum_{n=-2}^2 c_n x\left(mT - \frac{nT}{2}\right) = \begin{cases} 1, & m = 0 \\ 0, & m = \pm 1, \pm 2 \end{cases}$$

矩阵  $\mathbf{X}$  有元素为  $x(mT - nT/2)$  由下式给出

$$\mathbf{X} = \begin{bmatrix} \frac{1}{5} & \frac{1}{10} & \frac{1}{17} & \frac{1}{26} & \frac{1}{37} \\ 1 & \frac{1}{2} & \frac{1}{5} & \frac{1}{10} & \frac{1}{17} \\ \frac{1}{5} & \frac{1}{2} & 1 & \frac{1}{2} & \frac{1}{5} \\ \frac{1}{17} & \frac{1}{10} & \frac{1}{5} & \frac{1}{2} & 1 \\ \frac{1}{37} & \frac{1}{26} & \frac{1}{17} & \frac{1}{10} & \frac{1}{5} \end{bmatrix} \quad (6.6.9)$$

系数向量  $\mathbf{c}$  和向量  $\mathbf{q}$  给出如下

$$\mathbf{c} = \begin{bmatrix} c_{-2} \\ c_{-1} \\ c_0 \\ c_1 \\ c_2 \end{bmatrix} \quad \mathbf{q} = \begin{bmatrix} 0 \\ 0 \\ 1 \\ 0 \\ 0 \end{bmatrix} \quad (6.6.10)$$

通过求矩阵  $\mathbf{X}$  的逆, 解出这个线性方程  $\mathbf{X}\mathbf{c} = \mathbf{q}$ , 求得

$$\mathbf{c}_{\text{opt}} = \mathbf{X}^{-1}\mathbf{q} = \begin{bmatrix} -2.2 \\ 4.9 \\ -3 \\ 4.9 \\ -2.2 \end{bmatrix} \quad (6.6.11)$$

图 6.29 示出原脉冲  $x(t)$  和已均衡脉冲。注意到在已均衡脉冲中仍有小的残余 ISI 量。

计算本题的 MATLAB 脚本给出如下。

### M 文件

```
% MATLAB script for Illustrative Problem 6.10.
echo on
T=1;
Fs=2/T;
Ts=1/Fs;
c_opt=[-2.2 4.9 -3 4.9 -2.2];
t=-5*T:T/2:5*T;
x=1./(1+((2/T)*t).^2); % sampled pulse
```

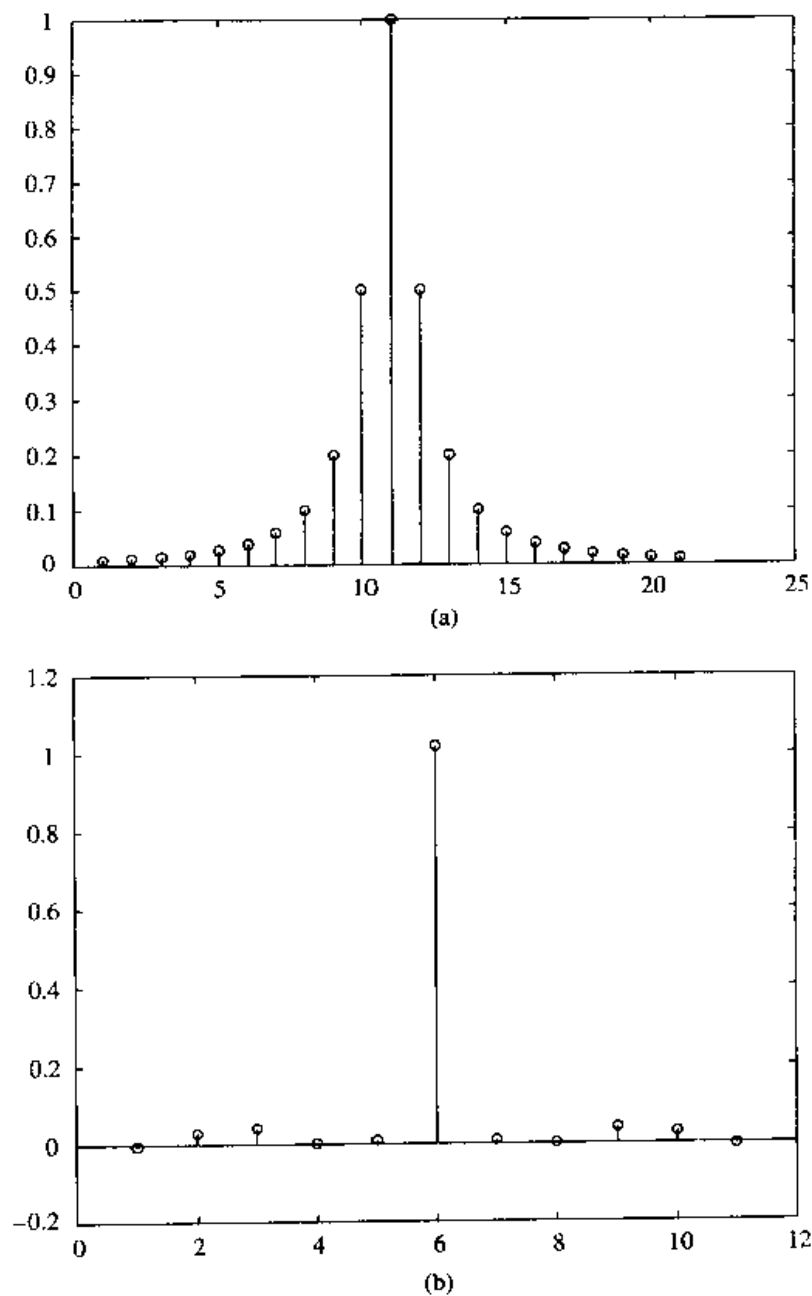


图 6.29 解答题 6.10 中的脉冲图

(a) 原脉冲图; (b) 已均衡脉冲图

```

equalized_x=filter(c_opt,1,[x 0 0]);    % since there will be a delay of two samples at the output
% to take care of the delay
equalized_x=equalized_x(3:length(equalized_x));
% Now, let us downsample the equalizer output
for i=1:2:length(equalized_x),
    downsampled_equalizer_output((i+1)/2)=equalized_x(i);
end
echo off;

```



```
end;
echo on ;
% plotting commands follow
```

强迫归零均衡器的一个缺点是它没有考虑噪声的存在,这样在用了它以后可能会形成显著的噪声增强。这一点是很容易看出来的。注意一下在  $C(f)$  是比较小频率范围,信道均衡器  $G_R(f) = 1/C(f)$  就在这段频率范围内放上大的增益来予以补偿,其后果是在这段频率范围内的噪声也大为增强。放松零 ISI 条件并选择信道均衡器特性的另一种办法是:将剩余的 ISI 和在均衡器输出端的加性噪声的组合功率使之最小来获得均衡器的特性。基于最小均方误差 (MMSE) 准则优化的信道均衡器能实现所期望的目标。

为了详细阐述,先考虑 FIR 均衡器受噪声污染的输出为

$$z(t) = \sum_{n=-K}^K c_n y(t - n\tau) \quad (6.6.12)$$

式中  $y(t)$  是均衡器的输入,由 (6.4.3) 式给出。均衡器输出在  $t = mT$  时刻采样,可得

$$z(mT) = \sum_{n=-K}^K c_n y(mT - n\tau) \quad (6.6.13)$$

在  $t = mT$  时均衡器输出的期望响应就是发送符号  $a_m$ 。 $a_m$  和  $z(mT)$  之间的差定义为误差,那么实际输出样本  $z(mT)$  和期望值  $a_m$  之间的均方误差 (MSE) 就为<sup>①</sup>

$$\begin{aligned} \text{MSE} &= E | z(mT) - a_m |^2 \\ &= E \left[ \left| \sum_{n=-K}^K c_n y(mT - n\tau) - a_m \right|^2 \right] \\ &= \sum_{n=-K}^K \sum_{k=-K}^K c_n c_k R_y(n-k) - 2 \sum_{k=-K}^K c_k R_{ay}(k) + E(|a_m|^2) \end{aligned} \quad (6.6.14)$$

式中的相关定义为

$$\begin{aligned} R_y(n-k) &= E[y^*(mT - n\tau)y(mT - k\tau)] \\ R_{ay}(k) &= E[y(mT - k\tau)a_m^*] \end{aligned} \quad (6.6.15)$$

期望是对随机信息序列  $\{a_m\}$  和加性噪声取的。

将 (6.6.14) 式对均衡器系数  $\{C_n\}$  微分可得最小 MSE 的解,于是,对最小 MSE 得出的必要条件是

① 在导出过程中,容许信号  $z(t)$  和  $y(t)$  是复值和数据序列是复值。

$$\sum_{n=-K}^K c_n R_y(n-k) = R_{ay}(k), \quad k = 0, \pm 1, \pm 2, \dots, \pm K \quad (6.6.16)$$

这是均衡器系数的  $2k+1$  个线性方程组, 和前面讨论过的归零解不同, 这些方程都与噪声的统计性质(自相关), 以及通过自相关函数  $R_y(n)$  的 ISI 统计性质有关。

实际中, 自相关矩阵  $\mathbf{R}_y(n)$  和互相关向量  $\mathbf{R}_{ay}(n)$  事先都是不知道的。然而, 这些相关序列可以通过在信道上发送某一测试信号并采用时间平均估值而估计出为

$$\begin{aligned} \hat{R}_y(n) &= \frac{1}{K} \sum_{k=1}^K y^*(kT - n\tau) y(kT) \\ \hat{R}_{ay}(n) &= \frac{1}{K} \sum_{k=1}^K y(kT - n\tau) a_k^* \end{aligned} \quad (6.6.17)$$

以代替为解由(6.6.16)式给出的均衡器系数而要求的集合平均。

### 解答题

#### 解答题 6.11[均衡器设计]

再次考虑在解答题 6.10 中同一信道失真信号  $x(t)$ , 但现在要基于最小 MSE 准则设计 5 个抽头的均衡器。信息符号具有零均值和单位方差, 并且互不相关, 即

$$\begin{aligned} E(a_n) &= 0 \\ E(a_n a_m) &= 0, \quad n \neq m \\ E(|a_n|^2) &= 1 \end{aligned}$$

加性噪声  $v(t)$  有零均值和自相关函数为

$$\varphi_{vv}(\tau) = \frac{N_0}{2} \delta(\tau)$$

### 题解

用  $K=2$  和  $\tau=T/2$  解(6.6.16)式得出均衡器的抽头系数。元素为  $R_y(n-k)$  的矩阵就是

$$\mathbf{R}_y = \mathbf{X}^T \mathbf{X} + \frac{N_0}{2} \mathbf{I}$$

这里  $\mathbf{X}$  由(6.6.9)式给出,  $\mathbf{I}$  是恒等矩阵。元素为  $R_{ay}(k)$  的矩阵为

$$\mathbf{R}_{ay} = \begin{bmatrix} \frac{1}{5} \\ \frac{1}{2} \\ 1 \\ \frac{1}{2} \\ \frac{1}{5} \end{bmatrix}$$

对(6.6.16)式解出的均衡器系数如下:

$$\mathbf{c}_{\text{opt}} = \begin{bmatrix} 0.0956 \\ -0.7347 \\ 1.6761 \\ -0.7347 \\ 0.0956 \end{bmatrix}$$

图 6.30 示出已均衡脉冲的图。

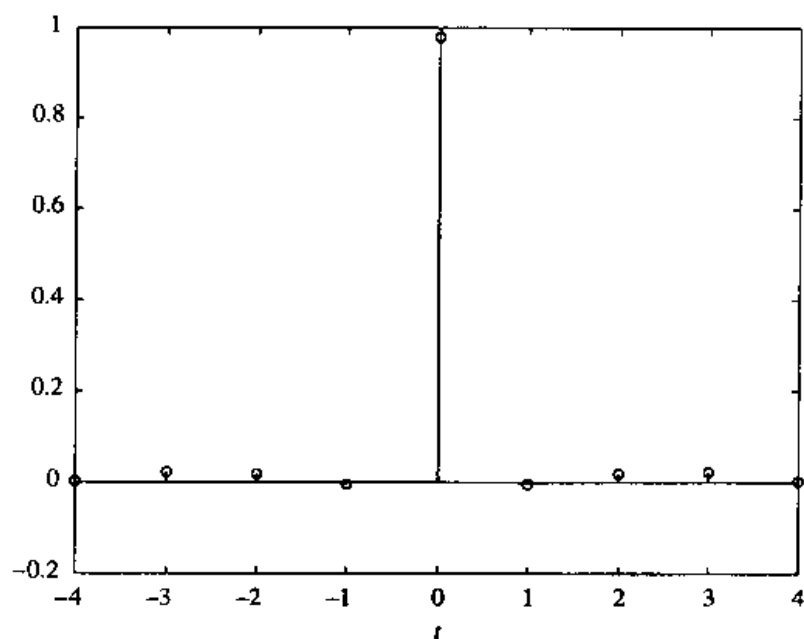


图 6.30 解答题 6.11 中已均衡脉冲的图

计算本题的 MATLAB 脚本给出如下。

## M 文件

```
% MATLAB script for Illustrative Problem 6.11.
echo on
T=1;
for n=-2:2,
    for k=-2:2,
        temp=0;
        for i=-2:2, temp=temp+(1/(1+(n-i)^2))*(1/(1+(k-i)^2)); end;
        X(k+3,n+3)=temp;
    end;
end;
echo off;
echo on;
N0=0.01; % assuming that N0=0.01
Ry=X+(N0/2)*eye(5);
Riy=[1/5 1/2 1 1/2 1/5].';
c_opt=inv(Ry)*Riy; % optimal tap coefficients
% find the equalized pulse...
t=-3:1/2:3;
x=1./(1+(2*t/T).^2); % sampled pulse
equalized_pulse=conv(x,c_opt);
% decimate the pulse to get the samples at the symbol rate
decimated_equalized_pulse=equalized_pulse(1:2:length(equalized_pulse));
% plotting command follows
```

### 6.6.1 自适应线性均衡器

已经证明一个线性均衡器的抽头系数可以通过解一组线性方程来确定。在归零最佳准则中,这组线性方程由(6.6.8)式给出;另一方面,若是基于最小MSE的最佳准则,那最佳均衡器系数由解(6.6.16)式给出的这组线性方程确定。

在两种情况下,可以将这组线性方程表示成如下的一般矩阵形式

$$\mathbf{B}\mathbf{c} = \mathbf{d} \quad (6.6.18)$$

这里  $\mathbf{B}$  是  $(2K+1) \times (2K+1)$  的矩阵,  $\mathbf{c}$  是代表  $(2K+1)$  个均衡器系数的列向量,而  $\mathbf{d}$  是  $(2K+1)$  维列向量。(6.6.18)式的解为

$$\mathbf{c}_{\text{opt}} = \mathbf{B}^{-1}\mathbf{d} \quad (6.6.19)$$

在均衡器的实际实现中,通常(6.6.18)式对最佳系数向量的解是用迭代过程来得到的,这可避免明确地计算矩阵  $\mathbf{B}$  的逆。最简单的迭代过程是最陡下降法,在这里任意选取系数向量  $\mathbf{c}$ ,比如说  $\mathbf{c}_0$  作为起始值。系数向量  $\mathbf{c}_0$  的初始选择对应于正在优化的判据函数上的某一点,例如在MSE准则的情况下,初始推测值  $\mathbf{c}_0$  对应于  $(2K+1)$  维系数空间中二次MSE曲线上的某一点。定义为梯度向量的  $\mathbf{g}_0$  是MSE对  $2K+1$  个滤波器系数的导数,然后在判据曲面上在这一点

将  $\mathbf{g}_0$  计算出,而且每一抽头系数都是朝着与对应的梯度分量相反的方向改变,在第  $j$  个抽头系数上的变化正比于第  $j$  个梯度分量的大小。

例如,梯度向量表示成  $\mathbf{g}_k$ ,对于 MSE 准则,取 MSE 对  $2K+1$  个系数中每一个的导数后求得

$$\mathbf{g}_k = \mathbf{B}\mathbf{c}_k - \mathbf{d}, \quad k = 0, 1, 2, \dots \quad (6.6.20)$$

然后,系数向量  $\mathbf{c}_k$  按下面关系更新

$$\mathbf{c}_{k+1} = \mathbf{c}_k - \Delta \mathbf{g}_k \quad (6.6.21)$$

这里  $\Delta$  是迭代过程中的步长参数(step-size parameter)。为了确保这个迭代过程收敛, $\Delta$  选一个小的正数。在这种情况下,梯度向量  $\mathbf{g}_k$  收敛到零,即当  $k \rightarrow \infty$ ,  $\mathbf{g}_k \rightarrow 0$ ,而系数向量  $\mathbf{c}_k \rightarrow \mathbf{c}_{\text{opt}}$ 。基于二维优化的情况如图 6.31 所示。一般来说,均衡器抽头系数收敛到  $\mathbf{c}_{\text{opt}}$  用最陡下降法经有限次迭代,是不能达到的。然而,在经过几百次迭代后,就能按要求接近于最优解  $\mathbf{c}_{\text{opt}}$ 。在采用信道均衡器的数字通信系统中,每一次迭代对应于发送一个符号的时间间隔,所以为实现收敛到  $\mathbf{c}_{\text{opt}}$  的几百次迭代也就相应于几分之一秒。

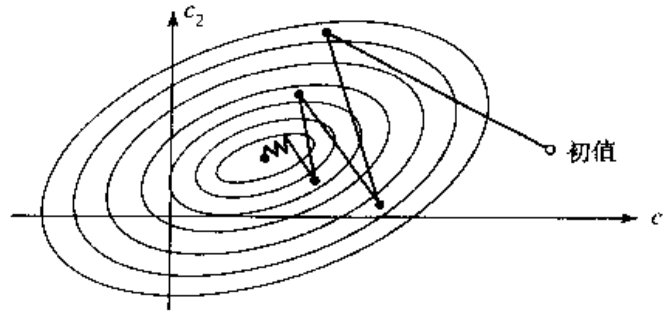


图 6.31 梯度算法的收敛特性举例

对于频率响应特性随时间变化的信道来说就要求自适应信道均衡。在这种情况下,ISI 也随时间变化。信道均衡器必须跟踪在信道响应上这样的时间波动,并将它的系数自适应以降低 ISI。在上面讨论的范畴内,由于矩阵  $\mathbf{B}$  随时间变化,以及在 MSE 准则下,向量  $\mathbf{d}$  随时间变化,因此,最佳系数向量  $\mathbf{c}_{\text{opt}}$  也是随时间变化的。在这些条件下,可以将上面讨论的迭代法修改为利用梯度分量估计值。因此,调节均衡器抽头系数的算法可以表示为

$$\hat{\mathbf{c}}_{k+1} = \hat{\mathbf{c}}_k - \Delta \hat{\mathbf{g}}_k \quad (6.6.22)$$

这里  $\hat{\mathbf{g}}_k$  代表梯度向量  $\mathbf{g}_k$  的估值,  $\hat{\mathbf{c}}_k$  代表抽头系数向量的估值。

在 MSE 准则情况下,由(6.6.20)式给出的梯度向量  $\hat{\mathbf{g}}_k$  也可以表示为

$$\hat{\mathbf{g}}_k = -E(e_k \mathbf{y}_k^*)$$

梯度向量在第  $k$  次迭代的估值  $\hat{\mathbf{g}}_k$  可计算出为

$$\hat{g}_k = -e_k y_k^* \quad (6.6.23)$$

式中  $e_k$  表示在第  $k$  个时间瞬时均衡器的期望输出与实际输出  $z(kT)$  之差,  $y_k$  代表在瞬时  $k$  包含均衡器中  $2K+1$  接收信号值的列向量。误差信号  $e_k$  表示为

$$e_k = a_k - z_k \quad (6.6.24)$$

这里  $z_k = z(kT)$  是由 (6.6.13) 式给出的均衡器输出,  $a_k$  是期望的符号。这样, 将 (6.6.23) 式代入 (6.6.22) 式就得到优化抽头系数 (基于 MSE 准则) 的自适应算法为

$$\hat{c}_{k+1} = \hat{c}_k + \Delta e_k y_k^* \quad (6.6.25)$$

因为在 (6.6.25) 式中用的是梯度向量的估值, 所以这个算法称为随机梯度算法, 也称为 LMS 算法。

将抽头系数按 (6.6.25) 式自适应的自适应均衡器的方框图如图 6.32 所示。值得注意的是期望的输出  $a_k$  和来自均衡器的实际输出  $z_k$  之差用来构成误差信号  $e_k$ , 这个误差被步长参数  $\Delta$  加权, 加权后的误差信号  $\Delta e_k$  乘以  $2K+1$  节抽头的接收信号值  $\{y(kT - n\tau)\}$ 。将  $2K+1$  节抽头的乘积  $\Delta e_k y^*(kT - n\tau)$  然后按照 (6.6.25) 式加到这些抽头系数的前面的值上去以得到更新了的抽头系数。随着每接收一个新的信号样本, 这个计算就重复一次, 因此, 均衡器的系数以符号率更新。

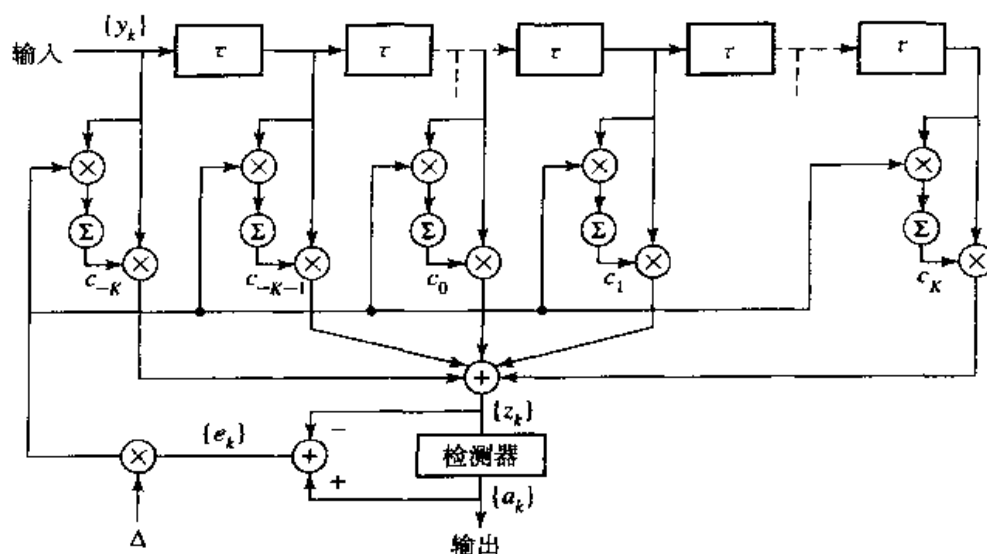


图 6.32 基于 MSE 准则的线性自适应均衡器

最初用一已知伪随机序列  $\{a_m\}$  在信道上将这个自适应均衡器进行训练。在解调器端, 均衡器用这个已知序列去调整它的系数, 一旦初始调节完成, 自适应均衡器就从一个训练模式 (training mode) 切换到直接判决模式 (decision-directed mode), 这里, 在检测器输出端的这些判决是足够可靠地用计算检测器输

出和均衡器输出之间的差来形成误差信号,即

$$e_k = \hat{a}_k - z_k \quad (6.6.26)$$

式中  $\hat{a}_k$  是检测器的输出。一般在检测器输出的判决差错很少发生,因而这样的误差对由(6.6.25)式给出的跟踪算法的性能几乎没有多少影响。

为了确保收敛和在慢变化信道中好的跟踪能力,选择步长参数的一种经验公式是

$$\Delta = \frac{1}{5(2K+1)P_R} \quad (6.6.27)$$

式中  $P_R$  代表接收到的信号加噪声的功率,它可以从接收信号中估计出。

### 解说题

#### 解说题 6.12[自适应均衡器]

基于由(6.6.25)式给出的 LMS 算法实现一个自适应均衡器。均衡器选取的信道抽头数是  $2K+1=11$ 。接收信号加噪声的功率归一化到 1。信道特性由向量  $\mathbf{x}$  给出为

$$\mathbf{x} = (0.05, -0.063, 0.088, -0.126, -0.25, 0.904, 0.250, 0.126, 0.038, 0.088)$$

### 题解

(6.6.25)式随机梯度算法的收敛特性如图 6.33 所示。这些曲线是用 11 个抽头系数自适应均衡器的计算机仿真得出的,曲线代表几次实现后平均的均方

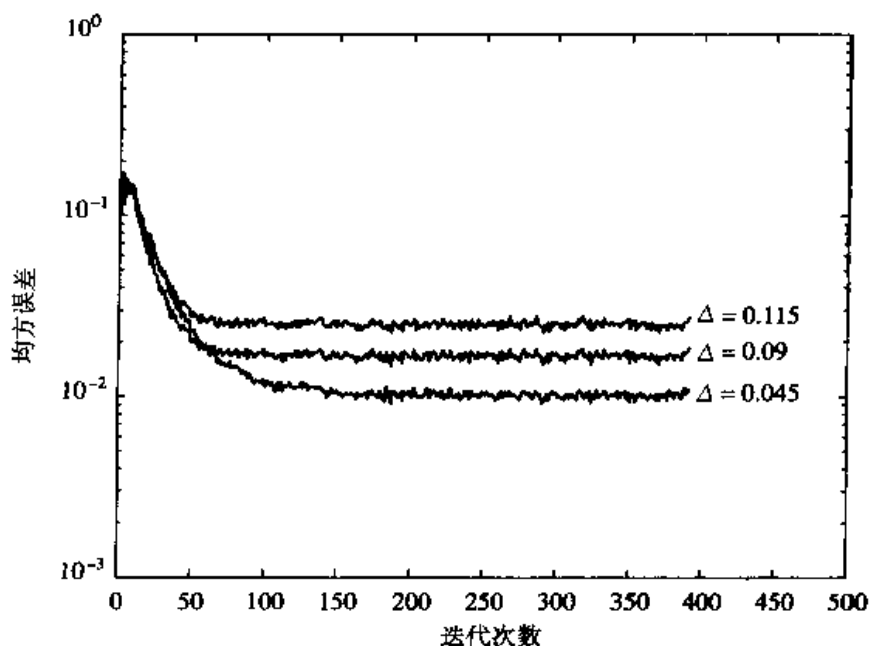


图 6.33 不同步长下, LMS 算法的最初收敛特性

误差。由此可见,当  $\Delta$  减小时,收敛稍许变慢,但可达到更低 MSE,这表示出估值的系数是更加接近  $c_{opt}$ 。

本例的 MATLAB 脚本给出如下。

## M 文件

```
% MATLAB script for Illustrative Problem 6.12.
echo on
N=500; % length of the information sequence
K=5;
actual_isi=[0.05 -0.063 0.088 -0.126 -0.25 0.9047 0.25 0 0.126 0.038 0.088];
sigma=0.01;
delta=0.115;
Num_of_realizations=1000;
mse_av=zeros(1,N-2*K);
for j=1:Num_of_realizations, % compute the average over a number of realizations
    % the information sequence
    for i=1:N,
        if (rand<0.5),
            info(i)=-1;
        else
            info(i)=1;
        end;
        echo off ;
    end;
    if (j==1) ; echo on ; end
    % the channel output
    y=filter(actual_isi,1,info);
    for i=1:2:N, [noise(i) noise(i+1)]=gngauss(sigma); end;
    y=y+noise;
    % now the equalization part follows
    estimated_c=[0 0 0 0 0 1 0 0 0 0]; % initial estimate of ISI
    for k=1:N-2*K,
        y_k=y(k:k+2*K);
        z_k=estimated_c*y_k.' ;
        e_k=info(k)-z_k;
        estimated_c=estimated_c+delta*e_k*y_k;
        mse(k)=e_k^2;
        echo off ;
    end;
    if (j==1) ; echo on ; end
    mse_av=mse_av+mse;
    echo off ;
end;
echo on ;
mse_av=mse_av/Num_of_realizations; % mean squared error versus iterations
% plotting commands follow
```



虽然我们只比较详细地讨论了基于 MSE 准则优化的自适应均衡器的工作过程,但是基于归零方法的自适应均衡器的工作也是很类似的。主要的差别在于每次迭代中梯度向量  $\mathbf{g}_k$  的估值不同。一种自适应强迫归零均衡器的方框图如图 6.34 所示。

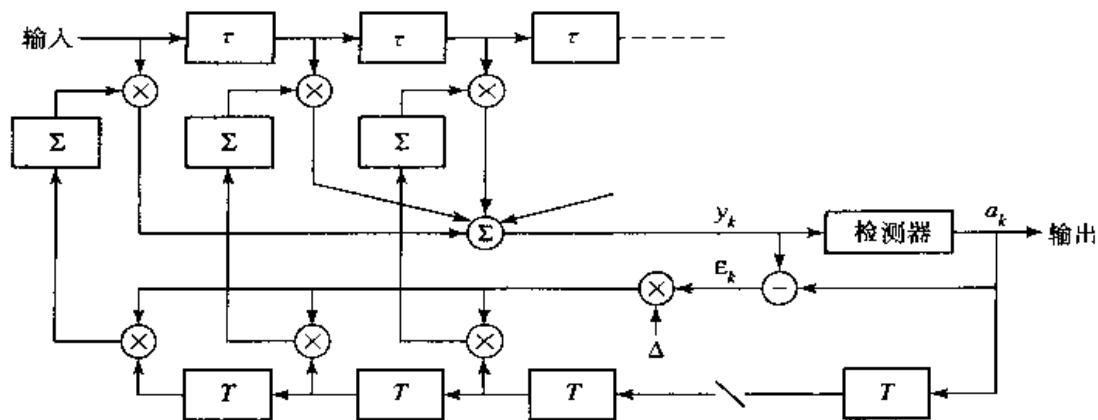


图 6.34 自适应强迫归零均衡器

## 6.7 非线性均衡器

前面讨论的线性均衡器在诸如有线电话等这类信道上是很有用的,在那里 ISI 不是很严重。ISI 的严重性直接与信道的谱特性有关,而不一定就与 ISI 的时间跨度有关。例如考虑如图 6.35 所示的两条信道所形成的 ISI。在信道 A 上 ISI 的时间跨度在期望信号分量的两边是 5 个符号间隔,期望信号分量值是

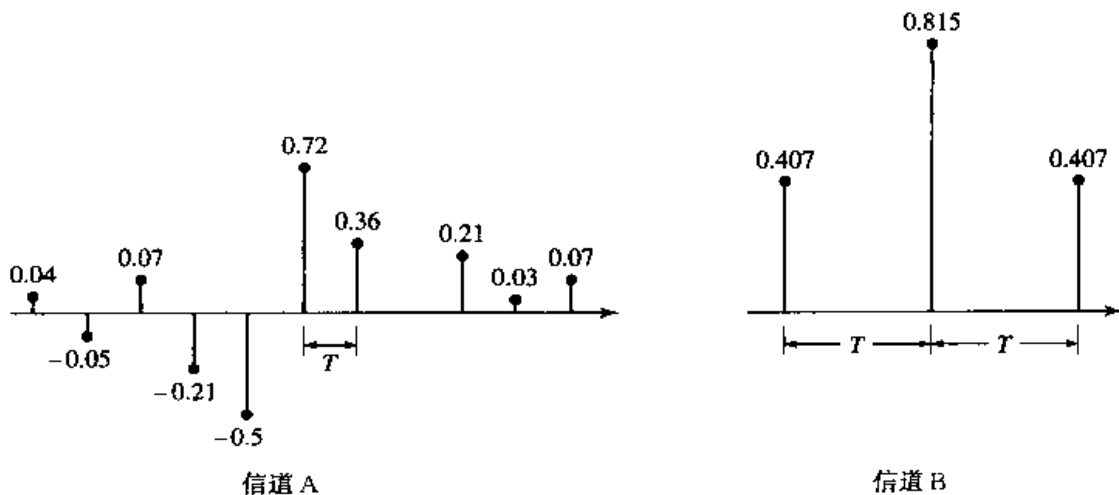


图 6.35 具有 ISI 的两条信道

0.72;而在信道 B 上 ISI 的时间跨度在期望信号的两边是 1 个符号间隔,其值是 0.815。对这两条信道总的响应能量都归一化到 1。

尽管 ISI 的跨度较短,但是信道 B 却产生更为严重的 ISI。这一点从这两个信道的频率响应特性上看是明显的,它们如图 6.36 所示。由图可以看到,信道

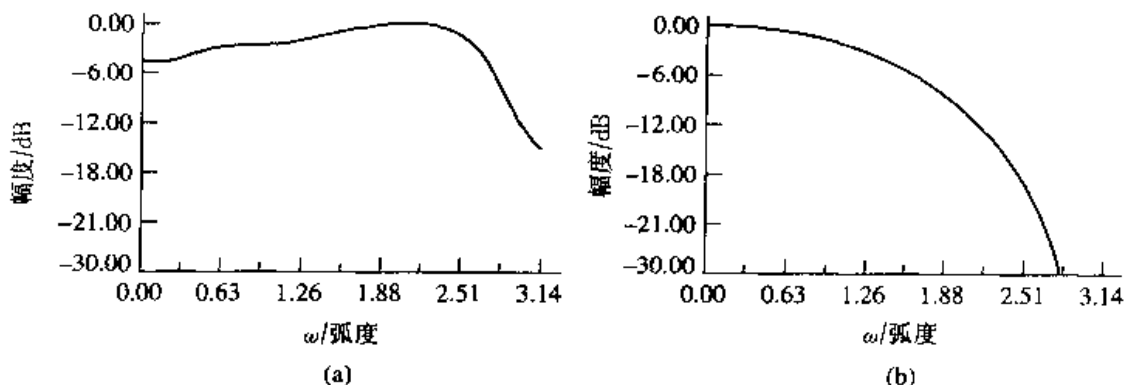


图 6.36 由图 6.35 得到的幅度谱

(a) 信道 A; (b) 信道 B

B 在  $f=1/(2T)$  有一个谱为零,而这个在信道 A 中并不发生。因此,一个线性均衡器将会在它的频率响应中引入一个大的增益去补偿这个信道的零点,由此在信道 B 中的噪声也就会比信道 A 大为增强。这意味着信道 B 的线性均衡器的性能要比信道 A 的差得多。一般来说,线性均衡器的基本局限就是在于对频谱有零域的信道无能为力。这样的信道往往在无线通信中会遇到,如低于 30 MHz 频率的电离层传输,移动无线信道以及用于蜂窝无线通信中的那些信道。

**反馈判决均衡器** (DFE, decision-feedback equalizer) 是一种非线性均衡器,它利用先前的判决来消除由前面检测出的符号在当前待检测符号上所产生的 ISI。一个简单的 DFE 方框图如图 6.37 所示。DFE 由两个滤波器组成。第一个滤波器称为**前馈滤波器**,一般它是具有可调节抽头系数的部分符号间隔的 FIR 滤波器。这个滤波器在形式上与早先讨论的线性均衡器是相同的,它的输入是接收过滤的信号  $y(t)$  以某个符号率的倍数采样的采样值,比如  $2/T$  的采样率。第二个滤波器是**反馈滤波器**,它是作为以符号间隔抽头的可调节系数的

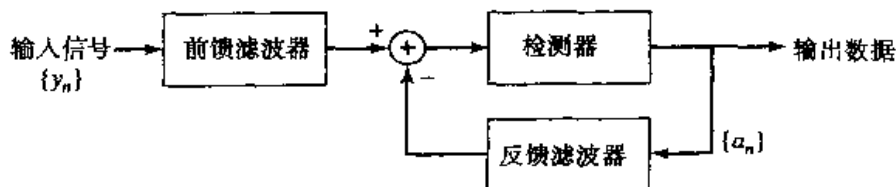


图 6.37 DFE 方框图

FIR 滤波器实现的。它的输入是一组先前已检测出的符号。将反馈滤波器的输出从前馈滤波器的输出中减去形成检测器的输入。因此有

$$z_m = \sum_{n=1}^{N_1} c_n v(mT - n\tau) - \sum_{n=1}^{N_2} b_n \tilde{a}_{m-n}$$

这里  $\{c_n\}$  和  $\{b_n\}$  分别是前馈和反馈滤波器的可调节系数;  $\tilde{a}_{m-n}$ ,  $n=1, 2, \dots$ ,  $N_2$  是前面检测出的符号;  $N_1$  是前馈滤波器的长度;  $N_2$  是反馈滤波器的长度。根据输入  $z_m$ , 检测器判断哪一个可能的发送符号在与输入信号  $a_m$  的距离上是最接近的, 据此作出它的判决并输出  $\tilde{a}_m$ 。使 DFE 成为非线性的是检测器的非线性特性, 它为反馈滤波器提供了输入。

前馈和反馈滤波器的抽头系数按对某个期望的性能指标优化来选取。为使数学上简单, 通常都采用 MSE 准则, 而随机梯度算法一般用于实现自适应 DFE。图 6.38 示出一个自适应 DFE 的方框图, 它的抽头系数是用 LMS 随机梯度算法调节的。

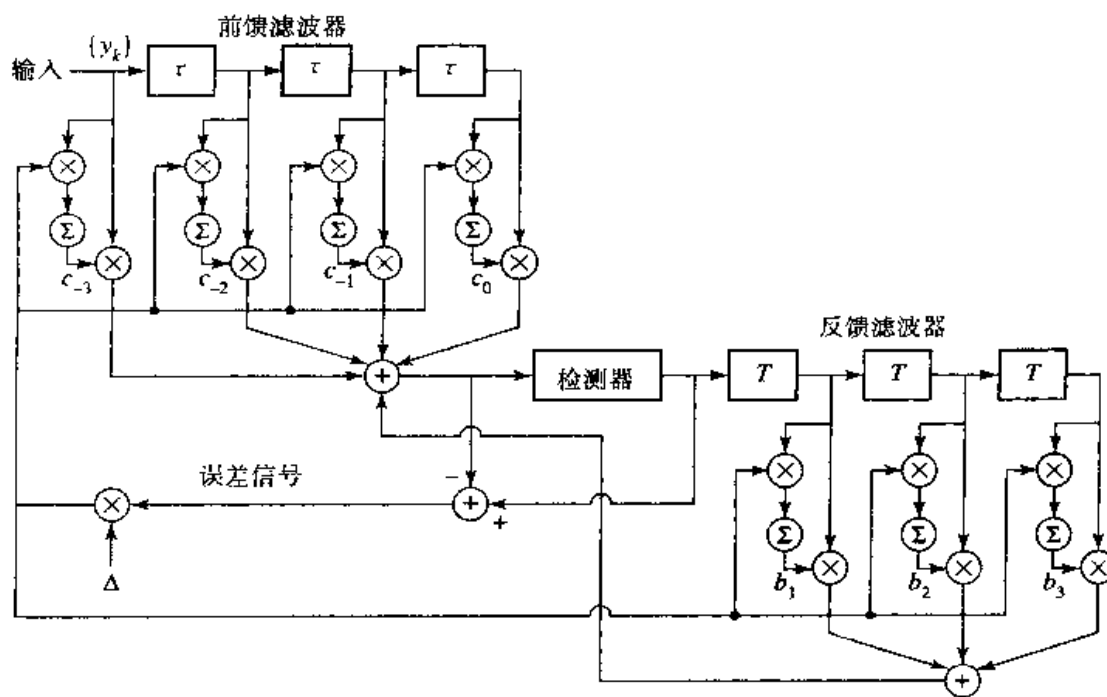


图 6.38 自适应 DFE 的方框图

应该提及, 馈给反馈滤波器的来自检测器的判决误差对 DFE 的性能只有小的影响。一般在误码率低于  $10^{-2}$  的情况下可能有 1dB~2dB 的性能损失, 但是判决误差在反馈滤波器中不是很大的问题。

尽管 DFE 要比线性均衡器更好一些, 但是在由 (6.4.6) 式给出的接收信号样本  $\{y_k\}$  的信息序列  $\{a_k\}$  的检测中, 从使差错概率最小的观点来看, DFE 不是

最优的。在会产生 ISI 的信道上传输信息的数字通信系统中,最佳检测器是一个最大似然符号序列检测器,这类检测器在它的输出端对给定接收采样序列  $\{y_k\}$  产生最大可能的符号序列  $\{\hat{a}_k\}$ 。也就是说,这个检测器找到使似然函数

$$\Delta(\{a_k\}) = \ln p(\{y_k\} | \{a_k\})$$

最大的序列  $\{\hat{a}_k\}$ ,式中  $p(\{y_k\} | \{a_k\})$  是在  $\{a_k\}$  条件下的联合概率。使这个联合条件概率最大的符号序列  $\{\hat{a}_k\}$  就称为**最大似然序列检测器**。

实现最大似然序列检测(MLSD)的算法是 Viterbi 算法,这个算法原本是为解卷积码(在第 8 章 8.3.2 节讨论)设计的。在有 ISI 时,从序列检测方面对这个算法的介绍读者可参阅书末参考文献[3,4]。

对有 ISI 的信道而言,MLSD 的主要缺点是作为 ISI 跨度函数的计算复杂性的指数特性。因此,MLSD 仅对 ISI 只跨几个符号并且 ISI 是严重的信道才有实际意义。因为在这种情况下会使线性均衡器或反馈判决均衡器的性能严重蜕化。例如,图 6.39 说明经由信道 B(见图 6.35)传输二电平 PAM 信号时利用 Viterbi 算法的差错概率性能。为了比较,图中也画出了 DFE 的差错概率。这两个结果都是用计算机仿真得到的。可以看到,在差错概率  $10^{-4}$  情况下,MLSD 的性能要比 DFE 好 4.5 dB 左右。所以这就是在相对短的 ISI 跨度的信道上,MLSD 使性能显著提高的一个例子。

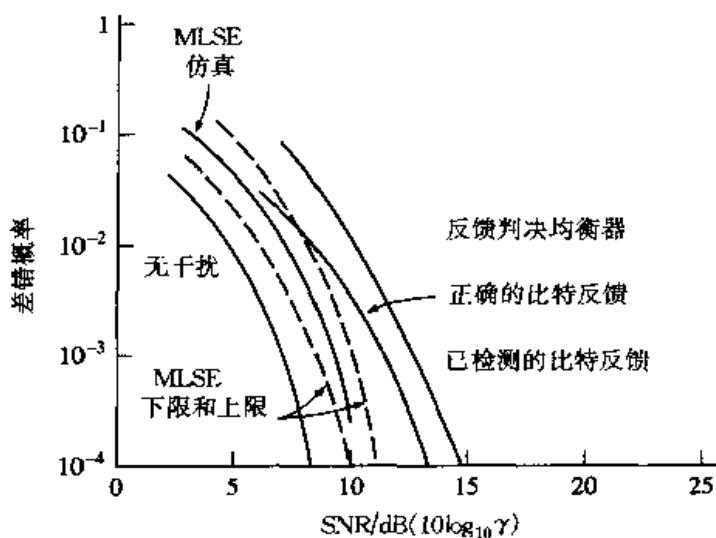


图 6.39 经由在图 6.35 中的信道 B 传输二电平 PAM 的 Viterbi 算法的差错概率

总之,信道均衡器广泛用于数字通信系统以降低由信道失真引起的 ISI 的影响。线性均衡器一般用于在电话信道上传输数据的高速调制-解调器中。对于无线传输,诸如移动蜂窝通信和办公室之间的通信,传输信号的多径传播会形

成严重的 ISI。这类信道要求功能更强的均衡器来对抗这一严重的 ISI。反馈判决均衡器和 MLSD 是两种适合于有严重 ISI 无线信道的非线性均衡器。

## 习 题

- 6.1 解答题 6.1 中矩形脉冲的傅里叶变换和功率谱  $\mathcal{S}_v(f)$  都能用离散傅里叶变换(DFT)或 FFT 算法由 MATLAB 数值地计算出。归一化  $T=1$  和  $\sigma_a^2=1$ , 然后在  $t=k/10, k=0, 1, 2, \dots, 127$  对矩形脉冲  $g(t)$  采样, 得到  $g(t)$  样值序列  $\{g_k\}$ 。用 MATLAB 计算 128 点  $\{g_k\}$  的 DFT, 并画出  $|G_m|^2, m=0, 1, \dots, 127$ 。同时也画出由 (6.2.13) 式给出的真正的谱  $|G(f)|^2$ , 比较这两个结果。

- 6.2 当  $g(t)$  给出为

$$g(t) = \begin{cases} \frac{1}{2} \left( 1 - \cos \frac{2\pi t}{T} \right), & 0 \leq t \leq T \\ 0 & \text{其余 } t \end{cases}$$

重做习题 6.1。计算时令  $T=1$ 。

- 6.3 当脉冲  $g(t)$  为

$$g(t) = \begin{cases} \frac{1}{2} \left( 1 - \cos \frac{2\pi t}{T} \right), & 0 \leq t \leq T \\ 0 & \text{其余 } t \end{cases}$$

和信号幅度序列  $\{a_n\}$  有 (6.2.14) 式给出的相关函数时, 写一个 MATLAB 程序计算信号  $V(t)$  的功率谱  $\mathcal{S}_v(f)$ 。

- 6.4 利用 MATLAB 设计一个 FIR 线性相位滤波器对某一低通带限信道建模, 该信道在  $|f| \leq 3000$  Hz 通带内有  $\frac{1}{2}$  dB 波纹(起伏), 在  $|f| \geq 3500$  Hz 的阻带有 -40 dB 的衰减。画出这个冲激响应和频率响应。
- 6.5 写一 MATLAB 程序设计一 FIR 线性相位滤波器对某一低通带限信道建模, 该信道有如下期望的幅度响应

$$A(f) = \begin{cases} 1, & |f| \leq 3000 \\ 0, & f > 3000 \end{cases}$$

设计采用窗函数法, 利用 Hanning 窗。

- 6.6 写一 MATLAB 程序, 该程序产生在解答题 6.5 中的两径(多径)信道的冲激响应, 并画出  $p=0.95$  的冲激响应和 5 个样本的延时。
- 6.7 写一 MATLAB 仿真程序, 实现解答题 6.6 中的信道 1, 并当 10 000 个二进制数据比特  $\{\pm 1\}$  经由该信道传输时测量误码率。信道受到方差为  $\sigma^2=0, \sigma^2=0.1, \sigma^2=0.2, \sigma^2=0.5$  和  $\sigma^2=1.0$  的 AWGN 污损。

6.8 若信道为

$$x_n = \begin{cases} 1, & n = 0 \\ 0.25, & n = \pm 1 \\ 0, & \text{其余 } n \end{cases}$$

重做习题 6.7。

6.9 写一 MATLAB 程序,产生具有任意滚降系数  $\alpha$ ,由(6.5.9)式给出的发送滤波器冲激响应  $g_T(t)$  的样本,求出并画出  $\alpha = \frac{1}{2}$  和  $N = 31$  时的  $g_T(n)$ 。同时也求出并画出这个滤波器的频率响应特性的幅度特性[通过将  $g_T(n)$  补上  $3N$  个零值,再作  $g_T(n)$  的  $4N$  点 DFT]。

6.10 写一 MATLAB 程序,计算任何发送滤波器  $g_T(n)$  与在接收端和其匹配的滤波器级联的总冲激响应。这一计算可用 DFT 按下述步骤进行:将  $g_T(n)$  补  $(N-1)$  (或更多)个零值并计算  $(2N-1)$  点(或更多)DFT,得到  $G_T(k)$ 。然后形成  $|G_T(k)|^2$  并计算  $|G_T(k)|^2$  的  $(2N-1)$  点的逆 DFT。对习题 6.9 中的这个滤波器求总冲激响应,并将这一结果与以  $F_s = 4/T$  采样  $x_{rc}(t)$  所得理想冲激响应作比较。

6.11 对于  $N = 21$  和  $N = 41$  重做习题 6.9。画出这个离散时间滤波器的频率响应,并将它与在习题 6.9 中所得结果作比较。

6.12 写一 MATLAB 程序,它取某一数据序列  $\{D_k\}$ ,将它对一修正双二进制脉冲传输系统进行预编码产生  $\{p_k\}$ ,并将这个预编码序列映射为发送幅度电平  $\{a_k\}$ 。然后,由这个发送序列形成无噪声的接收序列  $\{b_k = a_k - a_{k-2}\}$ ,并利用(6.5.37)式的关系恢复数据信号  $\{D_k\}$ 。对  $M = 2$  和  $M = 4$  发送幅度电平的任意伪随机数据序列  $\{D_k\}$  运行这个程序,并校核结果。

6.13 写一 MATLAB 程序对采用双二进制信号脉冲的二电平 PAM 通信系统进行 Monte Carlo 仿真,这里预编码和幅度序列  $\{a_k\}$  都按解说题 6.9 完成。按(6.5.22)式所指出的将高斯噪声加到接收序列  $\{b_k\}$  上去以形成检测器的输入,并用(6.5.28)式的检测规则恢复这个数据。对 10 000 个比特执行这个仿真,并在  $\sigma^2 = 0.1$ ,  $\sigma^2 = 0.5$  和  $\sigma^2 = 1$  时测量比特差错概率。画出无 ISI 的二电平 PAM 的理论差错概率,并将 Monte Carlo 的仿真结果与该理想性能作比较。你应该看到在双二进制系统性能上有某些小的降低。

6.14 对采样率  $F_s = 8/T$ ,  $\alpha = \frac{1}{2}$  和  $N = 61$  重做习题 6.9。高的采样率会得到更好的频率响应特性吗? 也就是说更加与  $X_{rc}(f)$  匹配吗?

6.15 对习题 6.14 设计的滤波器,利用在习题 6.10 中叙述的过程计算并画出

这个滤波器与其匹配的滤波器级联的输出。将这个采样的冲激响应与用采样率  $F_s = 8/T$  对  $x_{rc}(t)$  采样得到的理想冲激响应作比较。这个较高的采样率产生了这个离散时间滤波器的冲激响应对理想滤波器冲激响应一个更好的近似吗?

- 6.16 写一 MATLAB 程序,该程序针对由(6.5.18)式给出的修正双二进制脉冲产生由(6.5.21)式给出的发送滤波器的冲激响应  $g_T(t)$ 。求出并画出  $N=31$  的  $g_T(n)$ 。同时还求出并画出这个滤波器频率响应的幅度。
- 6.17 对习题 6.16 设计的滤波器重做习题 6.10。
- 6.18 对  $N=21$  和  $N=41$  重做习题 6.16。将这两滤波器的频率响应与习题 6.16 设计的滤波器频率响应作比较。这些频率响应特性的主要差别是什么?
- 6.19 考虑解说题 6.10 中的信道失真脉冲  $x(t)$ 。将该脉冲以  $2/T$  采样率采样并用  $2K+1=11$  节的强迫归零均衡器给予均衡。写一 MATLAB 程序来解这些强迫归零均衡器的系数,求出并画出这个归零均衡器 50 个采样值的输出。
- 6.20 对于 MSE 均衡器用  $\sigma^2=0.01$ ,  $\sigma^2=0.1$  和  $\sigma^2=1.0$  重做习题 6.19。将这些均衡器的系数与习题 6.19 求得的系数作比较,并当  $\sigma^2$  改变时对结果作讨论。
- 6.21 写一 MATLAB 程序,计算基于 MSE 准则的任意长度  $2K+1$  的 FIR 均衡器的抽头系数,已知在符号率下取得的脉冲  $x(t)$  的采样值和加性噪声的谱密度  $\sigma^2$  作为输入。用这个程序求当  $x(t)$  的采样值是

$$x(nT) = \begin{cases} 1, & n = 0 \\ 0.5, & n = \pm 1 \\ 0.3, & n = \pm 3 \\ 0.1, & n = \pm 4 \end{cases}$$

和  $\sigma^2=0.01$ ,  $\sigma^2=0.1$  时 11 节均衡器的系数。同时还求出最佳均衡器系数的最小 MSE。

- 6.22 对习题 6.21 给出的信道特性,当均衡器抽头数为 21 时求 MSE 均衡器的系数和最小 MSE。将这些系数与习题 6.21 所得系数值作比较,并讨论是否用较长的均衡器所获得在 MSE 上的减小是足够的大,以证实它的应用是恰当的。
- 6.23 将信道采样的响应与均衡器系数作卷积并观察所产生的输出序列可以求出残余的 ISI 量。写一 MATLAB 程序计算当输入是采样的信道特性时,计算一给定长度的均衡器的输出。为简单起见,考虑均衡器是符号间隔均衡器,信道采样响应也由符号间隔样本组成。用这个程序求由习题



6.21 给出的信道响应,一个归零符号间隔均衡器的输出。

- 6.24 写一个 MATLAB Monte Carlo 仿真程序仿真如图 P6.24 建模的数字通信系统。信道按符号间隔值的 FIR 滤波器建模,MSE 均衡器也是一个按符号间隔抽头系数的 FIR 滤波器。用发送训练符号对该均衡器进行初始训练。在数据方式中,该均衡器采用检测器的输出形成误差信号。利用 1 000 个训练(二进制)符号和 10 000 个二进制数据符号对习题 6.21 给出的信道模型完成系数的 Monte Carlo 仿真。分别用  $\sigma^2 = 0.01$ ,  $\sigma^2 = 0.1$  和  $\sigma^2 = 1$ 。将测出的误码率与无 ISI 的理想信道误码率作比较。

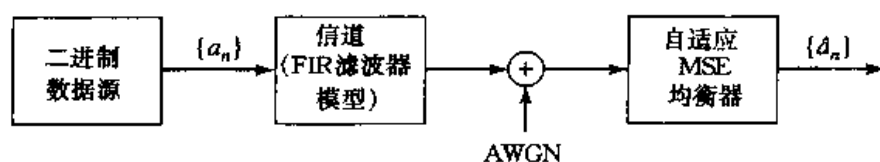


图 P6.24



# 第 7 章 载波调制的数字传输

## 7.1 概述

前面两章讨论的都是数字信息经由基带的传输。在这种情况下,载有信息的信号是直接通过信道传输而不用某一正弦载波。然而,大多数通信信道都是带通信道,因此通过这类信道传输信号的唯一办法是将载有信息的信号频率搬到信道的频带之内。

这一章要讨论适合于带通信道的 4 种载波调制信号的形式,它们是:幅度调制信号、正交幅度调制信号、相位键控和频率键控。

## 7.2 载波幅度调制

在基带数字 PAM 中,信号波形具有如下形式

$$s_m(t) = A_m g_T(t) \quad (7.2.1)$$

这里  $A_m$  是第  $m$  个波形的幅度,  $g_T(t)$  是某一种脉冲,它的形状决定了传输信号的谱特性。假设基带信号的频谱是位于频带  $|f| \leq W$  之内,  $W$  是  $|G_T(f)|^2$  的带宽,如图 7.1 所示。已经知道,这个信号幅度取的是离散值为

$$A_m = (2m - 1 - M)d, \quad m = 1, 2, \dots, M \quad (7.2.2)$$

这里  $d$  是两相邻信号点之间的欧氏距离。

为了通过一个带通信道传输这个数字信号波形,就要将这个基带信号波形  $s_m(t)$ ,  $m = 1, 2, \dots, M$ , 乘以形如  $\cos(2\pi f_c t)$  的正弦载波如图 7.2 所示。

这里  $f_c$  是载波频率 ( $f_c > W$ ), 它对应于信道通带的中心频率。因此,传输的信号波形表示为

$$u_m(t) = A_m g_T(t) \cos(2\pi f_c t), \quad m = 1, 2, \dots, M \quad (7.2.3)$$

当传输的脉冲形状  $g_T(t)$  是矩形的特殊情况下,也即

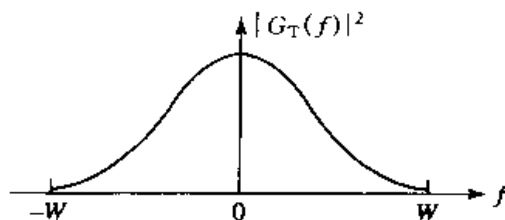


图 7.1 传输信号  $g_T(t)$  的能量密度谱

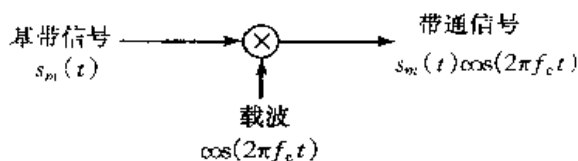


图 7.2 用基带 PAM 信号的正弦载波幅度调制

$$g_T(t) = \begin{cases} \sqrt{\frac{2}{T}}, & 0 \leq t \leq T \\ 0, & \text{其余 } t \end{cases}$$

这个幅度已调的载波信号通常称为**幅度键控**(ASK, amplitude-shift keying)。在这种情况下,这个 PAM 信号不是带限的。

用基带信号波形  $s_m(t)$  调制载波  $\cos(2\pi f_c t)$  的幅度调制将基带信号的频谱搬移一个  $f_c$  的量,并由此而将信号放在信道的带宽内。回忆一下,载波的傅里叶变换是  $[\delta(f - f_c) + \delta(f + f_c)]/2$ ,又由于两个信号在时域内相乘就相应于在频域频谱的卷积,所以这个幅度已调信号的频谱是

$$U_m(f) = \frac{A_m}{2} [G_T(f - f_c) + G_T(f + f_c)] \quad (7.2.4)$$

因此,基带信号  $s_m(t) = A_m g_T(t)$  的频谱就被搬移到载波频率  $f_c$  的频率上。这个带通信号是一个双边带载波抑制(DSB-SC)的 AM 信号,如图 7.3 所示。

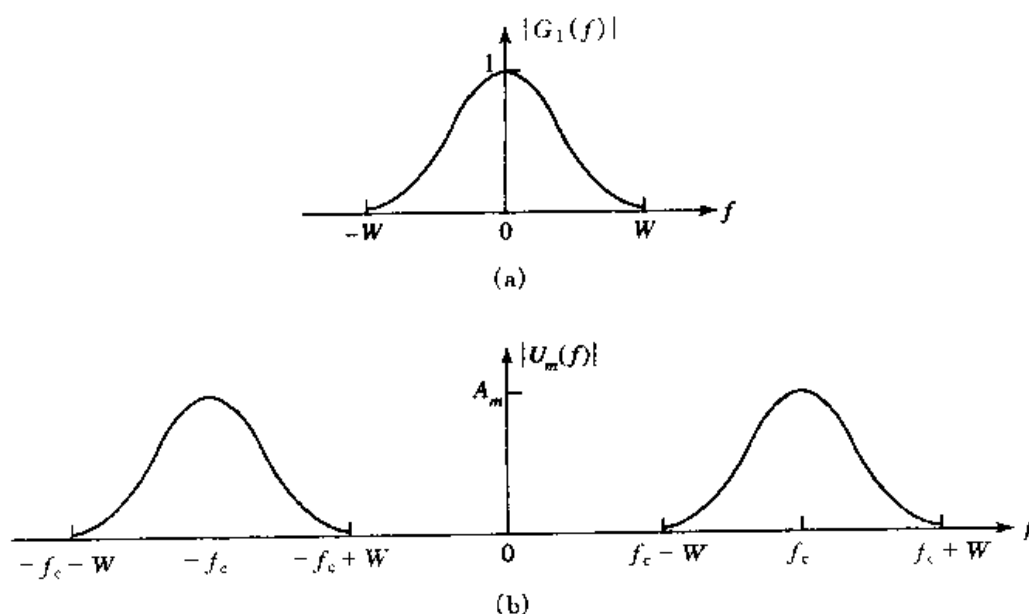


图 7.3 幅度调制

(a) 基带信号的频谱; (b) 幅度已调信号的频谱

值得注意的是,将基带信号  $s_m(t)$ “放”在载波信号  $\cos(2\pi f_c t)$  的幅度上并没有改变这个数字 PAM 信号波形的基本几何形状上的表示。一般,这个带通 PAM 信号波形可以表示成

$$u_m(t) = s_m \Psi(t) \quad (7.2.5)$$

这里定义信号波形  $\Psi(t)$  为

$$\Psi(t) = g_T(t) \cos(2\pi f_c t) \quad (7.2.6)$$

和

$$s_m = A_m, \quad m = 1, 2, \dots, M \quad (7.2.7)$$

代表在实线上取  $M$  个值的信号点,如图 7.4 所示。

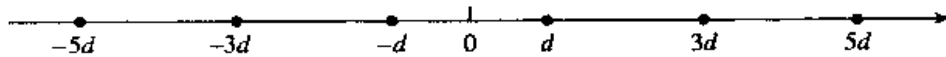


图 7.4 PAM 信号的信号点星座图

将信号波形  $\Psi(t)$  归一化到单位能量,即

$$\int_{-\infty}^{\infty} \Psi^2(t) dt = 1 \quad (7.2.8)$$

这样就有

$$\int_{-\infty}^{\infty} g_T^2(t) \cos^2(2\pi f_c t) dt = \frac{1}{2} \int_{-\infty}^{\infty} g_T^2(t) dt + \frac{1}{2} \int_{-\infty}^{\infty} g_T^2(t) \cos(4\pi f_c t) dt = 1 \quad (7.2.9)$$

但是,由于  $g_T(t)$  的带宽  $W$  比载波频率要小得多,即  $f_c \gg W$ , 而有

$$\int_{-\infty}^{\infty} g_T^2(t) \cos(4\pi f_c t) dt = 0 \quad (7.2.10)$$

在这种情况下,在  $\cos(4\pi f_c t)$  的任何一个周期内,  $g_T(t)$  基本上是不变的,所以 (7.2.10) 式在被积函数的每个周期积分都是零。由于 (7.2.10) 式,可得

$$\frac{1}{2} \int_{-\infty}^{\infty} g_T^2(t) dt = 1 \quad (7.2.11)$$

因此,  $g_T(t)$  必须适当地加权,以使 (7.2.8) 式和 (7.2.11) 式都满足。

### 7.2.1 PAM 信号的解调

一个带通数字 PAM 信号的解调可以用相关或匹配滤波的几种方式之一来完成。为解释方便,现考虑一种相关型式的解调器。

接收信号可表示为

$$r(t) = A_m g_T(t) \cos(2\pi f_c t) + n(t) \quad (7.2.12)$$

这里  $n(t)$  是某个带通噪声过程,它可以表示为

$$n(t) = n_c(t)\cos(2\pi f_c t) - n_s(t)\sin(2\pi f_c t) \quad (7.2.13)$$

式中  $n_c(t)$  和  $n_s(t)$  是该噪声的正交分量。通过将接收信号  $r(t)$  和由(7.2.6)式给出的  $\Psi(t)$  作互相关,如图 7.5 所示,可得输出为

$$\int_{-\infty}^{\infty} r(t)\Psi(t)dt = A_m + n = s_m + n \quad (7.2.14)$$

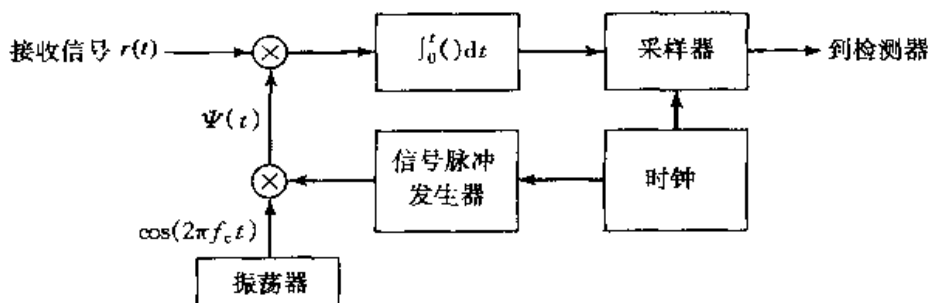


图 7.5 带通数字 PAM 信号的解调

式中  $n$  代表在相关器输出中的加性噪声分量。

该噪声分量有零均值,它的方差能表示为

$$\sigma_n^2 = \int_{-\infty}^{\infty} |\Psi(f)|^2 \mathcal{S}_n(f) df \quad (7.2.15)$$

式中  $\Psi(f)$  是  $\Psi(t)$  的傅里叶变换,  $\mathcal{S}_n(f)$  是加性噪声的功率谱密度。 $\Psi(t)$  的傅里叶变换是

$$\Psi(f) = \frac{1}{2} [G_T(f - f_c) + G_T(f + f_c)] \quad (7.2.16)$$

这个带通加性噪声过程的功率谱密度是

$$\mathcal{S}_n(f) = \begin{cases} \frac{N_0}{2}, & |f - f_c| \leq W \\ 0, & \text{其余 } f \end{cases} \quad (7.2.17)$$

将(7.2.16)式和(7.2.17)式代入(7.2.15)式,并求出该积分值,可得  $\sigma_n^2 = N_0/2$ 。

由(7.2.14)式(它就是幅度检测器的输入)虽然可见,载波已调的 PAM 信号的最佳检测器的差错概率与基带 PAM 的最佳检测差错概率是一样的,即

$$P_M = \frac{2(M-1)}{M} Q \left[ \sqrt{\frac{6(\log_2 M) \mathcal{E}_{avb}}{(M^2-1)N_0}} \right] \quad (7.2.18)$$

式中  $\mathcal{E}_{avb}$  是每比特的平均能量。

## 解答题

### 解答题 7.1[PAM 信号频谱]

在某一幅度调制数字 PAM 系统中。发送滤波器有一个具有开方升余弦频

谱特性的冲激响应  $g_T(t)$ , 如解说题 6.7 所述, 滚降系数  $\alpha = 0.5$ 。载波频率  $f_c = 40/T$ 。求出并画出该基带信号的频谱和幅度已调信号的频谱。

### 题解

图 7.6 示出这两个信号的频谱特性。

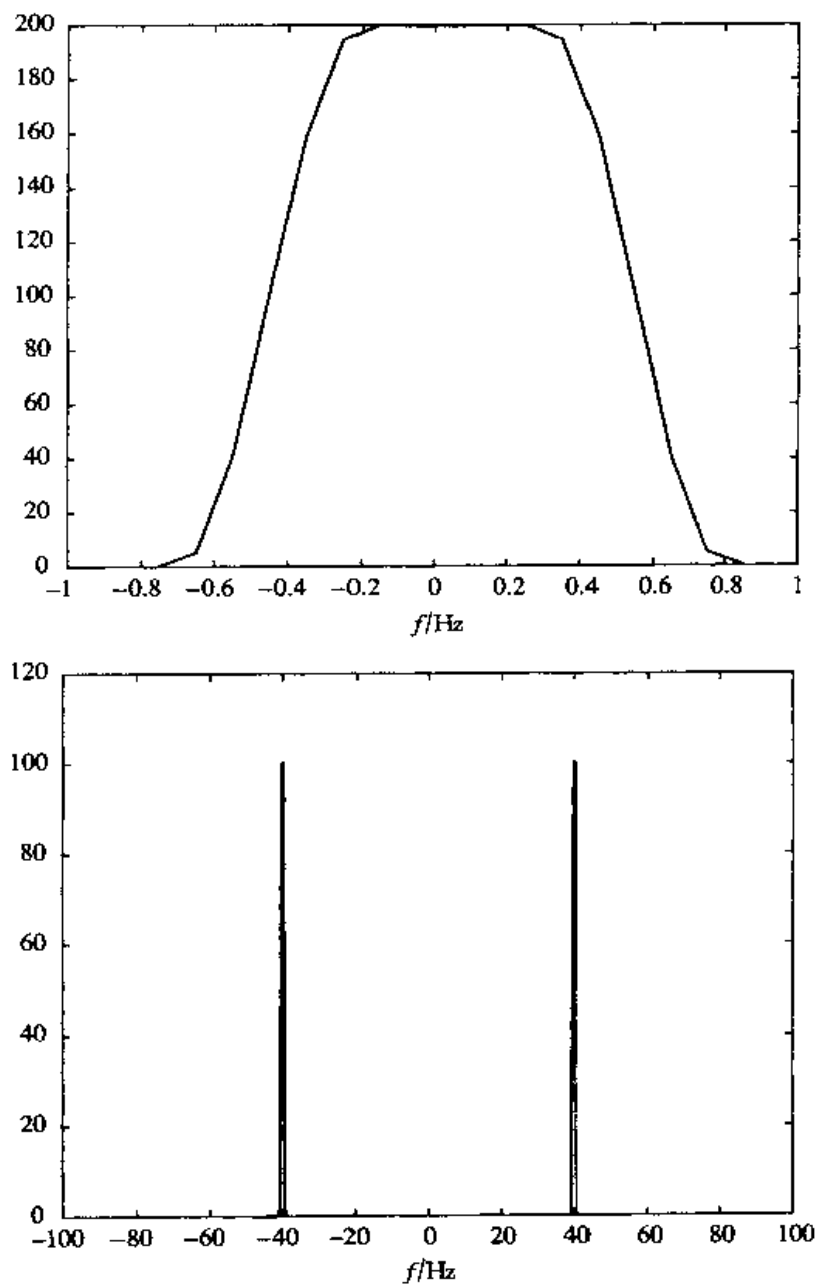


图 7.6 基带信号和幅度已调(带通)信号的频谱

计算本题的 MATLAB 脚本给出如下。

## M 文件

```
% MATLAB script for Illustrated Problem 7.1.
echo on
T=1;
delta_T=T/200;                % sampling interval
alpha=0.5;                    % roll-off factor
fc=40/T;                      % carrier frequency
A_m=1;                        % amplitude
t=-5*T+delta_T:delta_T:5*T;   % time axis
N=length(t);
for i=1:N,
    if (abs(t(i))~=T/(2*alpha)),
        g_T(i) = sinc(t(i)/T)*(cos(pi*alpha*t(i)/T)/(1-4*alpha^2*t(i)^2/T^2));
    else
        g_T(i) = 0;           % the value of g_T is 0 at t=T/(2*alpha)
    end;                       % and at t=-T/(2*alpha)
    echo off ;
end;
echo on;
G_T=abs(fft(g_T));             % spectrum of g_T
u_m=A_m*g_T.*cos(2*pi*fc*i);   % the modulated signal
U_m=abs(fft(u_m));             % spectrum of the modulated signal
% actual frequency scale
f=-0.5/delta_T:1/(delta_T*(N-1)):0.5/delta_T;
% plotting commands follow
figure(1);
plot(f,fftshift(G_T));
axis([-1/T 1/T 0 max(G_T)]);
figure(2);
plot(f,fftshift(U_m));
```

### 7.3 载波相位调制

在载波相位调制中,经过一条通信信道要传输的信息是寄寓在载波的相位之中。由于载波相位的范围是  $0 \leq \theta \leq 2\pi$ , 因此,经由数字相位调制用于传输数字信息的载波相位就是  $\theta_m = 2\pi m/M$ ,  $m = 0, 1, \dots, M-1$ 。这样,对二相相位调制( $M=2$ )来说,两个载波相位是  $\theta_0 = 0$  和  $\theta_1 = \pi$ 。对于  $M$  相相位调制来说  $M=2^k$ , 这里  $k$  是每个传输符号的信息比特数。

一组  $M$  载波相位调制信号波形的一般表示式为

$$u_m(t) = A g_T(t) \cos\left(2\pi f_c t + \frac{2\pi m}{M}\right), \quad m = 0, 1, \dots, M-1 \quad (7.3.1)$$

式中  $g_T(t)$  是发送滤波器的脉冲形状, 它决定了传输信号的频谱特性,  $A$  是信号幅度。这类数字相位调制称为相位键控 (PSK, phase-shift keying)。注意到, PSK 信号对所有  $m$  都具有相等的能量, 即

$$\mathcal{E}_m = \int_{-\infty}^{\infty} u_m^2(t) dt \quad (7.3.2)$$

$$\begin{aligned} &= \int_{-\infty}^{\infty} A^2 g_T^2(t) \cos^2\left(2\pi f_c t + \frac{2\pi m}{M}\right) dt \\ &= \frac{1}{2} \int_{-\infty}^{\infty} A^2 g_T^2(t) dt + \frac{1}{2} \int_{-\infty}^{\infty} A^2 g_T^2(t) \cos\left(4\pi f_c t + \frac{4\pi m}{M}\right) dt \\ &= \frac{A^2}{2} \int_{-\infty}^{\infty} g_T^2(t) dt \end{aligned} \quad (7.3.3)$$

$$= \mathcal{E}_s, \quad \text{全部 } m \quad (7.3.4)$$

式中  $\mathcal{E}_s$  代表每个传输符号的能量。在 (7.3.4) 式中, 凡涉及双倍载波频率的项在  $f_c \gg W$  时积分后都为零, 这里  $W$  是  $g_T(t)$  的带宽。

当  $g_T(t)$  是一个矩形脉冲时, 定义为

$$g_T(t) = \sqrt{\frac{2}{T}}, \quad 0 \leq t \leq T \quad (7.3.5)$$

这时在符号区间  $0 \leq t \leq T$  内传输的信号波形可以表示为 (用  $A = \sqrt{\mathcal{E}_s}$ )

$$u_m(t) = \sqrt{\frac{2\mathcal{E}_s}{T}} \cos\left(2\pi f_c t + \frac{2\pi m}{M}\right), \quad m = 0, 1, \dots, M-1 \quad (7.3.6)$$

注意到, 由 (7.3.6) 式给出的传输信号有一个不变的包络, 而载波相位则在每个信号区间开始时突然变化。图 7.7 说明一种 4 相 ( $M=4$ ) PSK 的信号波形。

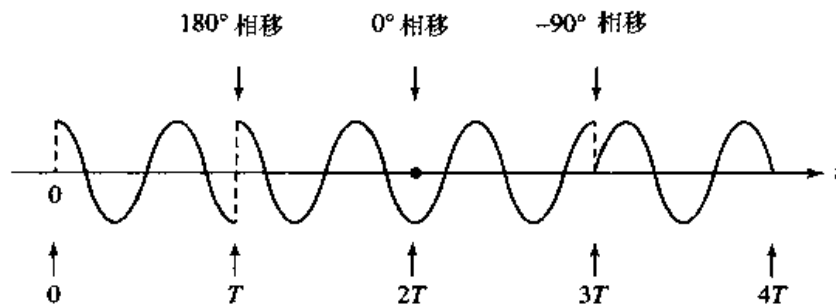


图 7.7 四相 PSK 信号举例

把 (7.3.6) 式中余弦函数的相角看成两个相角的和, 可以将 (7.3.1) 式的波形表示为

## VI 文件

```
% MATLAB script for Illustrative Problem 7.2.
echo on
T=1;
M=8;
Es=T/2;
fc=6/T;                      % carrier frequency
N=100;                       % number of samples
delta_T=T/(N-1);
t=0:delta_T:T;
u0=sqrt(2*Es/T)*cos(2*pi*fc*t);
u1=sqrt(2*Es/T)*cos(2*pi*fc*t+2*pi/M);
u2=sqrt(2*Es/T)*cos(2*pi*fc*t+4*pi/M);
u3=sqrt(2*Es/T)*cos(2*pi*fc*t+6*pi/M);
u4=sqrt(2*Es/T)*cos(2*pi*fc*t+8*pi/M);
u5=sqrt(2*Es/T)*cos(2*pi*fc*t+10*pi/M);
u6=sqrt(2*Es/T)*cos(2*pi*fc*t+12*pi/M);
u7=sqrt(2*Es/T)*cos(2*pi*fc*t+14*pi/M);
% plotting commands follow
subplot(8,1,1);
plot(t,u0);
subplot(8,1,2);
plot(t,u1);
subplot(8,1,3);
plot(t,u2);
subplot(8,1,4);
plot(t,u3);
subplot(8,1,5);
plot(t,u4);
subplot(8,1,6);
plot(t,u5);
subplot(8,1,7);
plot(t,u6);
subplot(8,1,8);
plot(t,u7);
```

### 7.3.1 相位解调与检测

从 AWGN 信道中,在一个信号区间内接收到的带通信号可以表示为

$$\begin{aligned} r(t) &= u_m(t) + n(t) \\ &= u_m(t) + n_c(t)\cos(2\pi f_c t) - n_s(t)\sin(2\pi f_c t) \end{aligned} \quad (7.3.11)$$

这里  $n_c(t)$  和  $n_s(t)$  是加性噪声的两个正交分量。

可以将这个接收信号与由(7.3.9)式给出的  $\Psi_1(t)$  和  $\Psi_2(t)$  作相关,两个相关器的输出产生受噪声污损的信号分量,它们可表示为

$$\mathbf{r} = \mathbf{s}_m + \mathbf{n}$$



$$= \left( \sqrt{\mathcal{E}_s} \cos \frac{2\pi m}{M} + n_c \quad \sqrt{\mathcal{E}_s} \sin \frac{2\pi m}{M} + n_s \right) \quad (7.3.12)$$

式中  $n_c$  和  $n_s$  定义为

$$\begin{aligned} n_c &= \frac{1}{2} \int_{-\infty}^{\infty} g_T(t) n_c(t) dt \\ n_s &= \frac{1}{2} \int_{-\infty}^{\infty} g_T(t) n_s(t) dt \end{aligned} \quad (7.3.13)$$

这两个正交噪声分量  $n_c(t)$  和  $n_s(t)$  是零均值, 互不相关的高斯随机过程。这样,  $E(n_c) = E(n_s) = 0$  和  $E(n_c n_s) = 0$ 。  $n_c$  和  $n_s$  的方差是

$$E(n_c^2) = E(n_s^2) = \frac{N_0}{2} \quad (7.3.14)$$

最佳检测器将接收信号向量  $\mathbf{r}$  投射到  $M$  个可能的传输信号向量  $\{s_m\}$  之一上去, 并选取对应于最大投影的向量。据此, 得到相关准则为

$$C(\mathbf{r}, s_m) = \mathbf{r} \cdot s_m, \quad m = 0, 1, \dots, M-1 \quad (7.3.15)$$

由于全部信号都具有相等的能量, 因此, 对数字相位调制一种等效的检测器标准是计算接收信号向量  $\mathbf{r} = (r_c, r_s)$  的相位为

$$\theta_r = \arctan \frac{r_s}{r_c} \quad (7.3.16)$$

并从信号集  $\{s_m\}$  中选取其相位最接近  $\theta_r$  的信号。

在 AWGN 信道中, 相位调制在检测器端的差错概率可以在有关数字通信的任何教科书中找到。因为二相相位调制与二进制 PAM 是相同的, 所以差错概率为

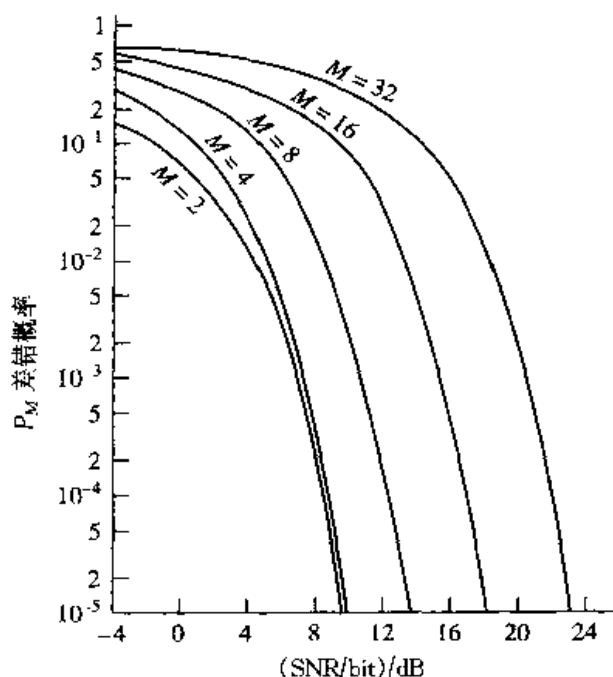
$$P_2 = Q \left[ \sqrt{\frac{2\mathcal{E}_b}{N_0}} \right] \quad (7.3.17)$$

式中  $\mathcal{E}_b$  是每比特的能量。四相相位调制可以看作两个在正交载波上的二相相位调制系统, 所以 1 个比特的差错概率与二相相位调制是一样的。对于  $M > 4$  的符号差错概率不存在简单的闭式表达式。对  $P_M$  的一种好的近似式是

$$\begin{aligned} P_M &\approx 2Q \left[ \sqrt{\frac{2\mathcal{E}_s}{N_0}} \sin \frac{\pi}{M} \right] \\ &\approx 2Q \left[ \sqrt{\frac{2k\mathcal{E}_b}{N_0}} \sin \frac{\pi}{M} \right] \end{aligned} \quad (7.3.18)$$

式中  $k = \log_2 M$  比特/符号。图 7.10 示出作为  $\text{SNR}(\mathcal{E}_b/N_0)$  函数的符号差错概率特性。

由于将  $k$  比特符号映射到对应的信号相位的多种可能性, 所以对  $M$  相相位调制来说等效的比特差错概率也是很难导出的。但是, 当在映射中用格雷码

图 7.10  $M$  相 PSK 的一个符号差错概率

时,对应于相邻信号相位的两个  $k$  比特符号仅在某个单一比特有不同;而由噪声引起的最大可能差错是产生将一个相邻相位错误选为真正的相位,所以最大的  $k$  比特符号差错仅包含单个的比特差错。因此,对  $M$  相相位调制的等效比特差错概率能很好地由下式给予近似。

$$P_b \approx \frac{1}{k} P_M \quad (7.3.19)$$

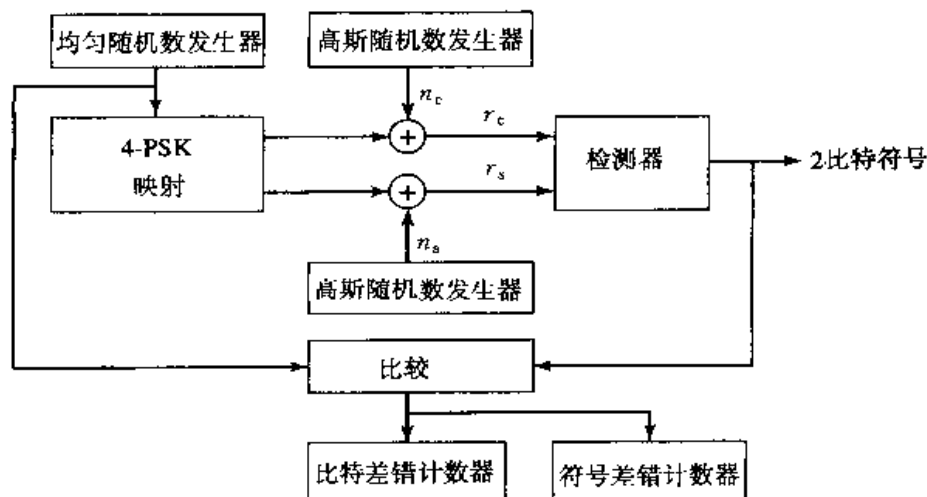
### 解答题

#### 解答题 7.3[PSK 仿真]

完成--  $M=4$  的 PSK 通信系统的 Monte Carlo 仿真,该系统将检测器按计算由(7.3.15)式给出的相关准则建模,待仿真的系统模型如图 7.11 所示。

### 题 解

如图所示,要仿真产生由(7.3.12)式给出的随机向量  $r$ ,它是信号相关器的输出和检测器的输入。先产生一个 4 种符号(2 比特)的序列,将它映射到相应的四相信号点,如图 7.8 中  $M=4$  所示。为了完成这个任务,利用一个随机数发生器,它产生(0,1)范围内的均匀随机数。再将这个范围分成 4 个相等的区间(0, 0.25), (0.25, 0.5), (0.5, 0.75)和(0.75, 1.0),这些子区间分别对应于 00, 01, 11 和 10 信息比特对,再用这些比特对来选择信号相位向量  $s_m$ 。

图 7.11 用于 Monte Carlo 仿真的  $M=4$  的 PSK 系统的方框图

加性噪声分量  $n_c$  和  $n_s$  都是统计独立零均值, 方差为  $\sigma^2$  的高斯随机变量。为方便计, 可以将方差归一化到  $\sigma^2 = 1$ , 而通过给信号能量参数  $\mathcal{E}_s$  加权控制接收信号中的 SNR, 反之亦然。

检测器观察到接收信号向量  $\mathbf{r} = \mathbf{s}_m + \mathbf{n}$  [由 (7.3.12) 式给出], 并计算  $\mathbf{r}$  在 4 种可能的信号向量  $\mathbf{s}_m$  上的投影 (点乘)。根据选取对应于最大投影的信号点作判决, 从检测器的输出判决与传输符号作比较, 最后对符号差错和比特差错计数。

图 7.12 示出对于不同的 SNR 参数  $\mathcal{E}_b/N_0$  (这里  $\mathcal{E}_b = \mathcal{E}_s/2$  是比特能量), 传

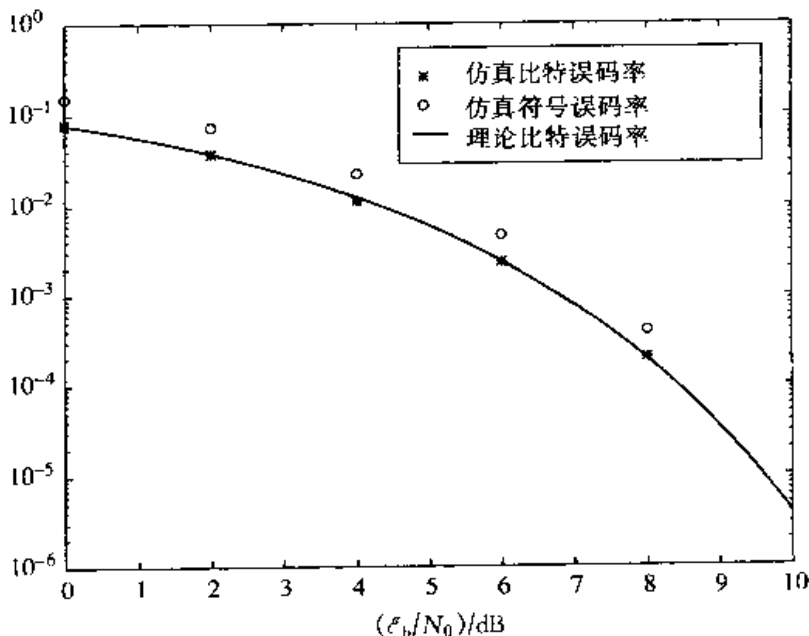


图 7.12 由 Monte Carlo 仿真得出的四相 PSK 系统的性能

输 10 000 个符号的 Monte Carlo 仿真结果。图中示出的是比特误码率, 定义为  $P_b \approx P_M/2$ , 对应的理论差错概率由 (7.3.18) 式给出。

计算这个 Monte Carlo 仿真的 MATLAB 脚本给出如下。

## M 文件

```
% MATLAB script for Illustrative Problem 7.3.
echo on
SNRindB1=0:2:10;
SNRindB2=0:0.1:10;
for i=1:length(SNRindB1),
    [pb,ps]=cm_sm32(SNRindB1(i));           % simulated bit and symbol error rates
    smld_bit_err_prb(i)=pb;
    smld_symbol_err_prb(i)=ps;
    echo off ;
end;
echo on;
for i=1:length(SNRindB2),
    SNR=exp(SNRindB2(i)*log(10)/10);        % signal to noise ratio
    theo_err_prb(i)=Qfunc(sqrt(2*SNR));      % theoretical bit error rate
    echo off ;
end;
echo on ;
% Plotting commands follow
semilogy(SNRindB1,smld_bit_err_prb,'*');
hold
semilogy(SNRindB1,smld_symbol_err_prb,'o');
semilogy(SNRindB2,theo_err_prb);
```

## VI 文件

```
function [pb,ps]=cm_sm32(snr_in_dB)
% [pb,ps]=cm_sm32(snr_in_dB)
% CM_SM32 finds the probability of bit error and symbol error for the
% given value of snr_in_dB, signal to noise ratio in dB.
N=10000;
E=1;                                     % energy per symbol
snr=10^(snr_in_dB/10);                  % signal to noise ratio
sgma=sqrt(E/snr)/2;                     % noise variance
% the signal mapping
s00=[1 0];
s01=[0 1];
s11=[-1 0];
s10=[0 -1];
% generation of the data source
for i=1:N,
    temp=rand;                           % a uniform random variable between 0 and 1
```

```

if (temp<0.25),                                % with probability 1/4, source output is "00"
    dsource1(i)=0;
    dsource2(i)=0;
elseif (temp<0.5),                             % with probability 1/4, source output is "01"
    dsource1(i)=0;
    dsource2(i)=1;
elseif (temp<0.75),                           % with probability 1/4, source output is "10"
    dsource1(i)=1;
    dsource2(i)=0;
else                                            % with probability 1/4, source output is "11"
    dsource1(i)=1;
    dsource2(i)=1;
end;
end;
% detection and the probability of error calculation
numofsyboerror=0;
numofbiterror=0;
for i=1:N,
    % the received signal at the detector, for the ith symbol, is:
    n(1)=gngauss(sigma);
    n(2)=gngauss(sigma);
    if ((dsource1(i)==0) & (dsource2(i)==0)),
        r=s00+n;
    elseif ((dsource1(i)==0) & (dsource2(i)==1)),
        r=s01+n;
    elseif ((dsource1(i)==1) & (dsource2(i)==0)),
        r=s10+n;
    else
        r=s11+n;
    end;
    % The correlation metrics are computed below
    c00=dot(r,s00);
    c01=dot(r,s01);
    c10=dot(r,s10);
    c11=dot(r,s11);
    % The decision on the ith symbol is made next
    c_max=max([c00 c01 c10 c11]);
    if (c00==c_max),
        decisl=0; decisl=0;
    elseif (c01==c_max),
        decisl=0; decisl=1;
    elseif (c10==c_max),
        decisl=1; decisl=0;
    else
        decisl=1; decisl=1;
    end;
    % increment the error counter, if the decision is not correct
    syboerror=0;
    if (decisl~=dsource1(i)),
        numofbiterror=numofbiterror+1;
        syboerror=1;
    end;
    if (decisl~=dsource2(i)),
        numofbiterror=numofbiterror+1;

```

---

```

symbolerror=1;
end;
if (symbolerror==1),
    numofsymbolerror = numofsymbolerror+1;
end;
end;
ps=numofsymbolerror/N;           % since there are totally N symbols
pb=numofbiterror/(2*N);          % since 2N bits are transmitted

```

---

### 7.3.2 差分相位调制与解调

如上所述,相位调制载波信号的解调要求将载波相位分量  $\Psi_1(t)$  和  $\Psi_2(t)$  锁定到接收到的已调载波信号的相位上。一般来说,这意味着接收机在接收信号与两个参考分量  $\Psi_1(t)$  和  $\Psi_2(t)$  的互相关中必须要估计出通过信道以后由传输延时所产生的接收信号的载波相位偏移并补偿这一载波相位偏移。通常用一个锁相环路(PLL)来完成载波相位偏移的估计,从而达到相干相位解调的目的。

另一种载波相位调制的类型是差分相位调制,在这里传输数据在调制器之前先进行差分编码。在差分编码中,信息是用相对于前一个信号区间的相移来携带的。例如,在二相相位调制中信息比特 1 可以用相对于先前载波相位相移载波相位  $180^\circ$  来传输,而信息比特 0 就用相对于前一个信号区间的相位相移零相位来传输。在四相相位调制中,相继区间之间的相对相移是  $0^\circ, 90^\circ, 180^\circ$  和  $270^\circ$ , 它们分别对应于信息比特 00, 01, 11 和 10。对  $M > 4$  的差分编码的推广也是很直接的。用这个编码过程所得出的相位调制信号就称为差分编码。这一编码在调制器之前可用一个相当简单的逻辑电路来实现。

差分编码的相位调制信号的解调和检测可按下述步骤来完成。在检测器接收信号相位  $\theta_r = \arctan(r_s/r_c)$  映射到最接近于  $\theta_r$  的  $M$  个可能传输的信号相位  $\{\theta_m\}$  之一,紧跟着这个检测器的是一个相对简单的相位比较器,它在两个相继的信号区间上比较这些检测信号的相位以提取传输的信息。

我们看到,差分编码的相位调制信号的解调不要求载波相位的估计。为了详细说明,假设通过  $r(t)$  与  $g_T(t)\cos(2\pi f_c t)$  和  $-g_T(t)\sin(2\pi f_c t)$  互相关对差分编码信号进行解调。在第  $k$  个信号区间,解调器输出的两个分量可用复数形式表示为

$$r_k = \sqrt{c_s} e^{j(\theta_k + \phi)} + n_k \quad (7.3.20)$$

式中  $\theta_k$  是在第  $k$  个信号区间上传输信号的相角,  $\phi$  是载波相位,  $n_k = n_{kc} + j n_{ks}$  是噪声。相类似,在前一个信号区间上,解调器输出的接收信号向量也是复数量为

$$r_{k-1} = \mathcal{E}_s e^{j(\theta_{k-1} - \phi)} + n_{k-1} \quad (7.3.21)$$

相位检测器的判决变量就是这两个复数之间的相位差。等效地说,可以将  $r_k$  投射到  $r_{k-1}$  上,并用所得到的复数相位,即

$$r_k r_{k-1}^* = \mathcal{E}_s e^{j(\theta_k - \theta_{k-1})} + \sqrt{\mathcal{E}_s} e^{j(\theta_k - \phi)} n_{k-1} + \sqrt{\mathcal{E}_s} e^{j(\theta_{k-1} - \phi)} n_k + n_k n_{k-1}^* \quad (7.3.22)$$

在无噪声时,这就得出了相位差  $\theta_k - \theta_{k-1}$ 。这样,  $r_k r_{k-1}^*$  的均值就与载波相位无关。按照上述方法解调和检测的差分编码 PSK 信号就称为差分 PSK (DPSK)。DPSK 的解调和检测如图 7.13 所说明。

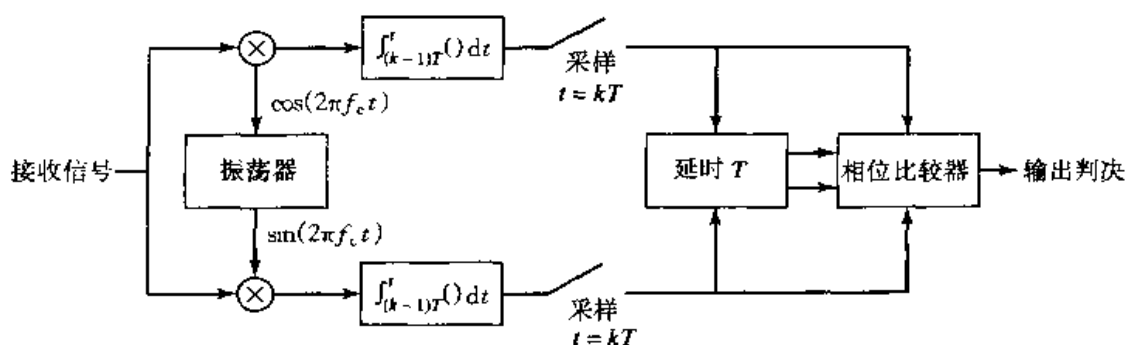


图 7.13 DPSK 解调器方框图

对于二相 ( $M=2$ ) 相位调制来说,在 AWGN 信道中导出 DPSK 的差错概率是相当简单的,其结果是

$$P_2 = \frac{1}{2} e^{-\mathcal{E}_b/N_0} \quad (7.3.23)$$

图 7.14 示出 (7.3.23) 式的图,图中也示出二相 PSK 的差错概率。由图可见,在差错概率低于  $10^{-4}$  以下,二相 PSK 和二相 DPSK 之间在 SNR 上的差小于 1 dB。

对于  $M>2$  要准确求得 DPSK 解调器和检测器的差错概率性能是极为困难的。其主要困难在确定随机变量  $r_k r_{k-1}^*$  相位的概率密度函数上 (由 (7.3.22) 式给出的)。然而,一个 DPSK 性能的近似式还是容易得到的,现在就来给予说明。

不失一般性,假定相位差  $\theta_k - \theta_{k-1} = 0$ 。另外进一步假设在 (7.3.22) 式中的指数因子  $e^{-j(\theta_{k-1} - \phi)}$  和  $e^{j(\theta_k - \phi)}$  可以吸收进高斯噪声分量  $n_{k-1}$  和  $n_k$  中去而不改变它们的统计性质。因此,在 (7.3.22) 式的  $r_k r_{k-1}^*$  可以表示成

$$r_k r_{k-1}^* = \mathcal{E}_s + \sqrt{\mathcal{E}_s} (n_k + n_{k-1}^*) + n_k n_{k-1}^* \quad (7.3.24)$$

在确定这个相位概率密度函数的复杂性是在  $n_k n_{k-1}^*$  这一项上。然而,从实际意义上的 SNR,这一项  $n_k n_{k-1}^*$  相对于主要噪声项  $\sqrt{\mathcal{E}_s} (n_k + n_{k-1}^*)$  是小的。如果忽

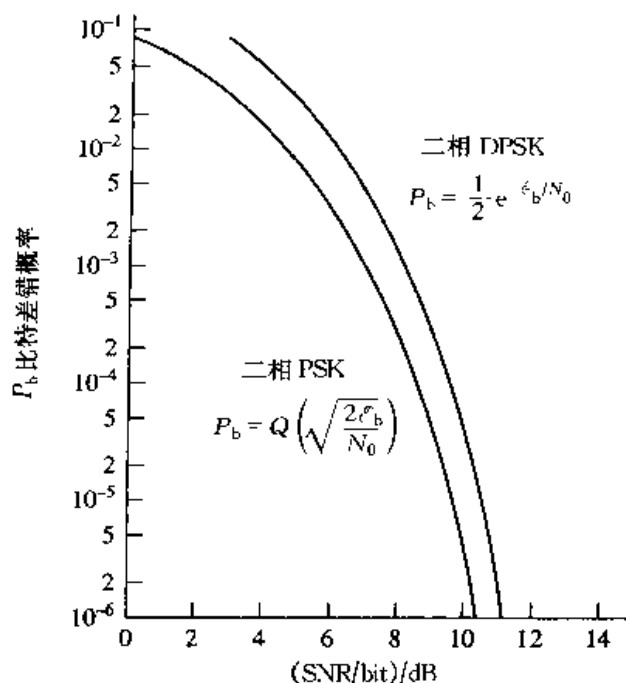


图 7.14 二相 PSK 和 DPSK 的差错概率

略掉这一项  $n_k n_{k-1}^*$ , 并将  $r_k r_{k-1}^*$  经由  $\sqrt{E_s}$  归一化, 那么新的判决标准就变成

$$\begin{aligned} x &= \sqrt{E_s} + \operatorname{Re}(n_k + n_{k-1}^*) \\ y &= \operatorname{Im}(n_k + n_{k-1}^*) \end{aligned} \quad (7.3.25)$$

变量  $x$  和  $y$  是同方差  $\sigma^2 = N_0$  的不相关高斯随机变量。这个相位是

$$\theta_r = \arctan \frac{y}{x}$$

在这一步所面对的问题就与在相位相干解调中所遇到的是相同的了。唯一的差别是现在的噪声方差为 PSK 情况的两倍。据此可得, DPSK 的性能比 PSK 要差 3 dB。这个结果对于  $M \geq 4$  是相当好的, 但是对于  $M = 2$  就不乐观了, 因为在大的 SNR 下, 二相 DPSK 相对于二相 PSK 来说其损失是小于 3 dB 的。

### 解答题

#### 解答题 7.4 [DPSK 编码器]

对  $M = 8$  的 DPSK 实现一个差分编码器。

### 题解

这个信号点图与 PSK 是相同的, 如图 7.8 所示。然而, 对 DPSK 来说, 这些信号点代表的是相对前面传输信号点相位的相位变化。



实现这个差分编码器的 MATLAB 脚本给出如下。

### M 文件

```
% MATLAB script for Illustrative Problem 7.4.
mapping=[0 1 3 2 7 6 4 5];           % For Gray mapping
M=8;
E=1;
sequence=[0 1 0 0 1 1 0 0 1 1 1 1 1 0 0 0 0];
[e]=cm_dpske(E,M,mapping,sequence);  % e is the differential encoder output
```

### 解说题

#### 解说题 7.5

完成一个  $M=4$  的 DPSK 通信系统的 Monte Carlo 仿真,待仿真的系统模型如图 7.15 所示。

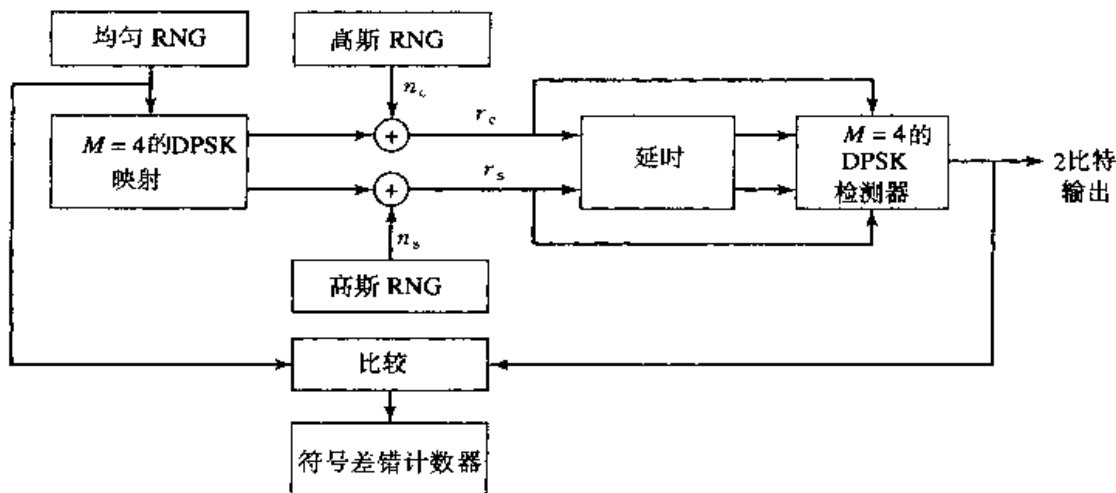


图 7.15 用于 Monte Carlo 仿真的  $M=4$  的 DPSK 系统方框图

### 题解

与在解说题 7.3 中所述相同,用均匀随机数发生器(RNG)产生[00,01,11,10]比特对,用差分编码将每 2 比特符号映射到 4 种信号点  $s_m = [\cos(\pi m/2) \sin(\pi m/2)]$ ,  $m=0, 1, 2, 3$ , 中之一个。用两个高斯 RNG 产生噪声分量  $[n_c, n_s]$ ,那么接收到的信号加噪声向量是

$$\begin{aligned} \mathbf{r} &= \left[ \cos \frac{\pi m}{2} + n_c, \sin \frac{\pi m}{2} + n_s \right] \\ &= [r_c, r_s] \end{aligned}$$

差分检测器基本上就是将  $r_k$  和  $r_{k-1}$  之间的差计算出。数学上, 这个计算可以按 (7.3.22) 式进行, 即

$$\begin{aligned} r_k r_{k-1}^* &= (r_{ck} + j r_{sk})(r_{ck-1} - j r_{sk-1}) \\ &= r_{ck} r_{ck-1} + r_{sk} r_{sk-1} + j(r_{sk} r_{ck-1} - r_{ck} r_{sk-1}) \\ &= x_k + j y_k \end{aligned}$$

$\theta_k = \arctan(y_k/x_k)$  就是相位差。将  $\theta_k$  值与可能的相位差  $\{0^\circ, 90^\circ, 180^\circ, 270^\circ\}$  作比较并以最接近于  $\theta_k$  的相位作出判决。然后将检测出的相位映射到信息比特对。差错计数器计出在检测序列中的符号差错。

图 7.16 示出在不同的 SNR 参数  $\mathcal{E}_b/N_0$  下, 传输  $N = 10\,000$  个符号时的 Monte Carlo 仿真结果, 这里  $\mathcal{E}_b = \mathcal{E}_s/2$  是比特能量。图中还示出在略去  $n_k n_{k-1}^*$  项后近似的符号差错理论值。由图可见, 近似结果是差错概率的上限。

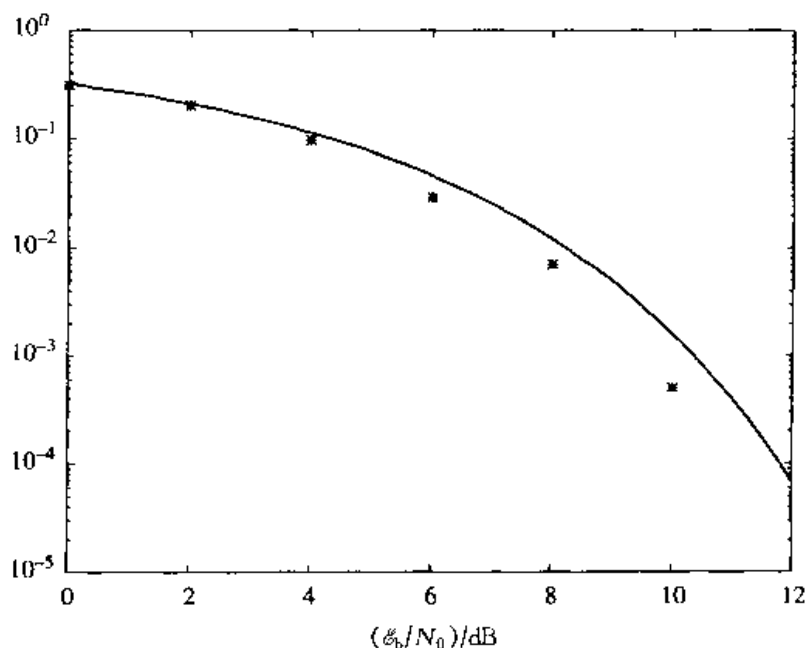


图 7.16  $M=4$  的 DPSK 系统 Monte Carlo 仿真性能  
(实线是基于略去噪声项  $n_k n_{k-1}^*$  的近似结果, 是一个上限)

这个 Monte Carlo 仿真的 MATLAB 脚本给出如下。

### M 文件

```
% MATLAB script for Illustrative Problem 7.5.
echo on
SNRindB1=0:2:12;
SNRindB2=0:0.1:12;
```

```

for i=1:length(SNRindB1),
    smld_err_prb(i)=cm_sm34(SNRindB1(i)); % simulated error rate
    echo off ;
end;
echo on ;
for i=1:length(SNRindB2),
    SNR=exp(SNRindB2(i)*log(10)/10); % signal to noise ratio
    theo_err_prb(i)=2*Qfunc(sqrt(SNR)); % theoretical symbol error rate
    echo off ;
end;
echo on ;
% Plotting commands follow
semilogy(SNRindB1,smld_err_prb,'*');
hold
semilogy(SNRindB2,theo_err_prb);

```

## M 文件

```

function [p]=cm_sm34(snr_in_dB)
% [p]=cm_sm34(snr_in_dB)
%          CM_SM34 finds the probability of error for the given
%          value of snr_in_dB, signal to noise ratio in dB.
N=10000;
E=1; % energy per symbol
snr=10^(snr_in_dB/10); % signal to noise ratio
sgma=sqrt(E/(4*snr)); % noise variance
% generation of the data source follows
for i=1:2*N,
    temp=rand; % a uniform random variable between 0 and 1
    if (temp<0.5),
        dsource(i)=0; % with probability 1/2, source output is "0"
    else
        dsource(i)=1; % with probability 1/2, source output is "1"
    end;
end;
% Differential encoding of the data source follows
mapping=[0 1 3 2];
M=4;
[diff_enc_output] = cm_dpske(E,M,mapping,dsource);
% received signal is then
for i=1:N,
    [n(1) n(2)]=gngauss(sgma);
    r(i,:)=diff_enc_output(i,:)+n;
end;
% detection and the probability of error calculation
numoferr=0;
prev_theta=0;
for i=1:N,
    theta=angle(r(i,1)+j*r(i,2));
    delta_theta=mod(theta-prev_theta,2*pi);

```

---

```

if ((delta_theta<pi/4) | (delta_theta>7*pi/4)),
    decis=[0 0];
elseif (delta_theta<3*pi/4),
    decis=[0 1];
elseif (delta_theta<5*pi/4)
    decis=[1 1];
else
    decis=[1 0];
end;
prev_theta=theta;
% increase the error counter, if the decision is not correct
if ((decis(1)~=dsource(2*i-1)) | (decis(2)~=dsource(2*i))),
    numoferr=numoferr+1;
end;
end;
p=numoferr/N;

```

---

## M 文件

---

```

function [enc_comp] = cm_dpske(E,M,mapping,sequence);
% [enc_comp] = cm_dpske(E,M,mapping,sequence)
%           CM_DPSKE differentially encodes a sequence.
%           E is the average energy, M is the number of constellation points
%           and mapping is the vector defining how the constellation points are
%           allocated. Finally, "sequence" is the uncoded binary data sequence.
k=log2(M);
N=length(sequence);
% If N is not divisible by k, append zeros, so that it is...
remainder=rem(N,k);
if (remainder~=0),
    for i=N+1:N+k-remainder,
        sequence(i)=0;
    end;
    N=N+k-remainder;
end;
theta=0; % Initially, assume that theta=0
for i=1:k:N,
    index=0;
    for j=i:i+k-1,
        index=2*index+sequence(j);
    end;
    index=index+1;
    theta=mod(2*pi*mapping(index)/M+theta,2*pi);
    enc_comp((i+k-1)/k,1)=sqrt(E)*cos(theta);
    enc_comp((i+k-1)/k,2)=sqrt(E)*sin(theta);
end;

```

---

## 7.4 正交幅度调制

正交幅度调制(QAM)信号使用两个正交载波  $\cos(2\pi f_c t)$  和  $\sin(2\pi f_c t)$ , 其中每一个都被一个独立的信息比特序列所调制。这个传输信号波形具有如下形式

$$u_m(t) = A_{mc}g_T(t)\cos(2\pi f_c t) + A_{ms}g_T(t)\sin(2\pi f_c t), \quad m = 1, 2, \dots, M \quad (7.4.1)$$

式中  $|A_{mc}|$  和  $|A_{ms}|$  是一组幅度电平, 它们通过将  $k$  比特序列映射到信号的幅度而得到。例如, 图 7.17 示出一个 16 QAM 的信号星座图, 它是通过以  $M=4$  的 PAM 用幅度调制每一个正交载波而得到的。一般来说, 当两个正交载波每一个都用 PAM 调制的话, 就会形成矩形的信号星座图。

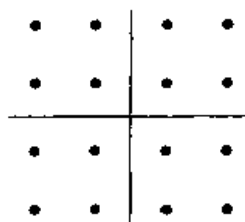


图 7.17  $M=16$  的 QAM 的信号星座图

更一般地说, QAM 可以看成是一种兼有数字幅度和数字相位调制的形式, 因此传输的 QAM 信号波形可以表示成

$$u_{mn}(t) = A_m g_T(t) \cos(2\pi f_c t + \theta_n), \quad m = 1, 2, \dots, M_1, \quad n = 1, 2, \dots, M_2 \quad (7.4.2)$$

如果  $M_1 = 2^{k_1}$  和  $M_2 = 2^{k_2}$ , 那么这种兼有幅度和相位调制方法就形成以符号率  $R_b/(k_1 + k_2)$  的  $k_1 + k_2 = \log_2(M_1 M_2)$  个二进制数字的同时传输。图 7.18 是一个 QAM 调制器的功能方框图。

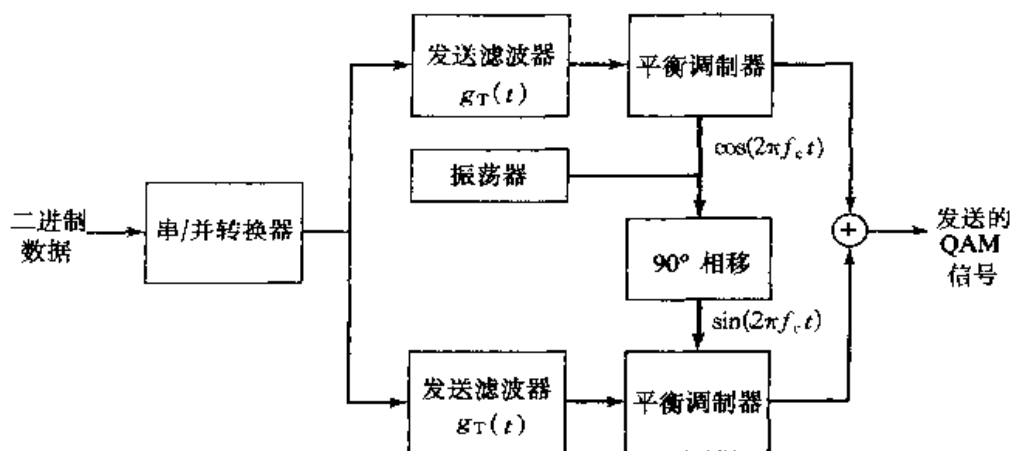


图 7.18 QAM 调制器的功能方框图

很清楚, 由(7.4.1)式和(7.4.2)式给出的信号, 其几何信号表示利用二维信

号向量的形式是

$$s_m = (\sqrt{\epsilon_c} A_{mc} \quad \sqrt{\epsilon_s} A_{ms}), \quad m = 1, 2, \dots, M \quad (7.4.3)$$

图 7.19 示出 QAM 信号空间星座图的几个例子。注意到,  $M=4$  的 QAM 与  $M=4$  的 PSK, 其星座图是一样的。

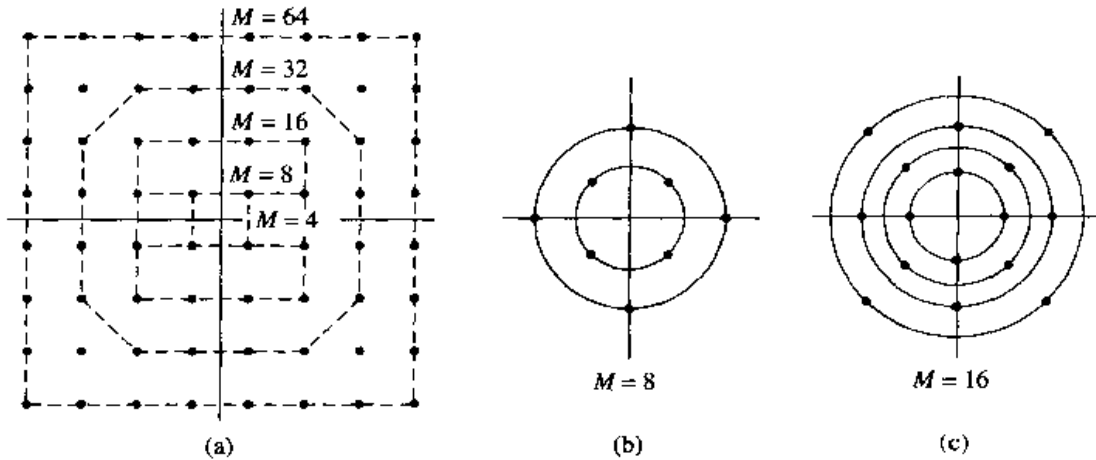


图 7.19 (a)矩形星座图; (b)和(c)是圆形 QAM 信号的星座图

#### 7.4.1 QAM 的解调和检测

现在假设信号在通过信道的传输过程中引入了载波相位偏移;另外,接收信号受到加性高斯噪声的污损。因此,  $r(t)$  可表示为

$$r(t) = A_{mc} g_T(t) \cos(2\pi f_c t + \phi) + A_{ms} g_T(t) \sin(2\pi f_c t + \phi) + n(t) \quad (7.4.4)$$

式中  $\phi$  是载波相位偏移,而

$$n(t) = n_c(t) \cos(2\pi f_c t) - n_s(t) \sin(2\pi f_c t)$$

将接收信号与两个相移的基函数

$$\begin{aligned} \Psi_1(t) &= g_T(t) \cos(2\pi f_c t + \phi) \\ \Psi_2(t) &= g_T(t) \sin(2\pi f_c t + \phi) \end{aligned} \quad (7.4.5)$$

作相关如图 7.20 所示,而且将相关器的输出采样并送至检测器。在图 7.20 中示出的锁相环(PLL)估计出接收信号的载波相位偏移  $\phi$ , 并通过将  $\Psi_1(t)$  和  $\Psi_2(t)$  的相移补偿这个相位偏移,这就如(7.4.5)式所指出的。假定图 7.20 中的时钟已与接收信号同步,使得相关器的输出在合适的瞬间采样。在这些条件下,两个相关器的输出是

$$\begin{aligned} r_c &= A_{mc} + n_c \cos \phi - n_s \sin \phi \\ r_s &= A_{ms} + n_c \sin \phi + n_s \cos \phi \end{aligned} \quad (7.4.6)$$

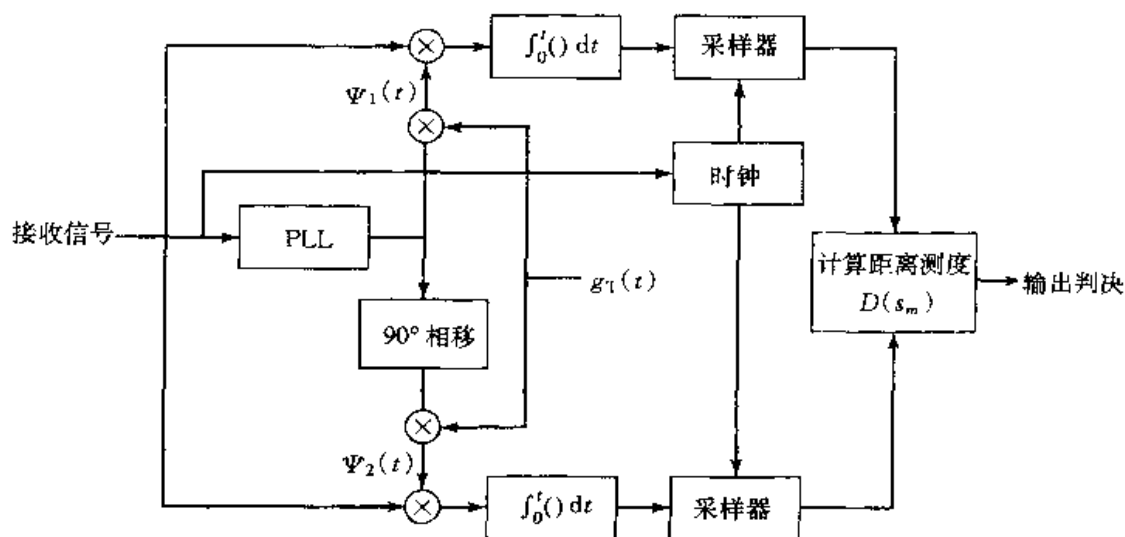


图 7.20 QAM 信号的解调与检测

这里  $n_c$  和  $n_s$  分别为

$$\begin{aligned} n_c &= \frac{1}{2} \int_0^T n_c(t) g_T(t) dt \\ n_s &= \frac{1}{2} \int_0^T n_s(t) g_T(t) dt \end{aligned} \quad (7.4.7)$$

这都是零均值、方差为  $N_0/2$  的不相关高斯随机变量。

最佳检测器计算距离测度

$$D(\mathbf{r}, \mathbf{s}_m) = \|\mathbf{r} - \mathbf{s}_m\|^2, \quad m = 1, 2, \dots, M \quad (7.4.8)$$

式中  $\mathbf{r}^T = (r_c, r_s)$ ,  $\mathbf{s}_m$  由(7.4.3)式给出。

#### 7.4.2 在 AWGN 信道中 QAM 的差错概率

这一节要考虑采用矩形信号星座图的 QAM 系统的性能。矩形 QAM 信号星座图有个突出的优点就是很容易按照在相位正交载波上所加的两个 PAM 信号来产生。另外,它们也容易被解调出来。

在矩形信号星座图中  $M=2^k$ , 这里  $k$  是偶数, 这个 QAM 信号星座图就等效于在正交载波上的两个 PAM 信号, 其中每一个都有  $\sqrt{M}=2^{k/2}$  个信号点。由于以相位正交的信号分量用相干检测可以完全分开, 所以 QAM 的差错概率很容易由 PAM 的差错概率确定。具体地说, 对  $M$  电平 QAM 系统一个正确判决的概率是

$$P_e = (1 - P_{\sqrt{M}})^2 \quad (7.4.9)$$

这里  $P_{\sqrt{M}}$  是在这个等效 QAM 系统的每个正交信号中具有一半平均功率的

$\sqrt{M}$ 电平 PAM 系统的差错概率。通过对  $M$  电平 PAM 差错概率适当地修正后可得

$$P_{\sqrt{M}} = 2 \left( 1 - \frac{1}{\sqrt{M}} \right) Q \left[ \sqrt{\frac{3}{M-1}} \frac{\epsilon_{av}}{N_0} \right] \quad (7.4.10)$$

式中  $\epsilon_{av}/N_0$  是每个符号的平均 SNR。因此,对  $M$  电平 QAM 的一个符号差错的概率是

$$P_M = 1 - (1 - P_{\sqrt{M}})^2 \quad (7.4.11)$$

值得提及的是,这个结果对于  $M=2^k$ ,  $k$  为偶数时是精确的。另外,当  $k$  为奇数时,不存在等效的  $\sqrt{M}$  电平 PAM 系统。然而,这也不会有什么问题,因为对一个矩形信号集来说很容易确定误码率。如果采用基于由 (7.4.8) 式给出的最佳距离测度作为判据的最佳检测器,那么可以相当直接地证明符号差错概率是严格地以下式为上界的

$$\begin{aligned} P_M &\leq 1 - \left[ 1 - 2Q \left[ \sqrt{\frac{3}{M-1}} \frac{\epsilon_{av}}{N_0} \right] \right]^2 \\ &\leq 4Q \left[ \sqrt{\frac{3k}{M-1}} \frac{\epsilon_{avb}}{N_0} \right] \end{aligned} \quad (7.4.12)$$

该式对任何  $k \geq 1$  成立,式中  $\epsilon_{avb}/N_0$  是每比特的平均 SNR。作为每比特平均 SNR 的函数,一个符号差错的概率如图 7.21 所示。

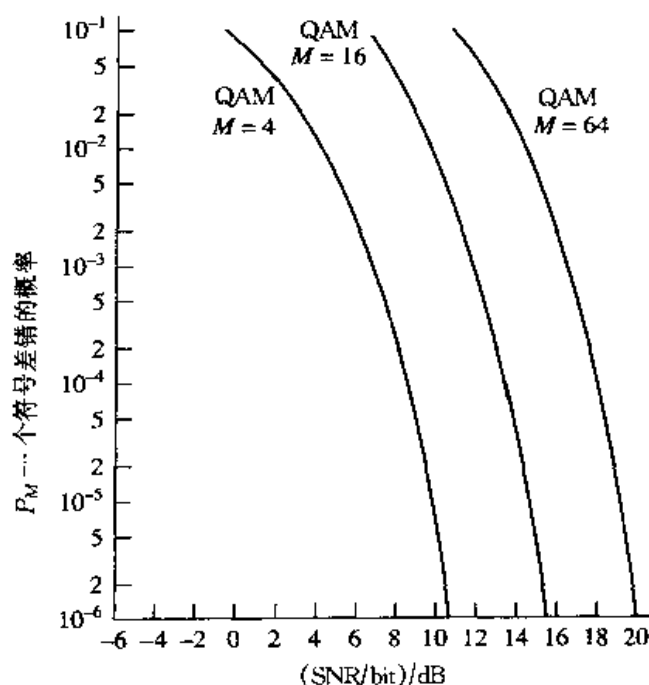


图 7.21 QAM 中一个符号差错的概率



## 解答题

## 解答题 7.6 [QAM 仿真]

完成一个利用矩形信号星座图的  $M = 16$  的 QAM 通信系统的 Monte Carlo 仿真。待仿真的系统模型如图 7.22 所示。

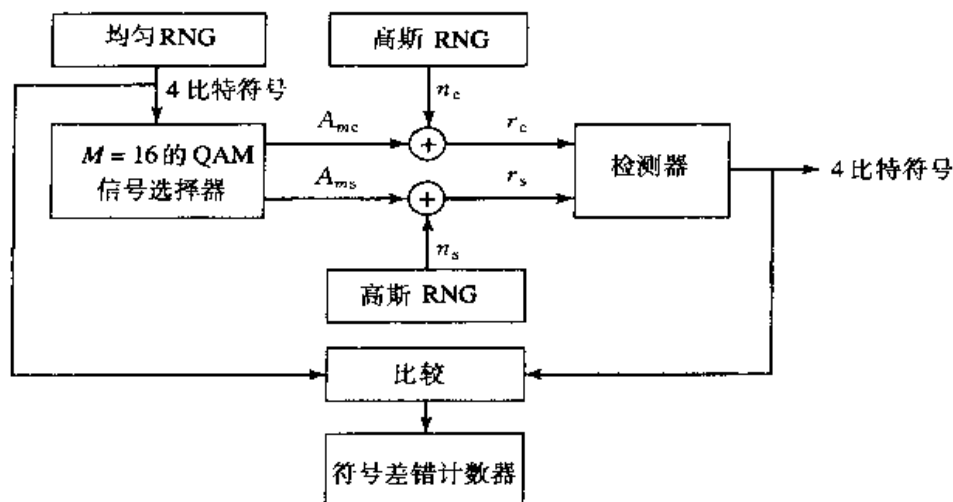


图 7.22 用于  $M = 16$  的 QAM 系统 Monte Carlo 仿真的方框图

## 题解

用均匀随机数发生器产生对应于 16 种可能的由  $b_1, b_2, b_3, b_4$  4 比特组成的信息符号序列。将这个信息符号映射到对应的信号点,如图 7.23 所示,它们具有坐标  $[A_{mc}, A_{ms}]$ 。用两个高斯随机数发生器产生噪声分量  $[n_c, n_s]$ 。为方便计,信道相移  $\phi$  置为 0。这样,接收到的信号加噪声向量是

$$\mathbf{r} = [A_{mc} + n_c \quad A_{ms} + n_s]$$

检测器计算由 (7.4.8) 式给出的距离测度,并用最接近接收信号向量  $\mathbf{r}$  的信号点作出判定。差错计数器对检测序列中的符号差错计数。图 7.24 示出的是在不同的 SNR 参数  $\mathcal{E}_b/N_0$  值下,传输  $N = 10\,000$  个符号的 Monte Carlo 仿真结果,这里  $\mathcal{E}_b = \mathcal{E}_s/4$  是比特能量。图中也示出由 (7.4.10) 式和 (7.4.11) 式给出的符号差错概率的理论值。

本题的 MATLAB 脚本给出如下。

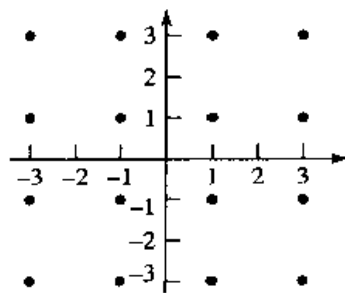
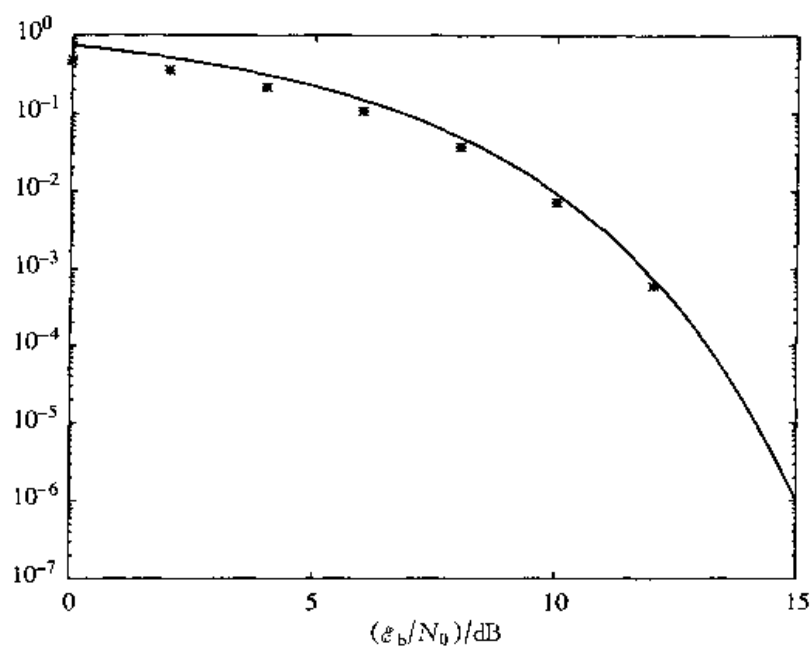


图 7.23 对于 Monte Carlo 仿真的  $M = 16$  的 QAM 的信号星座图

图 7.24  $M=16$  的 QAM 系统的 Monte Carlo 仿真性能

## M 文件

```
% MATLAB script for Illustrative Problem 7.6.
echo on
SNRindB1=0:2:15;
SNRindB2=0:0.1:15;
M=16;
k=log2(M);
for i=1:length(SNRindB1),
    smld_err_prb(i)=cm_sm41(SNRindB1(i)); % simulated error rate
    echo off;
end;
echo on ;
for i=1:length(SNRindB2),
    SNR=exp(SNRindB2(i)*log(10)/10); % signal to noise ratio
    % theoretical symbol error rate
    theo_err_prb(i)=4*Qfunct(sqrt(3*k*SNR/(M-1)));
    echo off ;
end;
echo on ;
% Plotting commands follow
semilogy(SNRindB1,smld_err_prb,'*');
hold
semilogy(SNRindB2,theo_err_prb);
```

## M1 文件

```

function [p]=cm_sm4l(snr_in_dB)
% [p]=cm_sm4l(snr_in_dB)
%           CM_SM4l finds the probability of error for the given
%           value of snr_in_dB, SNR in dB.
N=10000;
d=1; % min. distance between symbols
Eav=10*d^2; % energy per symbol
snr=10^(snr_in_dB/10); % SNR per bit (given)
sgma=sqrt(Eav/(8*snr)); % noise variance
M=16;
% generation of the data source follows
for i=1:N,
    temp=rand; % a uniform R.V. between 0 and 1
    dsource(i)=1+floor(M*temp); % a number between 1 and 16, uniform
end;
% mapping to the signal constellation follows
mapping=[-3*d 3*d;
         -d 3*d;
         d 3*d;
         3*d 3*d;
         -3*d d;
         -d d;
         d d;
         3*d d;
         -3*d -d;
         -d -d;
         d -d;
         3*d -d;
         -3*d -3*d;
         -d -3*d;
         d -3*d;
         3*d -3*d];
for i=1:N,
    qam_sig(i,:)=mapping(dsource(i),:);
end;
% received signal
for i=1:N,
    [n(1) n(2)]=rngauss(sgma);
    r(i,:)=qam_sig(i,:)+n;
end;
% detection and error probability calculation
numoferr=0;
for i=1:N,
    % metric computation follows
    for j=1:M,
        metrics(j)=(r(i,1)-mapping(j,1))^2+(r(i,2)-mapping(j,2))^2;
    end;
    [min_metric decis] = min(metrics);
    if (decis~=dsource(i)),
        numoferr=numoferr+1;
    end;
end;

```

```
end;
p=numoferr/(N);
```

## 7.5 载波频率调制

我们已经讨论过用调制载波幅度、载波相位,或者兼有幅度和相位的几种传输数字信息的方法。数字信息也能够通过调制载波的频率来传输。

从下面的讨论将会看到,用频率调制进行数字传输是一种适合于缺乏相位稳定性信道的调制方法,而相位稳定性对实现载波相位估计来说是必不可少的。经相比,已经介绍过的几种线性调制方法,即 PAM,相干 PSK 和 QAM,都要求载波相位估计以实现相位相干检测。

### 7.5.1 频率键控

频率调制的最简单形式是二进制频率键控(FSK, frequency-shift keying)。在二进制 FSK 中用了两个不同的频率,譬如说  $f_1$  和  $f_2 = f_1 + \Delta f$ ,来传输一个二进制的信息序列。稍后再考虑频率间隔  $\Delta f = f_2 - f_1$  的选取问题。据此,这两个信号波形可以表示为

$$\begin{aligned} u_1(t) &= \sqrt{\frac{2\bar{\epsilon}_b}{T_b}} \cos(2\pi f_1 t), & 0 \leq t \leq T_b \\ u_2(t) &= \sqrt{\frac{2\bar{\epsilon}_b}{T_b}} \cos(2\pi f_2 t), & 0 \leq t \leq T_b \end{aligned} \quad (7.5.1)$$

这里  $\bar{\epsilon}_b$  是每比特信号能量,  $T_b$  是比特区间的持续期。

更一般的是可用  $M$  FSK 传输每个信号波形  $k = \log_2 M$  个比特的信息。这时,这  $M$  个信号波形可以表示为

$$\begin{aligned} u_m(t) &= \sqrt{\frac{2\bar{\epsilon}_s}{T}} \cos(2\pi f_c t + 2\pi m \Delta f t), \\ m &= 0, 1, \dots, M-1, 0 \leq t \leq T \end{aligned} \quad (7.5.2)$$

这里  $\bar{\epsilon}_s = k\bar{\epsilon}_b$  是每个符号的能量,  $T = kT_b$  是符号区间,而  $\Delta f$  就是相继两个频率之间的频率间隔,即  $\Delta f = f_m - f_{m-1}$ ,  $m = 1, 2, \dots, M-1$ , 而  $f_m = f_c + m\Delta f$ 。

要注意,  $M$  FSK 的波形具有相等的能量  $\bar{\epsilon}_s$ 。频率间隔  $\Delta f$  决定了能够在这  $M$  个可能传输信号之间的鉴别能力。作为一对信号波形之间相似性(或非相似性)的一种度量,利用相关系数  $\gamma_{mn}$  为

$$\gamma_{mn} = \frac{1}{\bar{\epsilon}_s} \int_0^T u_m(t) u_n(t) dt \quad (7.5.3)$$

将  $u_m(t)$  和  $u_n(t)$  代入(7.5.3)式可得

$$\begin{aligned}
 \gamma_{mn} &= \frac{1}{\mathcal{E}_s} \int_0^T \frac{2\mathcal{E}_s}{T} \cos(2\pi f_c t + 2\pi m \Delta f t) \cos(2\pi f_c t + 2\pi n \Delta f t) dt \\
 &= \frac{1}{T} \int_0^T \cos 2\pi(m-n)\Delta f t dt + \frac{1}{T} \int_0^T \cos[4\pi f_c t + 2\pi(m+n)\Delta f t] dt \\
 &= \frac{\sin[2\pi(m-n)\Delta f T]}{2\pi(m-n)\Delta f T} \quad (7.5.4)
 \end{aligned}$$

这里当  $f_c \gg 1/T$  时, 第2个积分为零。 $\gamma_{mn}$  作为频率间隔  $\Delta f$  的函数, 其图形如图 7.25 所示。由图可见, 当  $\Delta f$  是  $1/(2T)$  的倍数是, 这些信号波形是正交的。所以对于正交性来说, 相继频率之间的最小频率间隔是  $1/(2T)$ 。同时还注意到, 相关系数的最小值是  $\gamma_{mn} = -0.217$ , 它发生在频率间隔  $\Delta f = 0.715/T$  处。

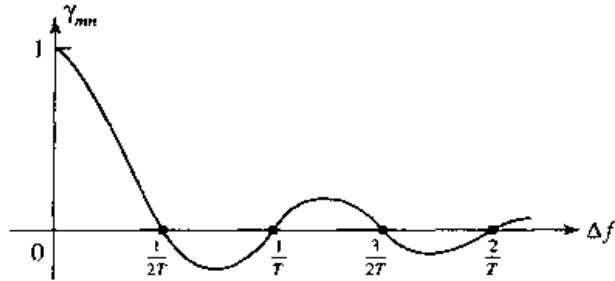


图 7.25 作为频率间隔函数的 FSK 信号的互相关系数

$M$  个正交 FSK 波形在几何上可用  $M$  个  $M$  维正交向量表示如下:

$$s_1 = (\sqrt{\mathcal{E}_s}, 0, \dots, 0) \quad (7.5.5)$$

$$s_2 = (0, \sqrt{\mathcal{E}_s}, 0, \dots, 0) \quad (7.5.6)$$

$$\vdots \quad (7.5.7)$$

$$s_{M-1} = (0, 0, \dots, 0, \sqrt{\mathcal{E}_s}) \quad (7.5.8)$$

式中, 基函数是  $\Psi_m(t) = \sqrt{2/T} \cos[2\pi(f_c + m\Delta f)t]$ 。各对信号向量之间的距离是  $d = \sqrt{2\mathcal{E}_s}$  (对全部  $m, n$ ), 它也是  $M$  个信号之间的最小距离。应该注意到, 这些信号与在 5.4 节讨论过的  $M$  个基带正交信号是等效的。

下面考虑  $M$  FSK 信号的解调和检测。

### 7.5.2 FSK 信号的解调和检测

假定 FSK 信号是经由加性白高斯噪声信道传输, 并假设每个信号在通过信道传输中都产生延时, 这样在解调器输入端这个滤波的接收信号可表示为

$$r(t) = \sqrt{\frac{2\mathcal{E}_s}{T}} \cos(2\pi f_c t + 2\pi m \Delta f t + \phi_m) + n(t) \quad (7.5.9)$$

式中  $\phi_m$  代表第  $m$  个信号由于传输延时而产生的相移,  $n(t)$  代表加性带通噪

声,它可表示为

$$n(t) = n_c(t)\cos(2\pi f_c t) - n_s(t)\sin(2\pi f_c t) \quad (7.5.10)$$

可以用两种方法完成这  $M$  FSK 信号的解调和检测。一种方法是要估计出这  $M$  个载波相移  $|\phi_m|$ , 并用相位相干解调和检测。作为另一种方法是在解调和检测中不管载波相位。

在相位相干解调中,将接收信号  $r(t)$  与每个  $M$  个可能接收的信号  $\cos(2\pi f_c t + 2\pi m \Delta f t + \hat{\phi}_m)$ ,  $m = 0, 1, \dots, M-1$  作相关,这里  $|\hat{\phi}_m|$  是载波相位的估值。图 7.26 说明这种解调类型的一个方框图。有意思的是,当  $\hat{\phi}_m = \phi_m$  (不准确的相位估值)时,  $m = 0, 1, \dots, M-1$ , 在解调器端为信号正交性所要求的频率间隔是  $\Delta f = 1/T$ , 它是在  $\phi = \hat{\phi}$  时对正交性要求的最小间隔的两倍。

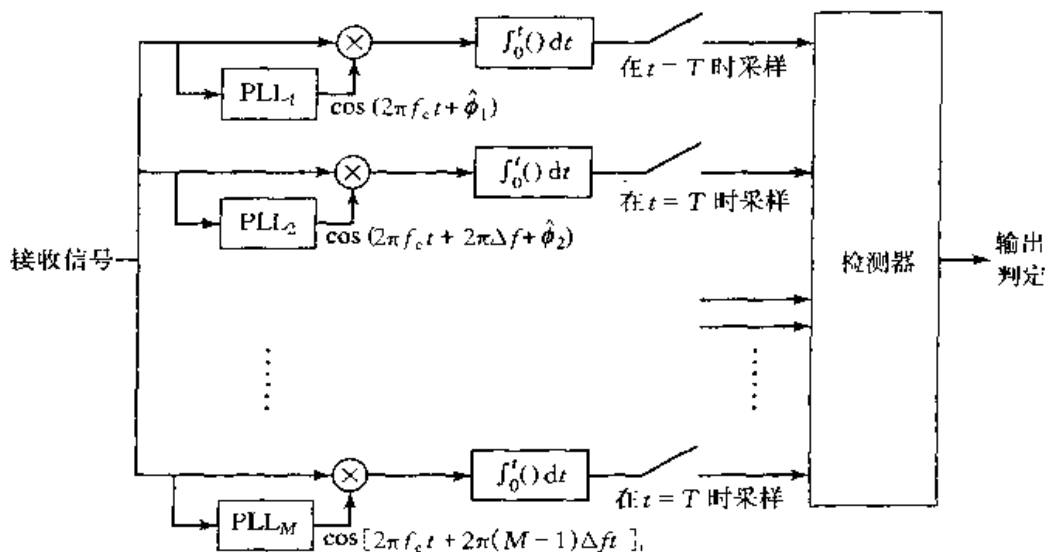


图 7.26  $M$  FSK 信号的相位相干解调

估计  $M$  个载波相位的要求使得 FSK 信号的相干解调变得极为复杂和不切实际,当信号数目较多时尤其如此。因此,我们将不考虑 FSK 信号的相干检测。

现在来考虑一种不要求这些载波相位知识的解调方法。这种解调可按图 7.27 所示原理来完成。在这种情况下,每个信号波形有两个相关器,或者说,一般总共有  $2M$  个相关器。将接收信号与基函数(正交载波)

$\sqrt{2/T}\cos(2\pi f_c t + 2\pi m \Delta f t)$  和  $\sqrt{2/T}\sin(2\pi f_c t + 2\pi m \Delta f t)$ ,  $m = 0, 1, \dots, M-1$ , 作相关,这些相关器的  $2M$  个输出在该信号区间的末端被采样,并将它们送至检测器。于是,如果传输的是第  $m$  个信号,那么在检测器输入的  $2M$  个样本可以表示为

$$r_{kc} = \sqrt{\mathcal{E}_s} \left[ \frac{\sin[2\pi(k-m)\Delta f T]}{2\pi(k-m)\Delta f T} \cos\phi_m - \frac{\cos[2\pi(k-m)\Delta f T] - 1}{2\pi(k-m)\Delta f T} \sin\phi_m \right] + n_{kc}$$

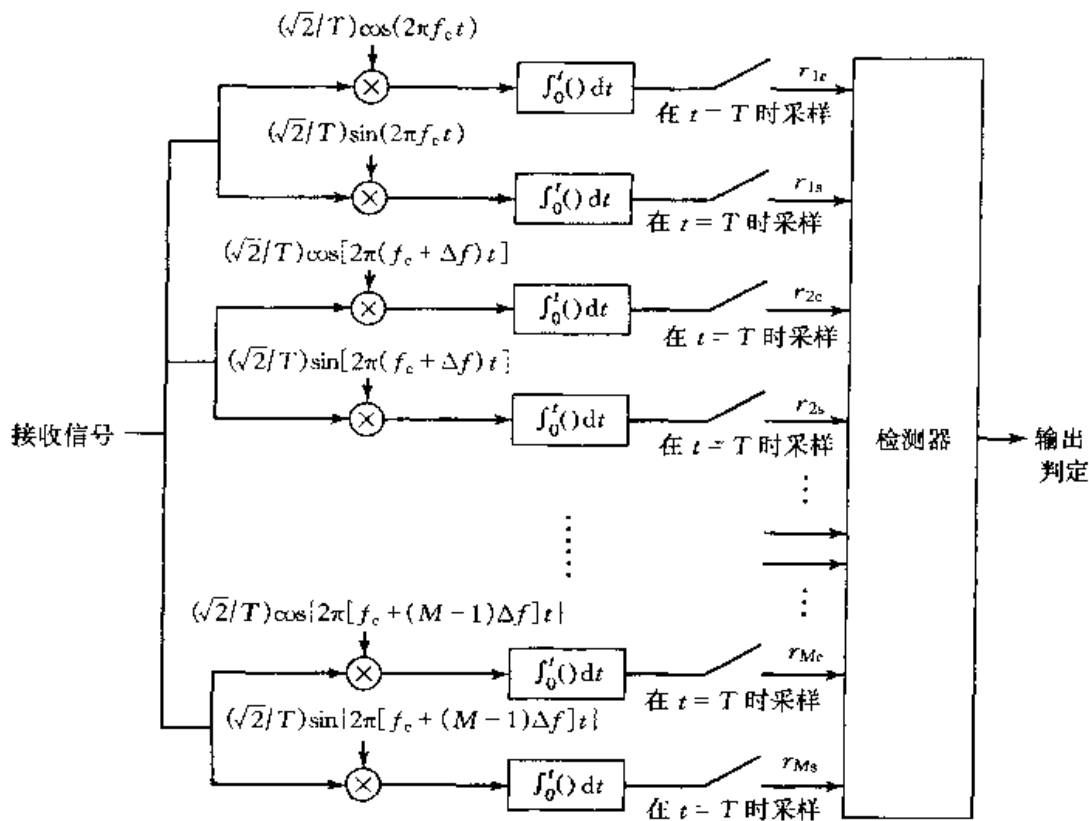


图 7.27 M 信号的非相干检测解调

$$r_{ks} = \sqrt{\mathcal{E}_s} \left[ \frac{\cos[2\pi(k-m)\Delta f T] - 1}{2\pi(k-m)\Delta f T} \cos\phi_m - \frac{\sin[2\pi(k-m)\Delta f T]}{2\pi(k-m)\Delta f T} \sin\phi_m \right] + n_{ks} \quad (7.5.11)$$

式中  $n_{kc}$  和  $n_{ks}$  代表在采样输出中的高斯噪声分量。

可以看到,当  $k = m$  时,对检测器的采样值是

$$\begin{aligned} r_{mc} &= \sqrt{\mathcal{E}_s} \cos\phi_m + n_{mc} \\ r_{ms} &= \sqrt{\mathcal{E}_s} \sin\phi_m + n_{ms} \end{aligned} \quad (7.5.12)$$

再者,我们看到当  $k \neq m$  时,在样本  $r_{kc}$  和  $r_{ks}$  中的信号分量将是零,只要相继频率之间的频率间隔是  $\Delta f = 1/T$ , 就与相移  $\phi_k$  的值无关。在这样一种情况下,其余的  $2(M-1)$  个相关器的输出仅由噪声所组成,即

$$r_{kc} = n_{kc}, \quad r_{ks} = n_{ks}, \quad k \neq m \quad (7.5.13)$$

在下面的推导中都假设  $\Delta f = 1/T$ , 以保证信号是正交的。

可以证明,这  $2M$  个噪声样本  $\{n_{kc}\}$  和  $\{n_{ks}\}$  都是零均值,具有相等方差  $\sigma^2 = N_0/2$  和互不相关的高斯随机变量。这样,在条件  $\phi_m$  下  $r_{mc}$  和  $r_{ms}$  的联合概率密度函数是

$$f_{r_m}(r_{mc}, r_{ms} | \phi_m) = \frac{1}{2\pi\sigma^2} e^{-[(r_{mc} - \sqrt{P_s} \cos \phi_m)^2 + (r_{ms} - \sqrt{P_s} \sin \phi_m)^2] / (2\sigma^2)} \quad (7.5.14)$$

并且对  $m \neq k$  有

$$f_{r_k}(r_{kc}, r_{ks}) = \frac{1}{2\pi\sigma^2} e^{-(r_{kc}^2 + r_{ks}^2) / (2\sigma^2)} \quad (7.5.15)$$

已知  $2M$  个观察到的随机变量  $\{r_{kc}, r_{ks}\}_{k=0}^{M-1}$ , 最佳检测器将对应于后验概率最大的信号选出, 即

$$P[S_m \text{ 被传输} | \mathbf{r}] \equiv P(s_m | \mathbf{r}), \quad m = 0, 1, \dots, M-1 \quad (7.5.16)$$

式中  $\mathbf{r}$  是元素为  $\{r_{kc}, r_{ks}\}_{k=0}^{M-1}$  的  $2M$  维向量。当这些信号是等概率时, 由 (7.5.16) 式给出的最佳检测器计算这些信号的包络, 它定义为

$$r_m = \sqrt{r_{mc}^2 + r_{ms}^2}, \quad m = 0, 1, \dots, M-1 \quad (7.5.17)$$

并选出对应于集合  $\{r_m\}$  中最大包络的信号。这种情况下的最佳检测器称为包络检测器。

一种等效的检测器是计算平方包络为

$$r_m^2 = r_{mc}^2 + r_{ms}^2, \quad m = 0, 1, \dots, M-1 \quad (7.5.18)$$

并对应于  $\{r_m^2\}$  的最大值选出信号。这种情况下的最佳检测器称为平方律检测器。

## 解答题

### 解答题 7.7 [FSK 信号]

考虑一个二进制通信系统, 它采用由下式给出的 2 FSK 信号波形

$$u_1(t) = \cos(2\pi f_1 t), \quad 0 \leq t \leq T_b$$

$$u_2(t) = \cos(2\pi f_2 t), \quad 0 \leq t \leq T_b$$

这里  $f_1 = 1000/T_b$  和  $f_2 = f_1 + 1/T_b$ 。信道给予每个传输信号的相移为  $\phi = 45^\circ$ , 这样在无噪声下接收信号是

$$r(t) = \cos\left(2\pi f_i t + \frac{\pi}{4}\right), \quad i = 1, 2, \quad 0 \leq t \leq T_b$$

用数值方法实现该 FSK 信号的相关型解调器。

## 题解

在比特区间  $T_b$  中以  $F_s = 5000/T_b$  的采样率对接收信号  $r(t)$  采样, 这样该接收信号  $r(t)$  用 5000 样本  $\{r(n/F_s)\}$  表示。如图 7.27 所表明的, 相关解调器将  $\{r(n/F_s)\}$  乘以  $u_1(t) = \cos(2\pi f_1 t)$ ,  $v_1(t) = \sin(2\pi f_1 t)$ ,  $u_2(t) = \cos(2\pi f_2 t)$  和  $v_2(t) = \sin(2\pi f_2 t)$  的采样, 于是这些相关器的输出是



$$r_{1c}(k) = \sum_{n=0}^k r\left(\frac{n}{F_s}\right) u_1\left(\frac{n}{F_s}\right), \quad k = 1, 2, \dots, 5000$$

$$r_{1s}(k) = \sum_{n=0}^k r\left(\frac{n}{F_s}\right) v_1\left(\frac{n}{F_s}\right), \quad k = 1, 2, \dots, 5000$$

$$r_{2c}(k) = \sum_{n=0}^k r\left(\frac{n}{F_s}\right) u_2\left(\frac{n}{F_s}\right), \quad k = 1, 2, \dots, 5000$$

$$r_{2s}(k) = \sum_{n=0}^k r\left(\frac{n}{F_s}\right) v_2\left(\frac{n}{F_s}\right), \quad k = 1, 2, \dots, 5000$$

检测器是一个平方律检测器,它计算两个判定变量

$$r_1 = r_{1c}^2(5000) + r_{1s}^2(5000)$$

$$r_2 = r_{2c}^2(5000) + r_{2s}^2(5000)$$

并对应于最大判决变量选出信息比特。

用数值方法实现相关的 MATLAB 程序给出如下。图 7.28 示出的是在基于信号  $u_1(t)$  传输时相关器输出的图。

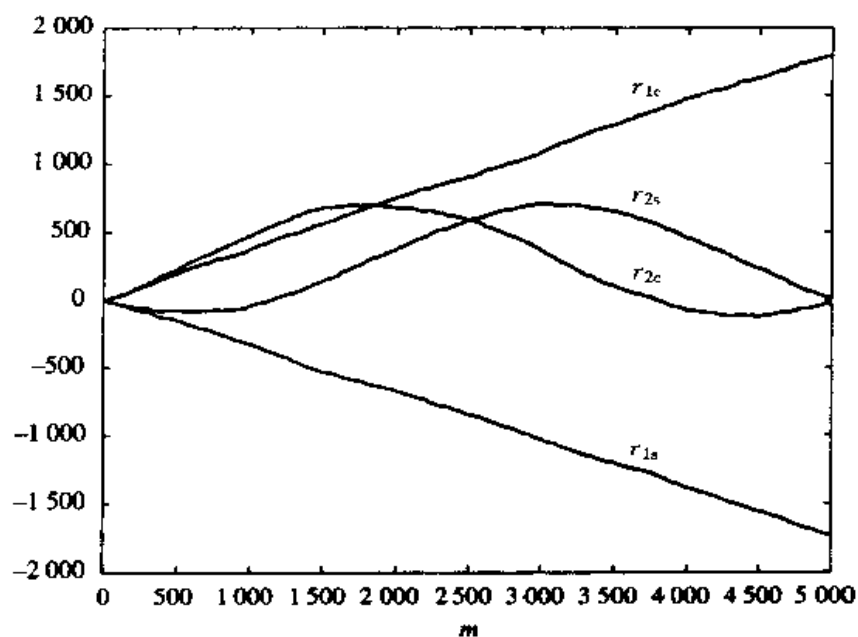


图 7.28 用于二进制 FSK 解调的相关器输出

### M 文件

```
% MATLAB script for Illustrative Problem 7.7.
echo on
Tb=1;
fl=1000/Tb;
```

---

```

f2=f1+1/Tb;
phi=pi/4;
N=5000;                                % number of samples
t=0:Tb/(N-1):Tb;
u1=cos(2*pi*f1*t);
u2=cos(2*pi*f2*t);
% assuming that u1 is transmitted, the received signal r is
sgma=1;                                % noise variance
for i=1:N,
    r(i)=cos(2*pi*f1*t(i)+phi)+gngauss(sgma);
    echo off;
end;
echo on ;
% the correlator outputs are computed next
v1=sin(2*pi*f1*t);
v2=sin(2*pi*f2*t);
r1c(1)=r(1)*u1(1);
r1s(1)=r(1)*v1(1);
r2c(1)=r(1)*u2(1);
r2s(1)=r(1)*v2(1);
for k=2:N,
    r1c(k)=r1c(k-1)+r(k)*u1(k);
    r1s(k)=r1s(k-1)+r(k)*v1(k);
    r2c(k)=r2c(k-1)+r(k)*u2(k);
    r2s(k)=r2s(k-1)+r(k)*v2(k);
    echo off;
end;
echo on;
% decision variables
r1=r1c(5000)^2+r1s(5000)^2;
r2=r2c(5000)^2+r2s(5000)^2;
% plotting commands follow

```

---

### 7.5.3 FSK 非相干检测的差错概率

对于  $M$  FSK 信号的最佳包络检测器的性能推导在大多数有关数字通信的教科书中都能找到。一个符号差错的概率可表示为

$$P_M = \sum_{n=1}^{M-1} (-1)^{n+1} \binom{M-1}{n} \frac{1}{n+1} e^{-nk_b E_b / [N_0(n+1)]} \quad (7.5.19)$$

当  $M=2$  时, 这个表达式就变成二进制 FSK 的差错概率为

$$P_2 = \frac{1}{2} e^{-E_b / (2N_0)} \quad (7.5.20)$$

对于  $M>2$ , 利用下面关系

$$P_b = \frac{2^{k-1}}{2^k - 1} P_M \quad (7.5.21)$$

可以从符号差错概率得出比特差错概率。

对于  $M=2, 4, 8, 16$  和  $32$ , 作为每比特 SNR 的函数的比特差错概率如图

7.29 所画。由图可见,对于任意给定的比特差错概率,每比特 SNR 随  $M$  增加而降低。在  $M \rightarrow \infty$  的极限情况下,只要每比特 SNR 超过  $-1.6$  dB,差错概率能达到任意小。这就是对任何经由 AWGN 信道传输信息的数字通信系统的信道容量极限,或称香农(Shannon)极限。

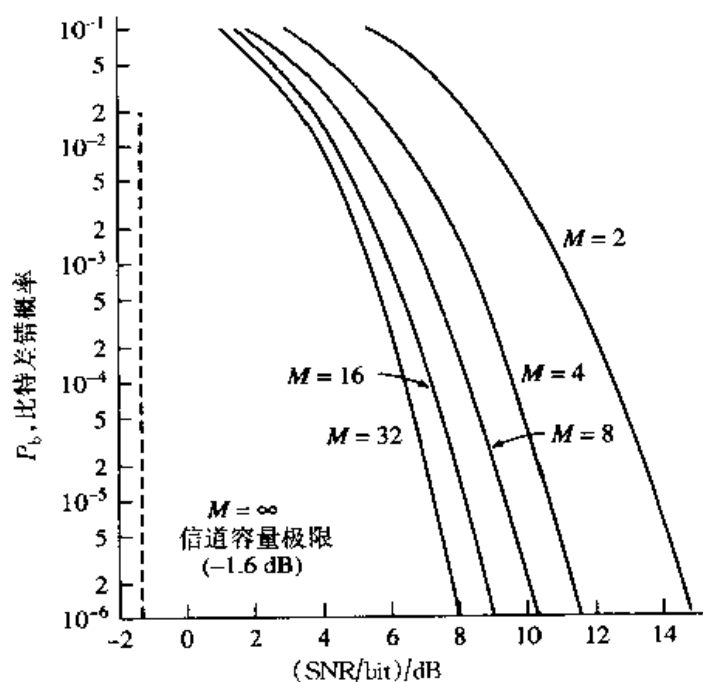


图 7.29 正交 FSK 信号非相干检测的比特差错概率

增加  $M$  的代价是传输这些信号所要求的带宽。因为相邻频率之间的频率间隔是  $\Delta f = 1/T$  (对正交信号), 对  $M$  个信号所要求的带宽就是  $W = M/T$ 。比特率是  $R = k/T$ ,  $k = \log_2 M$ , 因此比特率与带宽的比是

$$\frac{R}{W} = \frac{\log_2 M}{M} \quad (7.5.22)$$

可见随  $M \rightarrow \infty$ ,  $R/W \rightarrow 0$ 。

### 解答题

#### 解答题 7.8 [二进制 FSK 仿真]

完成一个二进制 FSK 通信系统的 Monte Carlo 仿真, 其中信号波形由 (7.5.1) 式给出,  $f_2 = f_1 + 1/T_b$ , 检测器用平方律检测器。待仿真的二进制 FSK 系统的方框图如图 7.30 所示。

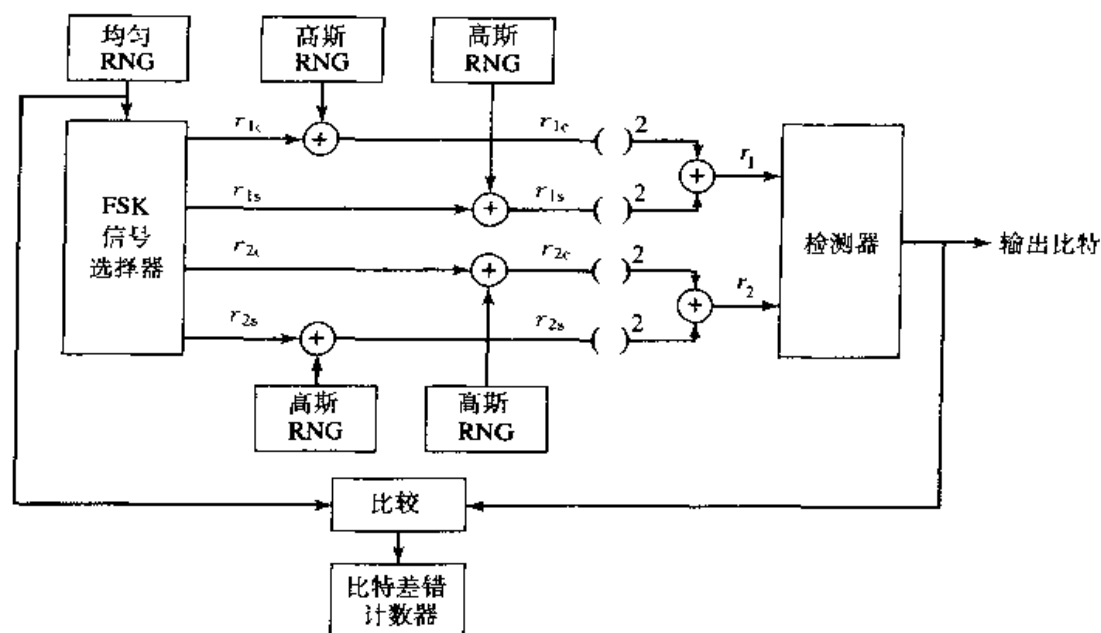


图 7.30 用于 Monte Carlo 仿真的二进制 FSK 系统方框图

### 题 解

因为这些信号是正交的,当  $u_1(t)$  传输时,第 1 个解调器的输出是

$$r_{1c} = \sqrt{E_b} \cos \phi + n_{1c}$$

$$r_{1s} = \sqrt{E_b} \sin \phi + n_{1s}$$

而第 2 解调器的输出是

$$r_{2c} = n_{2c}$$

$$r_{2s} = n_{2s}$$

这里  $n_{1c}$ ,  $n_{1s}$ ,  $n_{2c}$  和  $n_{2s}$  都是互为统计独立的零均值高斯随机变量,方差均为  $\sigma^2$ ,  $\phi$  代表信道相移。

在上面的表达式中,为方便计,可置信道相移  $\phi$  为零。平方律检测器计算出

$$r_1 = r_{1c}^2 + r_{1s}^2$$

$$r_2 = r_{2c}^2 + r_{2s}^2$$

并说出对应于这两个判决变量中较大的信息比特。差错计数器通过比较传输序列和检测器输出测出误码率。图 7.31 示出的是测得的误码率,并将它与由 (7.5.20) 式给出的理论差错概率作比较。

实现这个 Monte Carlo 仿真的 MATLAB 程序给出如下。

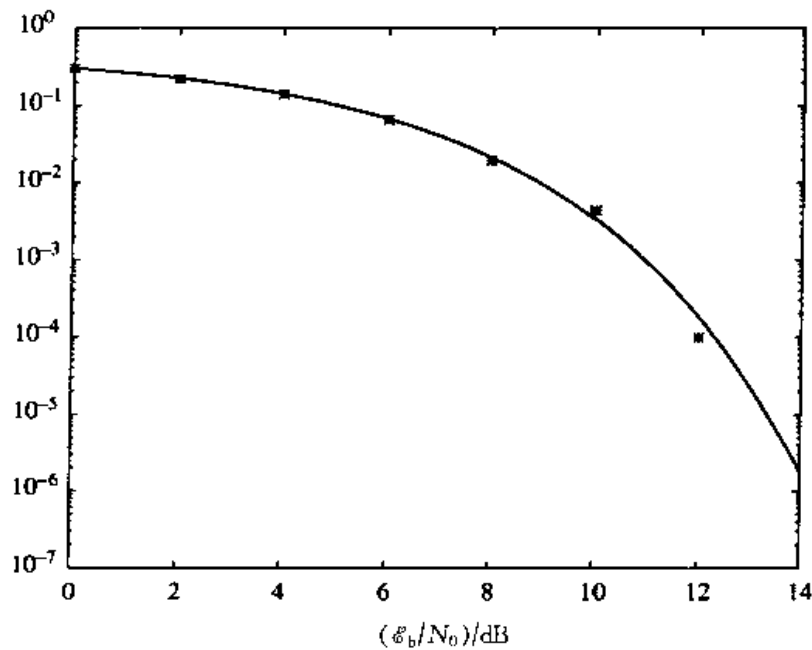


图 7.31 由 Monte Carlo 仿真所得二进制 FSK 系统的性能

## MI 文件

```
% MATLAB script for Illustrative Problem 7.8.
echo on
SNRindB1=0:2:15;
SNRindB2=0:0.1:15;
for i=1:length(SNRindB1),
    smld_err_prb(i)=cm_sm52(SNRindB1(i)); % simulated error rate
    echo off ;
end;
echo on ;
for i=1:length(SNRindB2),
    SNR=exp(SNRindB2(i)*log(10)/10); % signal to noise ratio
    theo_err_prb(i)=(1/2)*exp(-SNR/2); % theoretical symbol error rate
    echo off;
end;
echo on;
% Plotting commands follow
semilogy(SNRindB1,smld_err_prb,'*');
hold
semilogy(SNRindB2,theo_err_prb);
```

## M 文件

```

function [p]=cm_sm52(snr_in_dB)
% [p]=cm_sm52(snr_in_dB)
%           CM_SM52 Returns the probability of error for the given
%           value of snr_in_dB, signal to noise ratio in dB.
N=10000;
Eb=1;
d=1;
snr=10^(snr_in_dB/10);           % signal to noise ratio per bit
sgma=sqrt(Eb/(2*snr));           % noise variance
phi=0;
% generation of the data source follows
for i=1:N,
    temp=rand;                    % a uniform random variable between 0 and 1
    if (temp<0.5),
        dsource(i)=0;
    else
        dsource(i)=1;
    end;
end;
% detection and the probability of error calculation
numoferr=0;
for i=1:N,
    % demodulator output
    if (dsource(i)==0),
        r0c=sqrt(Eb)*cos(phi)+gngauss(sgma);
        r0s=sqrt(Eb)*sin(phi)+gngauss(sgma);
        r1c=gngauss(sgma);
        r1s=gngauss(sgma);
    else
        r0c=gngauss(sgma);
        r0s=gngauss(sgma);
        r1c=sqrt(Eb)*cos(phi)+gngauss(sgma);
        r1s=sqrt(Eb)*sin(phi)+gngauss(sgma);
    end;
    % square law detector outputs
    r0=r0c^2+r0s^2;
    r1=r1c^2+r1s^2;
    % decision is made next
    if (r0>r1),
        decis=0;
    else
        decis=1;
    end;
    % Let's increment the error counter, if the decision is not correct
    if (decis~=dsource(i)),
        numoferr=numoferr+1;
    end;
end;
p=numoferr/(N);

```

## 7.6 通信系统中的同步

在3.3节曾讨论过AM信号的解调过程,特别指出过可以将解调方法分为相干和非相干方法。在相干解调中,将AM信号乘以具有与载波同频率同相位的正弦信号,然后解调。在非相干解调中(仅适用于常规AM调制信号)采用包络解调,在接收端不需要对载波频率和相位有精确地跟踪。另外,在解说题3.6中也曾指出,在相干解调中,正确的相位同步是最重要的,而相位误差会导致很大的性能变坏。

在这一章也讨论过数字载波调制系统的各种解调方法。在PAM,PSK和QAM的解调中都曾假设对载波频率和相位有了完全的了解。

这一节要讨论在解调器端产生与载波具有同频同相正弦信号的各种方法。这些方法是在载波同步这样一个论题下研究的,它既适用于模拟,又适用于数字载波调制系统(这些都分别在第3章和本章讨论过)。另一种同步类型称之为定时同步、时钟同步或定时恢复,它仅在数字通信系统中会遇到。这一节也将对这类同步问题作简要讨论。

### 7.6.1 载波同步

一个载波同步系统由一本地振荡器组成,该振荡器的相位要控制它与载波信号同步。用一个锁相环(PLL)可对它予以实现。锁相环是一个非线性反馈控制系统用于控制本地振荡器的相位。在下面讨论中,为简单起见,我们仅考虑二进制PSK调制系统。

PLL被一个在载波频率(或它的倍数)上的正弦信号所驱动。为了得到这个驱动PLL的正弦信号,现将DSB已调信号

$$u(t) = A_c m(t) \cos(2\pi f_c t - \phi(t)) \quad (7.6.1)$$

平方,这里  $m(t) = \pm 1$ , 可得

$$\begin{aligned} u^2(t) &= A_c^2 m^2(t) \cos^2(2\pi f_c t - \phi(t)) \\ &= \frac{A_c^2}{2} m^2(t) + \frac{A_c^2}{2} m^2(t) \cos(4\pi f_c t - 2\phi(t)) \\ &= \frac{A_c^2}{2} + \frac{A_c^2}{2} \cos(4\pi f_c t - 2\phi(t)) \end{aligned} \quad (7.6.2)$$

显然,这个信号  $u^2(t)$  有  $2f_c$  的分量。我们之所以不直接处理  $u(t)$  的理由是,通常这个过程  $m(t)$  是零均值的,所以  $u(t)$  在  $f_c$  的功率分量是零。现在,如果信号  $u^2(t)$  通过一个调谐在  $2f_c$  的带通滤波器的话,那么输出就是中心频率为  $2f_c$ , 相位为  $-2\phi(t)$  和幅度为  $A_c^2 H(2f_c)/2$  的正弦信号。不失一般性,可以假

设幅度为 1;也就是说,PLL 的输入是

$$r(t) = \cos(4\pi f_c t - 2\phi(t)) \quad (7.6.3)$$

PLL 由一个乘法器、一个环路滤波器和一个电压控制振荡器(VCO)所组成,如图 7.32 所示。如果假定 VCO 的输出是  $\sin(4\pi f_c t - 2\hat{\phi}(t))$ ,那么在环路滤波器的输入就有

$$\begin{aligned} e(t) &= \cos(4\pi f_c t - 2\phi(t))\sin(4\pi f_c t - 2\hat{\phi}(t)) \\ &= \frac{1}{2}\sin(2\phi(t) - 2\hat{\phi}(t)) + \frac{1}{2}\sin(8\pi f_c t - 2\phi(t) - 2\hat{\phi}(t)) \end{aligned} \quad (7.6.4)$$

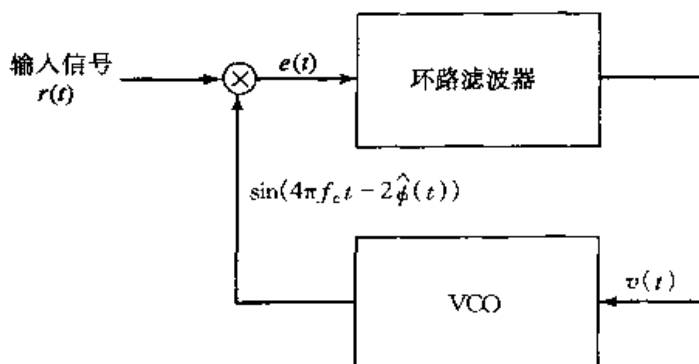


图 7.32 锁相环

注意到  $e(t)$  中有一个高频分量和一个低频分量。这个环路滤波器的作用就是要滤除这个高频分量,并确保  $\hat{\phi}(t)$  紧紧跟踪  $\phi(t)$  的变化。一个简单环路滤波器是一阶低通滤波器,其传递函数为

$$G(s) = \frac{1 + \tau_1 s}{1 + \tau_2 s} \quad (7.6.5)$$

这里  $\tau_2 \gg \tau_1$ 。若将 VCO 的输入记作  $v(t)$ ,那么 VCO 的输出是一个正弦信号,它的瞬时频率偏离  $2f_c$  的量正比于  $v(t)$ 。但是,VCO 输出的瞬时频率是

$$2f_c + \frac{1}{\pi} \frac{d}{dt} \hat{\phi}(t)$$

因此,

$$\frac{d}{dt} \hat{\phi}(t) = \frac{K}{2} v(t) \quad (7.6.6)$$

或者等效为

$$2\hat{\phi}(t) = K \int_{-\infty}^t v(\tau) d\tau \quad (7.6.7)$$

这里  $K$  是某个比例常数。在滤除 2 次和 4 次谐波以后,这个 PLL 环路就变成



图 7.33。

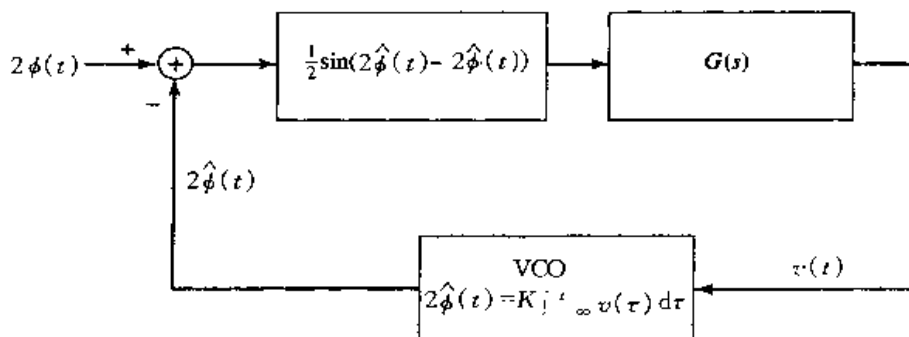


图 7.33 滤除高频分量后的锁相环

假定  $\hat{\phi}(t)$  已紧随  $\phi(t)$  的变化, 那么差  $2\phi(t) - 2\hat{\phi}(t)$  就很小, 这样就可以用近似式

$$\frac{1}{2} \sin(2\phi(t) - 2\hat{\phi}(t)) \approx \phi(t) - \hat{\phi}(t) \quad (7.6.8)$$

利用这一近似关系之后, 在图 7.33 中唯一的非线性环节就可用一个线性环节替代, 这样就得到一个线性化的 PLL 模型, 如图 7.34 所示。应该注意, 这个模型是用变换域表示的, 其中积分器用它的等效变换域关系  $1/s$  代替。

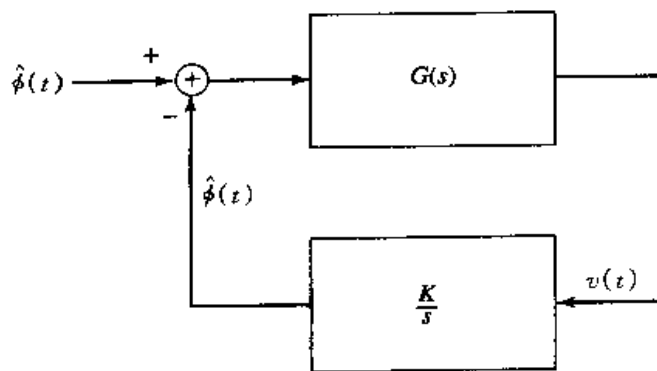


图 7.34 锁相环的线性化模型

图 7.34 的这个模型是一个线性控制系统, 其正向增益为  $G(s)$ , 反馈增益为  $K/s$ , 因此该系统的传递函数为

$$H(s) = \frac{\Phi(s)}{\Phi(s)} = \frac{KG(s)/s}{1 + KG(s)/s} \quad (7.6.9)$$

按前面假设  $G(s)$  用一阶模型

$$G(s) = \frac{1 + \tau_1 s}{1 + \tau_2 s} \quad (7.6.10)$$

$H(s)$  就为

$$H(s) = \frac{1 + \tau_1 s}{1 + (\tau_1 + 1/K)s + \tau_2 s^2 / K} \quad (7.6.11)$$

有了传递函数  $H(s)$  以后, 如果 PLL 环路的输入是  $\Phi(s)$ , 误差是

$$\begin{aligned} \Delta\Phi(s) &= \Phi(s) - \hat{\Phi}(s) \\ &= \Phi(s) - \Phi(s)H(s) \\ &= [1 - H(s)]\Phi(s) \\ &= \frac{(1 + \tau_2 s)s}{K + (1 + K\tau_1)s + \tau_2 s^2} \Phi(s) \end{aligned} \quad (7.6.12)$$

现在假定在到达某一时刻有  $\phi(t) \approx \hat{\phi}(t)$ , 所以  $\Delta\phi(t) \approx 0$ 。在这个时刻, 有某一突然变化引起在  $\phi(t)$  上的跳变, 可以将它仿真成某一阶跃函数, 即  $\Phi(s) = K_1/s$ 。由于这个变化, 就有

$$\begin{aligned} \Delta\Phi(s) &= \frac{(1 + \tau_2 s)s}{K + (1 + K\tau_1)s + \tau_2 s^2} \cdot \frac{K_1}{s} \\ &= \frac{K_1(1 + \tau_2 s)}{K + (1 + K\tau_1)s + \tau_2 s^2} \end{aligned} \quad (7.6.13)$$

现在, 利用拉普拉斯变换的终值定理, 即

$$\lim_{t \rightarrow \infty} f(t) = \lim_{s \rightarrow 0} sF(s) \quad (7.6.14)$$

只要  $sF(s)$  的全部极点都有负的实部, 就得出

$$\begin{aligned} \lim_{t \rightarrow \infty} \Delta\phi(t) &= \lim_{s \rightarrow 0} s\Delta\Phi(s) \\ &= \lim_{s \rightarrow 0} \frac{K_1 s(1 + \tau_2 s)}{K + (1 + K\tau_1)s + \tau_2 s^2} \\ &= 0 \end{aligned} \quad (7.6.15)$$

换句话说, 一个简单的一阶环路滤波器会导致 PLL 能跟踪在输入相位上的阶跃变化。

(7.6.11) 式的传递函数可以写成如下标准形式

$$H(s) = \frac{(2\zeta\omega_n - \omega_n^2/K)s + \omega_n^2}{s^2 + 2\zeta\omega_n s + \omega_n^2} \quad (7.6.16)$$

这里

$$\begin{aligned} \omega_n &= \sqrt{\frac{K}{\tau_2}} \\ \zeta &= \frac{\omega_n(\tau_1 + 1/K)}{2} \end{aligned}$$

$\omega_n$  是自然频率,  $\zeta$  是阻尼系数。

### 解说题

#### 解说题 7.9[一阶 PLL]

假设

$$G(s) = \frac{1 + 0.01s}{1 + s}$$

和  $K = 1$ , 求出并画出该 PLL 对输入相位单位阶跃变化的响应。

### 题解

由于  $\tau_1 = 0.01$ ,  $\tau_2 = 1$ , 因此

$$\begin{aligned}\omega_n &= 1 \\ \zeta &= 0.505\end{aligned}$$

这样得到

$$H(s) = \frac{0.01s + 1}{s^2 + 1.01s + 1}$$

于是对  $\phi(t) = u(t)$  (即  $\Phi(s) = 1/s$ ) 的响应为

$$\hat{\Phi}(s) = \frac{0.01s + 1}{s^3 + 1.01s^2 + s + 1}$$

为了求出并画出  $\hat{\phi}(t)$  对输入  $u(t)$  的时间响应, 注意到必须要求出传递函数为  $H(s)$  的系统对输入  $u(t)$  的输出。这可以最容易地用状态空间方法来完成。使用 MATLAB 函数 tf2ss.m, 就可获得由传递函数描述的系统的状态空间模型。在求出该系统的状态空间表示之后, 就得到数值解的阶跃响应。

函数 tf2ss.m 取传递函数  $H(s)$  的分子和分母, 得到它的状态空间表示  $A$ ,  $B$ ,  $C$  和  $D$ , 其形式为

$$\begin{cases} \frac{d}{dt}\mathbf{x}(t) = \mathbf{A}\mathbf{x}(t) + \mathbf{B}u(t) \\ \mathbf{y}(t) = \mathbf{C}\mathbf{x}(t) + \mathbf{D}u(t) \end{cases}$$

这一表示可近似为

$$\begin{cases} \mathbf{x}(t + \Delta t) = \mathbf{x}(t) + \mathbf{A}\mathbf{x}(t)\Delta t + \mathbf{B}u(t)\Delta t \\ \mathbf{y}(t) = \mathbf{C}\mathbf{x}(t) + \mathbf{D}u(t) \end{cases}$$

或等效为

$$\begin{cases} \mathbf{x}(i + 1) = \mathbf{x}(i) + \mathbf{A}\mathbf{x}(i)\Delta t + \mathbf{B}u(i)\Delta t \\ \mathbf{y}(i) = \mathbf{C}\mathbf{x}(i) + \mathbf{D}u(i) \end{cases}$$

对于这个题, 分别选  $u(t)$  为阶跃函数,  $H(s)$  的分子和分母向量是  $[0.01 \ 1]$  和  $[1 \ 1.01 \ 1]$  就够了。用分子和分母向量这个选取, 该系统的状态空间参数是

$$\mathbf{A} = \begin{bmatrix} -1.01 & -1 \\ 1 & 0 \end{bmatrix}$$

$$\mathbf{B} = \begin{bmatrix} 1 \\ 0 \end{bmatrix}$$

$$\mathbf{C} = [0.01 \quad 1]$$

$$\mathbf{D} = 0$$

这个 PLL 环路的输出如图 7.35 所示。

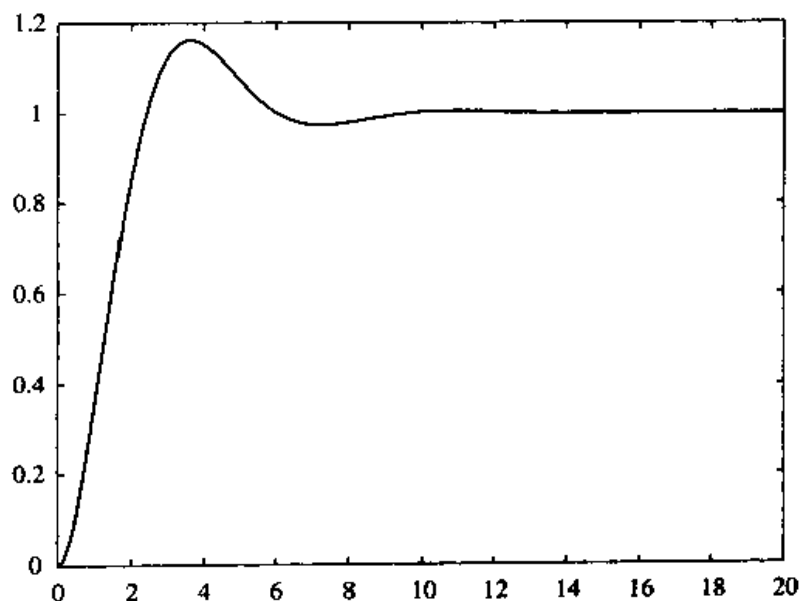


图 7.35 在解说题 7.9 中, PLL 对输入相位突然变化的响应

由图 7.35 可见, 这个 PLL 的输出最终还是跟上了输入。然而, 跟踪输入的速度取决于环路滤波器的参数和压控振荡器 VCO 的比例常数  $K$ 。

本题的 MATLAB 脚本给出如下。

### MI 文件

```
% MATLAB script for Illustrative Problem 7.9.
echo on
num=[0.01 1];
den=[1 1.01 1];
[a,b,c,d]=tf2ss(num,den);
dt=0.01;
u=ones(1,2000);
x=zeros(2,2001);
for i=1:2000
    x(:,i+1)=x(:,i)+dt.*a*x(:,i)+dt.*b*u(i);
    y(i)=c*x(:,i);
end
```

```

echo off;
end
echo on;
t=[0:dt:20];
plot(t(1:2000),y)

```

### 7.6.2 时钟同步

在第5章和这一章都已经知道,最佳接收机的一种普通实现是使用匹配滤波器和在匹配滤波器输出端的采样器。在所有这些情况下,都假定接收机对采样瞬时具有完全的知识,并能在这个时刻精确采样。在发射机和接收机之间完成这类同步的系统称为**定时恢复、时钟同步、或称符号同步系统**。

一种简单的时钟同步的实现是采用**早-迟门(early-late gate)**。早-迟门的工作原理是基于在PAM通信系统中这样一个事实:匹配滤波器的输出是在PAM系统中所用的基本脉冲信号的自相关函数(可能有某一延时),这个自相关函数在最佳采样时刻是最大,而且是对称的。这就意味着在无噪声存在下,在采样时刻  $T^+ = T + \delta$  和  $T^- = T - \delta$ ,采样器的输出是相等的,即

$$y(T^+) = y(T^-) \quad (7.6.17)$$

很明显,这种情况下最佳采样时间就是提前和迟后采样时间之间的中点

$$T = \frac{T^+ + T^-}{2} \quad (7.6.18)$$

现在假设不是在最佳采样时间  $T$  采样,而是在  $T_1$  采样。如果在  $T^+ = T_1 + \delta$  和  $T^- = T_1 - \delta$ ,取两个额外的样本,这两个样本对于最佳采样时间  $T$  就不是对称的了,因此不再相等。对于正和负输入脉冲的典型自相关函数及其3个样本如图7.36所示。

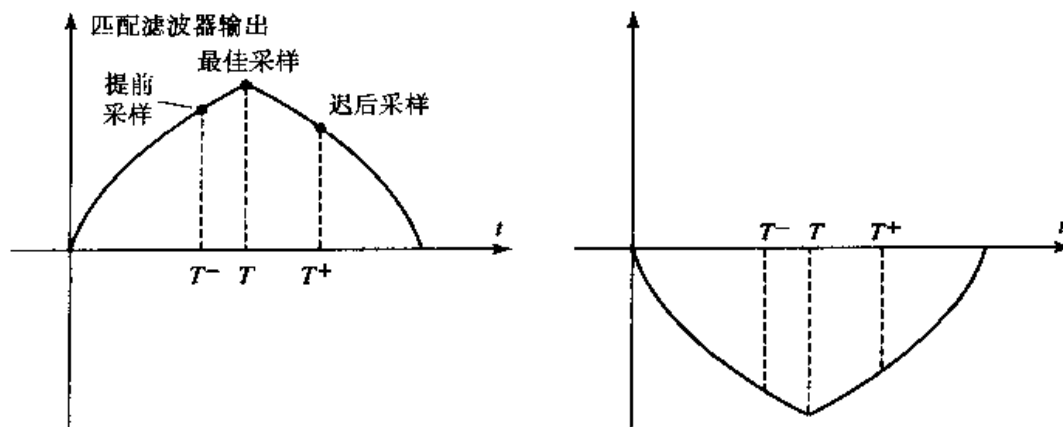


图 7.36 匹配滤波器输出和提前与迟后采样

图中

$$T^- = T - \delta_1$$

$$T^+ = T + \delta_2$$

这里

$$\delta_1 < \delta_2 \quad (7.6.19)$$

如图所示就会得出

$$|y(T^-)| > |y(T^+)| \quad (7.6.20)$$

同时在这种情况下就有

$$T < T_1 = \frac{T^- + T^+}{2} \quad (7.6.21)$$

因此,当 $|y(T^-)| > |y(T^+)|$ 时,正确的采样时间是在假定的采样时间之前,采样应该提前一点进行。相反,当 $|y(T^-)| < |y(T^+)|$ 时,采样时间应该迟后一点。显然,当 $|y(T^-)| = |y(T^+)|$ 时,采样时间是正确的,毋需进行校正。

因此,早-迟门同步系统取 $T_1$ ,  $T^- = T_1 - \delta$ 和 $T^+ = T_1 + \delta$ 3个样本,然后比较 $|y(T^-)|$ 和 $|y(T^+)|$ ,根据它们的相对值,产生一个校正采样时间的信号。

### 解答题

#### 解答题 7.10[时钟同步]

一个二进制 PAM 通信系统用滚降系数 $\alpha = 0.4$ 的升余弦波形,系统传输速率是 4 800 b/s。写一个 MATLAB 文件仿真这个系统的早-迟门的工作。

### 题解

因为速率是 4 800 b/s,所以有

$$T = \frac{1}{4\,800} \quad (7.6.22)$$

$\alpha = 0.4$ ,升余弦波形的表达式变为

$$\begin{aligned} x(t) &= \text{sinc}(4\,800t) \frac{\cos(4\,800 \times 0.4\pi t)}{1 - 4 \times 0.16 \times 4\,800^2 t^2} \\ &= \text{sinc}(4\,800t) \frac{\cos(1\,920\pi t)}{1 - 1.474\,6 \times 10^7 t^2} \end{aligned} \quad (7.6.23)$$

很明显,这个信号从 $-\infty$ 延伸至 $+\infty$ 。图 7.37 是该信号的图。

从图 7.37 很清楚,实际上仅考虑区间 $|t| \leq 0.6 \times 10^{-3}$  s 就足够了,这大致上相当于 $[-3T, 3T]$ 。以这个区间截断这个升余弦,并计算自相关函数就得到图 7.38 的自相关函数的波形。

在下面给出的 MATLAB 脚本中,首先计算出升余弦信号和自相关函数并

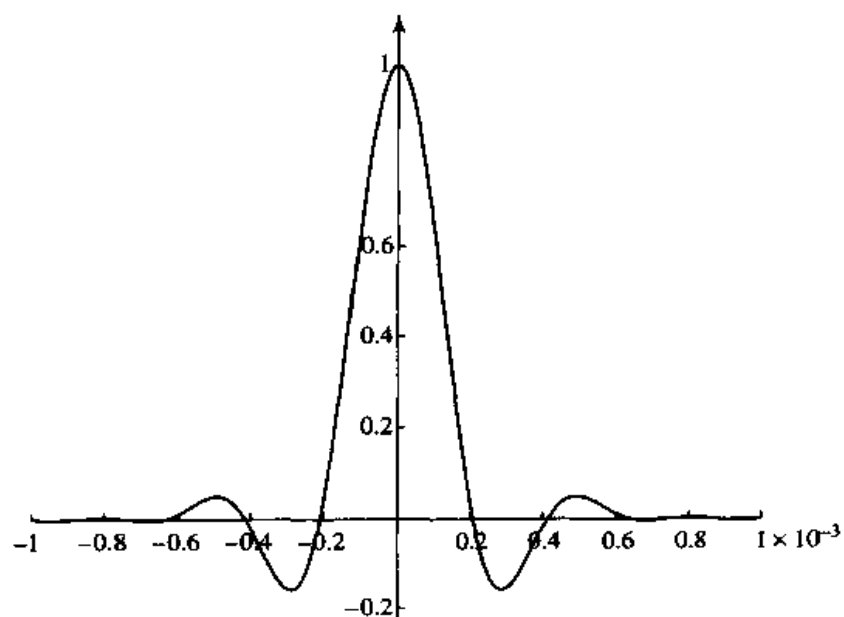


图 7.37 解说题 7.10 中的升余弦信号

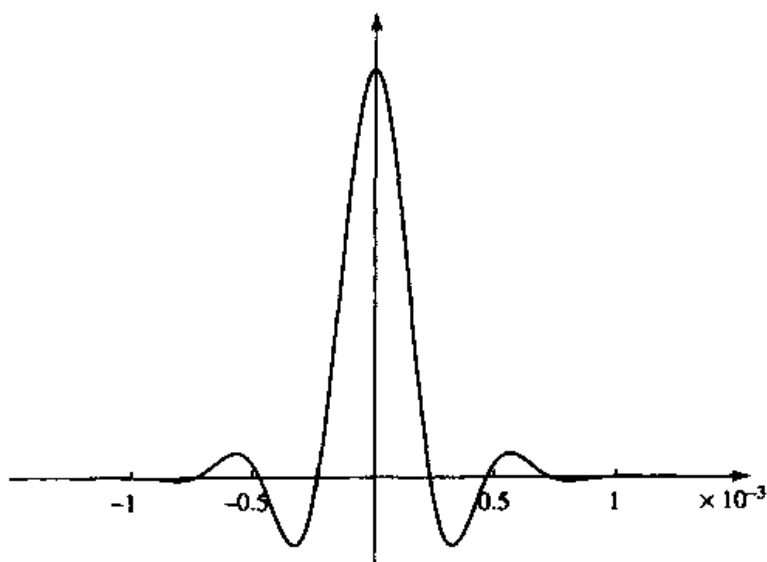


图 7.38 升余弦信号的自相关函数

画出它们的波形。在这个特例中,自相关函数的长度是 1 201,最大点(即最佳采样时间)发生在第 600 个分量上。对两种情况进行测试:一种是当不正确采样时间是在 700 时;一种是在 500 时。在两种情况下,早-迟门都将采样时间校正到最佳时间 600。

## M 文件

```

% MATLAB script for Illustrative Problem 7.10.
echo on
alpha=0.4;
T=1/4800;
t=[-3*T:1.001*T/100:3*T];
x=sinc(t./T).*(cos(pi*alpha*t./T)./(1-4*alpha^2*t.^2/T^2));
pause % Press any key to see a plot of x(t).
plot(t,x)
y=xcorr(x);
ty=[t-3*T,t(2:length(t))+3*T];
pause % Press any key to see a plot of the autocorrelation of x(t).
plot(ty,y);
d=60; % Early and late advance and delay
ee=0.01; % Precision
e=1; % Step size
n=700; % The incorrect sampling time
while abs(abs(y(n+d))-abs(y(n-d)))>=ee
    if abs(y(n+d))-abs(y(n-d))>0
        n=n+e;
    elseif abs(y(n+d))-abs(y(n-d))<0
        n=n-e;
    end
    echo off ;
end
echo on ;
pause % Press any key to see the corrected sampling time
n
n=500; % Another incorrect sampling time
while abs(abs(y(n+d))-abs(y(n-d)))>=ee
    if abs(y(n+d))-abs(y(n-d))>0
        n=n+e;
    elseif abs(y(n+d))-abs(y(n-d))<0
        n=n-e;
    end
    echo off ;
end
echo on ;
pause % Press any key to see the corrected sampling time
n

```

## 习 题

- 7.1 在载波幅度调制 PAM 系统中,发送滤波器有一滚降系数  $\alpha = 1$  的开方升弦谱特性,载波频率  $f_c = 40/T$ 。求出并画出该基带信号和幅度调制 PAM 信号的频谱。



- 7.2 当载波频率  $f_c = 80/T$  时,重做习题 7.1。  
 7.3 当发送滤波器有开方双二进制频谱特性时,重做习题 7.1。  
 7.4 本题的目的是要通过用 MATLAB 的数值解计算(7.2.9)式来说明(7.2.9)式和(7.2.10)式都成立。脉冲  $g_T(t)$  假设是矩形,即

$$g_T(t) = \begin{cases} 1, & 0 \leq t \leq 2 \\ 0, & \text{其余 } t \end{cases}$$

令载波频率  $f_c = 2000$  Hz。在由(7.2.6)式给出的信号波形  $\Psi(t)$  上用采样率  $F_s = 20000$  样本/s 采样,并用下面和式

$$\frac{1}{N} \sum_{n=0}^{N-1} \Psi^2(nT_s) = \frac{1}{N} \sum_{n=0}^{N-1} \Psi^2\left(\frac{n}{F_s}\right)$$

近似(7.2.8)式的积分计算  $\Psi(t)$  的能量。这里  $N = 40000$  个样本。写一个 MATLAB 程序,产生样本  $\Psi(n/F_s)$ ,并按上述完成该信号能量的计算。

- 7.5 可以用 MATLAB 数值解完成由(7.2.14)式给出的接收信号  $r(t)$  与  $\Psi(t)$  的互相关。写一个 MATLAB 程序计算相关器输出

$$y(n) = \sum_{k=0}^n r\left(\frac{k}{F_s}\right) \Psi\left(\frac{k}{F_s}\right), \quad n = 0, 1, \dots, N-1$$

式中  $F_s$  是采样频率。当  $r(t) = \Psi(t)$  时,求出并画出  $y(n)$ 。这里  $\Psi(t)$  是在习题 7.4 中叙述过的波形,  $F_s = 20000$  Hz。

- 7.6 当信号  $g_T(t)$  为

$$g_T(t) = \begin{cases} \frac{1}{2}(1 - \cos(\pi t)), & 0 \leq t \leq 2 \\ 0, & \text{其余 } t \end{cases}$$

和其他参数与习题 7.4 相同时,求出并画出习题 7.5 中的相关  $\{y(n)\}$ 。

- 7.7 在解说题 7.2 中,  $\delta$  相 PSK 波形有恒定的幅度。现在假设  $g_T(t)$  不是矩形,而是

$$g_T(t) = \begin{cases} \frac{1}{2}(1 - \cos(2\pi t/T)), & 0 \leq t \leq T \\ 0, & \text{其余 } t \end{cases}$$

写一个 MATLAB 程序计算并画出这种情况下,当  $f_c = 6/T$  时的  $M = 8$  的 PSK 信号波形。

- 7.8 写一个 MATLAB 程序,用数值法计算对 PSK 信号的接收信号与由(7.3.9)式给出的两个基函数的互相关;也就是计算

$$y_c(n) = \sum_{k=0}^n r\left(\frac{k}{F_s}\right) \Psi_1\left(\frac{k}{F_s}\right), \quad n = 0, 1, \dots, N-1$$

$$y_s(n) = \sum_{k=0}^n r\left(\frac{k}{F_s}\right) \Psi_2\left(\frac{k}{F_s}\right), \quad n = 0, 1, \dots, N-1$$

式中  $N$  是  $r(t)$ ,  $\Psi_1(t)$  和  $\Psi_2(t)$  的样本数。当  $r(t)$  和  $g_T(t)$  为

$$r(t) = s_{mc} \Psi_1(t) + s_{ms} \Psi_2(t)$$

$$g_T(t) = \begin{cases} 2, & 0 \leq t \leq 2 \\ 0, & \text{其余 } t \end{cases}$$

$f_c = 1\,000$  Hz,  $F_s = 10\,000$  样本/s 和传输的信号点是

a.  $s_m = (s_{mc}, s_{ms}) = (1, 0)$

b.  $s_m = (-1, 0)$

c.  $s_m = (0, 1)$

时, 求出并画出这些相关序列。

- 7.9 写一个 MATLAB 程序, 按解说题 7.3 所述完成  $M=4$  的 PSK 通信系统的 Monte Carlo 仿真, 但是把检测器变更为计算按 (7.3.16) 式给出的接收信号相位  $\theta_r$ , 并将最接近于  $\theta_r$  的相位的信号选为信号点。
- 7.10 写一个 MATLAB 程序, 对  $M=4$  的 DPSK 系统实现一个差分编码器和一个差分解码器, 用一个 2 比特符号序列通过这个编码器和解码器的级联来验证该编码器和解码器的工作, 并证明输出序列是与输入序列一样的。
- 7.11 写一个 MATLAB 程序实现一个二进制 DPSK 通信系统的 Monte Carlo 仿真。在这种情况下, 传输信号相位是  $\theta = 0^\circ$  和  $\theta = 180^\circ$ 。 $\theta = 0^\circ$  的相位变化对应于传输一个 0, 而  $\theta = 180^\circ$  的相位变化对应于传输一个 1。在不同的 SNR 参数  $\mathcal{E}_b/N_0$  值下, 传输  $N = 10\,000$  个比特作仿真。为了方便可将  $\mathcal{E}_b$  归一化到 1, 然后用  $\sigma^2 = N_0/2$ , SNR 就是  $\mathcal{E}/N_0 = 1/(2\sigma^2)$ , 这里  $\sigma^2$  是加性噪声分量的方差。所以, SNR 可以通过给加性噪声分量的方差加权予以控制。画出测出的二进制 DPSK 的误码率, 并将它与由 (7.2.23) 式给出的理论差错概率作比较。
- 7.12 写一个 MATLAB 程序, 对图 P7.12 示出的信号星座图产生并画出

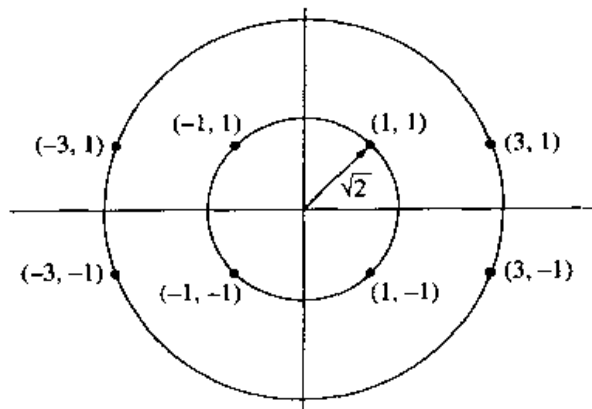


图 P7.12

(7.4.2)式给出的  $M=8$  的 QAM 信号波形。假设脉冲波形  $g_T(t)$  是矩形,即

$$g_T(t) = \begin{cases} 1, & 0 \leq t \leq T \\ 0, & \text{其余 } t \end{cases}$$

载波频率  $f_c = 8/T$

7.13 当脉冲波形  $g_T(t)$  为

$$g_T(t) = \begin{cases} \frac{1}{2}(1 - \cos(2\pi t/T)), & 0 \leq t \leq T \\ 0, & \text{其余} \end{cases}$$

重做习题 7.12。

7.14 写一个 MATLAB 程序,对应于图 P7.12 的信号星座图完成一个  $M=8$  的 QAM 通信系统的 Monte Carlo 仿真。仿真在不同的 SNR 参数  $\mathcal{E}_{avb}/N_0$  值下,对  $N=10\,000$  (3 比特)个符号进行。为了方便将  $\mathcal{E}_{avb}$  归一化到 1,然后用  $\sigma^2 = N_0/2$ , SWR 就是  $\mathcal{E}_{avb}/N_0 = 1/(2\sigma^2)$ ,这里  $\sigma^2$  是两个加性噪声分量中每一个的方差。画出测出的该 QAM 系统的符号误码率,并将它与由 (7.4.12) 式给出的理论差错概率(上界)作比较。

7.15 对示于图 P7.15 的  $M=8$  信号星座图重做习题 7.14 的仿真。试比较这两个  $M=8$  的 QAM 信号星座图的差错概率,并指出哪个星座图给出的性能较好。

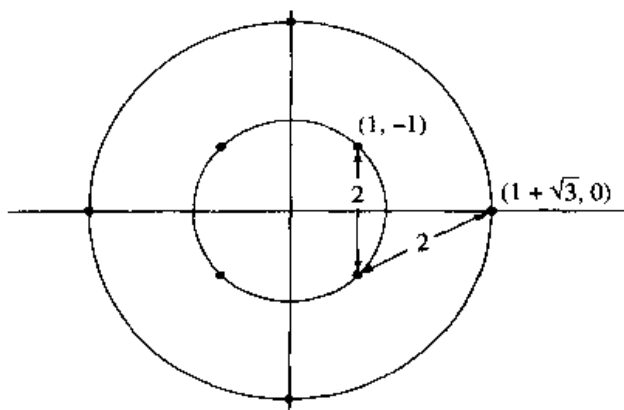


图 P7.15

7.16 现考虑二进制 FSK 信号为

$$u_1(t) = \sqrt{\frac{2\mathcal{E}_b}{T_b}} \cos(2\pi f_1 t), \quad 0 \leq t \leq T_b$$

$$u_2(t) = \sqrt{\frac{2\mathcal{E}_b}{T_b}} \cos(2\pi f_2 t), \quad 0 \leq t \leq T_b$$

$$f_2 = f_1 + \frac{1}{2T_b}$$

设  $f_1 = 1\,000/T_b$ 。通过用  $F_s = 5\,000/T_b$  采样率在比特区间  $0 \leq t \leq T_b$  内对这两个波形采样得到 5 000 个样本。写一个 MATLAB 程序,产生  $u_1(t)$  和  $u_2(t)$  的各 5 000 个样本,并计算互相关

$$\sum_{n=0}^{N-1} u_1\left(\frac{n}{F_s}\right) u_2\left(\frac{n}{F_s}\right)$$

据此用数值方法确认  $u_1(t)$  和  $u_2(t)$  的正交性条件。

7.17 当接收信号  $r(t)$  为

$$r(t) = \cos(2\pi f_1 t + \frac{\pi}{2}), \quad 0 \leq t \leq T_b$$

时,利用在解说题 7.7 中给出的 MATLAB 程序计算并画出相关器的输出。

7.18 当传输信号是  $u_2(t)$  和接收信号  $r(t)$  是

$$r(t) = \cos(2\pi f_2 t + \frac{\pi}{4}), \quad 0 \leq t \leq T$$

时,利用在解说题 7.7 中给出的 MATLAB 程序计算并画出相关器的输出。

7.19 写一个 MATLAB 程序完成  $M=4$  的 FSK 通信系统的仿真。采用频率为

$$f_k = f_1 + \frac{k}{T}, \quad k = 0, 1, 2, 3$$

检测器为平方律检测器。仿真在不同的 SNR 参数  $\mathcal{E}_b/N_0$  值下对  $N = 10\,000$  (2 比特)符号进行,并记录符号差错和比特差错数。画出测出的符号和比特误码率,并将它与由(7.5.19)式和(7.5.21)式给出的理论符号和比特差错概率作比较。

7.20 在解说题 7.9 中曾假定输入相位有某个突变,并且仿真结果表明:一阶环路滤波器能够跟踪这样一个变化。现在假设输入相位按照斜坡函数变化,也即从开始就线性增长。在这个情况下仿真一阶 PLL 的性能,并判断这个环路是否能够跟踪这样的变化。

7.21 在 AWGN 存在下,SNR 值分别为 20 dB, 10 dB, 5 dB 和 0 dB 时,用矩形脉冲重做解说题 7.10。

# 第 8 章 信道容量和编码

## 8.1 概述

任何通信系统的目的就是要将某个信息源产生的信息从甲地传送到乙地。传输信息经由的媒质称为**通信信道**。在第 4 章已经知道,一个信源的信息含量是用该信源的熵来度量的,而这个熵的最常用单位是比特(bit)。我们也已经看到,一个信源合适的数学模型是一个随机过程。

这一章要讨论合适的通信信道的数学模型。还将讨论称之为**信道容量**的这样一个量;它是对任何通信信道定义的,并且给出了这个信道可以传输的信息量的基本限制。特别要考虑两类信道:二进制对称信道(BSC)和加性白高斯噪声信道(AWGN)。

本章第二部分专门讨论在通信信道上进行可靠通信的编码技术。讨论两种最常见的编码方法,即分组编码和卷积编码。在本章的稍后各节中要对这两种码的编码和解码技术及其性能作详细讨论。

## 8.2 信道模型和信道容量

通信信道将载有信息的信号传送到目的地。在这个传输过程中,载有信息的信号遭受到各种变化。有些变化从本质上说是确定性的,例如衰减、线性和非线性失真等;而另一些则是概然性的,例如附加噪声、多径衰落等等。由于可以把确定性变化看成随机变化的特例,所以从最一般意义上来说,通信信道的数学模型在输入和输出信号之间是一个随机的依赖关系。

### 8.2.1 信道模型

在最简单情况下,一个信道能够用关联信道每个输出对其相应输入的条件概率来建模。这样的信道称为**离散无记忆信道**(discrete-memoryless channel, DMC),并且完全由信道输入字符集  $\mathcal{X}$ , 信道输出字符集  $\mathcal{Y}$  和信道转移概率矩阵  $p(y|x)$  (对全部  $x \in \mathcal{X}$ ,  $y \in \mathcal{Y}$  已知)来表征。离散无记忆信道的一种特例是**二进制对称信道**(binary symmetric channel, BSC),这种信道可以将其看作是在一

一条高斯信道上,输出为硬判定时二进制传输的一个数学模型。一条二进制对称信道对应于  $\mathcal{X} = \mathcal{Y} = \{0, 1\}$  和  $p(y=0|x=1) = p(y=1|x=0) = \epsilon$  的情况。这种信道的一个示意性模型如图 8.1 所示,图中参数  $\epsilon$  称为信道的交叉概率(crossover probability)。

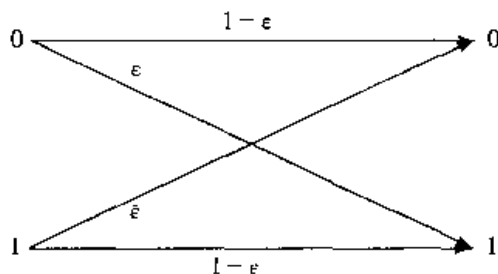


图 8.1 二进制对称信道(BSC)

### 8.2.2 信道容量

按照定义,信道容量就是在这条信道上能够进行可靠信息传输的最大速率。当存在一个具有增加分组长度的码的序列,随着分组长度的增加,这种码的差错概率趋于零时,可靠传输是可能的。信道容量记作  $C$ ,按定义在速率  $R < C$  时,在这条信道上的可靠传输是可能的;在  $R > C$  时,可靠传输是不可能的。

香农信息论的基本结果对离散无记忆信道表明,它的容量由下面表示式给出:

$$C = \max_{p(x)} I(X; Y) \quad (8.2.1)$$

这里  $I(X; Y)$  代表  $X$  (信道输入)和  $Y$  (信道输出)之间的互信息(mutual information),其最大化是在全部信道输入概率分布上完成的。

两个随机变量  $X$  和  $Y$  之间的互信息定义为

$$I(X; Y) = \sum_{x \in \mathcal{X}} \sum_{y \in \mathcal{Y}} p(x) p(y|x) \log_2 \frac{p(x, y)}{p(x) p(y)} \quad (8.2.2)$$

这里互信息以比特表示。

对于二进制对称信道,容量由下面简单关系给出

$$C = 1 - H_b(\epsilon) \quad (8.2.3)$$

这里  $\epsilon$  是信道的交叉概率,  $H_b(\cdot)$  代表二进制熵函数:

$$H_b(x) = -x \log_2(x) - (1-x) \log_2(1-x) \quad (8.2.4)$$

另一种重要的信道模型是具有输入功率受限的带限加性白高斯噪声信道。这种信道模型如图 8.2 所示。

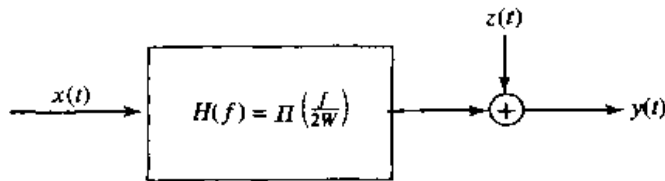


图 8.2 带限加性白高斯噪声信道

该信道带限在 $[-W, W]$ 内,噪声是高斯型的且为白色,具有(双边)功率谱密度为 $N_0/2$ ,而信道输入是一个满足某一输入功率受限为 $P$ 的过程。香农证明这种信道容量以 b/s 表示给出如下

$$C = W \log_2 \left( 1 + \frac{P}{N_0 W} \right) \quad \text{b/s} \quad (8.2.5)$$

对于具有输入功率受限为 $P$ 和噪声方差 $\sigma^2$ 的离散时间 AWGN 信道,以比特/传输表示的容量给出为

$$C = \frac{1}{2} \log_2 \left( 1 + \frac{P}{\sigma^2} \right) \quad (8.2.6)$$

### 解 说 题

#### 解答题 8.1[二进制对称信道容量]

利用 BPSK 信号在一个加性白高斯噪声信道上传输二进制数据,并在用最佳匹配滤波器检测的输出端利用硬判决解码。

1. 画出该信道的差错概率作为函数

$$\gamma = \frac{\mathcal{E}}{N_0} \quad (8.2.7)$$

的图,这里 $\mathcal{E}$ 是在每个 BPSK 信号中的能量,而 $N_0/2$ 是噪声功率谱密度。假设 $\gamma$ 由 $-20\text{dB}$ 到 $20\text{dB}$ 变化。

2. 画出作为 $\gamma$ 函数的所得信道容量的图。

### 题 解

1. 用最佳检测的 BPSK 的差错概率是

$$p = Q(\sqrt{2\gamma}) \quad (8.2.8)$$

对应的图如图 8.3 所示。

2. 现在用下面关系

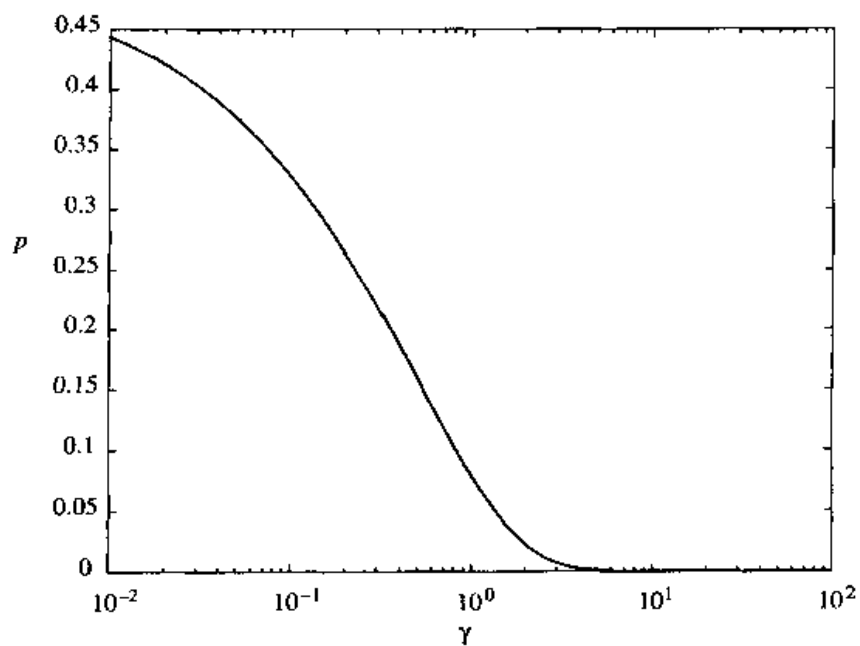
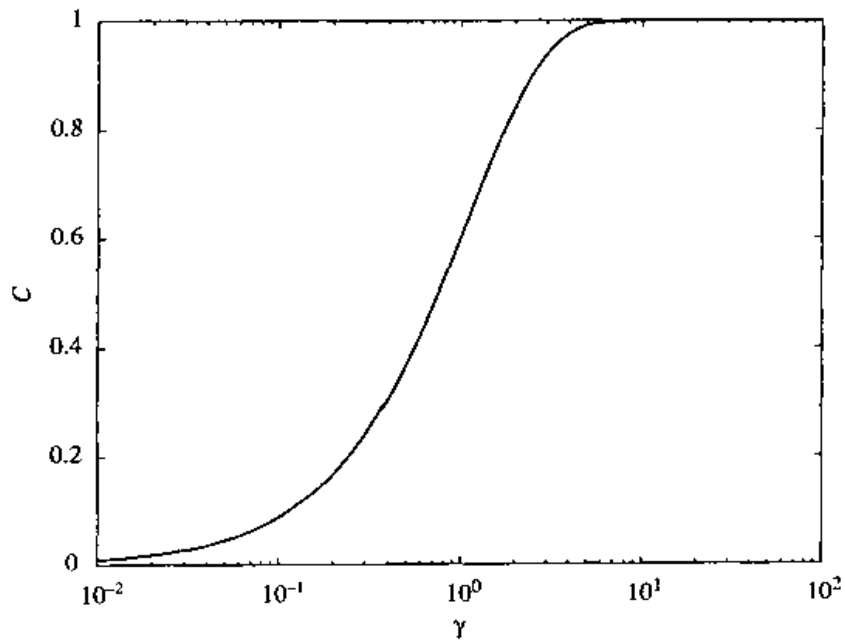
$$\begin{aligned} C &= 1 - H_b(p) \\ &= 1 - H_b(Q(\sqrt{2\gamma})) \end{aligned} \quad (8.2.9)$$

可得 $C$ 对于 $\gamma$ 的图,如图 8.4 所示。

本题的 MATLAB 脚本给出如下。

### MI 文件

```
% MATLAB script for Illustrative Problem 8.1.
echo on
gamma_db=[-20:0.1:20];
gamma=10.^(gamma_db./10);
```

图 8.3 BPSK 对于  $\gamma = \mathcal{E}/N_0$  的差错概率图 8.4 信道容量与  $\gamma = \mathcal{E}/N_0$  的关系

```

p_error=q(sqrt(2.*gamma));
capacity=1.-entropy2(p_error);
pause % Press a key to see a plot of error probability vs. SNR/bit
clf

```



```
semilogx(gamma,p_error)
xlabel('SNR/bit')
title('Error probability versus SNR/bit')
ylabel('Error Prob.')
pause % Press a key to see a plot of channel capacity vs. SNR/bit
clf
semilogx(gamma,capacity)
xlabel('SNR/bit')
title('Channel capacity versus SNR/bit')
ylabel('Channel capacity')
```

### 解说题

#### 解说题 8.2[高斯信道容量]

1. 画出带宽  $W = 3\,000\text{ Hz}$  的加性白高斯噪声信道的容量作为  $P/N_0$  函数的图,  $P/N_0$  在  $-20\text{ dB}$  至  $30\text{ dB}$  之间变化。

2. 画出  $P/N_0 = 25\text{ dB}$  时, 加性白高斯噪声信道的容量作为  $W$  函数的图, 尤其是当  $W$  无限增加时, 信道容量是什么?

### 题 解

1. 所期望的图由图 8.5 给出。

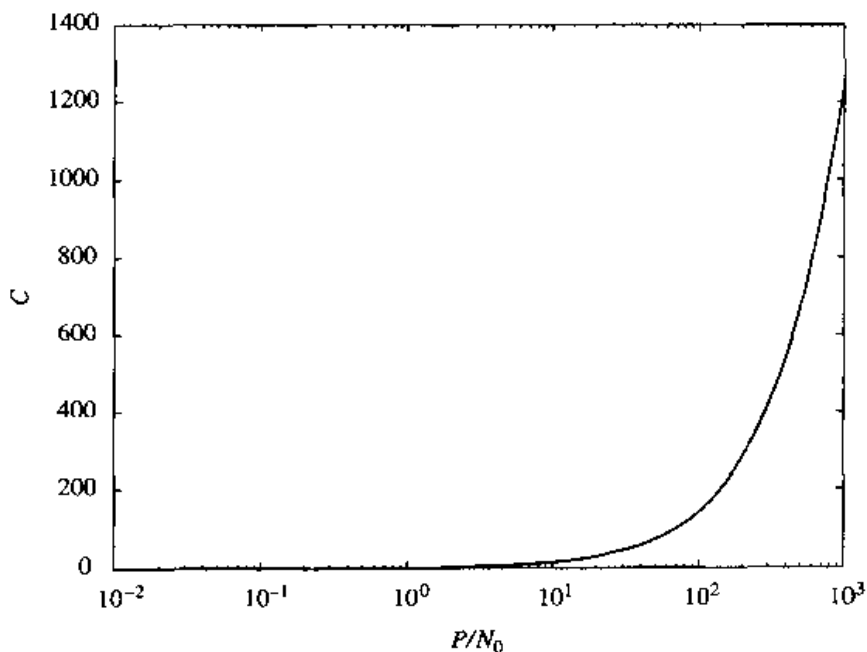


图 8.5  $W = 2\,000\text{ Hz}$  的 AWGN 信道容量与  $P/N_0$  的函数关系

2. 容量作为带宽的函数如图 8.6 所示。由图可见, 当  $P/N_0$  或者  $W$  之一趋于零时, 信道容量也趋向于零。然而, 当  $P/N_0$  或  $W$  趋于无限大时, 容量的变化特性是不同的。当  $P/N_0$  趋于无限大时, 如图 8.5 所示, 容量也趋向无限大。然而, 当  $W$  趋于无限大时, 容量就到某一极限值, 该极限值由  $P/N_0$  决定。

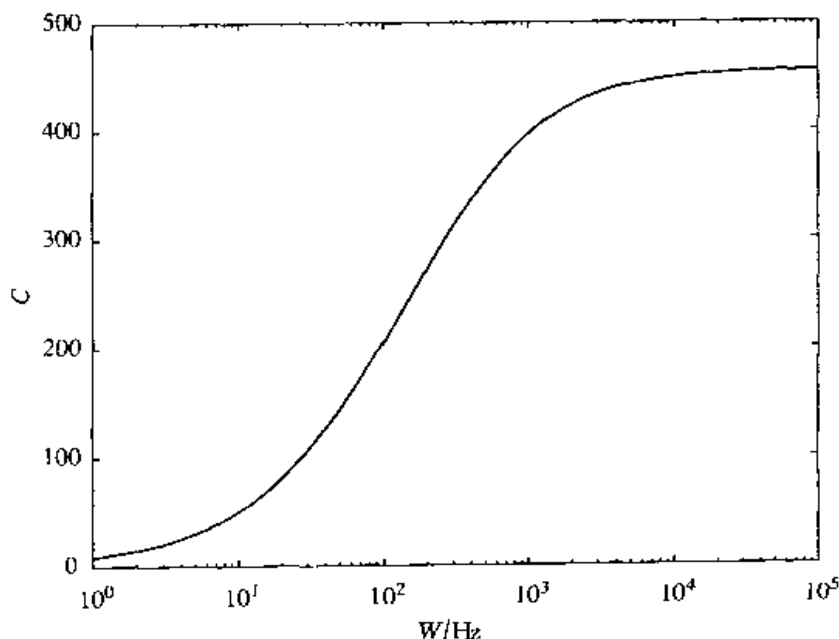


图 8.6 在 AWGN 信道中容量作为带宽的函数 ( $P/N_0 = 25$  dB)

为了确定这个极限值, 有

$$\lim_{W \rightarrow \infty} W \log_2 \left( 1 + \frac{P}{N_0 W} \right) = \frac{P}{N_0 \ln 2} \quad (8.2.10)$$

$$= 1.4427 \frac{P}{N_0} \quad (8.2.11)$$

本题的 MATLAB 脚本给出如下。

### NI 文件

```
% MATLAB script for Illustrative Problem 8.2.
echo on
pn0_db=[-20:0.1:30];
pn0=10.^(pn0_db./10);
capacity=3000.*log2(1+pn0/3000);
pause % Press a key to see a plot of channel capacity vs. P/N0
clf
semilogx(pn0,capacity)
title('Capacity vs. P/N0 in an AWGN channel')
xlabel('P/N0')
ylabel('Capacity (bits/second)')
```

```

clear
w=[1:10,12:2:100,105:5:500,510:10:5000,5025:25:20000,20050:50:100000];
pn0_db=25;
pn0=10^(pn0_db/10);
capacity=w.*log2(1+pn0./w);
pause % Press a key to see a plot of channel capacity vs. bandwidth
clf
semilogx(w,capacity)
title('Capacity vs. bandwidth in an AWGN channel.')
xlabel('Bandwidth (Hz)')
ylabel('Capacity (bits/second)')

```

### 解答题

#### 解答题 8.3[二进制输入 AGWN 信道的容量]

通过用两个二进制输入电平  $A$  和  $-A$  和方差为  $\sigma^2$  的零均值加性高斯噪声给一个二进制输入的 AGWN 信道建模。在这种情况下,  $\mathcal{X} = \{-A, A\}$ ,  $\mathcal{Y} = \mathcal{R}$ ,  $p(y|X=A) \sim \mathcal{N}(A, \sigma^2)$  和  $p(y|X=-A) \sim \mathcal{N}(-A, \sigma^2)$ 。画出该信道容量作为  $A/\sigma$  的函数图。

### 题 解

由于在这个题目中的对称性,这个容量可以对均匀输入分布(即  $p(X=A) = p(X=-A) = \frac{1}{2}$ )来得到。对于这个输入分布,输出分布由下式给出

$$p(y) = \frac{1}{2\sqrt{2\pi\sigma^2}} e^{-(y+A)^2/(2\sigma^2)} + \frac{1}{2\sqrt{2\pi\sigma^2}} e^{-(y-A)^2/(2\sigma^2)} \quad (8.2.12)$$

输入和输出之间的互信息给出为

$$\begin{aligned}
 I(X; Y) &= \frac{1}{2} \int_{-\infty}^{\infty} p(y|X=A) \log_2 \frac{p(y|X=A)}{p(y)} dy + \\
 &\quad \frac{1}{2} \int_{-\infty}^{\infty} p(y|X=-A) \log_2 \frac{p(y|X=-A)}{p(y)} dy
 \end{aligned} \quad (8.2.13)$$

用简单的积分和变量变换可得

$$I(X; Y) = \frac{1}{2} f\left(\frac{A}{\sigma}\right) + \frac{1}{2} f\left(-\frac{A}{\sigma}\right) \quad (8.2.14)$$

式中

$$f(a) = \int_{-\infty}^{\infty} \frac{1}{\sqrt{2\pi}} e^{-(u-a)^2/2} \log_2 \frac{2}{1 + e^{-2au}} du \quad (8.2.15)$$

利用这些关系就能对各种不同的  $A/\sigma$  值计算  $I(X; Y)$  并画出结果。图 8.7 示出所得到的曲线。

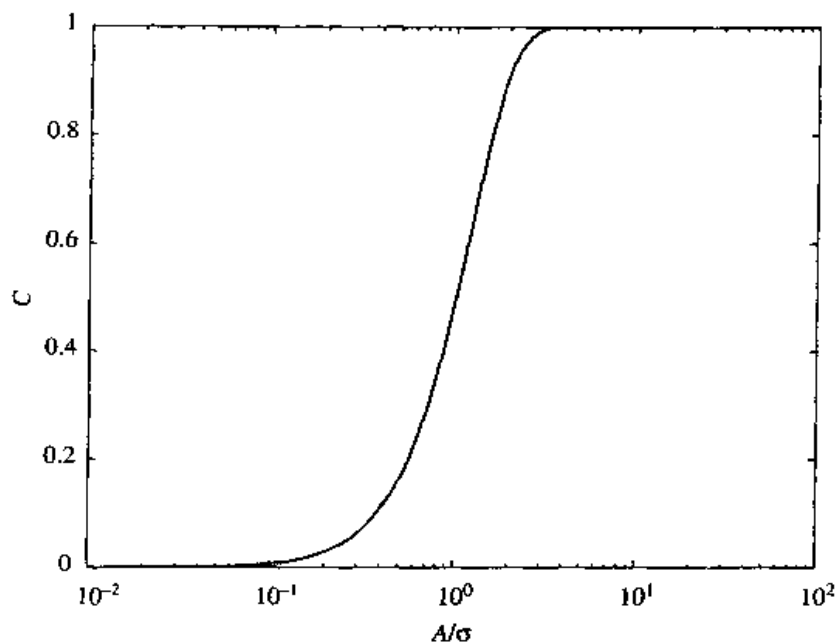


图 8.7 某二进制输入 AWGN 信道的容量作为  $\text{SNR} = A/\sigma$  的函数

本题的 MATLAB 脚本给出如下。

## VI 文件

```
% MATLAB script for Illustrative Problem 8.3.
echo on
a_db=[-20:0.2:20];
a=10.^(a_db/10);
for i=1:201
    f(i)=quad('il3_8fun',a(i)-5,a(i)+5,1e-3,[],a(i));
    g(i)=quad('il3_8fun',-a(i)-5,-a(i)+5,1e-3,[],-a(i));
    c(i)=0.5*f(i)+0.5*g(i);
    echo off ;
end
echo on ;
pause % Press a key to see capacity vs. SNR plot
semilogx(a,c)
title('Capacity versus SNR in binary input AWGN channel')
xlabel('SNR')
ylabel('Capacity (bits/transmission)')
```

## 解答题

### 解答题 8.4[硬判决和软判决方法的比较]

某二进制输入信道用两个输入电平  $A$  和  $-A$ , 信道输出是输入和零均值、

方差为  $\sigma^2$  的加性白高斯噪声之和。这个信道在两种不同条件下应用。一种是直接用输出而不作量化(软判决);另一种是对每个输入电平作最佳判定(硬判决)。画出在每种情况下容量作为  $A/\sigma$  的函数关系。

### 题 解

软判决部分与解答题 8.3 类似。对于硬判决情况,所得二进制对称信道的交叉概率是  $Q(A/\sigma)$ , 因此容量就给出为

$$C_H = 1 - H_b\left(Q\left(\frac{A}{\sigma}\right)\right)$$

$C_H$  和  $C_s$  都如图 8.8 所示。在全部  $A/\sigma$  上,软判决解码优于硬判决解码。

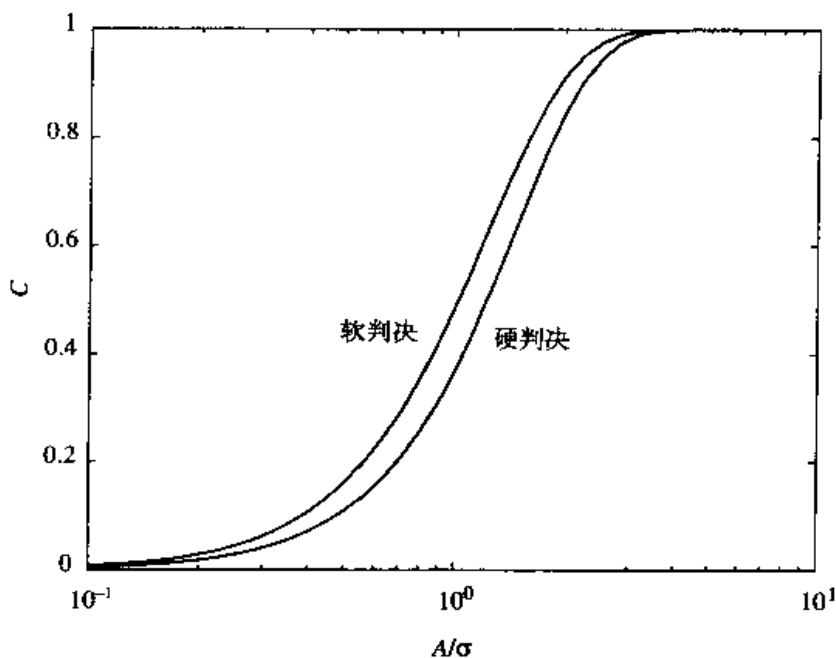


图 8.8  $C_H$  和  $C_s$  与  $\text{SNR} = A/\sigma$  的关系图

本题的 MATLAB 脚本给出如下。

### M 文件

```
% MATLAB script for Illustrative Problem 8.4.
echo on
a_db=-13:0.5:13;
a=10.^(a_db/10);
c_hard=1-entropy2(Q(a));
for i=1:53
    f(i)=quad('il3_8fun',a(i)-5,a(i)+5,1e-3,[],a(i));
    g(i)=quad('il3_8fun',-a(i)-5,-a(i)+5,1e-3,[],-a(i));
```

```

c_soft(i)=0.5*f(i)+0.5*g(i);
echo off ;
end
echo on ;
pause % Press a key to see the capacity curves
semilogx(a,c_soft,a,c_hard)

```

### 解说题

#### 解说题 8.5 [容量与带宽和 SNR 的关系]

输入功率受限为  $P$  和带宽为  $W$  的带限 AWGN 信道的容量由下式给出

$$C = W \log_2 \left( 1 + \frac{P}{N_0 W} \right)$$

画出容量作为  $W$  和  $P/N_0$  的函数关系图。

### 题 解

所期望的图如图 8.9 所示。注意,当  $P/N_0$  为常数时,该图就蜕化到图 8.6 所示那样的曲线;当  $W$  为常数时,容量作为  $P/N_0$  的函数就类似于图 8.5 所示的曲线。

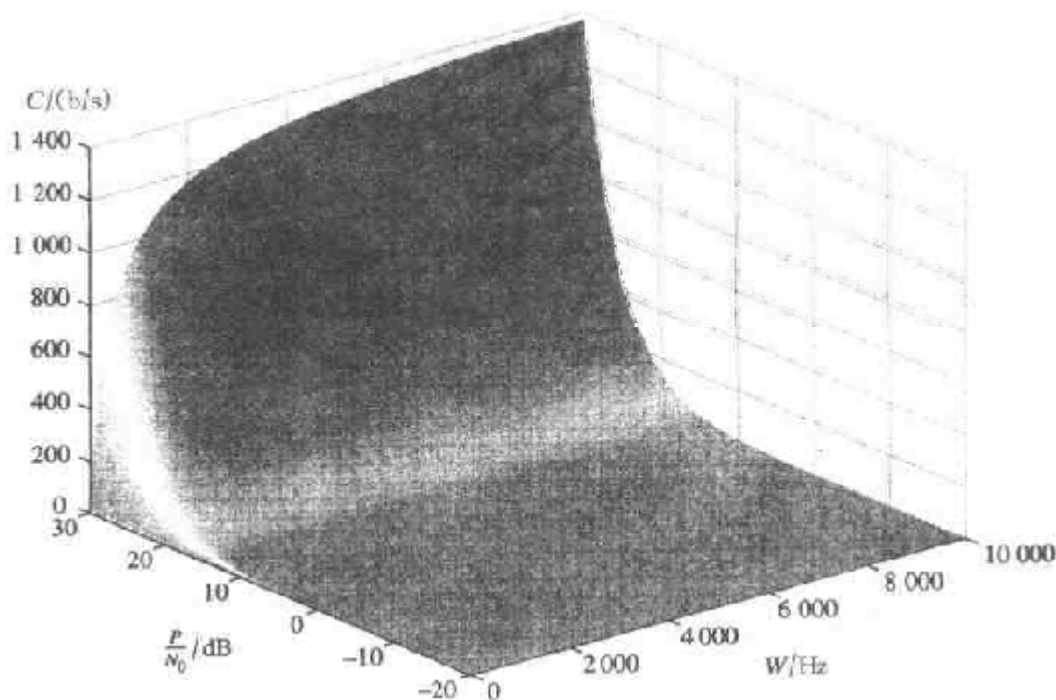


图 8.9 在 AWGN 信道中,容量作为带宽  $W$  和 SNR 的函数

本题的 MATLAB 脚本给出如下。

## M 文件

```
% MATLAB script for Illustrative Problem 8.5.
echo off
w=[1:5:20,25:20:100,130:50:300,400:100:1000,1250:250:5000,5500:500:10000];
pn0_db=[-20:1:30];
pn0=10.^(pn0_db/10);
for i=1:45
    for j=1:51
        c(i,j)=w(i)*log2(1+pn0(j)/w(i));
    end
end
echo on
pause % Press a key to see C vs. W and P/N0
k=[0.9,0.8,0.5,0.6];
s=[-70,35];
surf(w,pn0_db,c',s,k)
title('Capacity vs. bandwidth and SNR')
```

## 解说题

## 解说题 8.6[离散时间 AWGN 信道容量]

画出离散时间 AWGN 信道容量作为输入功率和噪声方差的函数关系。

## 题 解

所期望的图如图 8.10 所示。

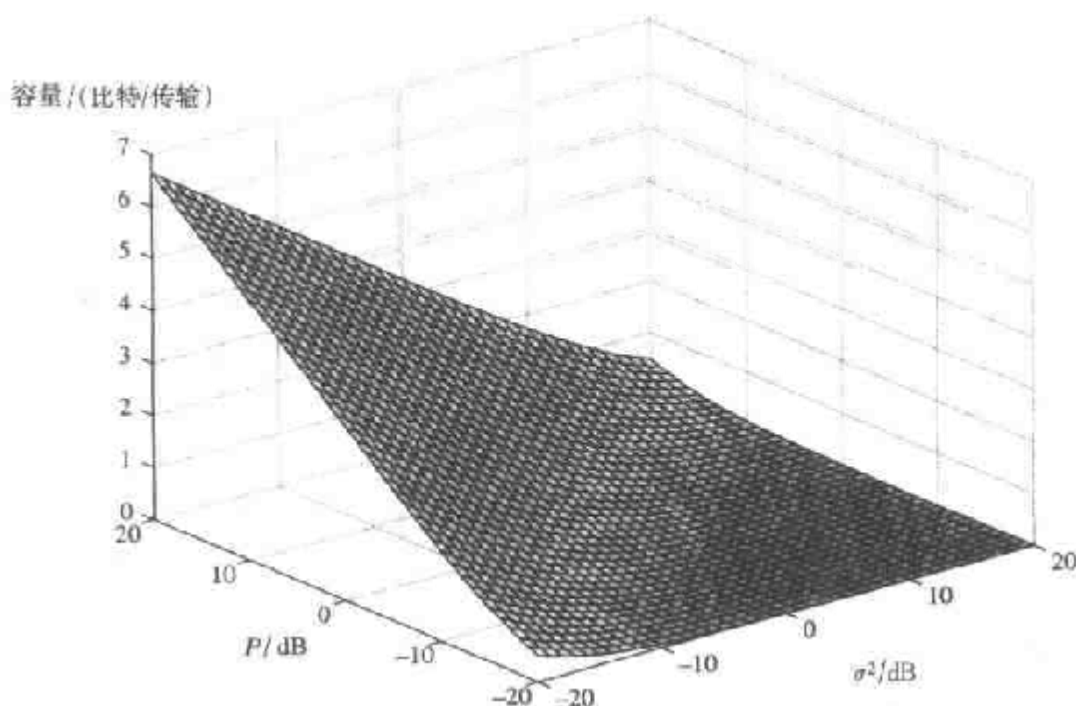


图 8.10 离散时间 AWGN 信道容量作为信号功率( $P$ )和噪声功率( $\sigma^2$ )的函数

本题的 MATLAB 脚本给出如下。

### M 文件

*% MATLAB script for Illustrative Problem 8.6.*

```
echo on
p_db=[-20:1:20];
np_db=p_db;
p=10.^(p_db/10);
np=p;
for i=1:41
    for j=1:41
        c(i,j)=0.5*log2(1+p(i)/np(j));
        echo off ;
    end
end
echo on ;
pause % Press a key to see the plot
surf(np_db,p_db,c)
```

## 8.3 信道编码

经由有噪声信道的通信容易产生差错。为了减少差错的影响并实现可靠的通信,有必要将传输的序列尽量做成不一样,以使得信道噪声不会将一个序列改变成另一个序列。这就意味着不得不引入某些冗余度以提高通信的可靠性,冗余度的引入会导致额外的比特传输,从而降低了传输速率。

一般可将信道编码方法分成两大类:分组码和卷积码。在分组编码中,将长度为  $k$  的二进制信源输出序列映射为长度为  $n$  的二进制信道输入序列;因此,所得到的码率就是每次传输  $k/n$  比特。这样一种码称为  $(n, k)$  分组码并由长度为  $n$  的  $2^k$  个码字所组成,通常记为  $c_1, c_2, \dots, c_{2^k}$ 。信源输出映射到信道输入是独立完成的,而编码器输出仅取决于当前长度为  $k$  的输入序列,而与先前的输入序列无关。在卷积编码中,长度为  $k_0$  的信源输出映射为  $n_0$  的信道输入,但是该信道输入不仅与最近的  $k_0$  个信源输出有关,还与前面的  $(L-1)k_0$  个编码器输入有关。

最简单的一种分组码是**简单重复码**(simple repetition code),在其中有两个消息要在一个二进制对称信道上传输,对这两个消息不用 0 和 1 传输,而是用由全 0 和全 1 组成的两个序列来传输。这两个序列的长度选成某个奇数,其编码过程如下:

$$0 \longrightarrow \overbrace{00 \cdots 00}^{n \text{ 为奇数}} \quad (8.3.1)$$



$$1 \longrightarrow \overbrace{11 \cdots 11}^{n \text{ 为奇数}} \quad (8.3.2)$$

解码是按照“简单多数表决”的方式解码;也就是说,如果接收符号的大多数是1,解码器判决为1;如果多数是0,解码器判决为0。

如果接收到的传输符号至少有  $(n+1)/2$  个是错误的,那么就会发生差错。因为信道是具有交叉概率为  $\varepsilon$  的二进制对称信道,差错概率就能表示为

$$p_e = \sum_{k=(n+1)/2}^n \binom{n}{k} \varepsilon^k (1-\varepsilon)^{n-k} \quad (8.3.3)$$

例如,当  $n=5$ ,  $\varepsilon=0.001$  时有

$$p_e = \sum_{k=3}^5 0.001^k 0.999^{5-k} \approx 10^{-9} \quad (8.3.4)$$

这就是说,利用信道5次而不是1次就能将差错概率从0.001降低到  $10^{-9}$ ! 当然,为这个更可靠的性能已经付出了代价,这个代价就是降低了传输速率并增加了系统的复杂性。传输速率从每使用信道一次传输一个二进制消息降到每使用信道5次才传输一个二进制消息。由于现在必须要用一个编码器(结构很简单)和一个解码器(用于实现简单多数表决解码),所以系统复杂性也就增加了。在这个题中如果继续增加  $n$  还能实现更可靠的通信。例如,对  $n=9$  有

$$p_e = \sum_{k=5}^9 0.001^k 0.999^{9-k} \approx 10^{-15} \quad (8.3.5)$$

由上讨论似乎可以得出,若想将差错概率减到零,就得无限增加  $n$ , 因此传输速率降到0! 然而,情况并非是这样,Shannon 指出,只要将传输速率保持在信道容量以下,就能渐近地实现可靠的通信(即  $p_e \rightarrow 0$ ),在上述情况下,这就是

$$C = 1 - H_b(0.001) = 1 - 0.0114 = 0.9886 \quad (\text{比特/传输}) \quad (8.3.6)$$

然而,这是在通过使用编码和解码方法之后才能达到的,而这些编码和解码要比简单重复编码复杂得多。

### 解说题

#### 解说题 8.7[简单重复编码中的差错概率]

假设在某二进制对称信道中  $\varepsilon=0.3$ ,画出  $p_e$  作为分组长度  $n$  函数的图。

### 题解

差错概率给出为

$$p_e = \sum_{k=(n+1)/2}^n \binom{n}{k} 0.3^k \times 0.7^{n-k}$$

对于  $n$  从1变化到61,导出  $p_e$ 。图8.11为所得到的图。

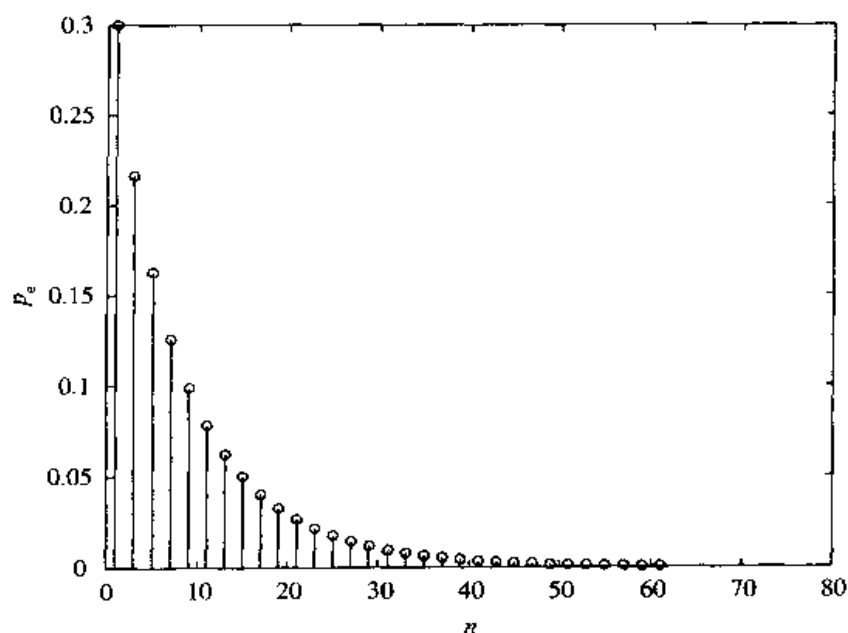


图 8.11 在  $\varepsilon = 0.3$  和  $n = 1, 2, 3, \dots, 61$  时简单重复编码的差错概率

本题的 MATLAB 脚本给出如下。

### M 文件

```
% MATLAB script for Illustrative Problem 8.7.
echo on
ep=0.3;
for i=1:2:61
    p(i)=0;
    for j=(i+1)/2:i
        p(i)=p(i)+prod(1:j)/(prod(1:j)*prod(1:(i-j)))*ep^j*(1-ep)^(i-j);
    end
end
echo off ;
echo on ;
pause % Press a key to see the plot
stem((1:2:61),p(1:2:61))
xlabel('n')
ylabel('p_e')
title('Error probability as a function of n in simple repetition code')
```

### 8.3.1 线性分组码

线性分组码是最重要的应用最广泛的一类分组码。如果任意两个码字的线

性组合还是一个码字,这种分组码就是线性的。在二进制情况下,这意味着任意两个码字的和还是一个码字。在线性分组码中,码字形成  $n$  维空间的一个  $k$  维子空间。线性分组码是利用它们的生成矩阵(generator matrix)  $G$  来描述的,它是一个  $k \times n$  的二进制矩阵,以使得每个码字  $c$  都能写成如下形式

$$c = uG \quad (8.3.7)$$

这里  $u$  是长度为  $k$  的二进制数据序列(编码器输入)。很明显,长度为  $n$  的全 0 序列总是  $(n, k)$  线性分组码中的一个码字。

在线性分组码中一个重要参数是码的最小(海明, Hamming)距离,它决定了该码的误差校正能力,定义为任意两个不同码字之间的最小 Hamming 距离。一个码的最小距离用  $d_{\min}$  表示而有

$$d_{\min} = \min_{i \neq j} d_H(c_i, c_j) \quad (8.3.8)$$

对于线性码,这个最小距离等于该码的最小重量,定义为

$$w_{\min} = \min_{c_i \neq 0} w(c_i) \quad (8.3.9)$$

也就是说,在任何非零码字中 1 最少的数目。

### 解说题

#### 解说题 8.8[线性分组码]

对某一  $(10, 4)$  线性分组码的生成矩阵给出为

$$G = \begin{bmatrix} 1 & 0 & 0 & 1 & 1 & 1 & 0 & 1 & 1 & 1 \\ 1 & 1 & 1 & 0 & 0 & 0 & 1 & 1 & 1 & 0 \\ 0 & 1 & 1 & 0 & 1 & 1 & 0 & 1 & 0 & 1 \\ 1 & 1 & 0 & 1 & 1 & 1 & 1 & 0 & 0 & 1 \end{bmatrix}$$

求全部码字和该码的最小重量。

### 题解

为了求得全部码字,必须要用到长度为 4 的全部信息序列,并找出对应的编码序列。因为总共有 16 个长度为 4 的二进制序列,所以将有 16 个码字。令  $U$  记作  $2^k \times k$  的矩阵,该矩阵的行是长为 4 的全部可能的二进制序列,由全部为 0 的序列开始,并以全部为 1 的序列结束。各行按下述方法排列;按序列的十进制大小,从上至下由小到大排列。对于  $k=4$  的情况,矩阵  $U$  为

$$U = \begin{bmatrix} 0 & 0 & 0 & 0 \\ 0 & 0 & 0 & 1 \\ 0 & 0 & 1 & 0 \\ 0 & 0 & 1 & 1 \\ 0 & 1 & 0 & 0 \\ 0 & 1 & 0 & 1 \\ 0 & 1 & 1 & 0 \\ 0 & 1 & 1 & 1 \\ 1 & 0 & 0 & 0 \\ 1 & 0 & 0 & 1 \\ 1 & 0 & 1 & 0 \\ 1 & 0 & 1 & 1 \\ 1 & 1 & 0 & 0 \\ 1 & 1 & 0 & 1 \\ 1 & 1 & 1 & 0 \\ 1 & 1 & 1 & 1 \end{bmatrix}$$

这样有

$$C = UG \quad (8.3.10)$$

这里  $C$  是码字矩阵, 在这个例子中是  $16 \times 10$  的矩阵, 它的行是码字。这个码字矩阵为

$$C = \begin{bmatrix} 0 & 0 & 0 & 0 \\ 0 & 0 & 0 & 1 \\ 0 & 0 & 1 & 0 \\ 0 & 0 & 1 & 1 \\ 0 & 1 & 0 & 0 \\ 0 & 1 & 0 & 1 \\ 0 & 1 & 1 & 0 \\ 0 & 1 & 1 & 1 \\ 1 & 0 & 0 & 0 \\ 1 & 0 & 0 & 1 \\ 1 & 0 & 1 & 0 \\ 1 & 0 & 1 & 1 \\ 1 & 1 & 0 & 0 \\ 1 & 1 & 0 & 1 \\ 1 & 1 & 1 & 0 \\ 1 & 1 & 1 & 1 \end{bmatrix} \begin{bmatrix} 1 & 0 & 0 & 1 & 1 & 1 & 0 & 1 & 1 & 1 \\ 1 & 1 & 1 & 0 & 0 & 0 & 1 & 1 & 1 & 0 \\ 0 & 1 & 1 & 0 & 1 & 1 & 0 & 1 & 0 & 1 \\ 1 & 1 & 0 & 1 & 1 & 1 & 1 & 0 & 0 & 1 \end{bmatrix}$$

$$= \begin{bmatrix} 0 & 0 & 0 & 0 & 0 & 0 & 0 & 0 & 0 & 0 \\ 1 & 1 & 0 & 1 & 1 & 1 & 1 & 0 & 0 & 1 \\ 0 & 1 & 1 & 0 & 1 & 1 & 0 & 1 & 0 & 1 \\ 1 & 0 & 1 & 1 & 0 & 0 & 1 & 1 & 0 & 0 \\ 1 & 1 & 1 & 0 & 0 & 0 & 1 & 1 & 1 & 0 \\ 0 & 0 & 1 & 1 & 1 & 1 & 0 & 1 & 1 & 1 \\ 1 & 0 & 0 & 0 & 1 & 1 & 1 & 0 & 1 & 1 \\ 0 & 1 & 0 & 1 & 0 & 0 & 0 & 0 & 1 & 0 \\ 1 & 0 & 0 & 1 & 1 & 1 & 0 & 1 & 1 & 1 \\ 0 & 1 & 0 & 0 & 0 & 0 & 1 & 1 & 1 & 0 \\ 1 & 1 & 1 & 1 & 0 & 0 & 0 & 0 & 1 & 0 \\ 0 & 0 & 1 & 0 & 1 & 1 & 1 & 0 & 1 & 1 \\ 0 & 1 & 1 & 1 & 1 & 1 & 1 & 0 & 0 & 1 \\ 1 & 0 & 1 & 0 & 0 & 0 & 0 & 0 & 0 & 0 \\ 0 & 0 & 0 & 1 & 0 & 0 & 1 & 1 & 0 & 0 \\ 1 & 1 & 0 & 0 & 1 & 1 & 0 & 1 & 0 & 1 \end{bmatrix}$$

仔细检查这些码字指出,这个码的最小距离是  $d_{\min}=2$ 。

本题的 MATLAB 脚本给出如下。

## VI 文件

```
% MATLAB script for Illustrative Problem 8.8.
% Generate U, denoting all information sequences.
k=4;
for i=1:2^k
    for j=k:-1:1
        if rem(i-1,2^(-j+k+1))>=2^(-j+k)
            u(i,j)=1;
        else
            u(i,j)=0;
        end
    end
    echo off ;
end
end
echo on ;
% Define G, the generator matrix.
g=[1 0 0 1 1 1 0 1 1 1;
    1 1 1 0 0 0 1 1 1 0;
    0 1 1 0 1 1 0 1 0 1;
    1 1 0 1 1 1 1 0 0 1];
% Generate codewords
c=rem(u*g,2);
```

```
% Find the minimum distance.
w_min=min(sum((c(2:2^k,:))') ) ) ;
```

如果生成矩阵是下列形式

$$\mathbf{G} = \begin{bmatrix} 1 & 0 & \cdots & 0 & p_{1,1} & p_{1,2} & \cdots & p_{1,n-k} \\ 0 & 1 & \cdots & 0 & p_{2,1} & p_{2,2} & \cdots & p_{2,n-k} \\ \vdots & \vdots & \ddots & \vdots & \vdots & \vdots & \ddots & \vdots \\ 0 & 0 & \cdots & 1 & p_{k,1} & p_{k,2} & \cdots & p_{k,n-k} \end{bmatrix} \quad (8.3.11)$$

或者

$$\mathbf{G} = [\mathbf{I}_k | \mathbf{P}] \quad (8.3.12)$$

那么线性分组码就具有规则形式(systematic form)。式中  $\mathbf{I}_k$  代表  $k \times k$  的单位矩阵,而  $\mathbf{P}$  是  $k \times (n-k)$  的矩阵。在一个规则码中,一个码字的前  $k$  个二进制符号是信息比特,而余下的  $n-k$  个二进制符号是奇偶校验符号(parity-check symbols)。

一个码的奇偶校验矩阵(parity-check matrix)是任意  $(n-k) \times n$  的二进制矩阵  $\mathbf{H}$ ,使对全部码字  $\mathbf{C}$  有

$$\mathbf{cH}^t = 0 \quad (8.3.13)$$

虽然有

$$\mathbf{cH}^t = 0 \quad (8.3.14)$$

并且,如果  $\mathbf{G}$  是规则形式,则有

$$\mathbf{H} = [\mathbf{P}^t | \mathbf{I}_{n-k}] \quad (8.3.15)$$

### Hamming 码

Hamming 码是  $(2^m - 1, 2^m - m - 1)$  的线性分组码,其最小距离为 3,且有一个很简单的奇偶校验矩阵,奇偶校验矩阵是  $m \times (2^m - 1)$  的矩阵,除去全 0 序列外,用长为  $m$  的全部序列作为它的列。例如对  $m=3$ ,有一个  $(7,4)$  的码,它的奇偶校验矩阵用规则形式表示是

$$\mathbf{H} = \begin{bmatrix} 1 & 0 & 1 & 1 & 1 & 0 & 0 \\ 1 & 1 & 0 & 1 & 0 & 1 & 0 \\ 0 & 1 & 1 & 1 & 0 & 0 & 1 \end{bmatrix} \quad (8.3.16)$$

据此而有

$$\mathbf{G} = \begin{bmatrix} 1 & 0 & 0 & 0 & 1 & 1 & 0 \\ 0 & 1 & 0 & 0 & 0 & 1 & 1 \\ 0 & 0 & 1 & 0 & 1 & 0 & 1 \\ 0 & 0 & 0 & 1 & 1 & 1 & 1 \end{bmatrix} \quad (8.3.17)$$

### 解说题

#### 解说题 8.9[Hamming 码]

求(15,11)Hamming 码的全部码字,并验证它的最小距离等于 3。

### 题 解

现在

$$H = \begin{bmatrix} 1 & 0 & 0 & 1 & 1 & 0 & 1 & 0 & 1 & 1 & 1 & 1 & 0 & 0 & 0 \\ 1 & 1 & 0 & 0 & 0 & 1 & 1 & 1 & 0 & 1 & 1 & 0 & 1 & 0 & 0 \\ 0 & 1 & 1 & 1 & 0 & 0 & 1 & 1 & 1 & 0 & 1 & 0 & 0 & 1 & 0 \\ 0 & 0 & 1 & 0 & 1 & 1 & 0 & 1 & 1 & 1 & 1 & 0 & 0 & 0 & 1 \end{bmatrix} \quad (8.3.18)$$

因此有

$$G = \begin{bmatrix} 1 & 0 & 0 & 0 & 0 & 0 & 0 & 0 & 0 & 0 & 0 & 1 & 1 & 0 & 0 \\ 0 & 1 & 0 & 0 & 0 & 0 & 0 & 0 & 0 & 0 & 0 & 0 & 1 & 1 & 0 \\ 0 & 0 & 1 & 0 & 0 & 0 & 0 & 0 & 0 & 0 & 0 & 0 & 0 & 1 & 1 \\ 0 & 0 & 0 & 1 & 0 & 0 & 0 & 0 & 0 & 0 & 0 & 1 & 0 & 1 & 0 \\ 0 & 0 & 0 & 0 & 1 & 0 & 0 & 0 & 0 & 0 & 0 & 1 & 0 & 0 & 1 \\ 0 & 0 & 0 & 0 & 0 & 1 & 0 & 0 & 0 & 0 & 0 & 0 & 1 & 0 & 1 \\ 0 & 0 & 0 & 0 & 0 & 0 & 1 & 0 & 0 & 0 & 0 & 1 & 1 & 1 & 0 \\ 0 & 0 & 0 & 0 & 0 & 0 & 0 & 1 & 0 & 0 & 0 & 0 & 1 & 1 & 1 \\ 0 & 0 & 0 & 0 & 0 & 0 & 0 & 0 & 1 & 0 & 0 & 1 & 0 & 1 & 1 \\ 0 & 0 & 0 & 0 & 0 & 0 & 0 & 0 & 0 & 1 & 0 & 1 & 1 & 0 & 1 \\ 0 & 0 & 0 & 0 & 0 & 0 & 0 & 1 & 0 & 0 & 1 & 1 & 1 & 1 & 1 \end{bmatrix}$$

总共有  $2^{11} = 2048$  个码字,每个都 15 位长。码率是  $\frac{11}{15} = 0.733$ 。为了验证该码的最小距离,我们用类似于在解说题 8.8 中所用的 MATLAB 脚本。这个 MATLAB 脚本给出如下,其结果为  $d_{\min} = 3$ 。

### MI 文件

```
% MATLAB script for Illustrative Problem 8.9.
echo on
k=11;
for i=1:2^k
    for j=k:-1:1
        if rem(i-1,2^(-j+k+1))>=2^(-j+k)
            u(i,j)=1;
        else
            u(i,j)=0;
        end
    end
end
```

```

end
echo off ;
end
end
echo on ,

g=[1 0 0 0 0 0 0 0 0 0 0 1 1 0 0;
   0 1 0 0 0 0 0 0 0 0 0 0 1 1 0;
   0 0 1 0 0 0 0 0 0 0 0 0 0 1 1;
   0 0 0 1 0 0 0 0 0 0 0 1 0 1 0;
   0 0 0 0 1 0 0 0 0 0 0 1 0 0 1;
   0 0 0 0 0 1 0 0 0 0 0 0 1 0 1;
   0 0 0 0 0 0 1 0 0 0 0 1 1 1 0;
   0 0 0 0 0 0 0 1 0 0 0 0 1 1 1;
   0 0 0 0 0 0 0 0 1 0 0 1 0 1 1;
   0 0 0 0 0 0 0 0 0 1 0 1 1 0 1;
   0 0 0 0 0 0 0 0 0 0 1 1 1 1 1];

c=rem(u*g,2);
w_min=min(sum((c(2:2^k,:))')));

```

### 线性分组码的性能

既可以用软判决解码,也可以用硬判决解码对线性分组码进行解码。在硬判决解码方法中,首先在码字上按位作判决,然后用最小 Hamming 距离准则完成解码。这种解码方法的性能决定于码的距离结构,但是一种严格的上界(特别是在高 SNR 值下)还是能够利用码的最小距离获得的。

具有最小距离为  $d_{\min}$  的线性分组码,在硬判决解码时它的(消息)差错概率的上界为

$$p_e \leq (M-1)[4p(1-p)]^{d_{\min}/2} \quad (8.3.19)$$

式中  $p$  代表二进制信道的差错概率(解调中的差错概率),  $M$  是码字的数目( $M=2^k$ )。

在软判决解码中,将接收信号映射到一个码字,该码字对应的信号与接收信号有最小的欧氏距离。在这个情况下,消息差错概率其上界为

$$p_e \leq (M-1)Q\left(\frac{d^E}{\sqrt{2N_0}}\right) \quad (8.3.20)$$

式中  $M=2^k$  是码字的数目,  $N_0$  是单边噪声功率谱密度,而  $d^E$  是该码的最小欧氏距离,它由下式给出

$$d^E = \begin{cases} \sqrt{2d_{\min}}\mathcal{E} & \text{对正交信号} \\ \sqrt{4d_{\min}}\mathcal{E} & \text{对反极性信号} \end{cases} \quad (8.3.21)$$

这样可得



$$p_e \leq \begin{cases} (M-1)Q\left[\sqrt{\frac{d_{\min}\mathcal{E}}{N_0}}\right] & \text{对正交信号} \\ (M-1)Q\left[\sqrt{\frac{2d_{\min}\mathcal{E}}{N_0}}\right] & \text{对反极性信号} \end{cases} \quad (8.3.22)$$

在这些不等式中,  $d_{\min}$  是码的最小 Hamming 距离,  $\mathcal{E}$  表示码字中每个码元的能量。因为每个码字有  $n$  个码元, 所以每个码字的能量是  $n\mathcal{E}$ ; 又因为每个码字载有  $k$  个信息比特, 所以每比特的能量  $\mathcal{E}_b$  给出为

$$\mathcal{E}_b = \frac{n\mathcal{E}}{k} = \frac{\mathcal{E}}{R_c} \quad (8.3.23)$$

式中  $R_c = k/n$  代表码率。因此, 上面关系可写为

$$p_e \leq \begin{cases} (M-1)Q\left[\sqrt{\frac{d_{\min}R_c\mathcal{E}_b}{N_0}}\right] & \text{对正交信号} \\ (M-1)Q\left[\sqrt{\frac{2d_{\min}R_c\mathcal{E}_b}{N_0}}\right] & \text{对反极性信号} \end{cases} \quad (8.3.24)$$

所得到的这个上界通常仅对大的  $\gamma_b = \mathcal{E}_b/N_0$  值是有用的。对于较小的  $\gamma_b$  值, 这个上界就变得不严格的, 甚至还能超过 1。

### 解答题

#### 解答题 8.10[硬判决解码的性能]

假设用反极性信号的 (15, 11) Hamming 码, 采用硬判决解码, 画出消息差错概率作为  $\gamma_b = \mathcal{E}_b/N_0$  的函数关系。

### 题解

因为使用的是反极性信号, 所以二进制信道的差错概率为

$$p = Q\left(\sqrt{\frac{2\mathcal{E}}{N_0}}\right) \quad (8.3.25)$$

式中  $\mathcal{E}$  是每个码元的能量(每维的能量), 它由  $\mathcal{E}_b$  导出为

$$\mathcal{E} = \mathcal{E}_b R_c \quad (8.3.26)$$

因此,

$$p = Q\left(\sqrt{\frac{2R_c\mathcal{E}_b}{N_0}}\right) \quad (8.3.27)$$

这里  $R_c = k/n = \frac{11}{15} = 0.733\ 33$ 。因为 Hamming 码的最小距离是 3, 所以有

$$p_e \leq (2^{11} - 1)[4p(1-p)]^{d_{\min}/2}$$

$$= 2.047 \left[ 4Q \left[ \sqrt{\frac{1.466\epsilon_b}{N_0}} \right] \left( 1 - Q \left[ \sqrt{\frac{1.466\epsilon_b}{N_0}} \right] \right) \right]^{1.5} \quad (8.3.28)$$

所得关系图如图 8.12 所示。

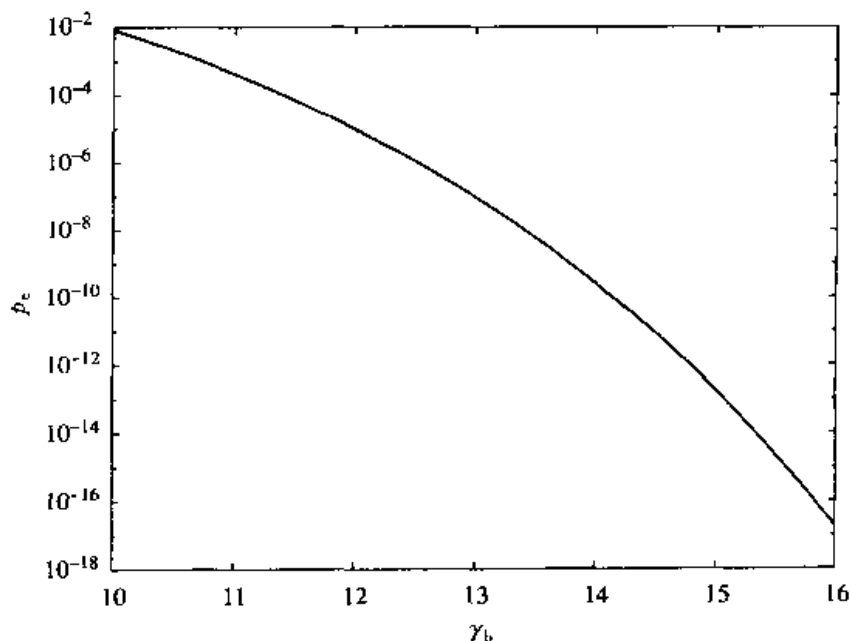


图 8.12 采用硬判决解码和反极性信号时, (15, 11) 的 Hamming 码的差错概率作为  $\gamma_b$  的函数关系图

当采用硬判决和反极性信号时, 计算线性分组码的消息差错概率上界的 MATLAB 函数给出如下。

#### MI 文件

```
function [p_err,gamma_db]=p_e_hd_a(gamma_db_l,gamma_db_h,k,n,d_min)
% p_e_hd_a.m   Matlab function for computing error probability in
%              hard decision decoding of a linear block code
%              when antipodal signaling is used.
%              [p_err,gamma_db]=p_e_hd_a(gamma_db_l,gamma_db_h,k,n,d_min)
%              gamma_db_l=lower E_b/N_0
%              gamma_db_h=higher E_b/N_0
%              k=number of information bits in the code
%              n=code block length
%              d_min=minimum distance of the code

gamma_db=[gamma_db_l:(gamma_db_h-gamma_db_l)/20:gamma_db_h];
gamma_b=10.^(gamma_db/10);
R_c=k/n;
```

```
p_b=q(sqrt(2.*R_c.*gamma_b));
p_err=(2^k-1).*(4*p_b.*(1-p_b)).^(d_min/2);
```

下面给出的 MATLAB 脚本是用前面的 MATLAB 函数,画出概率对  $\gamma_b$  的图。

### M 文件

```
% MATLAB script for Illustrative Problem 8.10.
[p_err_ha,gamma_b]=p_e_hd_a(10,16,11,15,3);
semilogy(gamma_b,p_err_ha)
```

### 解说题

#### 解说题 8.11[硬判决解码]

如果(15,11)的 Hamming 码不用反极性方法,而是用正交二进制调制方法,画出作为  $\gamma_b = \epsilon_b/N_0$  函数的消息差错概率。

### 题 解

除了该等效二进制对称信道的交叉概率(硬判决解码之后)由下式

$$p = Q\left(\sqrt{\frac{\epsilon}{N_0}}\right) \quad (8.3.29)$$

给出外,这个题与解说题 8.10 是类似的。利用关系

$$\epsilon = \epsilon_b R_c \quad (8.3.30)$$

可得

$$p = Q\left[\sqrt{\frac{R_c \epsilon_b}{N_0}}\right] \quad (8.3.31)$$

最后有

$$\begin{aligned} p_e &\leq (2^{11} - 1)[4p(1 - p)]^{d_{\min}/2} \\ &= 2047 \left[ 4Q\left[\sqrt{\frac{0.733\epsilon_b}{N_0}}\right] \left[ 1 - Q\left[\sqrt{\frac{0.733\epsilon_b}{N_0}}\right] \right] \right]^{1.5} \end{aligned} \quad (8.3.32)$$

$p_e \sim \epsilon_b/N_0$  的图如图 8.13 所示。

本题的 MATLAB 脚本给出如下。

### M 文件

```
% MATLAB script for Illustrative Problem 8.11.
echo on
```

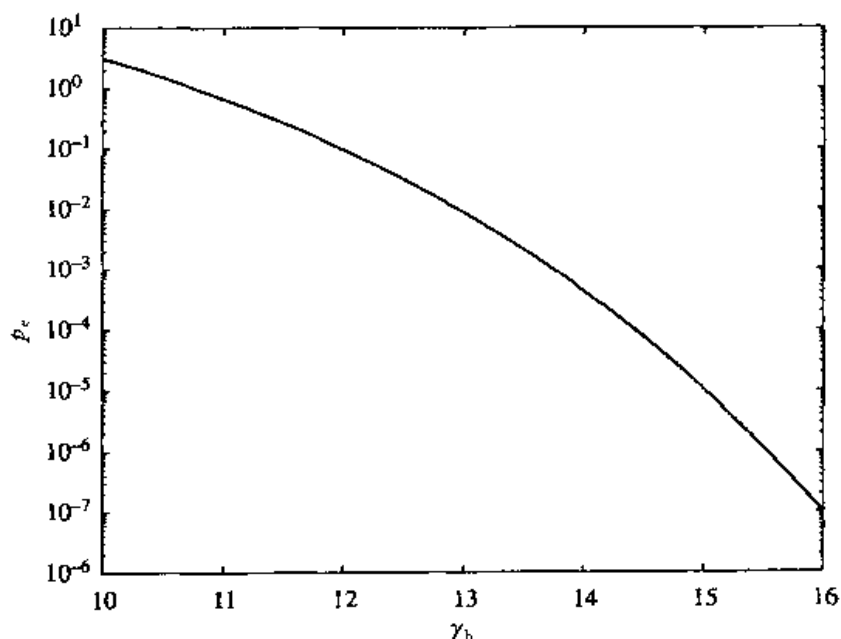


图 8.13 用正交信号和硬判决解码时, (15, 11) 码的差错概率对  $\gamma_b$  的图

```
gamma_b_db=[-4:1:14];
gamma_b=10.^(gamma_b_db/10);
qq=sqrt(0.733.*gamma_b);
p_err=2047*qq.^2.*(3-2.*qq);
pause % Press a key to see p_err versus gamma_b curve
loglog(gamma_b,p_err)
```

正如在图 8.13 中所看到的, 对于较低的  $\gamma_b$  值, 所导得的上界就不太严格了。事实上, 对这些  $\gamma_b$  值差错概率的上界是大于 1 的。将正交信号和反极性信号这两个差错概率的上界画在同一张图上也是有启发意义的。这个如图 8.14 所示。从这两个图的比较中很容易看出, 反极性信号与正交信号相比具有更优越的性能。

在硬判决解码情况下, 计算用正交信号表示的消息的差错概率的 MATLAB 函数给出如下。

### M 文件

```
function [p_err,gamma_db]=p_e_hd_o(gamma_db_l,gamma_db_h,k,n,d_min)
% p_e_hd_o.m Matlab function for computing error probability in
% hard decision decoding of a linear block code
% when orthogonal signaling is used.
% [p_err,gamma_db]=p_e_hd_o(gamma_db_l,gamma_db_h,k,n,d_min)
% gamma_db_l=lower E_b/N_0
% gamma_db_h=higher E_b/N_0
```

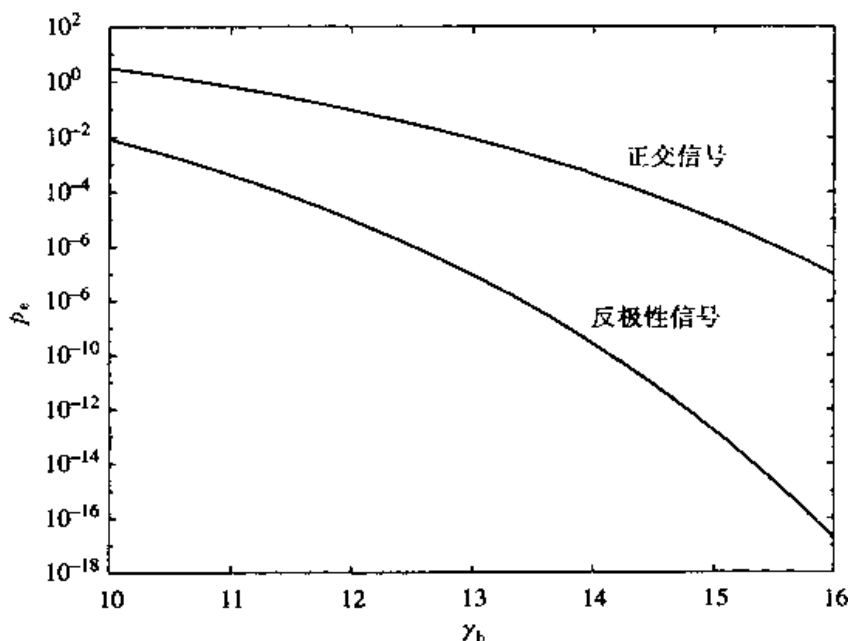


图 8.14 反极性与正交信号的比较

```
%      k=number of information bits in the code
%      n=code block length
%      d_min=minimum distance of the code

gamma_db=[gamma_db_l:(gamma_db_h-gamma_db_l)/20:gamma_db_h];
gamma_b=10.^(gamma_db/10);
R_c=k/n;
p_b=q(sqrt(R_c.*gamma_b));
p_err=(2^k-1).*(4*p_b.*(1-p_b)).^(d_min/2);
```

### 解说题

#### 解说题 8.12[软判决解码]

当用软判决解码而不用硬判决解码时,重做解说题 8.11。

### 题解

在这个情况下,必须要用(8.3.24)式求差错概率的上界。在本题中,  $d_{\min} = 3$ ,  $R_c = \frac{11}{15}$  和  $M = 2^{11} - 1 = 2047$ 。因此有

$$p_e \leq \begin{cases} (M-1)Q\left[\sqrt{\frac{d_{\min}R_c\mathcal{E}_b}{N_0}}\right] & \text{对正交信号} \\ (M-1)Q\left[\sqrt{\frac{2d_{\min}R_c\mathcal{E}_b}{N_0}}\right] & \text{对反极性信号} \end{cases}$$

$$\leq \begin{cases} 2.047Q\left[\sqrt{\frac{11}{5}}\sqrt{\frac{E_b}{N_0}}\right] & \text{对正交信号} \\ 2.047Q\left[\sqrt{\frac{22}{5}}\sqrt{\frac{E_b}{N_0}}\right] & \text{对反极性信号} \end{cases}$$

对应的图如图 8.15 所示。由该图可见,反极性信号的优越性能是显而易见的。

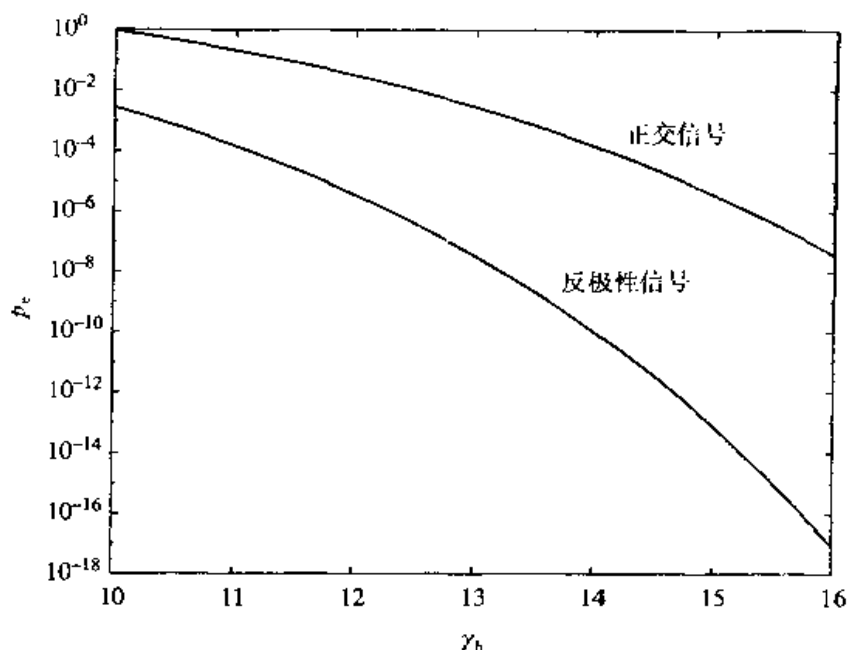


图 8.15 软判决解码时,消息差错概率对  $\gamma_b$  的关系图

下面给出两个 MATLAB 函数,一个是针对反极性信号计算差错概率,另一个是针对正交信号计算差错概率的,两者都是用软判决解码。

### M 文件

```
function [p_err,gamma_db]=p_e_sd_a(gamma_db_l,gamma_db_h,k,n,d_min)
% p_e_sd_a.m    Matlab function for computing error probability in
%              soft decision decoding of a linear block code
%              when antipodal signaling is used.
%              [p_err,gamma_db]=p_e_sd_a(gamma_db_l,gamma_db_h,k,n,d_min)
%              gamma_db_l=lower E_b/N_0
%              gamma_db_h=higher E_b/N_0
%              k=number of information bits in the code
%              n=code block length
%              d_min=minimum distance of the code

gamma_db=[gamma_db_l:(gamma_db_h-gamma_db_l)/20:gamma_db_h];
```

```

gamma_b=10.^(gamma_db/10);
R_c=k/n;
p_err=(2^k-1).*(sqrt(2.*d_min.*R_c.*gamma_b));

```

### M 文件

```

function [p_err,gamma_db]=p_e_sd_o(gamma_db_l,gamma_db_h,k,n,d_min)
% p_e_sd_o.m    Matlab function for computing error probability in
%              soft decision decoding of a linear block code
%              when orthogonal signaling is used.
%              [p_err,gamma_db]=p_e_sd_o(gamma_db_l,gamma_db_h,k,n,d_min)
%              gamma_db_l=lower E_b/N_0
%              gamma_db_h=higher E_b/N_0
%              k=number of information bits in the code
%              n=code block length
%              d_min=minimum distance of the code

gamma_db=[gamma_db_l:(gamma_db_h-gamma_db_l)/20:gamma_db_h];
gamma_b=10.^(gamma_db/10);
R_c=k/n;
p_err=(2^k-1).*(sqrt(d_min.*R_c.*gamma_b));

```

在图 8.16 中示出 4 个图, 分别对应于用软判决(SD)和硬判决(HD)时, 采用反极性和正交信号的情况。

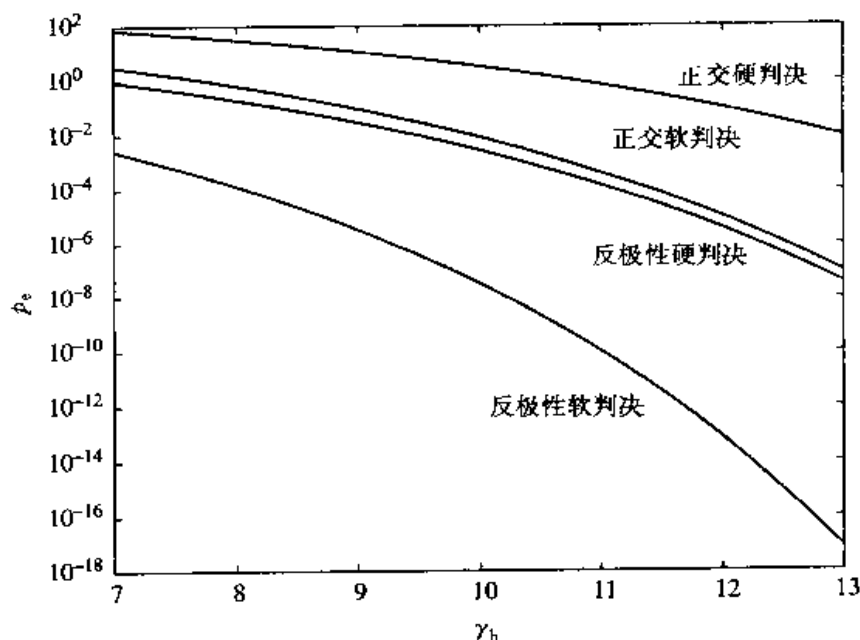


图 8.16 反极性/正交信号和软/硬判决解码的比较

产生上图的 MATLAB 脚本给出如下。

### M 文件

```
% MATLAB script for Illustrative Problem 8.12.
[p_err_ha,gamma_b]=p_e_hd_a(7,13,11,15,3);
[p_err_ho,gamma_b]=p_e_hd_o(7,13,11,15,3);
[p_err_so,gamma_b]=p_e_sd_o(7,13,11,15,3);
[p_err_sa,gamma_b]=p_e_sd_a(7,13,11,15,3);
semilogy(gamma_b,p_err_sa,gamma_b,p_err_so,gamma_b,p_err_ha,gamma_b,p_err_ho)
```

### 8.3.2 卷积码

在分组码中,每一  $k$  信息比特的序列以某种固定的方式映射为一个  $n$  信道输入的序列而与前面的信息比特无关。在卷积码中,每  $k_0$  个信息比特序列映射为一个长为  $n_0$  的信息输入序列,但是这个信道输入序列不仅决定于最当前的  $k_0$  个信息比特,而且还与编码的前  $(L-1)k_0$  个输入有关。因此,这种编码器有一种有限状态机的结构,在这里每一时刻,输出序列不但与输入序列有关,而且还与编码器的状态有关,这个状态是由编码器的前  $(L-1)k_0$  个输入决定的。参数  $L$  称为该卷积码的约束长度<sup>①</sup>。因此,一个二进制卷积码就是一个具有  $2^{k_0(L-1)}$  个状态的有限状态机。图 8.17 示出  $k_0=2$ ,  $n_0=3$  和  $L=4$  的一种卷积码的方框图。

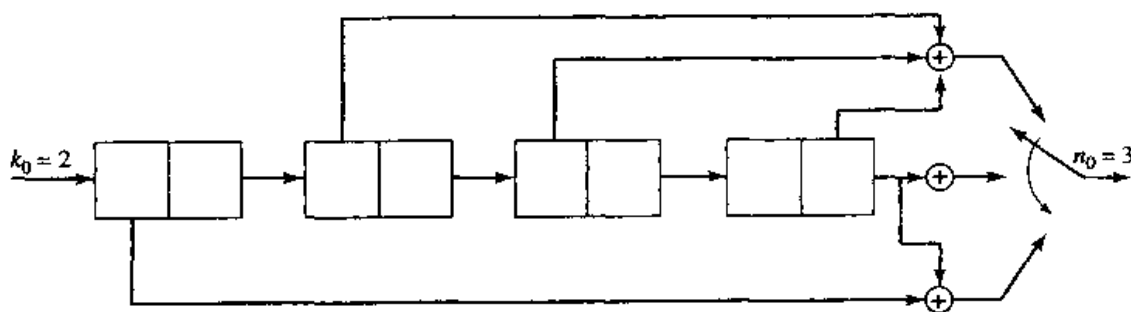


图 8.17  $k_0=2$ ,  $n_0=3$  和  $L=4$  的一种卷积码

在这个卷积编码器中,信息比特是每次 2 比特送入这个移位寄存器,而在该移位寄存器中最后 2 个信息比特移出。这 3 个编码比特然后按图示计算出并在信道上传输。因此,这个码的速率是  $R=2/3$ 。注意,在信道上传输的这 3 个编码器输出既决定于输入到这个移位寄存器的 2 个信息比特,也与该移位寄存器

<sup>①</sup> 有些作者定义  $m = Lk_0$  为约束长度,而另一些作者又喜欢定义  $(L-1)k_0$  为约束长度。因作者而异。



前三级(6 比特)的内容有关。最后一级(2 比特)的内容在输出上没有影响,因为一旦 2 信息比特一输入进去,它们就从该移位寄存器出去了。

一个卷积码通常是用该卷积码的生成序列(generator sequences)来定义的,它们记为  $g_1, g_2, \dots, g_n$ 。如果这个移位寄存器的第  $i$  个单元是连到对应于输出中的第  $j$  个比特的相加器上,那么  $g_j$  中的第  $i$  个元素就是 1; 否则就是 0, 这里  $1 \leq i \leq k_0 L$  和  $1 \leq j \leq n$ 。例如,在图 8.17 中表示的卷积码,其生成序列为

$$g_1 = [0 \ 0 \ 1 \ 0 \ 1 \ 0 \ 0 \ 1]$$

$$g_2 = [0 \ 0 \ 0 \ 0 \ 1 \ 0 \ 0 \ 1]$$

$$g_3 = [1 \ 0 \ 1 \ 0 \ 1 \ 0 \ 0 \ 1]$$

一旦  $g_1, g_2, \dots, g_n$  给定,卷积码就唯一地被确定。

也定义卷积码的生成矩阵为

$$G = \begin{bmatrix} g_1 \\ g_2 \\ \vdots \\ g_n \end{bmatrix}$$

一般,这是一个  $n \times k_0 L$  的矩阵。对于图 8.17 所示的卷积码,其生成矩阵有

$$G = \begin{bmatrix} 0 & 0 & 1 & 0 & 1 & 0 & 0 & 1 \\ 0 & 0 & 0 & 0 & 1 & 0 & 0 & 0 \\ 1 & 0 & 0 & 0 & 0 & 0 & 0 & 1 \end{bmatrix}$$

假定产生卷积码的移位寄存器在进入第 1 个信息比特之前全都是 0 输入(也即该编码器初始为 0 状态),并且假定将信息比特序列补上  $(L-1)k_0$  个 0, 以便将该卷积编码器又带回到 0 状态,这样做是有用的。另外还假设信息比特序列(卷积编码器的输入)的长度是  $k_0$  的倍数,如果这个信息比特序列的长度不是  $k_0$  的倍数,就给它补 0 以使所得到的长度是  $k_0$  的倍数。这个要在本段先前指出的补  $(L-1)k_0$  个 0 之前完成。如果在第 1 次补 0 之后,这个输入序列的长度是  $nk_0$ ,那么输出序列将是  $(n+L-1)n_0$ ,这样码率就是

$$\frac{nk_0}{(n+L-1)n_0}$$

实际中,  $n$  要比  $L$  大得多,上式就能很好地近似为

$$R_c = \frac{k_0}{n_0}$$

下面给出的 MATLAB 函数 `cnv_encd.m` 是当  $G$ ,  $k_0$  和输入序列给定时,产生这个卷积编码器的输入序列。注意,输入序列的补零是用 MATLAB 函数完成的。输入序列(用参数“input”表示)从进入编码器的第 1 个信息比特开始。参数  $n_0$

和  $L$  由矩阵  $G$  导出。

## M 文件

```
function output=cnv_encd(g,k0,input)
%           cnv_encd(g,k0,input)
%           determines the output sequence of a binary convolutional encoder
%           g is the generator matrix of the convolutional code
%           with n0 rows and l*k0 columns. Its rows are g1,g2,...,gn.
%           k0 is the number of bits entering the encoder at each clock cycle.
%           input The binary input seq.

% check to see if extra zero padding is necessary
if rem(length(input),k0) > 0
    input=[input,zeros(size(1:k0-rem(length(input),k0)))];
end
n=length(input)/k0;
% check the size of matrix g
if rem(size(g,2),k0) > 0
    error('Error, g is not of the right size.')
end
% determine l and n0
l=size(g,2)/k0;
n0=size(g,1);
% add extra zeros
u=[zeros(size(1:(l-1)*k0)),input,zeros(size(1:(l-1)*k0))];
% generate uu, a matrix whose columns are the contents of
% conv. encoder at various clock cycles.
u1=u(l*k0:-1:1);
for i=1:n+1-2
    u1=[u1,u((i+1)*k0:-1:i*k0+1)];
end
uu=reshape(u1,l*k0,n+1-1);
% determine the output
output=reshape(rem(g*uu,2),1,n0*(l+n-1));
```

## 解说题

### 解说题 8.13[卷积编码器]

当信息序列为

1 0 0 1 1 1 0 0 1 1 0 0 0 0 1 1 1

时,求图 8.17 所示卷积编码器的输出。

## 题解

现在该信息序列的长是 17, 它不是  $k_0=2$  的倍数。因此,要补额外的 0, 现在补一个 0 就够了, 这样长度就为 18。于是就有下面的信息序列:

1 0 0 1 1 1 0 0 1 1 0 0 0 0 1 1 1 0

现在,因为

$$G = \begin{bmatrix} 0 & 0 & 1 & 0 & 1 & 0 & 0 & 1 \\ 0 & 0 & 0 & 0 & 0 & 0 & 0 & 1 \\ 1 & 0 & 0 & 0 & 0 & 0 & 0 & 1 \end{bmatrix}$$

可得  $n_0=3$  和  $L=4$ (由图 8.17 也显然可见)。因此输出序列的长度是

$$\left(\frac{18}{2} + 4 - 1\right) \times 3 = 36$$

为确保编码器是从全 0 状态开始,并回到全 0 状态,要求在输入序列的起始和结果都添加  $(L-1)k_0$  个 0。因此在讨论中的序列就变成

0 0 0 0 0 0 1 0 0 1 1 1 0 0 1 1 0 0 0 0 1 1 1 0 0 0 0 0 0 0

利用函数 `conv_encd.m`,求得输出序列是

0 0 0 0 0 1 1 0 1 1 1 1 0 1 0 1 1 1 0 0 1 1 0 1 0 0 1 0 0 1 1 1 1 1 1

解这个题的 MATLAB 脚本给出如下。

## M 文件

```
k0=2;
g=[0 0 1 0 1 0 0 1;0 0 0 0 0 0 0 1;1 0 0 0 0 0 0 1];
input=[1 0 0 1 1 1 0 0 1 1 0 0 0 0 1 1 1];
output=conv_encd(g,k0,input);
```

## 卷积码的表示法

已经看到,一个卷积码既可以用编码器的结构,也可以用生成矩阵  $G$  来表示。另外还知道一个卷积码能够表示成一个有限状态机,因此它就能用代表这个有限状态机的状态转移图来描述。对卷积码的表示来说,一种更为广泛应用的方法是用它们的网格图(trellis diagram)来表示。一个网格图就是一个对时间画出的状态转移图。因此,网格图是一个  $2^{(L-1)k_0}$  个状态的序列(对每个时钟周期都用黑圆点表示)和对应于这些状态之间转移的支路。

现在考虑示于图 8.18 的卷积码,它有  $k_0=1$ ,  $n_0=2$  和  $L=3$ 。很显然,这个码能用具有 4 个状态的有限状态机表示,这 4 个状态对应于该移位寄存器前两个单元不同的可能内容,即 00, 01, 10 和 11。现用字母 a, b, c 和 d 分别代表这 4 种状态。为了画出这个码的网格图,就必须对每个时钟周期对应于每种状态画出 4 个圆点,然后按照在各状态之间可能发生的各种转移将这些点连起来。对于这个码的网格图如图 8.19 所示。

正如图 8.19 中所看到的,在时间轴上(对应于时钟周期),这 4 种状态是

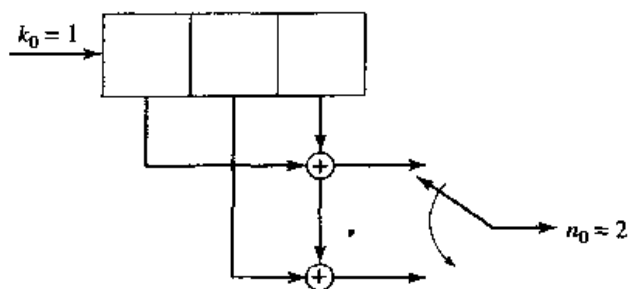
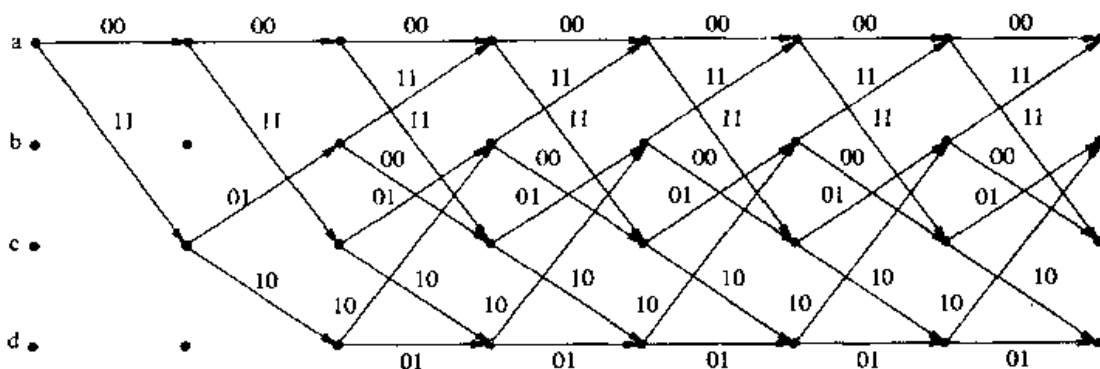
图 8.18  $k_0=1$ ,  $n_0=2$  和  $L=3$  的一种卷积编码器

图 8.19 示于图 8.18 的卷积码网格图

用黑圆点表示的,而状态之间的转移是用连接这些点的支路指出的。在每条连接两个状态的支路上,两个二进制符号指出对应于那个转移的编码器输出。另外也注意到,我们总是从全 0 状态(状态 a)出发,沿着对应于给定输入序列的支路通过网格图移动,并回到全 0 状态。因此,一个卷积码的码字就对应于经由相应网格图的路径,它从全 0 状态出发,又回到全 0 状态。

在网格图中的状态数随卷积码的约束长度指数增加。例如,对于图 8.17 所示卷积编码器,状态数是  $2^6=64$ ,因此这个网格图的结构就要复杂得多。

### 卷积码的传递函数

对于每个卷积码,传递函数给出有关第一次从全 0 状态出发并回到这个状态通过网格图的各种路径的信息。根据前面所述的编码规则,一个卷积编码器的任何码字都对应于从全 0 状态出发并回到这个全 0 状态通过网格图的一条路径。稍后将会知道,一个卷积码的传递函数在界定这个码的差错概率中起着主要的作用。为了求得一个卷积码的传递函数,将全 0 状态分为两种状态,一种代表起始状态,另一种代表第一次回到的全 0 状态。其余的所有状态都作为中间

状态表示。对应于连接两个状态的每条支路。定义一个函数为  $D^\alpha N^\beta J$ , 这里  $\alpha$  代表在输出比特序列中 1 的个数,  $\beta$  是在那条支路相应的输入序列中 1 的个数。那么, 该卷积码的传递函数就是在由全 0 状态出发和最后的全 0 状态之间流图的传递函数, 并用  $T(D, N, J)$  表示。  $T(D, N, J)$  中的每一项都对应于从全 0 状态出发并在全 0 状态结束通过网格图的一条支路。  $J$  的指数指出跨越那条路径的支路数,  $D$  的指数表明对应于那条路径的码字中 1 的个数(或等效地说, 这个码字与全 0 码字的 Hamming 距离), 而  $N$  的指数指出在输入信息序列中 1 的个数。  $T(D, N, J)$  指出对第一次从全 0 路径出发并回到全 0 通过这个网格图的全部路径的性质, 所以在导出过程中, 任何在全 0 状态的自回路都不予以考虑。为了得到这个卷积码的传递函数, 可以应用在求一个流图传递函数中所用到的全部规则。有关导出一个卷积码的传递函数的详细材料可参阅参考文献 [1]。

依据导出传递函数的规则, 容易证明图 8.18 所示码的传递函数是

$$T(D, N, J) = \frac{D^5 N J^3}{1 - D N J - D N J^2}$$

当展开时, 可表示成

$$T(D, N, J) = D^5 N J^3 + D^6 N^2 J^4 + D^6 N^2 J^5 + D^7 N^3 J^5 + \dots$$

从这个  $T(D, N, J)$  的表达式中可以看到, 这里有 Hamming 重量为 5 的一个码字, Hamming 重量为 6 的两个码字等等。同时还能指出, 例如, 具有 Hamming 重量为 5 的这个码字是对应于 Hamming 重量为 1 和长度为 3 的输入序列。在  $T(D, N, J)$  的展开式中,  $D$  的最小方次称为卷积码的自由距离 (free distance), 并用  $d_{\text{free}}$  表示。在这个例子中,  $d_{\text{free}} = 5$ 。

### 卷积码的解码

已有许多算法可用于卷积码的解码。维特比 (Viterbi) 算法可能是最为广泛应用的卷积码解码方法。这个算法是特别有意思的, 因为它是一个最大似然解码算法; 一旦接收到信道输出, 它就通过网格图搜索以找出最有可能产生这个接收序列的路径。如果采用硬判决解码, 这个算法就找到与接收序列是在最小 Hamming 距离上的那条路径; 如果使用软判决解码, Viterbi 算法就找到与接收序列是最小欧氏距离的那条路径。

在卷积码的硬判决解码中, 想要选择一条通过网格图的路径, 它的码字(记作  $c$ )与量化的接收序列  $y$  有最小的 Hamming 距离。在硬判决解码中, 信道是二进制无记忆的(由信道是无记忆的这一点就可得出信道噪声假设是白色的这一事实)。因为所期望的路径是从全 0 状态出发, 并回到全 0 状态, 我们假定这条路径跨越总数为  $m$  条支路; 又因为每一支路对应于编码器输出的  $n_0$  个比特,

所以在  $c$  和  $y$  中的总比特数是  $mn_0$ 。现分别用  $c_i$  和  $y_i$  表示相应于第  $i$  条支路的比特序列, 其中  $1 \leq i \leq m$ , 并且每个  $c_i$  和  $y_i$  的长度都是  $n$ 。因此,  $c$  和  $y$  之间的 Hamming 距离是

$$d(c, y) = \sum_{i=1}^m d(c_i, y_i) \quad (8.3.33)$$

在软判决解码中, 除了 3 点不同外, 其余都相类似:

1. 不是用  $y$ , 而是直接处理向量  $r$ , 即最佳数字解调器(匹配滤波器型, 或相关器型)的向量输出。
2. 不用二进制 0, 1 的序列  $c$ , 而是处理对应于序列  $c'$ , 其有

$$c'_{ij} = \begin{cases} \sqrt{E}, & \text{若 } c_{ij} = 1 \\ -\sqrt{E}, & \text{若 } c_{ij} = 0 \end{cases}$$

这里  $1 \leq i \leq m$  和  $1 \leq j \leq n$ 。

3. 不用 Hamming 距离, 而用欧氏距离。这就是基于研究的信道是一个 AWGN 信道这一事实的一个结果。

根据上面的讨论有

$$d_E^2(c', r) = \sum_{i=1}^m d_E^2(c'_i, r_i) \quad (8.3.34)$$

由(8.3.33)式和(8.3.34)式可见, 我们必须解决的这个问题的一般形式是: 给定一个向量  $a$ , 找到一条从全 0 状态出发和在全 0 状态终止的通过网格图的一条路径, 以使得  $a$  和对应于那条路径的某一序列  $b$  之间的某个距离测度最小。使得这个问题容易求解的重要一点是: 在两种关注的情况下,  $a$  和  $b$  之间的距离能够写成对应这条路径各单个支路的距离之和。这一点很容易由(8.3.33)式和(8.3.34)式看出。

现在假设正在处理一个  $k_0 = 1$  的卷积码。这就意味着在网格图中仅有两条支路进入每个状态。如果在某一点最佳路径通过状态  $S$ , 那么就有两条路径连接先前的状态  $S_1$  和  $S_2$  到这个状态(见图 8.20)。

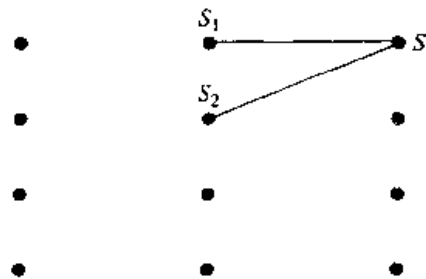


图 8.20 Viterbi 算法的验证

如果我们想要知道这两条支路中哪一条对使总距离最小来说是一个好的候选者, 就必须将在状态  $S_1$  和  $S_2$  的总(最小)度量加到连接这两个状态到状态  $S$  的这些支路的度量上去, 那么很显然, 直到状态  $S$  之前具有最小总度量累加的那条支路是在状态  $S$  之后要考虑的一条候选支路。这条支路称为在状态  $S$  的一条留存支路(survivor), 而其余的支路就不是一个合适的候选者并予以删除。

现在,在确定了状态  $S$  的留存支路以后,也就保留下直到这个状态为止的最小度量,就能向前移到下一个状态。这个过程一直继续到网格图末端的全 0 状态为止。对于  $k_0 > 1$  的情况,唯一的不同就是在每一步都必须要从连接到状态  $S$  的  $2^{k_0}$  条支路中选出一条留存路径。

上述过程能综合成下面算法,称 Viterbi 算法:

1. 将接收到的序列分成每段长为  $n_0$  的  $m$  组子序列。
2. 对所研究的码画出深度为  $m$  级的网格图。对该网格图的最后  $(L-1)$  级,仅画出对应于全 0 输入序列的路径(这样做是因为知道输入序列已经给补了  $k_0(L-1)$  个零的缘故)。
3. 置  $l=1$ ,并置初始全 0 状态的度量等于 0。
4. 对网格图中全部连接第  $l$  级状态到第  $(l+1)$  级状态的支路求出该接收序列中第  $l$  个子序列的距离。
5. 将这些距离加到第  $l$  级各状态的度量上去,得到对第  $(l+1)$  级状态的度量候选者。对于第  $(l+1)$  级的每一状态,有  $2^{k_0}$  个候选度量,其中每一个都对应终止在那个状态的一条支路。
6. 对在第  $(l+1)$  级的每一状态,挑选出最小的候选度量,并将对应于这个最小值的支路标以**留存支路**,同时指定这个候选度量的最小值作为第  $(l+1)$  级状态的度量。
7. 若  $l=m$ ,转到下一步;否则将  $l$  增加 1 并转到第 4 步。
8. 在第  $(m+1)$  级以全 0 状态开始,沿着留存支路通过网格图往回到达初始全 0 状态,这条路径就是最佳路径,并且对应于这条路径的输入比特序列是最大似然解码信息序列。为了得到有关这个输入比特序列最好的推测,将最后  $k_0(L-1)$  个 0 从该序列中除掉。

从这个算法中可以看到,对于为一个长信息序列解码时,解码延时和所需要的存储量都是无法接受的。直到整个序列全被接收,解码才能开始(在卷积码的情况下,这可能会很长),而且还不得不将总的留存路径存储起来。实际上,不会引起这些问题的次优解倒是很希望的。一种称之为**路径存储截断**(path memory truncation)的办法是:在每一级编码器在网格图中仅往回搜索  $\delta$  级,而不回到网格图的出发点。用这种办法,在第  $(\delta+1)$  级,解码器对相应于网格图第 1 级的输入比特(第一个  $k_0$  比特)作出判决,并且未来的接收比特不改变这个判决。这意味着解码延时是  $k_0\delta$  比特,需要保留的路径只相应于最后  $\delta$  级的路径。计算机仿真已经表明,如果  $\delta \geq 5L$ ,由于路径存储截断面造成的性能下降可忽略不计。



## 解说题

### 解说题 8.14[Viterbi 解码]

假定在硬判决解码下,量化的接收序列是

$$y = 01101111010001$$

卷积码是由图 8.18 给出的。求最大似然信息序列和差错数。

## 题 解

这个码是  $L=3$  的  $(2,1)$  码。接收序列  $y$  的长度是 14,这就意味着  $m=7$ ,就得画 7 级的网格图。同时也注意到,因为输入信息序列补了  $k_0(L-1)=2$  个 0,因此在网格图的最后两级仅需画出对应于全 0 输入的支路。这也意味着真正的输入序列的长度是 5,在补了两个 0 后就增加到 7。这种情况的网格图如图 8.21 所示。

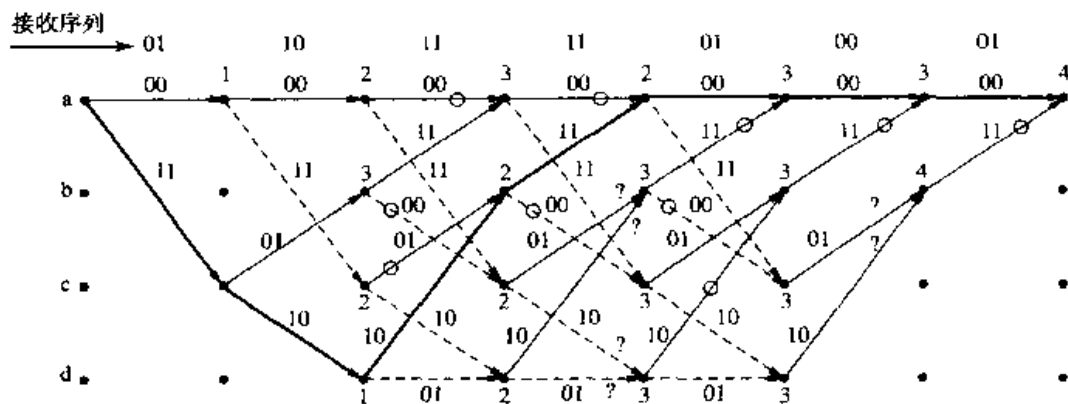


图 8.21 对序列(01101111010001)进行 Viterbi 解码的网格图

图中也示出了划分后的接收序列  $y$ 。注意,在画这个网格图时,最后两级已经考虑到对编码器仅有 0 输入(请注意在最后两级,不存在对应于 1 输入的虚线)。现在,初始全 0 状态的度量置为 0,并计算出下一级的度量。在这一步,只有一条支路进入每一状态,因此也不存在任何比较,将这些度量(它们就是接收序列部分和网格支路之间的 Hamming 距离)加到先前状态的度量上去。在下一级还是不存在任何比较。在第 4 级,第一次有进入每一状态的两条支路。这意味着在这里必须要作出比较,并挑选出留存支路。从进入每个状态的两条支路中,对应于最小总累加度量的一条保留下来作为留存支路,而另一条支路就被剔除掉(在该网图上用小圆圈标出的)。如果在任何一级,两条路径得出相同的度量,那么它们中的每一条都能作为一条留存路径。这种情况在这个网图中已经



用问号“?”表示出。这一过程一直持续到网格图最后的全0状态;然后,从那个状态出发,沿着留存路径移动到最初全0状态。这条路径就是最佳路径,在该网格图已用粗线路径表示出。对应于这条路径的输入比特序列是1100000,其中最后两个0不是信息比特,而是被加上的以使编码器回到全0状态。因此,这个信息序列是11000。对应于挑选出的路径的码字是11101011000000,它与接收序列的Hamming距离是4。通过这个网格图的所有其他路径对应的码字与接收序列都有更大的Hamming距离。

对于软判决解码,用平方欧氏距离代替Hamming距离,也有一个类似的过程。

下面给出的MATLAB函数viterbi.m使用Viterbi算法对信道输出解码。这个算法既能用于卷积码的软判决解码,也能用于硬判决解码。单独分开的文件metric.m定义在解码过程中所用的度量标准。对硬判决解码,这个度量标准是Hamming距离;对软判决解码,这个标准是欧氏距离。对于信道输出是量化了的情况,这个度量标准通常是对数似然率的负值,即 $-\log p(\text{信道输出}|\text{信道输入})$ 。几个被函数viterbi.m调用的短M文件面下也一并给出。

## M 文件

```
function [decoder_output,survivor_state,cumulated_metric]=viterbi(G,k,channel_output)
%VITERBI      The Viterbi decoder for convolutional codes
%
%      [decoder_output,survivor_state,cumulated_metric]=viterbi(G,k,channel_output)
%
%      G is a n x Lk matrix each row of which
%
%      determines the connections from the shift register to the
%
%      n-th output of the code, k/n is the rate of the code.
%
%      survivor_state is a matrix showing the optimal path through
%
%      the trellis. The metric is given in a separate function metric(x,y)
%
%      and can be specified to accommodate hard and soft decision.
%
%      This algorithm minimizes the metric rather than maximizing
%
%      the likelihood.

n=size(G,1);
% check the sizes
if rem(size(G,2),k) ~=0
    error('Size of G and k do not agree')
end
if rem(size(channel_output,2),n) ~=0
    error('channel output not of the right size')
end
L=size(G,2)/k;
number_of_states=2^((L-1)*k);
% generate state transition matrix, output matrix, and input matrix
for j=0:number_of_states-1
    for l=0:2^k-1
        [next_state,memory_contents]=nxt_stat(j,L,k);
        input(j+1,next_state+1)=l;
```

```

    branch_output=rem(memory_contents*G', 2);
    nextstate(j+1,l+1)=next_state;
    output(j+1,l+1)=bin2deci(branch_output);
end
end
state_metric=zeros(number_of_states,2);
depth_of_trellis=length(channel_output)/n;
channel_output_matrix=reshape(channel_output,n,depth_of_trellis);
survivor_state=zeros(number_of_states,depth_of_trellis+1);
% start decoding of non-tail channel outputs
for i=1:depth_of_trellis-L+1
    flag=zeros(1,number_of_states);
    if i <= L
        step=2^((L-i)*k);
    else
        step=1;
    end
    for j=0:step:number_of_states-1
        for l=0:2^k-1
            branch_metric=0;
            binary_output=deci2bin(output(j+1,l+1),n);
            for ll=1:n
                branch_metric=branch_metric+metric(channel_output_matrix(ll,i),binary_output(ll));
            end
            if((state_metric(nextstate(j+1,l+1)+1,2) > state_metric(j+1,1)...
                +branch_metric) | flag(nextstate(j+1,l+1)+1)==0)
                state_metric(nextstate(j+1,l+1)+1,2) = state_metric(j+1,1)+branch_metric;
                survivor_state(nextstate(j+1,l+1)+1,i+1)=j;
                flag(nextstate(j+1,l+1)+1)=1;
            end
        end
    end
    state_metric=state_metric(:,2:-1:1);
end
% start decoding of the tail channel-outputs
for i=depth_of_trellis-L+2:depth_of_trellis
    flag=zeros(1,number_of_states);
    last_stop=number_of_states/(2^((i-depth_of_trellis+L-2)*k));
    for j=0:last_stop-1
        branch_metric=0;
        binary_output=deci2bin(output(j+1,1),n);
        for ll=1:n
            branch_metric=branch_metric+metric(channel_output_matrix(ll,i),binary_output(ll));
        end
        if((state_metric(nextstate(j+1,1)+1,2) > state_metric(j+1,1)...
            +branch_metric) | flag(nextstate(j+1,1)+1)==0)
            state_metric(nextstate(j+1,1)+1,2) = state_metric(j+1,1)+branch_metric;
            survivor_state(nextstate(j+1,1)+1,i+1)=j;
            flag(nextstate(j+1,1)+1)=1;
        end
    end
end
state_metric=state_metric(:,2:-1:1);

```

```

end
% generate the decoder output from the optimal path
state_sequence=zeros(1,depth_of_trellis+1);
state_sequence(1,depth_of_trellis)=survivor_state(1,depth_of_trellis+1);
for i=1:depth_of_trellis
    state_sequence(1,depth_of_trellis-i+1)=survivor_state((state_sequence(1,depth_of_trellis+2-i)...
    +1),depth_of_trellis-i+2);
end
decoder_output_matrix=zeros(k,depth_of_trellis-L+1);
for i=1:depth_of_trellis-L+1
    dec_output_deci=input(state_sequence(1,i)+1,state_sequence(1,i+1)+1);
    dec_output_bin=deci2bin(dec_output_deci,k);
    decoder_output_matrix(:,i)=dec_output_bin(k:-1:1)';
end
decoder_output=reshape(decoder_output_matrix,1,k*(depth_of_trellis-L+1));
cumulated_metric=state_metric(1,1);

```

### VI 文件

```

function distance=metric(x,y)
if x==y
    distance=0;
else
    distance=1;
end

```

### VI 文件

```

function [next_state,memory_contents]=nxt_sta(current_state,input,L,k)
binary_state=deci2bin(current_state,k*(L-1));
binary_input=deci2bin(input,k);
next_state_binary=[binary_input,binary_state(1:(L-2)*k)];
next_state=bin2deci(next_state_binary);
memory_contents=[binary_input,binary_state];

```

### VI 文件

```

function y=bin2deci(x)
l=length(x);
y=(l-1:-1:0);
y=2.^y;
y=x*y';

```

## M 文件

```
function y=deci2bin(x,l)
y = zeros(1,l);
i = 1;
while x>=0 & i<=l
    y(i)=rem(x,2);
    x=(x-y(i))/2;
    i=i+1;
end
y=y(l:-1:1);
```

## 解答题

## 解答题 8.15

用 MATLAB 函数 viterbi.m 重做解答题 8.14。

## 题解

以下列输入,利用 M 文件 viterbi.m 就可以了:

$$G = \begin{bmatrix} 1 & 0 & 1 \\ 1 & 1 & 1 \end{bmatrix}$$

$$k = 1$$

$$\text{channel\_output} = [0 \ 1 \ 1 \ 0 \ 1 \ 1 \ 1 \ 1 \ 0 \ 1 \ 0 \ 0 \ 0 \ 1]$$

这样就可得  $\text{decoder\_output} = [1 \ 1 \ 0 \ 0 \ 0]$ ,累加的度量是 4。

## 卷积码差错概率的界

由于卷积码序列是一个很长的序列,所以寻找卷积码差错性能的上界所采用的方法是不同于在分组码中所用的方法的;因为这些码的自由距离通常都很小,所以一些差错是最终会发生。差错数是一个随机变量,它既与信道特性(在软判决解码时的信号噪声比和硬判决解码时的交叉概率有关,又与序列的长度有关。序列愈长,产生差错的概率愈大,因此将比特差错数对输入序列长度归一化才会有意义。通常为比较卷积码性能而采用的一种度量是每输入比特接收到差错比特的期望数。为了找到对每输入比特差错比特平均数的界,首先求出对每个长为  $k$  的输入序列时差错比特平均数的界。为了确定这个界,假设传输的是全 0 序列<sup>①</sup>,并且直到解码的第  $l$  级为止,都没有任何差错。现在,  $k$  个信息比特进入到编码器并产生在网格图朝下一级移动。我们关心的是要找到一个由

<sup>①</sup> 由于卷积码的线性,可以作这个假设而不失一般性。

这个长为  $k$  的输入组能产生的期望差错数的界。因为已假设直到  $l$  级为止都没有任何误差,所以到这一级为止,通过网格图的全 0 路径有最小的度量。现在,当我们朝下一级(第  $(l+1)$  级)移动时,就可能有另一条通过网格图的路径其度量比这个全 0 路径还要小,因此会引起误差。如果这种情况发生,那么就必须有通过网格图的某一条路径,该路径第 1 次在第  $(l+1)$  级与全 0 路径合并,并有一个小于全 0 路径的度量。这样一个事件称**首次差错事件**(first error event),相应的概率称**首次差错事件概率**(first error event probability)。这种情况如图 8.22 所示。

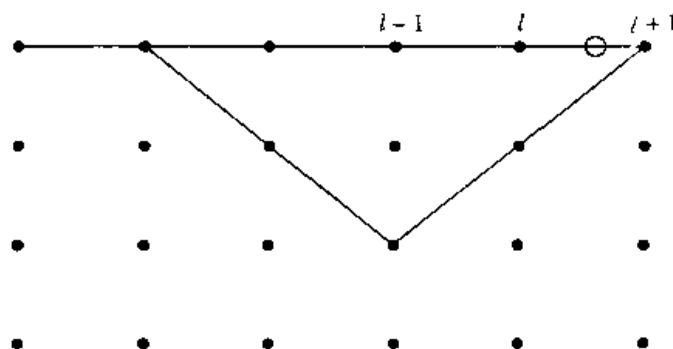


图 8.22 对应于首次差错事件的路径

第一步是要界定这个首次差错事件的概率。令  $P_2(d)$  代表在第  $(l+1)$  级的留存路径的概率,它是通过网格图一条具有与全 0 路径为 Hamming 距离  $d$  的路径。因为  $d$  比  $d_{\text{free}}$  大,所以就能将首次差错事件概率界定为

$$P_e \leq \sum_{d=d_{\text{free}}}^{\infty} a_d P_2(d)$$

上式右边已经包括了在第  $(l+1)$  级合并全 0 路径的通过网格图的所有路径。 $P_2(d)$  代表与全 0 路径有 Hamming 距离  $d$  的一条路径的差错概率,  $a_d$  代表与全 0 路径有 Hamming 距离  $d$  的路径数目。 $P_2(d)$  的值决定于是采用软判决解码,还是硬判决解码。

对于软判决解码,如果采用的是反极性信号(二进制 PSK),就有

$$\begin{aligned} P_2(d) &= Q\left(\frac{d^E}{\sqrt{2N_0}}\right) \\ &= Q\left(\sqrt{\frac{2Ed}{N_0}}\right) \\ &= Q\left[\sqrt{2R_c d \frac{E_b}{N_0}}\right] \end{aligned}$$

因此,

$$P_e \leq \sum_{d=d_{\text{free}}}^{\infty} a_d Q \left[ \sqrt{2R_c d \frac{E_b}{N_0}} \right]$$

利用在  $Q$  函数上已知的上界

$$Q(x) \leq \frac{1}{2} e^{-x^2/2}$$

可得

$$Q \left[ \sqrt{2R_c d \frac{E_b}{N_0}} \right] \leq \frac{1}{2} e^{-R_c d E_b / N_0}$$

现在,注意到

$$e^{-R_c d E_b / N_0} = D^d \Big|_{D=e^{-R_c E_b / N_0}}$$

最后得到

$$P_e \leq \frac{1}{2} \sum_{d=d_{\text{free}}}^{\infty} a_d D^d \Big|_{D=e^{-R_c E_b / N_0}} = \frac{1}{2} T_1(d) \Big|_{D=e^{-R_c E_b / N_0}}$$

式中

$$T_1(D) = T(D, N, J) \Big|_{N=J-1}$$

这是一个在首次差错事件概率上的界。为了求得对  $k$  输入比特的差错比特平均数上的界  $\bar{P}_b(k)$ , 注意到通过网格图的每条路径都会产生某输入比特数是错误地被解码的。在  $T(D, N, J)$  展开式的一般表示  $D^d N^{f(d)} J^{g(d)}$  式<sup>①</sup>中, 总共有  $f(d)$  个非零输入比特。这就意味着, 把挑选出的每条路径的概率乘以被选路径所产生的总输入差错数就可得到差错输入比特的平均数。所以, 在软判决情况下, 差错比特的平均数被界定为

$$\begin{aligned} \bar{P}_b(k) &\leq \sum_{d=d_{\text{free}}}^{\infty} a_d f(d) P_2(d) \\ &= \sum_{d=d_{\text{free}}}^{\infty} a_d f(d) Q \left[ \sqrt{2R_c d \frac{E_b}{N_0}} \right] \\ &\leq \frac{1}{2} \sum_{d=d_{\text{free}}}^{\infty} a_d f(d) e^{-R_c d E_b / N_0} \end{aligned} \quad (8.3.35)$$

如果定义

$$T_2(D, N) = T(D, N, J) \Big|_{J=1} = \sum_{d=d_{\text{free}}}^{\infty} a_d D^d N^{f(d)}$$

<sup>①</sup> 这里在符号上稍许有些粗糙。严格地说,  $N$  的方次不是  $d$  的函数, 但是用了  $f(d)$  来表示。不过, 在最后结果上并没有任何影响。

就有

$$\left. \frac{\partial T_2(D, N)}{\partial N} \right|_{N=1} = \sum_{d=d_{\text{free}}}^{\infty} a_d f(d) D^d \quad (8.3.36)$$

因此,利用(8.3.35)式和(8.3.36)式可得

$$\bar{P}_b(k) \leq \frac{1}{2} \left. \frac{\partial T_2(D, N)}{\partial N} \right|_{N=1, D=e^{-R_c k / N_0}}$$

为了求得对每输入比特的差错比特平均数,就必须要将这个界除以  $k$ ,由此最后结果是

$$\bar{P}_b = \frac{1}{2k} \left. \frac{\partial T_2(D, N)}{\partial N} \right|_{N=1, D=e^{-R_c k / N_0}}$$

对于硬判决解码,基本过程与上面推导相仿,唯一的不同是在  $P_2(d)$  上的界。可以证明(见参考文献[1]),  $P_2(d)$  由下式界定为

$$P_2(d) \leq [4p(1-p)]^{d/2}$$

由这个结果可直接证明,在硬判决解码下,差错概率的上界是

$$\bar{P}_b \leq \frac{1}{k} \left. \frac{\partial T_2(D, N)}{\partial N} \right|_{N=1, D=\sqrt{4p(1-p)}}$$

对卷积码将硬判决解码和软判决解码作一比较得出,和在线性分组码的情况相同,在加性白高斯噪声信道下,软判决解码在性能上要优于硬判决解码大致在 2 dB 的范围。

## 习 题

- 8.1 写一个 MATLAB 脚本,画出具有交叉概率  $p$  的二进制对称信道的容量作为  $p$  ( $0 \leq p \leq 1$ ) 的函数的图。对于  $p$  为何值,容量最小? 最小值是多少?
- 8.2 一个二进制非对称信道用条件概率  $p(0|1)=0.2$  和  $p(1|0)=0.4$  表征,画出该信道输入和输出之间的互信息  $I(X;Y)$  作为  $p=P(X=1)$  的函数图。对于  $p$  为何值,互信息最大? 最大值是多少?
- 8.3 有一  $Z$  信道是一个二进制输入,二进制输出信道,其输入和输出字符为  $\mathcal{X}=\mathcal{Y}=\{0,1\}$ ,并由  $p(0|1)=\epsilon$  和  $p(1|0)=0$  表征。对  $\epsilon=0, 0.1, 0.2, 0.3, 0.4, 0.5, 0.7, 0.9, 1$  画出  $I(X;Y)$  作为  $p=P(X=1)$  的函数图。求在每情况下信道的容量。
- 8.4 一个二进制输入、三元输出信道由输入和输出字符集  $\mathcal{X}=\{0,1\}$  和  $\mathcal{Y}=\{0,1,2\}$ ,转移概率为  $p(0|0)=0.05$ ,  $p(1|0)=0.2$ ,  $p(0|1)=0.1$  和  $p(1|1)=0.1$  表征。画出  $I(X;Y)$  作为  $p=P(X=1)$  的函数图,并求信道容量。

- 8.5 一个三元输入、二进制输出信道由输入和输出字符集  $\mathcal{X} = \{0, 1, 2\}$  和  $\mathcal{Y} = \{0, 1\}$ , 转移概率  $p(0|0) = 0.05$ ,  $p(1|1) = 0.2$  和  $p(0|2) = 0.1$  表征。画出  $I(X; Y)$  作为  $p_1 = P(X=1)$  和  $p_2 = P(X=2)$  的函数图, 并求信道容量。
- 8.6 画出采用二进制正交信号的二进制对称信道的容量作为  $\mathcal{E}_b/N_0$  的函数图。
- 8.7 假定两个传输信号是等能量且为正交的, 重做解说题 8.3。所得结果与在解说题 8.3 中所得结果有何不同?
- 8.8 当使用正交信号时, 比较在硬判决和软判决下的容量图, 并将这些结果与在使用反极性信号时所得结果作比较。
- 8.9 画出使用正交信号时二进制对称信道的容量作为  $\mathcal{E}_b/N_0$  的函数图, 在求解时一次用相干检测的假设, 一次用非相干检测的假设。将这两个图展示在同一张图上, 并比较这两个结果。
- 8.10 写一个 MATLAB 脚本, 产生对任何已知  $m$ , 以规则形式的 Hamming 码的生成矩阵。
- 8.11 利用正交信号, 分别用相干和非相干检测重做解说题 8.10, 并在同一张图上画出这两个结果。
- 8.12 利用 Monte Carlo 仿真画出解说题 8.10 中差错概率对  $\gamma_b$  的图。
- 8.13 不用正交信号而用反极性信号重做解说题 8.12。比较在软判决解码下, 正交信号的相干和非相干解调的性能。
- 8.14 利用 Monte Carlo 仿真, 画出解说题 8.12 中差错概率对  $\gamma_b$  的图。
- 8.15 当输入序列是
- 1 1 0 0 1 0 1 0 1 0 1 0 0 1 0 1 1 1 1 0 1 0 1 1 1 1 1 0 1 0
- 时, 用 MATLAB 求图 8.18 所示卷积编码器的输出。
- 8.16 一卷积码由生成矩阵

$$\mathbf{G} = \begin{bmatrix} 1 & 0 & 1 & 1 \\ 0 & 1 & 1 & 0 \\ 1 & 1 & 0 & 1 \\ 1 & 1 & 1 & 1 \end{bmatrix}$$

描述

(a) 若  $k=1$ , 当输入序列是

1 1 0 0 1 0 1 0 1 0 0 1 0 1 1 1 1 0 1 0 1 1 1 1 0 1 0

时, 求该编码器的输出。

(b) 用  $k=2$ , 重做(a)。

- 8.17 在习题 8.15 中, 求得该编码器的输出之后, 改变接收序列的前 6 个比特,



并用 Viterbi 解码解出这一结果。将这个解码器输出与传输序列作比较。发生了多少个差错？用一次改变接收序列的最后 6 个比特，一次改变接收序列的前 3 个比特和最后 3 个比特，重做这个题，并比较这些结果。在全部过程中都用 Hamming 度量标准。

- 8.18 产生一长为 1 000 的等概二进制序列，并将该序列按图 8.18 所示的卷积码编码。产生 4 个随机二进制差错序列，每个长 2 000，其 1 的概率分别等于 0.01, 0.05, 0.1 和 0.2。将这些差错序列中的每一个加(模 2)到这个已编码的序列上，并用 Viterbi 算法解码出结果。在每种情况中，将这个解码序列与编码器输入作比较，并求出错误比特率。
- 8.19 利用 Monte Carlo 仿真画出利用图 8.19 所示的码，在某卷积编码器中错误比特率对  $\gamma_b$  的图。假设调制方法是二进制反极性，一次用硬判决，一次用软判决解码。令  $\gamma_b$  是位于 3 dB 到 9 dB 的区间内，并适当地选取你的信息序列长度。将你的结果与理论上的界作比较。
- 8.20 在一条具有二元输入和三元输出的信道上，用图 8.18 的编码器传输信息。输出用 0, 1 和 2 表示。这就属于一个高斯信道的输出被量化到 3 个电平的情况。信道的条件概率由  $p(0|0) = p(1|1) = 0.9$ ,  $p(2|0) = p(2|1) = 0.09$  给出。用 Viterbi 算法对下面接收序列解码

02020110202112002220110101020220111112

# 第 9 章 扩频通信系统

## 9.1 概述

数字通信中的扩频信号最初是为军事通信的需要而发展和应用起来的,这其中是(1)对抗敌方干扰台的干扰;(2)用在低功率下传输以隐藏信号,使得无意的听众在噪声中不易检测出信号的存在;或者(3)有可能经由同一信道进行多用户通信。然而,今天扩频信号正为各种各样的商业应用提供可靠的通信,其中包括车载移动通信和办公室之间的无线通信。

一个扩频数字通信系统的基本组成如图 9.1 所示。可以看到,信道编码器和解码器、调制器和解调器都是常规数字通信系统的基本环节。除了这些以外,扩频系统中还用了两个完全一样的伪随机序列发生器,其中一个在发送端与调制器相接,另一个在接收端与解调器相接。这两个发生器产生伪随机或伪噪声(PN)的二值序列,用于在调制器中将传输信号在频率上进行扩频和在解调器上将接收信号进行解扩。

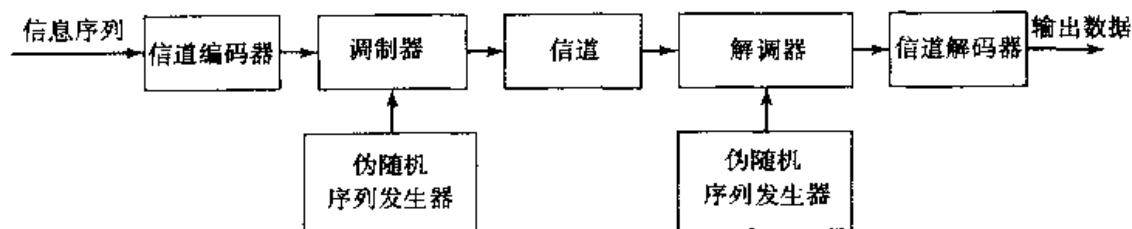


图 9.1 扩频数字通信系统模型

为正确地对接收到的扩频信号进行解扩,要求在接收机产生的 PN 序列与含在接收信号中的 PN 序列同步。在实际系统中,同步是在信息传输之前就已建立,这是通过传输一个专门设计的固定的 PN 比特样本以使接收机能在干扰存在下以高的概率检测到。在这个 PN 序列发生器的时间同步建立之后,再开始信息传输。在数据模式上,通常该通信系统跟踪正在到来的接收信号的定时,并将这个 PN 序列发生器保持在同步状态。

这一章要讨论两种基本的用于数字通信中的扩频信号类型,即直接序列

(DS)扩频信号和跳频(FH)扩频信号。

与扩频信号相关的两种数字调制型式要进行讨论,它们是 PSK 和 FSK。PSK 调制一般是在 DS 扩频中应用,并且是最适合用在这样的场合:发送信号和接收信号之间的相位相干性可以在横跨几个符号(或比特)区间的一段时间内保持住。另一方面,FSK 调制一般用在 FH 扩频中,并且最适合用在这样的场合:由于通信信道传输特性上的时变性,载波的相位相干性不能保持住。

## 9.2 直接序列扩频系统

现在让我们考虑利用二进制 PSK 的一个二进制信息序列的传输问题。信息速率是  $R$  b/s,比特区间是  $T_b = 1/R$ 。可用的信道带宽是  $B_c$  (Hz),  $B_c \gg R$ 。在调制器中,按照 PN 发生器的变化形式,以每秒  $W$  次的速率,伪随机地将载波相位移相,将信息信号的带宽扩展到  $W = B_c$  (Hz)。这样所得到的已调信号称为直接序列(DS)扩频信号。

载有信息的基带信号用  $v(t)$  代表,可表示为

$$v(t) = \sum_{n=-\infty}^{\infty} a_n g_T(t - nT_b) \quad (9.2.1)$$

式中  $\{a_n = \pm 1, -\infty < n < \infty\}$  和  $g_T(t)$  是持续期为  $T_b$  的矩形脉冲。这个信号乘以由 PN 序列发生器来的信号,它可以表示为

$$c(t) = \sum_{n=-\infty}^{\infty} c_n p(t - nT_c) \quad (9.2.2)$$

这里  $\{c_n\}$  代表该二进制 PN 的值为  $\pm 1$  的码序列,  $p(t)$  是持续期为  $T_c$  的矩形脉冲,如图 9.2 所示。这个相乘运算用来将载有信息的信号带宽(大约为  $R$  Hz)扩展到由 PN 发生器信号  $c(t)$  所占有的更宽的带宽(这个带宽大约为  $1/T_c$ )上去。频谱的扩展如图 9.3 所示,图中用简单的矩形谱示出两个谱的卷积。较窄的谱对应于载有信息的信号,较宽的谱对应于来自 PN 发生器的信号。

该乘积信号  $v(t)c(t)$  (在图 9.2 中也已示出)用来对载波  $A_c \cos 2\pi f_c t$

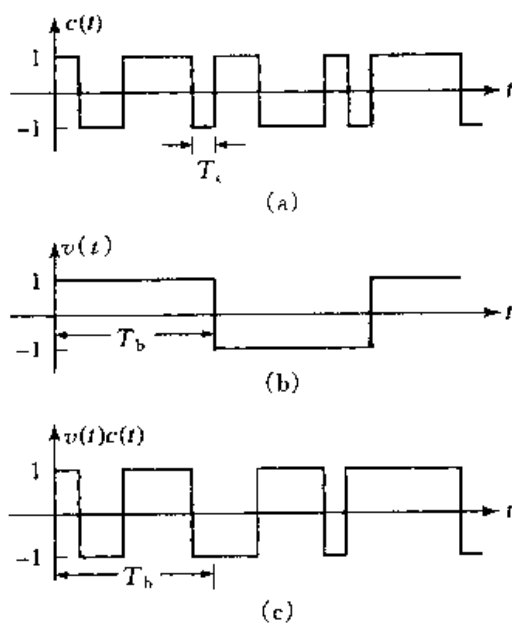


图 9.2 DS 扩频信号的产生

(a) PN 信号; (b) 数据信号; (c) 乘积信号

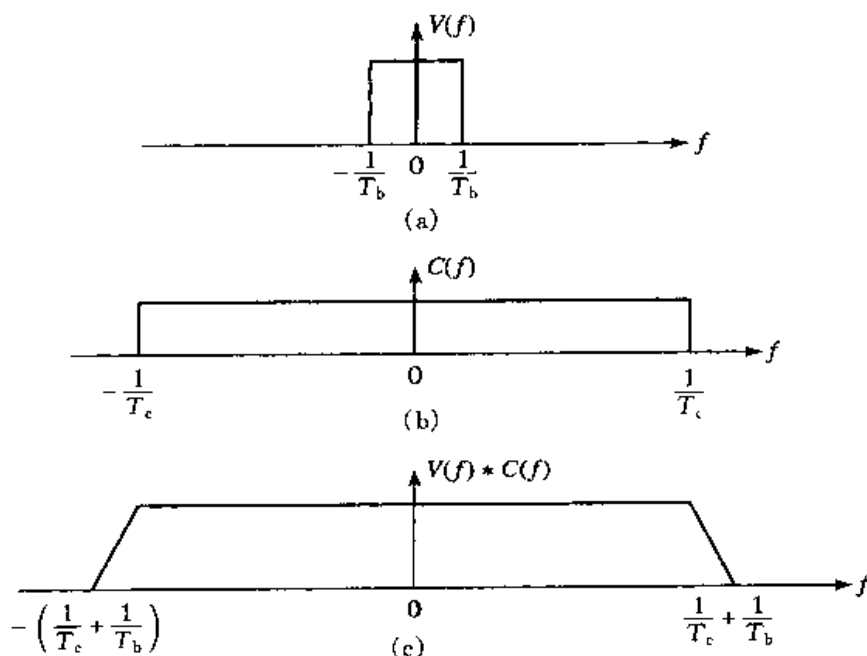


图 9.3 频谱的扩展

(a) 数据信号; (b) PN 码信号; (c) 频谱卷积

作幅度调制,产生的 DSB-SC 信号为

$$u(t) = A_c v(t) c(t) \cos(2\pi f_c t) \quad (9.2.3)$$

因为对任意  $t$ ,  $v(t)c(t) = \pm 1$ , 所以这个载波调制传输信号也可以表示为

$$u(t) = A_c \cos[2\pi f_c t + \theta(t)] \quad (9.2.4)$$

式中,当  $v(t)c(t) = 1$  时,  $\theta(t) = 0$ ; 当  $v(t)c(t) = -1$  时,  $\theta(t) = \pi$ . 因此,这个传输信号是一个二进制 PSK 信号,它的相位在  $1/T_c$  速率下变化。

矩形脉冲  $p(t)$  通常称为码片(chip),它的时间持续期  $T_c$  称为码片间隔(chip interval),其倒数  $1/T_c$  称为码元速率(chip rate),并(近似地)相应于传输信号的带宽  $W$ 。在实际的扩频系统中,比特区间  $T_b$  对码片间隔  $T_c$  的比通常都选为某一整数。我们记这个比值为

$$L_c = \frac{T_b}{T_c} \quad (9.2.5)$$

所以  $L_c$  就是每信息比特中 PN 码序列的码片数。另一种解释是,  $L_c$  代表了在比特区间  $T_b$  期间,在传输信号中可能有的  $180^\circ$  相位转移的数目。

### 9.2.1 信号解调

信号解调按图 9.4 完成。接收信号首先乘以在接收机的 PN 码序列发生器

产生的波形  $c(t)$  的复本,它是与接收信号中的 PN 码同号的。这一运算称为(频谱)解扩,因为在接收端乘以  $c(t)$  的效果就是将在发送端的扩频运算解开。据此有

$$A_c v(t) c^2(t) \cos(2\pi f_c t) = A_c v(t) \cos(2\pi f_c t) \quad (9.2.6)$$

上式中因有对全部  $t$ ,  $c^2(t) = 1$ 。所得信号  $A_c v(t) \cos 2\pi f_c t$  占有带宽为  $R$  (Hz) (近似),它就是载有信息信号的带宽。因此,对解扩信号而言,这个解调器就是常规的互相关器或匹配滤波器,这些都在第5章和第7章中讨论过。因为该解调器具有和解扩信号相同的带宽,所以在解调器上使信号受到污损的仅是那些位于接收信号的信息带宽以内的加性噪声。

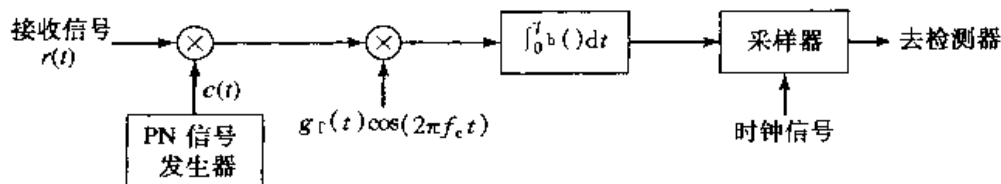


图 9.4 DS 扩频信号的解调

### 窄带干扰对解扩的影响

研究某一干扰信号对所期望的载有信息信号解调上的影响是很有意义的。设想接收信号是

$$r(t) = A_c v(t) c(t) \cos(2\pi f_c t) + i(t) \quad (9.2.7)$$

式中  $i(t)$  代表干扰。在接收端的解扩处理产生

$$r(t) c(t) = A_c v(t) \cos(2\pi f_c t) + i(t) c(t) \quad (9.2.8)$$

将干扰  $i(t)$  与  $c(t)$  相乘的效果就是将  $i(t)$  的带宽扩频到  $W$  Hz。

作为一个例子,考虑一个如下式的正弦干扰信号

$$i(t) = A_J \cos(2\pi f_J t) \quad (9.2.9)$$

式中  $f_J$  是位于传输信号带宽内的某一频率。它与  $c(t)$  相乘就会产生一个功率谱密度  $J_0 = P_J/W$  的宽带干扰,这里  $P_J = A_J^2/2$  是该干扰的平均功率。因为所期望的信号是用带宽为  $R$  的匹配滤波器(或相关器)解调,所以在解调器输出端干扰的总功率是

$$J_0 R = \frac{P_J R}{W} = \frac{P_J}{W/R} = \frac{P_J}{T_b/T_c} = \frac{P_J}{L_c} \quad (9.2.10)$$

因此,在干扰信号中的功率就降低了等于带宽扩展因子  $W/R$  的倍数。这个因子  $W/R = T_b/T_c = L_c$  称为扩频系统的处理增益(processing gain)。干扰功率的降低是在有干扰的信道上采用扩频信号传输数字信息的根本原因。

总之,在发送端用 PN 码序列将载有信息的信号扩频到某个较宽的带宽上,然后在信道上进行传输。当这个接收信号乘以一个同步了的 PN 码信号的复本时,所期望的信号被解扩回到窄带带宽上来,而任何干扰信号都被扩频到一个较宽的带宽内。在干扰功率上的净效果就是降低  $W/R$  倍,这就是扩频系统的处理增益。

假定这个 PN 码序列  $\{c_n\}$  已知是仅对这个目标中的接收机而言的。任何不具有该 PN 码序列知识的其他接收机不可能解出这个信号。这样,利用一个 PN 码序列就提供了某种程度的保密性(或安全性),而这个用常规的调制是不可能达到的。为这一安全性和抗干扰性能的获益所付出的主要代价是在信道带宽利用上的降低和在通信系统复杂性上的增加。

### 9.2.2 差错概率

在 AWGN 信道中,采用二进制 PSK 的 DS 扩频系统的差错概率与一般的(未扩频)二进制 PSK 的差错概率是相同的,即

$$P_b = Q\left[\sqrt{\frac{2\mathcal{E}_b}{N_0}}\right] \quad (9.2.11)$$

另外,如果干扰是如(9.2.9)式给出的正弦型的,其功率为  $P_J$ ,那么差错概率(近似)为

$$P_b = Q\left[\sqrt{\frac{2\mathcal{E}_b}{P_J/W}}\right] = Q\left[\sqrt{\frac{2\mathcal{E}_b}{J_0}}\right] \quad (9.2.12)$$

于是干扰功率降低了扩频信号带宽  $W$  倍的因子。在这种情况下,可以不管 AWGN(假设可以忽略),即  $N_0 \ll P_J/W$ 。如果考虑信道中的 AWGN,则差错概率可表示为

$$\begin{aligned} P_b &= Q\left[\sqrt{\frac{2\mathcal{E}_b}{N_0 + P_J/W}}\right] \\ &= Q\left[\sqrt{\frac{2\mathcal{E}_b}{N_0 + J_0}}\right] \end{aligned} \quad (9.2.13)$$

### 干扰裕余度(Jamming Margin)

当干扰信号是某一干扰台的信号时,可将  $\mathcal{E}_b/J_0$  表示为

$$\frac{\mathcal{E}_b}{J_0} = \frac{P_S T_b}{P_J/W} = \frac{P_S/R}{P_J/W} = \frac{W/R}{P_J/P_S} \quad (9.2.14)$$

现在假定给出某一要求的  $\mathcal{E}_b/J_0$  以实现某个期望的性能,那么利用对数标尺,可将(9.2.14)式表示为

$$10\log \frac{P_J}{P_S} = 10\log \frac{W}{R} - 10\log \left( \frac{\epsilon_b}{J_0} \right)$$

$$\left( \frac{P_J}{P_S} \right)_{\text{dB}} = \left( \frac{W}{R} \right)_{\text{dB}} - \left( \frac{\epsilon_b}{J_0} \right)_{\text{dB}} \quad (9.2.15)$$

比值  $(P_J/P_S)_{\text{dB}}$  称为干扰裕余度。这就是一个干扰台能有的不破坏通信系统的相对功率强度。

### 解说题

#### 解说题 9.1[处理增益和干扰裕余度]

假设要求  $\epsilon_b/J_0 = 10 \text{ dB}$  实现二进制 PSK 的可靠通信,求为提供 20 dB 的干扰裕余度所必须的处理增益。

### 题解

利用(9.2.15)式,求出处理增益  $(W/R)_{\text{dB}} = 30 \text{ dB}$ ,也即  $W/R = L_c = 1\,000$ 。这表示在  $W/R = 1\,000$  下,接收机中的平均干扰功率可以是期望信号功率  $P_S$  的 100 倍,这时还能维持可靠的通信。

#### 编码扩频信号的性能

如同在第8章所指出的,当传输信息用二进制线性(分组或卷积)码编码时,在软判决解码器输出中的 SNR 是随编码增益而提高,编码增益定义为

$$\text{编码增益 } CG = R_c d_{\text{min}}^H \quad (9.2.16)$$

式中  $R_c$  是码率,  $d_{\text{min}}^H$  是该码的最小 Hamming 距离。因此,编码的效果就是通过编码增益而提高了干扰裕余度。这样,(9.2.15)式就修正为

$$\left( \frac{P_J}{P_S} \right)_{\text{dB}} = \left( \frac{W}{R} \right)_{\text{dB}} + (CG)_{\text{dB}} - \left( \frac{\epsilon_b}{J_0} \right)_{\text{dB}} \quad (9.2.17)$$

#### 9.2.3 DS 扩频信号的两个应用方面

在这一小节中要简要地叙述一下 DS 扩频信号在两个方面的应用。首先考虑信号在很低功率传输中的应用,这样的情况可使得某一收听者在试图检测出信号的存在中遇到很大的困难。第二种应用是在多址无线通信中。

##### 低可检测性的信号传输

在这类应用中,载有信息的信号相对于接收机前端产生的背景信道噪声和热噪声而言是在很低的功率电平下传输的。如果 DS 扩频信号占有带宽为  $W$ ,而加性噪声的功率谱密度是  $N_0 \text{ W/Hz}$ ,那么在带宽  $W$  内的平均噪声功率就是

$$P_N = WN_0.$$

在计划中的目标接收机中平均接收信号功率是  $P_R$ 。如果我们希望将信号的存在从与目标接收机邻近的接收机隐藏起来,就可使传输信号的功率满足  $P_R/P_N \ll 1$ 。借助于处理增益和编码增益,这个目标接收机就能够从背景噪声中恢复出这个微弱的载有信息的信号。然而,任何其他的接收机都没有任何有关 PN 码的知识,因此不可能利用这个处理增益和编码增益,结果载有信息的信号是很难被检测到。我们就说这个传输信号有一个低的被截获的概率(low probability of being intercepted. LPI),并将它称为 LPI 信号。

在 9.2.2 节中给出的差错概率也能用在目标接收机的 LPI 信号的解调和解码上。

### 解说题

#### 解说题 9.2[DS 扩频系统设计]

设计一 DS 扩频信号,使其对一 AWGN 信道在目标接收机的功率比是  $P_R/P_N = 0.01$ 。对于所接受的性能是期望值  $\mathcal{E}_b/N_0$ 。为达到  $\mathcal{E}_b/N_0 = 10$ ,求所需处理增益的最小值。

### 题 解

可以将  $\mathcal{E}_b/N_0$  写成

$$\frac{\mathcal{E}_b}{N_0} = \frac{P_R T_b}{N_0} = \frac{P_R L_c T_c}{N_0} = \left( \frac{P_R}{WN_0} \right) L_c = \left( \frac{P_R}{P_N} \right) L_c \quad (9.2.18)$$

因为  $\mathcal{E}_b/N_0 = 10$  和  $P_R/P_N = 10^{-2}$ , 所以所需处理增益  $L_c = 1000$ 。

#### 码分多址

从 DS 扩频信号通过处理增益和编码增益所获得的性能上的增强就有可能用来在同一个信道带宽内拥有多个 DS 扩频信号,只要每个信号都有它自己的伪随机(特征)序列。因此就有可能在同一信道带宽内几个用户同时传输信息。这种在一条公共信道带宽内,每对发送/接收机用户都有它自己不同的传输特征码的数字通信类型称为码分多址(code division multiple access, CDMA)。

在数字蜂窝通信系统中,一个基站利用  $N_u$  个正交 PN 序列传送信号到  $N_u$  个移动接收机,其中每个 PN 序列对应一个目标接收机。这  $N_u$  个信号在传输时都是精确同步的,使得它们都以同步状态到达每个移动接收机。这样,由于这  $N_u$  个 PN 序列的正交性,每个目标接收机都能解调出它自己的信号而不会受到来自共享同一带宽的其他传输信号的干扰。然而,在从移动发射机到基站传输(上行线路)的信号中,这种同步型式不能保持。在基站每个 DS 扩频信号的解



调中,从该信道其他并存用户来的信号就作为加性干扰出现。现在来确定在 CDMA 系统中能够容纳的并存信号的数目。假设在基站全部信号都有相同的平均功率。在许多实际系统中,来自每个用户的接收信号的功率在基站都受到监控,利用控制信道在全部并存用户上实施功率控制,并通知用户是否应提高或降低它们的功率电平。有了这样的功率控制之后,如果存在有  $N_u$  个用户,那么在某一接收机信号对噪声干扰的功率比是

$$\frac{P_S}{P_N} = \frac{P_S}{(N_u - 1)P_S} = \frac{1}{N_u - 1} \quad (9.2.19)$$

根据这一关系就能确定可以同时容纳的用户数。

在确定信道可同时存在的最大用户数中已经隐含着假设各个用户所用的伪随机码序列是正交的,而且从其他用户来的干扰仅加在某一功率基上。然而,一般要实现在  $N_u$  个用户之间伪随机序列的正交性是困难的,尤其是若  $N_u$  很大时更是如此。事实上,设计一大批具有很好相关性质的伪随机序列就是一个重要的课题,并在专业技术文献中受到极大的关注。在 9.3 节将对此作简要讨论。

### 解说题

#### 解说题 9.3[CDMA 中的最大用户数]

假设在某个 CDMA 系统中某用户所期望的性能水平是在  $\epsilon_b/J_0 = 10$  下达到,若带宽对比特率之比是 100 和编码增益是 6 dB,求在该 CDMA 系统中可同时容纳的最大用户数

### 题解

根据(9.2.17)式给出的基本关系有

$$\begin{aligned} \left(\frac{P_N}{P_S}\right)_{\text{dB}} &= \left(\frac{W}{R}\right)_{\text{dB}} + (CG)_{\text{dB}} - \left(\frac{\epsilon_b}{J_0}\right)_{\text{dB}} \\ &= 20 + 6 - 10 = 16 \text{ (dB)} \end{aligned}$$

因此,

$$\frac{1}{N_u - 1} = \frac{P_S}{P_N} = \frac{1}{40}$$

所以

$$N_u = 41 \text{ 个用户}$$

### 解说题

#### 解说题 9.4[DS 扩频仿真]

这个题的目的是要通过 Monte Carlo 仿真,说明 DS 扩频信号在抑制正弦干

扰方面的有效性。待仿真的系统方框图如图 9.5 所示。

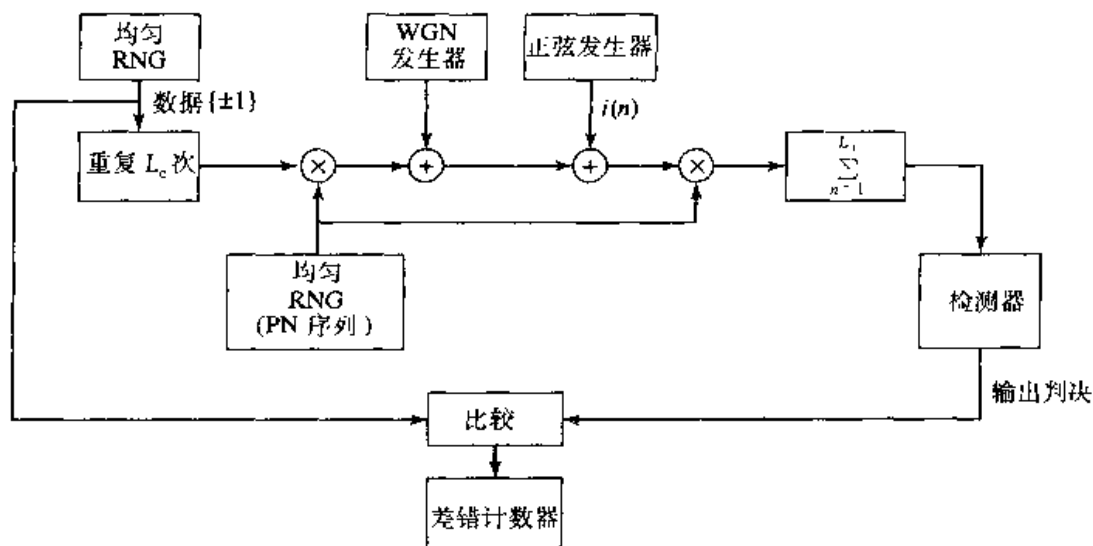


图 9.5 用于 Monte Carlo 的 DS 扩频系统的模型

## 题 解

用一均匀随机数发生器(RNG)产生某个二进制信息符号( $\pm 1$ )的序列。每个信息比特重复  $L_c$  次,  $L_c$  相应于每个信息比特的 PN 码片数。所得到的序列(其中包含每比特的  $L_c$  个重复数)乘以由另一个均匀 RNG 产生的 PN 序列  $c(n)$ 。然后将方差为  $\sigma^2 = N_0/2$  的白高斯噪声和形式为

$$i(n) = A \sin(\omega_0 n)$$

的正弦干扰加到这个乘积序列上, 其中  $0 < \omega_0 < \pi$ , 正弦的幅度选为  $A < L_c$ 。解调器完成与 PN 序列的互相关, 并在构成每信息比特的  $L_c$  个信号样本上求和(积分)。相加器的输出再馈给检测器, 它将这个信号与阈值零作比较, 并判决传输的比特是  $+1$  还是  $-1$ 。差错计数器计出由检测器产生的差错数。对于  $L_c = 20$ , 在 3 种不同的正弦干扰幅值下所得 Monte Carlo 仿真结果如图 9.6 所示。图中还示出当除掉这个正弦干扰时所测得的误码率。在这些仿真过程中, 加性噪声的方差都保持不变, 而在每次仿真运行中, 所期望的信号电平都加权到以实现所需 SNR。

该仿真程序的 MATLAB 脚本给出如下。

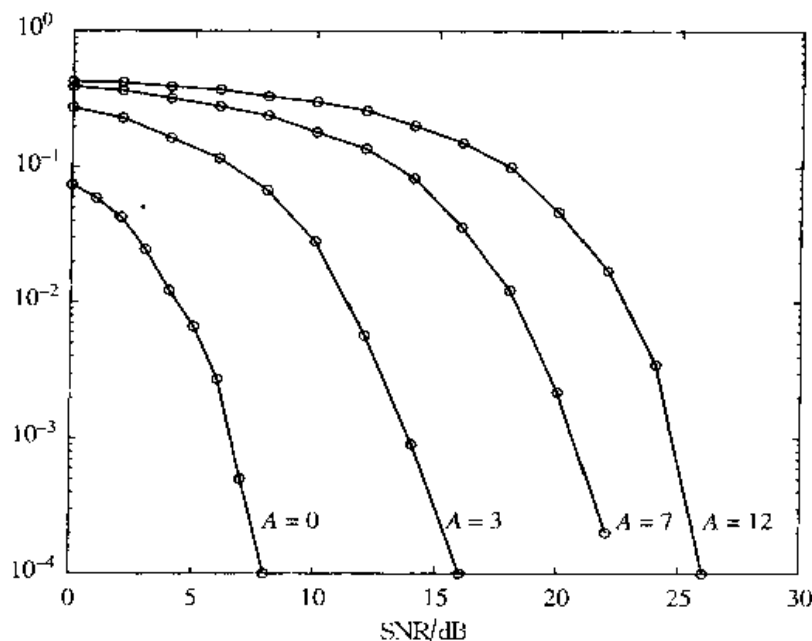


图 9.6 从 Monte Carlo 仿真所得系统误码率性能

## M 文件

```
% MATLAB script for Illustrative Problem 9.4.
echo on
Lc=20;                                % number of chips per bit
A1=3;                                  % amplitude of the first sinusoidal interference
A2=7;                                  % amplitude of the second sinusoidal interference
A3=12;                                 % amplitude of the third sinusoidal interference
A4=0;                                  % fourth case: no interference
w0=1;                                  % frequency of the sinusoidal interference in radians
SNRindB=0:2:30;
for i=1:length(SNRindB),
    % measured error rates
    smld_err_prb1(i)=ss_Pe94(SNRindB(i),Lc,A1,w0);
    smld_err_prb2(i)=ss_Pe94(SNRindB(i),Lc,A2,w0);
    smld_err_prb3(i)=ss_Pe94(SNRindB(i),Lc,A3,w0);
    echo off ;
end;
echo on ;
SNRindB4=0:1:8;
for i=1:length(SNRindB4),
    % measured error rate when there is no interference
    smld_err_prb4(i)=ss_Pe94(SNRindB4(i),Lc,A4,w0);
    echo off ;
end;
echo on ;
% Plotting commands follow
```

## M 文件

```

function [p]=ss_Pe94(snr_in_dB, Lc, A, w0)
% [p]=ss_Pe94(snr_in_dB, Lc, A, w0)
%          SS_PE94 finds the measured error rate. The function
%          that returns the measured probability of error for the given value of
%          the snr_in_dB, Lc, A and w0.
snr=10^(snr_in_dB/10);
sigma=1; % noise standard deviation is fixed
Eb=2*sigma^2*snr; % signal level required to achieve the given
% signal to noise ratio
E_chip=Eb/Lc; % energy per chip
N=10000; % number of bits transmitted
% the generation of the data, noise, interference, decoding process and error
% counting is performed all together in order to decrease the run time of the
% program. This is accomplished by avoiding very large sized vectors.
num_of_err=0;
for i=1:N,
    % generate the next data bit
    temp=rand;
    if (temp<0.5),
        data=-1;
    else
        data=1;
    end;
    % repeat it Lc times, i.e. divide it into chips
    for j=1:Lc,
        repeated_data(j)=data;
    end;
    % pn sequence for the duration of the bit is generated next
    for j=1:Lc,
        temp=rand;
        if (temp<0.5),
            pn_seq(j)=-1;
        else
            pn_seq(j)=1;
        end;
    end;
    % the transmitted signal is
    trans_sig=sqrt(E_chip)*repeated_data.*pn_seq;
    % AWGN with variance sigma^2
    noise=sigma*randn(1,Lc);
    % interference
    n=(i-1)*Lc+1:n*Lc;
    interference=A*sin(w0*n);
    % received signal
    rec_sig=trans_sig+noise+interference;
    % determine the decision variable from the received signal
    temp=rec_sig.*pn_seq;
    decision_variable=sum(temp);
    % making decision

```

```

if (decision_variable<0),
    decision=-1;
else
    decision=1;
end;
% if it is an error, increment the error counter
if (decision~=data),
    num_of_err=num_of_err+1;
end;
end;
% then the measured error probability is
p=num_of_err/N;

```

### 9.3 PN 序列的产生

一个伪随机(或 PN)序列是一个 1 和 0 的码序列,它的自相关函数具有白噪声自相关函数相类似的性质。这一节要简要叙述某些 PN 序列的构成以及它们的自相关和互相关性质。

到现在为止,为大家熟知的二进制 PN 码的序列是最大长度移位寄存器序列。一个最大长度移位寄存器序列(或简单称为  $m$  序列)有长度为  $L = 2^m - 1$  比特,并由一个  $m$  级的,带有线性反馈的移位寄存器产生,如图 9.7 所示。这个序列是周期的,周期为  $L$ 。每个周期内有  $2^{m-1}$  个 1 和  $2^{m-1} - 1$  个 0 的序列。表 9.1 列出产生最大长度序列的移位寄存器的连接。

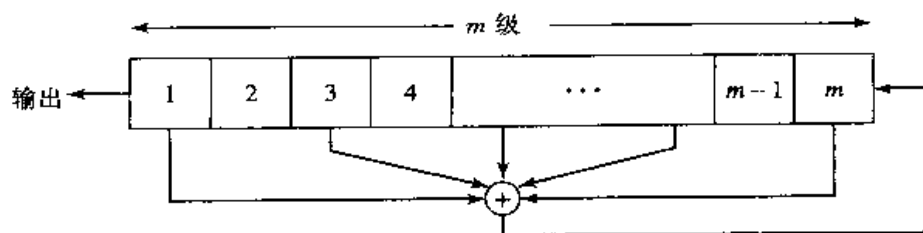


图 9.7 具有线性反馈的一般  $m$  级移位寄存器

表 9.1 产生最大长度序列的移位寄存器连接法

| $m$ | 接至模 2 加法器的级 | $m$ | 接至模 2 加法器的级 | $m$ | 接至模 2 加法器的级 |
|-----|-------------|-----|-------------|-----|-------------|
| 2   | 1,2         | 13  | 1,10,11,13  | 24  | 1,18,23,24  |
| 3   | 1,3         | 14  | 1,5,9,14    | 25  | 1,23        |

续表 9.1

| $m$ | 接至模 2 加法器的级 | $m$ | 接至模 2 加法器的级 | $m$ | 接至模 2 加法器的级 |
|-----|-------------|-----|-------------|-----|-------------|
| 4   | 1,4         | 15  | 1,15        | 26  | 1,21,25,26  |
| 5   | 1,4         | 16  | 1,5,14,16   | 27  | 1,23,26,27  |
| 6   | 1,6         | 17  | 1,15        | 28  | 1,26        |
| 7   | 1,7         | 18  | 1,12        | 29  | 1,28        |
| 8   | 1,5,6,7     | 19  | 1,15,18,19  | 30  | 1,8,29,30   |
| 9   | 1,6         | 20  | 1,18        | 31  | 1,29        |
| 10  | 1,8         | 21  | 1,20        | 32  | 1,11,31,32  |
| 11  | 1,10        | 22  | 1,22        | 33  | 1,21        |
| 12  | 1,7,9,12    | 23  | 1,19        | 34  | 1,8,33,34   |

在 DS 扩频应用中,码元为  $\{0, 1\}$  的二进制序列映射为相应的码元为  $\{-1, +1\}$  的二进制序列。将这个等效的码元为  $\{-1, +1\}$  的序列  $\{c_n\}$  称为双极性序列(bipolar sequence)。

一个周期 PN 序列的重要特性是它的自相关函数,双极性序列  $\{c_n\}$  的自相关函数通常定义为

$$R_c(m) = \sum_{n=0}^{L-1} c_n c_{n+m}, \quad 0 \leq m \leq L-1 \quad (9.3.1)$$

这里  $L$  是该序列的周期。因为序列  $\{c_n\}$  是周期的,周期为  $L$ ,所以自相关序列  $\{R_c(m)\}$  也是周期的,周期为  $L$ 。

理想情况,一个 PN 序列应该有一个自相关函数,其相关性质与白噪声的自相关性质是类似的。这就是说,对于  $\{c_n\}$  的理想自相关序列是  $R_c(0) = L$  和  $R_c(m) = 0, 1 \leq m \leq L-1$ 。在  $m$  序列情况下,自相关序列是

$$R_c(m) = \begin{cases} L, & m = 0 \\ -1, & 1 \leq m \leq L-1 \end{cases} \quad (9.3.2)$$

对于长  $m$  序列,  $R_c(m)$  相对于峰值  $R_c(0)$  的偏离值,即  $R_c(m)/R_c(0) = -1/L$  是很小的,从实际的角度来看是无关紧要的。因此,当通过它们的自相关函数来看时,  $m$  序列是非常接近于理想 PN 序列的。

在一些应用中,PN 序列的互相关性质和自相关性质具有同样的重要性。例如,在 CDMA 中,每一用户都分配到某一特定的 PN 序列。在理想情况下,在

用户之间的这些 PN 序列应该是互为正交的,以使一个用户受到来自其他用户传输的干扰电平是零。然而,在实际中被不同用户所使用的 PN 序列总呈现某些相关性。

为了具体些,现考虑这类  $m$  序列。已经知道,在相同周期的一对  $m$  序列之间的周期互相关函数可能有相当大的峰值。表 9.2 中列出在  $3 \leq m \leq 12$  时,各对  $m$  序列之间周期互相关的峰值幅度  $R_{\max}$ ;同时在该表中还列出了对于  $3 \leq m \leq 12$  时,长度为  $L = 2^m - 1$  的  $m$  序列的数目。可以看到,长为  $L$  的  $m$  序列的数目随  $m$  急剧增加;同时还看到,对大多数序列来说,互相关函数的峰值幅度  $R_{\max}$  是自相关函数峰值一个大的百分比。因此,  $m$  序列对 CDMA 通信系统来说是不合适的。虽然有可能挑选出一部分  $m$  序列,它具有比  $R_{\max}$  相对小的互相关峰值,但是这一部分序列数目还是太少了而不足以在 CDMA 中应用。

表 9.2  $m$  序列和 Gold 序列的峰值互相关

| $m$ | $L = 2^m - 1$ | $m$ 序列 |            |                 | Gold 序列     |                  |
|-----|---------------|--------|------------|-----------------|-------------|------------------|
|     |               | 序列数    | $R_{\max}$ | $R_{\max}/R(0)$ | $R'_{\max}$ | $R'_{\max}/R(0)$ |
| 3   | 7             | 2      | 5          | 0.71            | 5           | 0.71             |
| 4   | 15            | 2      | 9          | 0.60            | 9           | 0.60             |
| 5   | 31            | 6      | 11         | 0.35            | 9           | 0.29             |
| 6   | 63            | 6      | 23         | 0.36            | 17          | 0.27             |
| 7   | 127           | 18     | 41         | 0.32            | 17          | 0.13             |
| 8   | 255           | 16     | 95         | 0.37            | 33          | 0.13             |
| 9   | 511           | 48     | 113        | 0.22            | 33          | 0.06             |
| 10  | 1 023         | 60     | 382        | 0.37            | 65          | 0.06             |
| 11  | 2 047         | 176    | 287        | 0.14            | 65          | 0.03             |
| 12  | 4 095         | 144    | 1407       | 0.34            | 129         | 0.03             |

Gold<sup>[5],[6]</sup>和 Kasami<sup>[7]</sup>已经研究出产生具有比  $m$  序列更好的周期互相关函数性质的 PN 序列的方法。Gold 序列是这样构成的:取一对专门挑选的  $m$  序列称为优选  $m$  序列(preferred  $m$ -sequences),并将其中一个序列相对于另一个序列作  $L$  次循环移位,对每次移位后按模 2 相加。据此,  $L$  Gold 序列的产生如图 9.8 的示。对于大的  $L$  和  $m$  为奇数,任意一对 Gold 序列之间互相关函数的最

大值是  $R_{\max} = \sqrt{2L}$ ; 对  $m$  为偶数,  $R_{\max} = \sqrt{L}$ 。

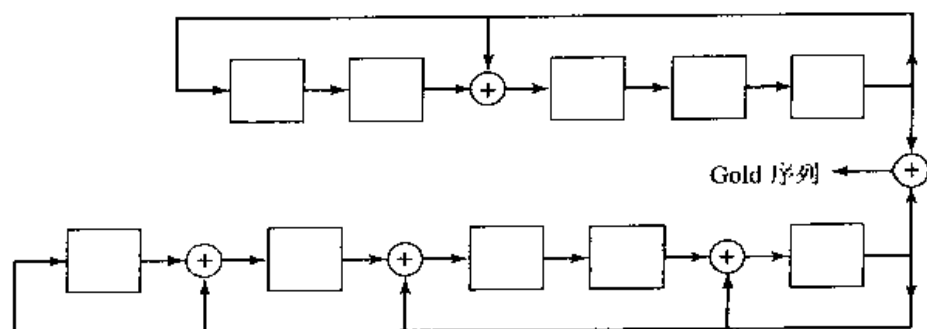


图 9.8 长为 31 的 Gold 序列的产生

Kasami<sup>[7]</sup>提出一种通过抽取某一  $m$  序列构造 PN 序列的方法。在 Kasami 的构造方法中,一个  $m$  序列中每隔  $(2^{m/2} + 1)$  个比特被抽取出。这种构造方法产生比 Gold 序列更少的一组 PN 序列,但是它们的最大互相关值是  $R_{\max} = \sqrt{L}$ 。

用任意一对长为  $L$  的二进制序列之间的最大互相关的某一已知低界来对 Gold 序列和 Kasami 序列的互相关函数的峰值作一比较是很有意思的。已在周期为  $L$  的一组  $N$  序列,它们最大互相关的低界是

$$R_{\max} \geq L \sqrt{\frac{N-1}{NL-1}} \quad (9.3.3)$$

对于大的  $L$  和  $N$  值,该式可近似为  $R_{\max} \geq \sqrt{L}$ 。因此可见, Kasami 序列满足这个低界,所以它们是最优的。另外,  $m$  为奇数的 Gold 序列有  $R_{\max} = \sqrt{2L}$ , 所以,它们稍微是次最佳的。

除了 Gold 序列和 Kasami 序列外,还有其他的一些二进制序列也适合于在 CDMA 中应用。有兴趣的读者可参阅 Scholtz<sup>[8]</sup>和 Sarwate 与 Pursley<sup>[9]</sup>的文献。

## 解答题

### 解答题 9.5[产生 Gold 序列]

产生  $L = 31$  的 Gold 序列,它由如图 9.8 中所示的取两个移位寄存器输出的模 2 相对而产生。

## 题解

完成这个计算的 MATLAB 脚本给出如下。产生的 31 个序列如表 9.3 所示。这些序列互相关的最大值是  $R_{\max} = 9$ 。



表 9.3 解答题 9.5 中的 Gold 序列表

|   |   |   |   |   |   |   |   |   |   |   |   |   |   |   |   |   |   |   |   |   |   |   |   |   |   |   |   |   |   |   |   |   |   |   |   |   |   |
|---|---|---|---|---|---|---|---|---|---|---|---|---|---|---|---|---|---|---|---|---|---|---|---|---|---|---|---|---|---|---|---|---|---|---|---|---|---|
| 0 | 1 | 1 | 1 | 0 | 0 | 0 | 0 | 1 | 0 | 0 | 0 | 0 | 1 | 1 | 0 | 0 | 1 | 0 | 0 | 1 | 0 | 0 | 1 | 0 | 1 | 1 | 1 | 1 | 0 | 0 | 0 | 0 | 0 |   |   |   |   |
| 0 | 1 | 0 | 1 | 1 | 0 | 1 | 1 | 1 | 0 | 0 | 0 | 1 | 0 | 0 | 0 | 0 | 0 | 1 | 0 | 0 | 1 | 0 | 0 | 0 | 1 | 1 | 0 | 0 | 0 | 1 | 1 | 0 | 0 | 0 | 1 |   |   |
| 0 | 0 | 0 | 0 | 1 | 1 | 0 | 1 | 1 | 0 | 0 | 1 | 0 | 1 | 0 | 0 | 1 | 1 | 1 | 1 | 0 | 1 | 1 | 0 | 0 | 1 | 0 | 0 | 1 | 0 | 0 | 1 | 1 | 1 | 0 | 0 | 1 |   |
| 1 | 0 | 1 | 0 | 0 | 0 | 0 | 1 | 1 | 0 | 1 | 0 | 1 | 1 | 0 | 1 | 0 | 1 | 0 | 0 | 0 | 1 | 0 | 1 | 1 | 0 | 1 | 0 | 1 | 0 | 1 | 1 | 1 | 1 | 1 | 1 |   |   |
| 1 | 1 | 1 | 1 | 1 | 0 | 0 | 1 | 1 | 1 | 0 | 1 | 1 | 1 | 1 | 0 | 0 | 0 | 1 | 1 | 1 | 0 | 0 | 0 | 1 | 0 | 1 | 1 | 1 | 1 | 0 | 1 | 1 | 1 | 0 | 0 |   |   |
| 0 | 1 | 0 | 0 | 1 | 0 | 0 | 1 | 0 | 0 | 1 | 1 | 1 | 0 | 0 | 0 | 1 | 1 | 0 | 0 | 0 | 0 | 1 | 0 | 1 | 0 | 0 | 1 | 1 | 0 | 0 | 1 | 1 | 0 | 0 | 0 |   |   |
| 0 | 0 | 1 | 0 | 1 | 0 | 0 | 0 | 1 | 1 | 1 | 1 | 0 | 1 | 0 | 1 | 0 | 0 | 1 | 1 | 0 | 1 | 1 | 0 | 1 | 1 | 0 | 1 | 1 | 0 | 1 | 0 | 0 | 1 | 0 | 0 |   |   |
| 1 | 1 | 1 | 0 | 1 | 0 | 1 | 1 | 0 | 1 | 1 | 0 | 1 | 1 | 1 | 0 | 1 | 1 | 0 | 1 | 1 | 1 | 1 | 0 | 0 | 1 | 0 | 0 | 0 | 1 | 1 | 0 | 0 | 0 | 1 | 1 |   |   |
| 0 | 1 | 1 | 0 | 1 | 1 | 0 | 0 | 0 | 1 | 0 | 1 | 1 | 0 | 0 | 1 | 0 | 0 | 0 | 0 | 1 | 1 | 1 | 0 | 1 | 1 | 0 | 1 | 1 | 0 | 1 | 1 | 0 | 1 | 1 | 0 |   |   |
| 0 | 1 | 1 | 0 | 0 | 0 | 1 | 0 | 0 | 0 | 1 | 1 | 0 | 1 | 1 | 0 | 1 | 0 | 1 | 0 | 1 | 1 | 0 | 1 | 0 | 1 | 1 | 0 | 0 | 1 | 1 | 1 | 0 | 1 | 0 | 1 |   |   |
| 0 | 1 | 1 | 1 | 1 | 1 | 1 | 0 | 1 | 1 | 1 | 0 | 1 | 0 | 0 | 1 | 1 | 1 | 1 | 0 | 1 | 0 | 0 | 1 | 1 | 0 | 0 | 1 | 1 | 0 | 0 | 1 | 0 | 0 | 1 | 1 |   |   |
| 0 | 1 | 0 | 0 | 0 | 1 | 1 | 1 | 0 | 1 | 0 | 1 | 0 | 1 | 1 | 1 | 0 | 1 | 1 | 0 | 0 | 0 | 0 | 0 | 0 | 1 | 1 | 0 | 0 | 1 | 1 | 0 | 0 | 1 | 1 | 1 |   |   |
| 0 | 0 | 1 | 1 | 0 | 1 | 0 | 0 | 0 | 0 | 1 | 0 | 1 | 0 | 1 | 0 | 1 | 0 | 0 | 1 | 1 | 1 | 0 | 0 | 1 | 0 | 0 | 1 | 1 | 1 | 1 | 1 | 1 | 1 | 1 | 1 |   |   |
| 1 | 1 | 0 | 1 | 0 | 0 | 1 | 0 | 1 | 1 | 0 | 1 | 0 | 0 | 0 | 0 | 0 | 1 | 0 | 1 | 0 | 1 | 1 | 1 | 0 | 0 | 0 | 1 | 1 | 1 | 1 | 1 | 1 | 1 | 1 | 1 |   |   |
| 0 | 0 | 0 | 1 | 1 | 1 | 1 | 1 | 0 | 0 | 1 | 0 | 0 | 1 | 0 | 0 | 0 | 0 | 0 | 1 | 1 | 1 | 0 | 1 | 1 | 1 | 0 | 1 | 1 | 1 | 0 | 1 | 1 | 1 | 0 | 1 |   |   |
| 1 | 0 | 0 | 0 | 0 | 1 | 0 | 0 | 1 | 1 | 0 | 0 | 1 | 1 | 0 | 0 | 1 | 0 | 0 | 0 | 1 | 0 | 0 | 0 | 1 | 0 | 0 | 0 | 0 | 1 | 0 | 1 | 1 | 0 | 1 | 1 |   |   |
| 1 | 0 | 1 | 1 | 0 | 0 | 1 | 1 | 0 | 0 | 0 | 1 | 1 | 1 | 0 | 1 | 1 | 0 | 1 | 0 | 0 | 0 | 1 | 1 | 0 | 1 | 0 | 1 | 0 | 1 | 0 | 1 | 0 | 1 | 0 | 1 |   |   |
| 1 | 1 | 0 | 1 | 1 | 1 | 0 | 0 | 1 | 0 | 1 | 1 | 1 | 1 | 1 | 1 | 1 | 1 | 1 | 1 | 0 | 1 | 0 | 1 | 0 | 1 | 0 | 1 | 0 | 1 | 0 | 1 | 0 | 1 | 0 | 0 |   |   |
| 0 | 0 | 0 | 0 | 0 | 0 | 1 | 1 | 1 | 1 | 1 | 1 | 1 | 1 | 1 | 1 | 0 | 1 | 1 | 0 | 1 | 0 | 1 | 1 | 0 | 0 | 1 | 0 | 1 | 1 | 1 | 0 | 0 | 0 | 0 | 0 |   |   |
| 1 | 0 | 1 | 1 | 1 | 1 | 0 | 1 | 0 | 1 | 1 | 1 | 0 | 0 | 1 | 0 | 0 | 0 | 0 | 0 | 0 | 0 | 0 | 0 | 0 | 0 | 1 | 0 | 0 | 0 | 0 | 0 | 0 | 0 | 0 | 1 |   |   |
| 1 | 1 | 0 | 0 | 0 | 0 | 0 | 0 | 0 | 1 | 1 | 0 | 0 | 0 | 0 | 0 | 1 | 0 | 1 | 1 | 0 | 0 | 0 | 1 | 1 | 1 | 1 | 0 | 0 | 0 | 1 | 1 | 1 | 0 | 0 | 1 | 0 |   |
| 0 | 0 | 1 | 1 | 1 | 0 | 1 | 0 | 0 | 1 | 0 | 0 | 1 | 0 | 1 | 1 | 1 | 0 | 1 | 0 | 0 | 0 | 0 | 0 | 0 | 0 | 0 | 1 | 0 | 1 | 0 | 0 | 0 | 0 | 0 | 1 | 0 | 0 |
| 1 | 1 | 0 | 0 | 1 | 1 | 1 | 0 | 0 | 0 | 0 | 0 | 1 | 1 | 1 | 1 | 0 | 0 | 0 | 1 | 0 | 0 | 1 | 1 | 1 | 0 | 1 | 1 | 0 | 0 | 1 | 1 | 0 | 0 | 1 | 1 | 0 | 0 |
| 0 | 0 | 1 | 0 | 0 | 1 | 1 | 0 | 1 | 0 | 0 | 1 | 1 | 0 | 1 | 0 | 1 | 0 | 0 | 1 | 0 | 1 | 0 | 0 | 1 | 0 | 1 | 0 | 0 | 1 | 0 | 0 | 0 | 0 | 0 | 1 | 0 | 0 |
| 1 | 1 | 1 | 1 | 0 | 1 | 1 | 1 | 1 | 0 | 1 | 1 | 0 | 0 | 0 | 1 | 1 | 0 | 0 | 0 | 1 | 1 | 0 | 0 | 0 | 0 | 1 | 1 | 0 | 0 | 0 | 1 | 1 | 0 | 1 | 0 | 0 |   |
| 0 | 1 | 0 | 1 | 0 | 1 | 0 | 1 | 1 | 1 | 1 | 0 | 0 | 1 | 1 | 1 | 1 | 0 | 0 | 0 | 0 | 1 | 1 | 0 | 0 | 0 | 0 | 1 | 1 | 0 | 1 | 0 | 1 | 0 | 1 | 0 | 0 |   |
| 0 | 0 | 0 | 1 | 0 | 0 | 0 | 1 | 0 | 1 | 0 | 0 | 1 | 0 | 1 | 1 | 1 | 0 | 1 | 1 | 1 | 1 | 1 | 1 | 1 | 1 | 1 | 0 | 0 | 0 | 1 | 0 | 1 | 0 | 1 | 0 | 0 |   |
| 1 | 0 | 0 | 1 | 1 | 0 | 0 | 0 | 0 | 0 | 0 | 1 | 0 | 0 | 1 | 1 | 1 | 1 | 0 | 0 | 1 | 1 | 0 | 0 | 1 | 1 | 0 | 0 | 1 | 1 | 1 | 1 | 0 | 1 | 1 | 1 | 0 | 0 |
| 1 | 0 | 0 | 0 | 1 | 0 | 1 | 0 | 1 | 0 | 1 | 0 | 0 | 0 | 1 | 1 | 0 | 0 | 1 | 0 | 1 | 0 | 1 | 0 | 1 | 0 | 1 | 0 | 0 | 0 | 0 | 0 | 0 | 0 | 0 | 1 | 1 | 0 |
| 1 | 0 | 1 | 0 | 1 | 1 | 1 | 1 | 1 | 1 | 0 | 0 | 0 | 0 | 1 | 0 | 1 | 1 | 1 | 0 | 0 | 1 | 1 | 1 | 1 | 1 | 1 | 1 | 1 | 1 | 1 | 1 | 1 | 1 | 1 | 0 | 0 | 0 |
| 1 | 1 | 1 | 0 | 0 | 1 | 0 | 1 | 0 | 0 | 0 | 0 | 0 | 0 | 0 | 1 | 0 | 1 | 1 | 1 | 1 | 1 | 0 | 0 | 0 | 0 | 0 | 0 | 1 | 0 | 0 | 0 | 0 | 0 | 0 | 0 | 0 | 0 |

## M 文件

```

% MATLAB script for Illustrative Problem 9.5.
echo on
% first determine the maximal length shift register sequences
% We'll take the initial shift register content as "00001".
connections=[1 0 1 0 0];

```

---

```

connections2=[1 1 1 0 1];
sequence1=ss_mlsrs(connections1);
sequence2=ss_mlsrs(connections2);
% cyclically shift the second sequence and add it to the first one
L=2^length(connections1)-1;
for shift_amount=0:L-1,
    temp=[sequence2(shift_amount+1:L) sequence2(1:shift_amount)];
    gold_seq(shift_amount+1,:)=(sequence1+temp) - floor((sequence1+temp)/2).*2;
    echo off ;
end;
echo on ;
% find the max value of the cross correlation for these sequences
max_cross_corr=0;
for i=1:L-1,
    for j=i+1:L,
        % equivalent sequences
        c1=2*gold_seq(i,:)-1;
        c2=2*gold_seq(j,:)-1;
        for m=0:L-1,
            shifted_c2=[c2(m+1:L) c2(1:m)];
            corr=abs(sum(c1.*shifted_c2));
            if (corr>max_cross_corr),
                max_cross_corr=corr;
            end;
            echo off ;
        end;
    end;
end;
% note that max_cross_corr turns out to be 9 in this example.

```

---

## VI 文件

---

```

function [seq]=ss_mlsrs(connections);
% [seq]=ss_mlsrs(connections)
%          SS_MLSRS generates the maximal length shift register sequence when the
%          shift register connections are given as input to the function. A "zero"
%          means not connected, whereas a "one" represents a connection.
m=length(connections);
l=2^m-1; % length of the shift register sequence requested
registers=zeros(1,m-1) 1; % initial register contents
seq(1)=registers(m); % first element of the sequence
for i=2:L,
    new_reg_cont(1)=connections(1)*seq(i-1);
    for j=2:m,
        new_reg_cont(j)=registers(j-1)+connections(j)*seq(i-1);
    end;
    registers=new_reg_cont; % current register contents
    seq(i)=registers(m); % the next element of the sequence
end;

```

---

## 9.4 跳频扩频

在跳频(FH)扩频中,将可利用的信道带宽  $W$  划分成大量非重叠的频率间隙。在任何信号区间内,传输信号占据一个或多个可用的频率间隙。在每个信号区间内频率间隙(一个或多个)的选取是按照来自某一 PN 发生器的输出伪随机地确定的。

图 9.9 示出一 FH 扩频系统发射机和接收机的方框图。调制既可用二进制或  $M$  元 FSK (MFSK)。例如,如果采用二进制 FSK,那么调制器就选取两个频率中的一个(比如  $f_0$  或  $f_1$ )对应于传输一个 0 或一个 1。然后再将这个二进制的 FSK 信号在频率上搬移一个量,这个量是由来自某个 PN 发生器的输出序列决定的,用这个 PN 发生器选择某一被频率合成器同步的频率  $f_c$ 。这个频率被搬移了的信号在信道上传输。例如,通过从 PN 发生器取  $m$  个比特,就可以给出  $2^m - 1$  个可能的载波频率。图 9.10 说明一个 FH 信号的示意图。

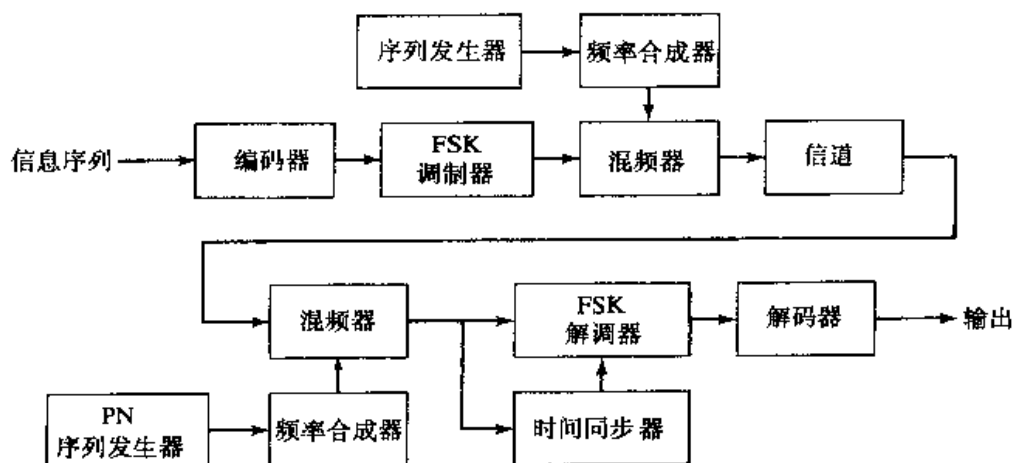


图 9.9 FH 扩频系统的方框图

在接收端有一个完全相同的 PN 序列发生器,它是与接收信号同步的,用来控制频率合成器的输出。通过频率合成器与接收信号混频之后,于是由发射机所引入的伪随机频率搬移在解调器中被移去。这样利用 FSK 解调器解调出最后所得信号。用于维持 PN 序列发生器与 FH 接收信号同步的信号通常是从接收信号中提取出来的。

虽然一般而言二进制 PSK 调制要比二进制 FSK 产生更好的性能,但是要保持在跳频模式中使用的频率合成上相位相干是困难的,以及当信号在一个宽的带宽上从一个频率跳到另一个频率时,在信道上信号的传播过程中保持相位相干也是困难的。因此,在 FH 扩频系统中,一般都采用非相干解调的 FSK 调

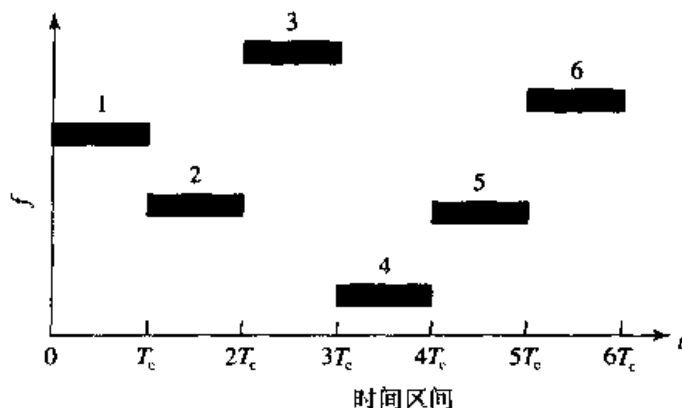


图 9.10 一个 FH 例子

制。

频率跳变率  $R_h$  可以选为等于符号率, 低于符号率, 或高于符号率。如果  $R_h$  是等于或低于符号率, 这个 FH 系统称为慢跳频 (slow-hopping) 系统; 如果  $R_h$  高于符号率, 也就是每个符号区间内有多次跳频, 则称这个 FH 系统为快跳频 (fast-hopping) 系统。我们仅考虑跳变率等于符号率的情况。

#### 9.4.1 FH 信号的差错概率

现考虑一 FH 系统, 其中用二进制 FSK 传输数字信息。频率跳变是每比特跳一次。解调和检测都是非相干的。在 AWGN 信道上, 这样的系统其差错概率是

$$P_b = \frac{1}{2} e^{-E_b/(2N_0)} \quad (9.4.1)$$

如果干扰是一个宽带信号, 或者是复盖整个 FH 带宽  $W$  内平坦频谱的干扰, 上述结果也适用。在这种情况下,  $N_0$  要用  $N_0 + J_0$  代替, 这里  $J_0$  是干扰的谱密度。

和在 DS 扩频系统情况一样, 每比特能量  $\mathcal{E}_b$  可以表示为  $\mathcal{E}_b = P_s T_b = P_s / R$ , 这里  $P_s$  是平均信号功率,  $R$  是比特率。类似地也有  $J_0 = P_J / W$ , 这里  $P_J$  是宽带干扰的平均功率,  $W$  为可用的信道带宽。因此, 假设  $J_0 \gg N_0$ , 就能将 SNR 表示为

$$\frac{\mathcal{E}_b}{J_0} = \frac{W/R}{P_J/P_s} \quad (9.4.2)$$

式中  $W/R$  是处理增益,  $P_J/P_s$  是 FH 扩频信号的干扰裕余度。

慢 FH 扩频系统是特别容易受到部分频带干扰攻击的, 这一干扰既可来自专门的干扰台, 也可来自在 FH CDMA 系统中。为了具体一点, 假设这个部分频

带干扰用一个零均值的高斯随机过程来建模,这个过程在总带宽  $W$  的某一部分具有平坦的功率谱密度,而在这个频带以外是零。在功率谱密度为非零的区域,它的值是  $\mathcal{N}(f) = J_0/\alpha$ , 这里  $0 < \alpha < 1$ 。换句话说,干扰平均功率  $P_J$  假设是常数,而  $\alpha$  是被干扰所占的频带份额。

假设部分频带干扰来自某一干扰台,干扰台挑选  $\alpha$  以使其对通信系统的效果是最佳的。在用二进制 FSK 调制和非相干检测的未编码慢跳频系统中,传输频率在频带  $W$  内是选成均匀概率的。这样,接收信号将以概率  $\alpha$  被干扰,而以概率  $1 - \alpha$  不被干扰。当被干扰时,差错概率是  $(1/2)\exp(-\alpha\rho_b/2)$ ,而当不被干扰时,信号检测假定是无差错的,其中  $\rho_b \equiv \mathcal{E}_b/J_0$ 。因此,平均差错概率是

$$\begin{aligned} P_2(\alpha) &= \frac{\alpha}{2} \exp\left(-\frac{\alpha\rho_b}{2}\right) \\ &= \frac{\alpha}{2} \exp\left(-\frac{\alpha W/R}{2P_J/P_S}\right) \end{aligned} \quad (9.4.3)$$

图 9.11 示出对几个  $\alpha$  值,误码率作为  $\text{SNR}_{\rho_b}$  函数的关系。干扰台假设是以对差错概率最大的优化策略选取  $\alpha$  的。通过对  $P_2(\alpha)$  微分并解出使  $P_2(\alpha)$  最大的  $\alpha$  值,就能求得干扰台的最好  $\alpha$  的取值是

$$\alpha^* = \begin{cases} 2/\rho_b, & \rho_b \geq 2 \\ 1, & \rho_b < 2 \end{cases} \quad (9.4.4)$$

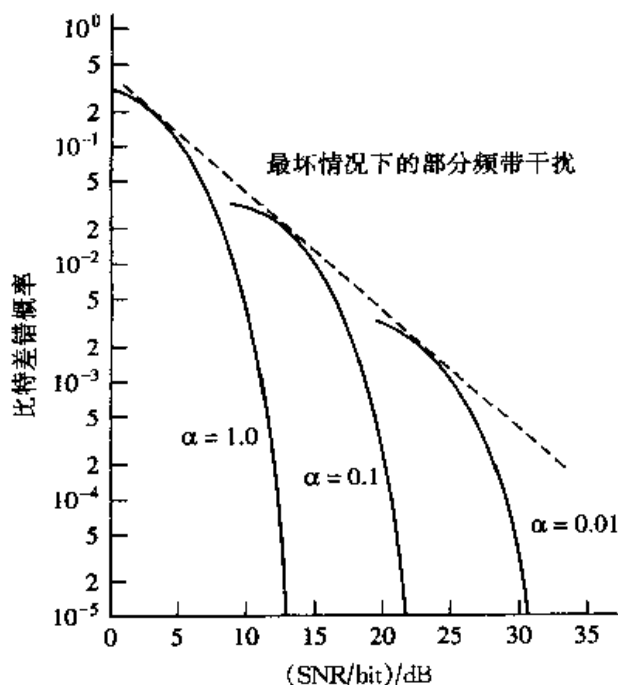


图 9.11 部分频带干扰时的二进制 FSK 性能

对于最坏情况下部分频带干扰相应的差错概率是

$$P_2 = \begin{cases} e^{-1}/\rho_b, & \rho_b \geq 2 \\ \frac{1}{2}e^{-\rho_b/2}, & \rho_b < 2 \end{cases} \quad (9.4.5)$$

这个也示于图 9.11 中。在全频带干扰下如(9.4.3)式给出,其差错概率随  $\mathcal{E}_b/J_0$  增加而成指数下降,而在最坏部分频带干扰下仅成反比减小。

### 解说题

#### 解说题 9.6[FH 系统仿真]

经由 Monte Carlo 仿真,说明一个使用二进制 FSK,并受到最坏部分频带干扰破坏的 FH 数字通信系统的性能。待仿真的系统方框图如图 9.12 所示。

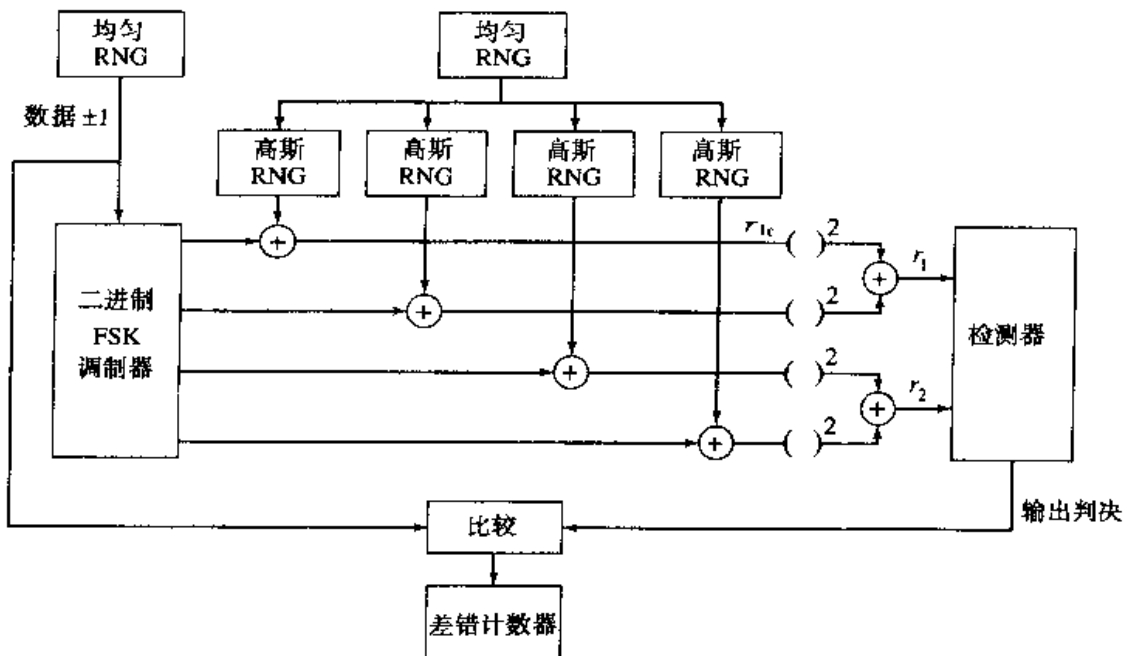


图 9.12 用于 Monte Carlo 仿真的,在部分频带干扰下的二进制 FSK 系统的模型

### 题解

用均匀随机数发生器(RNG)产生某二进制信息序列,它作为 FSK 调制器的输入。FSK 调制器的输出受到概率  $\alpha$  的加性高斯噪声污损,  $0 < \alpha \leq 1$ 。用第二个均匀 RNG 来决定这个加性高斯噪声何时污损信号和何时不污损信号。在有噪声时,假定在传输为 0 情况下,检测器的输入是

$$r_1 = (\sqrt{\mathcal{E}_b} \cos \phi + n_{1c}^{①})^2 + (\sqrt{\mathcal{E}_b} \sin \phi + n_{1s}^{②})^2$$

$$r_2 = n_{2c}^2 + n_{2s}^2$$

式中  $\phi$  是信道相移,  $n_{1c}$ ,  $n_{1s}$ ,  $n_{2c}$ ,  $n_{2s}$  代表加性噪声分量。在没有噪声时有

$$r_1 = \mathcal{E}_b, \quad r_2 = 0$$

所以在检测器没有差错发生。每一噪声分量的方差是  $\sigma^2 = \alpha J_0/2$ , 这里  $\alpha$  由 (9.4.4) 式给出。为简单起见, 置  $\phi=0$  并将  $J_0$  归一化到 1, 那么  $\rho_b = \mathcal{E}_b/J_0 = \mathcal{E}_b$ 。因为  $\sigma^2 = J_0/2\alpha$  和  $\alpha = 2/\rho_b$ , 接着就能得出, 在部分频带干扰存在下,  $\sigma^2 = \mathcal{E}_b/4$  和  $\alpha = 2/\mathcal{E}_b$ , 这里限制  $\mathcal{E}_b$  到  $\mathcal{E}_b \geq 2$ 。图 9.13 示出由 Monte Carlo 仿真得出的误码率。图中还示出由 (9.4.5) 式给出差错概率的理论值。

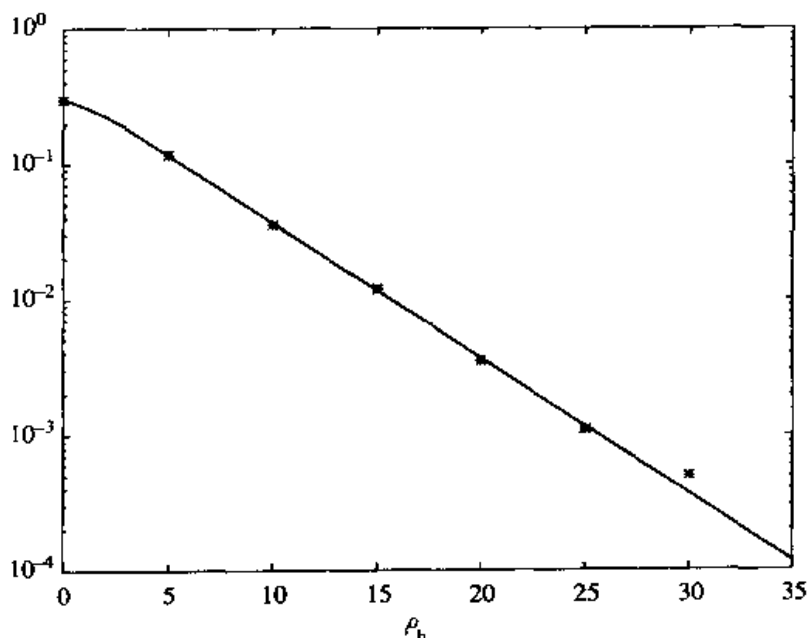


图 9.13 Monte Carlo 仿真: 在部分频带干扰下, FH 二进制 FSK 系统的误码率性能

该仿真程序的 MATLAB 脚本给出如下。

### MI 文件

% MATLAB script for Illustrative Problem 9.6.

echo on

rho\_b1=0:5:35;

rho\_b2=0:0.1:35;

% rho in dB for the simulated error rate

% rho in dB for theoretical error rate computation

① 译者注: 原著此处为  $n_{c0}$ 。

② 译者注: 原著此处为  $n_{s0}$ 。

---

```

for i=1:length(rho_b1),
    smld_err_prb(i)=ss_pe96(rho_b1(i));    % simulated error rate
    echo off ;
end;
echo on ;
for i=1:length(rho_b2),
    temp=10^(rho_b2(i)/10);
    if (temp>2)
        theo_err_rate(i)=1/(exp(1)*temp);    % theoretical error rate if rho>2
    else
        theo_err_rate(i)=(1/2)*exp(-temp/2);% theoretical error rate if rho<2
    end;
    echo off ;
end;
echo on ;
% Plotting commands follow

```

---

## VI 文件

---

```

function [p]=ss_Pe96(rho_in_dB)
% [p]=ss_Pe96(rho_in_dB)
%          SS_PE96 finds the measured error rate. The value of
%          signal per interference ratio in dB is given as an
%          input to the function.
rho=10^(rho_in_dB/10);
Eb=rho;                                % energy per bit
if (rho>2),
    alpha=2/rho;                        % optimal alpha if rho>2
else
    alpha=1;                            % optimal alpha if rho<2
end;
sgma=sqrt(1/(2*alpha));                % noise standard deviation
N=10000;                               % number of bits transmitted
% generation of the data sequence
for i=1:N,
    temp=rand;
    if (temp<0.5)
        data(i)=1;
    else
        data(i)=0;
    end;
end;
% find the received signals
for i=1:N,
    % the transmitted signal
    if (data(i)==0),
        r1c(i)=sqrt(Eb);
        r1s(i)=0;
        r2c(i)=0;
        r2s(i)=0;
    else
        r1c(i)=0;

```



---

```

    r1s(i)=0;
    r2c(i)=sqrt(Eb);
    r2s(i)=0;
end;
% the received signal is found by adding noise with probability alpha
if (rand<alpha),
    r1c(i)=r1c(i)+gngauss(sigma);
    r1s(i)=r1s(i)+gngauss(sigma);
    r2c(i)=r2c(i)+gngauss(sigma);
    r2s(i)=r2s(i)+gngauss(sigma);
end;
end;
% make the decisions and count the number of errors made.
num_of_err=0;
for i=1:N,
    r1=r1c(i)^2+r1s(i)^2;           % first decision variable
    r2=r2c(i)^2+r2s(i)^2;           % second decision variable
    % decision is made next
    if (r1>r2),
        decis=0;
    else
        decis=1;
    end;
    % increment the counter if this is an error
    if (decis~=data(i)),
        num_of_err=num_of_err+1;
    end;
end;
% measured bit error rate is then
p=num_of_err/N;

```

---

#### 9.4.2 利用信号分集解决部分频带干扰问题

正如在前一节所讨论的,受到部分频带干扰侵扰的 FH 系统的性能是很差的。例如,若能达到该系统的差错概率是  $10^{-6}$ ,则在最坏情况干扰存在时,检测器所要求的 SNR 几乎是 60 dB。作为比较,在没有部分频带干扰时,在一个 AWGN 信道中所要求的 SNR 约为 10 dB。结果,由于部分频带干扰的存在,在 SNR 上的损失竟有约 50 dB,这是太高了。

减小部分频带干扰对 FH 扩频系统影响的方法是通过信号分集;这就是:将同一信息比特在多次频率跳变上传输,并且将多次传输的信号加权并在检测器输入端相加在一起。具体一点,假设每个信息比特在两个相继的频率跳变上传输,这个系统称**双分集系统**(dual diversity system)。这时,假设传输的是一个 0,要么在相加器的两个输入都受到干扰破坏,要么两个传输信号中的一个受到干扰破坏,或者两个传输信号都未受到干扰破坏。

假设相加器知道干扰的电平,由此可形成组合判决变量为

$$\begin{aligned}x &= w_1 r_{11} + w_2 r_{12} \\y &= w_1 r_{21} + w_2 r_{22}\end{aligned}\quad (9.4.6)$$

这里  $r_{11}$ ,  $r_{21}$  是对第一个传输信号平方律检测的两个输出,  $r_{12}$ ,  $r_{22}$  是由第二个传输信号的平方律检测的两个输出。加权系数  $w_1$  和  $w_2$  设置为  $1/\sigma^2$ ,  $\sigma^2$  是加性噪声加干扰后的方差。因此, 当  $\sigma^2$  是大的时候就对应于干扰是存在的情况, 放在接收信号上的权系数就小。另外, 当  $\sigma^2$  是小的时候就对应于没有干扰的情况, 放在接收信号上的权系数就大。这样, 相加器就将受到干扰破坏的接收信号分量去加重。

从相加器来的两个分量  $x$  和  $y$  送给检测器, 检测器就以较大的信号分量作出判决。

现在具有双分集的 FH 信号的性能就由两个传输信号都受到干扰破坏的情况所决定。然而, 这个事件的概率是正比于  $\alpha^2$ , 它是大大小于  $\alpha$  的。结果, 对于最坏情况部分频带干扰的差错概率就有如下形式

$$P_2(2) = \frac{K_2}{\rho_b^2}, \quad \rho_b > 2 \quad (9.4.7)$$

这里  $K_2$  是某一常数和  $\rho_b = \epsilon_b/J_0$ 。在这种情况下, 双分集系统的差错概率随 SNR 的平方成反比地下降。换句话说, 在 SNR 上增加 10 倍 (10 dB) 就会得到在差错概率上降低 100 倍。这样, 在双分集情况下, 用大约 30 dB 的 SNR 就能实现  $10^{-6}$  的差错概率; 而比较一下, 在没有分集时需要 60 dB 的 SNR, 相差 1 000 倍。

更为一般的是, 若每一信息比特在  $D$  次频率跳变上传输,  $D$  是分集的阶次, 那么差错概率就具有

$$P_2(D) = \frac{K_D}{\rho_b^D}, \quad \rho_b > 2 \quad (9.4.8)$$

这里  $K_D$  是某个常数。

因为以上讨论的信号分集是编码一种简单形式 (重复编码), 所以能用最小 Hamming 距离等于  $D$  的一种码, 并用平方律检测输出的软判决解码来代替每个信息比特重复传输  $D$  次就不足为怪了。

### 解说题

#### 解说题 9.7 [在 FH 系统中的分集]

重做解说题 9.6 中 FH 系统的 Monte Carlo 仿真, 但现在采用双分集。

### 题解

在没有干扰时, 相加器中用的权系数是置  $w = 10$ , 它对应于  $\sigma^2 = 0.1$ , 这就

可能是加性高斯噪声电平的典型值。另外,当有干扰时,权系数置为  $w = 1/\sigma^2 = 2/\mathcal{E}$ ,这里将  $\mathcal{E}$  限制到  $\mathcal{E} \geq 4$ 。每次跳变的 SNR 是  $\mathcal{E}$ ,而在两次跳变中每比特的总能量是  $\mathcal{E}_b = 2\mathcal{E}$ 。因此,差错概率是作为  $\mathcal{E}_b/J_0$  的函数画出的。这个 Monte Carlo 的仿真结果如图 9.14 所示。

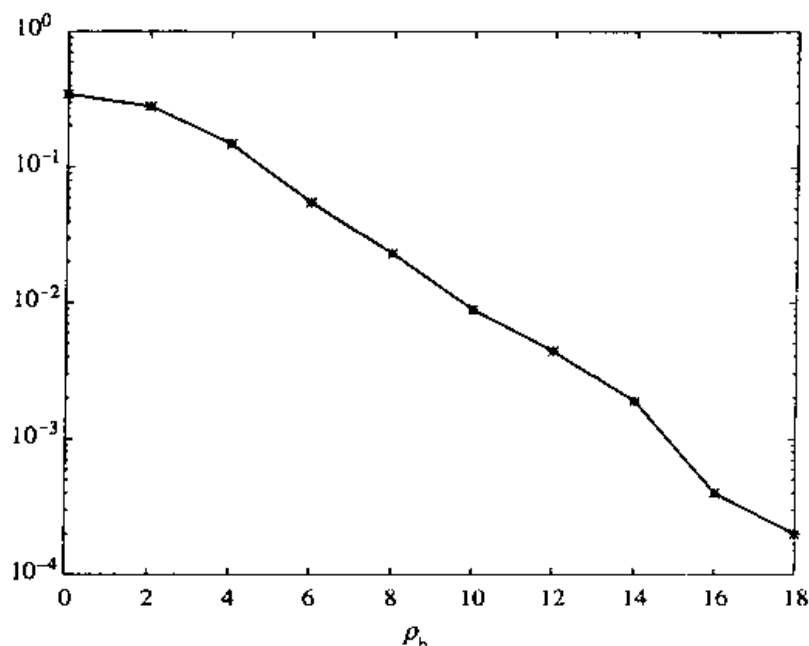


图 9.14 Monte Carlo 仿真;在部分频带干扰下,FH 双分集二进制 FSK 的误码率性能

该仿真程序的 MATLAB 脚本给出如下。

### MI 文件

```
% MATLAB script for Illustrative Problem 9.7.
echo on
rho_b=0:2:24;                                % rho in dB
for i=1:length(rho_b),
    smld_err_prb(i)=ss_Pe97(rho_b(i));        % simulated error rate
    echo off ;
end;
echo on ;
% Plotting commands follow
```

### MI 文件

```
function [p]=ss_Pe97(rho_in_dB)
% [p]=ss_Pe97(rho_in_dB)
% SS_PE97 finds the measured error rate. The value of
```

---

```

%          signal per interference ratio in dB is given as an input
%          to the function.
rho=10^(rho_in_dB/10);
Eb=rho;          % energy per information bit
E=Eb/2;          % energy per symbol transmitted
% the optimal value of alpha
if (rho>2),
    alpha=2/rho;
else
    alpha=1;
end;
% the variance of the additive noise
if (E>1),
    sigma=sqrt(E/2);
else
    sigma=sqrt(1/2);
end;
N=10000;          % number of bits transmitted
% generation of the data sequence
for i=1:N,
    temp=rand;
    if (temp<0.5)
        data(i)=1;
    else
        data(i)=0;
    end;
end;
% find the transmitted signals
for i=1:N,
    if (data(i)==0),
        tr11c(i)=sqrt(E); tr12c(i)=sqrt(E);
        tr11s(i)=0; tr12s(i)=0;
        tr21c(i)=0; tr22c(i)=0;
        tr21s(i)=0; tr22s(i)=0;
    else
        tr11c(i)=0; tr12c(i)=0;
        tr11s(i)=0; tr12s(i)=0;
        tr21c(i)=sqrt(E); tr22c(i)=sqrt(E);
        tr21s(i)=0; tr22s(i)=0;
    end;
end;

% find the received signals, make the decisions and count the number of errors made.
num_of_err=0;
for i=1:N,
    % determine if there is jamming
    if (rand<alpha),
        jamming1=1;          % jamming present on the second transmission
    else
        jamming1=0;          % jamming not present on the first transmission
    end;
    if (rand<alpha),
        jamming2=1;          % jamming present on the second transmission
    else

```

---

```

    jamming2=0;                                % jamming not present on the second transmission
end;
% the received signals are
if (jamming1==1)
    r11c=tr11c(i)+gngauss(sgma);    r11s=tr11s(i)+gngauss(sgma);
    r21c=tr21c(i)+gngauss(sgma);    r21s=tr21s(i)+gngauss(sgma);
else
    r11c=tr11c(i);    r11s=tr11s(i);
    r21c=tr21c(i);    r21s=tr21s(i);
end;
if (jamming2==1)
    r12c=tr12c(i)+gngauss(sgma);    r12s=tr12s(i)+gngauss(sgma);
    r22c=tr22c(i)+gngauss(sgma);    r22s=tr22s(i)+gngauss(sgma);
else
    r12c=tr12c(i);    r12s=tr12s(i);
    r22c=tr22c(i);    r22s=tr22s(i);
end;
% compute the decision variables, first the weights
if (jamming1==1),
    w1=1/sgma^2;
else
    w1=10;
end;
if (jamming2==1),
    w2=1/sgma^2;
else
    w2=10;
end;
% the intermediate decision variables are computed as follows
r11=r11c^2+r11s^2;
r12=r12c^2+r12s^2;
r21=r21c^2+r21s^2;
r22=r22c^2+r22s^2;
% finally, the resulting decision variables x and y are computed
x=w1*r11+w2*r12;
y=w1*r21+w2*r22;
% make the decision
if (x>y),
    decis=0;
else
    decis=1;
end;
% increment the counter if this is an error
if (decis~=data(i)),
    num_of_err=num_of_err+1;
end;
end;
% the measured bit error rate is then
p=num_of_err/N;

```

---

## 习 题

- 9.1 写一个 MATLAB 程序完成某 DS 扩频系统的 Monte Carlo 仿真, 该系统用二进制 PSK 经由 AWGN 信道传输信息。假设处理增益是 10。画出测得的误码率对 SNR 的图, 从而说明从该扩频信号中未获任何性能上的得益。
- 9.2 写一个 MATLAB 程序完成某 DS 扩频系统的 Monte Carlo 仿真, 该系统运行在 LPI 模式。处理增益是 20 (13 dB), 在信号解扩前接收机端期望功率信号噪声比  $P_s/P_N$  是 -5 dB 或更小。画出作为 SNR 函数的已测误码率。
- 9.3 对处理增益为 10 重做解说题 9.4 的 Monte Carlo 仿真, 并画出已测误码率。
- 9.4 写一个 MATLAB 程序, 实现  $m = 12$  级的最大长度移位寄存器, 并产生 3 个周期的序列。计算并画出由 (9.3.1) 式给出的等效双极性序列的周期自相关函数。
- 9.5 写一个 MATLAB 程序, 实现  $m = 3$  级和  $m = 4$  级的最大长度移位寄存器, 将它们的输出序列按模 2 相加。所得出的序列是周期的吗? 若是, 序列的周期是什么? 利用 (9.3.1) 式计算并概略画出所得 (双极性) 序列的自相关序列。
- 9.6 写一个 MATLAB 程序, 计算在解说题 9.5 中产生的  $L = 31$  的 Gold 序列的自相关序列。
- 9.7 一 FH 二进制正交 FSK 系统采用  $m = 7$  级移位寄存器产生一个周期的, 长度  $L = 127$  的最大长度序列。该移位寄存器的每一级选择在跳频图上  $N = 127$  个非重叠频带中的一个。写一个 MATLAB 程序对中心频率的选取和在  $N = 127$  个频带的每一个中两个频率的产生进行仿真。示出前 10 个比特区间内的频率选择图。
- 9.8 写一 Monte Carlo 程序对某一 FH 数字通信系统仿真, 该系统采用二进制 FSK 并用非相干 (平方律) 检测。该系统遭受功率谱密度为  $J_0/\alpha$  ( $\alpha = 0.1$ ) 的部分频带干扰的侵扰。该干扰在频带  $0 < \alpha \leq 0.1$  内功率谱是平坦的。画出该系统测出的误码率对  $\text{SNR}(\mathcal{E}_b/J_0)$  的关系图。
- 9.9 在解说题 9.7 中, 当没有干扰时在相加器上所用的权系数是置于  $w = 100$ , 而在有干扰时, 该权系数是  $w = 1/\sigma^2 = 2/\mathcal{E}$ , 这里信号能量是  $\mathcal{E} \geq 4$ , 重做这种情况下的 Monte Carlo 仿真。对这个双分集系统, 画出由 Monte Carlo 仿真测出的误码率, 并将其性能与在解说题 9.7 所得性能作比较。